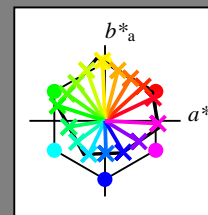


Ein und Ausgabe:
Farbmetrisches Drucker-Reflektiv-System ORS20_95a
Daten für jede Farbe:
 u^*_e und Nummer $Nr.$ = 00 .. 15
Elementar-Bunttontext:
 $u^*_e = 16$ Bunttoene $r00j, r25j, \dots, b75r$
Kontrastreduzierungsfaktor:
 $c_R = 0.96$

ORS20_95a; adaptierte CIELAB-Daten

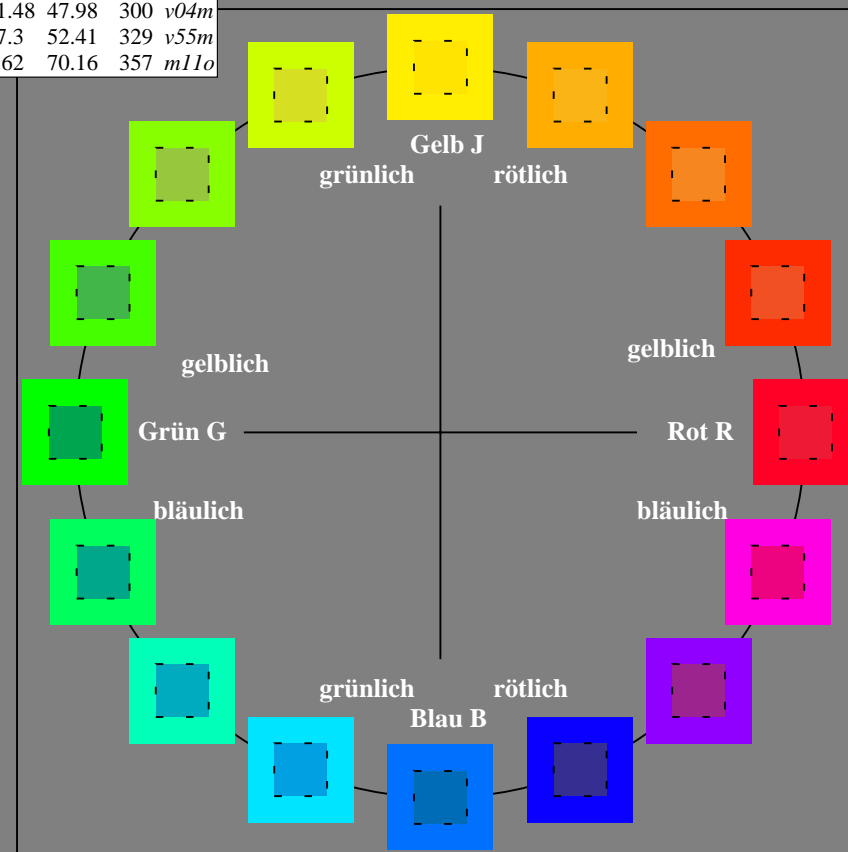
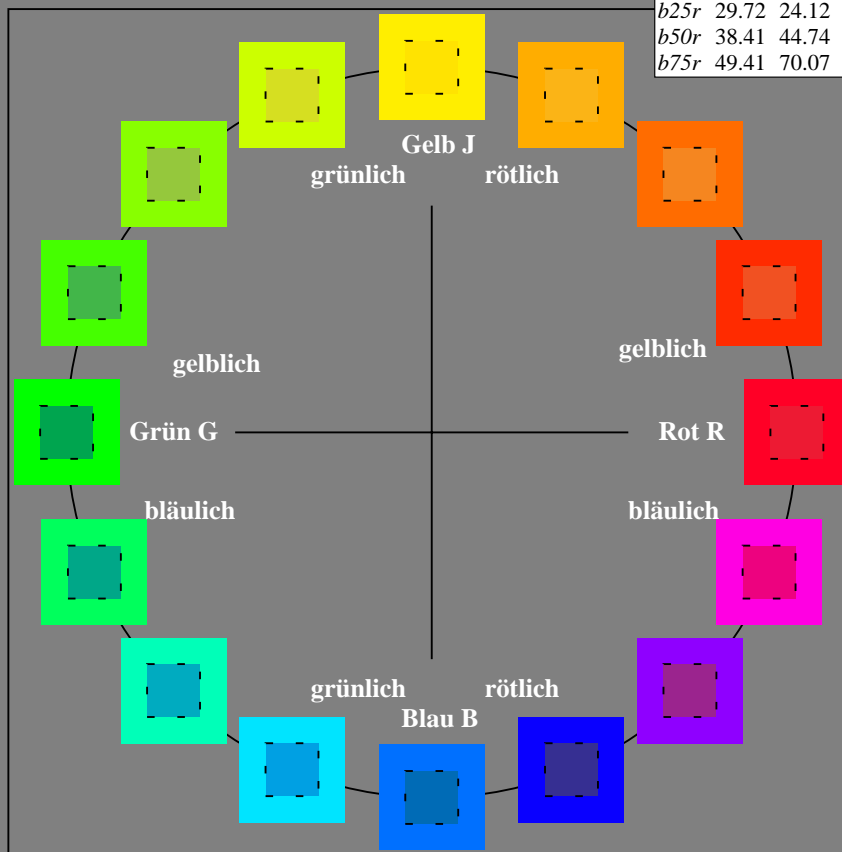
u^*_e	$L^*=L^*_a$	a^*_a	b^*_a	$C^*_{ab,a}$	$h^*_{ab,a}$	u^*_d
$r00j$	48.83	63.91	30.45	70.79	25	$m84o$
$r25j$	55.53	50.37	45.65	67.97	42	$o17y$
$r50j$	64.76	33.86	56.12	65.55	59	$o42y$
$r75j$	74.12	17.13	66.74	68.9	76	$o67y$
$j00g$	85.5	-3.22	79.65	79.72	92	$o92y$
$j25g$	79.45	-24.05	66.85	71.04	110	$y20l$
$j50g$	69.75	-38.03	49.98	62.8	127	$y46l$
$j75g$	61.38	-50.1	35.41	61.35	145	$y72l$
$g00b$	52.6	-62.77	20.12	65.92	162	$y99l$
$g25b$	55.39	-47.66	-8.06	48.34	190	$l36c$
$g50b$	57.43	-36.92	-27.8	46.22	217	$l72c$
$g75b$	55.19	-21.2	-44.17	48.99	244	$c11v$
$b00r$	41.84	1.31	-43.28	43.3	272	$c56v$
$b25r$	29.72	24.12	-41.48	47.98	300	$v04m$
$b50r$	38.41	44.74	-27.3	52.41	329	$v55m$
$b75r$	49.41	70.07	-3.62	70.16	357	$m11o$



%Umfang
 $u^*_{rel} = 83$
%Regularität
 $g^*_{H,rel} = 72$
 $g^*_{C,rel} = 57$

ORS20_95a; adaptierte CIELAB-Daten

Name	$L^*=L^*_a$	a^*_a	b^*_a	$C^*_{ab,a}$	$h^*_{ab,a}$
O_{Ma}	48.71	62.56	37.91	73.15	31
Y_{Ma}	89.25	-9.92	83.91	84.49	97
L_{Ma}	52.5	-62.91	19.95	66.0	162
C_{Ma}	59.15	-27.87	-44.43	52.45	238
V_{Ma}	29.13	22.73	-42.44	48.14	298
M_{Ma}	49.51	71.08	-9.19	71.67	353
N_{Ma}	20.0	0.0	0.0	0.0	0
W_{Ma}	95.0	0.0	0.0	0.0	0
R_{CIE}	39.92	58.74	27.99	65.07	25
J_{CIE}	81.26	-2.89	71.56	71.62	92
G_{CIE}	52.23	-42.42	13.6	44.55	162
B_{CIE}	30.57	1.41	-46.47	46.49	272



Ein und Ausgabe: Farbmetrisches Drucker-Reflektiv-System ORS20_95a für relativen CIELAB-Buntton $h^* = lab^*h^* = h_{ab}/360 = 0.071$

Daten für jede Farbe:

lab^*ch^* und lab^*icu^*

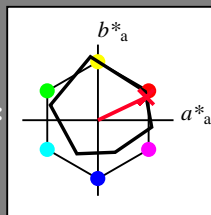
Bunttontexte:

$u^*_e = r00j$ $u^*_d = m84o$

Kontrastreduzierungsfaktor:

$c_R = 0.96$

Dreiecks-Helligkeit i^*



ORS20_95a; adaptierte CIELAB-Daten						
u^*_e	$L^*=L^*_a$	a^*_a	b^*_a	$C^*_{ab,a}$	$h^*_{ab,a}$	
O _{Ma}	48.71	62.56	37.91	73.15	31	
Y _{Ma}	89.25	-9.92	83.91	84.49	97	
L _{Ma}	52.5	-62.91	19.95	66.0	162	
C _{Ma}	59.15	-27.87	-44.43	52.45	238	
V _{Ma}	29.13	22.73	-42.44	48.14	298	
M _{Ma}	49.51	71.08	-9.19	71.67	353	
N _{Ma}	20.0	0.0	0.0	0.0	0	
W _{Ma}	95.0	0.0	0.0	0.0	0	
R _{Ma}	39.92	58.74	27.99	65.07	25	
J _{Ma}	81.26	-2.89	71.56	71.62	92	
G _{Ma}	52.23	-42.42	13.6	44.55	162	
B _{Ma}	30.57	1.41	-46.47	46.49	272	

Daten für Maximalfarbe (Ma):

$LAB^*LAB^*_{Ma}$: 49 64 30

$LAB^*LCH^*_{Ma}$: 49 71 25

$lab^*rgb^*_{Ma}$: 1.0 0.0 0.0

$lab^*olv^*_{Ma}$: 1.0 0.0 0.15

Dreiecks-Helligkeit i^*

%Umfang

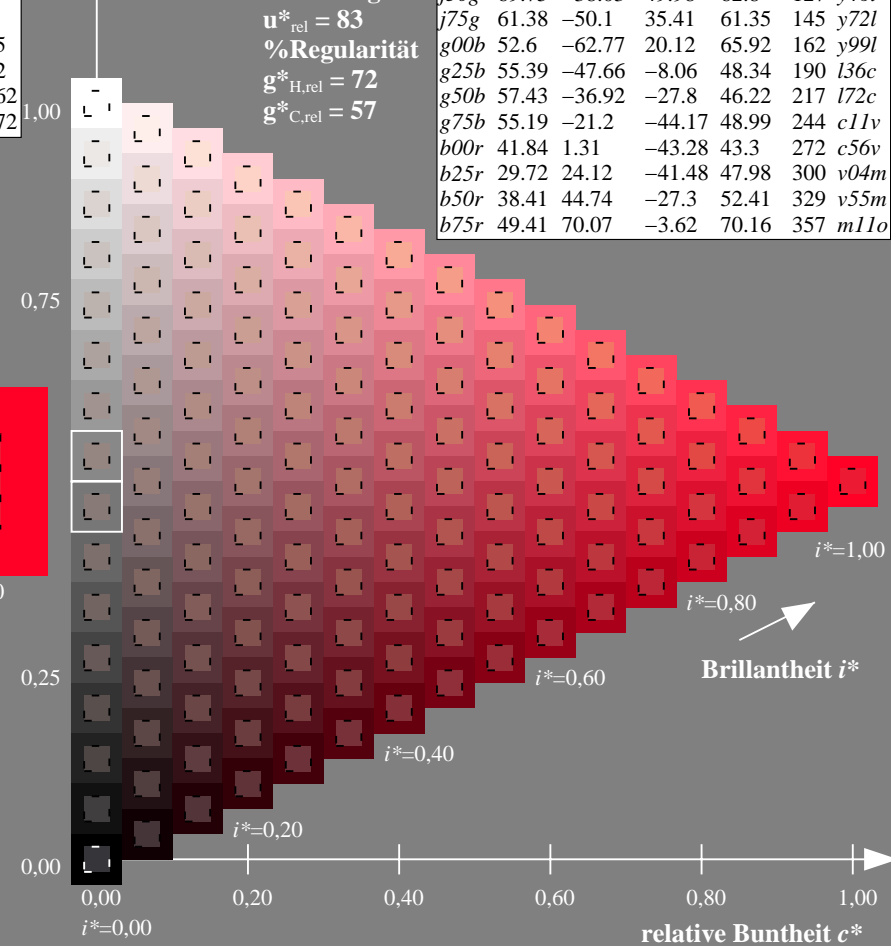
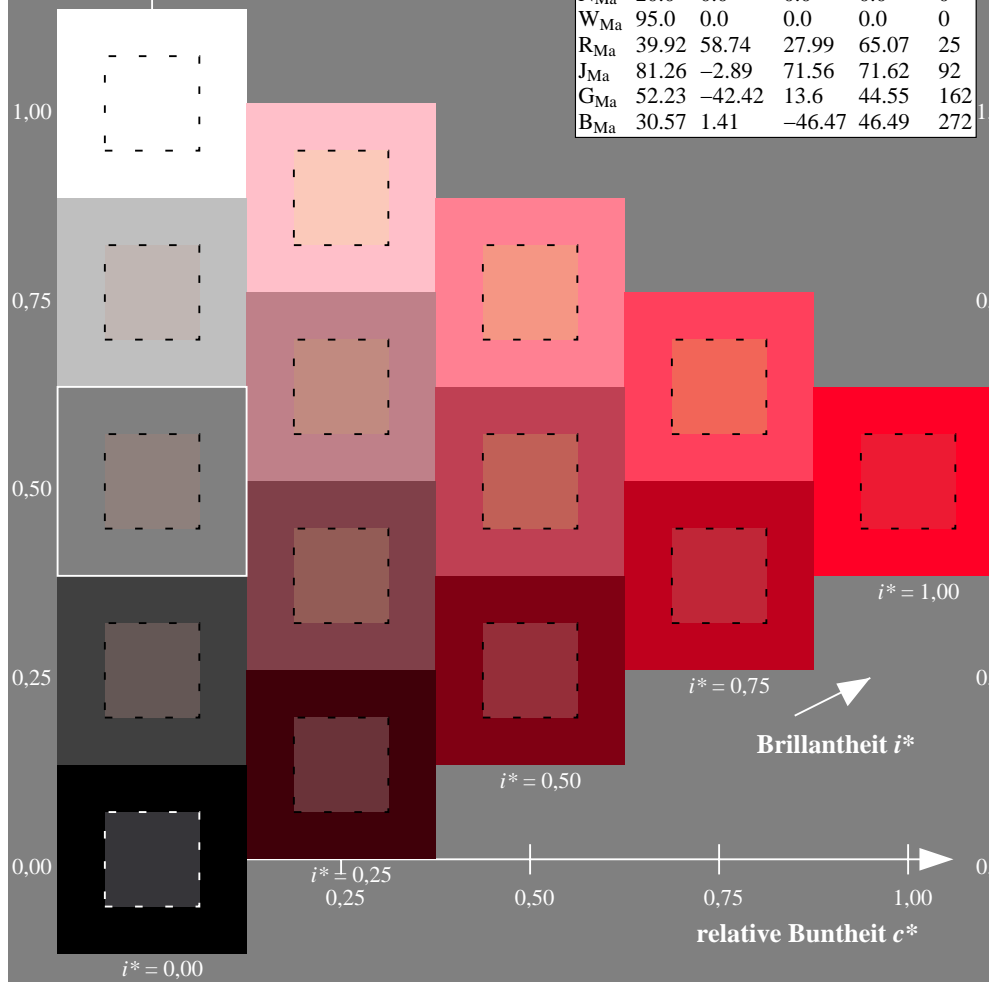
$u^*_{rel} = 83$

%Regularität

$g^*_{H,rel} = 72$

$g^*_{C,rel} = 57$

ORS20_95a; adaptierte CIELAB-Daten							
u^*_e	$L^*=L^*_a$	a^*_a	b^*_a	$C^*_{ab,a}$	$h^*_{ab,a}$	u^*_d	
r00j	48.83	63.91	30.45	70.79	25	m84o	
r25j	55.53	50.37	45.65	67.97	42	o17y	
r50j	64.76	33.86	56.12	65.55	59	o42y	
r75j	74.12	17.13	66.74	68.9	76	o67y	
j00g	85.5	-3.22	79.65	79.72	92	o92y	
j25g	79.45	-24.05	66.85	71.04	110	y20l	
j50g	69.75	-38.03	49.98	62.8	127	y46l	
j75g	61.38	-50.1	35.41	61.35	145	y72l	
g00b	52.6	-62.77	20.12	65.92	162	y99l	
g25b	55.39	-47.66	-8.06	48.34	190	l36c	
g50b	57.43	-36.92	-27.8	46.22	217	l72c	
g75b	55.19	-21.2	-44.17	48.99	244	c11v	
b00r	41.84	1.31	-43.28	43.3	272	c56v	
b25r	29.72	24.12	-41.48	47.98	300	v04m	
b50r	38.41	44.74	-27.3	52.41	329	v55m	
b75r	49.41	70.07	-3.62	70.16	357	m11o	



Ein und Ausgabe: Farbmetrisches Drucker-Reflektiv-System ORS20_95a für relativen CIELAB-Buntton $h^* = lab^*h^* = h_{ab}/360 = 0.117$

Daten für jede Farbe:

lab^*ch^* und lab^*icu^*

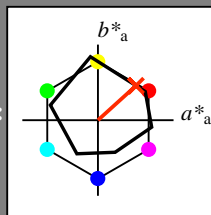
Bunttontexte:

$u^*_e = r25j$ $u^*_d = o17y$

Kontrastreduzierungsfaktor:

$c_R = 0.96$

Dreiecks-Helligkeit i^*



ORS20_95a; adaptierte CIELAB-Daten

u^*_e	$L^*=L^*_a$	a^*_a	b^*_a	$C^*_{ab,a}$	$h^*_{ab,a}$
O _{Ma}	48.71	62.56	37.91	73.15	31
Y _{Ma}	89.25	-9.92	83.91	84.49	97
L _{Ma}	52.5	-62.91	19.95	66.0	162
C _{Ma}	59.15	-27.87	-44.43	52.45	238
V _{Ma}	29.13	22.73	-42.44	48.14	298
M _{Ma}	49.51	71.08	-9.19	71.67	353
N _{Ma}	20.0	0.0	0.0	0.0	0
W _{Ma}	95.0	0.0	0.0	0.0	0
R _{Ma}	39.92	58.74	27.99	65.07	25
J _{Ma}	81.26	-2.89	71.56	71.62	92
G _{Ma}	52.23	-42.42	13.6	44.55	162
B _{Ma}	30.57	1.41	-46.47	46.49	272

Daten für Maximalfarbe (Ma):

$LAB^*LAB^*_{Ma}$: 56 50 46

$LAB^*LCH^*_{Ma}$: 56 68 42

$lab^*rgb^*_{Ma}$: 1.0 0.25 0.0

$lab^*olv^*_{Ma}$: 1.0 0.17 0.0

Dreiecks-Helligkeit i^*

%Umfang

$u^*_{rel} = 83$

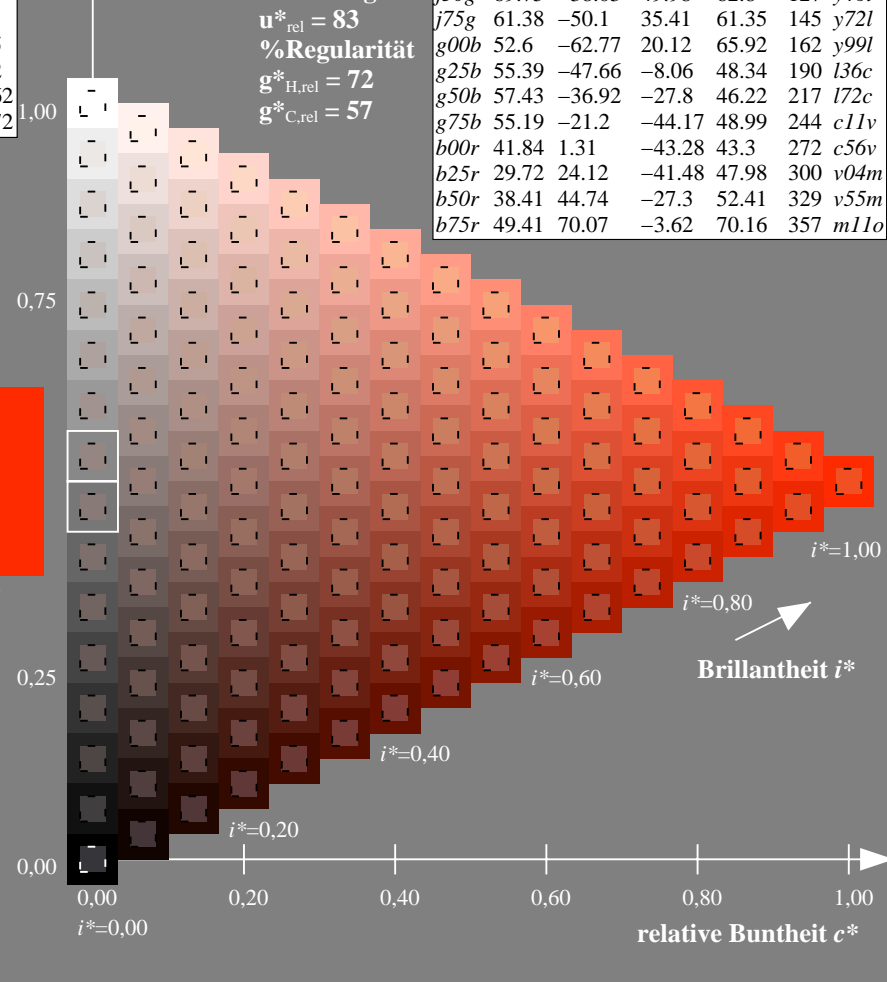
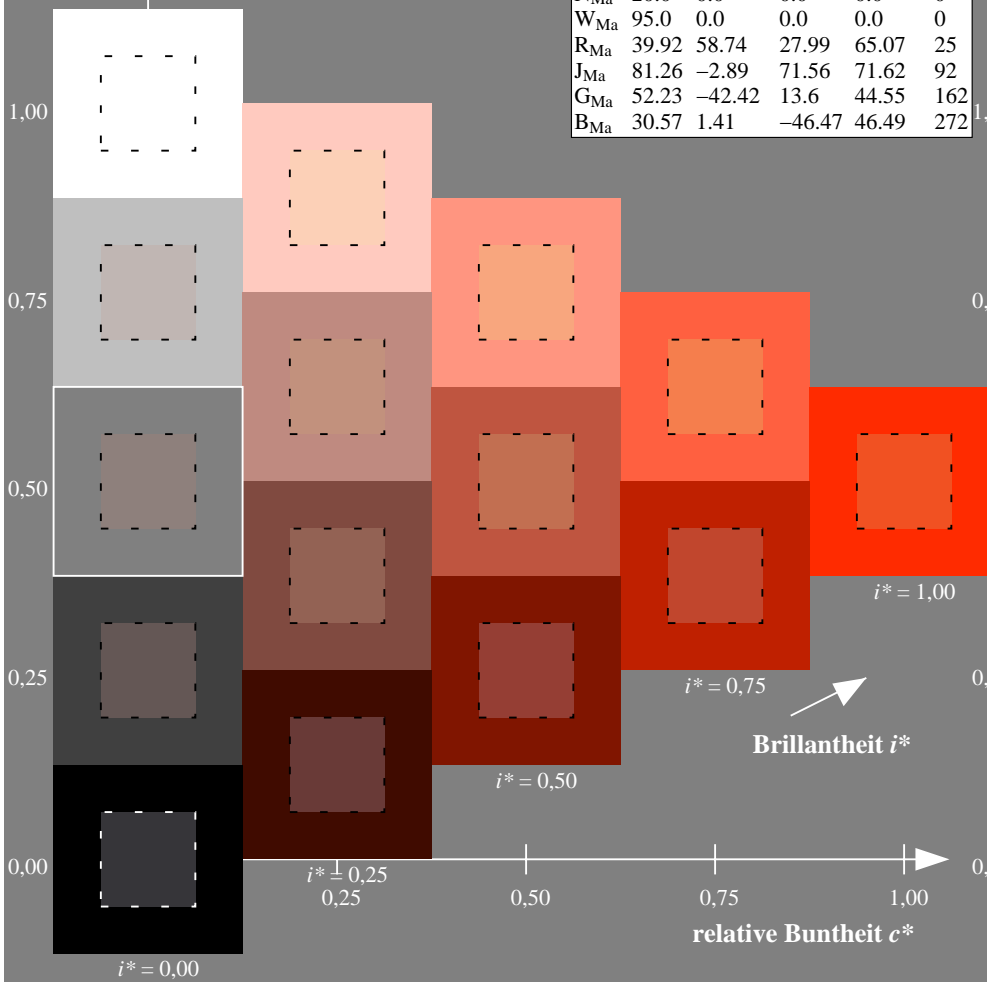
%Regularität

$g^*_{H,rel} = 72$

$g^*_{C,rel} = 57$

ORS20_95a; adaptierte CIELAB-Daten

u^*_e	$L^*=L^*_a$	a^*_a	b^*_a	$C^*_{ab,a}$	$h^*_{ab,a}$	u^*_d
r00j	48.83	63.91	30.45	70.79	25	m84o
r25j	55.53	50.37	45.65	67.97	42	o17y
r50j	64.76	33.86	56.12	65.55	59	o42y
r75j	74.12	17.13	66.74	68.9	76	o67y
j00g	85.5	-3.22	79.65	79.72	92	o92y
j25g	79.45	-24.05	66.85	71.04	110	y20l
j50g	69.75	-38.03	49.98	62.8	127	y46l
j75g	61.38	-50.1	35.41	61.35	145	y72l
g00b	52.6	-62.77	20.12	65.92	162	y99l
g25b	55.39	-47.66	-8.06	48.34	190	l36c
g50b	57.43	-36.92	-27.8	46.22	217	l72c
g75b	55.19	-21.2	-44.17	48.99	244	c11v
b00r	41.84	1.31	-43.28	43.3	272	c56v
b25r	29.72	24.12	-41.48	47.98	300	v04m
b50r	38.41	44.74	-27.3	52.41	329	v55m
b75r	49.41	70.07	-3.62	70.16	357	m11o



Ein und Ausgabe: Farbmetrisches Drucker-Reflektiv-System ORS20_95a für relativen CIELAB-Buntton $h^* = lab^*h^* = h_{ab}/360 = 0.164$

Daten für jede Farbe:

lab^*ch^* und lab^*icu^*

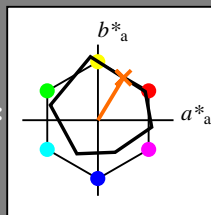
Bunttontexte:

$u^*_e = r50j$ $u^*_d = o42y$

Kontrastreduzierungsfaktor:

$c_R = 0.96$

Dreiecks-Helligkeit i^*



ORS20_95a; adaptierte CIELAB-Daten

u^*_e	$L^*=L^*_a$	a^*_a	b^*_a	$C^*_{ab,a}$	$h^*_{ab,a}$
O _{Ma}	48.71	62.56	37.91	73.15	31
Y _{Ma}	89.25	-9.92	83.91	84.49	97
L _{Ma}	52.5	-62.91	19.95	66.0	162
C _{Ma}	59.15	-27.87	-44.43	52.45	238
V _{Ma}	29.13	22.73	-42.44	48.14	298
M _{Ma}	49.51	71.08	-9.19	71.67	353
N _{Ma}	20.0	0.0	0.0	0.0	0
W _{Ma}	95.0	0.0	0.0	0.0	0
R _{Ma}	39.92	58.74	27.99	65.07	25
J _{Ma}	81.26	-2.89	71.56	71.62	92
G _{Ma}	52.23	-42.42	13.6	44.55	162
B _{Ma}	30.57	1.41	-46.47	46.49	272

Daten für Maximalfarbe (Ma):

$LAB^*LAB^*_{Ma}$: 65 34 56

$LAB^*LCH^*_{Ma}$: 65 66 58

$lab^*rgb^*_{Ma}$: 1.0 0.5 0.0

$lab^*olv^*_{Ma}$: 1.0 0.42 0.0

Dreiecks-Helligkeit i^*

%Umfang

$u^*_{rel} = 83$

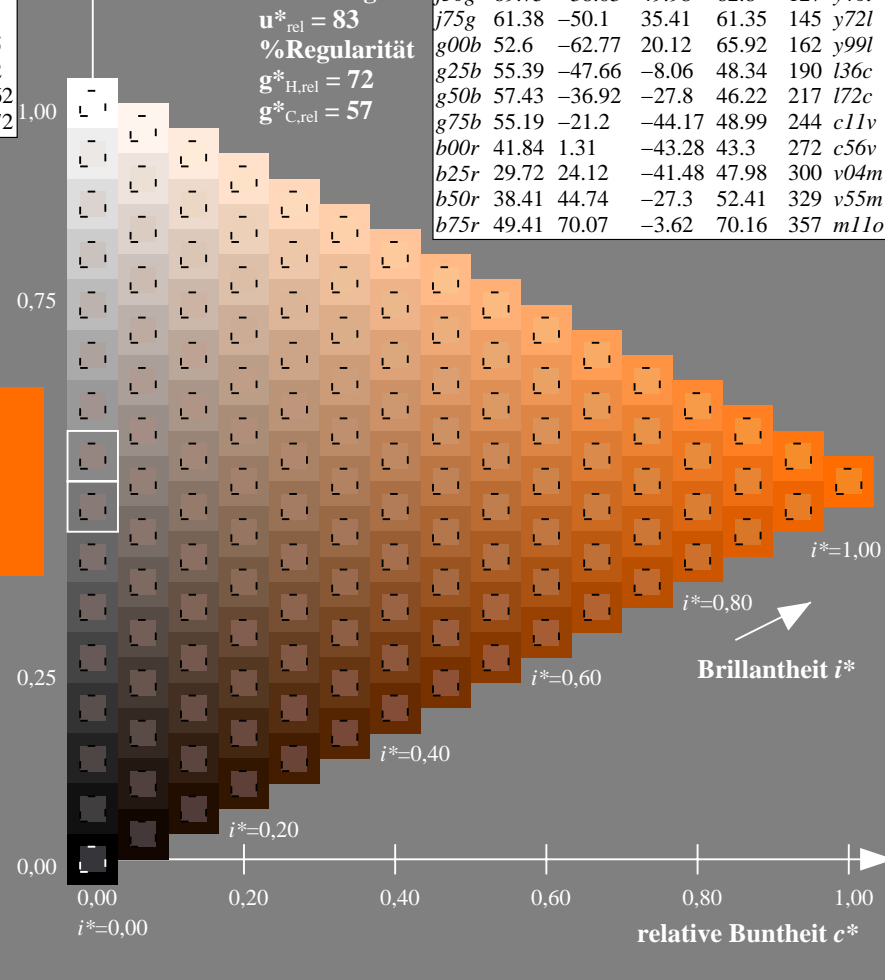
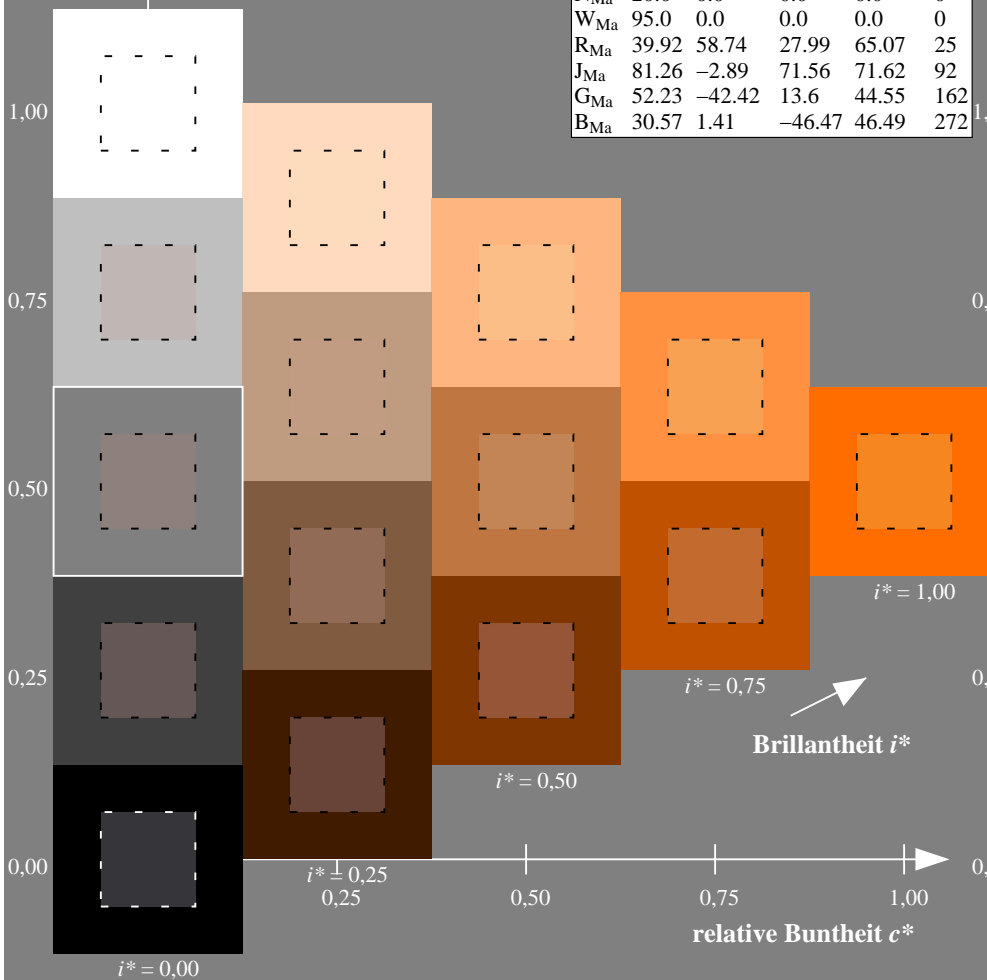
%Regularität

$g^*_{H,rel} = 72$

$g^*_{C,rel} = 57$

ORS20_95a; adaptierte CIELAB-Daten

u^*_e	$L^*=L^*_a$	a^*_a	b^*_a	$C^*_{ab,a}$	$h^*_{ab,a}$	u^*_d
r00j	48.83	63.91	30.45	70.79	25	m84o
r25j	55.53	50.37	45.65	67.97	42	o17y
r50j	64.76	33.86	56.12	65.55	59	o42y
r75j	74.12	17.13	66.74	68.9	76	o67y
j00g	85.5	-3.22	79.65	79.72	92	o92y
j25g	79.45	-24.05	66.85	71.04	110	y20l
j50g	69.75	-38.03	49.98	62.8	127	y46l
j75g	61.38	-50.1	35.41	61.35	145	y72l
g00b	52.6	-62.77	20.12	65.92	162	y99l
g25b	55.39	-47.66	-8.06	48.34	190	l36c
g50b	57.43	-36.92	-27.8	46.22	217	l72c
g75b	55.19	-21.2	-44.17	48.99	244	c11v
b00r	41.84	1.31	-43.28	43.3	272	c56v
b25r	29.72	24.12	-41.48	47.98	300	v04m
b50r	38.41	44.74	-27.3	52.41	329	v55m
b75r	49.41	70.07	-3.62	70.16	357	m11o



Ein und Ausgabe: Farbmetrisches Drucker-Reflektiv-System ORS20_95a für relativen CIELAB-Buntton $h^* = lab^*h^* = h_{ab}/360 = 0.21$

Daten für jede Farbe:

lab^*ch^* und lab^*icu^*

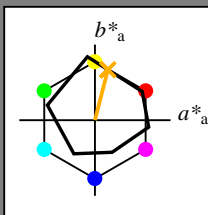
Bunttontexte:

$u^*_e = r75j$ $u^*_d = o67y$

Kontrastreduzierungsfaktor:

$c_R = 0.96$

Dreiecks-Helligkeit i^*



ORS20_95a; adaptierte CIELAB-Daten

u^*_e	$L^*=L^*_a$	a^*_a	b^*_a	$C^*_{ab,a}$	$h^*_{ab,a}$
O _{Ma}	48.71	62.56	37.91	73.15	31
Y _{Ma}	89.25	-9.92	83.91	84.49	97
L _{Ma}	52.5	-62.91	19.95	66.0	162
C _{Ma}	59.15	-27.87	-44.43	52.45	238
V _{Ma}	29.13	22.73	-42.44	48.14	298
M _{Ma}	49.51	71.08	-9.19	71.67	353
N _{Ma}	20.0	0.0	0.0	0.0	0
W _{Ma}	95.0	0.0	0.0	0.0	0
R _{Ma}	39.92	58.74	27.99	65.07	25
J _{Ma}	81.26	-2.89	71.56	71.62	92
G _{Ma}	52.23	-42.42	13.6	44.55	162
B _{Ma}	30.57	1.41	-46.47	46.49	272

Daten für Maximalfarbe (Ma):

$LAB^*LAB^*_{Ma}$: 74 17 67

$LAB^*LCH^*_{Ma}$: 74 69 75

$lab^*rgb^*_{Ma}$: 1.0 0.75 0.0

$lab^*olv^*_{Ma}$: 1.0 0.68 0.0

Dreiecks-Helligkeit i^*

%Umfang

$u^*_{rel} = 83$

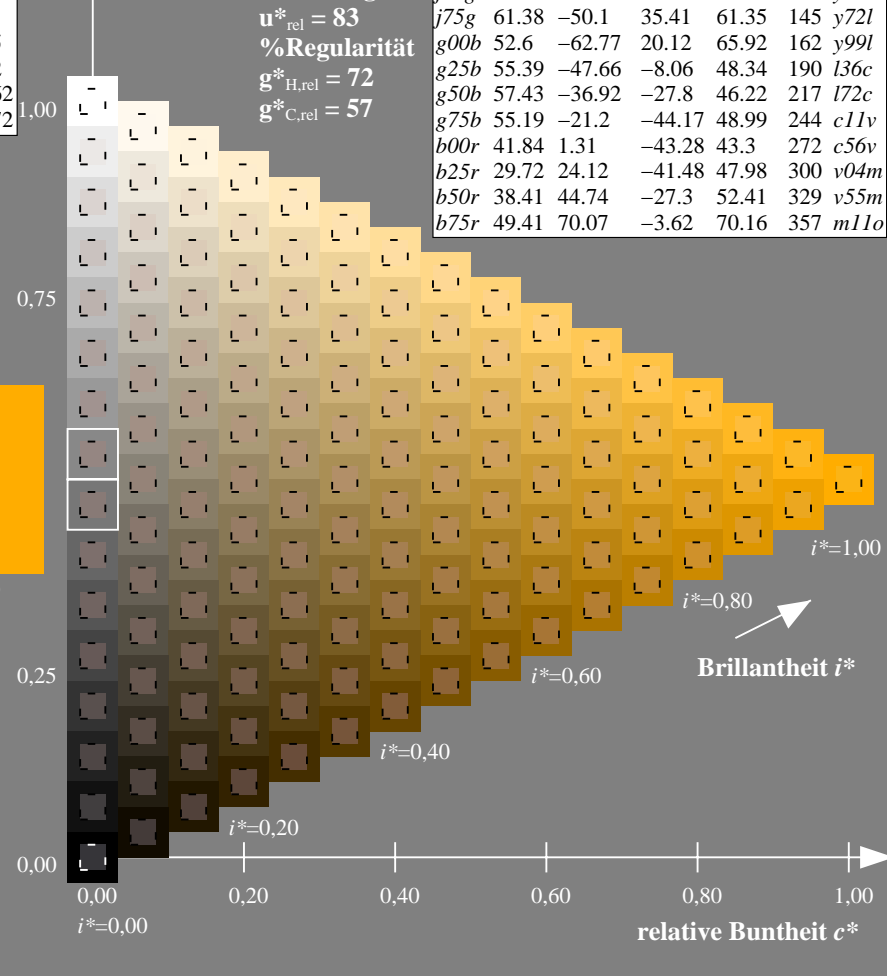
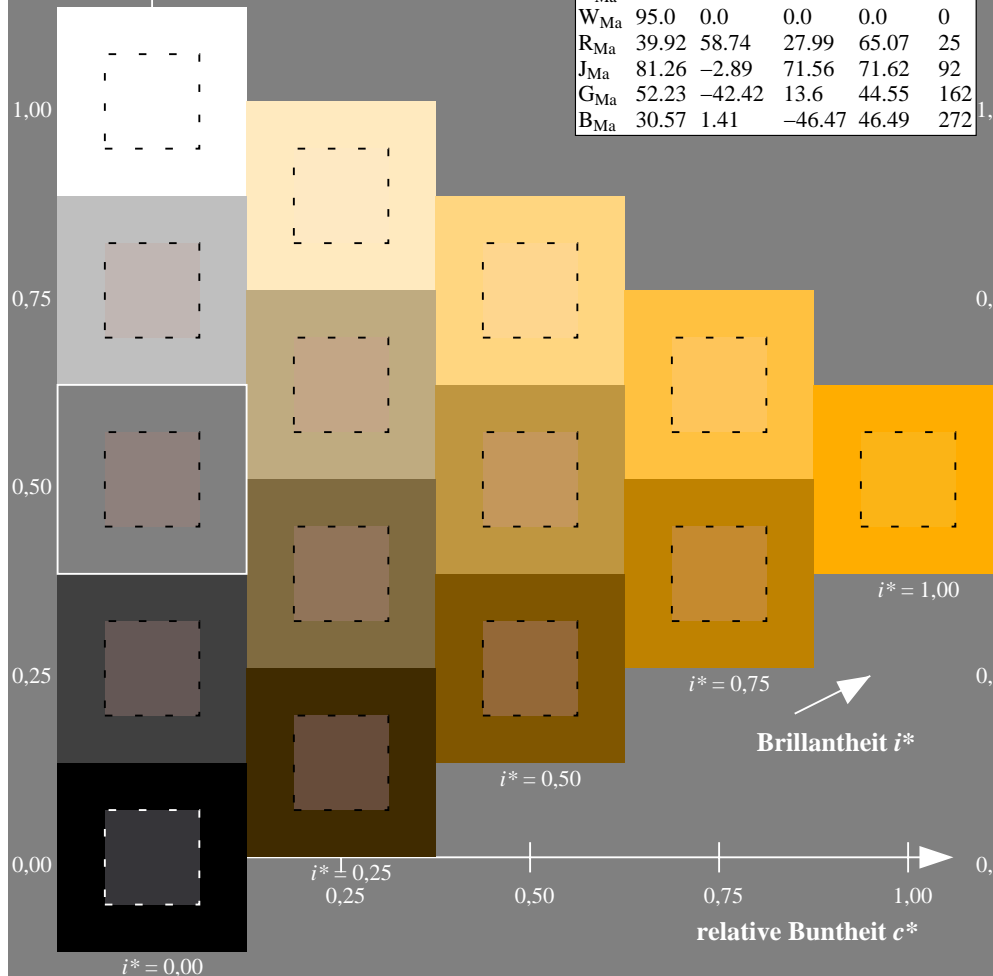
%Regularität

$g^*_{H,rel} = 72$

$g^*_{C,rel} = 57$

ORS20_95a; adaptierte CIELAB-Daten

u^*_e	$L^*=L^*_a$	a^*_a	b^*_a	$C^*_{ab,a}$	$h^*_{ab,a}$	u^*_d
r00j	48.83	63.91	30.45	70.79	25	m84o
r25j	55.53	50.37	45.65	67.97	42	o17y
r50j	64.76	33.86	56.12	65.55	59	o42y
r75j	74.12	17.13	66.74	68.9	76	o67y
j00g	85.5	-3.22	79.65	79.72	92	o92y
j25g	79.45	-24.05	66.85	71.04	110	y20l
j50g	69.75	-38.03	49.98	62.8	127	y46l
j75g	61.38	-50.1	35.41	61.35	145	y72l
g00b	52.6	-62.77	20.12	65.92	162	y99l
g25b	55.39	-47.66	-8.06	48.34	190	l36c
g50b	57.43	-36.92	-27.8	46.22	217	l72c
g75b	55.19	-21.2	-44.17	48.99	244	c11v
b00r	41.84	1.31	-43.28	43.3	272	c56v
b25r	29.72	24.12	-41.48	47.98	300	v04m
b50r	38.41	44.74	-27.3	52.41	329	v55m
b75r	49.41	70.07	-3.62	70.16	357	m11o



Ein und Ausgabe: Farbmetrisches Drucker-Reflektiv-System ORS20_95a für relativen CIELAB-Buntton $h^* = lab^*h^* = h_{ab}/360 = 0.256$

Daten für jede Farbe:

lab^*ch^* und lab^*icu^*

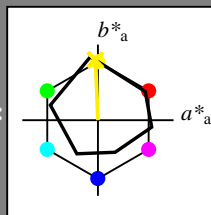
Bunttontexte:

$u^*_e = j00g$ $u^*_d = o92y$

Kontrastreduzierungsfaktor:

$c_R = 0.96$

Dreiecks-Helligkeit i^*



ORS20_95a; adaptierte CIELAB-Daten

u^*_e	$L^*=L^*_a$	a^*_a	b^*_a	$C^*_{ab,a}$	$h^*_{ab,a}$
O _{Ma}	48.71	62.56	37.91	73.15	31
Y _{Ma}	89.25	-9.92	83.91	84.49	97
L _{Ma}	52.5	-62.91	19.95	66.0	162
C _{Ma}	59.15	-27.87	-44.43	52.45	238
V _{Ma}	29.13	22.73	-42.44	48.14	298
M _{Ma}	49.51	71.08	-9.19	71.67	353
N _{Ma}	20.0	0.0	0.0	0.0	0
W _{Ma}	95.0	0.0	0.0	0.0	0
R _{Ma}	39.92	58.74	27.99	65.07	25
J _{Ma}	81.26	-2.89	71.56	71.62	92
G _{Ma}	52.23	-42.42	13.6	44.55	162
B _{Ma}	30.57	1.41	-46.47	46.49	272

Daten für Maximalfarbe (Ma):

$LAB^*LAB^*_{Ma}$: 86 -3 80

$LAB^*LCH^*_{Ma}$: 86 80 92

$lab^*rgb^*_{Ma}$: 1.0 1.0 0.0

$lab^*olv^*_{Ma}$: 1.0 0.93 0.0

Dreiecks-Helligkeit i^*

%Umfang

$u^*_{rel} = 83$

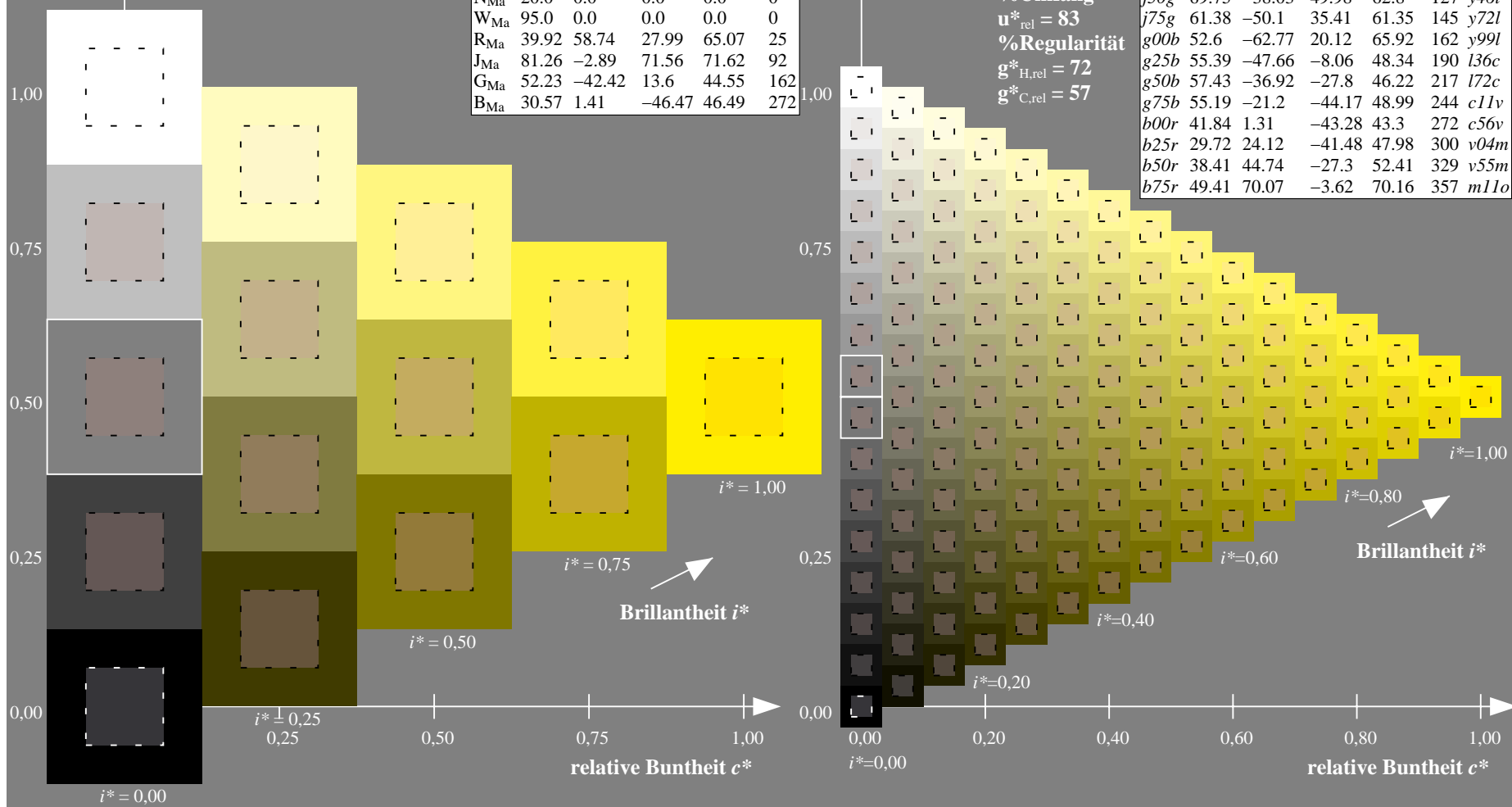
%Regularität

$g^*_{H,rel} = 72$

$g^*_{C,rel} = 57$

ORS20_95a; adaptierte CIELAB-Daten

u^*_e	$L^*=L^*_a$	a^*_a	b^*_a	$C^*_{ab,a}$	$h^*_{ab,a}$	u^*_d
r00j	48.83	63.91	30.45	70.79	25	m84o
r25j	55.53	50.37	45.65	67.97	42	o17y
r50j	64.76	33.86	56.12	65.55	59	o42y
r75j	74.12	17.13	66.74	68.9	76	o67y
j00g	85.5	-3.22	79.65	79.72	92	o92y
j25g	79.45	-24.05	66.85	71.04	110	y20l
j50g	69.75	-38.03	49.98	62.8	127	y46l
j75g	61.38	-50.1	35.41	61.35	145	y72l
g00b	52.6	-62.77	20.12	65.92	162	y99l
g25b	55.39	-47.66	-8.06	48.34	190	l36c
g50b	57.43	-36.92	-27.8	46.22	217	l72c
g75b	55.19	-21.2	-44.17	48.99	244	c11v
b00r	41.84	1.31	-43.28	43.3	272	c56v
b25r	29.72	24.12	-41.48	47.98	300	v04m
b50r	38.41	44.74	-27.3	52.41	329	v55m
b75r	49.41	70.07	-3.62	70.16	357	m11o



Ein und Ausgabe: Farbmetrisches Drucker-Reflektiv-System ORS20_95a für relativen CIELAB-Buntton $h^* = lab^*h^* = h_{ab}/360 = 0.305$

Daten für jede Farbe:

lab^*ch^* und lab^*icu^*

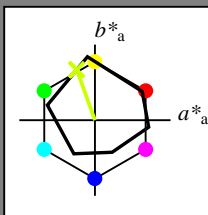
Bunttontexte:

$u^*_e = j25g$ $u^*_d = y20l$

Kontrastreduzierungsfaktor:

$c_R = 0.96$

Dreiecks-Helligkeit i^*



ORS20_95a; adaptierte CIELAB-Daten

u^*_e	$L^*=L^*_a$	a^*_a	b^*_a	$C^*_{ab,a}$	$h^*_{ab,a}$
O _{Ma}	48.71	62.56	37.91	73.15	31
Y _{Ma}	89.25	-9.92	83.91	84.49	97
L _{Ma}	52.5	-62.91	19.95	66.0	162
C _{Ma}	59.15	-27.87	-44.43	52.45	238
V _{Ma}	29.13	22.73	-42.44	48.14	298
M _{Ma}	49.51	71.08	-9.19	71.67	353
N _{Ma}	20.0	0.0	0.0	0.0	0
W _{Ma}	95.0	0.0	0.0	0.0	0
R _{Ma}	39.92	58.74	27.99	65.07	25
J _{Ma}	81.26	-2.89	71.56	71.62	92
G _{Ma}	52.23	-42.42	13.6	44.55	162
B _{Ma}	30.57	1.41	-46.47	46.49	272

Daten für Maximalfarbe (Ma):

LAB^*LAB^*Ma : 79 -24 67

LAB^*LCH^*Ma : 79 71 109

lab^*rgb^*Ma : 0.75 1.0 0.0

lab^*olv^*Ma : 0.8 1.0 0.0

Dreiecks-Helligkeit i^*

%Umfang

$u^*_{rel} = 83$

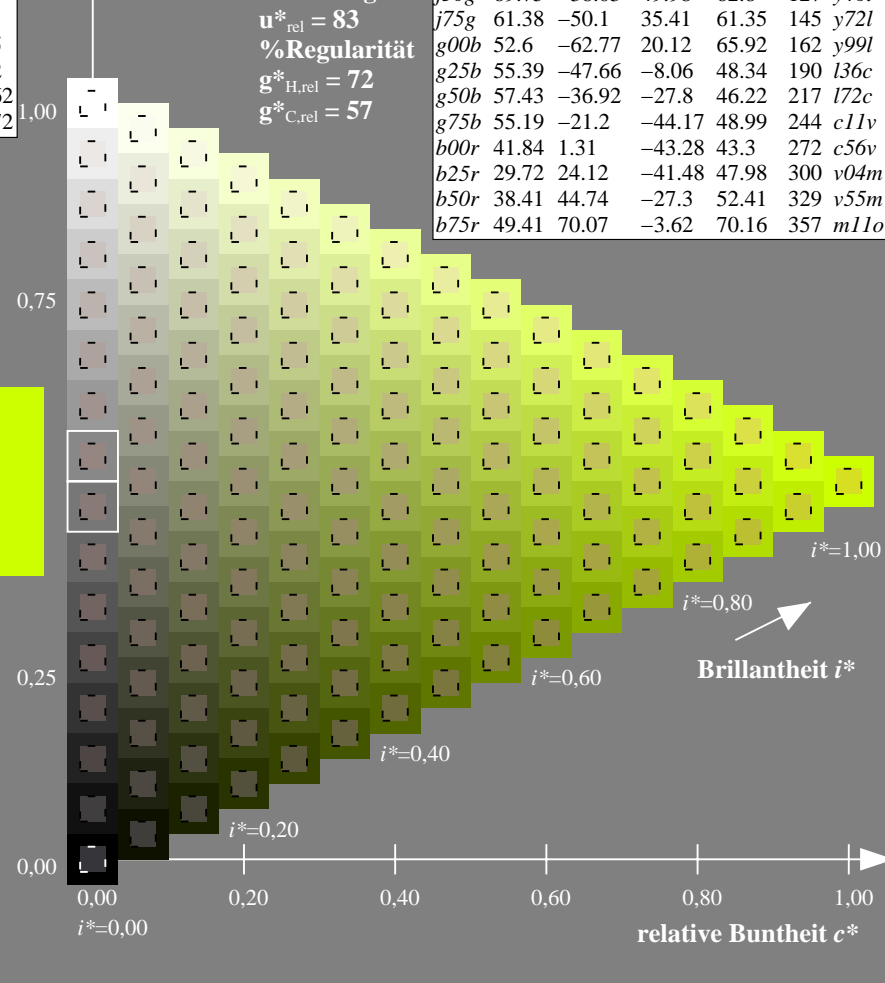
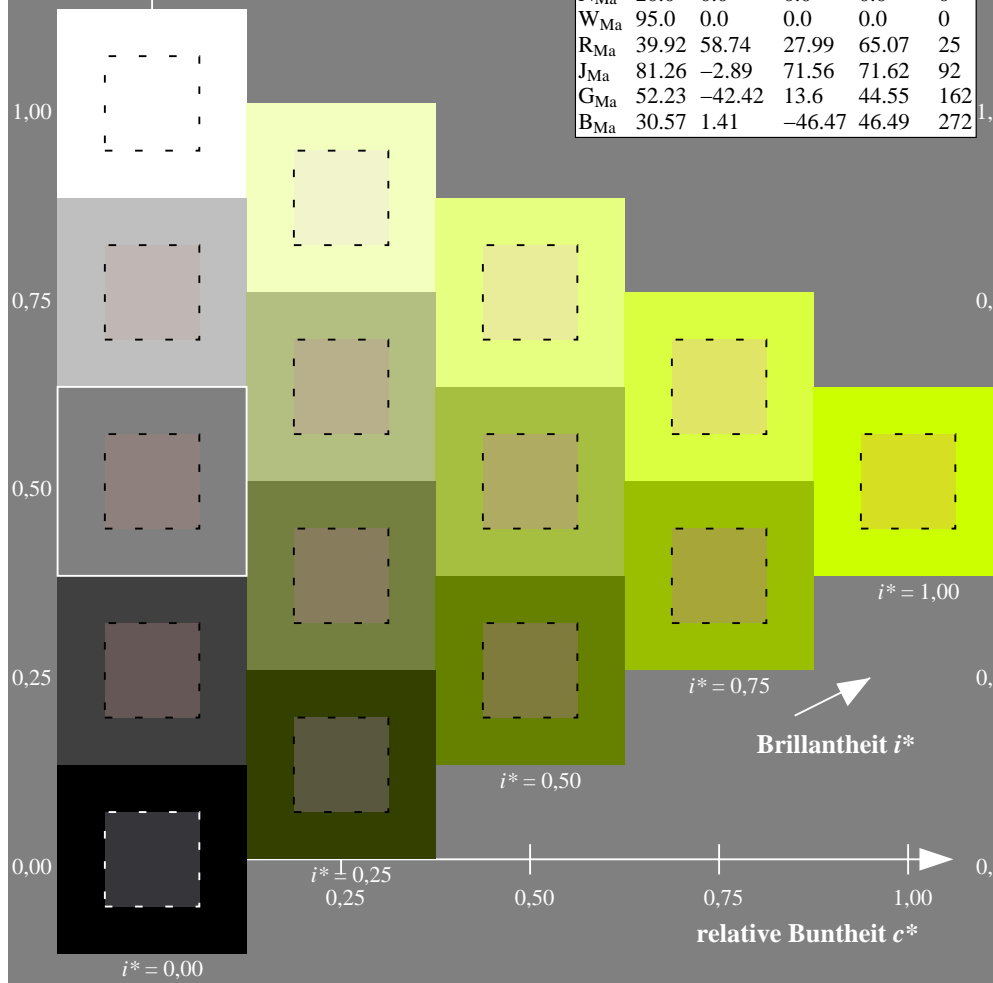
%Regularität

$g^*_{H,rel} = 72$

$g^*_{C,rel} = 57$

ORS20_95a; adaptierte CIELAB-Daten

u^*_e	$L^*=L^*_a$	a^*_a	b^*_a	$C^*_{ab,a}$	$h^*_{ab,a}$	u^*_d
r00j	48.83	63.91	30.45	70.79	25	m84o
r25j	55.53	50.37	45.65	67.97	42	o17y
r50j	64.76	33.86	56.12	65.55	59	o42y
r75j	74.12	17.13	66.74	68.9	76	o67y
j00g	85.5	-3.22	79.65	79.72	92	o92y
j25g	79.45	-24.05	66.85	71.04	110	y20l
j50g	69.75	-38.03	49.98	62.8	127	y46l
j75g	61.38	-50.1	35.41	61.35	145	y72l
g00b	52.6	-62.77	20.12	65.92	162	y99l
g25b	55.39	-47.66	-8.06	48.34	190	l36c
g50b	57.43	-36.92	-27.8	46.22	217	l72c
g75b	55.19	-21.2	-44.17	48.99	244	c11v
b00r	41.84	1.31	-43.28	43.3	272	c56v
b25r	29.72	24.12	-41.48	47.98	300	v04m
b50r	38.41	44.74	-27.3	52.41	329	v55m
b75r	49.41	70.07	-3.62	70.16	357	m11o



Ein und Ausgabe: Farbmetrisches Drucker-Reflektiv-System ORS20_95a für relativen CIELAB-Buntton $h^* = lab^*h^* = h_{ab}/360 = 0.354$

Daten für jede Farbe:

lab^*ch^* und lab^*icu^*

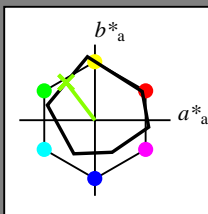
Bunttontexte:

$u^*_e = j50g$ $u^*_d = y46l$

Kontrastreduzierungsfaktor:

$c_R = 0.96$

Dreiecks-Helligkeit i^*



ORS20_95a; adaptierte CIELAB-Daten

u^*_e	$L^*=L^*_a$	a^*_a	b^*_a	$C^*_{ab,a}$	$h^*_{ab,a}$
O _{Ma}	48.71	62.56	37.91	73.15	31
Y _{Ma}	89.25	-9.92	83.91	84.49	97
L _{Ma}	52.5	-62.91	19.95	66.0	162
C _{Ma}	59.15	-27.87	-44.43	52.45	238
V _{Ma}	29.13	22.73	-42.44	48.14	298
M _{Ma}	49.51	71.08	-9.19	71.67	353
N _{Ma}	20.0	0.0	0.0	0.0	0
W _{Ma}	95.0	0.0	0.0	0.0	0
R _{Ma}	39.92	58.74	27.99	65.07	25
J _{Ma}	81.26	-2.89	71.56	71.62	92
G _{Ma}	52.23	-42.42	13.6	44.55	162
B _{Ma}	30.57	1.41	-46.47	46.49	272

Daten für Maximalfarbe (Ma):

$LAB^*LAB^*_{Ma}$: 70 -38 50

$LAB^*LCH^*_{Ma}$: 70 63 127

$lab^*rgb^*_{Ma}$: 0.5 1.0 0.0

$lab^*olv^*_{Ma}$: 0.54 1.0 0.0

Dreiecks-Helligkeit i^*

%Umfang

$u^*_{rel} = 83$

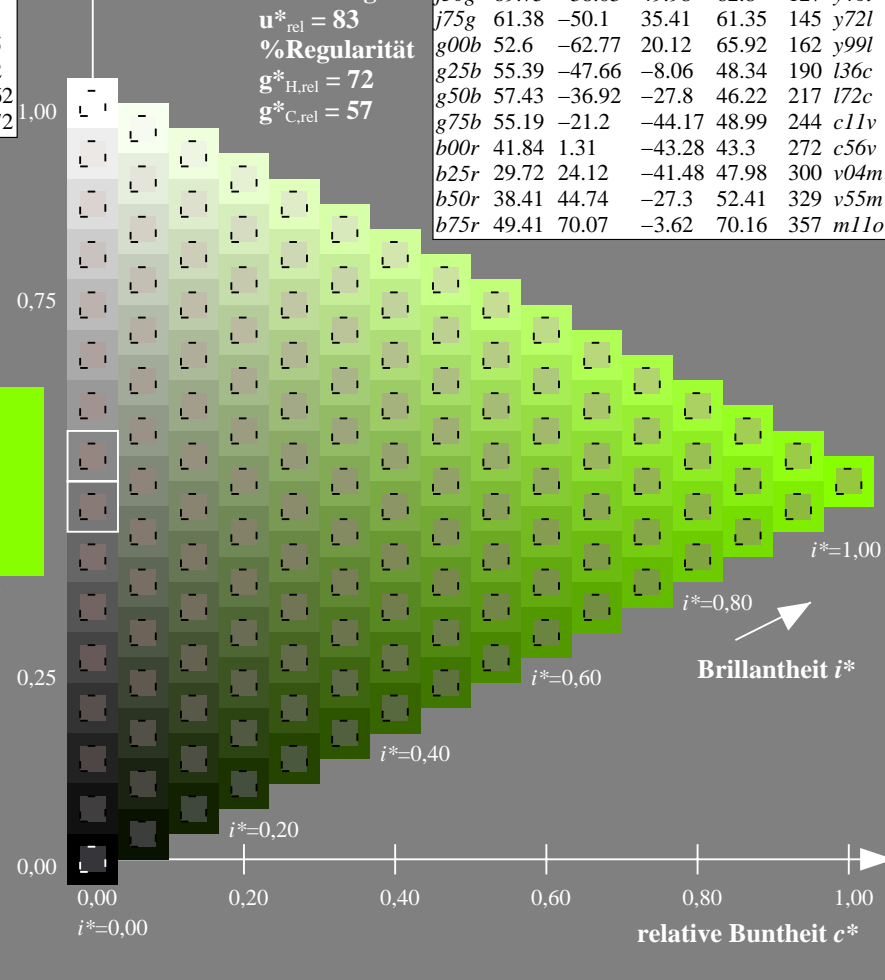
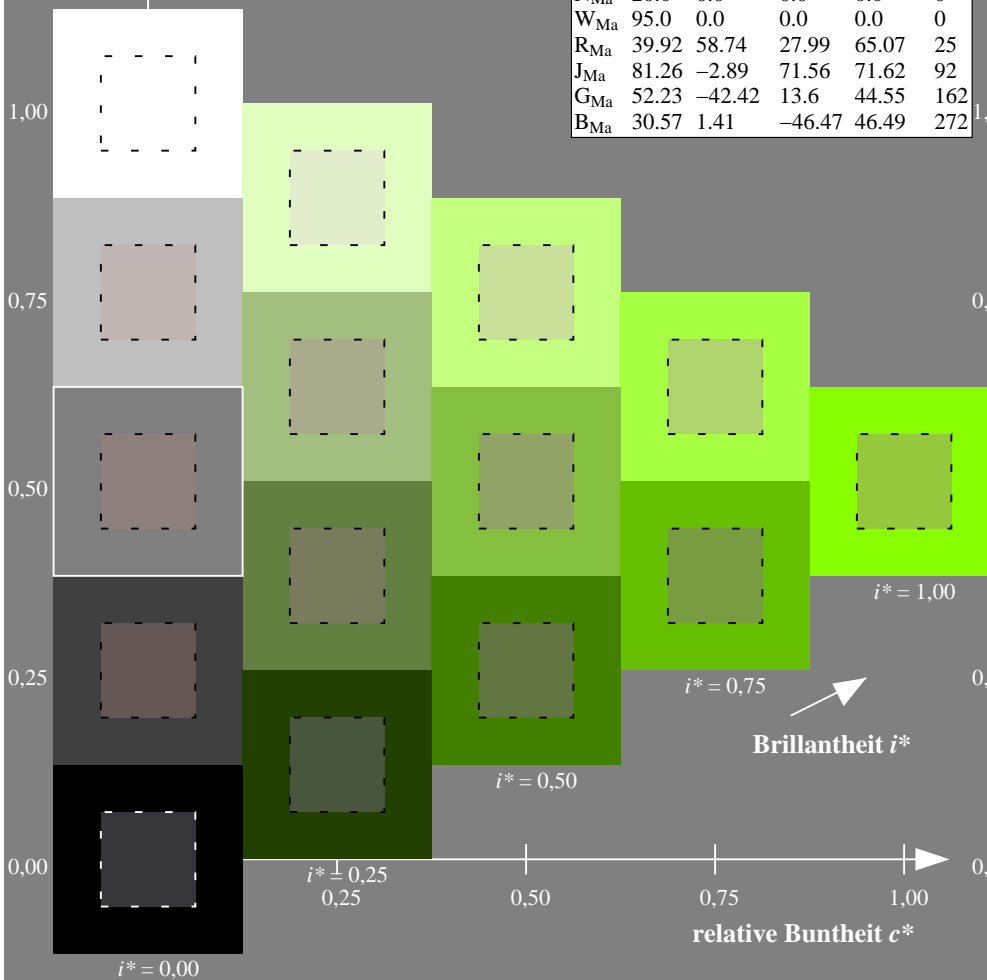
%Regularität

$g^*_{H,rel} = 72$

$g^*_{C,rel} = 57$

ORS20_95a; adaptierte CIELAB-Daten

u^*_e	$L^*=L^*_a$	a^*_a	b^*_a	$C^*_{ab,a}$	$h^*_{ab,a}$	u^*_d
r00j	48.83	63.91	30.45	70.79	25	m84o
r25j	55.53	50.37	45.65	67.97	42	o17y
r50j	64.76	33.86	56.12	65.55	59	o42y
r75j	74.12	17.13	66.74	68.9	76	o67y
j00g	85.5	-3.22	79.65	79.72	92	o92y
j25g	79.45	-24.05	66.85	71.04	110	y20l
j50g	69.75	-38.03	49.98	62.8	127	y46l
j75g	61.38	-50.1	35.41	61.35	145	y72l
g00b	52.6	-62.77	20.12	65.92	162	y99l
g25b	55.39	-47.66	-8.06	48.34	190	l36c
g50b	57.43	-36.92	-27.8	46.22	217	l72c
g75b	55.19	-21.2	-44.17	48.99	244	c11v
b00r	41.84	1.31	-43.28	43.3	272	c56v
b25r	29.72	24.12	-41.48	47.98	300	v04m
b50r	38.41	44.74	-27.3	52.41	329	v55m
b75r	49.41	70.07	-3.62	70.16	357	m11o



Ein und Ausgabe: Farbmetrisches Drucker-Reflektiv-System ORS20_95a für relativen CIELAB-Buntton $h^* = lab^*h^* = h_{ab}/360 = 0.402$

Daten für jede Farbe:

lab^*tch^* und lab^*icu^*

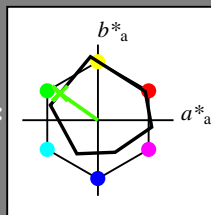
Bunttontexte:

$u^*_e = j75g$ $u^*_d = y72l$

Kontrastreduzierungsfaktor:

$c_R = 0.96$

Dreiecks-Helligkeit i^*



ORS20_95a; adaptierte CIELAB-Daten

u^*_e	$L^*=L^*_a$	a^*_a	b^*_a	$C^*_{ab,a}$	$h^*_{ab,a}$
O _{Ma}	48.71	62.56	37.91	73.15	31
Y _{Ma}	89.25	-9.92	83.91	84.49	97
L _{Ma}	52.5	-62.91	19.95	66.0	162
C _{Ma}	59.15	-27.87	-44.43	52.45	238
V _{Ma}	29.13	22.73	-42.44	48.14	298
M _{Ma}	49.51	71.08	-9.19	71.67	353
N _{Ma}	20.0	0.0	0.0	0.0	0
W _{Ma}	95.0	0.0	0.0	0.0	0
R _{Ma}	39.92	58.74	27.99	65.07	25
J _{Ma}	81.26	-2.89	71.56	71.62	92
G _{Ma}	52.23	-42.42	13.6	44.55	162
B _{Ma}	30.57	1.41	-46.47	46.49	272

Daten für Maximalfarbe (Ma):

LAB^*LAB^*Ma : 61 -50 35

LAB^*LCH^*Ma : 61 61 144

lab^*rgb^*Ma : 0.25 1.0 0.0

lab^*olv^*Ma : 0.27 1.0 0.0

Dreiecks-Helligkeit i^*

%Umfang

$u^*_{rel} = 83$

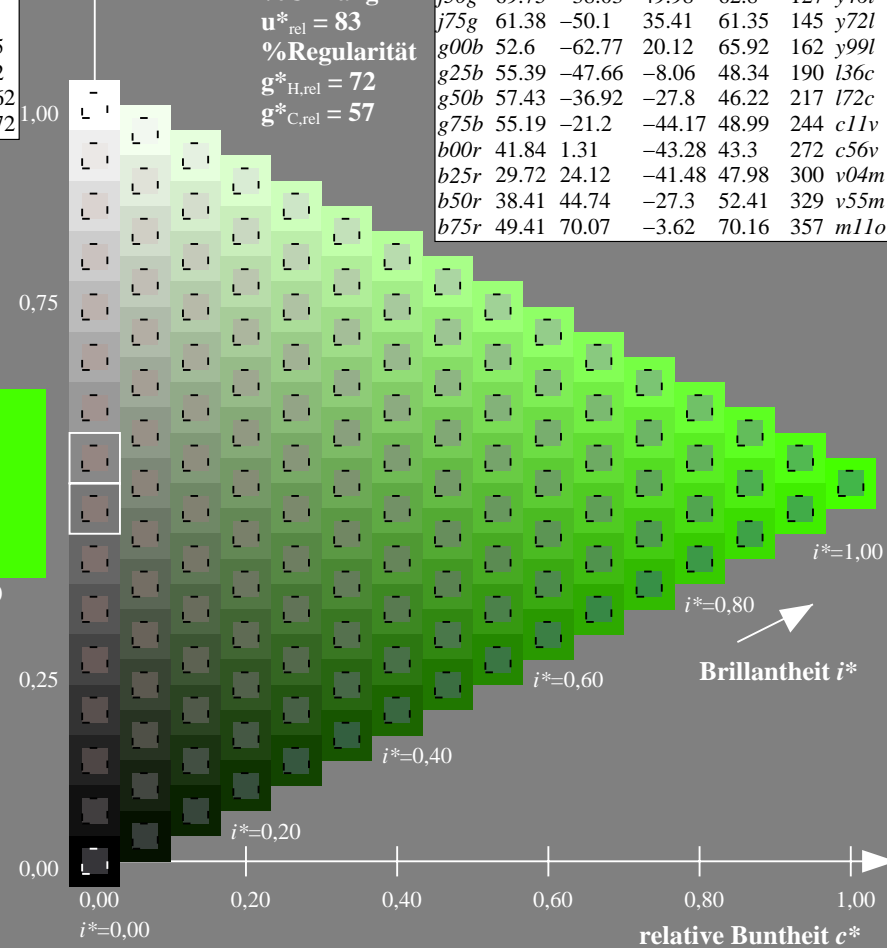
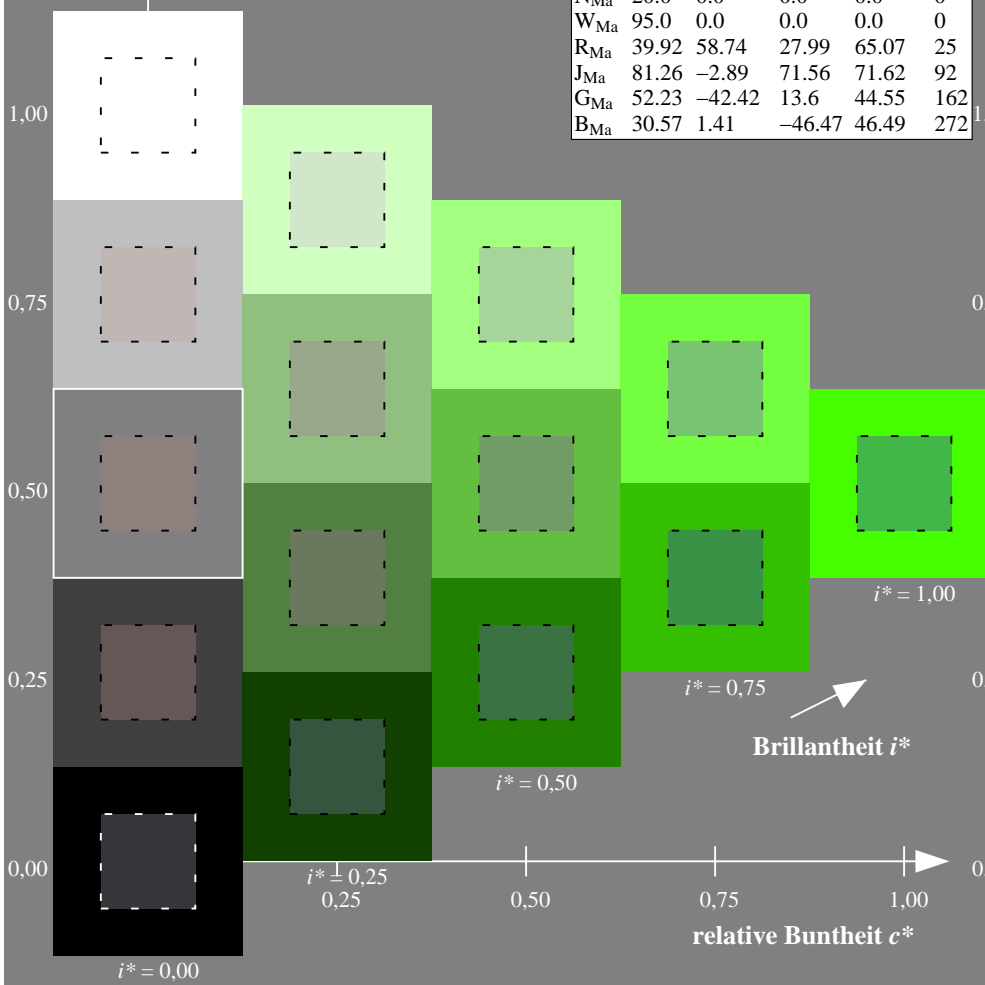
%Regularität

$g^*_{H,rel} = 72$

$g^*_{C,rel} = 57$

ORS20_95a; adaptierte CIELAB-Daten

u^*_e	$L^*=L^*_a$	a^*_a	b^*_a	$C^*_{ab,a}$	$h^*_{ab,a}$	u^*_d
r00j	48.83	63.91	30.45	70.79	25	m84o
r25j	55.53	50.37	45.65	67.97	42	o17y
r50j	64.76	33.86	56.12	65.55	59	o42y
r75j	74.12	17.13	66.74	68.9	76	o67y
j00g	85.5	-3.22	79.65	79.72	92	o92y
j25g	79.45	-24.05	66.85	71.04	110	y20l
j50g	69.75	-38.03	49.98	62.8	127	y46l
j75g	61.38	-50.1	35.41	61.35	145	y72l
g00b	52.6	-62.77	20.12	65.92	162	y99l
g25b	55.39	-47.66	-8.06	48.34	190	l36c
g50b	57.43	-36.92	-27.8	46.22	217	l72c
g75b	55.19	-21.2	-44.17	48.99	244	c11v
b00r	41.84	1.31	-43.28	43.3	272	c56v
b25r	29.72	24.12	-41.48	47.98	300	v04m
b50r	38.41	44.74	-27.3	52.41	329	v55m
b75r	49.41	70.07	-3.62	70.16	357	m11o



Ein und Ausgabe: Farbmimetrisches Drucker-Reflektiv-System ORS20_95a für relativen CIELAB-Buntton $h^* = lab^*h^* = h_{ab}/360 = 0.451$

Daten für jede Farbe:

lab^*tch^* und lab^*icu^*

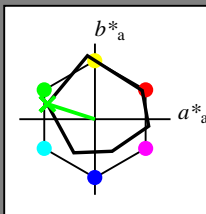
Bunttontexte:

$u^*_e = g00b$ $u^*_d = y99l$

Kontrastreduzierungsfaktor:

$c_R = 0.96$

Dreiecks-Helligkeit i^*



ORS20_95a; adaptierte CIELAB-Daten

u^*_e	$L^*=L^*_a$	a^*_a	b^*_a	$C^*_{ab,a}$	$h^*_{ab,a}$
O _{Ma}	48.71	62.56	37.91	73.15	31
Y _{Ma}	89.25	-9.92	83.91	84.49	97
L _{Ma}	52.5	-62.91	19.95	66.0	162
C _{Ma}	59.15	-27.87	-44.43	52.45	238
V _{Ma}	29.13	22.73	-42.44	48.14	298
M _{Ma}	49.51	71.08	-9.19	71.67	353
N _{Ma}	20.0	0.0	0.0	0.0	0
W _{Ma}	95.0	0.0	0.0	0.0	0
R _{Ma}	39.92	58.74	27.99	65.07	25
J _{Ma}	81.26	-2.89	71.56	71.62	92
G _{Ma}	52.23	-42.42	13.6	44.55	162
B _{Ma}	30.57	1.41	-46.47	46.49	272

Daten für Maximalfarbe (Ma):

$LAB^*LAB^*_{Ma}$: 53 -63 20

$LAB^*LCH^*_{Ma}$: 53 66 162

$lab^*rgb^*_{Ma}$: 0.0 1.0 0.0

$lab^*olv^*_{Ma}$: 0.0 1.0 0.0

Dreiecks-Helligkeit i^*

%Umfang

$u^*_{rel} = 83$

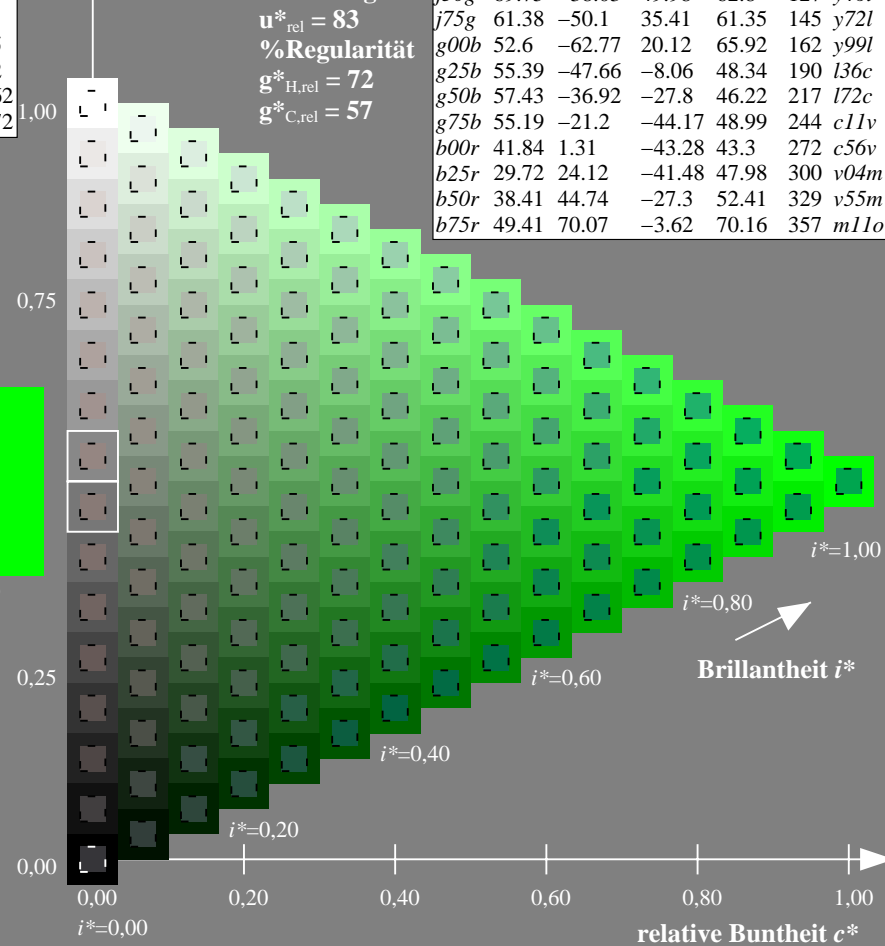
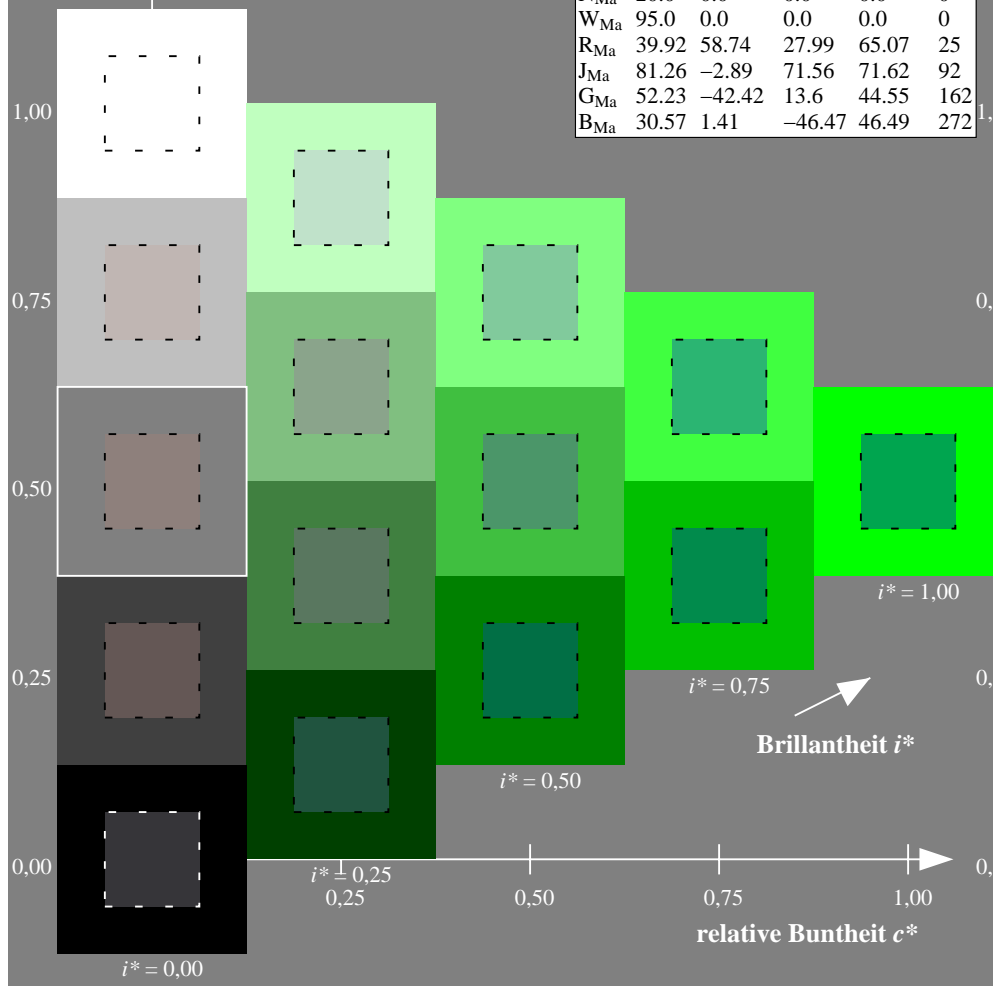
%Regularität

$g^*_{H,rel} = 72$

$g^*_{C,rel} = 57$

ORS20_95a; adaptierte CIELAB-Daten

u^*_e	$L^*=L^*_a$	a^*_a	b^*_a	$C^*_{ab,a}$	$h^*_{ab,a}$	u^*_d
r00j	48.83	63.91	30.45	70.79	25	m84o
r25j	55.53	50.37	45.65	67.97	42	o17y
r50j	64.76	33.86	56.12	65.55	59	o42y
r75j	74.12	17.13	66.74	68.9	76	o67y
j00g	85.5	-3.22	79.65	79.72	92	o92y
j25g	79.45	-24.05	66.85	71.04	110	y20l
j50g	69.75	-38.03	49.98	62.8	127	y46l
j75g	61.38	-50.1	35.41	61.35	145	y72l
g00b	52.6	-62.77	20.12	65.92	162	y99l
g25b	55.39	-47.66	-8.06	48.34	190	l36c
g50b	57.43	-36.92	-27.8	46.22	217	l72c
g75b	55.19	-21.2	-44.17	48.99	244	c11v
b00r	41.84	1.31	-43.28	43.3	272	c56v
b25r	29.72	24.12	-41.48	47.98	300	v04m
b50r	38.41	44.74	-27.3	52.41	329	v55m
b75r	49.41	70.07	-3.62	70.16	357	m11o



Ein und Ausgabe: Farbmetrisches Drucker-Reflektiv-System ORS20_95a für relativen CIELAB-Buntton $h^* = lab^*h^* = h_{ab}/360 = 0.527$

Daten für jede Farbe:

lab^*tch^* und lab^*icu^*

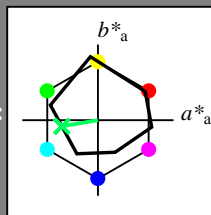
Bunttontexte:

$u^*_e = g25b$ $u^*_d = l36c$

Kontrastreduzierungsfaktor:

$c_R = 0.96$

Dreiecks-Helligkeit i^*



ORS20_95a; adaptierte CIELAB-Daten

u^*_e	$L^*=L^*_a$	a^*_a	b^*_a	$C^*_{ab,a}$	$h^*_{ab,a}$
O _{Ma}	48.71	62.56	37.91	73.15	31
Y _{Ma}	89.25	-9.92	83.91	84.49	97
L _{Ma}	52.5	-62.91	19.95	66.0	162
C _{Ma}	59.15	-27.87	-44.43	52.45	238
V _{Ma}	29.13	22.73	-42.44	48.14	298
M _{Ma}	49.51	71.08	-9.19	71.67	353
N _{Ma}	20.0	0.0	0.0	0.0	0
W _{Ma}	95.0	0.0	0.0	0.0	0
R _{Ma}	39.92	58.74	27.99	65.07	25
J _{Ma}	81.26	-2.89	71.56	71.62	92
G _{Ma}	52.23	-42.42	13.6	44.55	162
B _{Ma}	30.57	1.41	-46.47	46.49	272

Daten für Maximalfarbe (Ma):

$LAB^*LAB^*_{Ma}$: 55 -48 -8

$LAB^*LCH^*_{Ma}$: 55 48 189

$lab^*rgb^*_{Ma}$: 0.0 1.0 0.5

$lab^*olv^*_{Ma}$: 0.0 1.0 0.36

Dreiecks-Helligkeit i^*

%Umfang

$u^*_{rel} = 83$

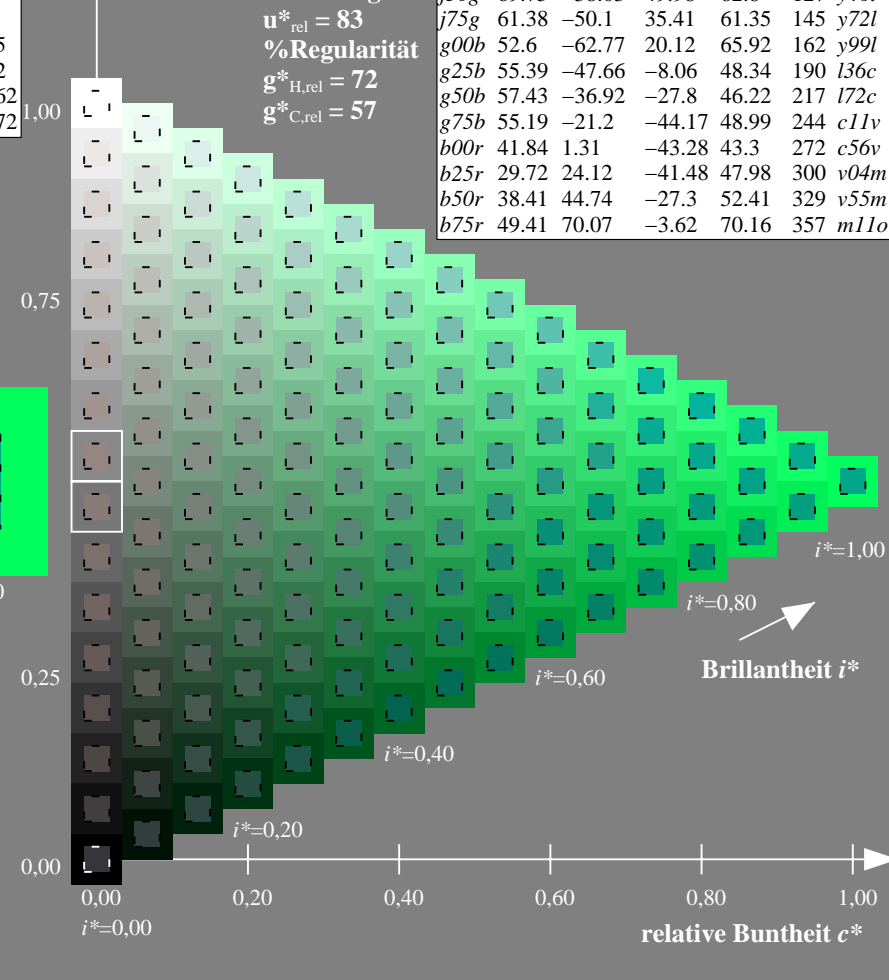
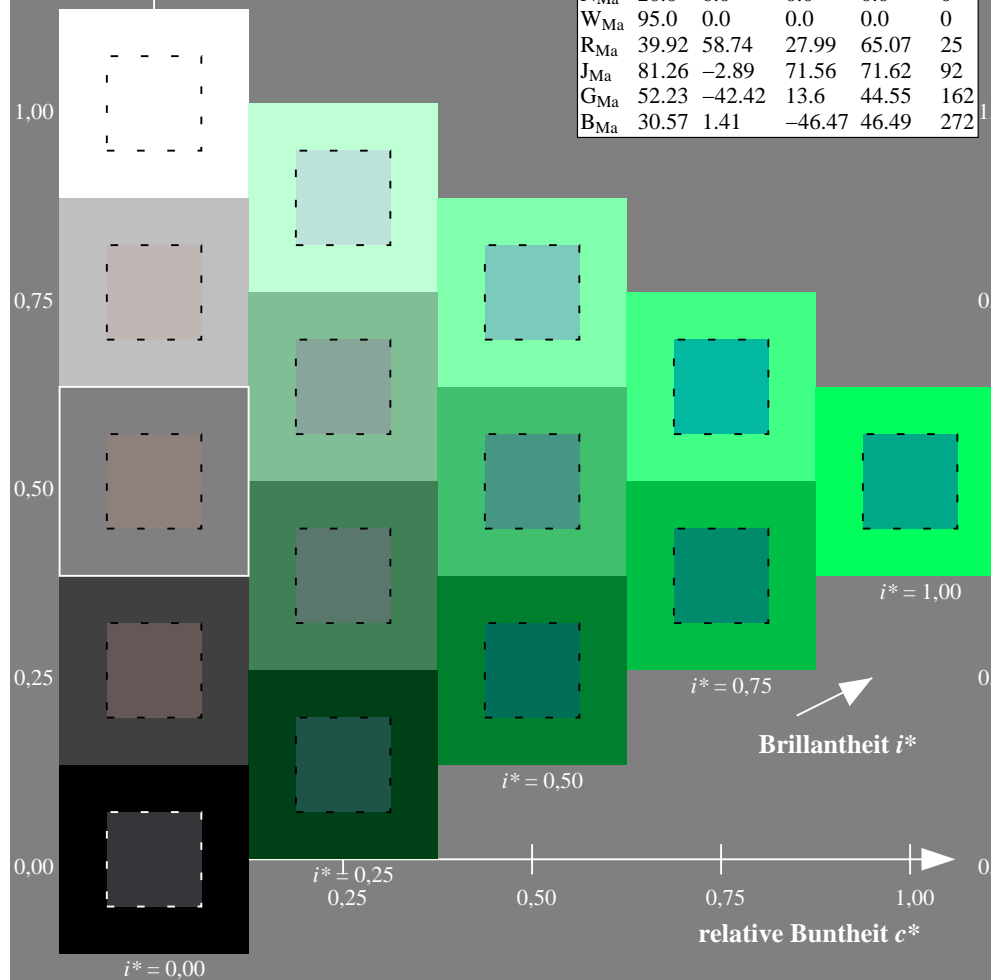
%Regularität

$g^*_{H,rel} = 72$

$g^*_{C,rel} = 57$

ORS20_95a; adaptierte CIELAB-Daten

u^*_e	$L^*=L^*_a$	a^*_a	b^*_a	$C^*_{ab,a}$	$h^*_{ab,a}$	u^*_d
r00j	48.83	63.91	30.45	70.79	25	m84o
r25j	55.53	50.37	45.65	67.97	42	o17y
r50j	64.76	33.86	56.12	65.55	59	o42y
r75j	74.12	17.13	66.74	68.9	76	o67y
j00g	85.5	-3.22	79.65	79.72	92	o92y
j25g	79.45	-24.05	66.85	71.04	110	y20l
j50g	69.75	-38.03	49.98	62.8	127	y46l
j75g	61.38	-50.1	35.41	61.35	145	y72l
g00b	52.6	-62.77	20.12	65.92	162	y99l
g25b	55.39	-47.66	-8.06	48.34	190	l36c
g50b	57.43	-36.92	-27.8	46.22	217	l72c
g75b	55.19	-21.2	-44.17	48.99	244	c11v
b00r	41.84	1.31	-43.28	43.3	272	c56v
b25r	29.72	24.12	-41.48	47.98	300	v04m
b50r	38.41	44.74	-27.3	52.41	329	v55m
b75r	49.41	70.07	-3.62	70.16	357	m11o



Ein und Ausgabe: Farbmetrisches Drucker-Reflektiv-System ORS20_95a für relativen CIELAB-Buntton $h^* = lab^*h^* = h_{ab}/360 = 0.603$

Daten für jede Farbe:

lab^*ch^* und lab^*icu^*

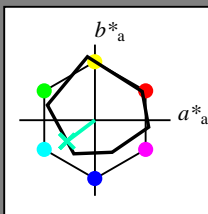
Bunttontexte:

$u^*_e = g50b$ $u^*_d = l72c$

Kontrastreduzierungsfaktor:

$c_R = 0.96$

Dreiecks-Helligkeit i^*



ORS20_95a; adaptierte CIELAB-Daten						
u^*_e	$L^*=L^*_a$	a^*_a	b^*_a	$C^*_{ab,a}$	$h^*_{ab,a}$	
O _{Ma}	48.71	62.56	37.91	73.15	31	
Y _{Ma}	89.25	-9.92	83.91	84.49	97	
L _{Ma}	52.5	-62.91	19.95	66.0	162	
C _{Ma}	59.15	-27.87	-44.43	52.45	238	
V _{Ma}	29.13	22.73	-42.44	48.14	298	
M _{Ma}	49.51	71.08	-9.19	71.67	353	
N _{Ma}	20.0	0.0	0.0	0.0	0	
W _{Ma}	95.0	0.0	0.0	0.0	0	
R _{Ma}	39.92	58.74	27.99	65.07	25	
J _{Ma}	81.26	-2.89	71.56	71.62	92	
G _{Ma}	52.23	-42.42	13.6	44.55	162	
B _{Ma}	30.57	1.41	-46.47	46.49	272	

Daten für Maximalfarbe (Ma):

$LAB^*LAB^*_{Ma}$: 57 -37 -28

$LAB^*LCH^*_{Ma}$: 57 46 216

$lab^*rgb^*_{Ma}$: 0.0 1.0 1.0

$lab^*olv^*_{Ma}$: 0.0 1.0 0.72

Dreiecks-Helligkeit i^*

%Umfang

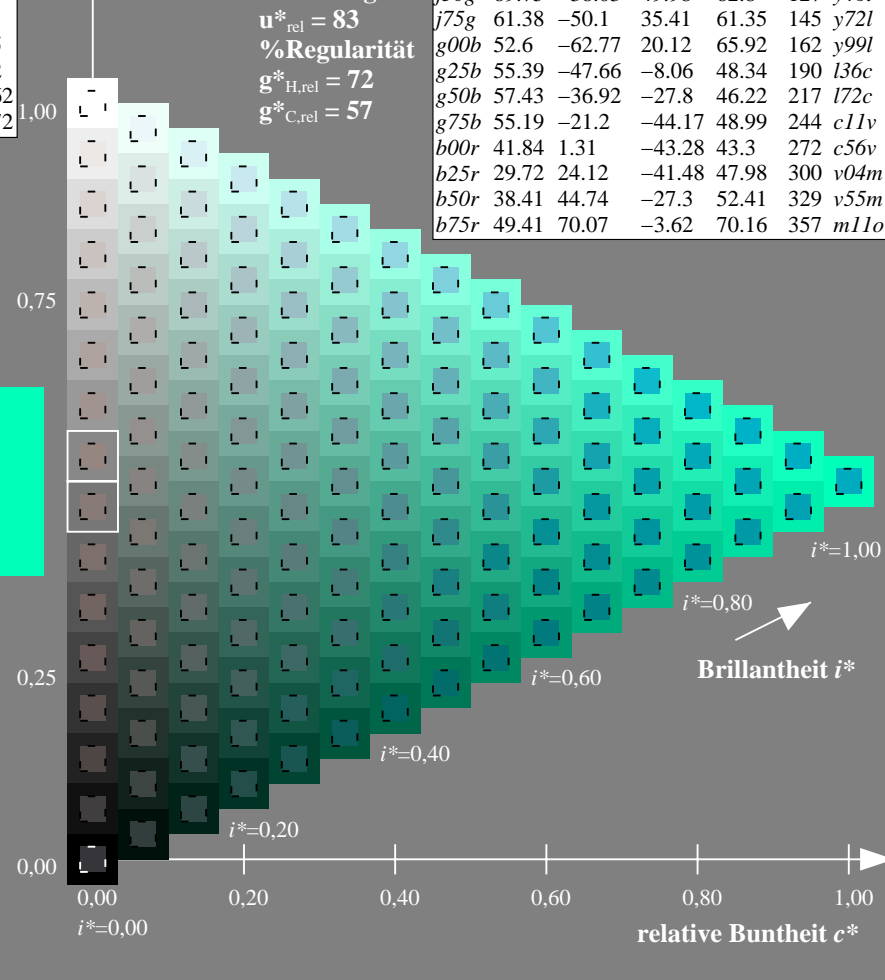
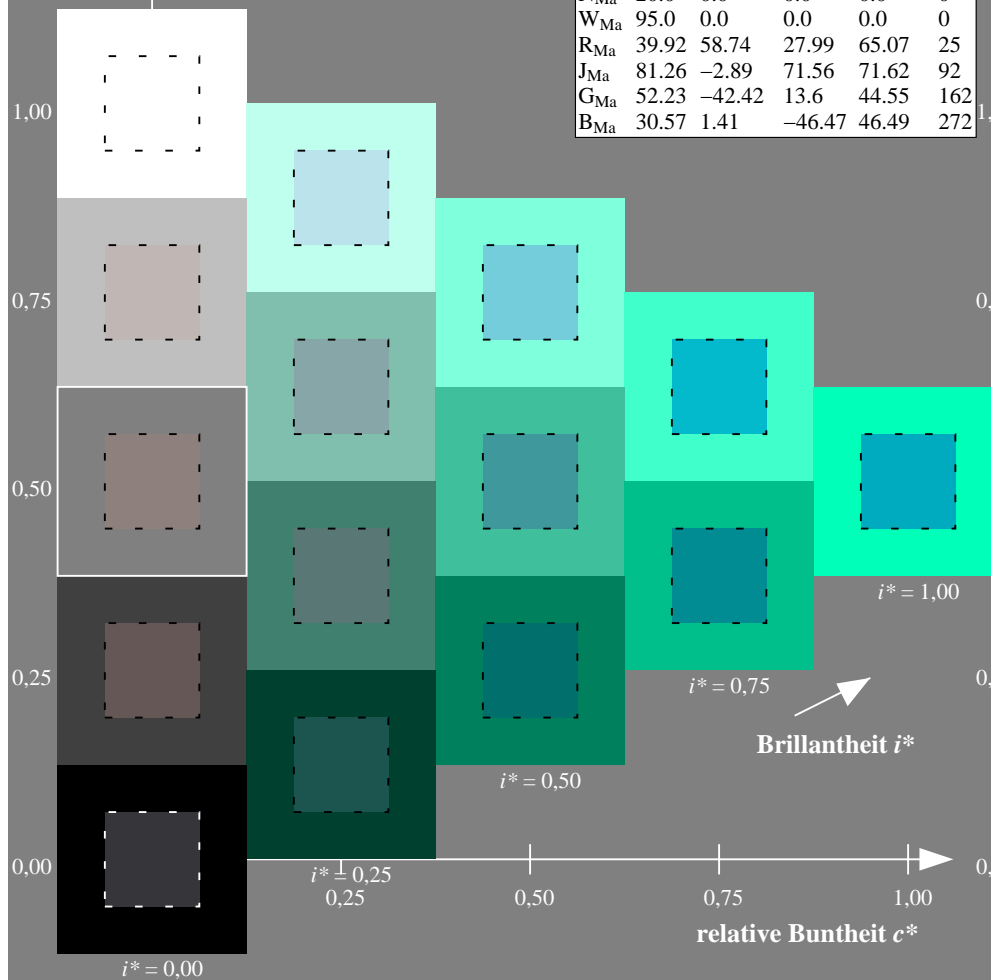
$u^*_{rel} = 83$

%Regularität

$g^*_{H,rel} = 72$

$g^*_{C,rel} = 57$

ORS20_95a; adaptierte CIELAB-Daten						
u^*_e	$L^*=L^*_a$	a^*_a	b^*_a	$C^*_{ab,a}$	$h^*_{ab,a}$	u^*_d
r00j	48.83	63.91	30.45	70.79	25	m84o
r25j	55.53	50.37	45.65	67.97	42	o17y
r50j	64.76	33.86	56.12	65.55	59	o42y
r75j	74.12	17.13	66.74	68.9	76	o67y
j00g	85.5	-3.22	79.65	79.72	92	o92y
j25g	79.45	-24.05	66.85	71.04	110	y20l
j50g	69.75	-38.03	49.98	62.8	127	y46l
j75g	61.38	-50.1	35.41	61.35	145	y72l
g00b	52.6	-62.77	20.12	65.92	162	y99l
g25b	55.39	-47.66	-8.06	48.34	190	l36c
g50b	57.43	-36.92	-27.8	46.22	217	l72c
g75b	55.19	-21.2	-44.17	48.99	244	c11v
b00r	41.84	1.31	-43.28	43.3	272	c56v
b25r	29.72	24.12	-41.48	47.98	300	v04m
b50r	38.41	44.74	-27.3	52.41	329	v55m
b75r	49.41	70.07	-3.62	70.16	357	m11o



Ein und Ausgabe: Farbmetrisches Drucker-Reflektiv-System ORS20_95a für relativen CIELAB-Buntton $h^* = lab^*h^* = h_{ab}/360 = 0.679$

Daten für jede Farbe:

lab^*ch^* und lab^*icu^*

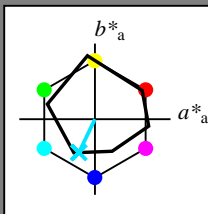
Bunttontexte:

$u^*_e = g75b$ $u^*_d = c11v$

Kontrastreduzierungsfaktor:

$c_R = 0.96$

Dreiecks-Helligkeit i^*



ORS20_95a; adaptierte CIELAB-Daten

u^*_e	$L^*=L^*_a$	a^*_a	b^*_a	$C^*_{ab,a}$	$h^*_{ab,a}$
O _{Ma}	48.71	62.56	37.91	73.15	31
Y _{Ma}	89.25	-9.92	83.91	84.49	97
L _{Ma}	52.5	-62.91	19.95	66.0	162
C _{Ma}	59.15	-27.87	-44.43	52.45	238
V _{Ma}	29.13	22.73	-42.44	48.14	298
M _{Ma}	49.51	71.08	-9.19	71.67	353
N _{Ma}	20.0	0.0	0.0	0.0	0
W _{Ma}	95.0	0.0	0.0	0.0	0
R _{Ma}	39.92	58.74	27.99	65.07	25
J _{Ma}	81.26	-2.89	71.56	71.62	92
G _{Ma}	52.23	-42.42	13.6	44.55	162
B _{Ma}	30.57	1.41	-46.47	46.49	272

Daten für Maximalfarbe (Ma):

$LAB^*LAB^*_{Ma}$: 55 -21 -44

$LAB^*LCH^*_{Ma}$: 55 49 244

$lab^*rgb^*_{Ma}$: 0.0 0.5 1.0

$lab^*olv^*_{Ma}$: 0.0 0.89 1.0

Dreiecks-Helligkeit i^*

%Umfang

$u^*_{rel} = 83$

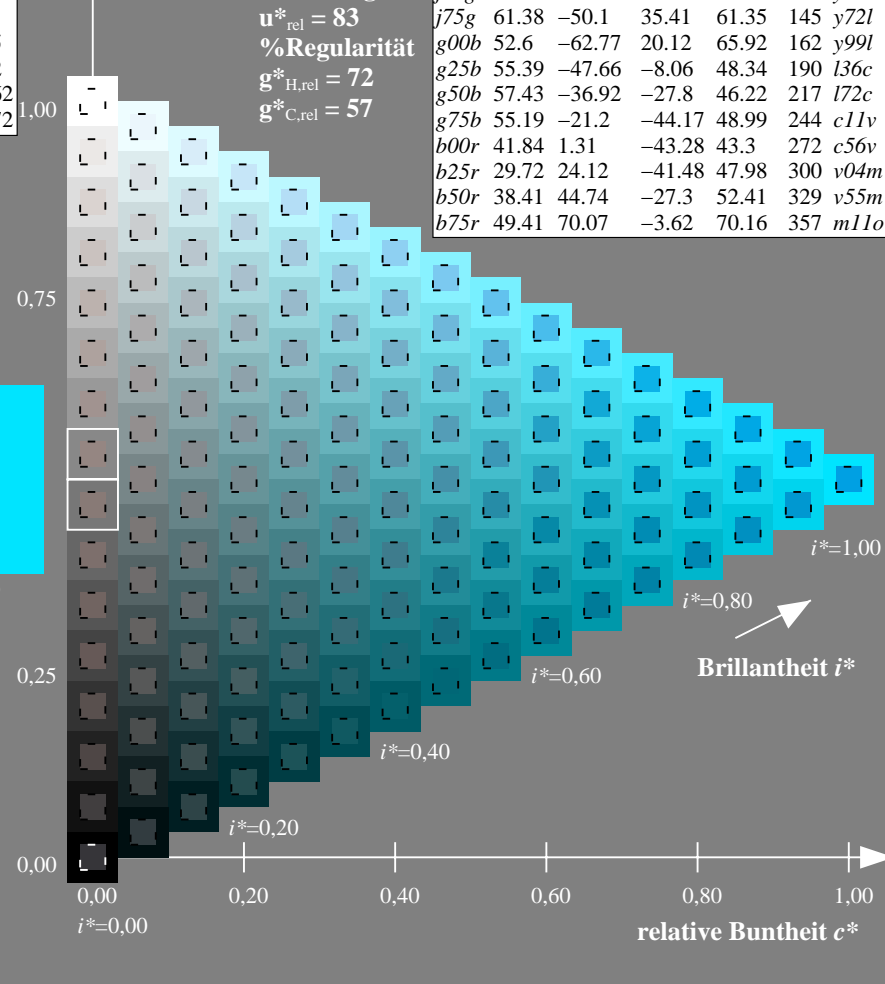
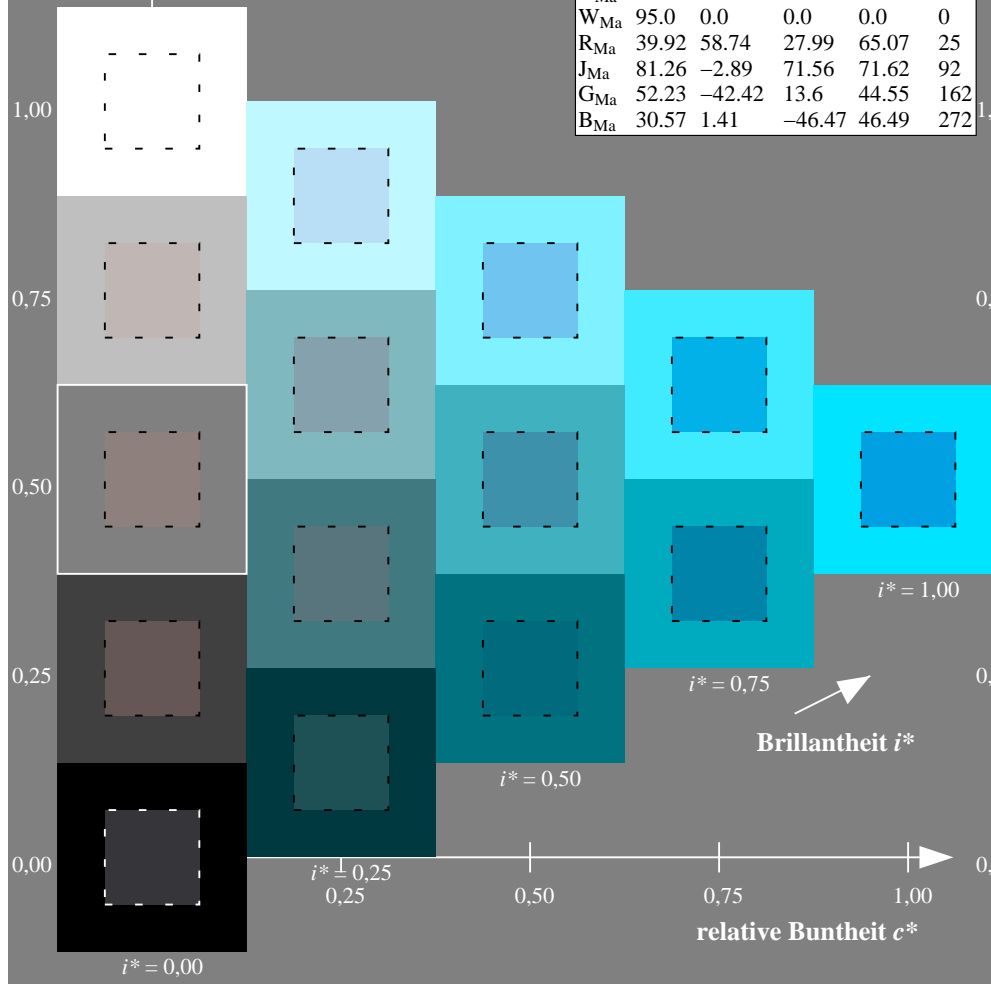
%Regularität

$g^*_{H,rel} = 72$

$g^*_{C,rel} = 57$

ORS20_95a; adaptierte CIELAB-Daten

u^*_e	$L^*=L^*_a$	a^*_a	b^*_a	$C^*_{ab,a}$	$h^*_{ab,a}$	u^*_d
r00j	48.83	63.91	30.45	70.79	25	m84o
r25j	55.53	50.37	45.65	67.97	42	o17y
r50j	64.76	33.86	56.12	65.55	59	o42y
r75j	74.12	17.13	66.74	68.9	76	o67y
j00g	85.5	-3.22	79.65	79.72	92	o92y
j25g	79.45	-24.05	66.85	71.04	110	y20l
j50g	69.75	-38.03	49.98	62.8	127	y46l
j75g	61.38	-50.1	35.41	61.35	145	y72l
g00b	52.6	-62.77	20.12	65.92	162	y99l
g25b	55.39	-47.66	-8.06	48.34	190	l36c
g50b	57.43	-36.92	-27.8	46.22	217	l72c
g75b	55.19	-21.2	-44.17	48.99	244	c11v
b00r	41.84	1.31	-43.28	43.3	272	c56v
b25r	29.72	24.12	-41.48	47.98	300	v04m
b50r	38.41	44.74	-27.3	52.41	329	v55m
b75r	49.41	70.07	-3.62	70.16	357	m11o



Ein und Ausgabe: Farbmetrisches Drucker-Reflektiv-System ORS20_95a für relativen CIELAB-Buntton $h^* = lab^*h^* = h_{ab}/360 = 0.755$

Daten für jede Farbe:

lab^*ch^* und lab^*icu^*

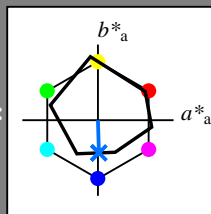
Bunttontexte:

$u^*_e = b00r$ $u^*_d = c56v$

Kontrastreduzierungsfaktor:

$c_R = 0.96$

Dreiecks-Helligkeit i^*



ORS20_95a; adaptierte CIELAB-Daten						
u^*_e	$L^*=L^*_a$	a^*_a	b^*_a	$C^*_{ab,a}$	$h^*_{ab,a}$	
O _{Ma}	48.71	62.56	37.91	73.15	31	
Y _{Ma}	89.25	-9.92	83.91	84.49	97	
L _{Ma}	52.5	-62.91	19.95	66.0	162	
C _{Ma}	59.15	-27.87	-44.43	52.45	238	
V _{Ma}	29.13	22.73	-42.44	48.14	298	
M _{Ma}	49.51	71.08	-9.19	71.67	353	
N _{Ma}	20.0	0.0	0.0	0.0	0	
W _{Ma}	95.0	0.0	0.0	0.0	0	
R _{Ma}	39.92	58.74	27.99	65.07	25	
J _{Ma}	81.26	-2.89	71.56	71.62	92	
G _{Ma}	52.23	-42.42	13.6	44.55	162	
B _{Ma}	30.57	1.41	-46.47	46.49	272	

Daten für Maximalfarbe (Ma):

$LAB^*LAB^*_{Ma}$: 42 1 -43

$LAB^*LCH^*_{Ma}$: 42 43 271

$lab^*rgb^*_{Ma}$: 0.0 0.0 1.0

$lab^*olv^*_{Ma}$: 0.0 0.44 1.0

Dreiecks-Helligkeit i^*

%Umfang

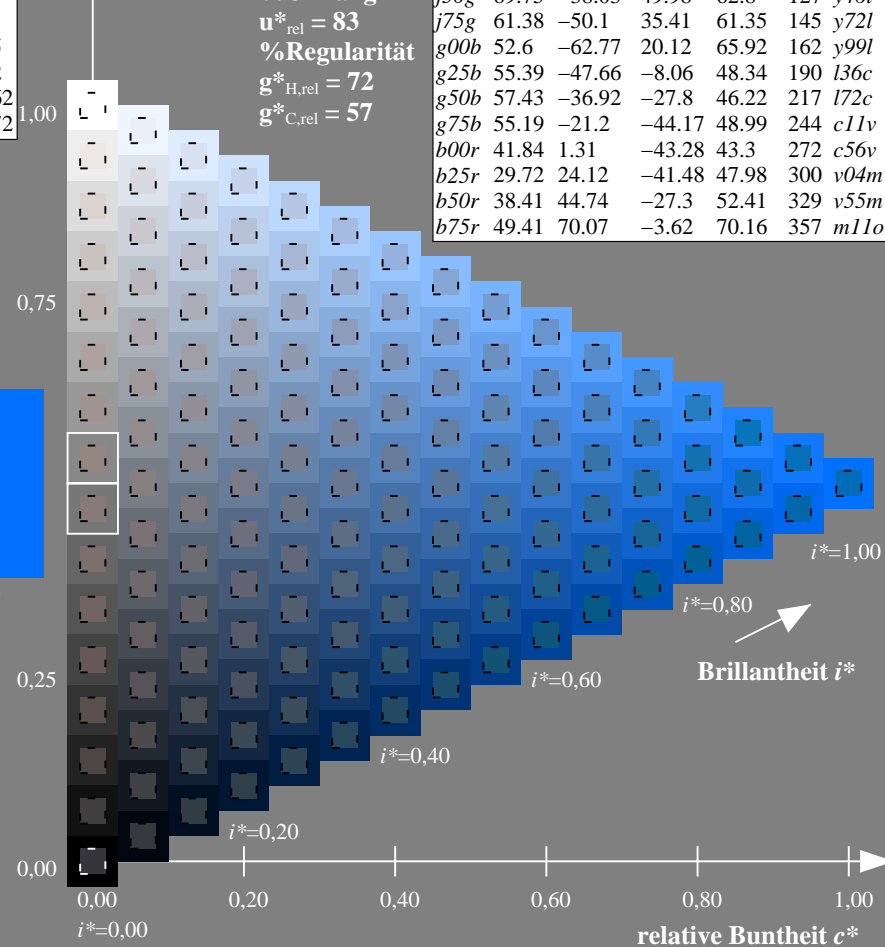
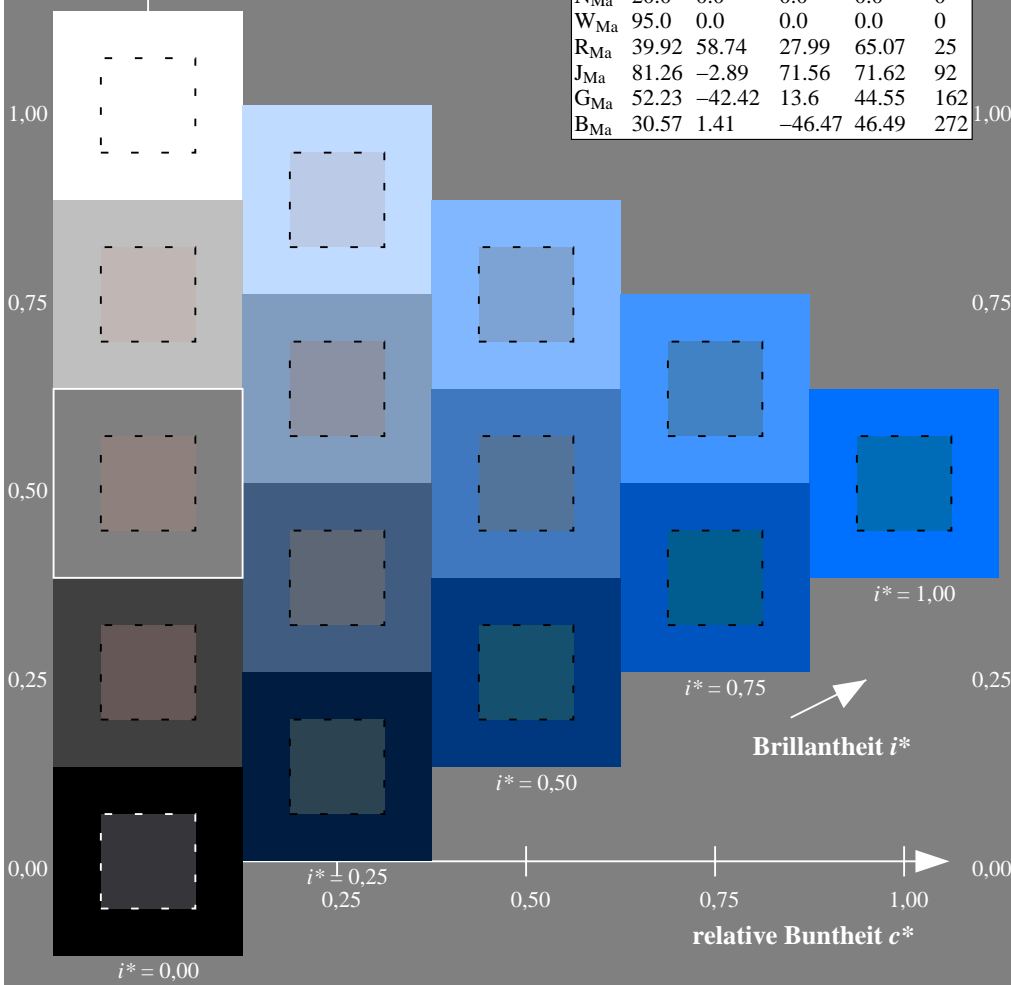
$u^*_{rel} = 83$

%Regularität

$g^*_{H,rel} = 72$

$g^*_{C,rel} = 57$

ORS20_95a; adaptierte CIELAB-Daten						
u^*_e	$L^*=L^*_a$	a^*_a	b^*_a	$C^*_{ab,a}$	$h^*_{ab,a}$	u^*_d
r00j	48.83	63.91	30.45	70.79	25	m84o
r25j	55.53	50.37	45.65	67.97	42	o17y
r50j	64.76	33.86	56.12	65.55	59	o42y
r75j	74.12	17.13	66.74	68.9	76	o67y
j00g	85.5	-3.22	79.65	79.72	92	o92y
j25g	79.45	-24.05	66.85	71.04	110	y20l
j50g	69.75	-38.03	49.98	62.8	127	y46l
j75g	61.38	-50.1	35.41	61.35	145	y72l
g00b	52.6	-62.77	20.12	65.92	162	y99l
g25b	55.39	-47.66	-8.06	48.34	190	l36c
g50b	57.43	-36.92	-27.8	46.22	217	l72c
g75b	55.19	-21.2	-44.17	48.99	244	c11v
b00r	41.84	1.31	-43.28	43.3	272	c56v
b25r	29.72	24.12	-41.48	47.98	300	v04m
b50r	38.41	44.74	-27.3	52.41	329	v55m
b75r	49.41	70.07	-3.62	70.16	357	m11o



Ein und Ausgabe: Farbmetrisches Drucker-Reflektiv-System ORS20_95a für relativen CIELAB-Buntton $h^* = lab^*h^* = h_{ab}/360 = 0.834$

Daten für jede Farbe:

lab^*ch^* und lab^*icu^*

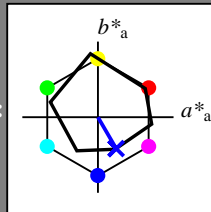
Bunttontexte:

$u^*_e = b25r$ $u^*_d = v04m$

Kontrastreduzierungsfaktor:

$c_R = 0.96$

Dreiecks-Helligkeit i^*



ORS20_95a; adaptierte CIELAB-Daten

u^*_e	$L^*=L^*_a$	a^*_a	b^*_a	$C^*_{ab,a}$	$h^*_{ab,a}$
O _{Ma}	48.71	62.56	37.91	73.15	31
Y _{Ma}	89.25	-9.92	83.91	84.49	97
L _{Ma}	52.5	-62.91	19.95	66.0	162
C _{Ma}	59.15	-27.87	-44.43	52.45	238
V _{Ma}	29.13	22.73	-42.44	48.14	298
M _{Ma}	49.51	71.08	-9.19	71.67	353
N _{Ma}	20.0	0.0	0.0	0.0	0
W _{Ma}	95.0	0.0	0.0	0.0	0
R _{Ma}	39.92	58.74	27.99	65.07	25
J _{Ma}	81.26	-2.89	71.56	71.62	92
G _{Ma}	52.23	-42.42	13.6	44.55	162
B _{Ma}	30.57	1.41	-46.47	46.49	272

Daten für Maximalfarbe (Ma):

$LAB^*LAB^*_{Ma}$: 30 24 -41

$LAB^*LCH^*_{Ma}$: 30 48 300

$lab^*rgb^*_{Ma}$: 0.5 0.0 1.0

$lab^*olv^*_{Ma}$: 0.04 0.0 1.0

Dreiecks-Helligkeit i^*

%Umfang

$u^*_{rel} = 83$

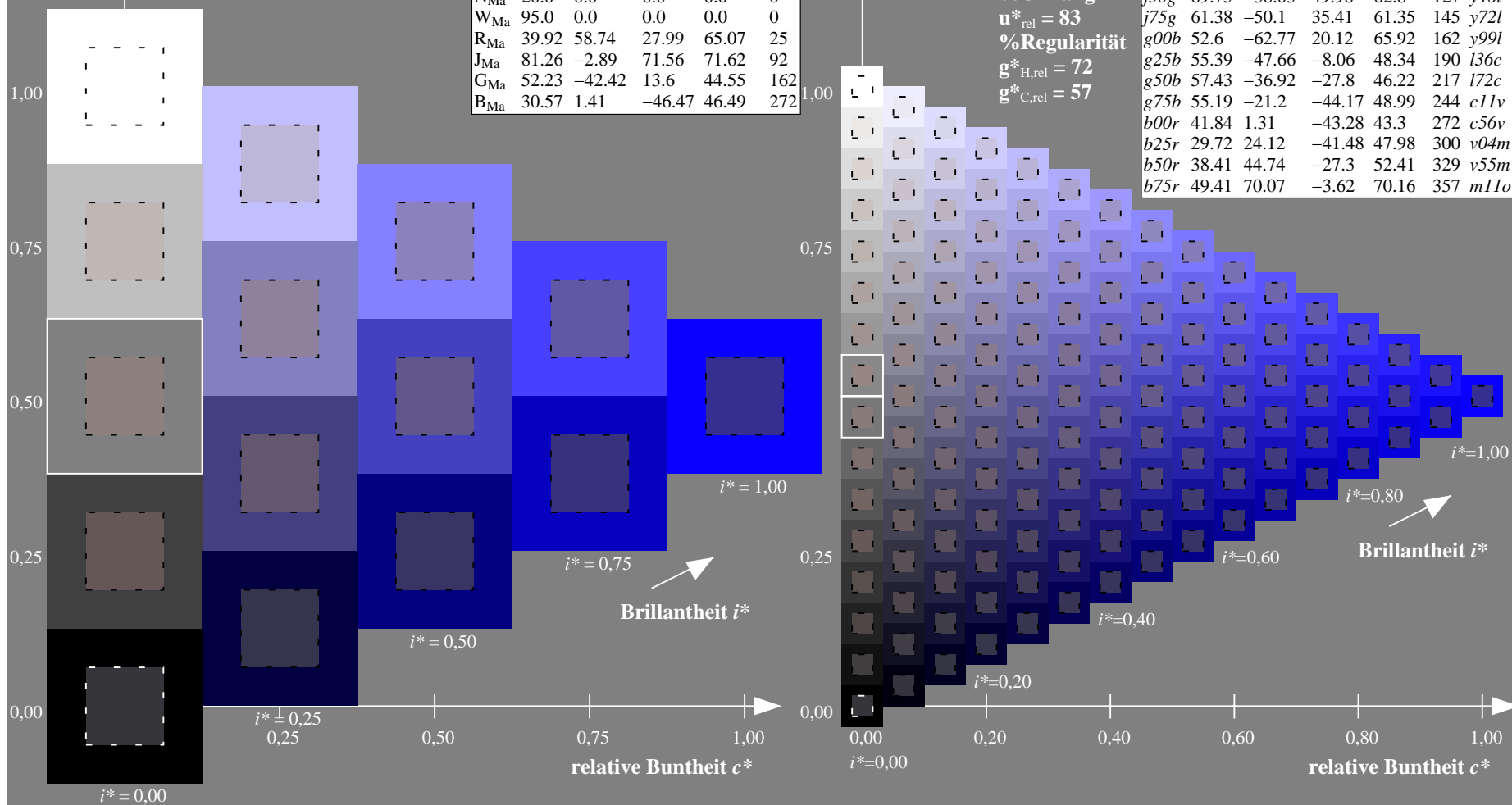
%Regularität

$g^*_{H,rel} = 72$

$g^*_{C,rel} = 57$

ORS20_95a; adaptierte CIELAB-Daten

u^*_e	$L^*=L^*_a$	a^*_a	b^*_a	$C^*_{ab,a}$	$h^*_{ab,a}$	u^*_d
r00j	48.83	63.91	30.45	70.79	25	m84o
r25j	55.53	50.37	45.65	67.97	42	o17y
r50j	64.76	33.86	56.12	65.55	59	o42y
r75j	74.12	17.13	66.74	68.9	76	o67y
j00g	85.5	-3.22	79.65	79.72	92	o92y
j25g	79.45	-24.05	66.85	71.04	110	y20l
j50g	69.75	-38.03	49.98	62.8	127	y46l
j75g	61.38	-50.1	35.41	61.35	145	y72l
g00b	52.6	-62.77	20.12	65.92	162	y99l
g25b	55.39	-47.66	-8.06	48.34	190	l36c
g50b	57.43	-36.92	-27.8	46.22	217	l72c
g75b	55.19	-21.2	-44.17	48.99	244	c11v
b00r	41.84	1.31	-43.28	43.3	272	c56v
b25r	29.72	24.12	-41.48	47.98	300	v04m
b50r	38.41	44.74	-27.3	52.41	329	v55m
b75r	49.41	70.07	-3.62	70.16	357	m11o



Ein und Ausgabe: Farbmetrisches Drucker-Reflektiv-System ORS20_95a für relativen CIELAB-Buntton $h^* = lab^*h^* = h_{ab}/360 = 0.913$

Daten für jede Farbe:

lab^*ch^* und lab^*icu^*

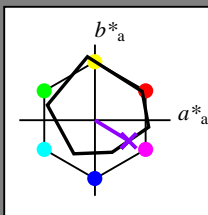
Bunttontexte:

$u^*_e = b50r$ $u^*_d = v55m$

Kontrastreduzierungsfaktor:

$c_R = 0.96$

Dreiecks-Helligkeit i^*



ORS20_95a; adaptierte CIELAB-Daten

u^*_e	$L^*=L^*_a$	a^*_a	b^*_a	$C^*_{ab,a}$	$h^*_{ab,a}$
O _{Ma}	48.71	62.56	37.91	73.15	31
Y _{Ma}	89.25	-9.92	83.91	84.49	97
L _{Ma}	52.5	-62.91	19.95	66.0	162
C _{Ma}	59.15	-27.87	-44.43	52.45	238
V _{Ma}	29.13	22.73	-42.44	48.14	298
M _{Ma}	49.51	71.08	-9.19	71.67	353
N _{Ma}	20.0	0.0	0.0	0.0	0
W _{Ma}	95.0	0.0	0.0	0.0	0
R _{Ma}	39.92	58.74	27.99	65.07	25
J _{Ma}	81.26	-2.89	71.56	71.62	92
G _{Ma}	52.23	-42.42	13.6	44.55	162
B _{Ma}	30.57	1.41	-46.47	46.49	272

Daten für Maximalfarbe (Ma):

$LAB^*LAB^*_{Ma}$: 38 45 -27

$LAB^*LCH^*_{Ma}$: 38 52 328

$lab^*rgb^*_{Ma}$: 1.0 0.0 1.0

$lab^*olv^*_{Ma}$: 0.56 0.0 1.0

Dreiecks-Helligkeit i^*

%Umfang

$u^*_{rel} = 83$

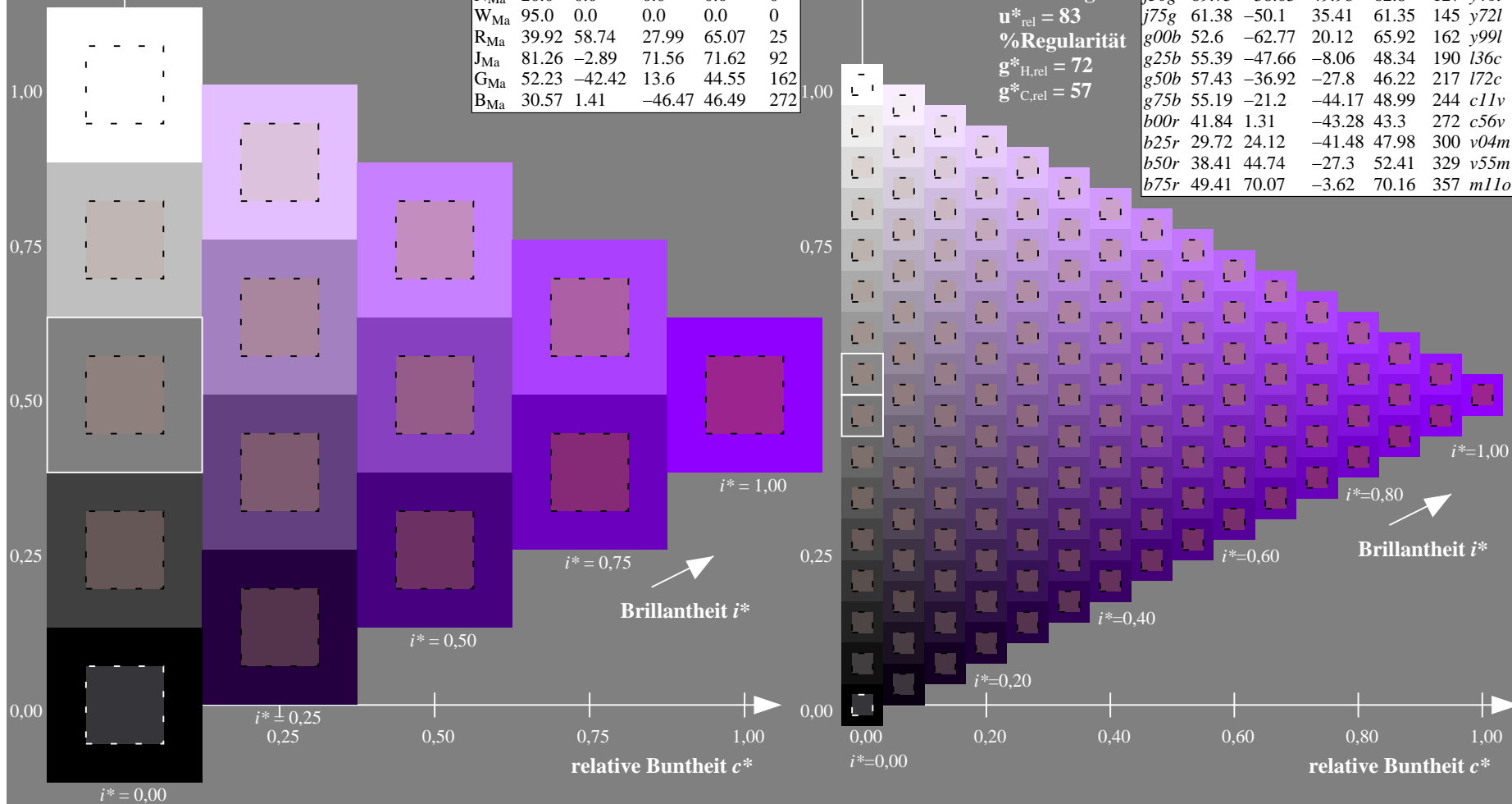
%Regularität

$g^*_{H,rel} = 72$

$g^*_{C,rel} = 57$

ORS20_95a; adaptierte CIELAB-Daten

u^*_e	$L^*=L^*_a$	a^*_a	b^*_a	$C^*_{ab,a}$	$h^*_{ab,a}$	u^*_d
r00j	48.83	63.91	30.45	70.79	25	m84o
r25j	55.53	50.37	45.65	67.97	42	o17y
r50j	64.76	33.86	56.12	65.55	59	o42y
r75j	74.12	17.13	66.74	68.9	76	o67y
j00g	85.5	-3.22	79.65	79.72	92	o92y
j25g	79.45	-24.05	66.85	71.04	110	y20l
j50g	69.75	-38.03	49.98	62.8	127	y46l
j75g	61.38	-50.1	35.41	61.35	145	y72l
g00b	52.6	-62.77	20.12	65.92	162	y99l
g25b	55.39	-47.66	-8.06	48.34	190	l36c
g50b	57.43	-36.92	-27.8	46.22	217	l72c
g75b	55.19	-21.2	-44.17	48.99	244	c11v
b00r	41.84	1.31	-43.28	43.3	272	c56v
b25r	29.72	24.12	-41.48	47.98	300	v04m
b50r	38.41	44.74	-27.3	52.41	329	v55m
b75r	49.41	70.07	-3.62	70.16	357	m11o



Ein und Ausgabe: Farbmetrisches Drucker-Reflektiv-System ORS20_95a für relativen CIELAB-Buntton $h^* = lab^*h^* = h_{ab}/360 = 0.992$

Daten für jede Farbe:

lab^*ch^* und lab^*icu^*

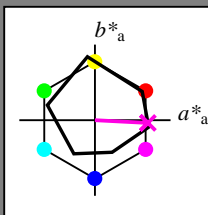
Bunttontexte:

$u^*_e = b75r$ $u^*_d = m11o$

Kontrastreduzierungsfaktor:

$c_R = 0.96$

Dreiecks-Helligkeit i^*



ORS20_95a; adaptierte CIELAB-Daten

u^*_e	$L^*=L^*_a$	a^*_a	b^*_a	$C^*_{ab,a}$	$h^*_{ab,a}$
O _{Ma}	48.71	62.56	37.91	73.15	31
Y _{Ma}	89.25	-9.92	83.91	84.49	97
L _{Ma}	52.5	-62.91	19.95	66.0	162
C _{Ma}	59.15	-27.87	-44.43	52.45	238
V _{Ma}	29.13	22.73	-42.44	48.14	298
M _{Ma}	49.51	71.08	-9.19	71.67	353
N _{Ma}	20.0	0.0	0.0	0.0	0
W _{Ma}	95.0	0.0	0.0	0.0	0
R _{Ma}	39.92	58.74	27.99	65.07	25
J _{Ma}	81.26	-2.89	71.56	71.62	92
G _{Ma}	52.23	-42.42	13.6	44.55	162
B _{Ma}	30.57	1.41	-46.47	46.49	272

Daten für Maximalfarbe (Ma):

$LAB^*LAB^*_{Ma}$: 49 70 -4

$LAB^*LCH^*_{Ma}$: 49 70 357

$lab^*rgb^*_{Ma}$: 1.0 0.0 0.5

$lab^*olv^*_{Ma}$: 1.0 0.0 0.89

Dreiecks-Helligkeit i^*

%Umfang

$u^*_{rel} = 83$

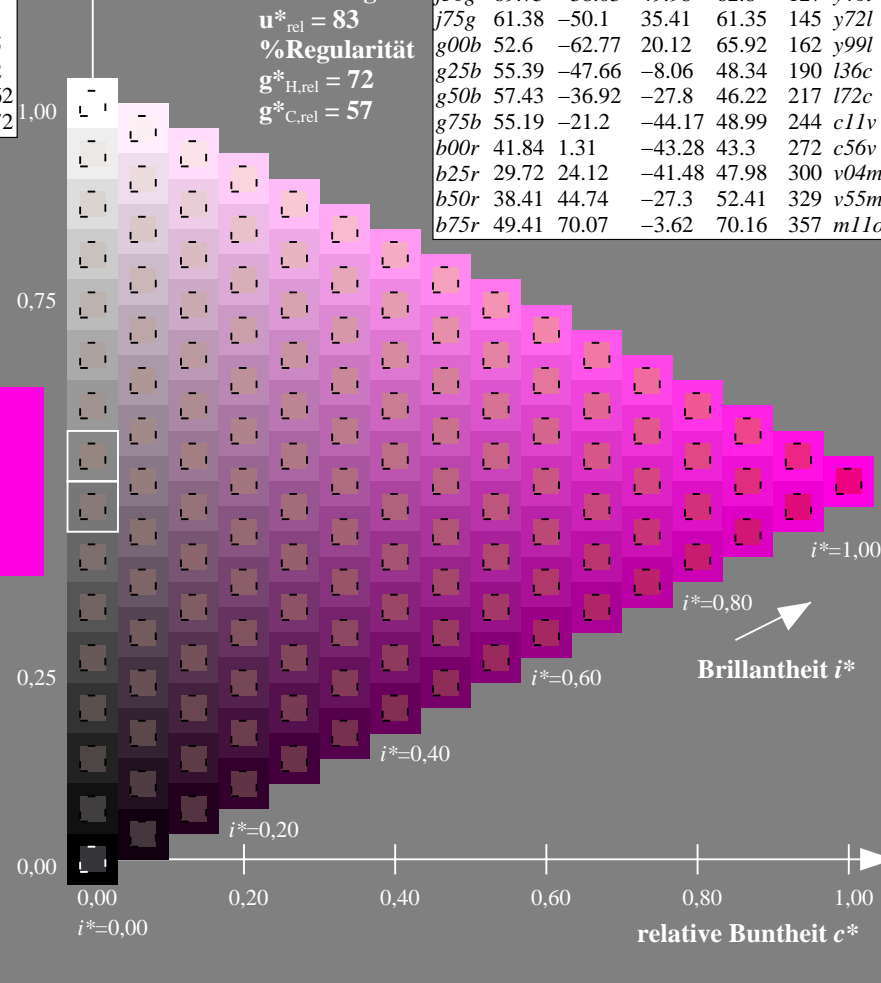
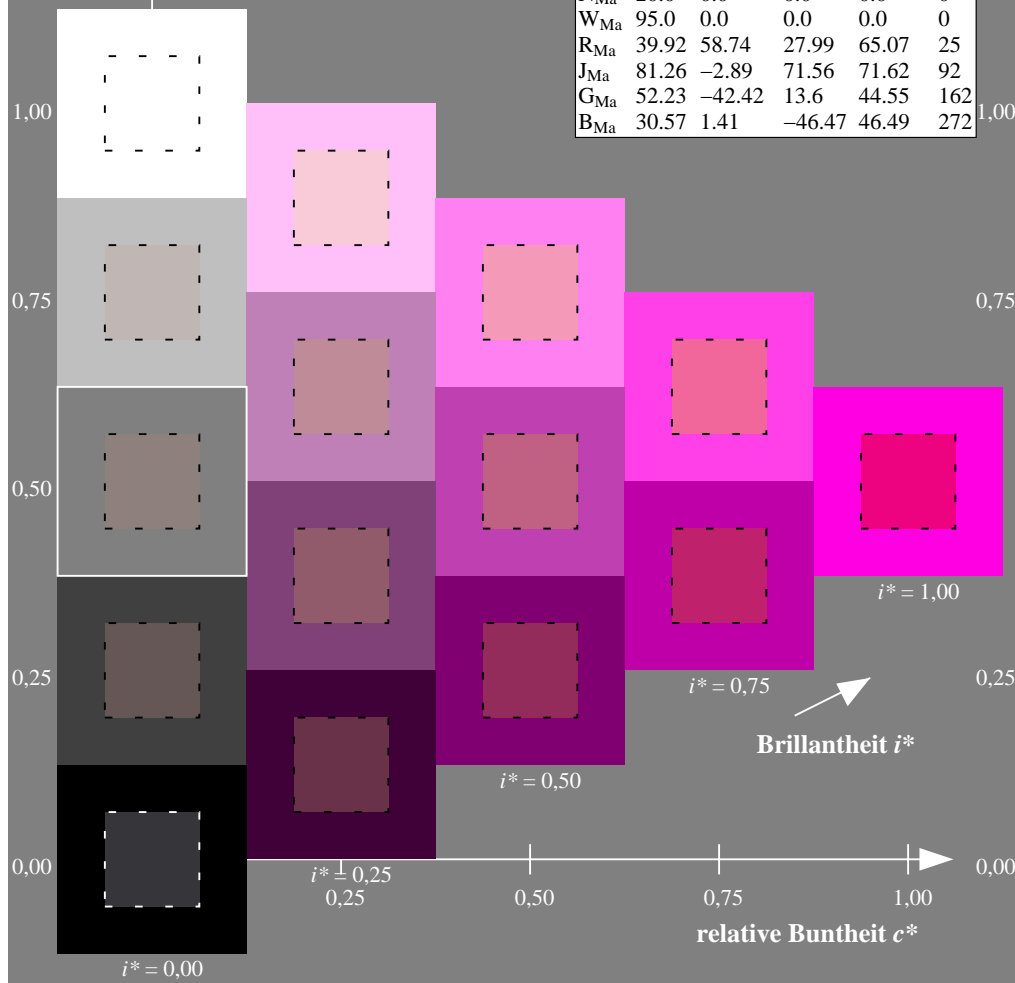
%Regularität

$g^*_{H,rel} = 72$

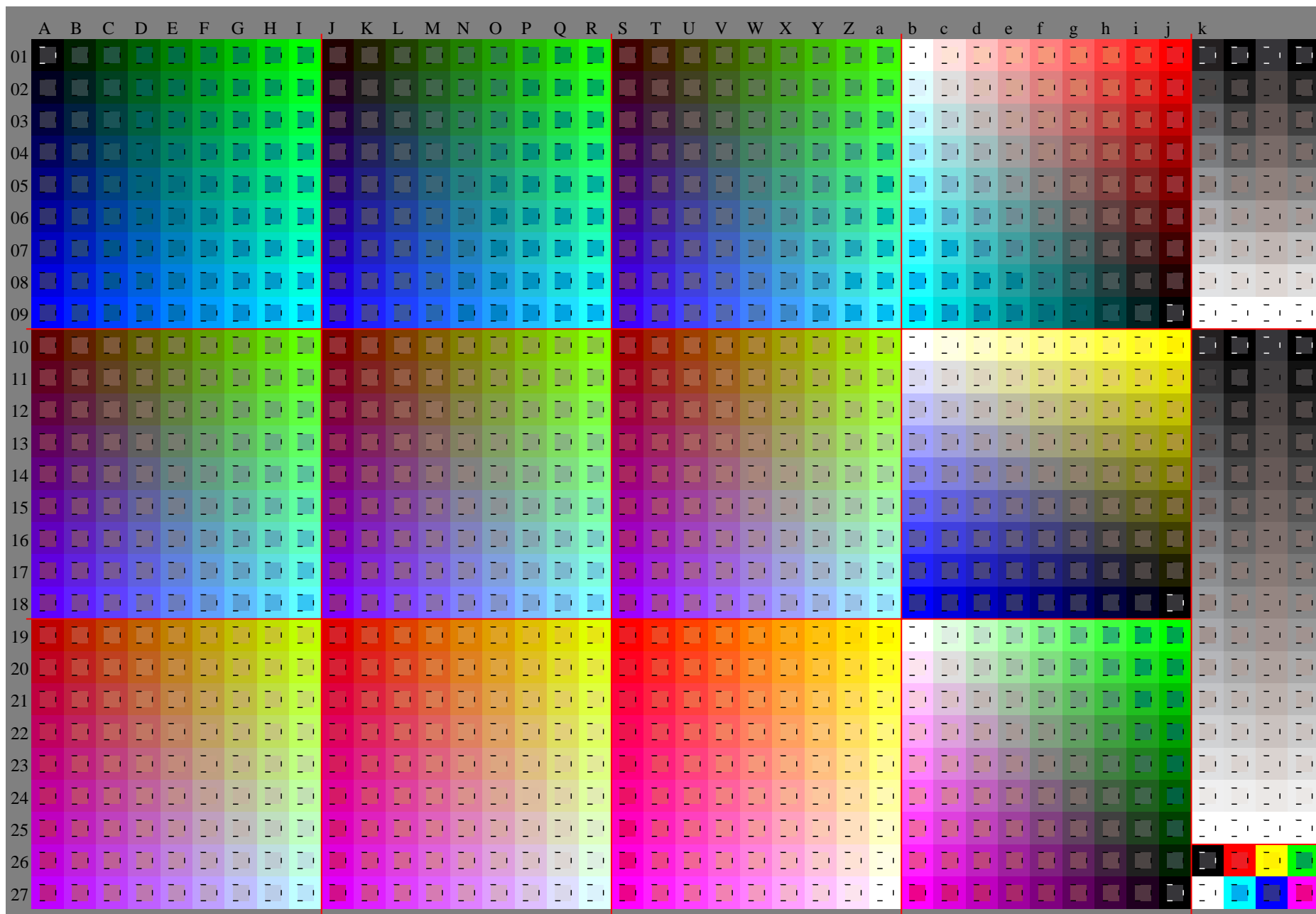
$g^*_{C,rel} = 57$

ORS20_95a; adaptierte CIELAB-Daten

u^*_e	$L^*=L^*_a$	a^*_a	b^*_a	$C^*_{ab,a}$	$h^*_{ab,a}$	u^*_d
r00j	48.83	63.91	30.45	70.79	25	m84o
r25j	55.53	50.37	45.65	67.97	42	o17y
r50j	64.76	33.86	56.12	65.55	59	o42y
r75j	74.12	17.13	66.74	68.9	76	o67y
j00g	85.5	-3.22	79.65	79.72	92	o92y
j25g	79.45	-24.05	66.85	71.04	110	y20l
j50g	69.75	-38.03	49.98	62.8	127	y46l
j75g	61.38	-50.1	35.41	61.35	145	y72l
g00b	52.6	-62.77	20.12	65.92	162	y99l
g25b	55.39	-47.66	-8.06	48.34	190	l36c
g50b	57.43	-36.92	-27.8	46.22	217	l72c
g75b	55.19	-21.2	-44.17	48.99	244	c11v
b00r	41.84	1.31	-43.28	43.3	272	c56v
b25r	29.72	24.12	-41.48	47.98	300	v04m
b50r	38.41	44.74	-27.3	52.41	329	v55m
b75r	49.41	70.07	-3.62	70.16	357	m11o



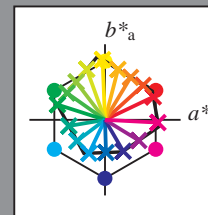
Siehe ähnliche Dateien: <http://www.ps.bam.de/Eg13/>; www.ps.bam.de/Eg.HTM
Technische Information: <http://www.ps.bam.de> Version 2.1, io=1,1, ColSpx=1



Ein und Ausgabe:
Farbmetrisches Drucker-Reflektiv-System ORS20_95a
Daten für jede Farbe:
 u^*_e und Nummer $Nr.$ = 00 .. 15
Elementar-Bunttontext:
 $u^*_e = 16$ Bunttoene $r00j, r25j, \dots, b75r$
Kontrastreduzierungsfaktor:
 $c_R = 0.96$

ORS20_95a; adaptierte CIELAB-Daten

u^*_e	$L^*=L^*_a$	a^*_a	b^*_a	$C^*_{ab,a}$	$h^*_{ab,a}$	u^*_d
$r00j$	48.83	63.91	30.45	70.79	25	$m84o$
$r25j$	55.53	50.37	45.65	67.97	42	$o17y$
$r50j$	64.76	33.86	56.12	65.55	59	$o42y$
$r75j$	74.12	17.13	66.74	68.9	76	$o67y$
$j00g$	85.5	-3.22	79.65	79.72	92	$o92y$
$j25g$	79.45	-24.05	66.85	71.04	110	$y20l$
$j50g$	69.75	-38.03	49.98	62.8	127	$y46l$
$j75g$	61.38	-50.1	35.41	61.35	145	$y72l$
$g00b$	52.6	-62.77	20.12	65.92	162	$y99l$
$g25b$	55.39	-47.66	-8.06	48.34	190	$l36c$
$g50b$	57.43	-36.92	-27.8	46.22	217	$l72c$
$g75b$	55.19	-21.2	-44.17	48.99	244	$c11v$
$b00r$	41.84	1.31	-43.28	43.3	272	$c56v$
$b25r$	29.72	24.12	-41.48	47.98	300	$v04m$
$b50r$	38.41	44.74	-27.3	52.41	329	$v55m$
$b75r$	49.41	70.07	-3.62	70.16	357	$m11o$



%Umfang

$u^*_{rel} = 83$

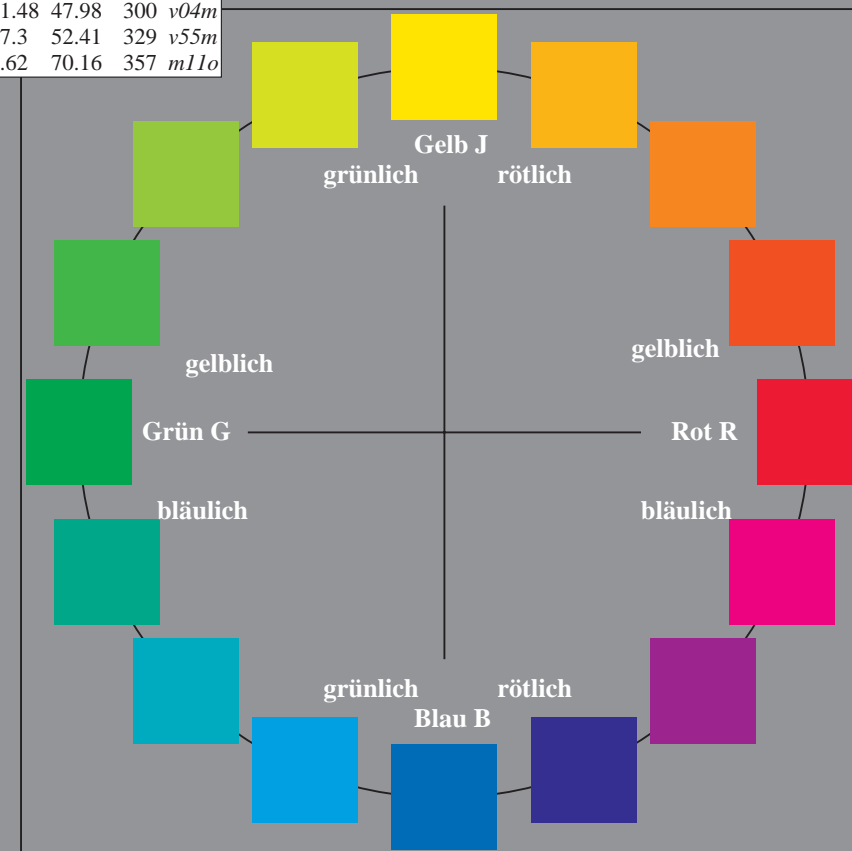
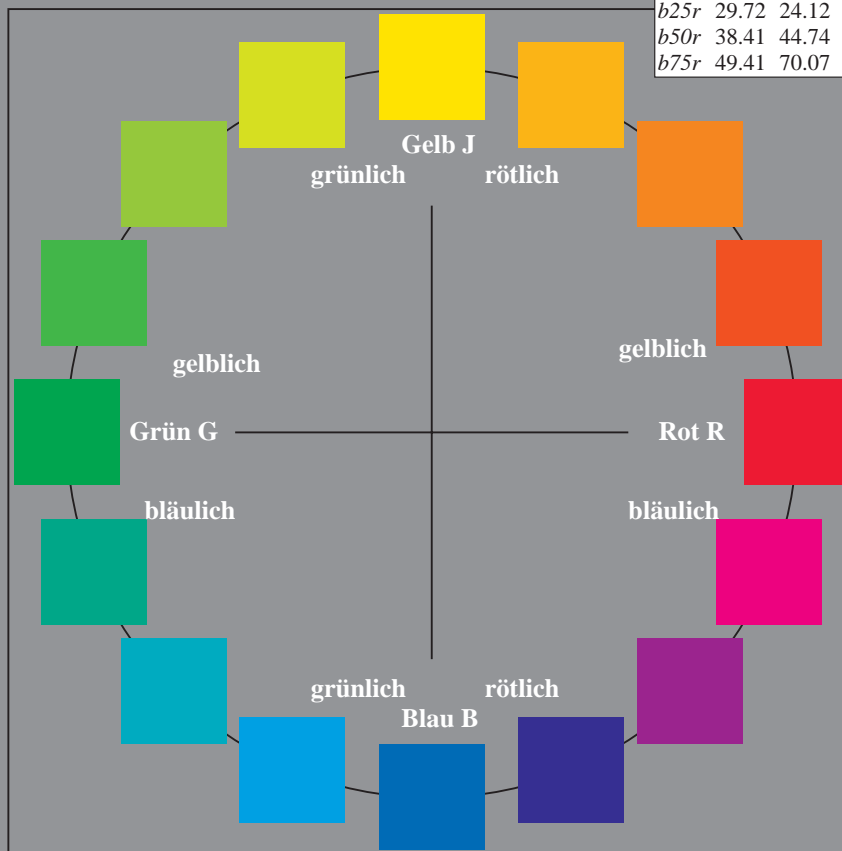
%Regularität

$g^*_{H,rel} = 72$

$g^*_{C,rel} = 57$

ORS20_95a; adaptierte CIELAB-Daten

Name	$L^*=L^*_a$	a^*_a	b^*_a	$C^*_{ab,a}$	$h^*_{ab,a}$
O_{Ma}	48.71	62.56	37.91	73.15	31
Y_{Ma}	89.25	-9.92	83.91	84.49	97
L_{Ma}	52.5	-62.91	19.95	66.0	162
C_{Ma}	59.15	-27.87	-44.43	52.45	238
V_{Ma}	29.13	22.73	-42.44	48.14	298
M_{Ma}	49.51	71.08	-9.19	71.67	353
N_{Ma}	20.0	0.0	0.0	0.0	0
W_{Ma}	95.0	0.0	0.0	0.0	0
R_{CIE}	39.92	58.74	27.99	65.07	25
J_{CIE}	81.26	-2.89	71.56	71.62	92
G_{CIE}	52.23	-42.42	13.6	44.55	162
B_{CIE}	30.57	1.41	-46.47	46.49	272



Ein und Ausgabe: Farbmetrisches Drucker-Reflektiv-System ORS20_95a für relativen CIELAB-Buntton $h^* = lab^*h^* = h_{ab}/360 = 0.071$

Daten für jede Farbe:

lab^*tch^* und lab^*icu^*

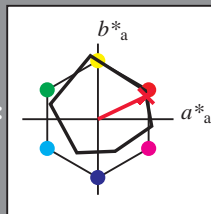
Bunttontexte:

$u^*_e = r00j$ $u^*_d = m84o$

Kontrastreduzierungsfaktor:

$c_R = 0.96$

Dreiecks-Helligkeit i^*



ORS20_95a; adaptierte CIELAB-Daten

u^*_e	$L^*=L^*_a$	a^*_a	b^*_a	$C^*_{ab,a}$	$h^*_{ab,a}$
O _{Ma}	48.71	62.56	37.91	73.15	31
Y _{Ma}	89.25	-9.92	83.91	84.49	97
L _{Ma}	52.5	-62.91	19.95	66.0	162
C _{Ma}	59.15	-27.87	-44.43	52.45	238
V _{Ma}	29.13	22.73	-42.44	48.14	298
M _{Ma}	49.51	71.08	-9.19	71.67	353
N _{Ma}	20.0	0.0	0.0	0.0	0
W _{Ma}	95.0	0.0	0.0	0.0	0
R _{Ma}	39.92	58.74	27.99	65.07	25
J _{Ma}	81.26	-2.89	71.56	71.62	92
G _{Ma}	52.23	-42.42	13.6	44.55	162
B _{Ma}	30.57	1.41	-46.47	46.49	272

Daten für Maximalfarbe (Ma):

$LAB^*LAB^*_{Ma}$: 49 64 30

$LAB^*LCH^*_{Ma}$: 49 71 25

$lab^*rgb^*_{Ma}$: 1.0 0.0 0.0

$lab^*olv^*_{Ma}$: 1.0 0.0 0.15

Dreiecks-Helligkeit i^*

%Umfang

$u^*_{rel} = 83$

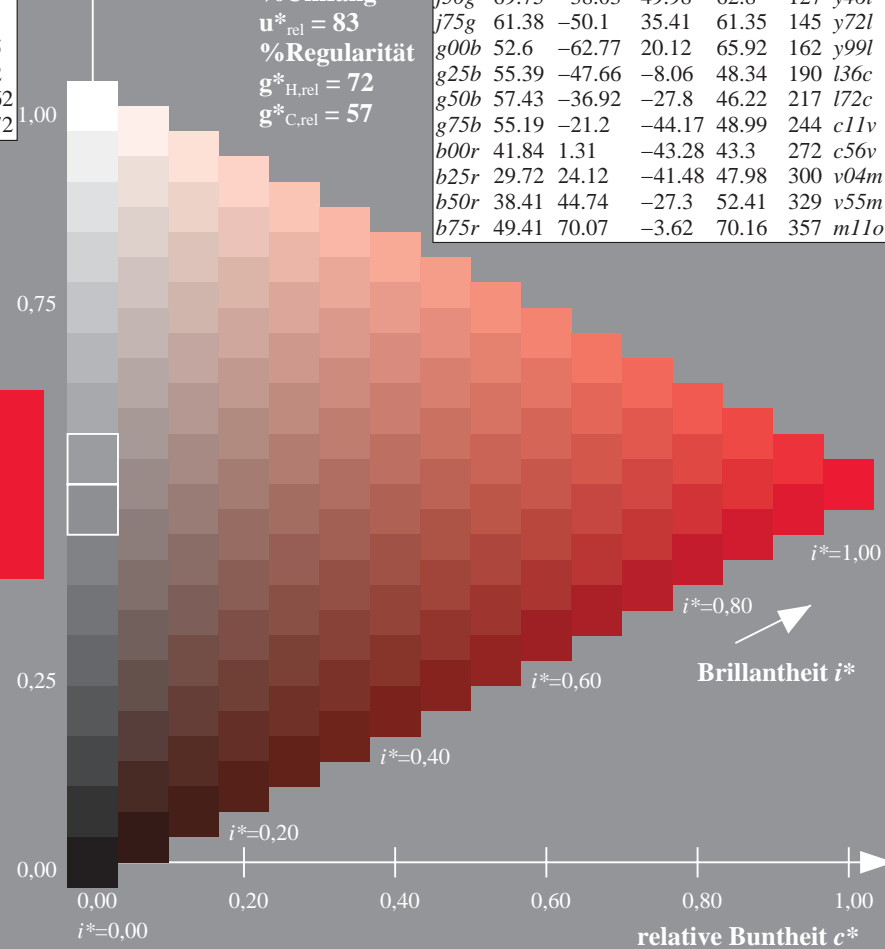
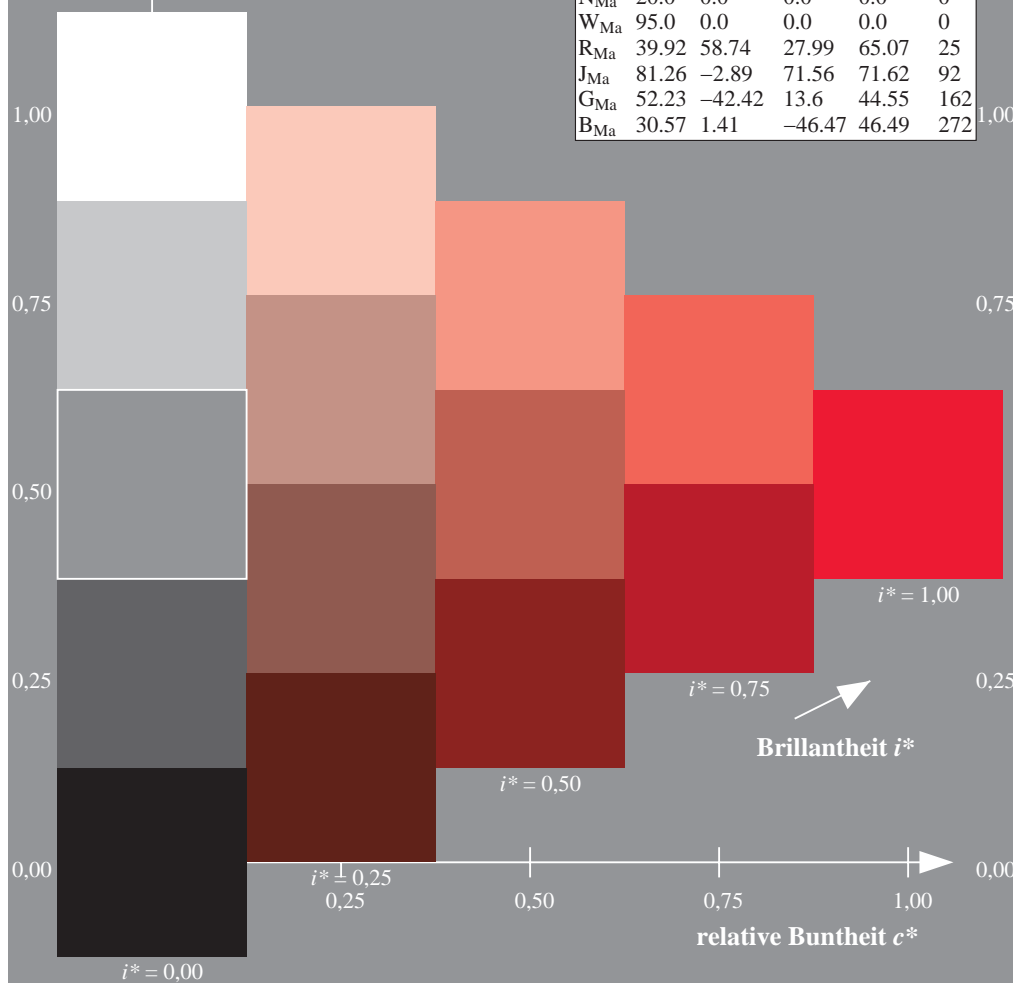
%Regularität

$g^*_{H,rel} = 72$

$g^*_{C,rel} = 57$

ORS20_95a; adaptierte CIELAB-Daten

u^*_e	$L^*=L^*_a$	a^*_a	b^*_a	$C^*_{ab,a}$	$h^*_{ab,a}$	u^*_d
r00j	48.83	63.91	30.45	70.79	25	m84o
r25j	55.53	50.37	45.65	67.97	42	o17y
r50j	64.76	33.86	56.12	65.55	59	o42y
r75j	74.12	17.13	66.74	68.9	76	o67y
j00g	85.5	-3.22	79.65	79.72	92	o92y
j25g	79.45	-24.05	66.85	71.04	110	y20l
j50g	69.75	-38.03	49.98	62.8	127	y46l
j75g	61.38	-50.1	35.41	61.35	145	y72l
g00b	52.6	-62.77	20.12	65.92	162	y99l
g25b	55.39	-47.66	-8.06	48.34	190	l36c
g50b	57.43	-36.92	-27.8	46.22	217	l72c
g75b	55.19	-21.2	-44.17	48.99	244	c11v
b00r	41.84	1.31	-43.28	43.3	272	c56v
b25r	29.72	24.12	-41.48	47.98	300	v04m
b50r	38.41	44.74	-27.3	52.41	329	v55m
b75r	49.41	70.07	-3.62	70.16	357	m11o



Ein und Ausgabe: Farbmetrisches Drucker-Reflexiv-System ORS20_95a für relativen CIELAB-Buntton $h^* = lab^*h^* = h_{ab}/360 = 0.117$

Daten für jede Farbe:

lab^*tch^* und lab^*icu^*

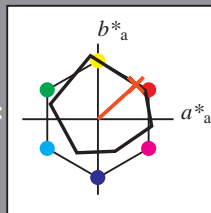
Bunttontexte:

$u^*_e = r25j$ $u^*_d = o17y$

Kontrastreduzierungsfaktor:

$c_R = 0.96$

Dreiecks-Helligkeit t^*



ORS20_95a; adaptierte CIELAB-Daten

	u^*_e	$L^*=L^*_a$	a^*_a	b^*_a	$C^*_{ab,a}$	$h^*_{ab,a}$
O _{Ma}	48.71	62.56	37.91	73.15	31	
Y _{Ma}	89.25	-9.92	83.91	84.49	97	
L _{Ma}	52.5	-62.91	19.95	66.0	162	
C _{Ma}	59.15	-27.87	-44.43	52.45	238	
V _{Ma}	29.13	22.73	-42.44	48.14	298	
M _{Ma}	49.51	71.08	-9.19	71.67	353	
N _{Ma}	20.0	0.0	0.0	0.0	0	
W _{Ma}	95.0	0.0	0.0	0.0	0	
R _{Ma}	39.92	58.74	27.99	65.07	25	
J _{Ma}	81.26	-2.89	71.56	71.62	92	
G _{Ma}	52.23	-42.42	13.6	44.55	162	
B _{Ma}	30.57	1.41	-46.47	46.49	272	

Daten für Maximalfarbe (Ma):

$LAB^*LAB^*_{Ma}$: 56 50 46

$LAB^*LCH^*_{Ma}$: 56 68 42

$lab^*rgb^*_{Ma}$: 1.0 0.25 0.0

$lab^*olv^*_{Ma}$: 1.0 0.17 0.0

Dreiecks-Helligkeit t^*

%Umfang

$u^*_{rel} = 83$

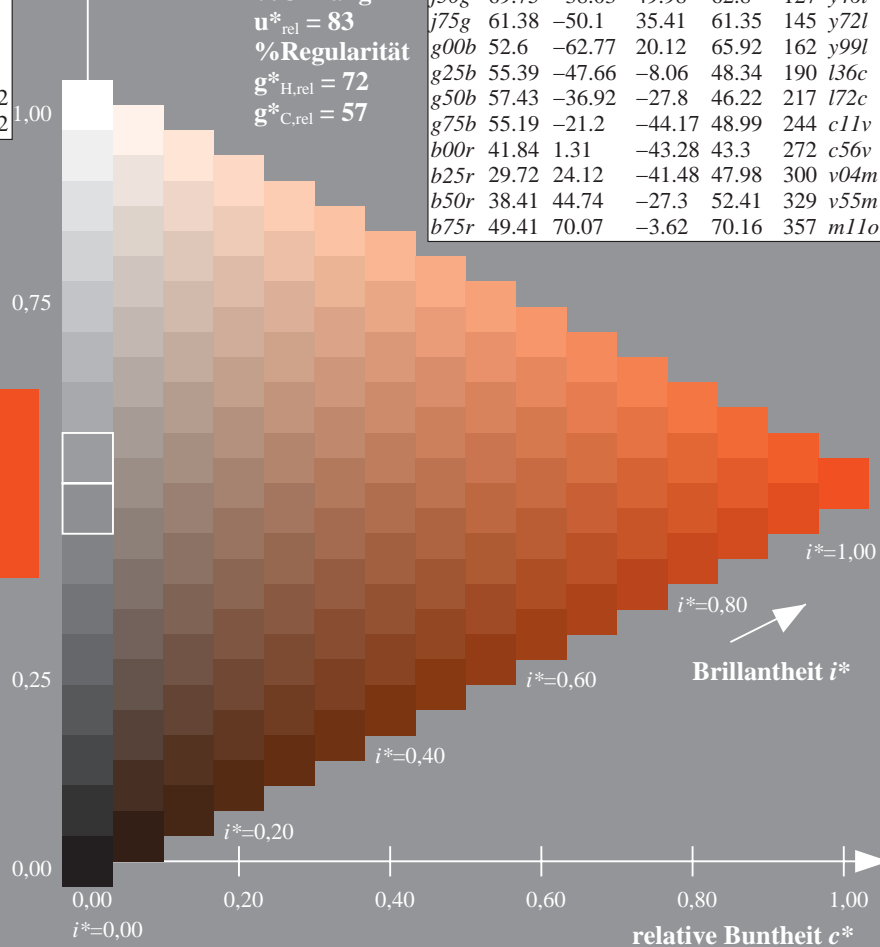
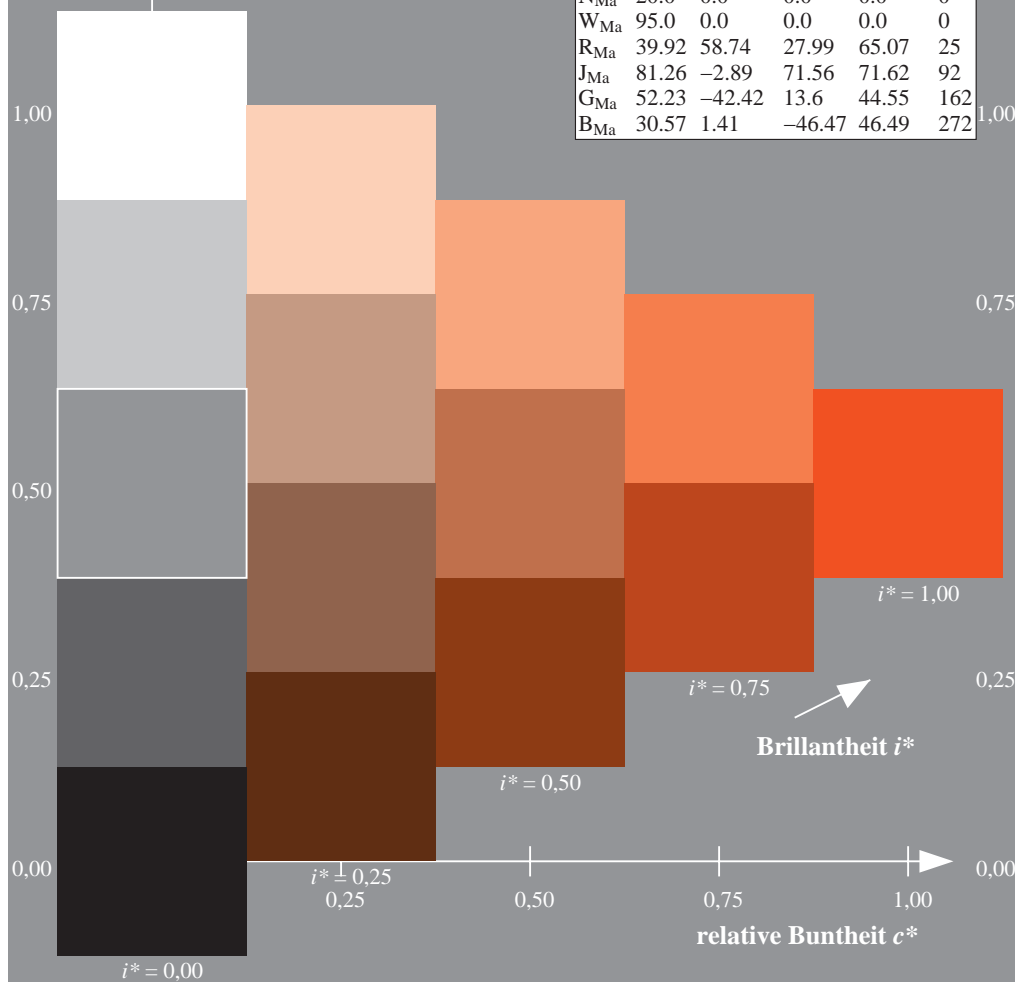
%Regularität

$g^*_{H,rel} = 72$

$g^*_{C,rel} = 57$

ORS20_95a; adaptierte CIELAB-Daten

	u^*_e	$L^*=L^*_a$	a^*_a	b^*_a	$C^*_{ab,a}$	$h^*_{ab,a}$	u^*_d
r00j	48.83	63.91	30.45	70.79	25	m84o	
r25j	55.53	50.37	45.65	67.97	42	o17y	
r50j	64.76	33.86	56.12	65.55	59	o42y	
r75j	74.12	17.13	66.74	68.9	76	o67y	
j00g	85.5	-3.22	79.65	79.72	92	o92y	
j25g	79.45	-24.05	66.85	71.04	110	y20l	
j50g	69.75	-38.03	49.98	62.8	127	y46l	
j75g	61.38	-50.1	35.41	61.35	145	y72l	
g00b	52.6	-62.77	20.12	65.92	162	y99l	
g25b	55.39	-47.66	-8.06	48.34	190	l36c	
g50b	57.43	-36.92	-27.8	46.22	217	l72c	
g75b	55.19	-21.2	-44.17	48.99	244	c11v	
b00r	41.84	1.31	-43.28	43.3	272	c56v	
b25r	29.72	24.12	-41.48	47.98	300	v04m	
b50r	38.41	44.74	-27.3	52.41	329	v55m	
b75r	49.41	70.07	-3.62	70.16	357	m11o	



Ein und Ausgabe: Farbmetrisches Drucker-Reflektiv-System ORS20_95a für relativen CIELAB-Buntton $h^* = lab^*h^* = h_{ab}/360 = 0.164$

Daten für jede Farbe:

lab^*tch^* und lab^*icu^*

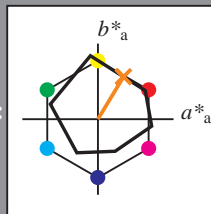
Bunttontexte:

$u^*_e = r50j$ $u^*_d = o42y$

Kontrastreduzierungsfaktor:

$c_R = 0.96$

Dreiecks-Helligkeit i^*



ORS20_95a; adaptierte CIELAB-Daten

u^*_e	$L^*=L^*_a$	a^*_a	b^*_a	$C^*_{ab,a}$	$h^*_{ab,a}$
O _{Ma}	48.71	62.56	37.91	73.15	31
Y _{Ma}	89.25	-9.92	83.91	84.49	97
L _{Ma}	52.5	-62.91	19.95	66.0	162
C _{Ma}	59.15	-27.87	-44.43	52.45	238
V _{Ma}	29.13	22.73	-42.44	48.14	298
M _{Ma}	49.51	71.08	-9.19	71.67	353
N _{Ma}	20.0	0.0	0.0	0.0	0
W _{Ma}	95.0	0.0	0.0	0.0	0
R _{Ma}	39.92	58.74	27.99	65.07	25
J _{Ma}	81.26	-2.89	71.56	71.62	92
G _{Ma}	52.23	-42.42	13.6	44.55	162
B _{Ma}	30.57	1.41	-46.47	46.49	272

Daten für Maximalfarbe (Ma):

$LAB^*LAB^*_{Ma}$: 65 34 56

$LAB^*LCH^*_{Ma}$: 65 66 58

$lab^*rgb^*_{Ma}$: 1.0 0.5 0.0

$lab^*olv^*_{Ma}$: 1.0 0.42 0.0

Dreiecks-Helligkeit i^*

%Umfang

$u^*_{rel} = 83$

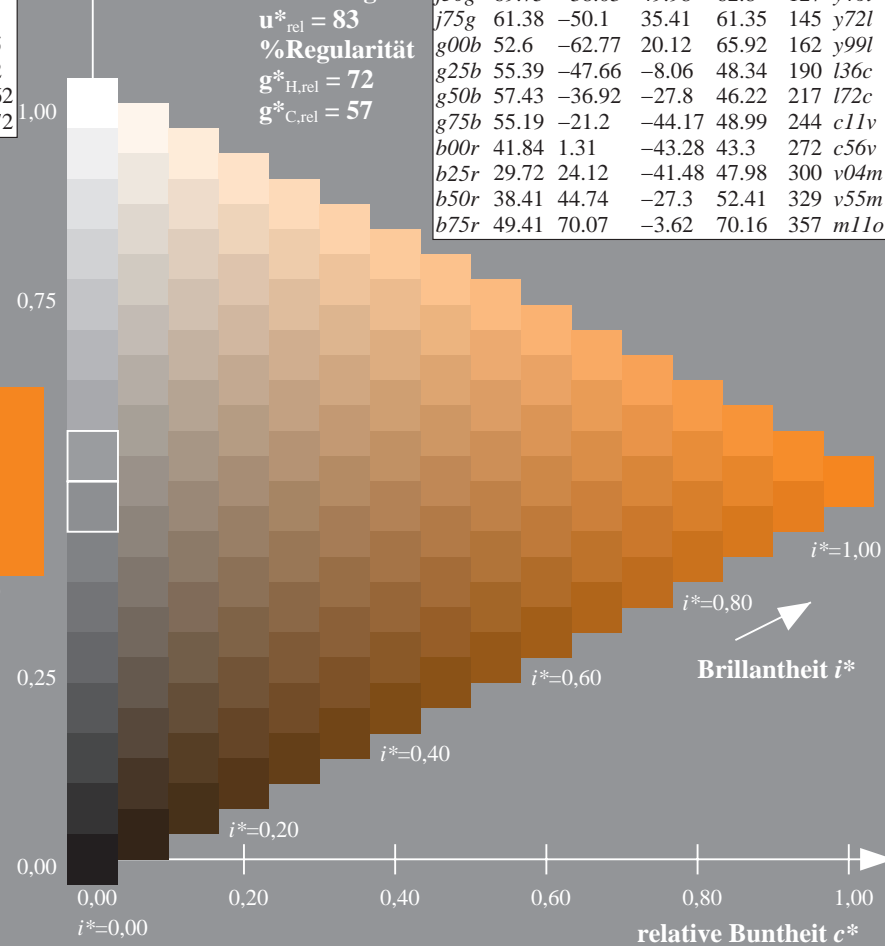
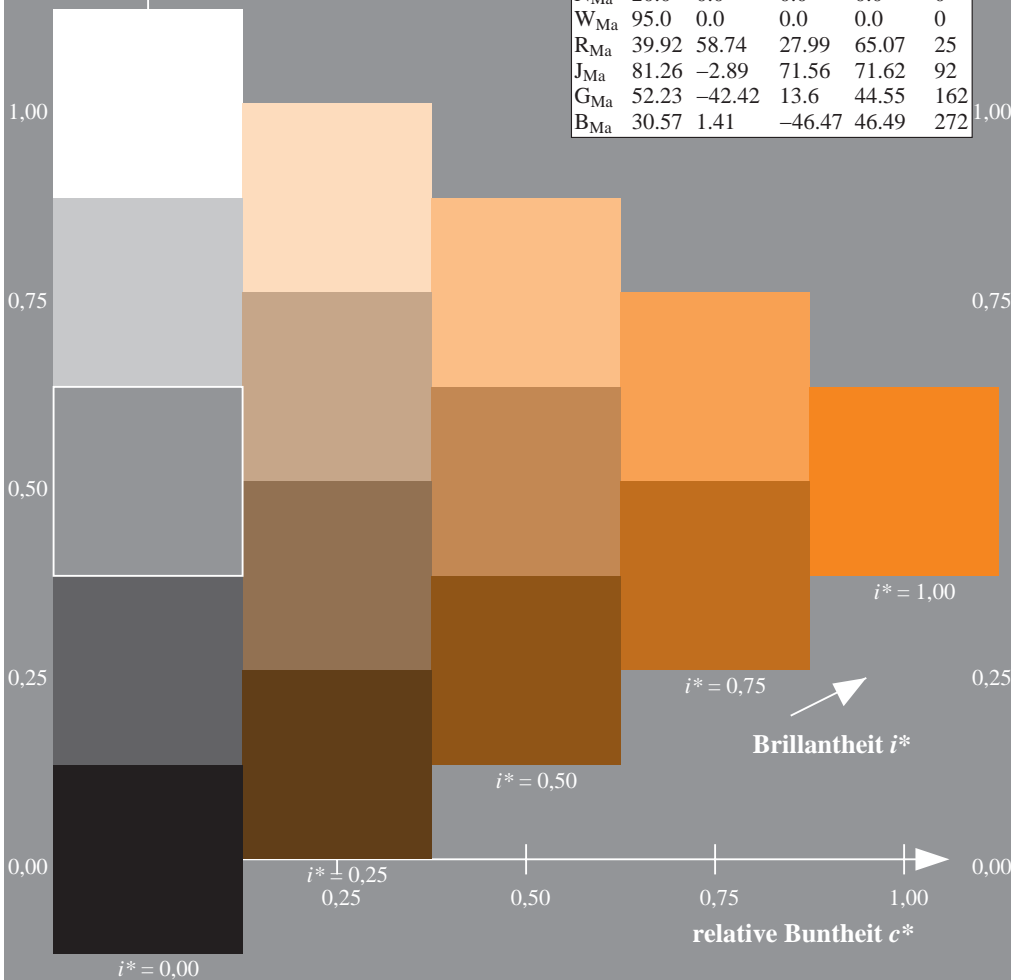
%Regularität

$g^*_{H,rel} = 72$

$g^*_{C,rel} = 57$

ORS20_95a; adaptierte CIELAB-Daten

u^*_e	$L^*=L^*_a$	a^*_a	b^*_a	$C^*_{ab,a}$	$h^*_{ab,a}$	u^*_d
r00j	48.83	63.91	30.45	70.79	25	m84o
r25j	55.53	50.37	45.65	67.97	42	o17y
r50j	64.76	33.86	56.12	65.55	59	o42y
r75j	74.12	17.13	66.74	68.9	76	o67y
j00g	85.5	-3.22	79.65	79.72	92	o92y
j25g	79.45	-24.05	66.85	71.04	110	y20l
j50g	69.75	-38.03	49.98	62.8	127	y46l
j75g	61.38	-50.1	35.41	61.35	145	y72l
g00b	52.6	-62.77	20.12	65.92	162	y99l
g25b	55.39	-47.66	-8.06	48.34	190	l36c
g50b	57.43	-36.92	-27.8	46.22	217	l72c
g75b	55.19	-21.2	-44.17	48.99	244	c11v
b00r	41.84	1.31	-43.28	43.3	272	c56v
b25r	29.72	24.12	-41.48	47.98	300	v04m
b50r	38.41	44.74	-27.3	52.41	329	v55m
b75r	49.41	70.07	-3.62	70.16	357	m11o



Ein und Ausgabe: Farbmetrisches Drucker-Reflektiv-System ORS20_95a für relativen CIELAB-Buntton $h^* = lab^*h^* = h_{ab}/360 = 0.21$

Daten für jede Farbe:

lab^*tch^* und lab^*icu^*

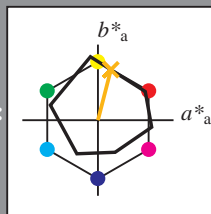
Bunttontexte:

$u^*_e = r75j$ $u^*_d = o67y$

Kontrastreduzierungsfaktor:

$c_R = 0.96$

Dreiecks-Helligkeit i^*



ORS20_95a; adaptierte CIELAB-Daten

u^*_e	$L^*=L^*_a$	a^*_a	b^*_a	$C^*_{ab,a}$	$h^*_{ab,a}$
O _{Ma}	48.71	62.56	37.91	73.15	31
Y _{Ma}	89.25	-9.92	83.91	84.49	97
L _{Ma}	52.5	-62.91	19.95	66.0	162
C _{Ma}	59.15	-27.87	-44.43	52.45	238
V _{Ma}	29.13	22.73	-42.44	48.14	298
M _{Ma}	49.51	71.08	-9.19	71.67	353
N _{Ma}	20.0	0.0	0.0	0.0	0
W _{Ma}	95.0	0.0	0.0	0.0	0
R _{Ma}	39.92	58.74	27.99	65.07	25
J _{Ma}	81.26	-2.89	71.56	71.62	92
G _{Ma}	52.23	-42.42	13.6	44.55	162
B _{Ma}	30.57	1.41	-46.47	46.49	272

Daten für Maximalfarbe (Ma):

$LAB^*LAB^*_{Ma}$: 74 17 67

$LAB^*LCH^*_{Ma}$: 74 69 75

$lab^*rgb^*_{Ma}$: 1.0 0.75 0.0

$lab^*olv^*_{Ma}$: 1.0 0.68 0.0

Dreiecks-Helligkeit i^*

%Umfang

$u^*_{rel} = 83$

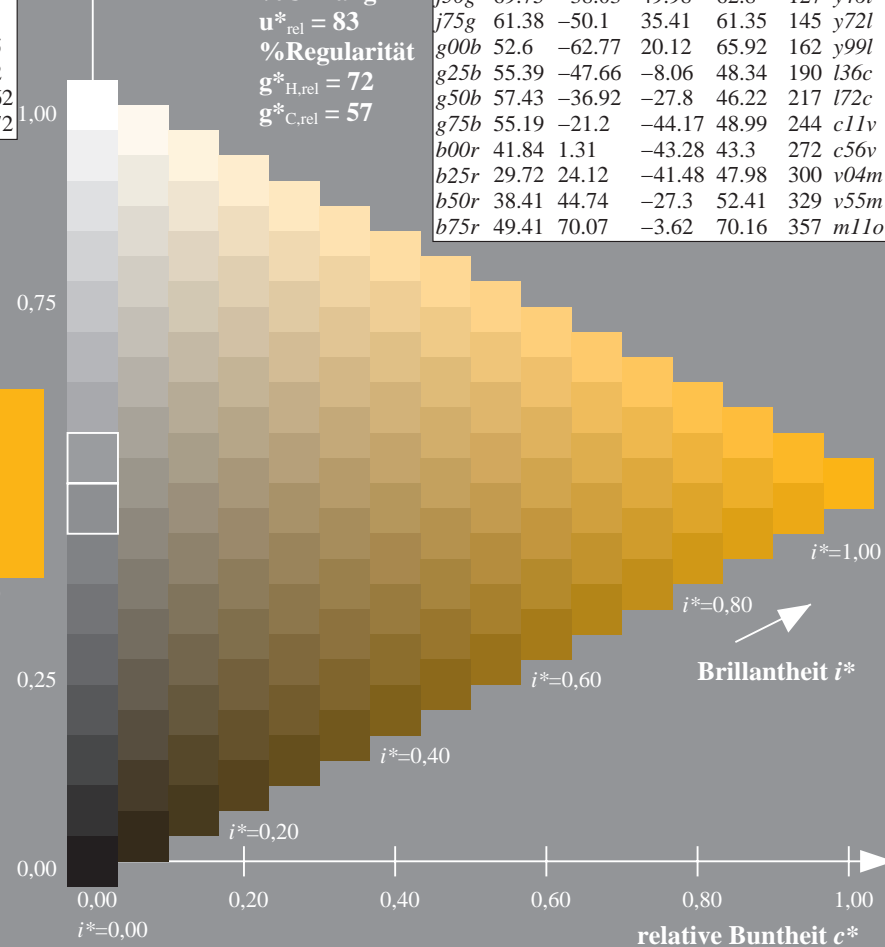
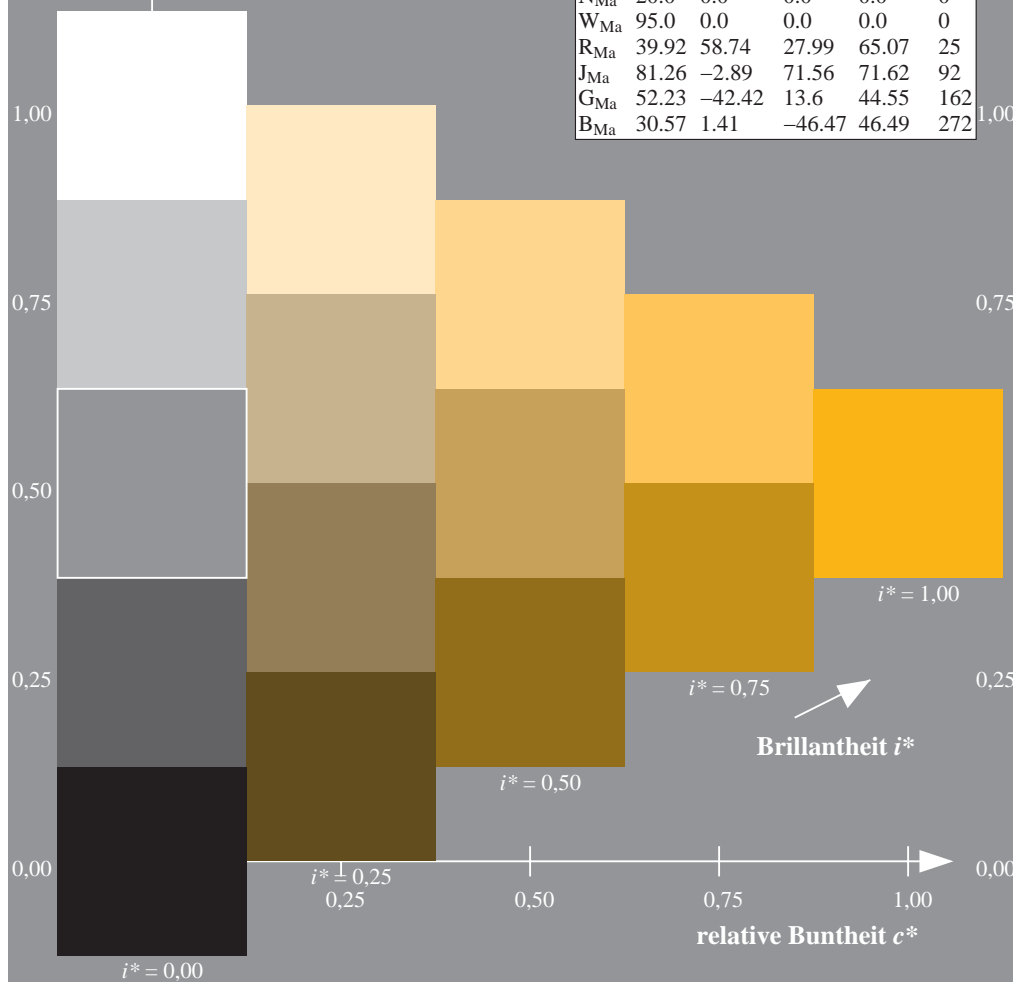
%Regularität

$g^*_{H,rel} = 72$

$g^*_{C,rel} = 57$

ORS20_95a; adaptierte CIELAB-Daten

u^*_e	$L^*=L^*_a$	a^*_a	b^*_a	$C^*_{ab,a}$	$h^*_{ab,a}$	u^*_d
r00j	48.83	63.91	30.45	70.79	25	m84o
r25j	55.53	50.37	45.65	67.97	42	o17y
r50j	64.76	33.86	56.12	65.55	59	o42y
r75j	74.12	17.13	66.74	68.9	76	o67y
j00g	85.5	-3.22	79.65	79.72	92	o92y
j25g	79.45	-24.05	66.85	71.04	110	y20l
j50g	69.75	-38.03	49.98	62.8	127	y46l
j75g	61.38	-50.1	35.41	61.35	145	y72l
g00b	52.6	-62.77	20.12	65.92	162	y99l
g25b	55.39	-47.66	-8.06	48.34	190	l36c
g50b	57.43	-36.92	-27.8	46.22	217	l72c
g75b	55.19	-21.2	-44.17	48.99	244	c11v
b00r	41.84	1.31	-43.28	43.3	272	c56v
b25r	29.72	24.12	-41.48	47.98	300	v04m
b50r	38.41	44.74	-27.3	52.41	329	v55m
b75r	49.41	70.07	-3.62	70.16	357	m11o



Ein und Ausgabe: Farbmetrisches Drucker-Reflektiv-System ORS20_95a für relativen CIELAB-Buntton $h^* = lab^*h^* = h_{ab}/360 = 0.256$

Daten für jede Farbe:

lab^*tch^* und lab^*icu^*

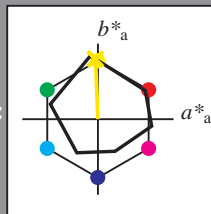
Bunttontexte:

$u^*_e = j00g$ $u^*_d = o92y$

Kontrastreduzierungsfaktor:

$c_R = 0.96$

Dreiecks-Helligkeit i^*



ORS20_95a; adaptierte CIELAB-Daten

u^*_e	$L^*=L^*_a$	a^*_a	b^*_a	$C^*_{ab,a}$	$h^*_{ab,a}$
O _{Ma}	48.71	62.56	37.91	73.15	31
Y _{Ma}	89.25	-9.92	83.91	84.49	97
L _{Ma}	52.5	-62.91	19.95	66.0	162
C _{Ma}	59.15	-27.87	-44.43	52.45	238
V _{Ma}	29.13	22.73	-42.44	48.14	298
M _{Ma}	49.51	71.08	-9.19	71.67	353
N _{Ma}	20.0	0.0	0.0	0.0	0
W _{Ma}	95.0	0.0	0.0	0.0	0
R _{Ma}	39.92	58.74	27.99	65.07	25
J _{Ma}	81.26	-2.89	71.56	71.62	92
G _{Ma}	52.23	-42.42	13.6	44.55	162
B _{Ma}	30.57	1.41	-46.47	46.49	272

Daten für Maximalfarbe (Ma):

$LAB^*LAB^*_{Ma}$: 86 -3 80

$LAB^*LCH^*_{Ma}$: 86 80 92

$lab^*rgb^*_{Ma}$: 1.0 1.0 0.0

$lab^*olv^*_{Ma}$: 1.0 0.93 0.0

Dreiecks-Helligkeit i^*

%Umfang

$u^*_{rel} = 83$

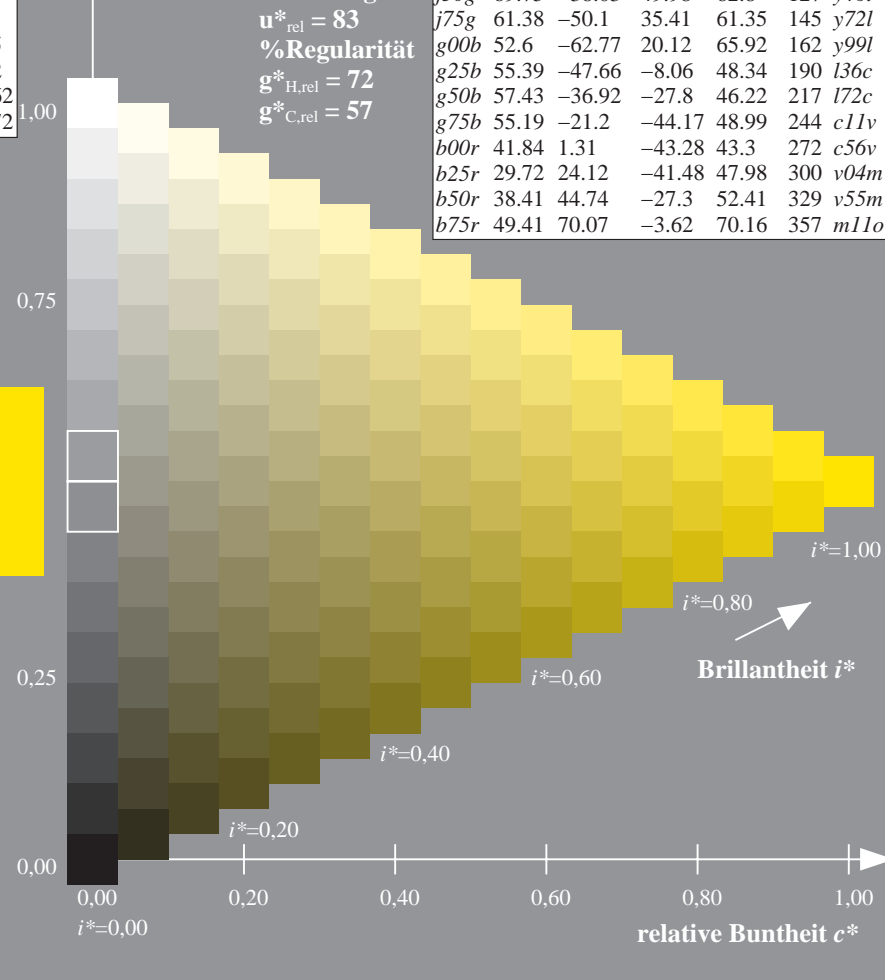
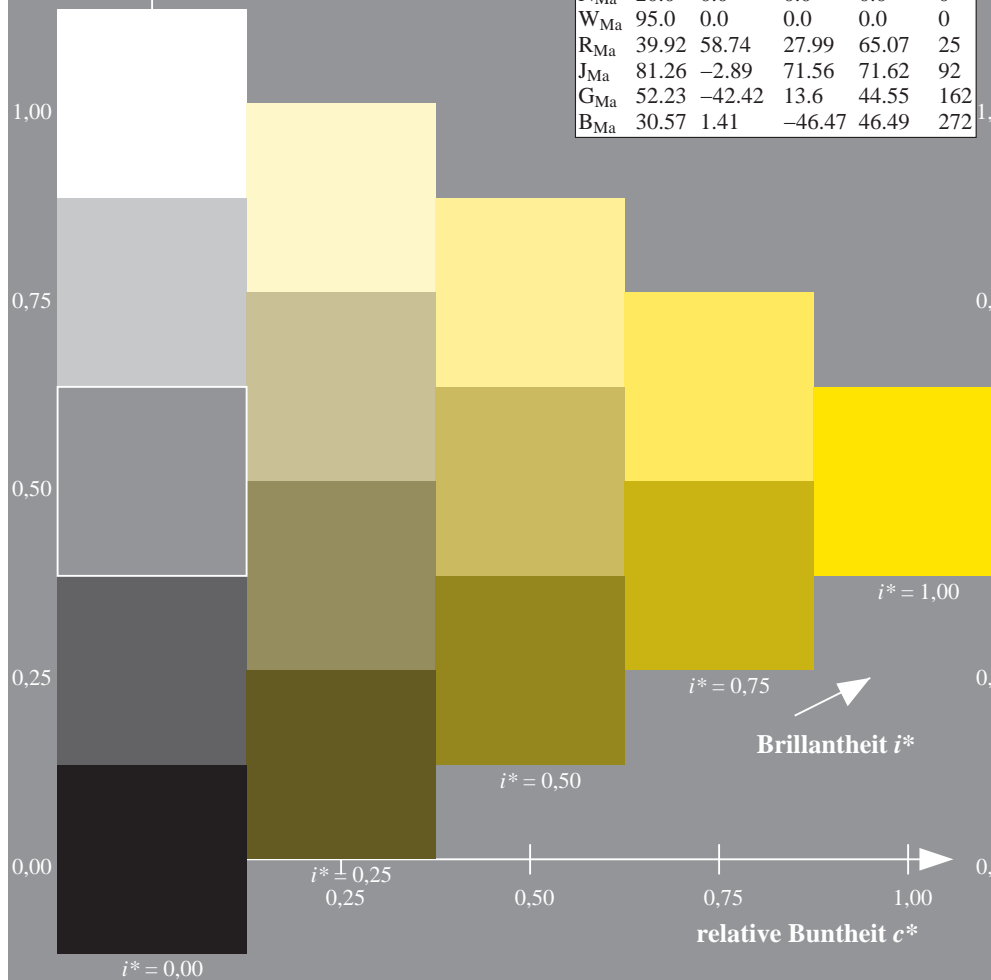
%Regularität

$g^*_{H,rel} = 72$

$g^*_{C,rel} = 57$

ORS20_95a; adaptierte CIELAB-Daten

u^*_e	$L^*=L^*_a$	a^*_a	b^*_a	$C^*_{ab,a}$	$h^*_{ab,a}$	u^*_d
r00j	48.83	63.91	30.45	70.79	25	m84o
r25j	55.53	50.37	45.65	67.97	42	o17y
r50j	64.76	33.86	56.12	65.55	59	o42y
r75j	74.12	17.13	66.74	68.9	76	o67y
j00g	85.5	-3.22	79.65	79.72	92	o92y
j25g	79.45	-24.05	66.85	71.04	110	y20l
j50g	69.75	-38.03	49.98	62.8	127	y46l
j75g	61.38	-50.1	35.41	61.35	145	y72l
g00b	52.6	-62.77	20.12	65.92	162	y99l
g25b	55.39	-47.66	-8.06	48.34	190	l36c
g50b	57.43	-36.92	-27.8	46.22	217	l72c
g75b	55.19	-21.2	-44.17	48.99	244	c11v
b00r	41.84	1.31	-43.28	43.3	272	c56v
b25r	29.72	24.12	-41.48	47.98	300	v04m
b50r	38.41	44.74	-27.3	52.41	329	v55m
b75r	49.41	70.07	-3.62	70.16	357	m11o



Ein und Ausgabe: Farbmetrisches Drucker-Reflektiv-System ORS20_95a für relativen CIELAB-Buntton $h^* = lab^*h^* = h_{ab}/360 = 0.305$

Daten für jede Farbe:

lab^*tch^* und lab^*icu^*

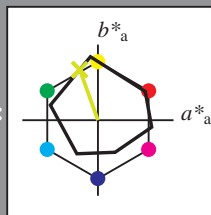
Bunttontexte:

$u^*_e = j25g$ $u^*_d = y20l$

Kontrastreduzierungsfaktor:

$c_R = 0.96$

Dreiecks-Helligkeit i^*



ORS20_95a; adaptierte CIELAB-Daten

u^*_e	$L^*=L^*_a$	a^*_a	b^*_a	$C^*_{ab,a}$	$h^*_{ab,a}$
O _{Ma}	48.71	62.56	37.91	73.15	31
Y _{Ma}	89.25	-9.92	83.91	84.49	97
L _{Ma}	52.5	-62.91	19.95	66.0	162
C _{Ma}	59.15	-27.87	-44.43	52.45	238
V _{Ma}	29.13	22.73	-42.44	48.14	298
M _{Ma}	49.51	71.08	-9.19	71.67	353
N _{Ma}	20.0	0.0	0.0	0.0	0
W _{Ma}	95.0	0.0	0.0	0.0	0
R _{Ma}	39.92	58.74	27.99	65.07	25
J _{Ma}	81.26	-2.89	71.56	71.62	92
G _{Ma}	52.23	-42.42	13.6	44.55	162
B _{Ma}	30.57	1.41	-46.47	46.49	272

Daten für Maximalfarbe (Ma):

$LAB^*LAB^*_{Ma}$: 79 -24 67

$LAB^*LCH^*_{Ma}$: 79 71 109

$lab^*rgb^*_{Ma}$: 0.75 1.0 0.0

$lab^*olv^*_{Ma}$: 0.8 1.0 0.0

Dreiecks-Helligkeit i^*

%Umfang

$u^*_{rel} = 83$

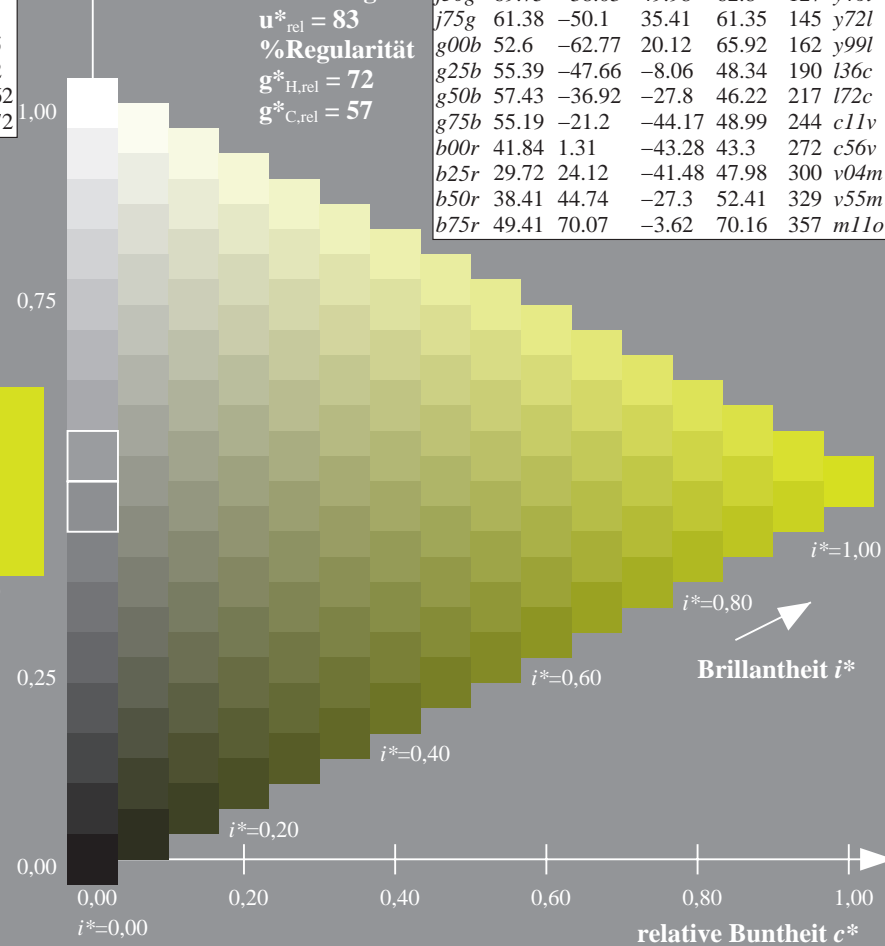
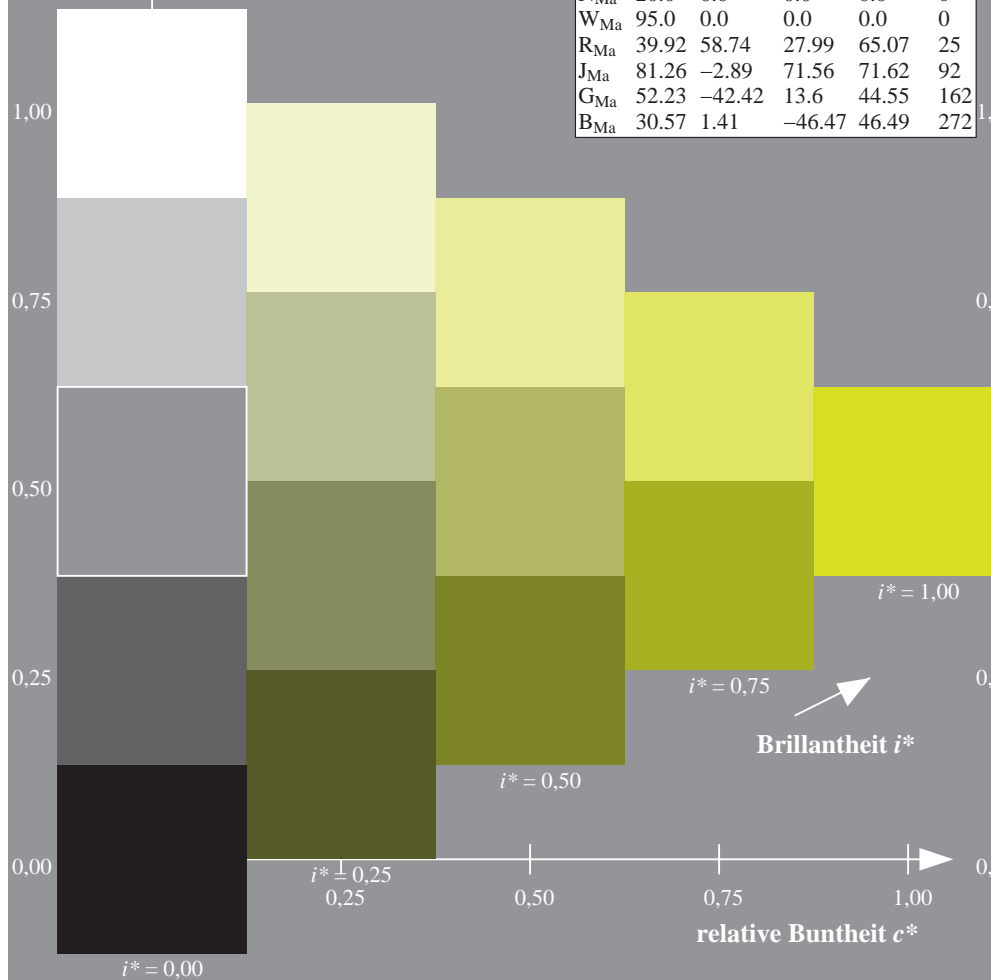
%Regularität

$g^*_{H,rel} = 72$

$g^*_{C,rel} = 57$

ORS20_95a; adaptierte CIELAB-Daten

u^*_e	$L^*=L^*_a$	a^*_a	b^*_a	$C^*_{ab,a}$	$h^*_{ab,a}$	u^*_d
r00j	48.83	63.91	30.45	70.79	25	m84o
r25j	55.53	50.37	45.65	67.97	42	o17y
r50j	64.76	33.86	56.12	65.55	59	o42y
r75j	74.12	17.13	66.74	68.9	76	o67y
j00g	85.5	-3.22	79.65	79.72	92	o92y
j25g	79.45	-24.05	66.85	71.04	110	y20l
j50g	69.75	-38.03	49.98	62.8	127	y46l
j75g	61.38	-50.1	35.41	61.35	145	y72l
g00b	52.6	-62.77	20.12	65.92	162	y99l
g25b	55.39	-47.66	-8.06	48.34	190	l36c
g50b	57.43	-36.92	-27.8	46.22	217	l72c
g75b	55.19	-21.2	-44.17	48.99	244	c11v
b00r	41.84	1.31	-43.28	43.3	272	c56v
b25r	29.72	24.12	-41.48	47.98	300	v04m
b50r	38.41	44.74	-27.3	52.41	329	v55m
b75r	49.41	70.07	-3.62	70.16	357	m11o



Ein und Ausgabe: Farbmetrisches Drucker-Reflektiv-System ORS20_95a für relativen CIELAB-Buntton $h^* = lab^*h^* = h_{ab}/360 = 0.354$

Daten für jede Farbe:

lab^*tch^* und lab^*icu^*

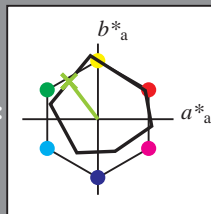
Bunttontexte:

$u^*_e = j50g$ $u^*_d = y46l$

Kontrastreduzierungsfaktor:

$c_R = 0.96$

Dreiecks-Helligkeit i^*



ORS20_95a; adaptierte CIELAB-Daten

u^*_e	$L^*=L^*_a$	a^*_a	b^*_a	$C^*_{ab,a}$	$h^*_{ab,a}$
O _{Ma}	48.71	62.56	37.91	73.15	31
Y _{Ma}	89.25	-9.92	83.91	84.49	97
L _{Ma}	52.5	-62.91	19.95	66.0	162
C _{Ma}	59.15	-27.87	-44.43	52.45	238
V _{Ma}	29.13	22.73	-42.44	48.14	298
M _{Ma}	49.51	71.08	-9.19	71.67	353
N _{Ma}	20.0	0.0	0.0	0.0	0
W _{Ma}	95.0	0.0	0.0	0.0	0
R _{Ma}	39.92	58.74	27.99	65.07	25
J _{Ma}	81.26	-2.89	71.56	71.62	92
G _{Ma}	52.23	-42.42	13.6	44.55	162
B _{Ma}	30.57	1.41	-46.47	46.49	272

Daten für Maximalfarbe (Ma):

$LAB^*LAB^*_{Ma}$: 70 -38 50

$LAB^*LCH^*_{Ma}$: 70 63 127

$lab^*rgb^*_{Ma}$: 0.5 1.0 0.0

$lab^*olv^*_{Ma}$: 0.54 1.0 0.0

Dreiecks-Helligkeit i^*

%Umfang

$u^*_{rel} = 83$

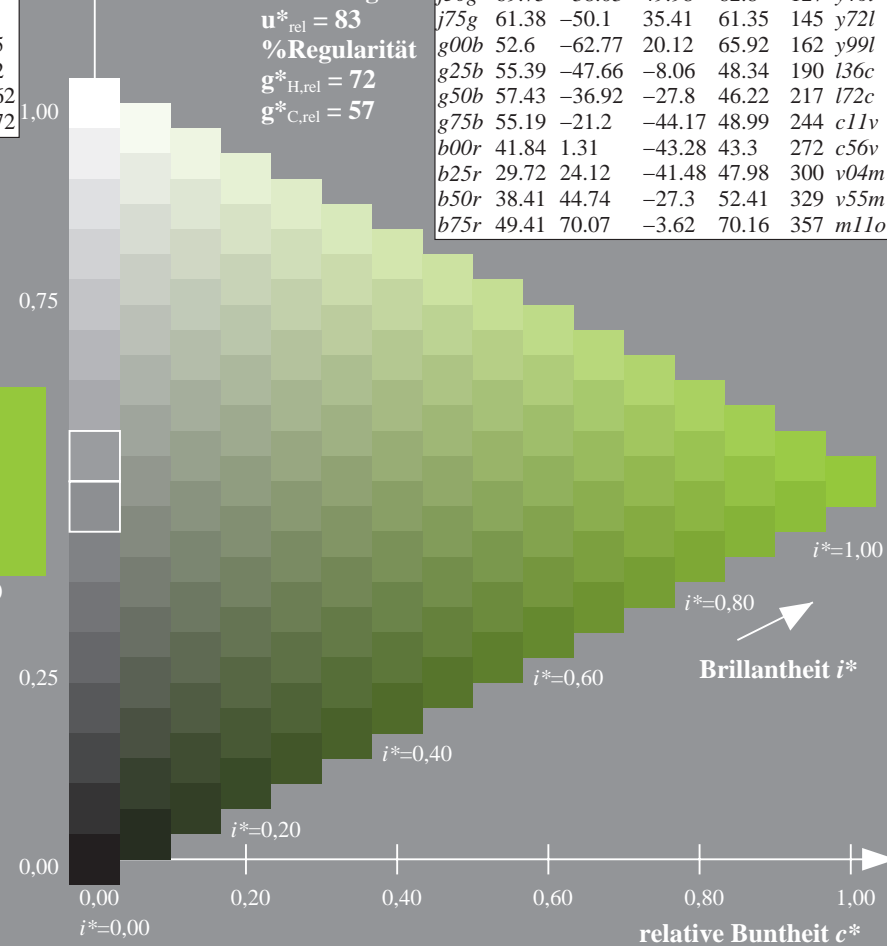
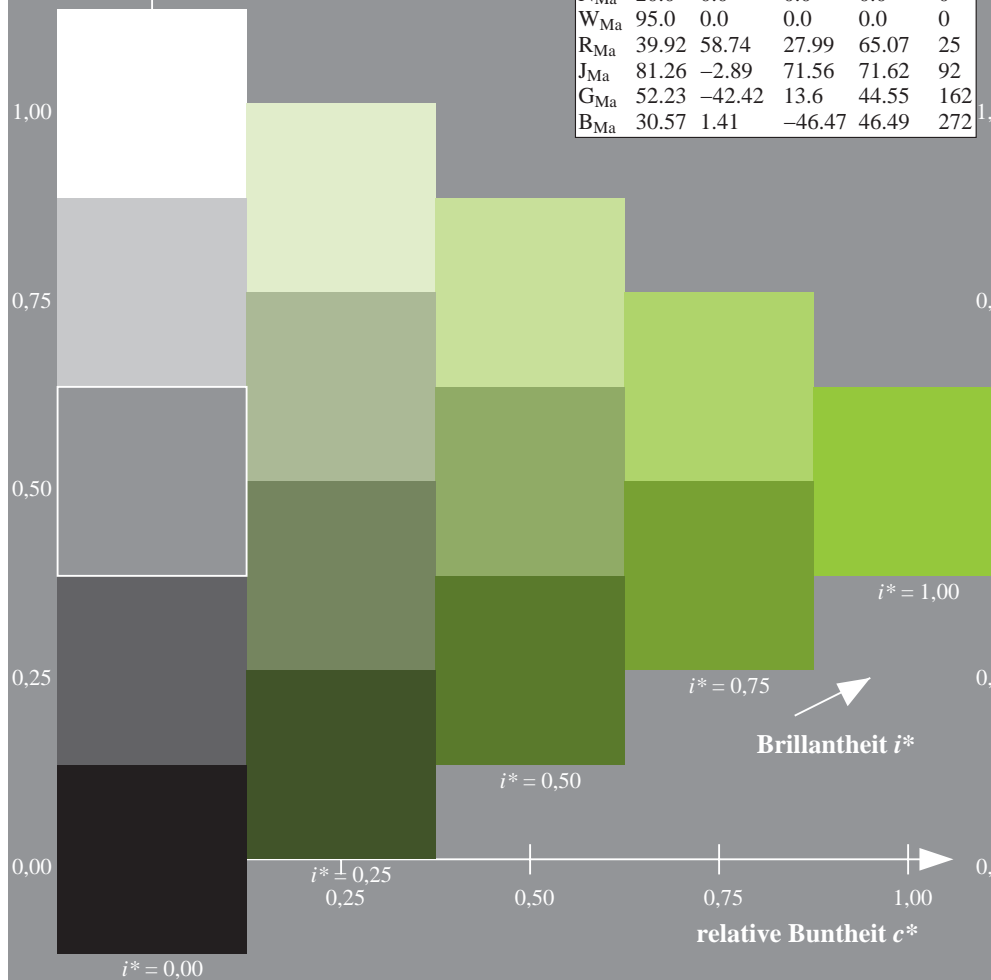
%Regularität

$g^*_{H,rel} = 72$

$g^*_{C,rel} = 57$

ORS20_95a; adaptierte CIELAB-Daten

u^*_e	$L^*=L^*_a$	a^*_a	b^*_a	$C^*_{ab,a}$	$h^*_{ab,a}$	u^*_d
r00j	48.83	63.91	30.45	70.79	25	m84o
r25j	55.53	50.37	45.65	67.97	42	o17y
r50j	64.76	33.86	56.12	65.55	59	o42y
r75j	74.12	17.13	66.74	68.9	76	o67y
j00g	85.5	-3.22	79.65	79.72	92	o92y
j25g	79.45	-24.05	66.85	71.04	110	y20l
j50g	69.75	-38.03	49.98	62.8	127	y46l
j75g	61.38	-50.1	35.41	61.35	145	y72l
g00b	52.6	-62.77	20.12	65.92	162	y99l
g25b	55.39	-47.66	-8.06	48.34	190	l36c
g50b	57.43	-36.92	-27.8	46.22	217	l72c
g75b	55.19	-21.2	-44.17	48.99	244	c11v
b00r	41.84	1.31	-43.28	43.3	272	c56v
b25r	29.72	24.12	-41.48	47.98	300	v04m
b50r	38.41	44.74	-27.3	52.41	329	v55m
b75r	49.41	70.07	-3.62	70.16	357	m11o



Ein und Ausgabe: Farbmetrisches Drucker-Reflektiv-System ORS20_95a für relativen CIELAB-Buntton $h^* = lab^*h^* = h_{ab}/360 = 0.402$

Daten für jede Farbe:

lab^*tch^* und lab^*icu^*

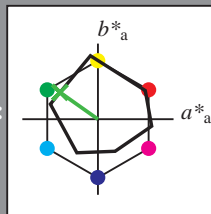
Bunttontexte:

$u^*_e = j75g$ $u^*_d = y72l$

Kontrastreduzierungsfaktor:

$c_R = 0.96$

Dreiecks-Helligkeit i^*



ORS20_95a; adaptierte CIELAB-Daten

	u^*_e	$L^*=L^*_a$	a^*_a	b^*_a	$C^*_{ab,a}$	$h^*_{ab,a}$
O _{Ma}	48.71	62.56	37.91	73.15	31	
Y _{Ma}	89.25	-9.92	83.91	84.49	97	
L _{Ma}	52.5	-62.91	19.95	66.0	162	
C _{Ma}	59.15	-27.87	-44.43	52.45	238	
V _{Ma}	29.13	22.73	-42.44	48.14	298	
M _{Ma}	49.51	71.08	-9.19	71.67	353	
N _{Ma}	20.0	0.0	0.0	0.0	0	
W _{Ma}	95.0	0.0	0.0	0.0	0	
R _{Ma}	39.92	58.74	27.99	65.07	25	
J _{Ma}	81.26	-2.89	71.56	71.62	92	
G _{Ma}	52.23	-42.42	13.6	44.55	162	
B _{Ma}	30.57	1.41	-46.47	46.49	272	

Daten für Maximalfarbe (Ma):

LAB^*LAB^*Ma : 61 -50 35

LAB^*LCH^*Ma : 61 61 144

lab^*rgb^*Ma : 0.25 1.0 0.0

lab^*olv^*Ma : 0.27 1.0 0.0

Dreiecks-Helligkeit i^*

%Umfang

$u^*_{rel} = 83$

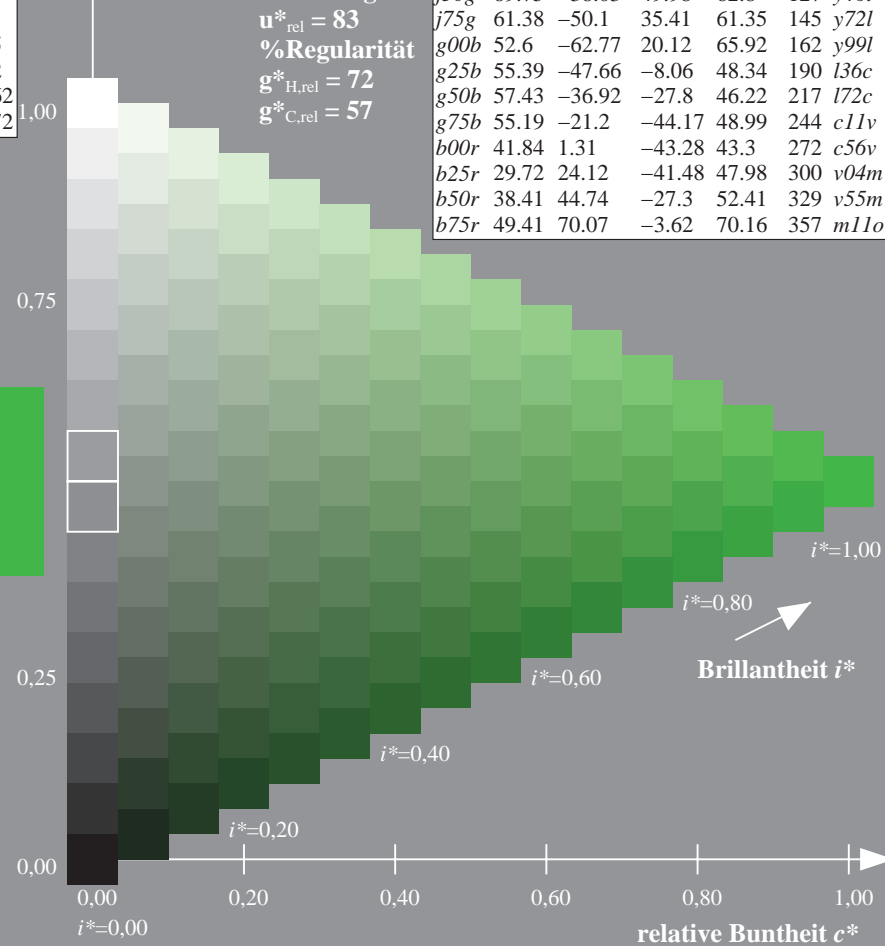
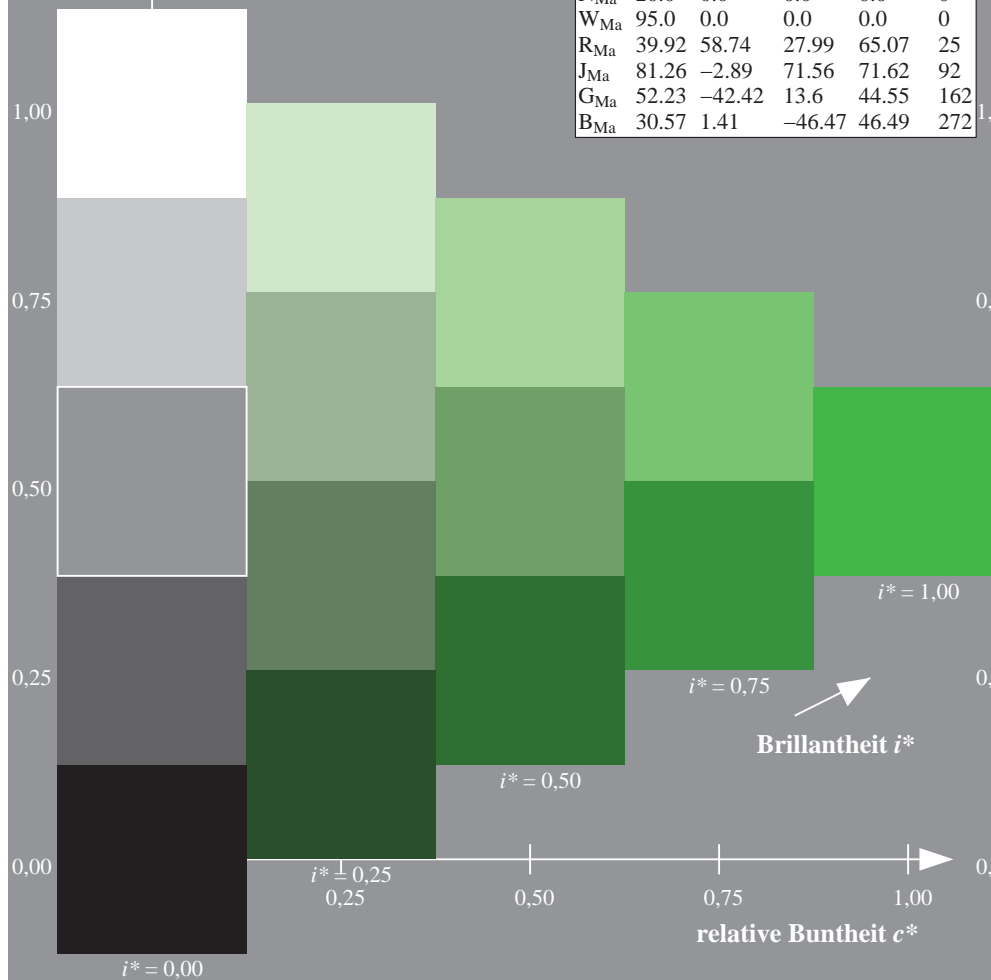
%Regularität

$g^*_{H,rel} = 72$

$g^*_{C,rel} = 57$

ORS20_95a; adaptierte CIELAB-Daten

	u^*_e	$L^*=L^*_a$	a^*_a	b^*_a	$C^*_{ab,a}$	$h^*_{ab,a}$	u^*_d
r00j	48.83	63.91	30.45	70.79	25	m84o	
r25j	55.53	50.37	45.65	67.97	42	o17y	
r50j	64.76	33.86	56.12	65.55	59	o42y	
r75j	74.12	17.13	66.74	68.9	76	o67y	
j00g	85.5	-3.22	79.65	79.72	92	o92y	
j25g	79.45	-24.05	66.85	71.04	110	y20l	
j50g	69.75	-38.03	49.98	62.8	127	y46l	
j75g	61.38	-50.1	35.41	61.35	145	y72l	
g00b	52.6	-62.77	20.12	65.92	162	y99l	
g25b	55.39	-47.66	-8.06	48.34	190	l36c	
g50b	57.43	-36.92	-27.8	46.22	217	l72c	
g75b	55.19	-21.2	-44.17	48.99	244	c11v	
b00r	41.84	1.31	-43.28	43.3	272	c56v	
b25r	29.72	24.12	-41.48	47.98	300	v04m	
b50r	38.41	44.74	-27.3	52.41	329	v55m	
b75r	49.41	70.07	-3.62	70.16	357	m11o	



Ein und Ausgabe: Farbmetrisches Drucker-Reflektiv-System ORS20_95a für relativen CIELAB-Buntton $h^* = lab^*h^* = h_{ab}/360 = 0.451$

Daten für jede Farbe:

lab^*ch^* und lab^*icu^*

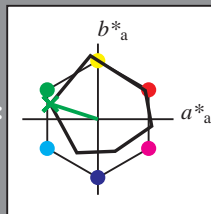
Bunttontexte:

$u^*_e = g00b$ $u^*_d = y99l$

Kontrastreduzierungsfaktor:

$c_R = 0.96$

Dreiecks-Helligkeit i^*



ORS20_95a; adaptierte CIELAB-Daten						
u^*_e	$L^*=L^*_a$	a^*_a	b^*_a	$C^*_{ab,a}$	$h^*_{ab,a}$	
O _{Ma}	48.71	62.56	37.91	73.15	31	
Y _{Ma}	89.25	-9.92	83.91	84.49	97	
L _{Ma}	52.5	-62.91	19.95	66.0	162	
C _{Ma}	59.15	-27.87	-44.43	52.45	238	
V _{Ma}	29.13	22.73	-42.44	48.14	298	
M _{Ma}	49.51	71.08	-9.19	71.67	353	
N _{Ma}	20.0	0.0	0.0	0.0	0	
W _{Ma}	95.0	0.0	0.0	0.0	0	
R _{Ma}	39.92	58.74	27.99	65.07	25	
J _{Ma}	81.26	-2.89	71.56	71.62	92	
G _{Ma}	52.23	-42.42	13.6	44.55	162	
B _{Ma}	30.57	1.41	-46.47	46.49	272	

Daten für Maximalfarbe (Ma):

$LAB^*LAB^*_{Ma}$: 53 -63 20

$LAB^*LCH^*_{Ma}$: 53 66 162

$lab^*rgb^*_{Ma}$: 0.0 1.0 0.0

$lab^*olv^*_{Ma}$: 0.0 1.0 0.0

Dreiecks-Helligkeit i^*

%Umfang

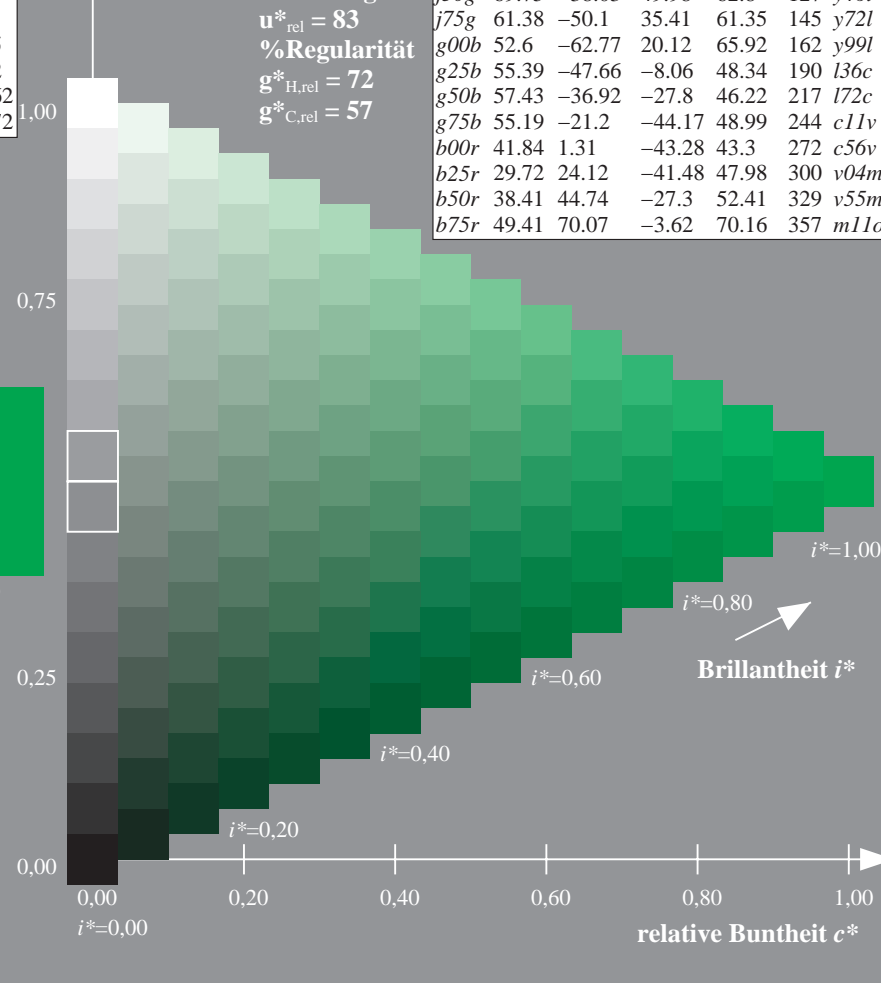
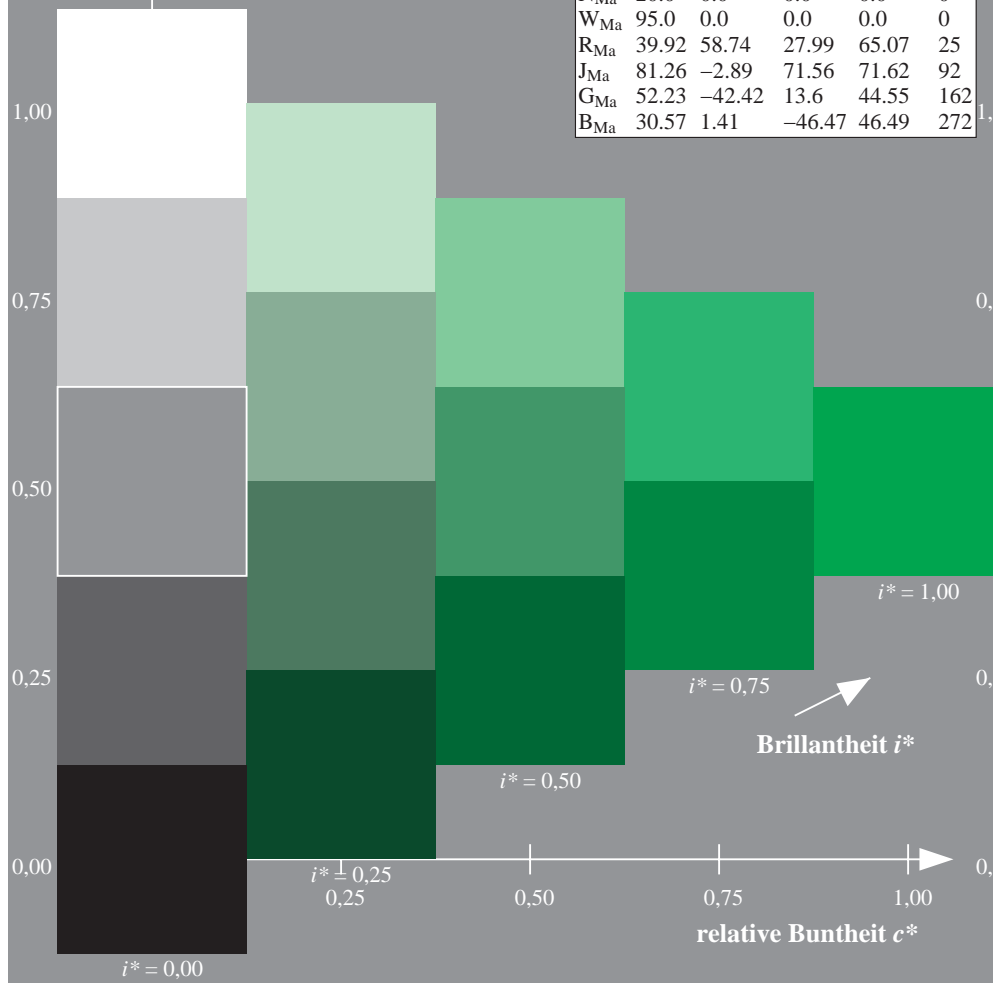
$u^*_{rel} = 83$

%Regularität

$g^*_{H,rel} = 72$

$g^*_{C,rel} = 57$

ORS20_95a; adaptierte CIELAB-Daten						
u^*_e	$L^*=L^*_a$	a^*_a	b^*_a	$C^*_{ab,a}$	$h^*_{ab,a}$	u^*_d
r00j	48.83	63.91	30.45	70.79	25	m84o
r25j	55.53	50.37	45.65	67.97	42	o17y
r50j	64.76	33.86	56.12	65.55	59	o42y
r75j	74.12	17.13	66.74	68.9	76	o67y
j00g	85.5	-3.22	79.65	79.72	92	o92y
j25g	79.45	-24.05	66.85	71.04	110	y20l
j50g	69.75	-38.03	49.98	62.8	127	y46l
j75g	61.38	-50.1	35.41	61.35	145	y72l
g00b	52.6	-62.77	20.12	65.92	162	y99l
g25b	55.39	-47.66	-8.06	48.34	190	l36c
g50b	57.43	-36.92	-27.8	46.22	217	l72c
g75b	55.19	-21.2	-44.17	48.99	244	c11v
b00r	41.84	1.31	-43.28	43.3	272	c56v
b25r	29.72	24.12	-41.48	47.98	300	v04m
b50r	38.41	44.74	-27.3	52.41	329	v55m
b75r	49.41	70.07	-3.62	70.16	357	m11o



Ein und Ausgabe: Farbmetrisches Drucker-Reflektiv-System ORS20_95a für relativen CIELAB-Buntton $h^* = lab^*h^* = h_{ab}/360 = 0.527$

Daten für jede Farbe:

lab^*tch^* und lab^*icu^*

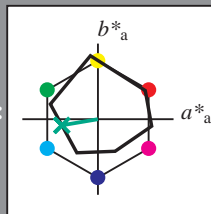
Bunttontexte:

$u^*_e = g25b$ $u^*_d = l36c$

Kontrastreduzierungsfaktor:

$c_R = 0.96$

Dreiecks-Helligkeit i^*



ORS20_95a; adaptierte CIELAB-Daten

u^*_e	$L^*=L^*_a$	a^*_a	b^*_a	$C^*_{ab,a}$	$h^*_{ab,a}$
O _{Ma}	48.71	62.56	37.91	73.15	31
Y _{Ma}	89.25	-9.92	83.91	84.49	97
L _{Ma}	52.5	-62.91	19.95	66.0	162
C _{Ma}	59.15	-27.87	-44.43	52.45	238
V _{Ma}	29.13	22.73	-42.44	48.14	298
M _{Ma}	49.51	71.08	-9.19	71.67	353
N _{Ma}	20.0	0.0	0.0	0.0	0
W _{Ma}	95.0	0.0	0.0	0.0	0
R _{Ma}	39.92	58.74	27.99	65.07	25
J _{Ma}	81.26	-2.89	71.56	71.62	92
G _{Ma}	52.23	-42.42	13.6	44.55	162
B _{Ma}	30.57	1.41	-46.47	46.49	272

Daten für Maximalfarbe (Ma):

$LAB^*LAB^*_{Ma}$: 55 -48 -8

$LAB^*LCH^*_{Ma}$: 55 48 189

$lab^*rgb^*_{Ma}$: 0.0 1.0 0.5

$lab^*olv^*_{Ma}$: 0.0 1.0 0.36

Dreiecks-Helligkeit i^*

%Umfang

$u^*_{rel} = 83$

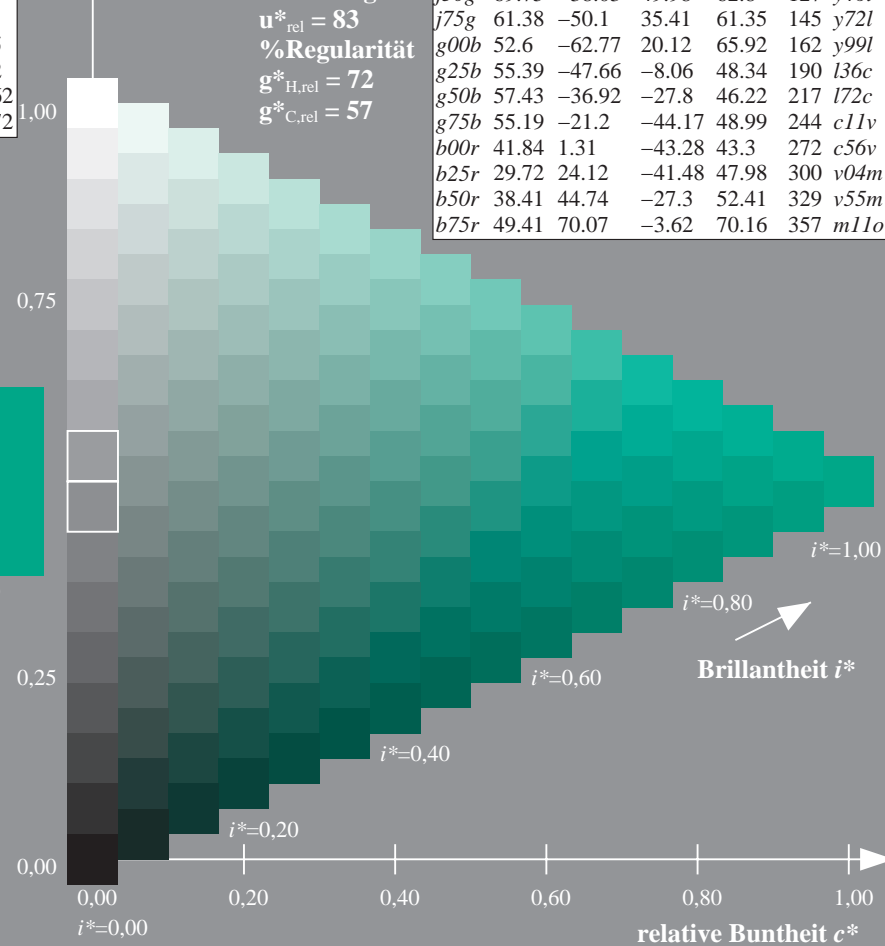
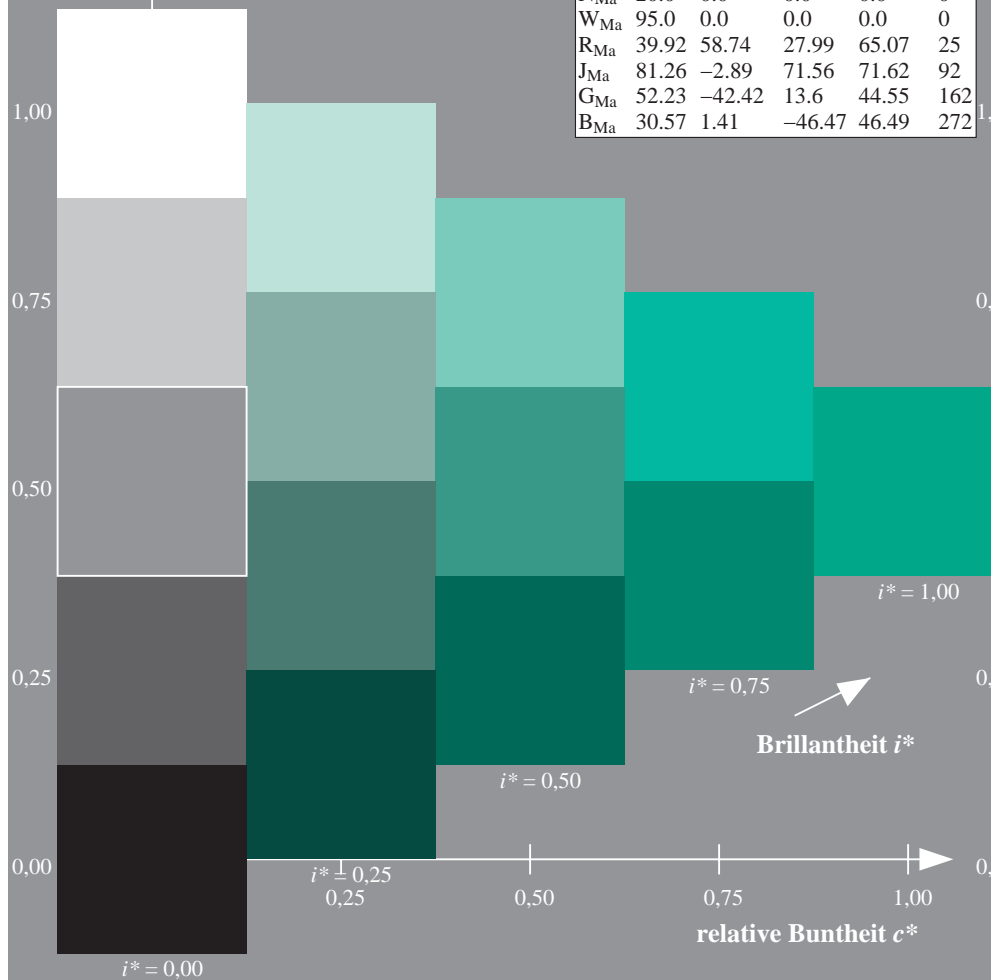
%Regularität

$g^*_{H,rel} = 72$

$g^*_{C,rel} = 57$

ORS20_95a; adaptierte CIELAB-Daten

u^*_e	$L^*=L^*_a$	a^*_a	b^*_a	$C^*_{ab,a}$	$h^*_{ab,a}$	u^*_d
r00j	48.83	63.91	30.45	70.79	25	m84o
r25j	55.53	50.37	45.65	67.97	42	o17y
r50j	64.76	33.86	56.12	65.55	59	o42y
r75j	74.12	17.13	66.74	68.9	76	o67y
j00g	85.5	-3.22	79.65	79.72	92	o92y
j25g	79.45	-24.05	66.85	71.04	110	y20l
j50g	69.75	-38.03	49.98	62.8	127	y46l
j75g	61.38	-50.1	35.41	61.35	145	y72l
g00b	52.6	-62.77	20.12	65.92	162	y99l
g25b	55.39	-47.66	-8.06	48.34	190	l36c
g50b	57.43	-36.92	-27.8	46.22	217	l72c
g75b	55.19	-21.2	-44.17	48.99	244	c11v
b00r	41.84	1.31	-43.28	43.3	272	c56v
b25r	29.72	24.12	-41.48	47.98	300	v04m
b50r	38.41	44.74	-27.3	52.41	329	v55m
b75r	49.41	70.07	-3.62	70.16	357	m11o



Ein und Ausgabe: Farbmetrisches Drucker-Reflektiv-System ORS20_95a für relativen CIELAB-Buntton $h^* = lab^*h^* = h_{ab}/360 = 0.603$

Daten für jede Farbe:

lab^*tch^* und lab^*icu^*

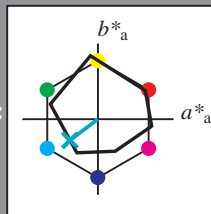
Bunttontexte:

$u^*_e = g50b$ $u^*_d = l72c$

Kontrastreduzierungsfaktor:

$c_R = 0.96$

Dreiecks-Helligkeit i^*



ORS20_95a; adaptierte CIELAB-Daten

u^*_e	$L^*=L^*_a$	a^*_a	b^*_a	$C^*_{ab,a}$	$h^*_{ab,a}$
O _{Ma}	48.71	62.56	37.91	73.15	31
Y _{Ma}	89.25	-9.92	83.91	84.49	97
L _{Ma}	52.5	-62.91	19.95	66.0	162
C _{Ma}	59.15	-27.87	-44.43	52.45	238
V _{Ma}	29.13	22.73	-42.44	48.14	298
M _{Ma}	49.51	71.08	-9.19	71.67	353
N _{Ma}	20.0	0.0	0.0	0.0	0
W _{Ma}	95.0	0.0	0.0	0.0	0
R _{Ma}	39.92	58.74	27.99	65.07	25
J _{Ma}	81.26	-2.89	71.56	71.62	92
G _{Ma}	52.23	-42.42	13.6	44.55	162
B _{Ma}	30.57	1.41	-46.47	46.49	272

Daten für Maximalfarbe (Ma):

$LAB^*LAB^*_{Ma}$: 57 -37 -28

$LAB^*LCH^*_{Ma}$: 57 46 216

$lab^*rgb^*_{Ma}$: 0.0 1.0 1.0

$lab^*olv^*_{Ma}$: 0.0 1.0 0.72

Dreiecks-Helligkeit i^*

%Umfang

$u^*_{rel} = 83$

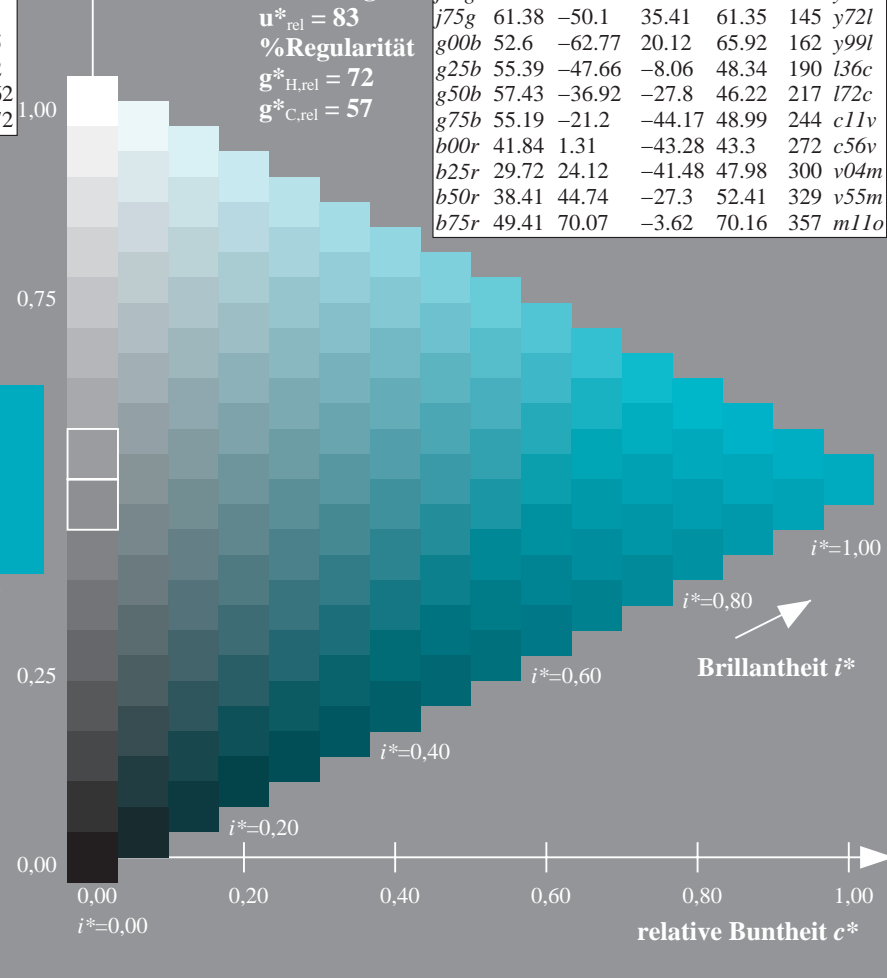
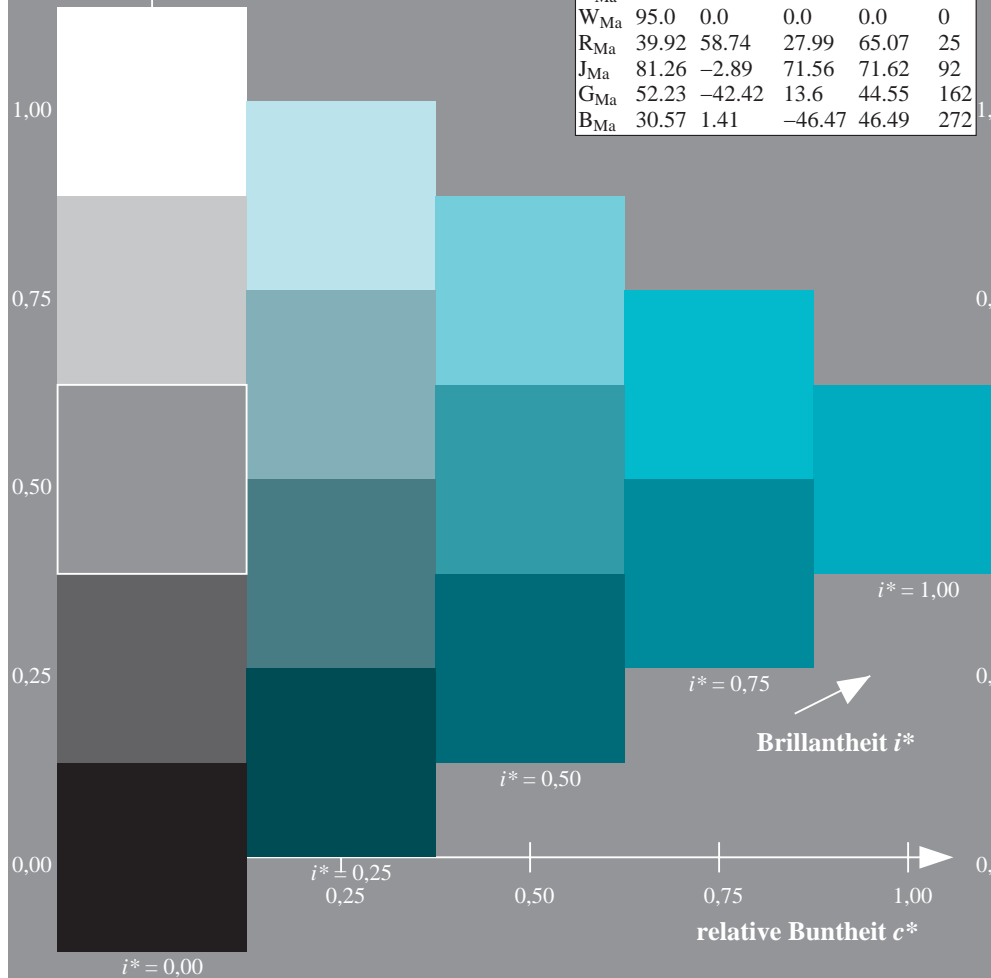
%Regularität

$g^*_{H,rel} = 72$

$g^*_{C,rel} = 57$

ORS20_95a; adaptierte CIELAB-Daten

u^*_e	$L^*=L^*_a$	a^*_a	b^*_a	$C^*_{ab,a}$	$h^*_{ab,a}$	u^*_d
r00j	48.83	63.91	30.45	70.79	25	m84o
r25j	55.53	50.37	45.65	67.97	42	o17y
r50j	64.76	33.86	56.12	65.55	59	o42y
r75j	74.12	17.13	66.74	68.9	76	o67y
j00g	85.5	-3.22	79.65	79.72	92	o92y
j25g	79.45	-24.05	66.85	71.04	110	y20l
j50g	69.75	-38.03	49.98	62.8	127	y46l
j75g	61.38	-50.1	35.41	61.35	145	y72l
g00b	52.6	-62.77	20.12	65.92	162	y99l
g25b	55.39	-47.66	-8.06	48.34	190	l36c
g50b	57.43	-36.92	-27.8	46.22	217	l72c
g75b	55.19	-21.2	-44.17	48.99	244	c11v
b00r	41.84	1.31	-43.28	43.3	272	c56v
b25r	29.72	24.12	-41.48	47.98	300	v04m
b50r	38.41	44.74	-27.3	52.41	329	v55m
b75r	49.41	70.07	-3.62	70.16	357	m11o



Ein und Ausgabe: Farbmetrisches Drucker-Reflektiv-System ORS20_95a für relativen CIELAB-Buntton $h^* = lab^*h^* = h_{ab}/360 = 0.679$

Daten für jede Farbe:

lab^*tch^* und lab^*icu^*

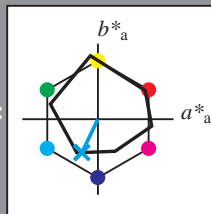
Bunttontexte:

$u^*_e = g75b$ $u^*_d = c11v$

Kontrastreduzierungsfaktor:

$c_R = 0.96$

Dreiecks-Helligkeit i^*



ORS20_95a; adaptierte CIELAB-Daten

	u^*_e	$L^*=L^*_a$	a^*_a	b^*_a	$C^*_{ab,a}$	$h^*_{ab,a}$
O _{Ma}	48.71	62.56	37.91	73.15	31	
Y _{Ma}	89.25	-9.92	83.91	84.49	97	
L _{Ma}	52.5	-62.91	19.95	66.0	162	
C _{Ma}	59.15	-27.87	-44.43	52.45	238	
V _{Ma}	29.13	22.73	-42.44	48.14	298	
M _{Ma}	49.51	71.08	-9.19	71.67	353	
N _{Ma}	20.0	0.0	0.0	0.0	0	
W _{Ma}	95.0	0.0	0.0	0.0	0	
R _{Ma}	39.92	58.74	27.99	65.07	25	
J _{Ma}	81.26	-2.89	71.56	71.62	92	
G _{Ma}	52.23	-42.42	13.6	44.55	162	
B _{Ma}	30.57	1.41	-46.47	46.49	272	

Daten für Maximalfarbe (Ma):

$LAB^*LAB^*_{Ma}$: 55 -21 -44

$LAB^*LCH^*_{Ma}$: 55 49 244

$lab^*rgb^*_{Ma}$: 0.0 0.5 1.0

$lab^*olv^*_{Ma}$: 0.0 0.89 1.0

Dreiecks-Helligkeit i^*

%Umfang

$u^*_{rel} = 83$

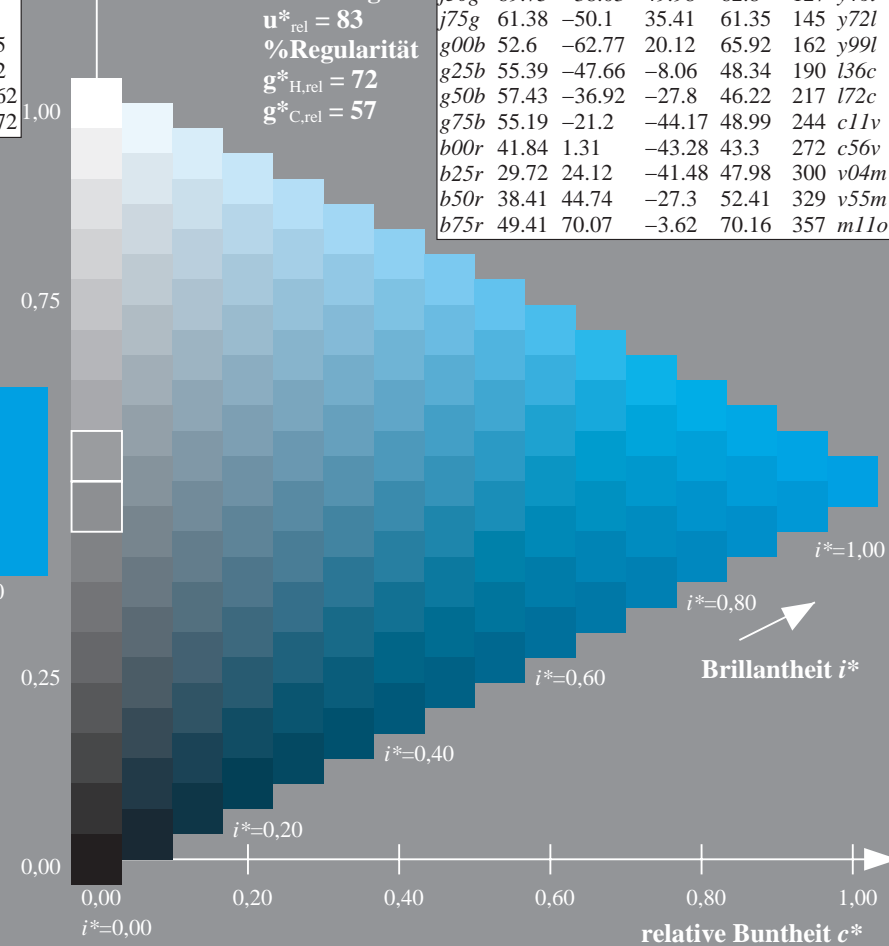
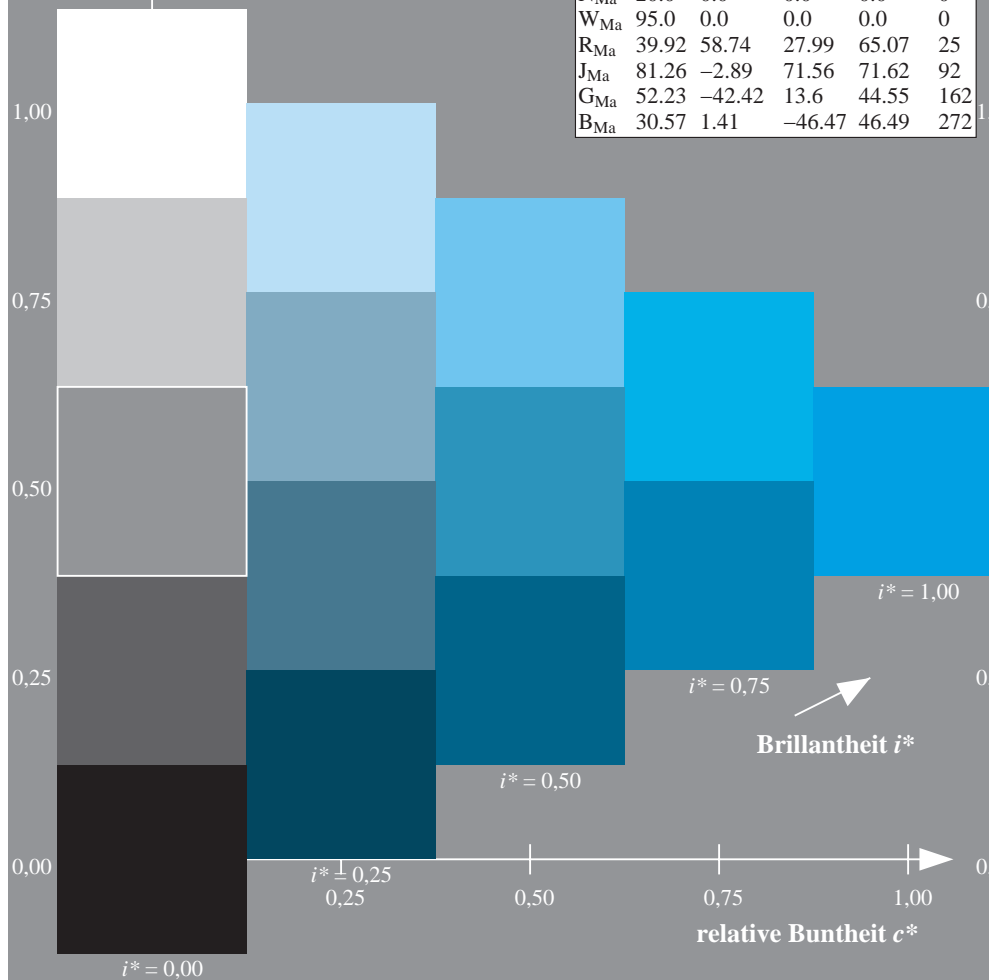
%Regularität

$g^*_{H,rel} = 72$

$g^*_{C,rel} = 57$

ORS20_95a; adaptierte CIELAB-Daten

	u^*_e	$L^*=L^*_a$	a^*_a	b^*_a	$C^*_{ab,a}$	$h^*_{ab,a}$	u^*_d
r00j	48.83	63.91	30.45	70.79	25	m84o	
r25j	55.53	50.37	45.65	67.97	42	o17y	
r50j	64.76	33.86	56.12	65.55	59	o42y	
r75j	74.12	17.13	66.74	68.9	76	o67y	
j00g	85.5	-3.22	79.65	79.72	92	o92y	
j25g	79.45	-24.05	66.85	71.04	110	y20l	
j50g	69.75	-38.03	49.98	62.8	127	y46l	
j75g	61.38	-50.1	35.41	61.35	145	y72l	
g00b	52.6	-62.77	20.12	65.92	162	y99l	
g25b	55.39	-47.66	-8.06	48.34	190	l36c	
g50b	57.43	-36.92	-27.8	46.22	217	l72c	
g75b	55.19	-21.2	-44.17	48.99	244	c11v	
b00r	41.84	1.31	-43.28	43.3	272	c56v	
b25r	29.72	24.12	-41.48	47.98	300	v04m	
b50r	38.41	44.74	-27.3	52.41	329	v55m	
b75r	49.41	70.07	-3.62	70.16	357	m11o	



Ein und Ausgabe: Farbmétrisches Drucker-Reflektiv-System ORS20_95a für relativen CIELAB-Buntton $h^* = lab^*h^* = h_{ab}/360 = 0.755$

Daten für jede Farbe:

lab^*ch^* und lab^*icu^*

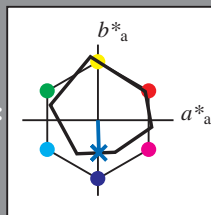
Bunttontexte:

$u^*_e = b00r$ $u^*_d = c56v$

Kontrastreduzierungsfaktor:

$c_R = 0.96$

Dreiecks-Helligkeit i^*



ORS20_95a; adaptierte CIELAB-Daten

u^*_e	$L^*=L^*_a$	a^*_a	b^*_a	$C^*_{ab,a}$	$h^*_{ab,a}$
O _{Ma}	48.71	62.56	37.91	73.15	31
Y _{Ma}	89.25	-9.92	83.91	84.49	97
L _{Ma}	52.5	-62.91	19.95	66.0	162
C _{Ma}	59.15	-27.87	-44.43	52.45	238
V _{Ma}	29.13	22.73	-42.44	48.14	298
M _{Ma}	49.51	71.08	-9.19	71.67	353
N _{Ma}	20.0	0.0	0.0	0.0	0
W _{Ma}	95.0	0.0	0.0	0.0	0
R _{Ma}	39.92	58.74	27.99	65.07	25
J _{Ma}	81.26	-2.89	71.56	71.62	92
G _{Ma}	52.23	-42.42	13.6	44.55	162
B _{Ma}	30.57	1.41	-46.47	46.49	272

Daten für Maximalfarbe (Ma):

$LAB^*LAB^*_{Ma}$: 42 1 -43

$LAB^*LCH^*_{Ma}$: 42 43 271

$lab^*rgb^*_{Ma}$: 0.0 0.0 1.0

$lab^*olv^*_{Ma}$: 0.0 0.44 1.0

Dreiecks-Helligkeit i^*

%Umfang

$u^*_{rel} = 83$

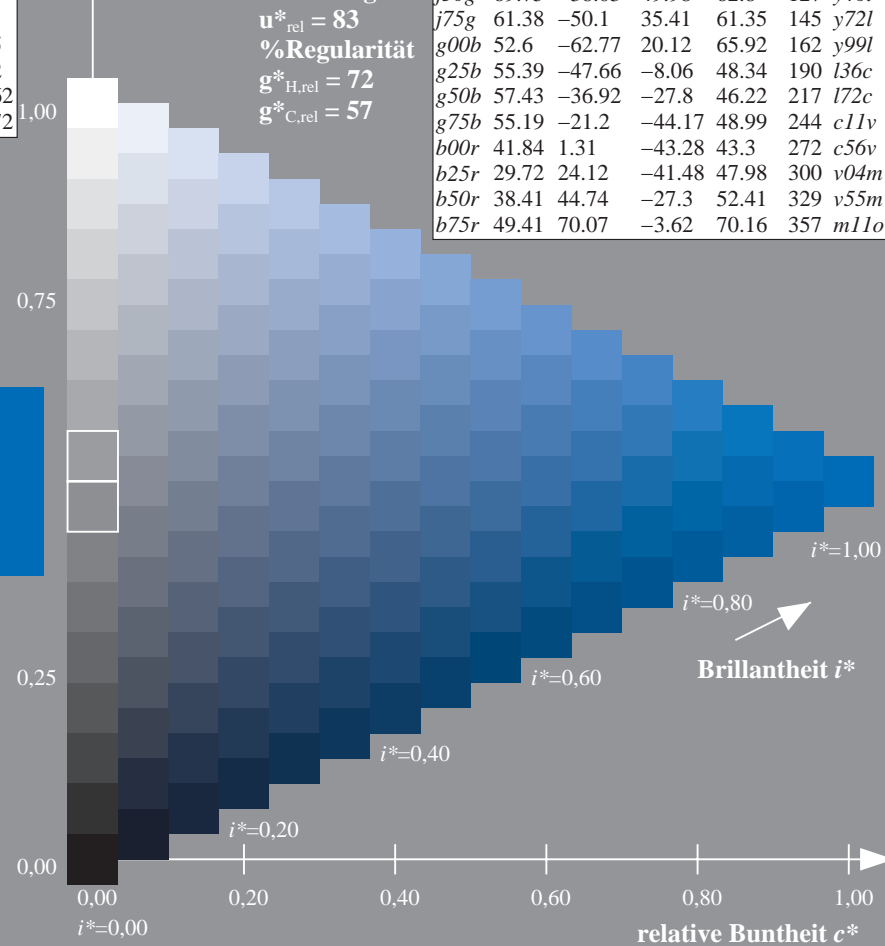
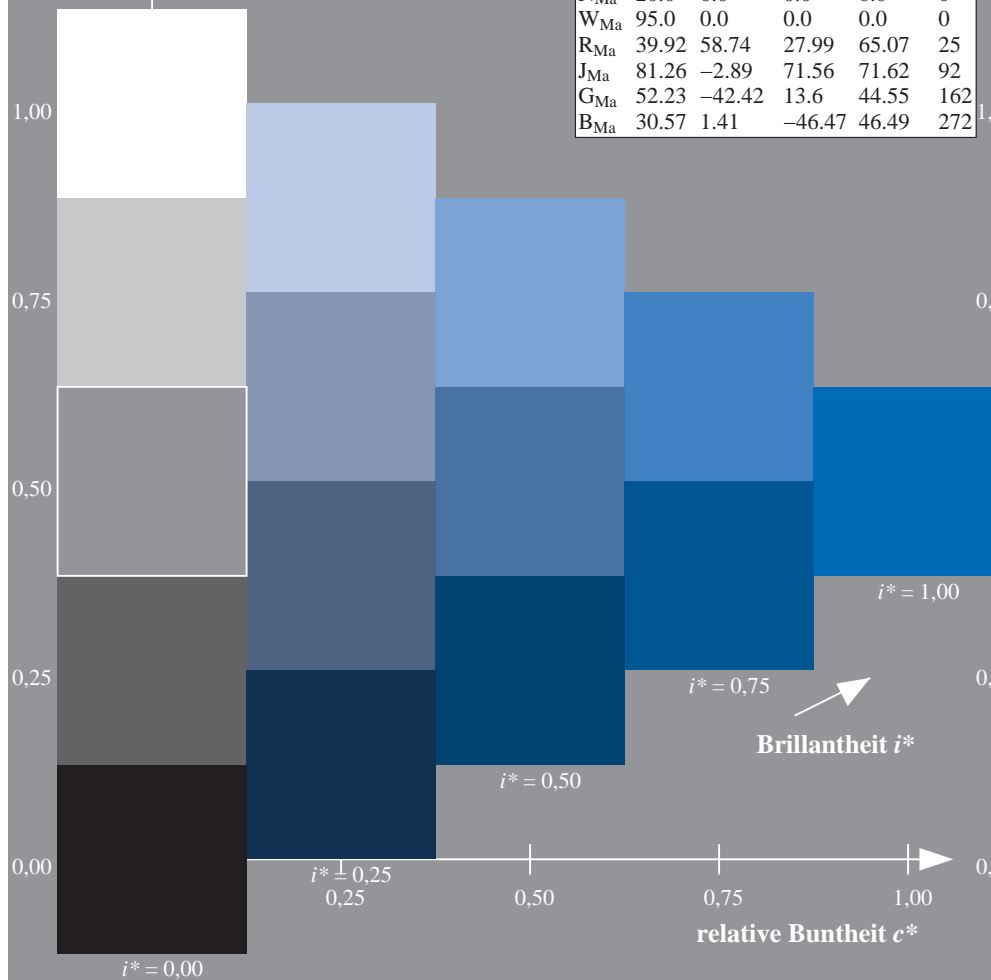
%Regularität

$g^*_{H,rel} = 72$

$g^*_{C,rel} = 57$

ORS20_95a; adaptierte CIELAB-Daten

u^*_e	$L^*=L^*_a$	a^*_a	b^*_a	$C^*_{ab,a}$	$h^*_{ab,a}$	u^*_d
r00j	48.83	63.91	30.45	70.79	25	m84o
r25j	55.53	50.37	45.65	67.97	42	o17y
r50j	64.76	33.86	56.12	65.55	59	o42y
r75j	74.12	17.13	66.74	68.9	76	o67y
j00g	85.5	-3.22	79.65	79.72	92	o92y
j25g	79.45	-24.05	66.85	71.04	110	y20l
j50g	69.75	-38.03	49.98	62.8	127	y46l
j75g	61.38	-50.1	35.41	61.35	145	y72l
g00b	52.6	-62.77	20.12	65.92	162	y99l
g25b	55.39	-47.66	-8.06	48.34	190	l36c
g50b	57.43	-36.92	-27.8	46.22	217	l72c
g75b	55.19	-21.2	-44.17	48.99	244	c11v
b00r	41.84	1.31	-43.28	43.3	272	c56v
b25r	29.72	24.12	-41.48	47.98	300	v04m
b50r	38.41	44.74	-27.3	52.41	329	v55m
b75r	49.41	70.07	-3.62	70.16	357	m11o



Ein und Ausgabe: Farbmetrisches Drucker-Reflektiv-System ORS20_95a für relativen CIELAB-Buntton $h^* = lab^*h^* = h_{ab}/360 = 0.834$

Daten für jede Farbe:

lab^*tch^* und lab^*icu^*

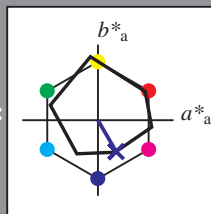
Bunttontexte:

$u^*_e = b25r$ $u^*_d = v04m$

Kontrastreduzierungsfaktor:

$c_R = 0.96$

Dreiecks-Helligkeit i^*



ORS20_95a; adaptierte CIELAB-Daten

u^*_e	$L^*=L^*_a$	a^*_a	b^*_a	$C^*_{ab,a}$	$h^*_{ab,a}$
O _{Ma}	48.71	62.56	37.91	73.15	31
Y _{Ma}	89.25	-9.92	83.91	84.49	97
L _{Ma}	52.5	-62.91	19.95	66.0	162
C _{Ma}	59.15	-27.87	-44.43	52.45	238
V _{Ma}	29.13	22.73	-42.44	48.14	298
M _{Ma}	49.51	71.08	-9.19	71.67	353
N _{Ma}	20.0	0.0	0.0	0.0	0
W _{Ma}	95.0	0.0	0.0	0.0	0
R _{Ma}	39.92	58.74	27.99	65.07	25
J _{Ma}	81.26	-2.89	71.56	71.62	92
G _{Ma}	52.23	-42.42	13.6	44.55	162
B _{Ma}	30.57	1.41	-46.47	46.49	272

Daten für Maximalfarbe (Ma):

$LAB^*LAB^*_{Ma}$: 30 24 -41

$LAB^*LCH^*_{Ma}$: 30 48 300

$lab^*rgb^*_{Ma}$: 0.5 0.0 1.0

$lab^*olv^*_{Ma}$: 0.04 0.0 1.0

Dreiecks-Helligkeit i^*

%Umfang

$u^*_{rel} = 83$

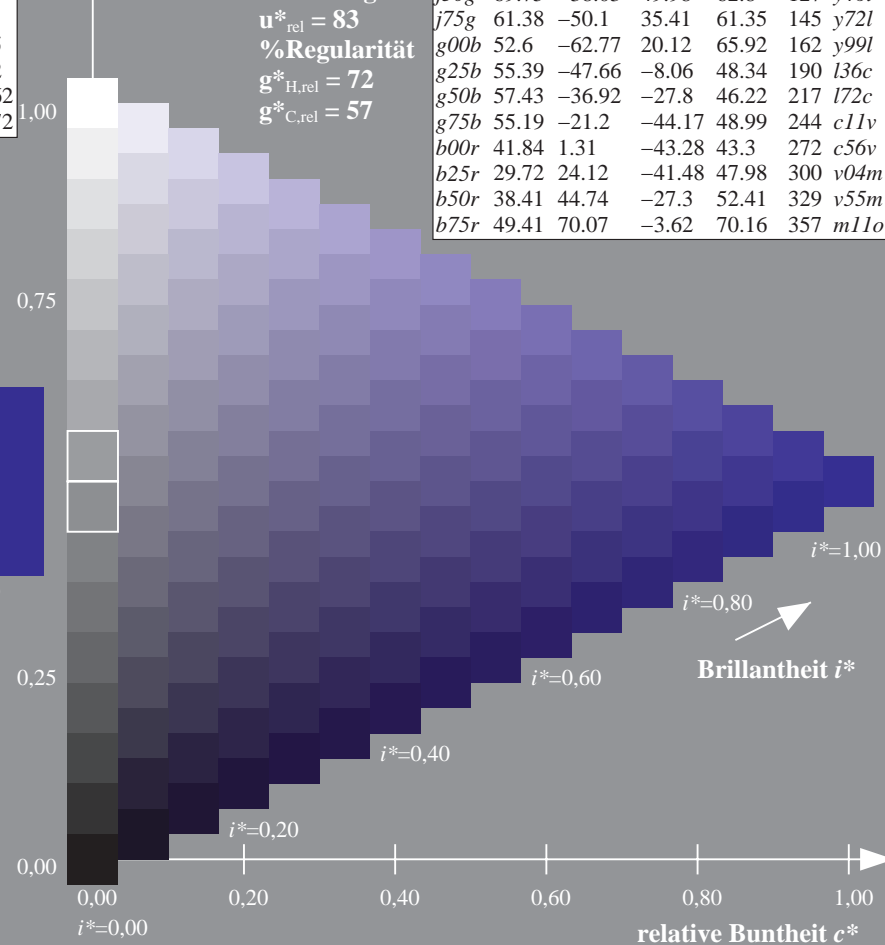
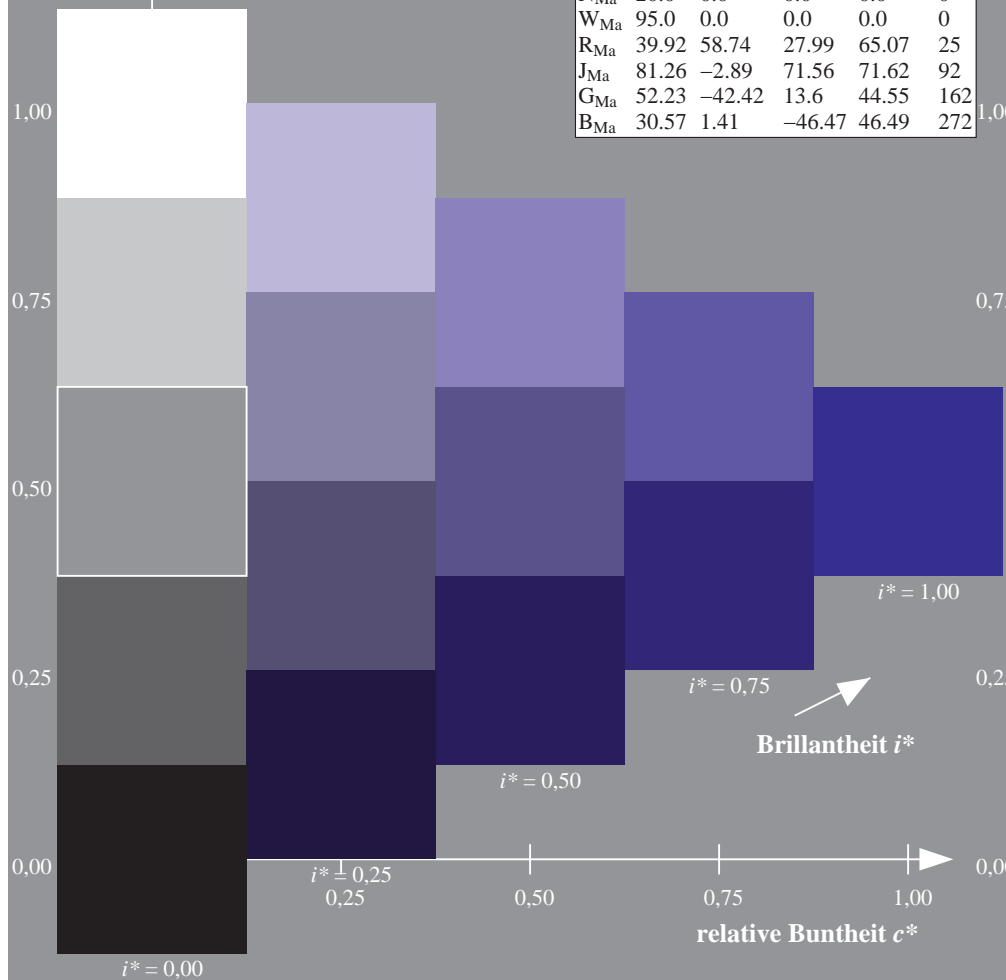
%Regularität

$g^*_{H,rel} = 72$

$g^*_{C,rel} = 57$

ORS20_95a; adaptierte CIELAB-Daten

u^*_e	$L^*=L^*_a$	a^*_a	b^*_a	$C^*_{ab,a}$	$h^*_{ab,a}$	u^*_d
r00j	48.83	63.91	30.45	70.79	25	m84o
r25j	55.53	50.37	45.65	67.97	42	o17y
r50j	64.76	33.86	56.12	65.55	59	o42y
r75j	74.12	17.13	66.74	68.9	76	o67y
j00g	85.5	-3.22	79.65	79.72	92	o92y
j25g	79.45	-24.05	66.85	71.04	110	y20l
j50g	69.75	-38.03	49.98	62.8	127	y46l
j75g	61.38	-50.1	35.41	61.35	145	y72l
g00b	52.6	-62.77	20.12	65.92	162	y99l
g25b	55.39	-47.66	-8.06	48.34	190	l36c
g50b	57.43	-36.92	-27.8	46.22	217	l72c
g75b	55.19	-21.2	-44.17	48.99	244	c11v
b00r	41.84	1.31	-43.28	43.3	272	c56v
b25r	29.72	24.12	-41.48	47.98	300	v04m
b50r	38.41	44.74	-27.3	52.41	329	v55m
b75r	49.41	70.07	-3.62	70.16	357	m11o



Ein und Ausgabe: Farbmetrisches Drucker-Reflektiv-System ORS20_95a für relativen CIELAB-Buntton $h^* = lab^*h^* = h_{ab}/360 = 0.913$

Daten für jede Farbe:

lab^*tch^* und lab^*icu^*

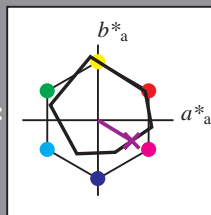
Bunttontexte:

$u^*_e = b50r$ $u^*_d = v55m$

Kontrastreduzierungsfaktor:

$c_R = 0.96$

Dreiecks-Helligkeit i^*



ORS20_95a; adaptierte CIELAB-Daten

u^*_e	$L^*=L^*_a$	a^*_a	b^*_a	$C^*_{ab,a}$	$h^*_{ab,a}$
O _{Ma}	48.71	62.56	37.91	73.15	31
Y _{Ma}	89.25	-9.92	83.91	84.49	97
L _{Ma}	52.5	-62.91	19.95	66.0	162
C _{Ma}	59.15	-27.87	-44.43	52.45	238
V _{Ma}	29.13	22.73	-42.44	48.14	298
M _{Ma}	49.51	71.08	-9.19	71.67	353
N _{Ma}	20.0	0.0	0.0	0.0	0
W _{Ma}	95.0	0.0	0.0	0.0	0
R _{Ma}	39.92	58.74	27.99	65.07	25
J _{Ma}	81.26	-2.89	71.56	71.62	92
G _{Ma}	52.23	-42.42	13.6	44.55	162
B _{Ma}	30.57	1.41	-46.47	46.49	272

Daten für Maximalfarbe (Ma):

$LAB^*LAB^*_{Ma}$: 38 45 -27

$LAB^*LCH^*_{Ma}$: 38 52 328

$lab^*rgb^*_{Ma}$: 1.0 0.0 1.0

$lab^*olv^*_{Ma}$: 0.56 0.0 1.0

Dreiecks-Helligkeit i^*

%Umfang

$u^*_{rel} = 83$

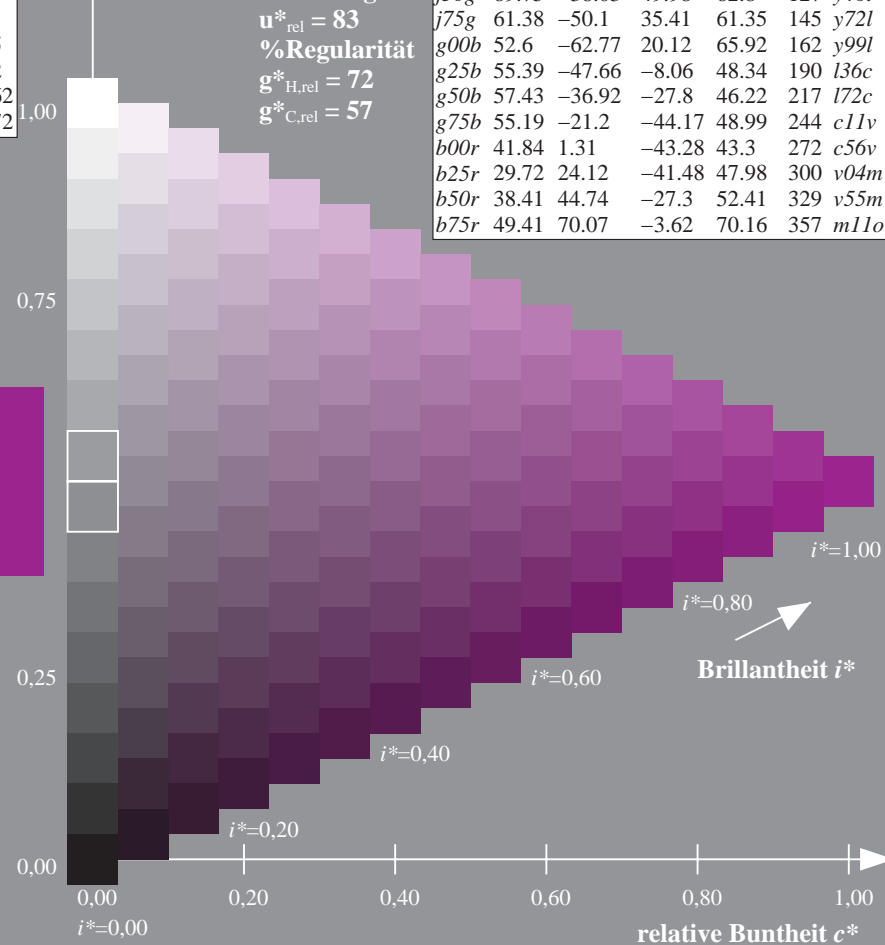
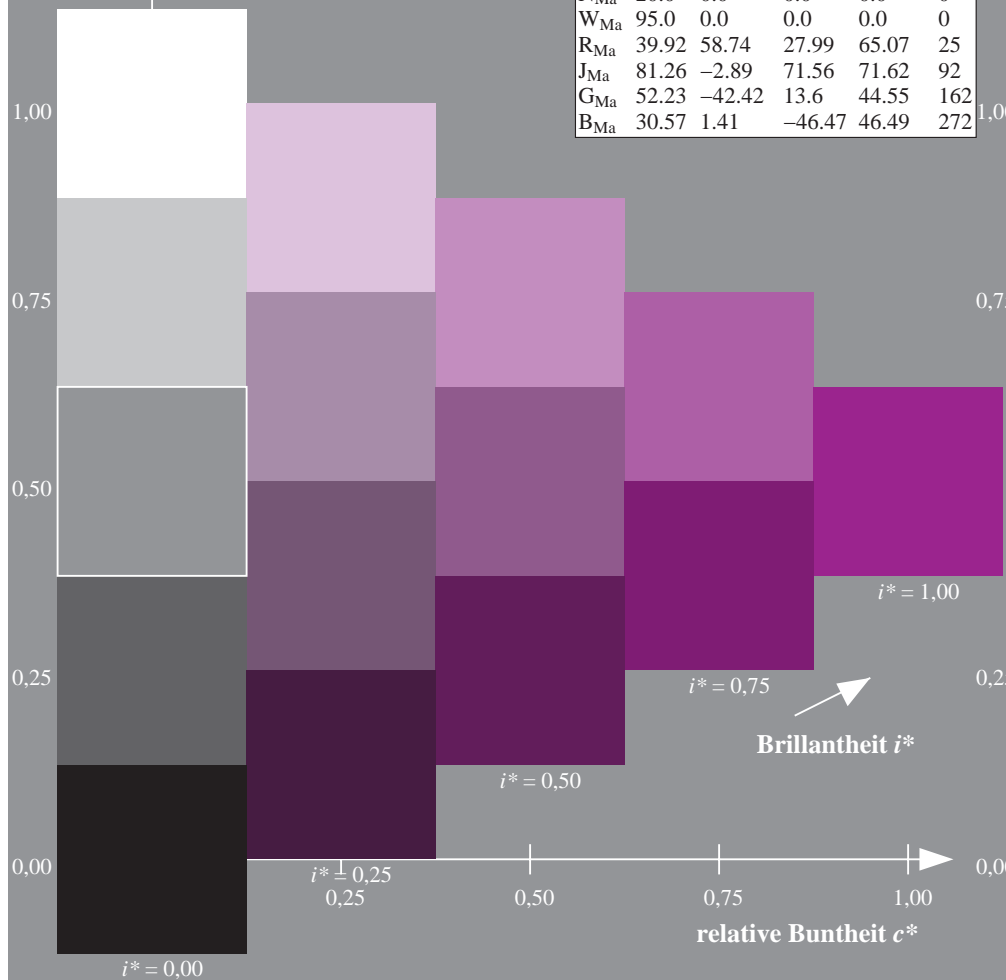
%Regularität

$g^*_{H,rel} = 72$

$g^*_{C,rel} = 57$

ORS20_95a; adaptierte CIELAB-Daten

u^*_e	$L^*=L^*_a$	a^*_a	b^*_a	$C^*_{ab,a}$	$h^*_{ab,a}$	u^*_d
r00j	48.83	63.91	30.45	70.79	25	m84o
r25j	55.53	50.37	45.65	67.97	42	o17y
r50j	64.76	33.86	56.12	65.55	59	o42y
r75j	74.12	17.13	66.74	68.9	76	o67y
j00g	85.5	-3.22	79.65	79.72	92	o92y
j25g	79.45	-24.05	66.85	71.04	110	y20l
j50g	69.75	-38.03	49.98	62.8	127	y46l
j75g	61.38	-50.1	35.41	61.35	145	y72l
g00b	52.6	-62.77	20.12	65.92	162	y99l
g25b	55.39	-47.66	-8.06	48.34	190	l36c
g50b	57.43	-36.92	-27.8	46.22	217	l72c
g75b	55.19	-21.2	-44.17	48.99	244	c11v
b00r	41.84	1.31	-43.28	43.3	272	c56v
b25r	29.72	24.12	-41.48	47.98	300	v04m
b50r	38.41	44.74	-27.3	52.41	329	v55m
b75r	49.41	70.07	-3.62	70.16	357	m11o



Ein und Ausgabe: Farbmetrisches Drucker-Reflektiv-System ORS20_95a für relativen CIELAB-Buntton $h^* = lab^*h^* = h_{ab}/360 = 0.992$

Daten für jede Farbe:

lab^*tch^* und lab^*icu^*

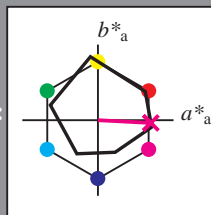
Bunttontexte:

$u^*_e = b75r$ $u^*_d = m11o$

Kontrastreduzierungsfaktor:

$c_R = 0.96$

Dreiecks-Helligkeit t^*



ORS20_95a; adaptierte CIELAB-Daten

	u^*_e	$L^*=L^*_a$	a^*_a	b^*_a	$C^*_{ab,a}$	$h^*_{ab,a}$
O _{Ma}	48.71	62.56	37.91	73.15	31	
Y _{Ma}	89.25	-9.92	83.91	84.49	97	
L _{Ma}	52.5	-62.91	19.95	66.0	162	
C _{Ma}	59.15	-27.87	-44.43	52.45	238	
V _{Ma}	29.13	22.73	-42.44	48.14	298	
M _{Ma}	49.51	71.08	-9.19	71.67	353	
N _{Ma}	20.0	0.0	0.0	0.0	0	
W _{Ma}	95.0	0.0	0.0	0.0	0	
R _{Ma}	39.92	58.74	27.99	65.07	25	
J _{Ma}	81.26	-2.89	71.56	71.62	92	
G _{Ma}	52.23	-42.42	13.6	44.55	162	
B _{Ma}	30.57	1.41	-46.47	46.49	272	

Daten für Maximalfarbe (Ma):

$LAB^*LAB^*_{Ma}$: 49 70 -4

$LAB^*LCH^*_{Ma}$: 49 70 357

$lab^*rgb^*_{Ma}$: 1.0 0.0 0.5

$lab^*olv^*_{Ma}$: 1.0 0.0 0.89

Dreiecks-Helligkeit t^*

%Umfang

$u^*_{rel} = 83$

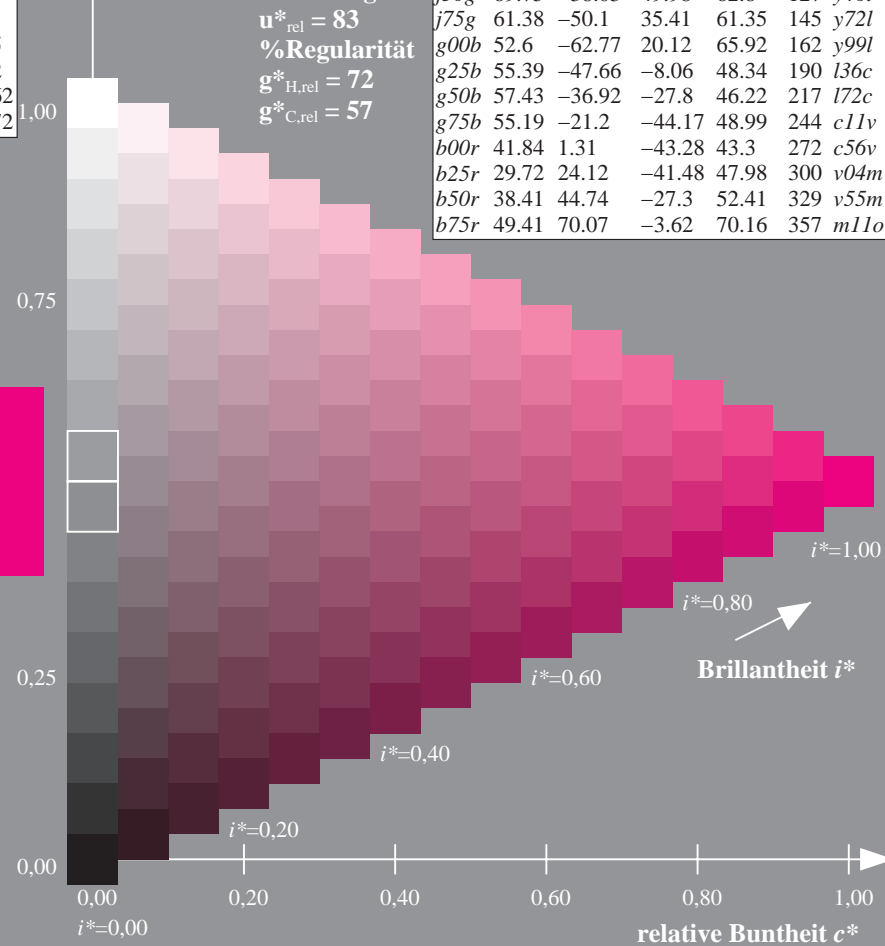
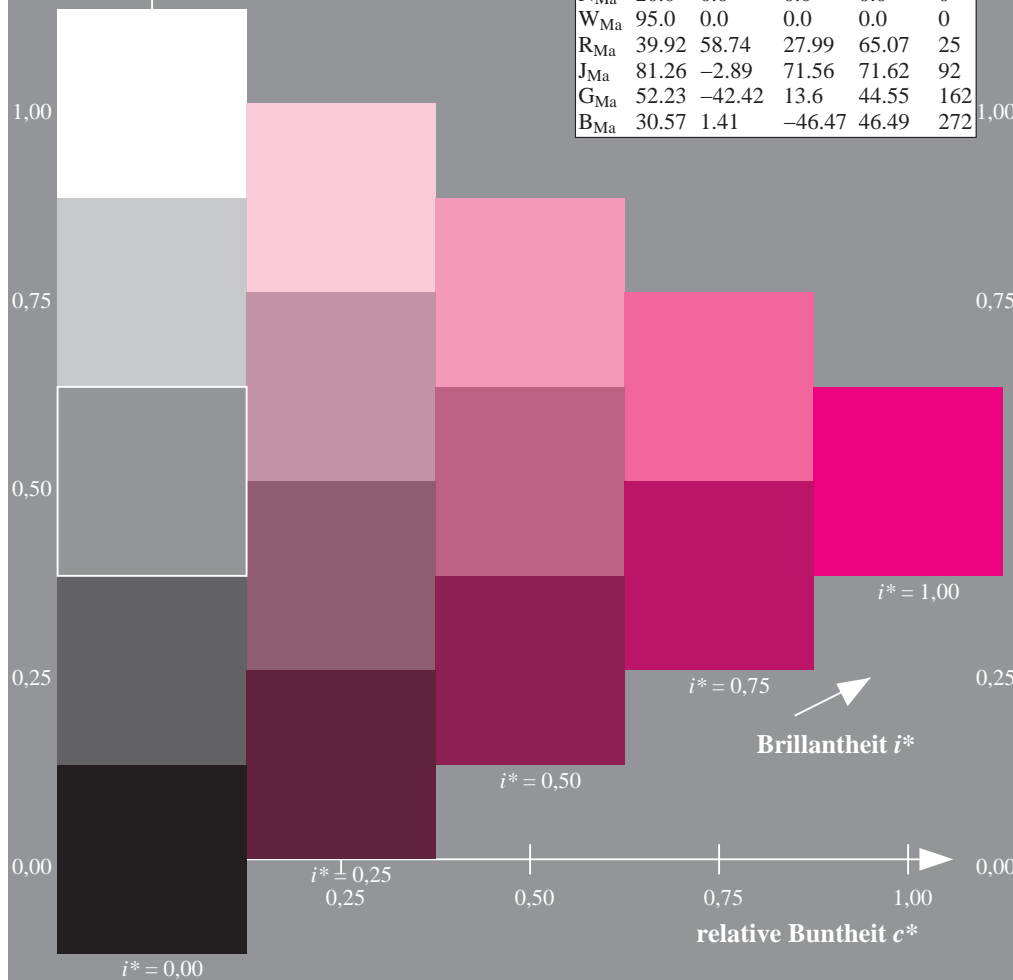
%Regularität

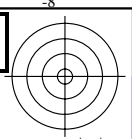
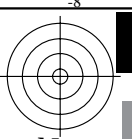
$g^*_{H,rel} = 72$

$g^*_{C,rel} = 57$

ORS20_95a; adaptierte CIELAB-Daten

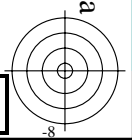
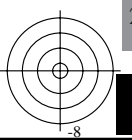
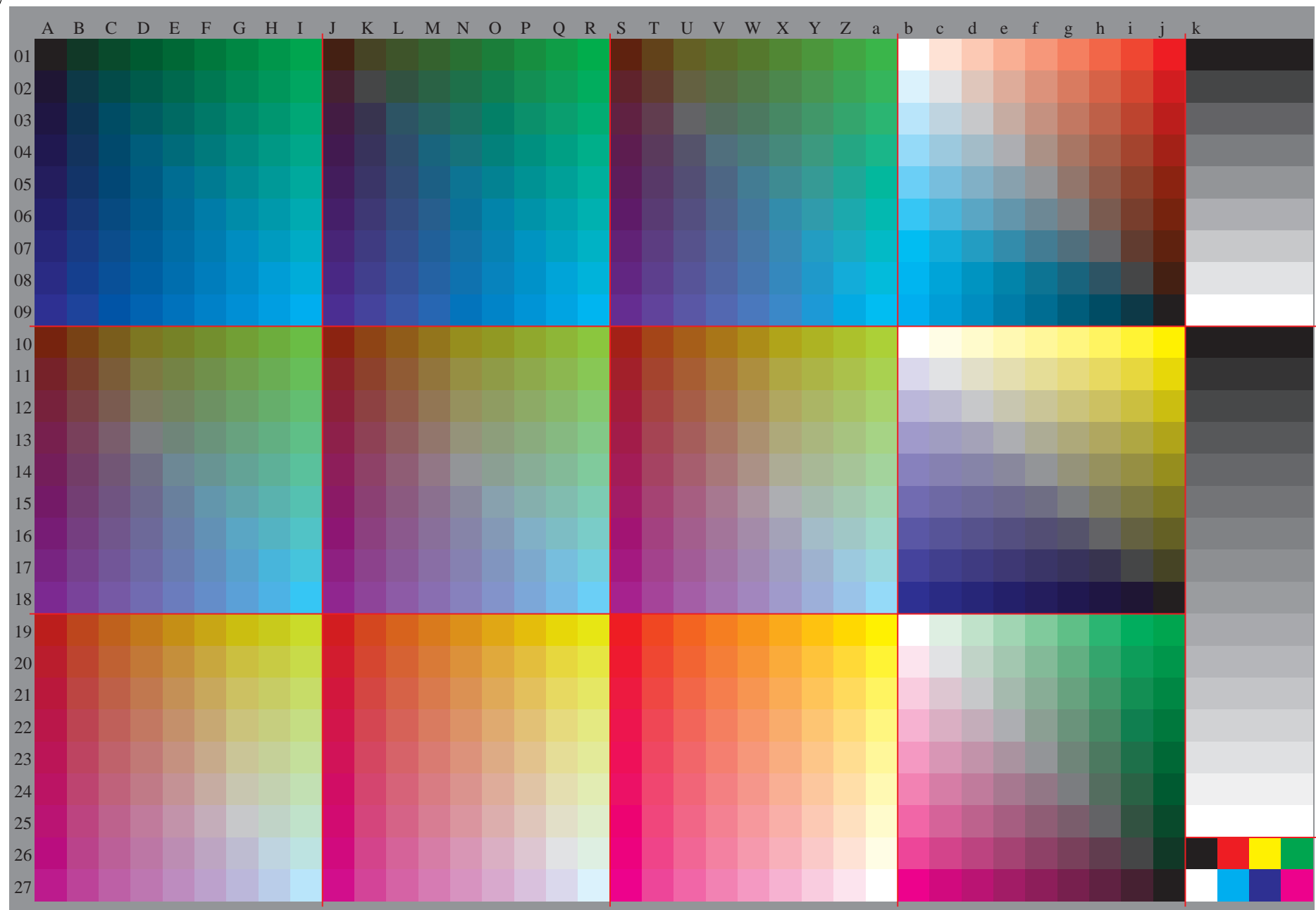
	u^*_e	$L^*=L^*_a$	a^*_a	b^*_a	$C^*_{ab,a}$	$h^*_{ab,a}$	u^*_d
r00j	48.83	63.91	30.45	70.79	25		m84o
r25j	55.53	50.37	45.65	67.97	42		o17y
r50j	64.76	33.86	56.12	65.55	59		o42y
r75j	74.12	17.13	66.74	68.9	76		o67y
j00g	85.5	-3.22	79.65	79.72	92		o92y
j25g	79.45	-24.05	66.85	71.04	110		y20l
j50g	69.75	-38.03	49.98	62.8	127		y46l
j75g	61.38	-50.1	35.41	61.35	145		y72l
g00b	52.6	-62.77	20.12	65.92	162		y99l
g25b	55.39	-47.66	-8.06	48.34	190		l36c
g50b	57.43	-36.92	-27.8	46.22	217		l72c
g75b	55.19	-21.2	-44.17	48.99	244		c11v
b00r	41.84	1.31	-43.28	43.3	272		c56v
b25r	29.72	24.12	-41.48	47.98	300		v04m
b50r	38.41	44.74	-27.3	52.41	329		v55m
b75r	49.41	70.07	-3.62	70.16	357		m11o

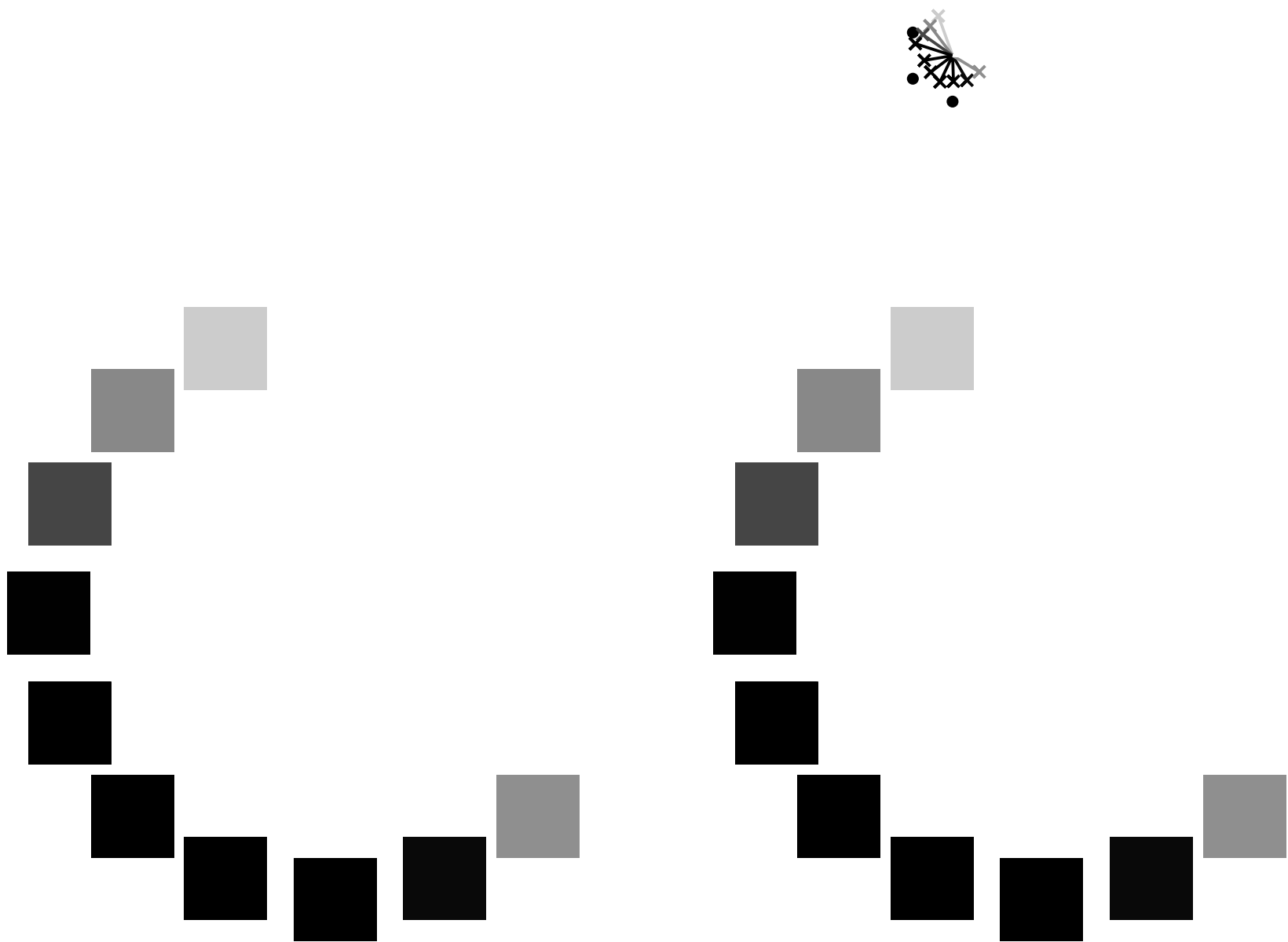




Siehe ähnliche Dateien: <http://www.ps.bam.de/Eg13/>; www.ps.bam.de/Eg.HTM
Technische Information: <http://www.ps.bam.de> Version 2.1, io=1,1, Col5px=1

BAM-Registrierung: 20081001-Eg13/10L/L13G00NA.PS/.TXT BAM-Material: Code=rh4ta
Anwendung für Beurteilung und Messung von Drucker- oder Monitorsystemen



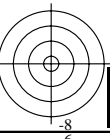
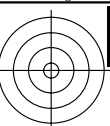




C
M
Y
O
L
V

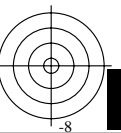


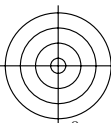
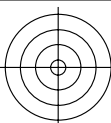
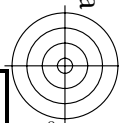
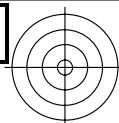
C
M
Y
O
L
V



C
M
Y
O
L
V



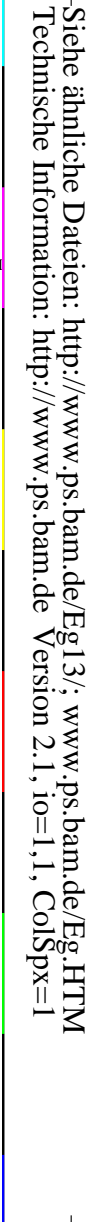






BAM-Registrierung: 20081001-Eg13/10/L13G00NA.PS/.TXT BAM-Material: Code=rh4ta
- Anwendung für Beurteilung und Messung von Drucker- oder Monitorsystemen

www.ps.bam.de/Eg13/10L/L13G00NA.PS/.TXT; ORS19_96a; Transfer und Ausgabe
N: Keine Ausgabe-Linearisierung (OL) in Datei (F), Startup (S), Gerät (D); Separation: cmyk



Siehe ähnliche Dateien: <http://www.ps.bam.de/Eg13/>; www.ps.bam.de/Eg.HTM
Technische Information: <http://www.ps.bam.de> Version 2.1, io=1,1, ColSp=1

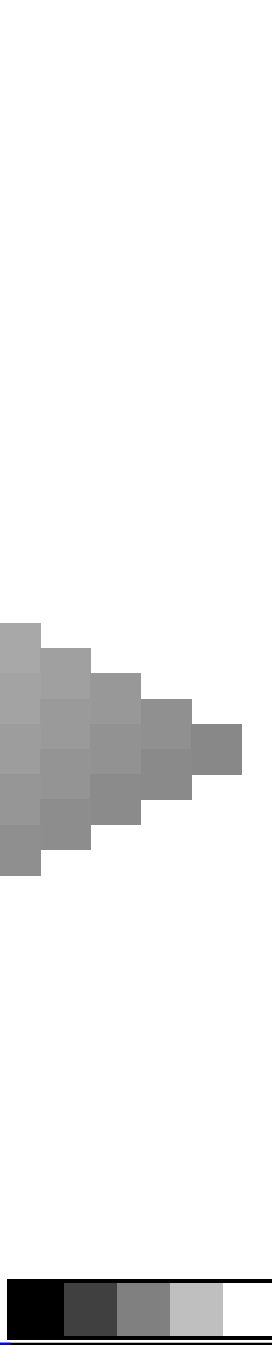


BAM-Prüfvorlage Eg13; Farbmatrik-Systeme, Seite 43/270 Eingabe: 000n / w / nnn0 / www set...
4 Separationen, 9 Datentabellen für 16 Bunttöne r00j bis b75r Ausgabe: ->cmyn6* setcmykcolor





BAM-Registrierung: 20081001-Eg13/10L/L13G00NA.PS/.TXT BAM-Material: Code=rh4ta
Anwendung für Beurteilung und Messung von Drucker- oder Monitorsystemen

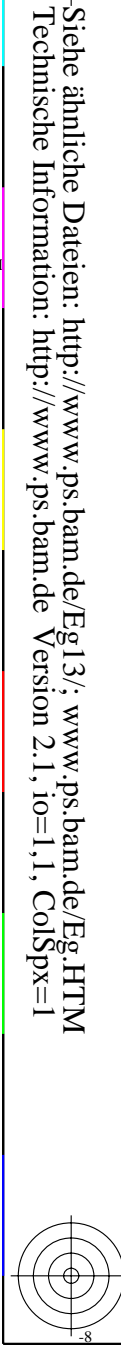


4 Separationen, 9 Datentabellen für 16 Bunttöne *r00j* bis *b75r*

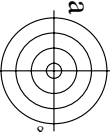
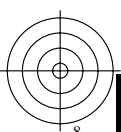
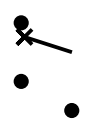
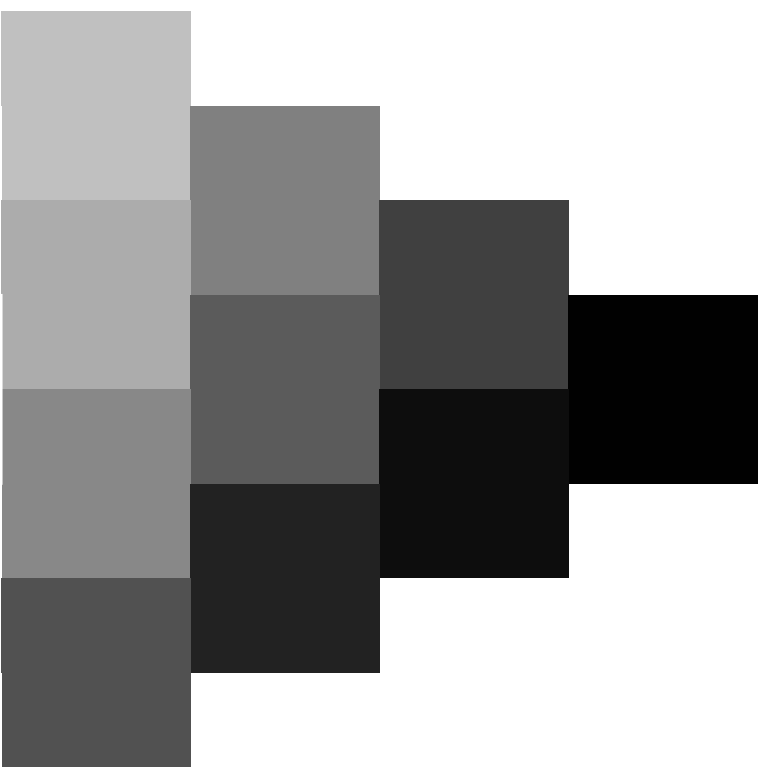
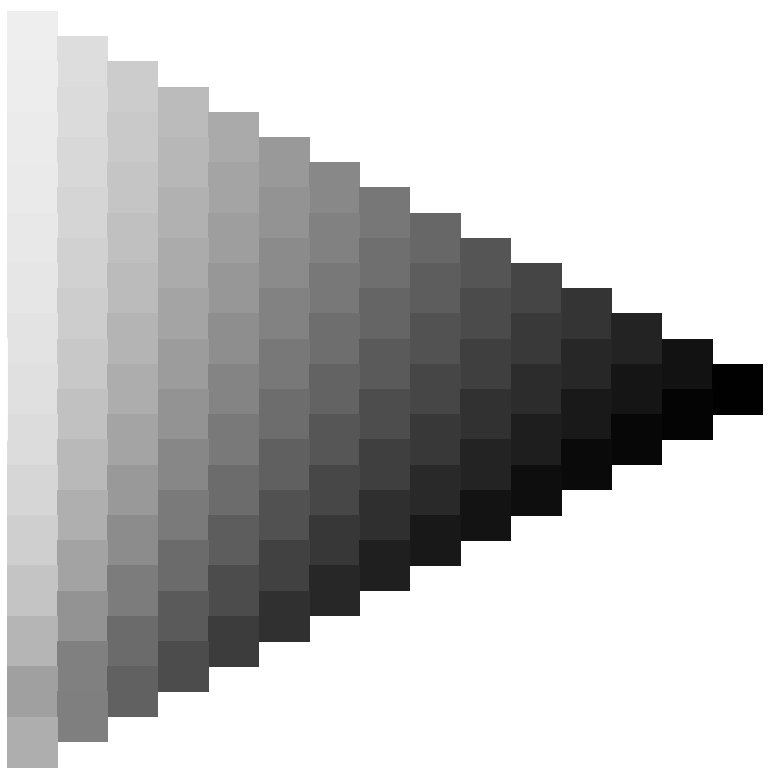
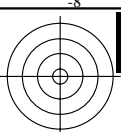
Eingabe: *000n / w / nnn0 / www set...*
Ausgabe: *->cmy6* setcmykcolor*



BAM-Prüfvorlage Eg13; Farbmimetrik-Systeme, Seite 44/270 Eingabe: 000n / w / nnn0 / www set...
 4 Separationen, 9 Datentabellen für 16 Bunttöne r00j bis b75r Ausgabe: ->cmyn6* setcmykcolor

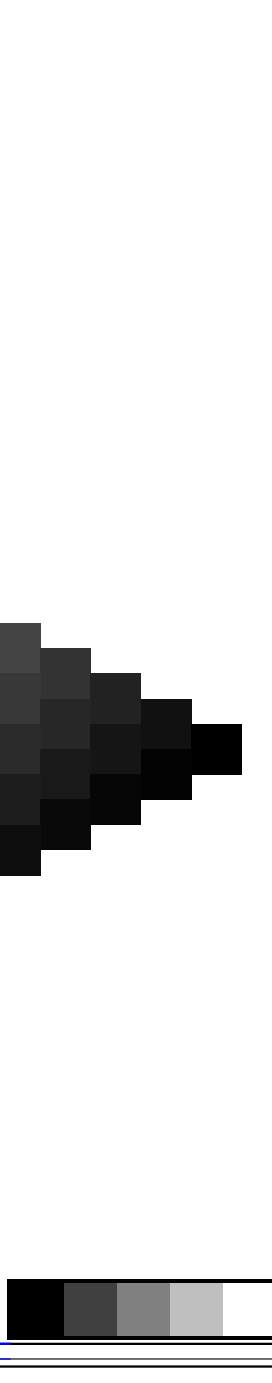


Siehe ähnliche Dateien: <http://www.ps.bam.de/Eg13>; www.ps.bam.de/Eg.HTM
Technische Information: <http://www.ps.bam.de> Version 2.1, io=1, ColSp=1





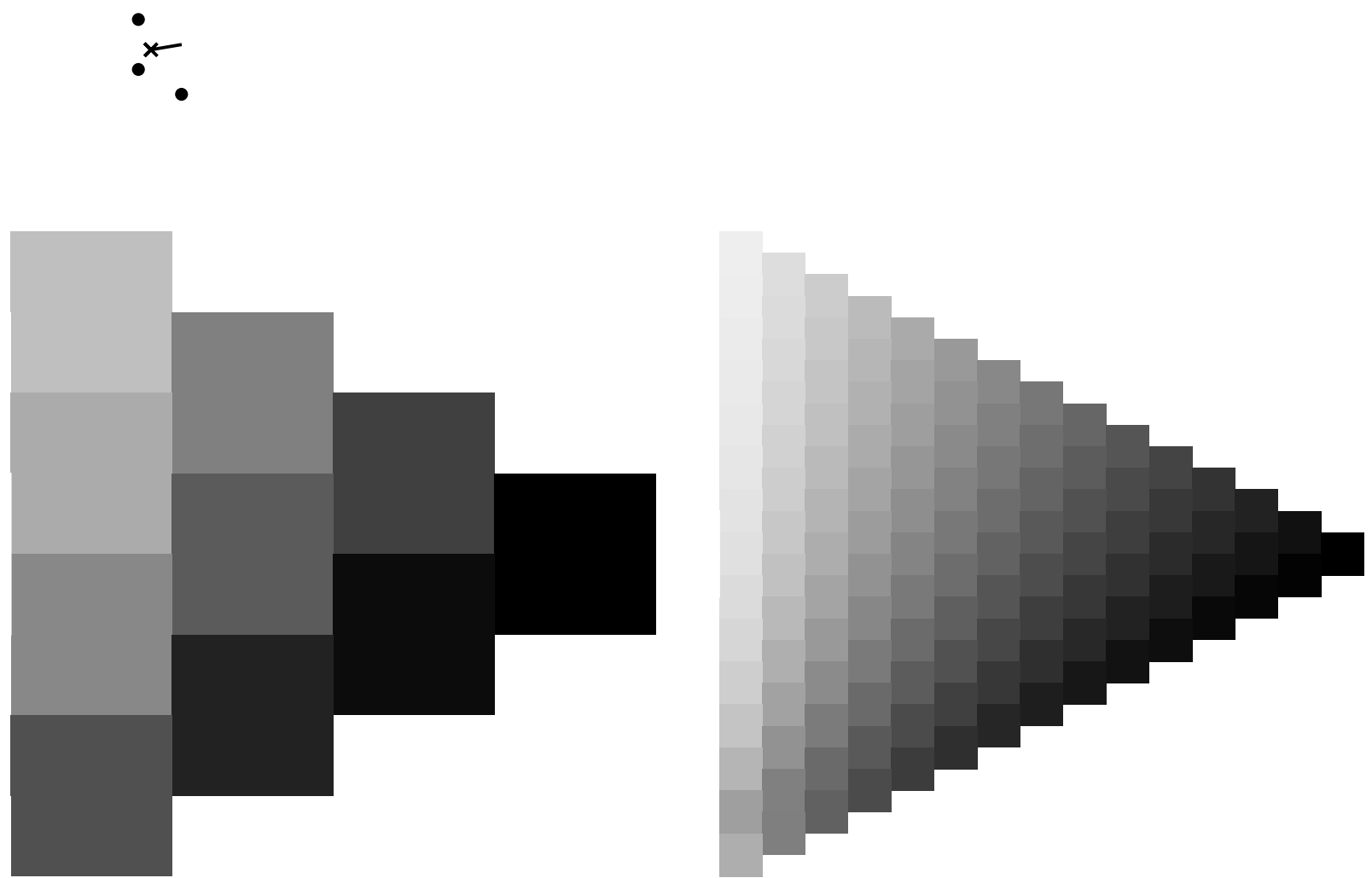
BAM-Registrierung: 20081001-Eg13/10L/L13G00NA.PS/.TXT BAM-Material: Code=rha4ta
+ Anwendung für Beurteilung und Messung von Drucker- oder Monitorsystemen



www.ps.bam.de/Eg13/10L/L13G00NA.PS/.TXT; ORS19_96a; Transfer und Ausgabe
N: Keine Ausgabe-Linearisierung (OL) in Datei (F), Startup (S), Gerät (D); Separation: cmyk



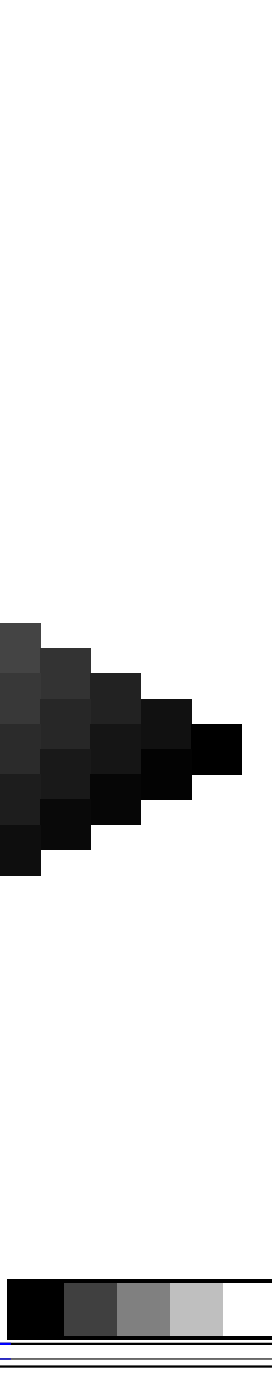
Technische Information: <http://www.ps.bam.de> Version 2.1, io=1, ColSpx=1



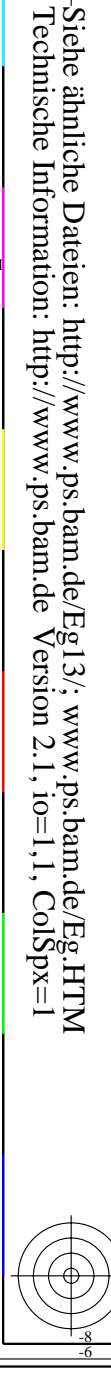
BAM-Prüfvorlage Eg13; Farbmeter-Systeme, Seite 47/270 Eingabe: 000n / w / nnn0 / www set...
4 Separationen, 9 Datentabellen für 16 Bunttöne r00j bis b75r Ausgabe: ->cmyn6* setcmykcolor



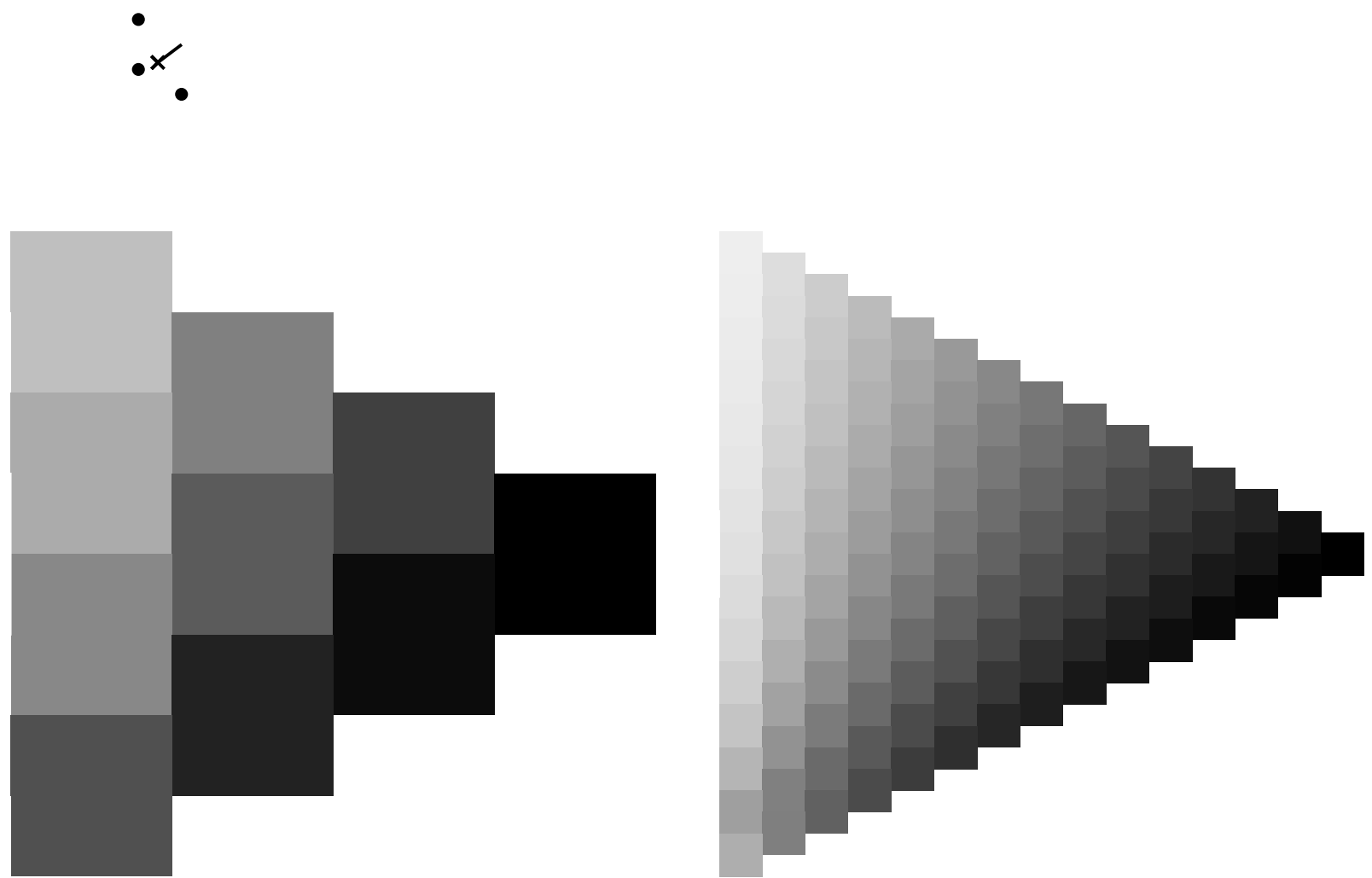
BAM-Registrierung: 20081001-Eg13/10L/L13G00NA.PS/.TXT BAM-Material: Code=rha4ta
+ Anwendung für Beurteilung und Messung von Drucker- oder Monitorsystemen



www.ps.bam.de/Eg13/10L/L13G00NA.PS/.TXT; ORS19_96a; Transfer und Ausgabe
N: Keine Ausgabe-Linearisierung (OL) in Datei (F), Startup (S), Gerät (D); Separation: cmyk



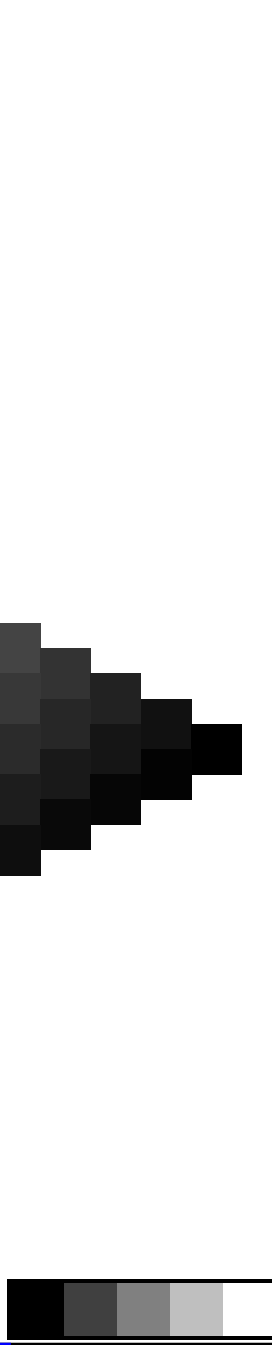
Technische Information: <http://www.ps.bam.de> Version 2.1, io=1,1, ColSpx=1



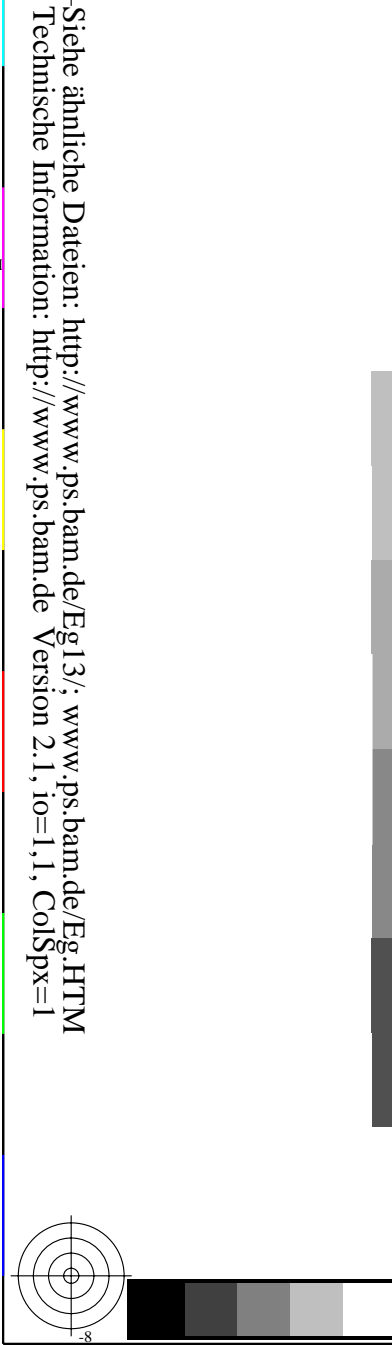
BAM-Prüfvorlage Eg13; Farbmatrik-Systeme, Seite 48/270 Eingabe: 000n / w / nnn0 / www set...
4 Separationen, 9 Datentabellen für 16 Bunttöne r00j bis b75r Ausgabe: ->cmyn6* setcmykcolor



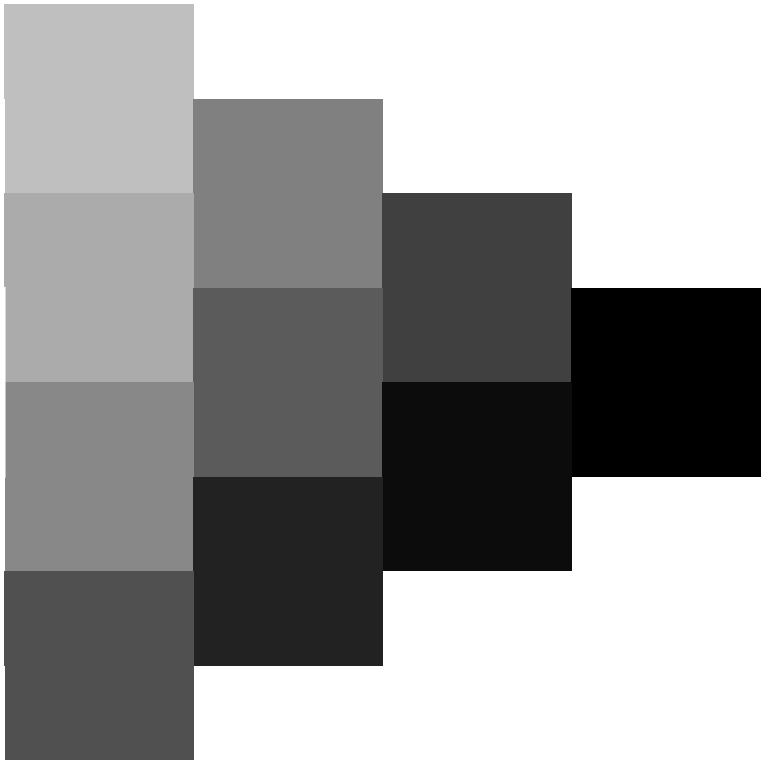
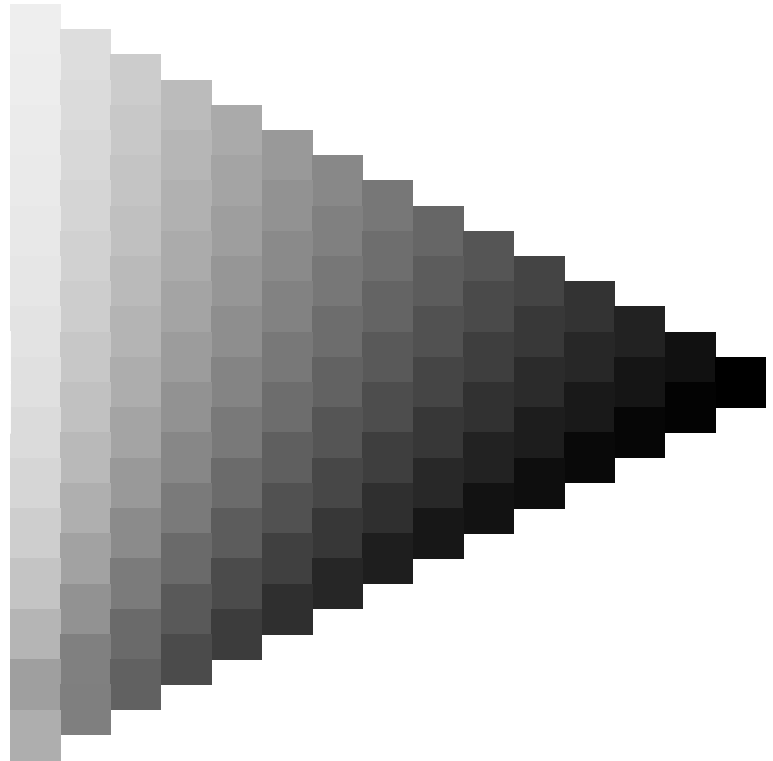
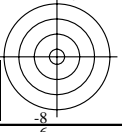
BAM-Registrierung: 20081001-Eg13/10L/L13G00NA.PS/.TXT BAM-Material: Code=rh4ta
Anwendung für Beurteilung und Messung von Drucker- oder Monitorsystemen



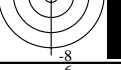
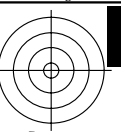
4 Separationen, 9 Datentabellen für 16 Bunttöne *r00j* bis *b75r*



4 Separationen, 9 Datentabellen für 16 Bunttöne *r00j* bis *b75r*

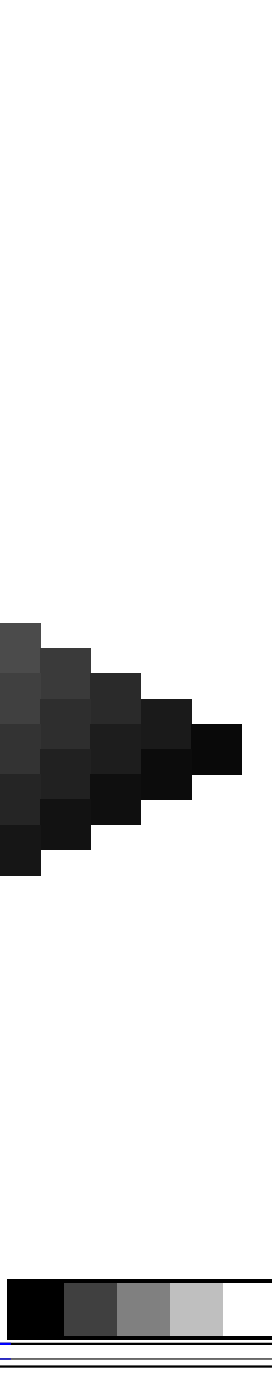


•
•
•





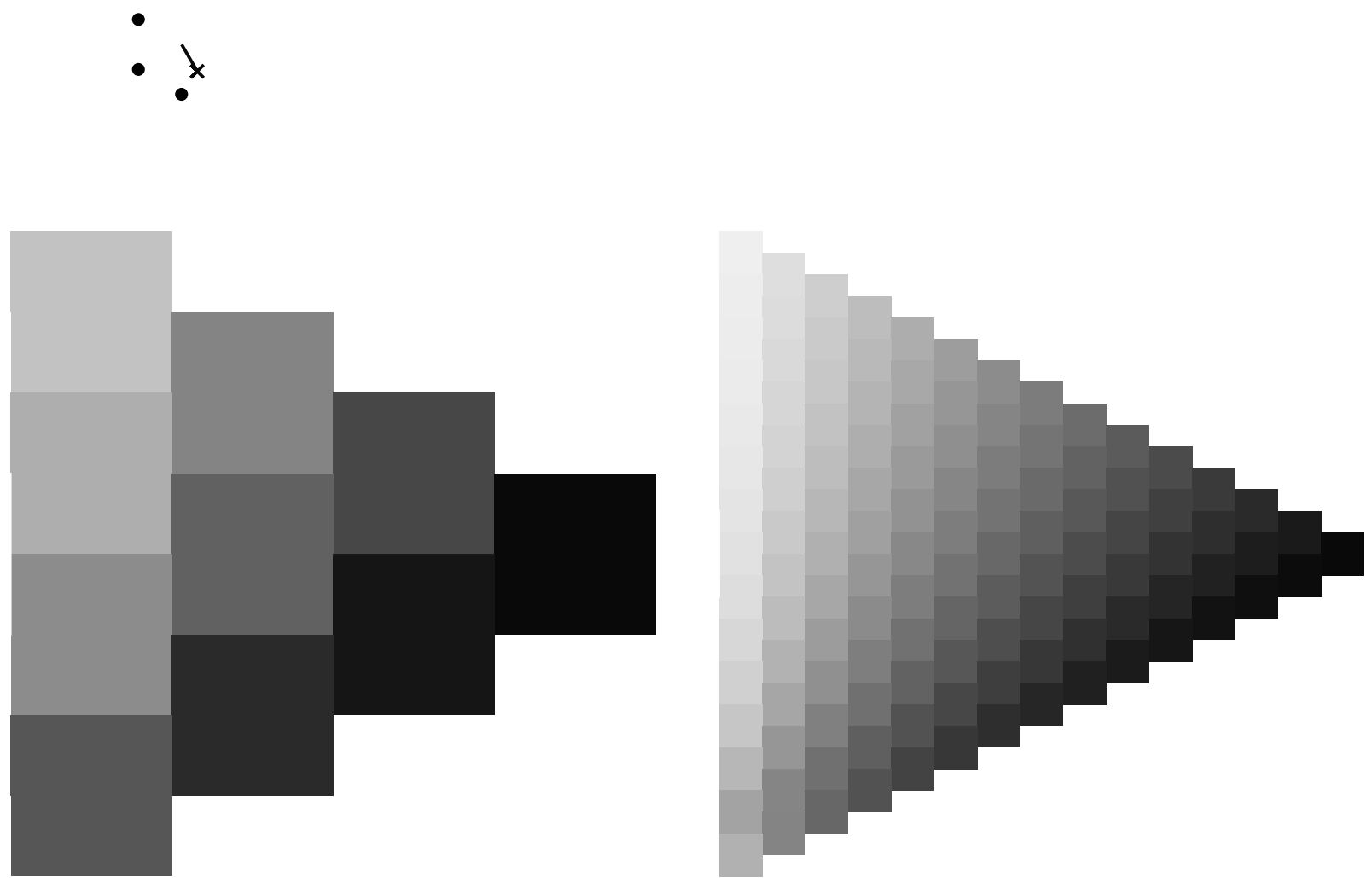
BAM-Registrierung: 20081001-Eg13/10L/L13G00NA.PS/.TXT BAM-Material: Code=rha4ta
+ Anwendung für Beurteilung und Messung von Drucker- oder Monitorsystemen



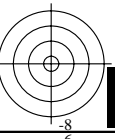
www.ps.bam.de/Eg13/10L/L13G00NA.PS/.TXT; ORS19_96a; Transfer und Ausgabe
N: Keine Ausgabe-Linearisierung (OL) in Datei (F), Startup (S), Gerät (D); Separation: cmyk

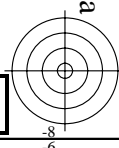
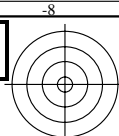


Technische Information: <http://www.ps.bam.de> Version 2.1, io=1,1, ColSpx=1

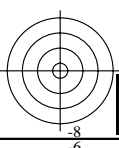
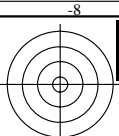
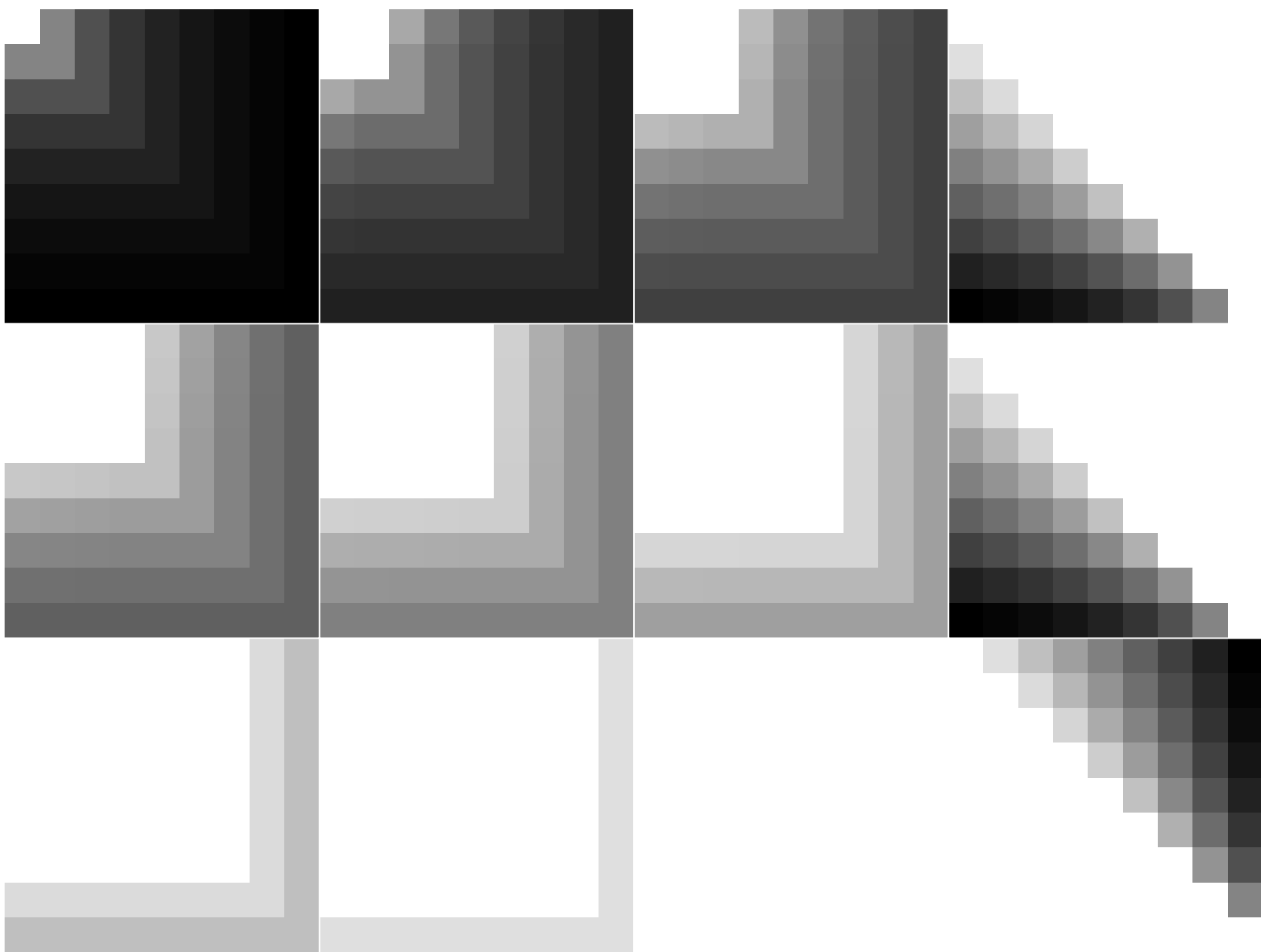


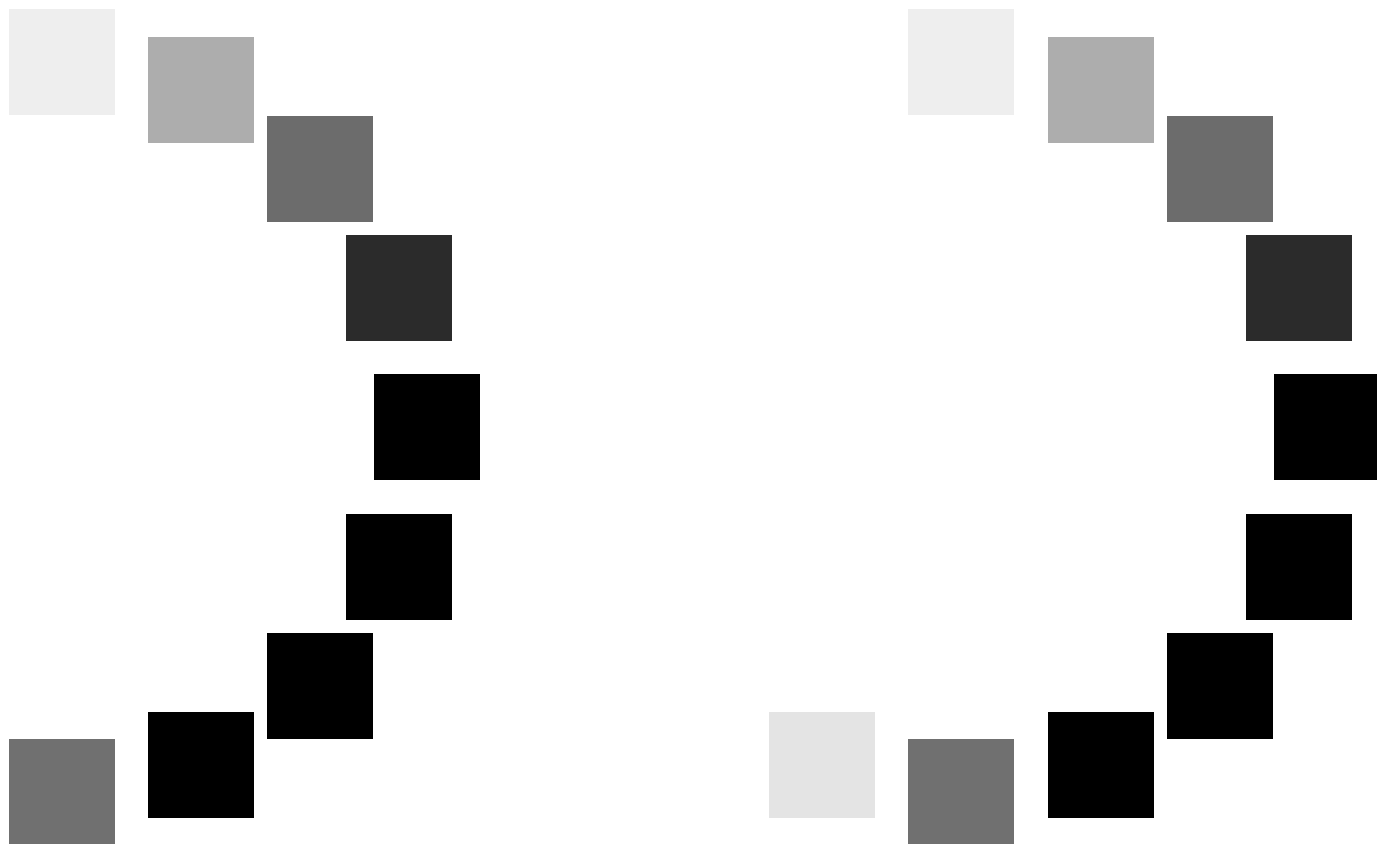
BAM-Prüfvorlage Eg13; Farbmeter-Systeme, Seite 51/270 Eingabe: 000n / w / nnn0 / www set...
4 Separationen, 9 Datentabellen für 16 Bunttöne r00j bis b75r Ausgabe: ->cmyn6* setcmykcolor

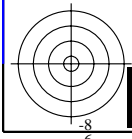
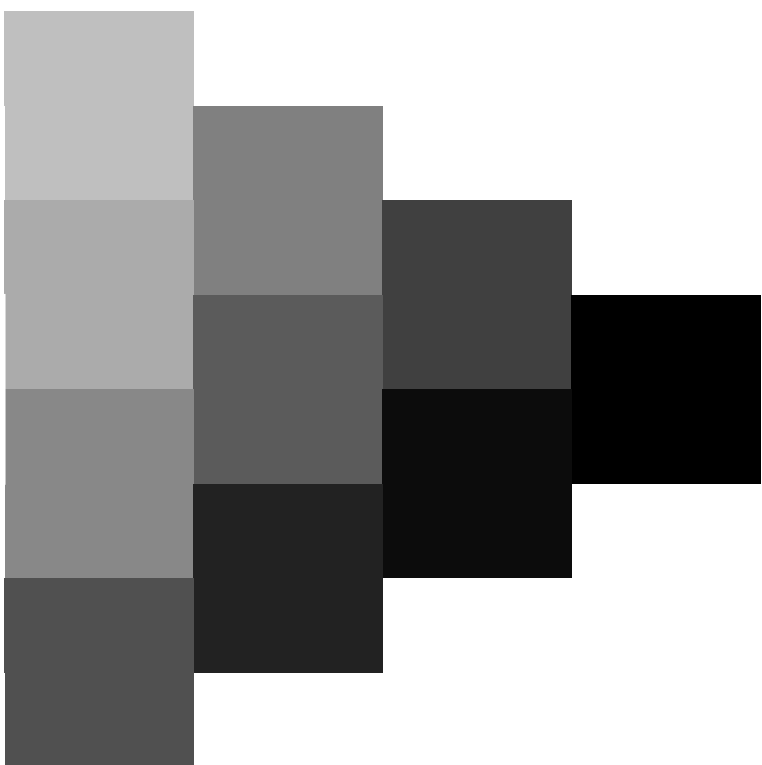
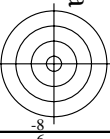




www.ps.bam.de/Eg13/10L/L13G00NA.PS/.TXT; ORS19_96a; Transfer und Ausgabe
N: Keine Ausgabe-Linearisierung (OL) in Datei (F), Startup (S), Gerät (D); Separation: **cmyn**

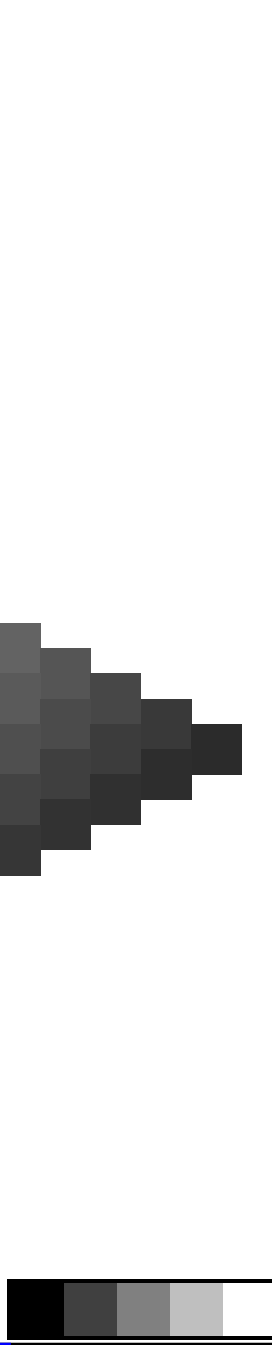




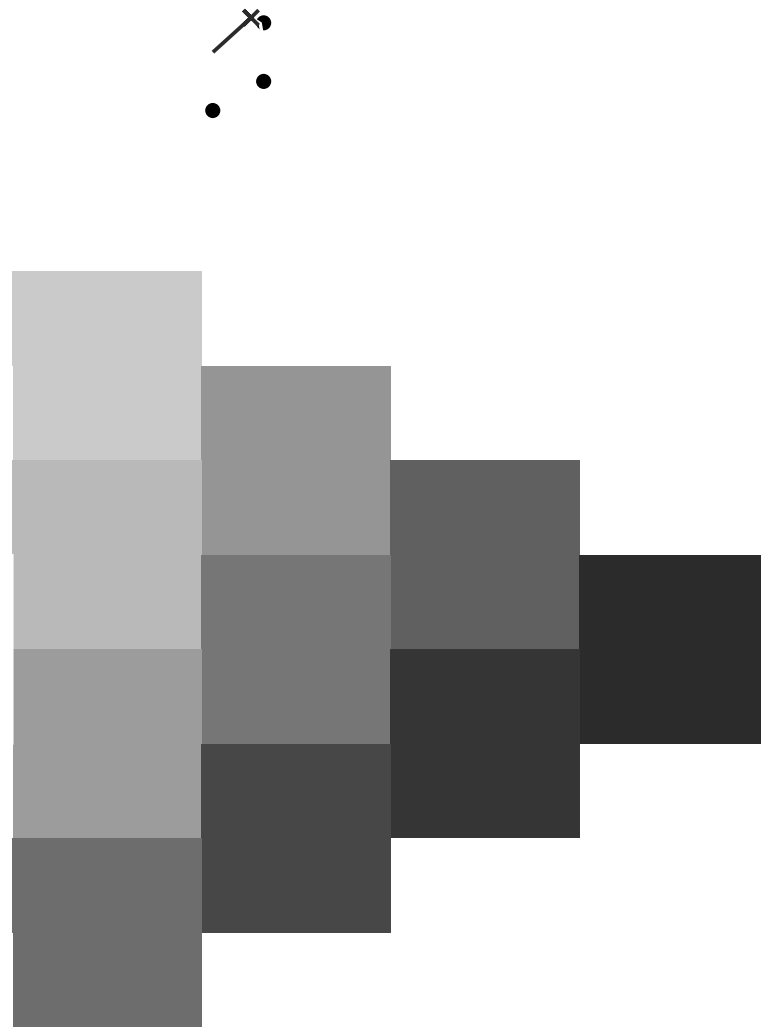




BAM-Registrierung: 20081001-Eg13/10L/L13G00NA.PS/.TXT BAM-Material: Code=rh4ta
Anwendung für Beurteilung und Messung von Drucker- oder Monitorsystemen



www.ps.bam.de/Eg13/10L/L13G00NA.PS/.TXT; ORS19_96a; Transfer und Ausgabe
N: Keine Ausgabe-Linearisierung (OL) in Datei (F), Startup (S), Gerät (D); Separation: cmyk

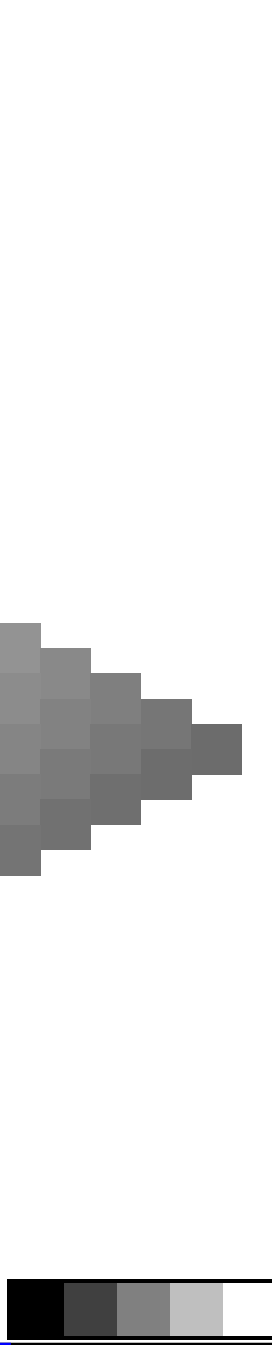


Siehe ähnliche Dateien: <http://www.ps.bam.de/Eg13/>; www.ps.bam.de/Eg.HTM
Technische Information: <http://www.ps.bam.de> Version 2.1, io=1,1, ColSpx=1

BAM-Prüfvorlage Eg13; Farbmatrik-Systeme, Seite 57/270 Eingabe: 000n / w / nnn0 / www set...
4 Separationen, 9 Datentabellen für 16 Bunttöne r00j bis b75r Ausgabe: ->cmynd6* setcmykcolor



BAM-Registrierung: 20081001-Eg13/10L/L13G00NA.PS/.TXT BAM-Material: Code=rh4ta
Anwendung für Beurteilung und Messung von Drucker- oder Monitorsystemen



4 Separationen, 9 Datentabellen für 16 Bunttöne *r00j* bis *b75r*

Eingabe: *000n / w / nnn0 / www set...*
Ausgabe: *->cmy6* setcmykcolor*



4 Separationen, 9 Datentabellen für 16 Bunttöne *r00j* bis *b75r*

Eingabe: *000n / w / nnn0 / www set...*
Ausgabe: *->cmy6* setcmykcolor*



Siehe ähnliche Dateien: <http://www.ps.bam.de/Eg13/>; www.ps.bam.de/Eg_HTM
Technische Information: <http://www.ps.bam.de> Version 2.1, io=1,1, Col5px=1



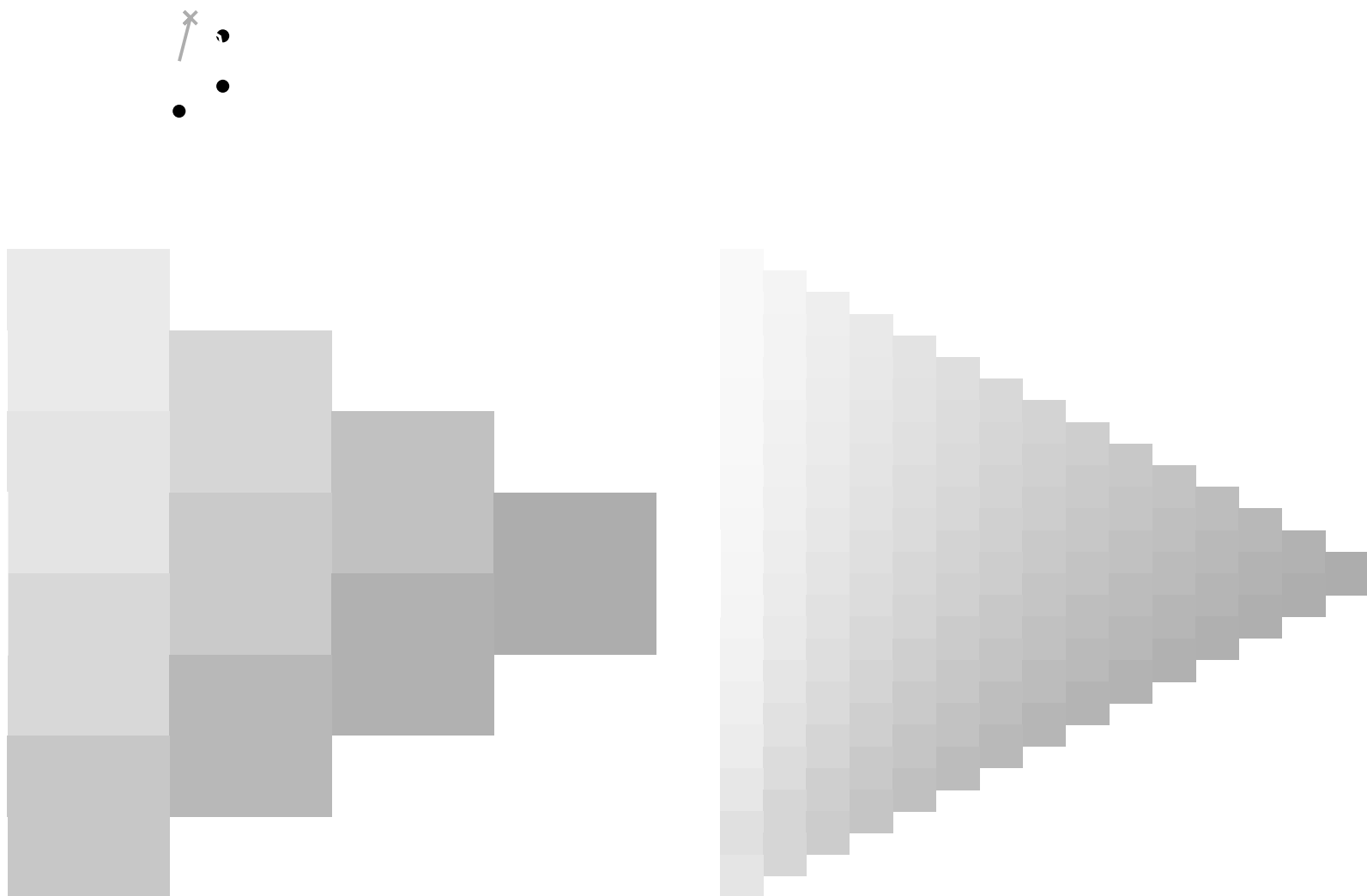
BAM-Registrierung: 20081001-Eg13/10L/L13G00NA.PS/.TXT BAM-Material: Code=rha4ta
+ Anwendung für Beurteilung und Messung von Drucker- oder Monitorsystemen



www.ps.bam.de/Eg13/10L/L13G00NA.PS/.TXT; ORS19_96a; Transfer und Ausgabe
N: Keine Ausgabe-Linearisierung (OL) in Datei (F), Startup (S), Gerät (D); Separation: cmyk



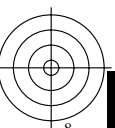
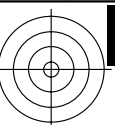
Technische Information: <http://www.ps.bam.de> Version 2.1, io=1,1, ColSpx=1

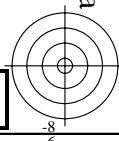
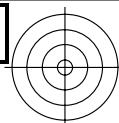


BAM-Prüfvorlage Eg13; Farbmeter-Systeme, Seite 59/270 Eingabe: 000n / w / nnn0 / www set...
4 Separationen, 9 Datentabellen für 16 Bunttöne r00j bis b75r Ausgabe: ->cmyn6* setcmykcolor

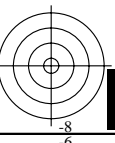
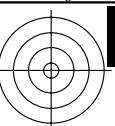














BAM-Registrierung: 20081001-Eg13/10L/L13G00NA.PS/.TXT BAM-Material: Code=rh4ta
+ Anwendung für Beurteilung und Messung von Drucker- oder Monitorsystemen



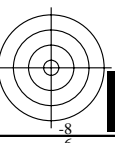
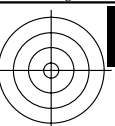
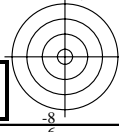
www.ps.bam.de/Eg13/10L/L13G00NA.PS/.TXT; ORS19_96a; Transfer und Ausgabe
N: Keine Ausgabe-Linearisierung (OL) in Datei (F), Startup (S), Gerät (D); Separation: cmyk



BAM-Prüfvorlage Eg13; Farbmimetrik-Systeme, Seite 66/270 Eingabe: 000n / w / nnn0 / www set...
4 Separationen, 9 Datentabellen für 16 Bunttöne r00j bis b75r Ausgabe: ->cmyn6* setcmykcolor

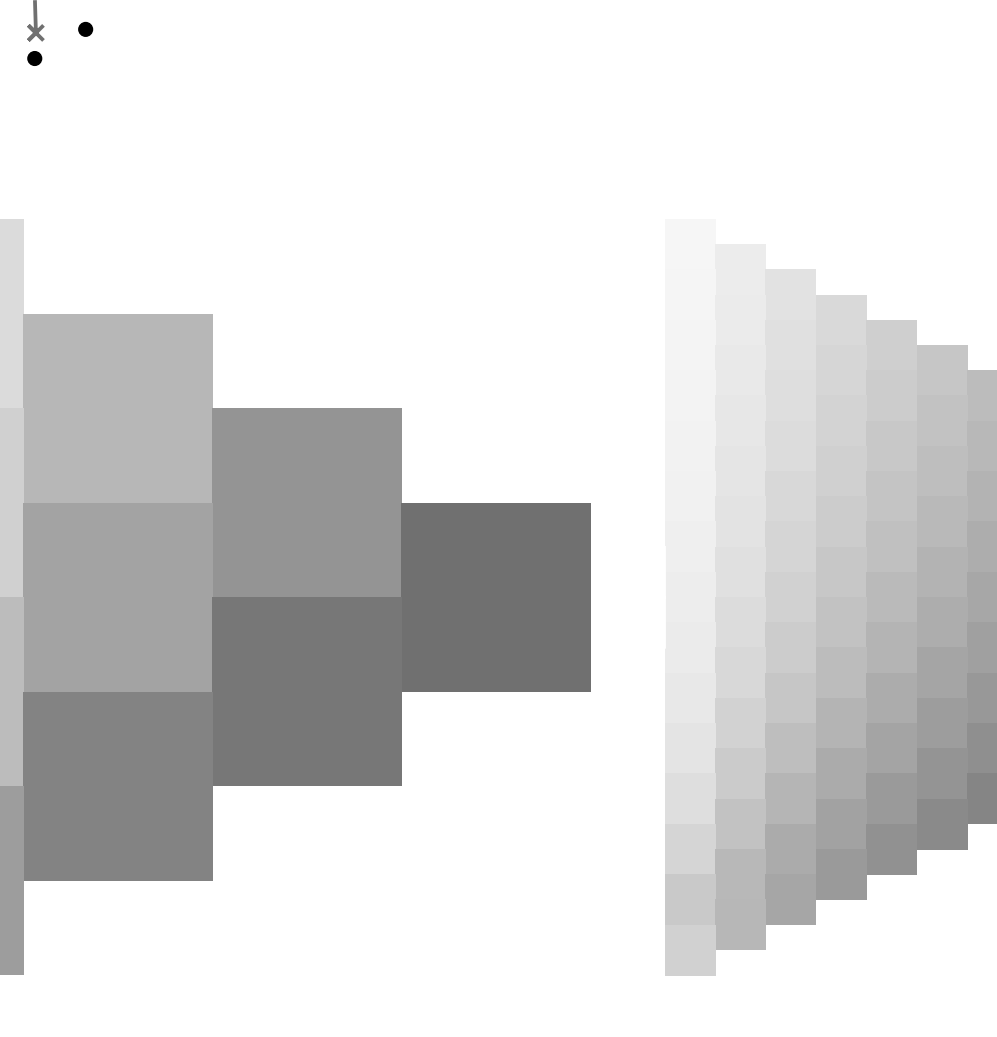
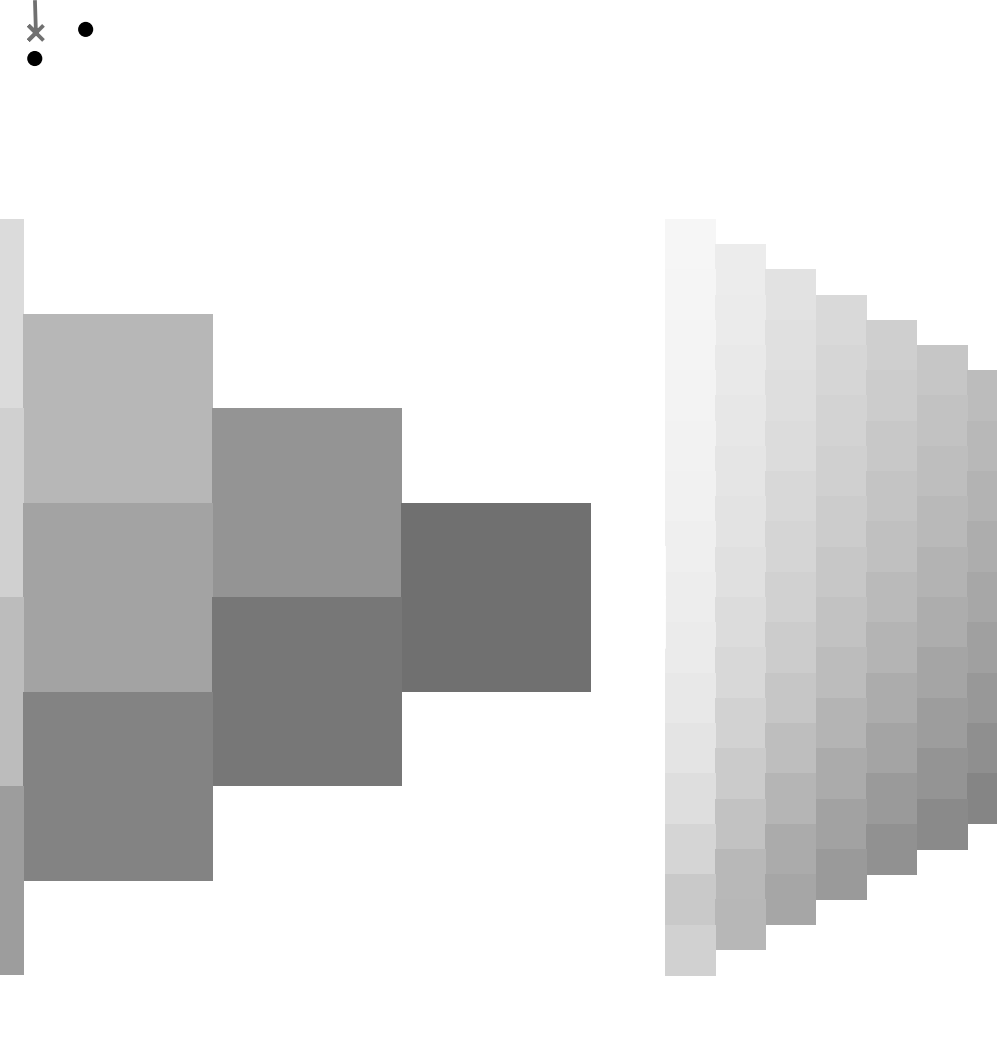
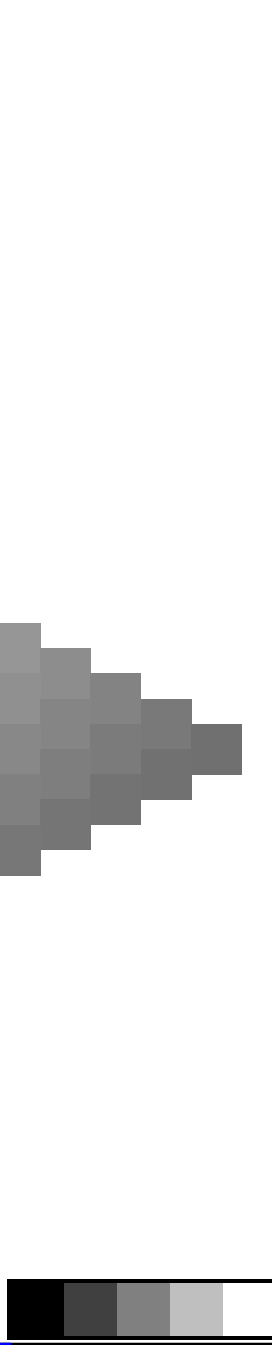


Technische Information: <http://www.ps.bam.de> Version 2.1, io=1, ColSpx=1

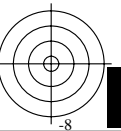
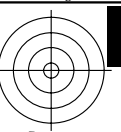
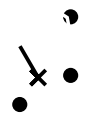
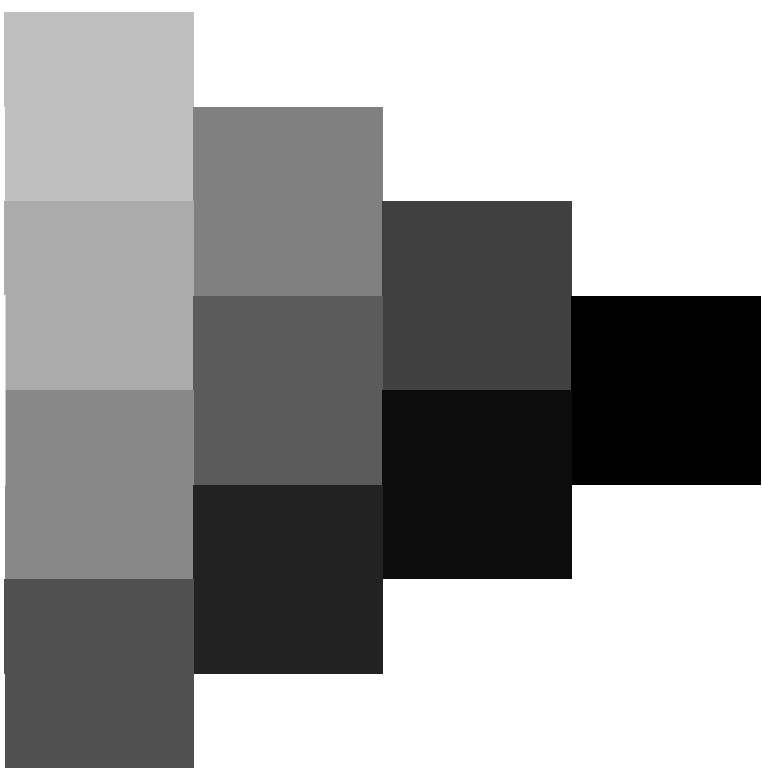
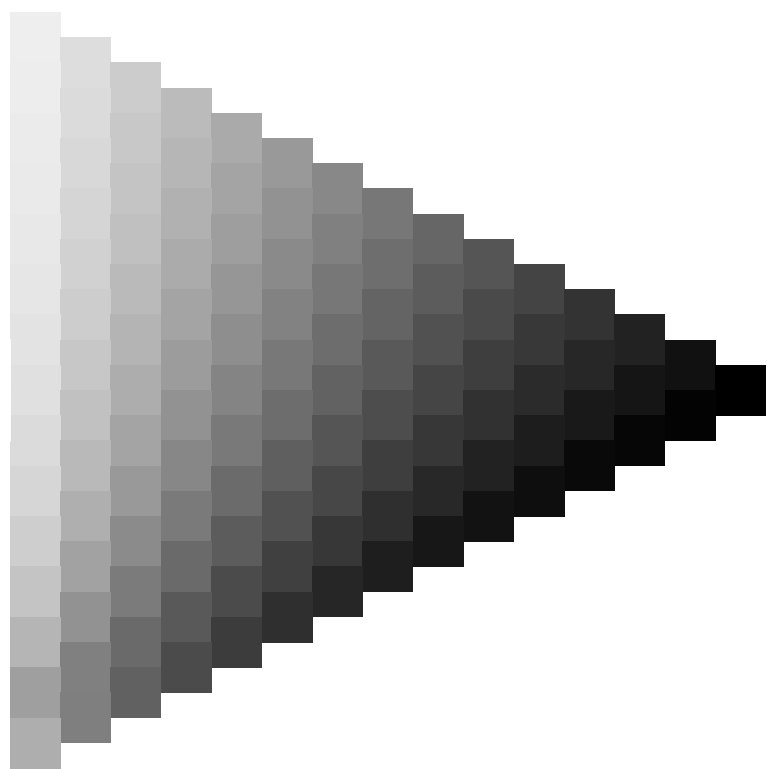
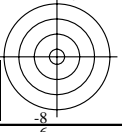




BAM-Registrierung: 20081001-Eg13/10L/L13G00NA.PS/.TXT BAM-Material: Code=rh4ta
Anwendung für Beurteilung und Messung von Drucker- oder Monitorsystemen

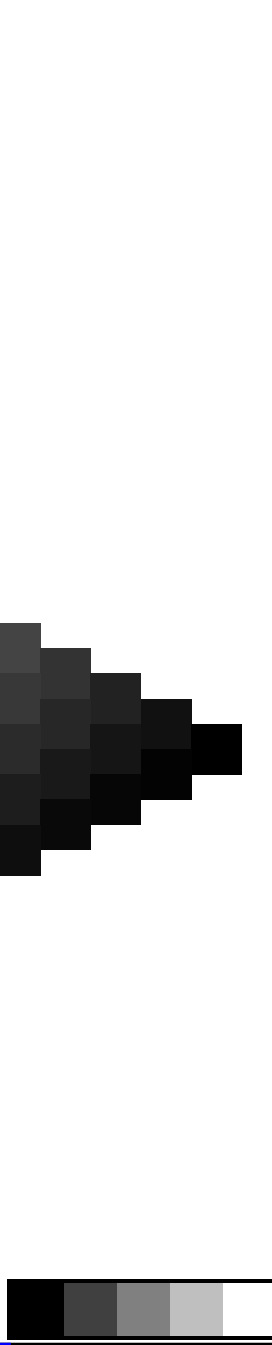


Siehe ähnliche Dateien: <http://www.ps.bam.de/Eg13/>; www.ps.bam.de/Eg_HTM
Technische Information: <http://www.ps.bam.de> Version 2.1, io=1,1, Col5px=1





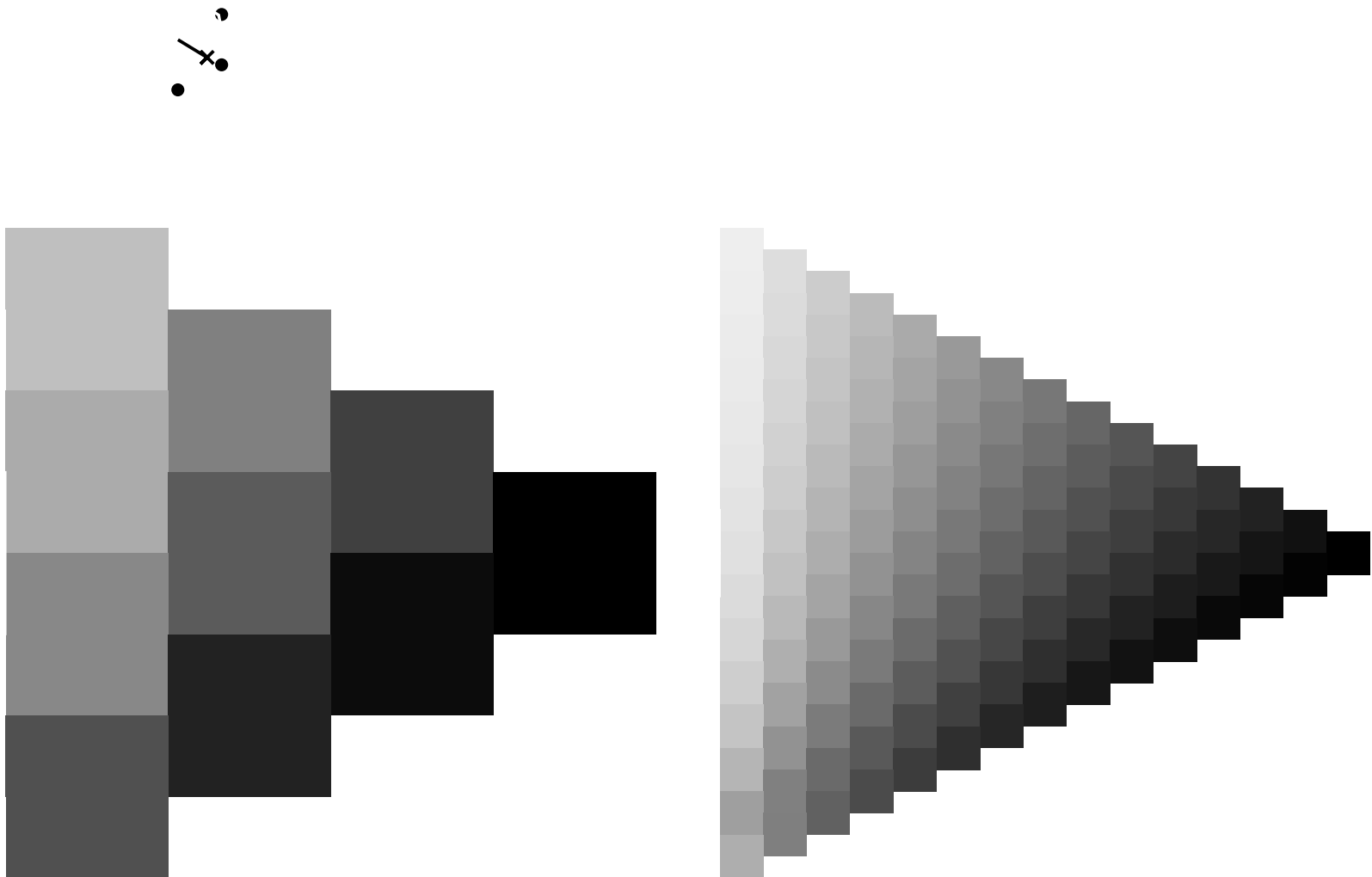
BAM-Registrierung: 20081001-Eg13/10/L13G00NA.PS/.TXT BAM-Material
+ Anwendung für Beurteilung und Messung von Drucker- oder Monitorsystemen



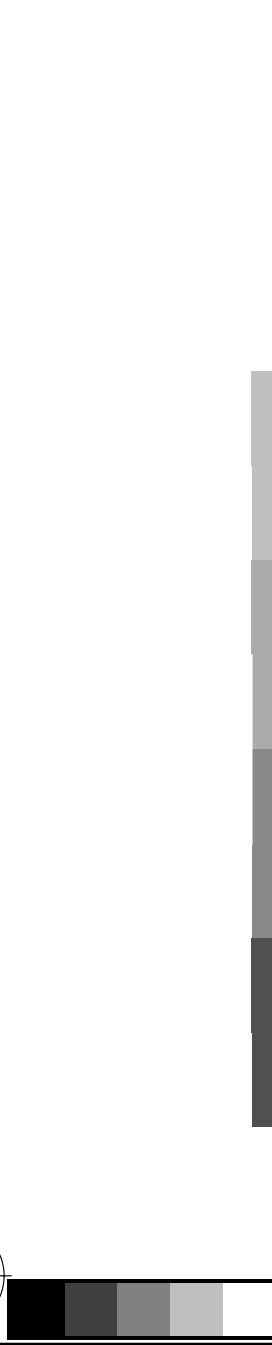
www.ps.bam.de/Eg13/10L/L13G00NA.PS/.TXT; ORS19_96a; Transfer und Ausgabe
N: Keine Ausgabe-Linearisierung (OL) in Datei (F), Startup (S), Gerät (D); Separation: cmyk

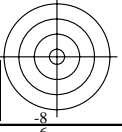


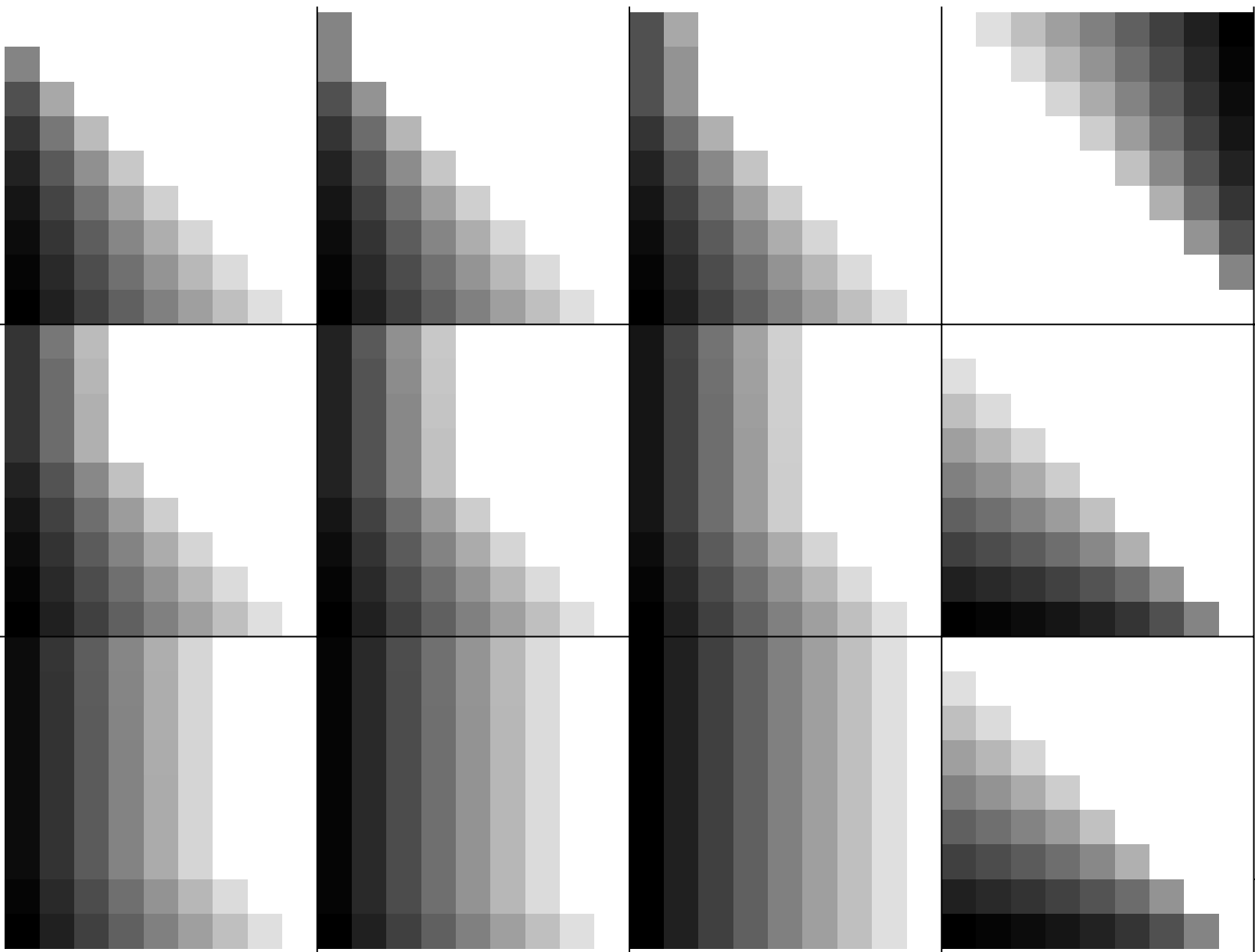
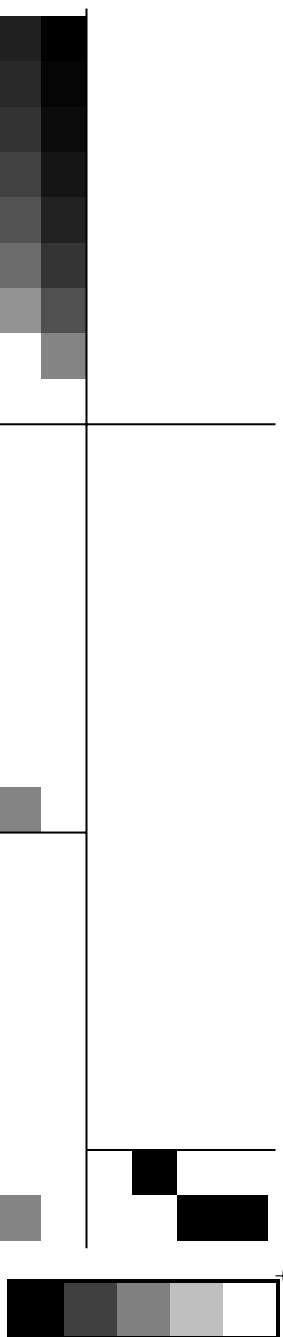
Technische Information: <http://www.ps.bam.de> Version 2.1, io=1,1, ColSpx=1



BAM-Prüfvorlage Eg13; Farbmatrik-Systeme, Seite 70/270 Eingabe: 000n / w / nnn0 / www set...
4 Separationen, 9 Datentabellen für 16 Bunttöne r00j bis b75r Ausgabe: ->cmyn6* setcmykcolor







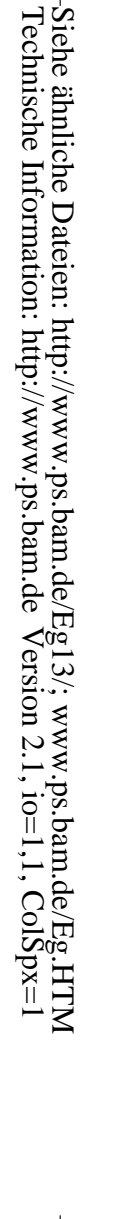
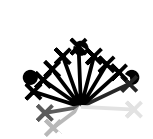


BAM-Registrierung: 20081001-Eg13/10L/L13G00NA.PS/.TXT BAM-Material: Code=rha4ta
Anwendung für Beurteilung und Messung von Drucker- oder Monitorsystemen

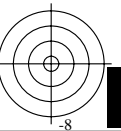
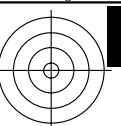
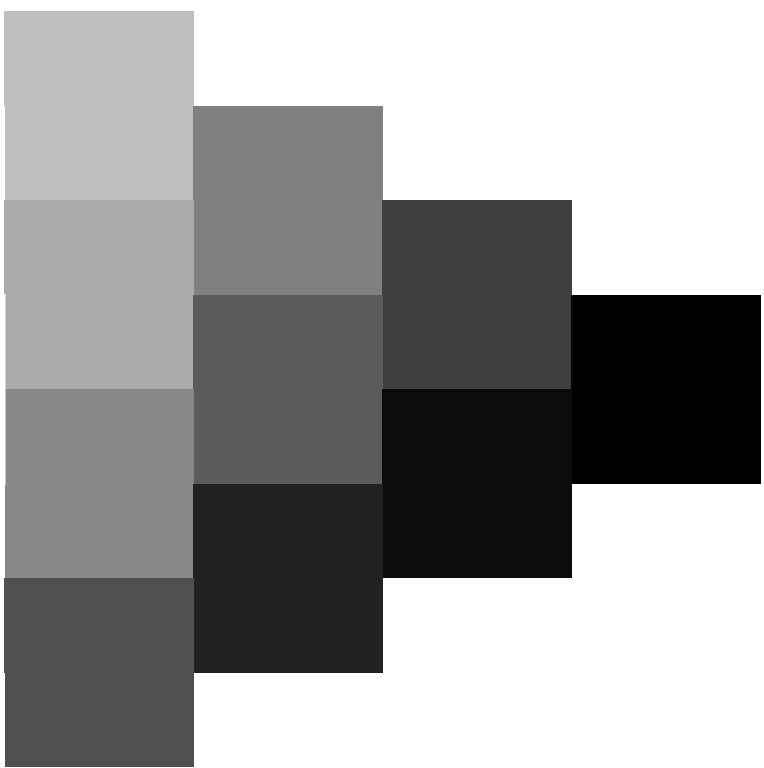
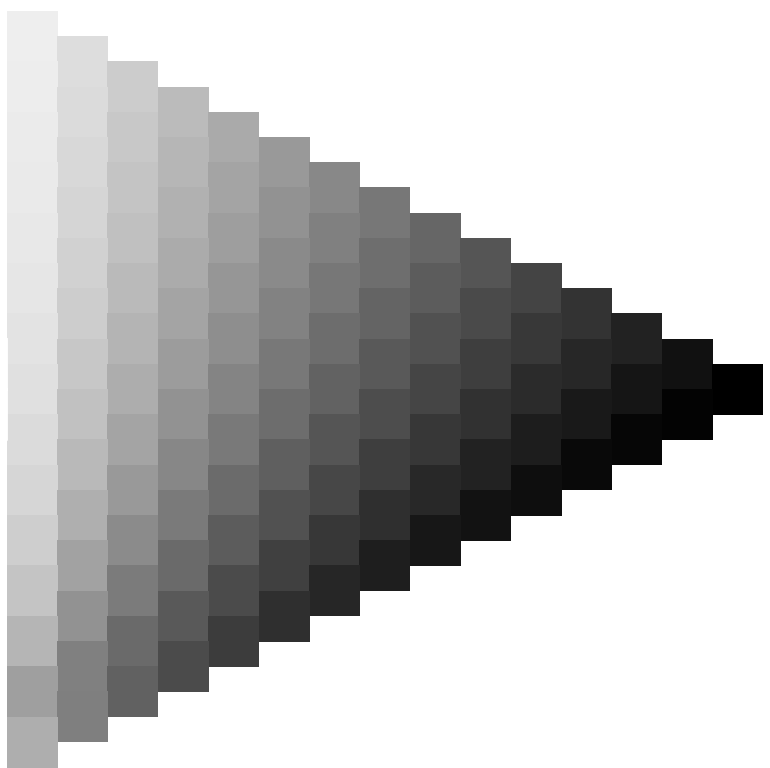
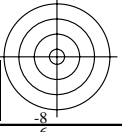


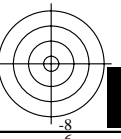
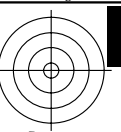
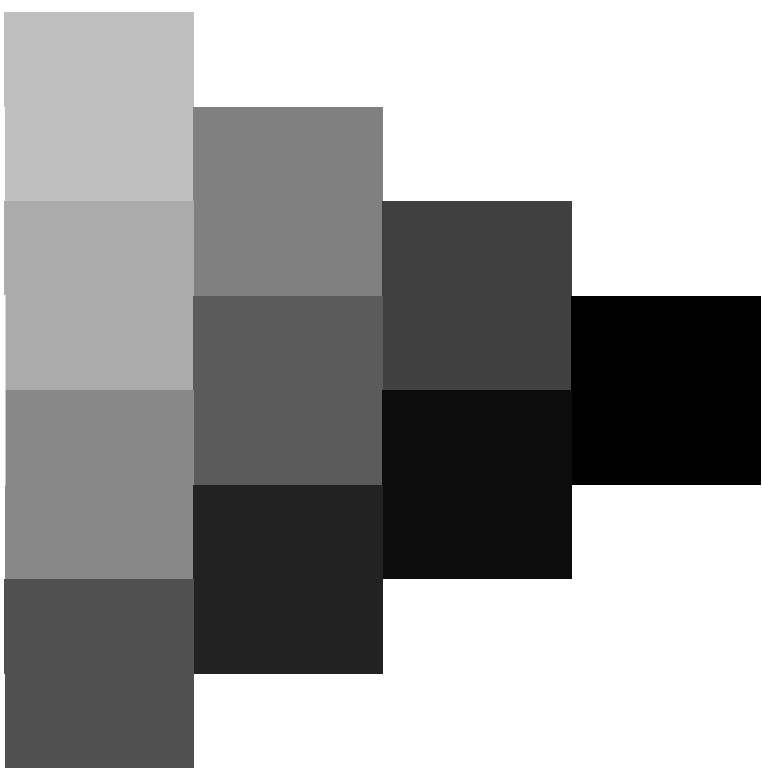
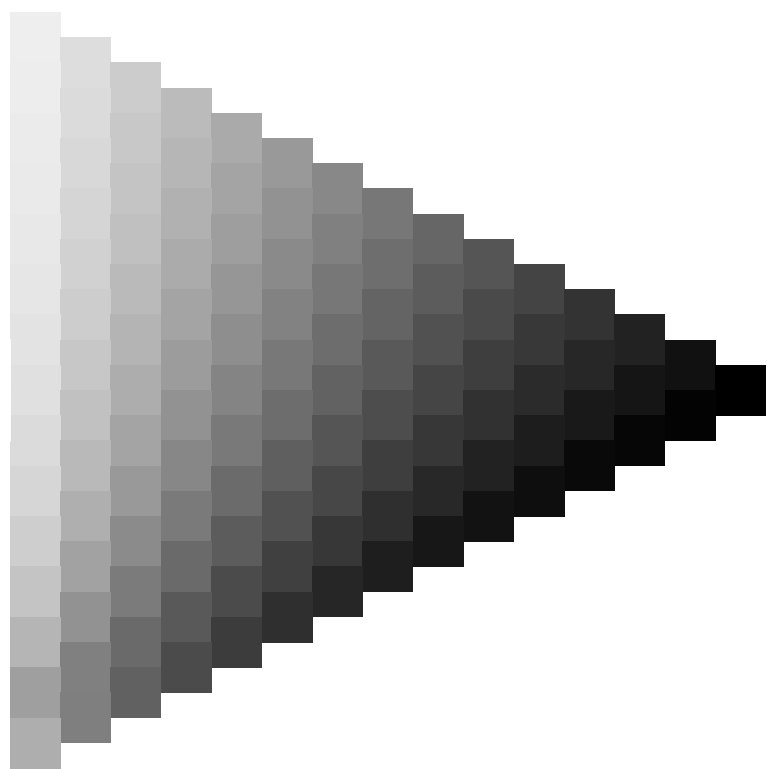
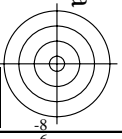
BAM-Prüfvorlage Eg13; Farbmetrik-Systeme, Seite 73/270 Eingabe: 000n / w / nnn0 / www set...
 4 Separationen, 9 Datentabellen für 16 Bunttöne r00j bis b75r Ausgabe: ->cmyn6* setcmykcolor

C M Y O L V



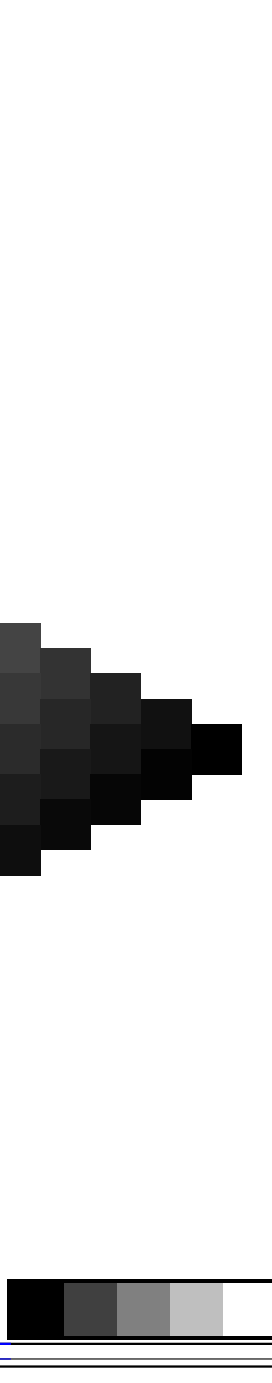
Siehe ähnliche Dateien: <http://www.ps.bam.de/Eg13/>; www.ps.bam.de/Eg_HTM
Technische Information: <http://www.ps.bam.de> Version 2.1, io=1,1, ColSpx=1







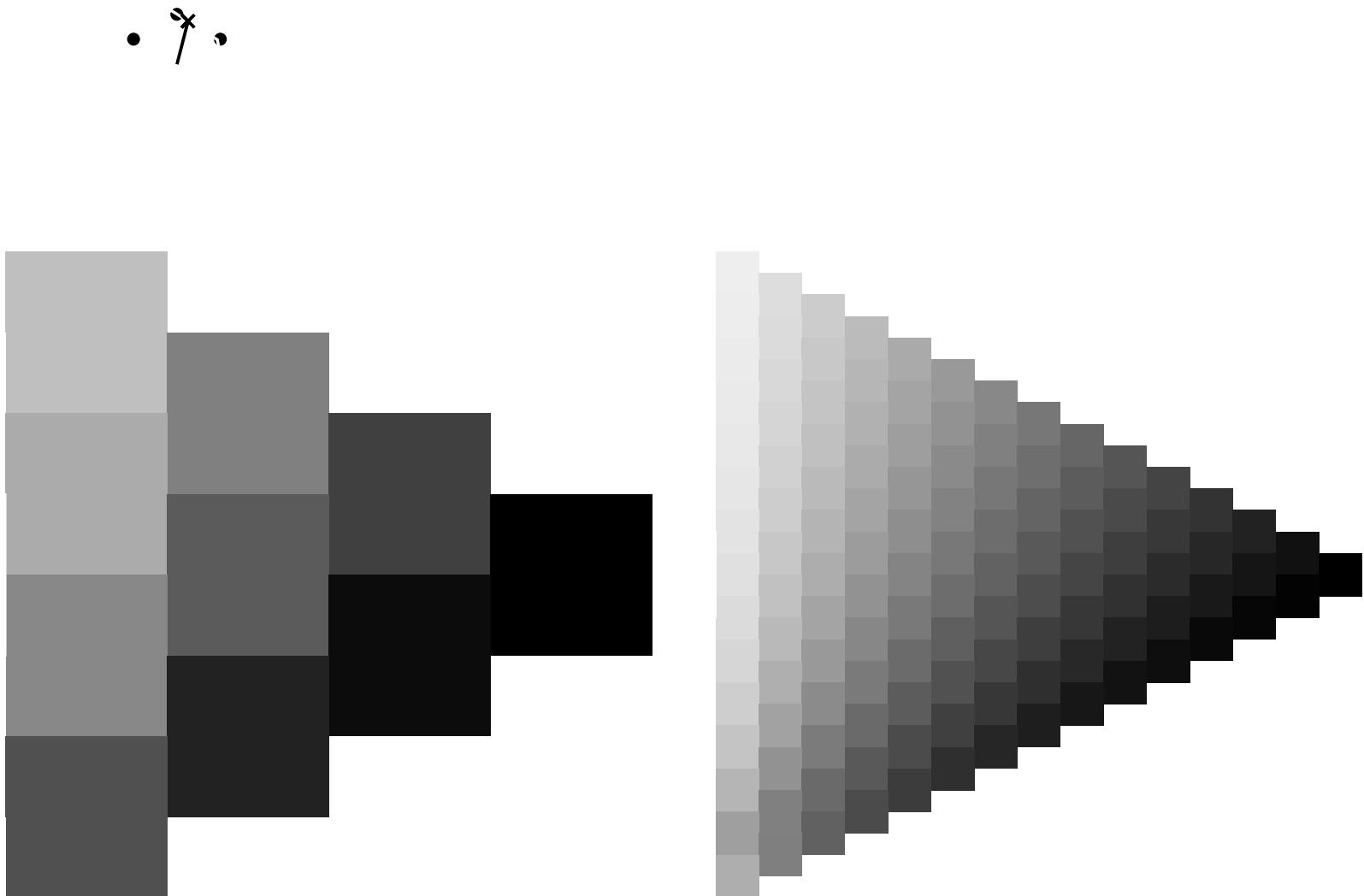
BAM-Registrierung: 20081001-Eg13/10L/L13G00NA.PS/.TXT BAM-Material: Code=rha4ta
+ Anwendung für Beurteilung und Messung von Drucker- oder Monitorsystemen



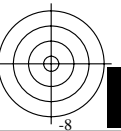
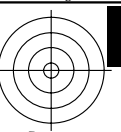
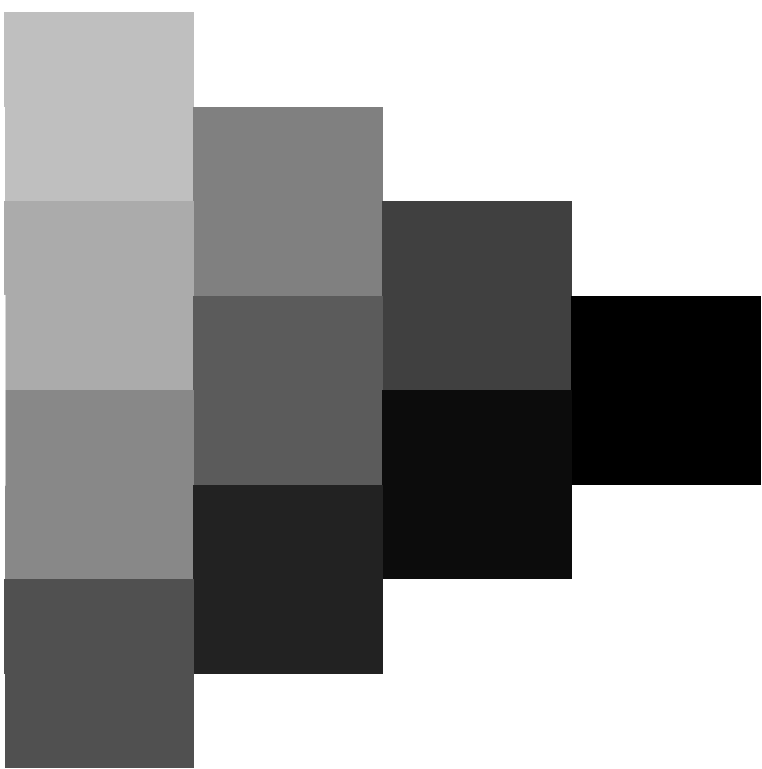
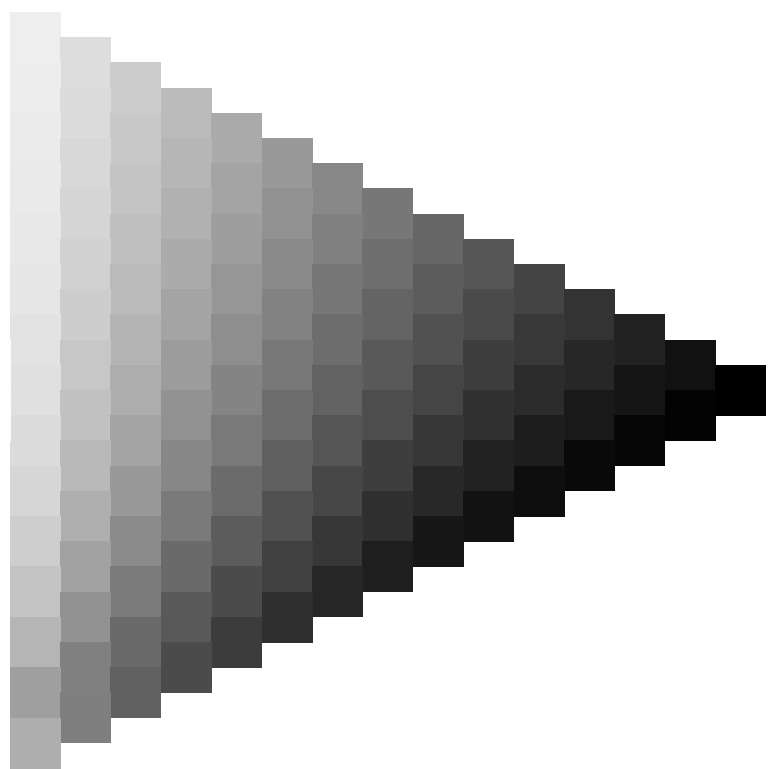
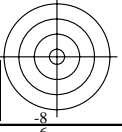
www.ps.bam.de/Eg13/10L/L13G00NA.PS/.TXT; ORS19_96a; Transfer und Ausgabe
N: Keine Ausgabe-Linearisierung (OL) in Datei (F), Startup (S), Gerät (D); Separation: cmyk



Technische Information: <http://www.ps.bam.de> Version 2.1, io=1, ColSpx=1

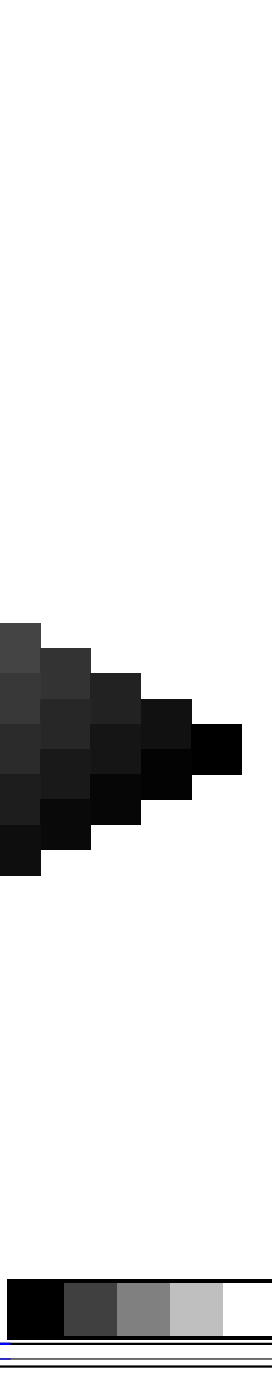


BAM-Prüfvorlage Eg13; Farbmimetrik-Systeme, Seite 77/270 Eingabe: 000n / w / nnn0 / www set...
4 Separationen, 9 Datentabellen für 16 Bunttöne r00j bis b75r Ausgabe: ->cmyn6* setcmykcolor

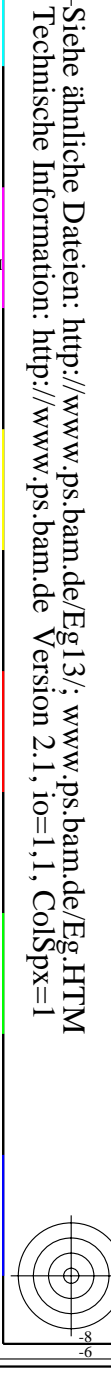




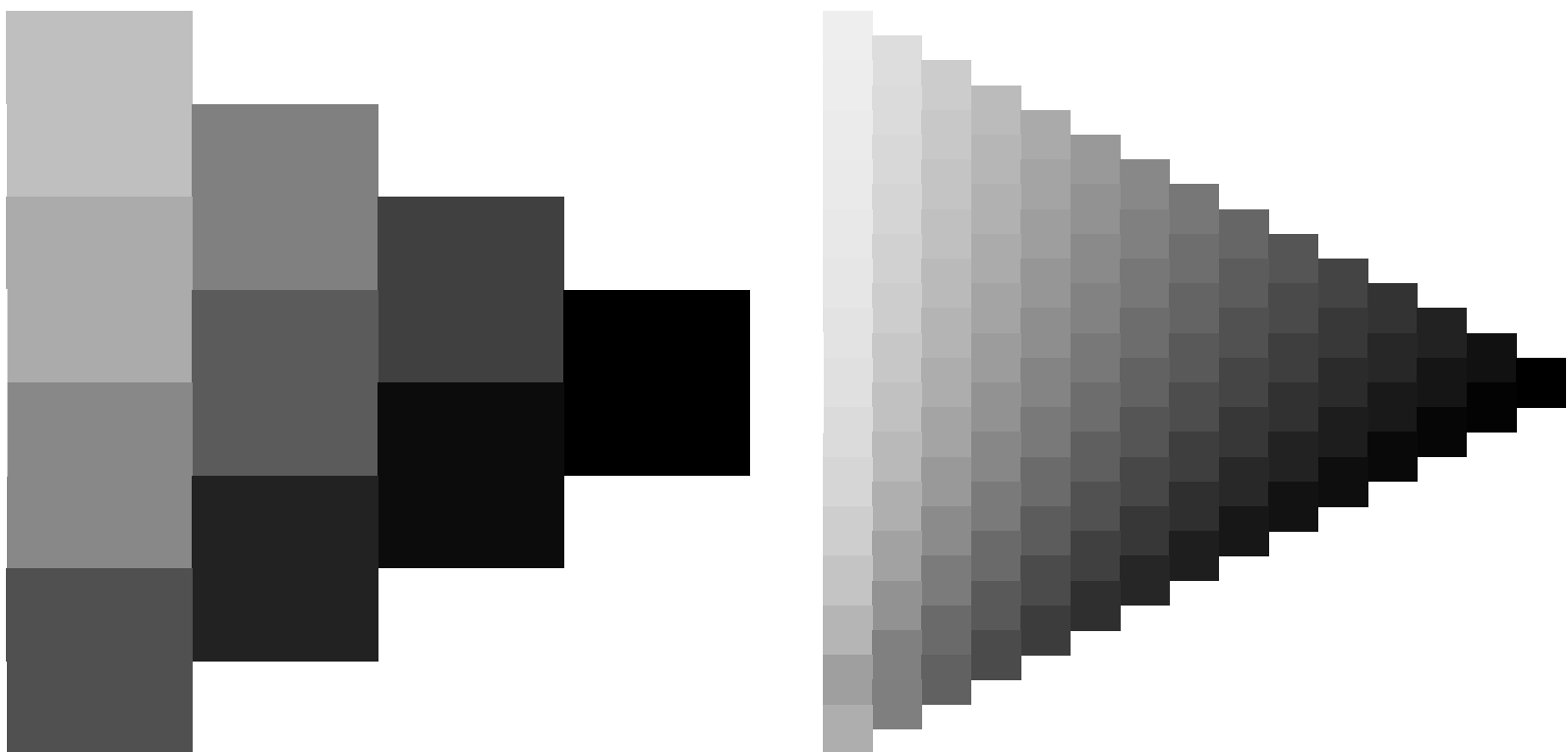
BAM-Registrierung: 20081001-Eg13/10L/L13G00NA.PS/.TXT BAM-Material: Code=rha4ta
+ Anwendung für Beurteilung und Messung von Drucker- oder Monitorsystemen



www.ps.bam.de/Eg13/10L/L13G00NA.PS/.TXT; ORS19_96a; Transfer und Ausgabe
N: Keine Ausgabe-Linearisierung (OL) in Datei (F), Startup (S), Gerät (D); Separation: cmyk



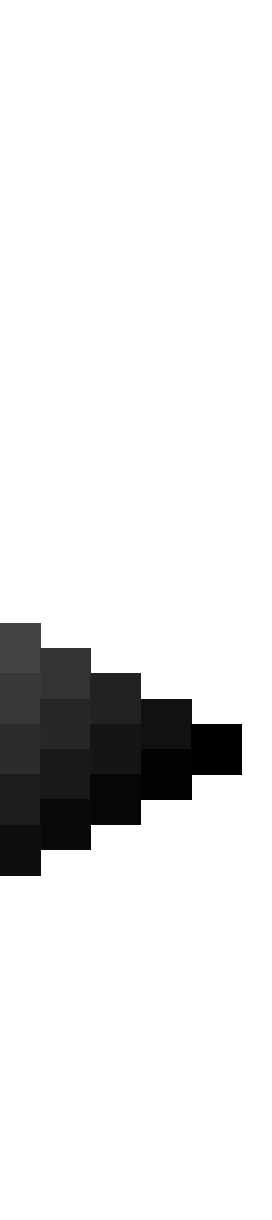
Technische Information: <http://www.ps.bam.de> Version 2.1, io=1,1, ColSpx=1



BAM-Prüfvorlage Eg13; Farbmimetrik-Systeme, Seite 79/270 Eingabe: 000n / w / nnn0 / www set...
4 Separationen, 9 Datentabellen für 16 Bunttöne r00j bis b75r Ausgabe: ->cmyn6* setcmykcolor



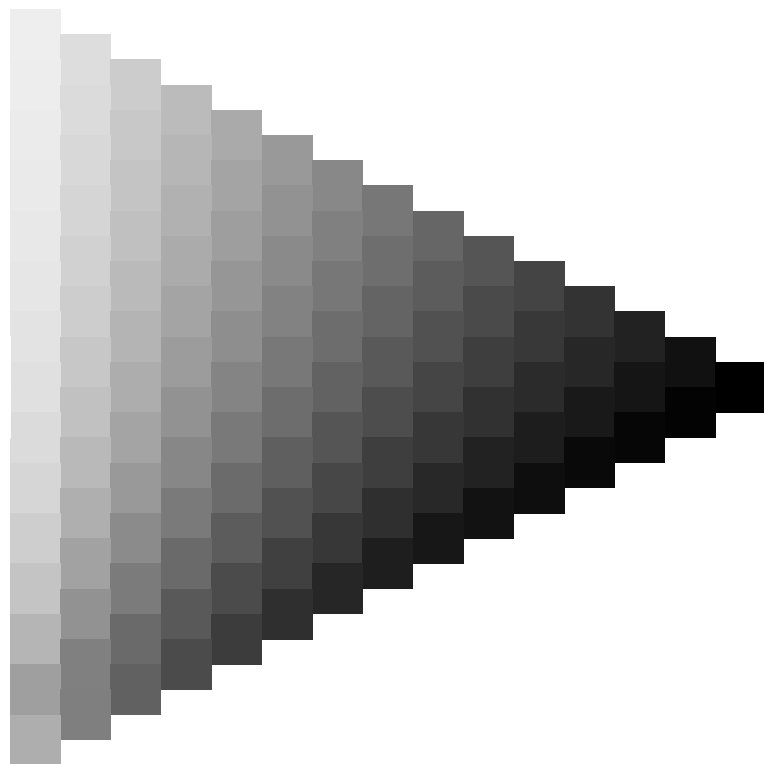
BAM-Registrierung: 20081001-Eg13/10L/L13G00NA.PS/.TXT BAM-Material: Code=rh4ta
Anwendung für Beurteilung und Messung von Drucker- oder Monitorsystemen

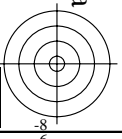
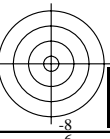
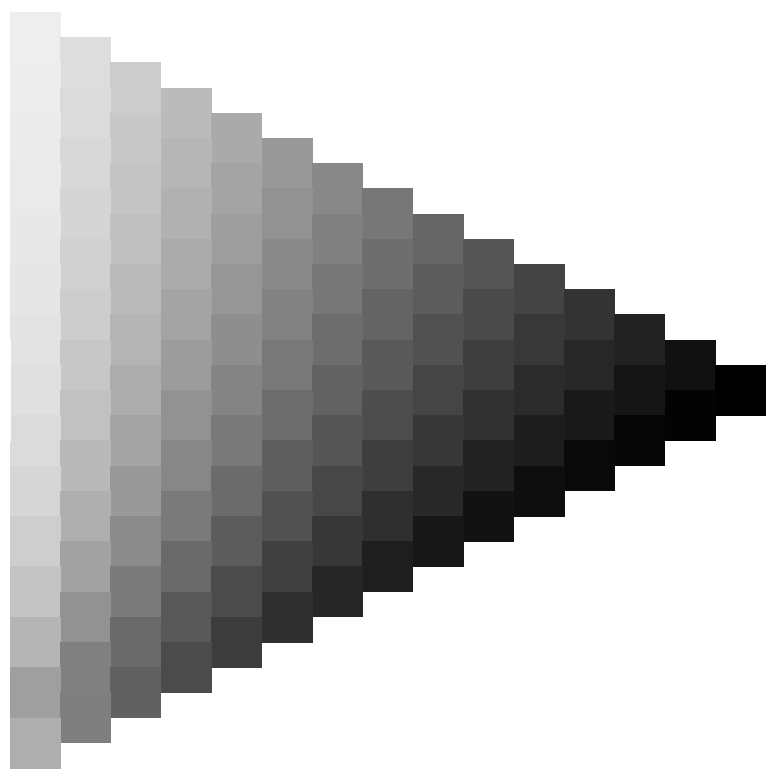
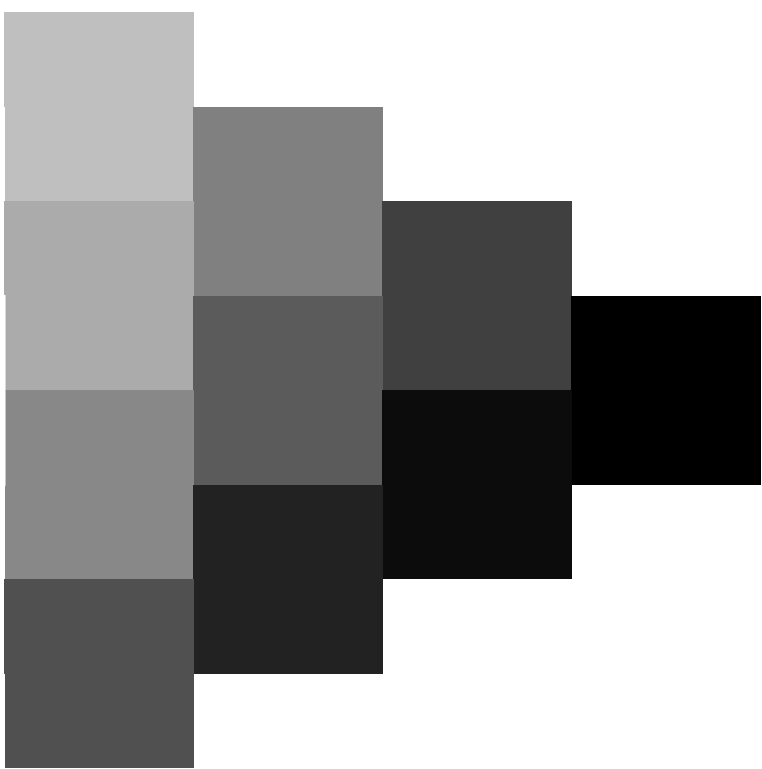
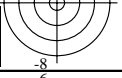
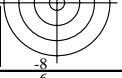


www.ps.bam.de/Eg13/10L/L13G00NA.PS/.TXT; ORS19_96a; Transfer und Ausgabe
N: Keine Ausgabe-Linearisierung (OL) in Datei (F), Startup (S), Gerät (D); Separation: cmyk



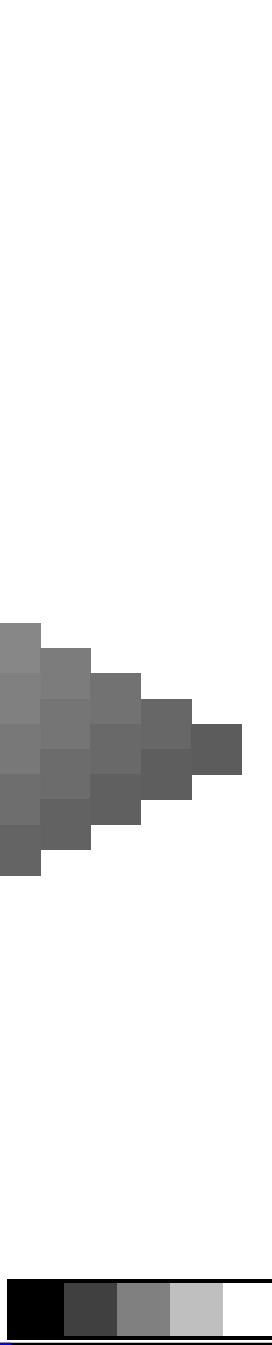
Siehe ähnliche Dateien: <http://www.ps.bam.de/Eg13/>; www.ps.bam.de/Eg.HTM
Technische Information: <http://www.ps.bam.de> Version 2.1, io=1,1, ColSpx=1







BAM-Registrierung: 20081001-Eg13/10L/L13G00NA.PS/.TXT BAM-Material: Code=rh4ta
Anwendung für Beurteilung und Messung von Drucker- oder Monitorsystemen



BAM-Prüfvorlage Eg13; Farbmimetrik-Systeme, Seite 83/270 Eingabe: 000n / w / nnn0 / www set...
 4 Separationen, 9 Datentabellen für 16 Bunttöne r00j bis b75r Ausgabe: ->cmyn6* setcmykcolor



BAM-Prüfvorlage Eg13; Farbmimetrik-Systeme, Seite 83/270 Eingabe: 000n / w / nnn0 / www set...
 4 Separationen, 9 Datentabellen für 16 Bunttöne r00j bis b75r Ausgabe: ->cmyn6* setcmykcolor



Siehe ähnliche Dateien: <http://www.ps.bam.de/Eg13/>; www.ps.bam.de/Eg_HTM
Technische Information: <http://www.ps.bam.de> Version 2.1, io=1,1, Col5px=1



BAM-Registrierung: 20081001-Eg13/10L/L13G00NA.PS/.TXT BAM-Material: Code=rha4ta
+ Anwendung für Beurteilung und Messung von Drucker- oder Monitorsystemen



Eingabe: 000n / w / nnn0 / www set...
Ausgabe: ->cmyn6* setcmykcolor



BAM-Prüfvorlage Eg13; Farbmimetrik-Systeme, Seite 84/270
4 Separationen, 9 Datentabellen für 16 Bunttöne *r00j* bis *b7j*

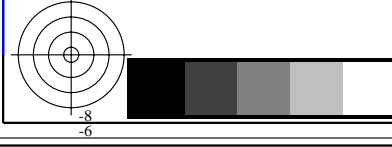
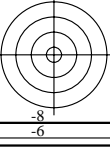
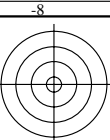


Technische Information: <http://www.ps.bam.de> Version 2.1, io=1,1, ColSpx=1



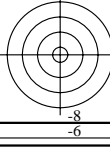
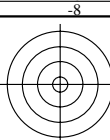
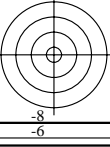
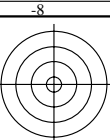
www.ps.bam.de/Eg13/10L/L13G00NA.PS/.TXT; ORS19_96a; Transfer und Ausgabe
N: Keine Ausgabe-Linearisierung (OL) in Datei (F), Startup (S), Gerät (D); Separation: cmyk



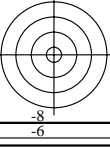
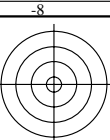


Siehe ähnliche Dateien: <http://www.ps.bam.de/Eg13/>; [www.ps.bam.de/Eg13/](http://www.ps.bam.de/Eg13/Version%202.1,io=1,1,Col5px=1)
Technische Information: [http://www.ps.bam.de/Version 2.1, io=1, 1, Col5px=1](http://www.ps.bam.de/Version%202.1,io=1,1,Col5px=1)



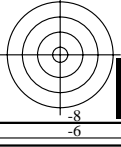
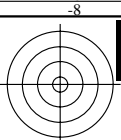


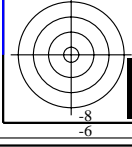
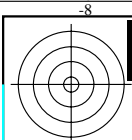
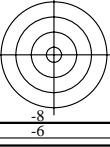
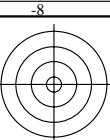
BAM-Registrierung: 20081001-Eg13/10L/L13G00NA.PS/.TXT BAM-Material: Code=rh4ta
Anwendung für Beurteilung und Messung von Drucker- oder Monitorsystemen



www.ps.bam.de/Eg13/10L/L13G00NA.PS/.TXT; ORS19_96a; Transfer und Ausgabe
N: Keine Ausgabe-Linearisierung (OL) in Datei (F), Startup (S), Gerät (D); Separation: **cmyn**

Siehe ähnliche Dateien: <http://www.ps.bam.de/Eg13/>; www.ps.bam.de/Eg.HTM
Technische Information: <http://www.ps.bam.de> Version 2.1, io=1,1, ColSpx=1







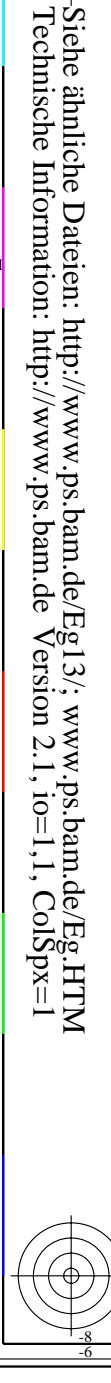
BAM-Registrierung: 20081001-Eg13/10L/L13G00NA.PS/.TXT BAM-Material: Code=rha4ta
+ Anwendung für Beurteilung und Messung von Drucker- oder Monitorsystemen



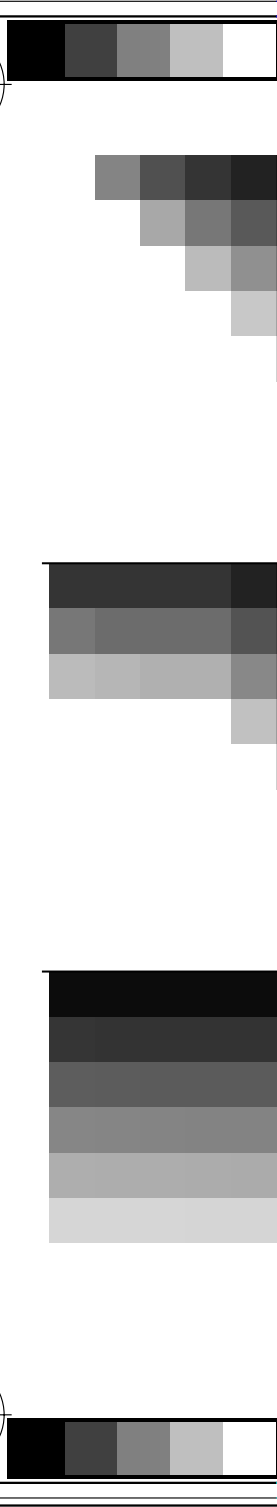
BAM-Prüfvorlage Eg13; Farbmatrik-Systeme, Seite 89/270 Eingabe: 000n / w / nnn0 / www set...
4 Separationen, 9 Datentabellen für 16 Bunttöne r00j bis b75r Ausgabe: ->cmy6* setcmykcolor



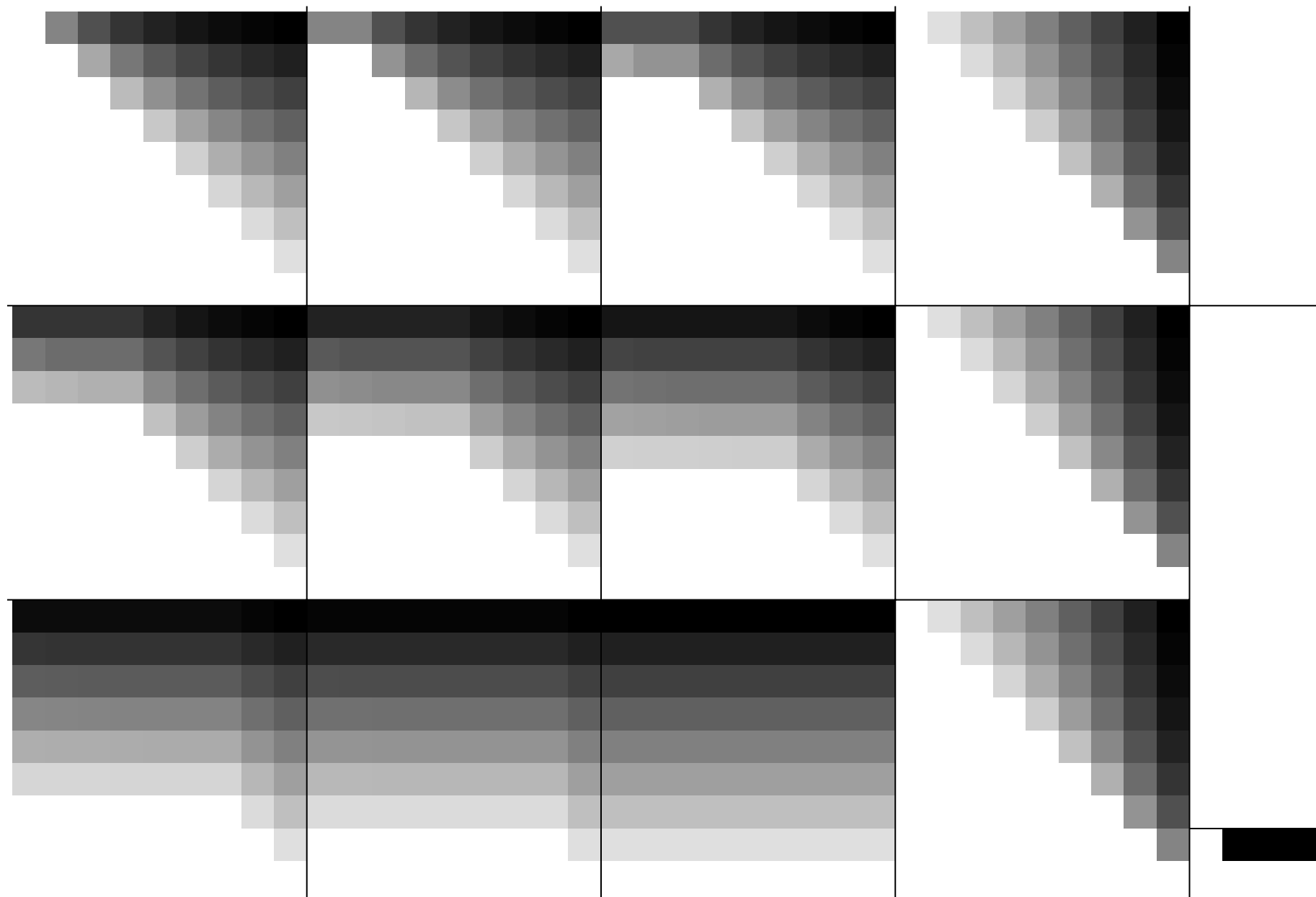
www.ps.bam.de/Eg13/10L/L13G00NA.PS/.TXT; ORS19_96a; Transfer und Ausgabe
N: Keine Ausgabe-Linearisierung (OL) in Datei (F), Startup (S), Gerät (D); Separation: cmyk



Technische Information: <http://www.ps.bam.de/Eg13/>; www.ps.bam.de/Eg.HTM



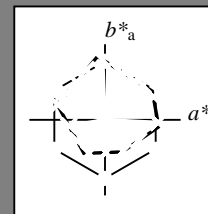
Siehe ähnliche Dateien: <http://www.ps.bam.de/Eg13/>; www.ps.bam.de/Eg13/
Technische Information: [http://www.ps.bam.de/Version 2.1, io=1,1, Col5px=1](http://www.ps.bam.de/Version2.1,io=1,1,Col5px=1)



Ein und Ausgabe:
Farbmetrisches Drucker-Reflektiv-System ORS20_95a
Daten für jede Farbe:
 u^*_e und Nummer *Nr.* = 00 .. 15
Elementar-Bunttontext:
 $u^*_e = 16$ Bunttoene *r00j, r25j, ..., b75r*
Kontrastreduzierungsfaktor:
 $c_R = 0.96$

ORS20_95a; adaptierte CIELAB-Daten

u^*_e	$L^*=L^*_a$	a^*_a	b^*_a	$C^*_{ab,a}$	$h^*_{ab,a}$	u^*_d
<i>r00j</i>	48.83	63.91	30.45	70.79	25	<i>m84o</i>
<i>r25j</i>	55.53	50.37	45.65	67.97	42	<i>o17y</i>
<i>r50j</i>	64.76	33.86	56.12	65.55	59	<i>o42y</i>
<i>r75j</i>	74.12	17.13	66.74	68.9	76	<i>o67y</i>
<i>j00g</i>	85.5	-3.22	79.65	79.72	92	<i>o92y</i>
<i>j25g</i>	79.45	-24.05	66.85	71.04	110	<i>y20l</i>
<i>j50g</i>	69.75	-38.03	49.98	62.8	127	<i>y46l</i>
<i>j75g</i>	61.38	-50.1	35.41	61.35	145	<i>y72l</i>
<i>g00b</i>	52.6	-62.77	20.12	65.92	162	<i>y99l</i>
<i>g25b</i>	55.39	-47.66	-8.06	48.34	190	<i>l36c</i>
<i>g50b</i>	57.43	-36.92	-27.8	46.22	217	<i>l72c</i>
<i>g75b</i>	55.19	-21.2	-44.17	48.99	244	<i>c11v</i>
<i>b00r</i>	41.84	1.31	-43.28	43.3	272	<i>c56v</i>
<i>b25r</i>	29.72	24.12	-41.48	47.98	300	<i>v04m</i>
<i>b50r</i>	38.41	44.74	-27.3	52.41	329	<i>v55m</i>
<i>b75r</i>	49.41	70.07	-3.62	70.16	357	<i>m11o</i>



%Umfang

$u^*_{rel} = 83$

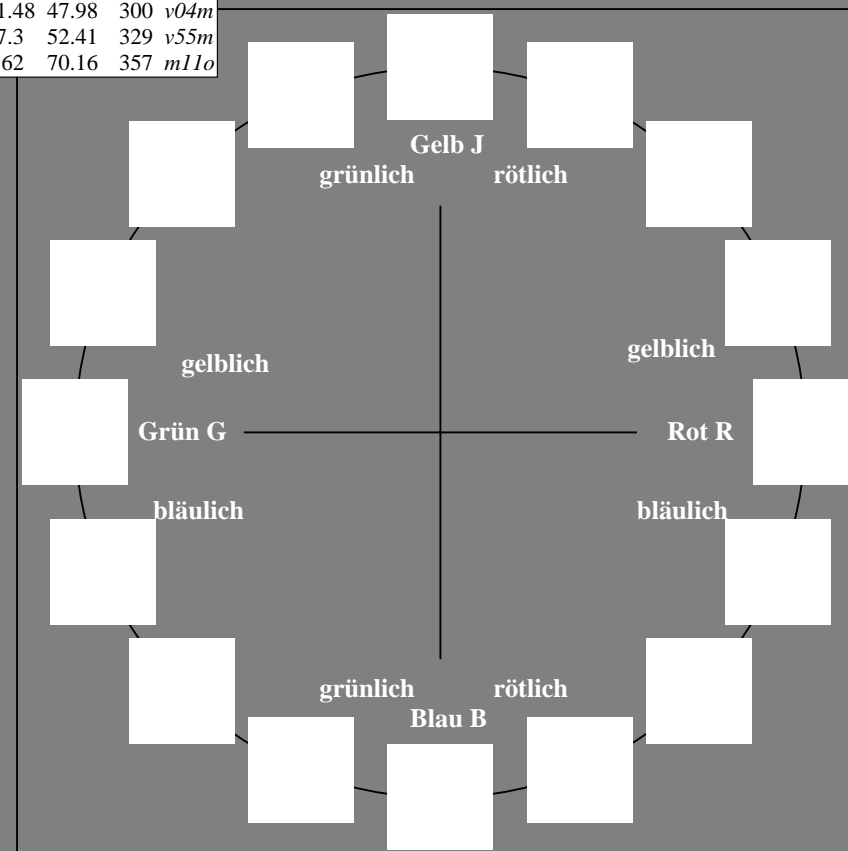
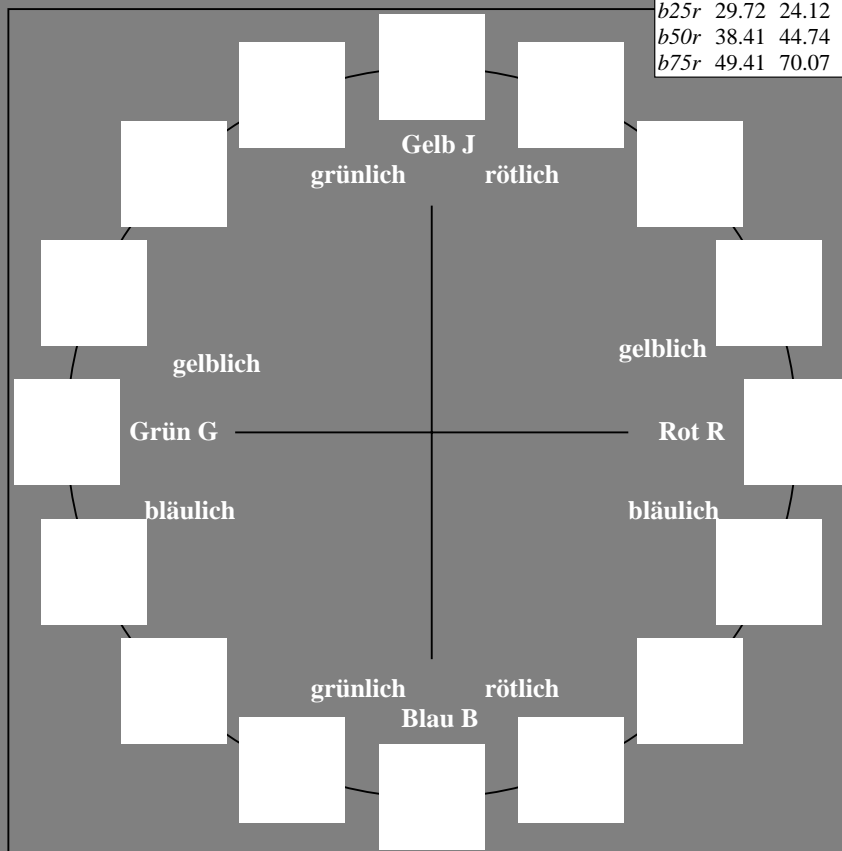
%Regularität

$g^*_{H,rel} = 72$

$g^*_{C,rel} = 57$

ORS20_95a; adaptierte CIELAB-Daten

Name	$L^*=L^*_a$	a^*_a	b^*_a	$C^*_{ab,a}$	$h^*_{ab,a}$
O _{Ma}	48.71	62.56	37.91	73.15	31
Y _{Ma}	89.25	-9.92	83.91	84.49	97
L _{Ma}	52.5	-62.91	19.95	66.0	162
C _{Ma}	59.15	-27.87	-44.43	52.45	238
V _{Ma}	29.13	22.73	-42.44	48.14	298
M _{Ma}	49.51	71.08	-9.19	71.67	353
N _{Ma}	20.0	0.0	0.0	0.0	0
W _{Ma}	95.0	0.0	0.0	0.0	0
R _{CIE}	39.92	58.74	27.99	65.07	25
J _{CIE}	81.26	-2.89	71.56	71.62	92
G _{CIE}	52.23	-42.42	13.6	44.55	162
B _{CIE}	30.57	1.41	-46.47	46.49	272



Ein und Ausgabe: Farbmetrisches Drucker-Reflektiv-System ORS20_95a für relativen CIELAB-Buntton $h^* = lab^*h^* = h_{ab}/360 = 0.071$

Daten für jede Farbe:

lab^*tch^* und lab^*icu^*

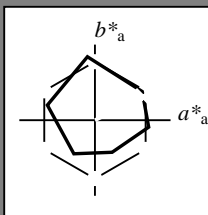
Bunttontexte:

$u^*_e = r00j$ $u^*_d = m84o$

Kontrastreduzierungsfaktor:

$c_R = 0.96$

Dreiecks-Helligkeit i^*



ORS20_95a; adaptierte CIELAB-Daten						
u^*_e	$L^*=L^*_a$	a^*_a	b^*_a	$C^*_{ab,a}$	$h^*_{ab,a}$	
O _{Ma}	48.71	62.56	37.91	73.15	31	
Y _{Ma}	89.25	-9.92	83.91	84.49	97	
L _{Ma}	52.5	-62.91	19.95	66.0	162	
C _{Ma}	59.15	-27.87	-44.43	52.45	238	
V _{Ma}	29.13	22.73	-42.44	48.14	298	
M _{Ma}	49.51	71.08	-9.19	71.67	353	
N _{Ma}	20.0	0.0	0.0	0.0	0	
W _{Ma}	95.0	0.0	0.0	0.0	0	
R _{Ma}	39.92	58.74	27.99	65.07	25	
J _{Ma}	81.26	-2.89	71.56	71.62	92	
G _{Ma}	52.23	-42.42	13.6	44.55	162	
B _{Ma}	30.57	1.41	-46.47	46.49	272	

Daten für Maximalfarbe (Ma):

$LAB^*LAB^*_{Ma}$: 49 64 30

$LAB^*LCH^*_{Ma}$: 49 71 25

$lab^*rgb^*_{Ma}$: 1.0 0.0 0.0

$lab^*olv^*_{Ma}$: 1.0 0.0 0.15

Dreiecks-Helligkeit i^*

%Umfang

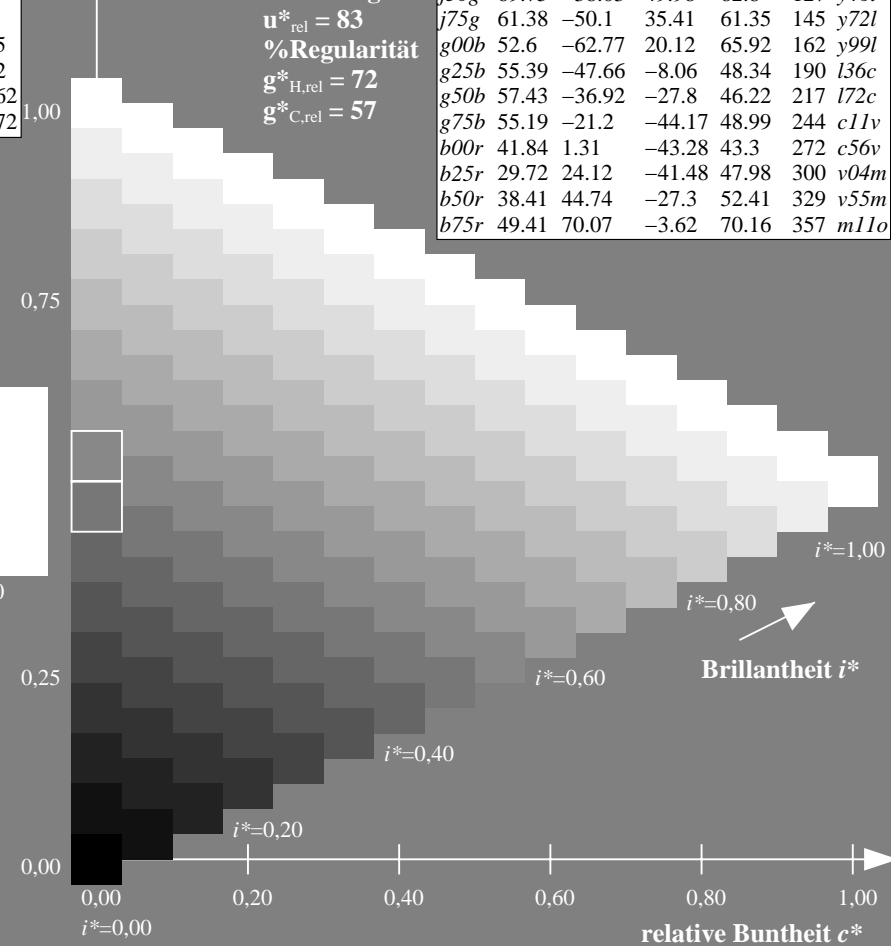
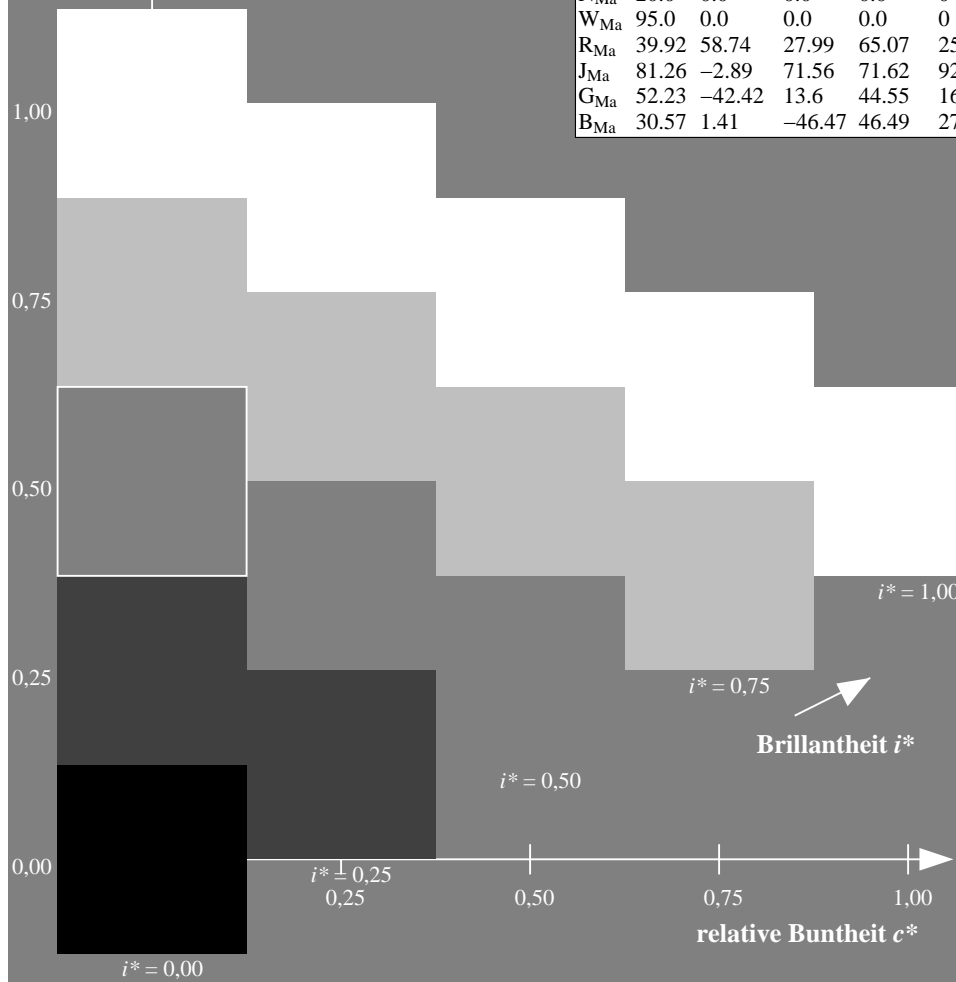
$u^*_{rel} = 83$

%Regularität

$g^*_{H,rel} = 72$

$g^*_{C,rel} = 57$

ORS20_95a; adaptierte CIELAB-Daten						
u^*_e	$L^*=L^*_a$	a^*_a	b^*_a	$C^*_{ab,a}$	$h^*_{ab,a}$	u^*_d
r00j	48.83	63.91	30.45	70.79	25	m84o
r25j	55.53	50.37	45.65	67.97	42	o17y
r50j	64.76	33.86	56.12	65.55	59	o42y
r75j	74.12	17.13	66.74	68.9	76	o67y
j00g	85.5	-3.22	79.65	79.72	92	o92y
j25g	79.45	-24.05	66.85	71.04	110	y20l
j50g	69.75	-38.03	49.98	62.8	127	y46l
j75g	61.38	-50.1	35.41	61.35	145	y72l
g00b	52.6	-62.77	20.12	65.92	162	y99l
g25b	55.39	-47.66	-8.06	48.34	190	l36c
g50b	57.43	-36.92	-27.8	46.22	217	l72c
g75b	55.19	-21.2	-44.17	48.99	244	c11v
b00r	41.84	1.31	-43.28	43.3	272	c56v
b25r	29.72	24.12	-41.48	47.98	300	v04m
b50r	38.41	44.74	-27.3	52.41	329	v55m
b75r	49.41	70.07	-3.62	70.16	357	m11o



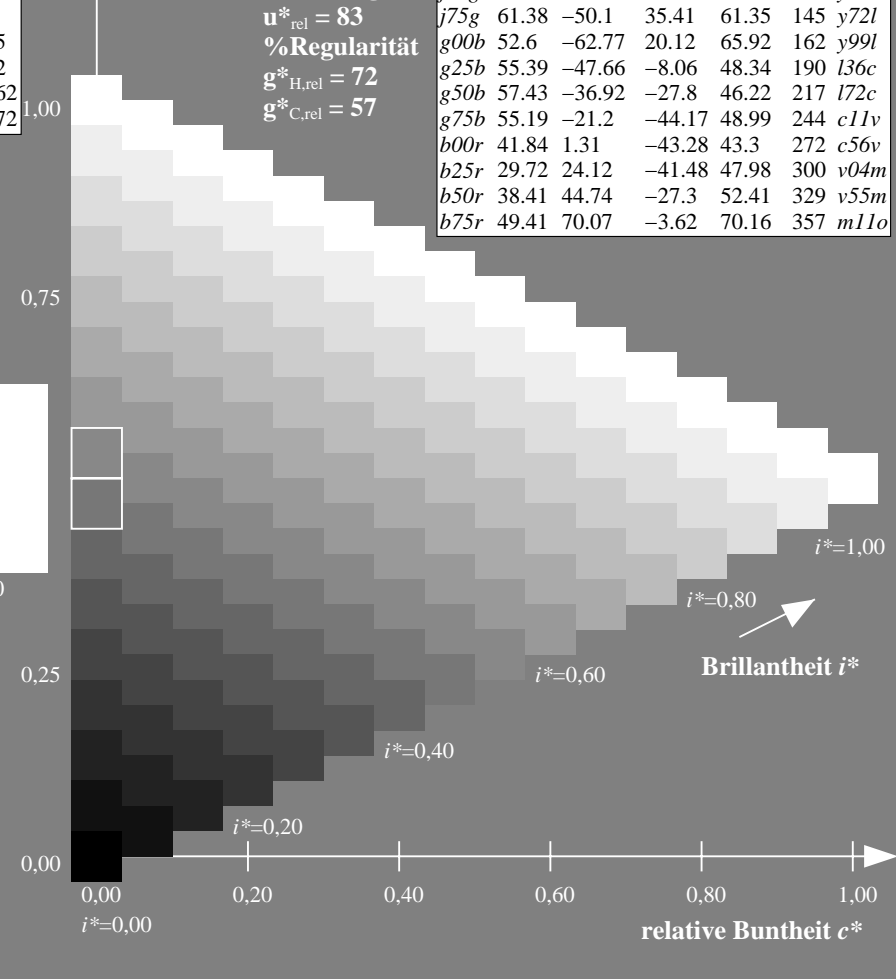
9



*lab*olv**_{Ma}: 1.0 0.17 0.0

$$g^*_{H,rel} = 72$$

0751	49.41	70.07	5.82	70.10	557	ma110
------	-------	-------	------	-------	-----	-------



4 Separationen, 9 Datentabellen für 16 Bunttöne *r00j* bis *b75r* Ausgabe: $\rightarrow cmykn6^*$ *setcmykcolor*

Ein und Ausgabe: Farbmetrisches Drucker-Reflektiv-System ORS20_95a für relativen CIELAB-Buntton $h^* = lab^*h^* = h_{ab}/360 = 0.164$

Daten für jede Farbe:

lab^*tch^* und lab^*icu^*

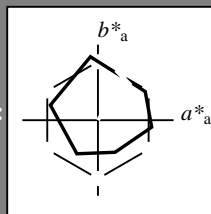
Bunttontexte:

$u_e^* = r50j$ $u_d^* = o42y$

Kontrastreduzierungsfaktor:

$c_R = 0.96$

Dreiecks-Helligkeit i^*



ORS20_95a; adaptierte CIELAB-Daten						
u_e^*	$L^*=L_a^*$	a_a^*	b_a^*	$C_{ab,a}^*$	$h_{ab,a}^*$	
O _{Ma}	48.71	62.56	37.91	73.15	31	
Y _{Ma}	89.25	-9.92	83.91	84.49	97	
L _{Ma}	52.5	-62.91	19.95	66.0	162	
C _{Ma}	59.15	-27.87	-44.43	52.45	238	
V _{Ma}	29.13	22.73	-42.44	48.14	298	
M _{Ma}	49.51	71.08	-9.19	71.67	353	
N _{Ma}	20.0	0.0	0.0	0.0	0	
W _{Ma}	95.0	0.0	0.0	0.0	0	
R _{Ma}	39.92	58.74	27.99	65.07	25	
J _{Ma}	81.26	-2.89	71.56	71.62	92	
G _{Ma}	52.23	-42.42	13.6	44.55	162	
B _{Ma}	30.57	1.41	-46.47	46.49	272	

Daten für Maximalfarbe (Ma):

LAB^*LAB^*Ma : 65 34 56

LAB^*LCH^*Ma : 65 66 58

lab^*rgb^*Ma : 1.0 0.5 0.0

lab^*olv^*Ma : 1.0 0.42 0.0

Dreiecks-Helligkeit i^*

%Umfang

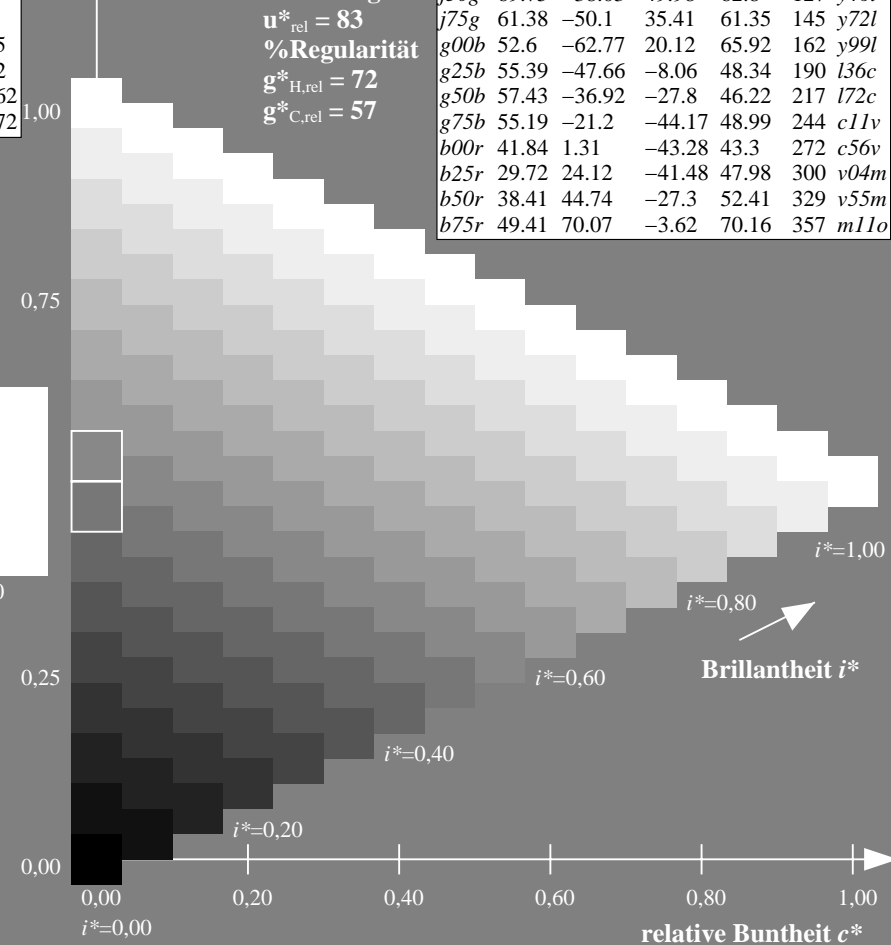
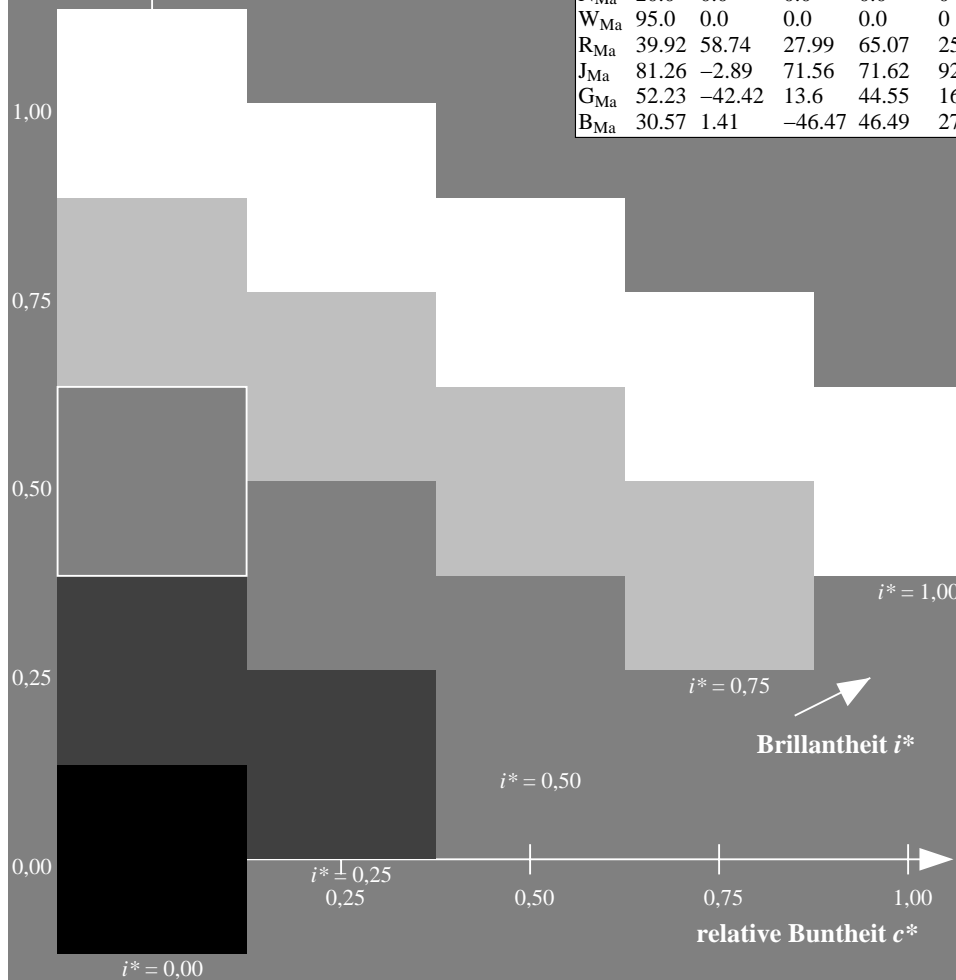
$u_{rel}^* = 83$

%Regularität

$g_{H,rel}^* = 72$

$g_{C,rel}^* = 57$

ORS20_95a; adaptierte CIELAB-Daten						
u_e^*	$L^*=L_a^*$	a_a^*	b_a^*	$C_{ab,a}^*$	$h_{ab,a}^*$	u_d^*
r00j	48.83	63.91	30.45	70.79	25	m84o
r25j	55.53	50.37	45.65	67.97	42	o17y
r50j	64.76	33.86	56.12	65.55	59	o42y
r75j	74.12	17.13	66.74	68.9	76	o67y
j00g	85.5	-3.22	79.65	79.72	92	o92y
j25g	79.45	-24.05	66.85	71.04	110	y20l
j50g	69.75	-38.03	49.98	62.8	127	y46l
j75g	61.38	-50.1	35.41	61.35	145	y72l
g00b	52.6	-62.77	20.12	65.92	162	y99l
g25b	55.39	-47.66	-8.06	48.34	190	l36c
g50b	57.43	-36.92	-27.8	46.22	217	l72c
g75b	55.19	-21.2	-44.17	48.99	244	c11v
b00r	41.84	1.31	-43.28	43.3	272	c56v
b25r	29.72	24.12	-41.48	47.98	300	v04m
b50r	38.41	44.74	-27.3	52.41	329	v55m
b75r	49.41	70.07	-3.62	70.16	357	m11o



Ein und Ausgabe: Farbmetrisches Drucker-Reflektiv-System ORS20_95a für relativen CIELAB-Buntton $h^* = lab^*h^* = h_{ab}/360 = 0.21$

Daten für jede Farbe:

lab^*tch^* und lab^*icu^*

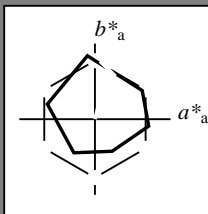
Bunttontexte:

$u^*_e = r75j$ $u^*_d = o67y$

Kontrastreduzierungsfaktor:

$c_R = 0.96$

Dreiecks-Helligkeit i^*



ORS20_95a; adaptierte CIELAB-Daten

u^*_e	$L^*=L^*_a$	a^*_a	b^*_a	$C^*_{ab,a}$	$h^*_{ab,a}$
O _{Ma}	48.71	62.56	37.91	73.15	31
Y _{Ma}	89.25	-9.92	83.91	84.49	97
L _{Ma}	52.5	-62.91	19.95	66.0	162
C _{Ma}	59.15	-27.87	-44.43	52.45	238
V _{Ma}	29.13	22.73	-42.44	48.14	298
M _{Ma}	49.51	71.08	-9.19	71.67	353
N _{Ma}	20.0	0.0	0.0	0.0	0
W _{Ma}	95.0	0.0	0.0	0.0	0
R _{Ma}	39.92	58.74	27.99	65.07	25
J _{Ma}	81.26	-2.89	71.56	71.62	92
G _{Ma}	52.23	-42.42	13.6	44.55	162
B _{Ma}	30.57	1.41	-46.47	46.49	272

Daten für Maximalfarbe (Ma):

$LAB^*LAB^*_{Ma}$: 74 17 67

$LAB^*LCH^*_{Ma}$: 74 69 75

$lab^*rgb^*_{Ma}$: 1.0 0.75 0.0

$lab^*olv^*_{Ma}$: 1.0 0.68 0.0

Dreiecks-Helligkeit i^*

%Umfang

$u^*_{rel} = 83$

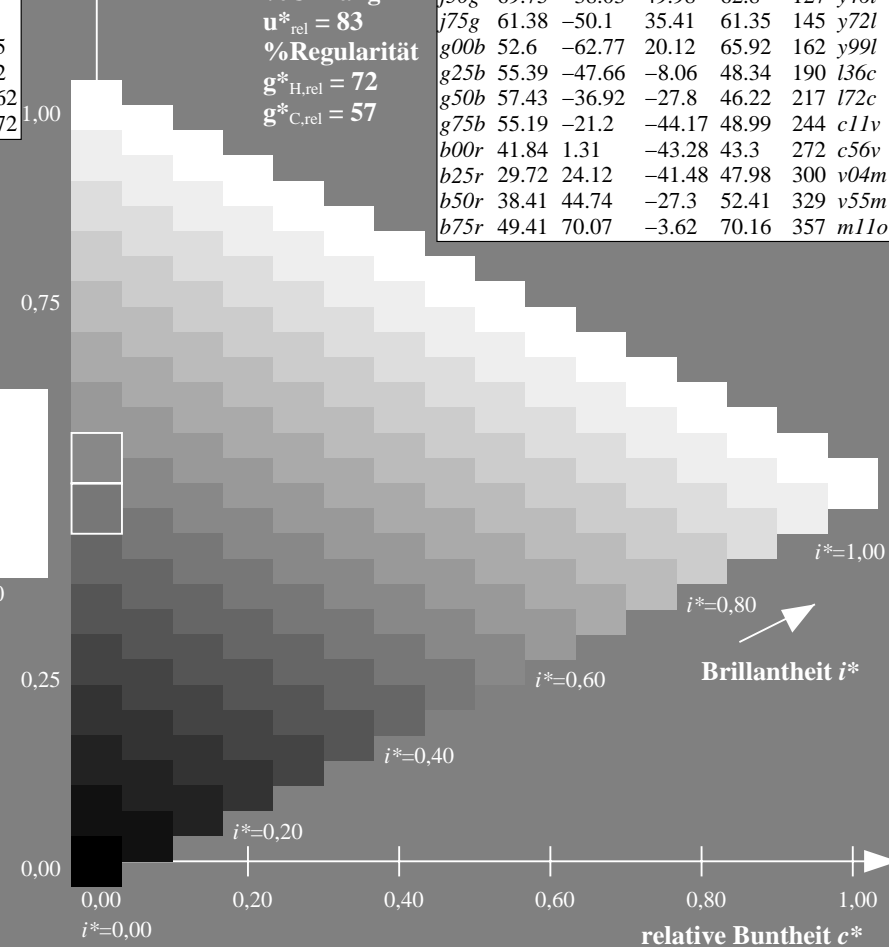
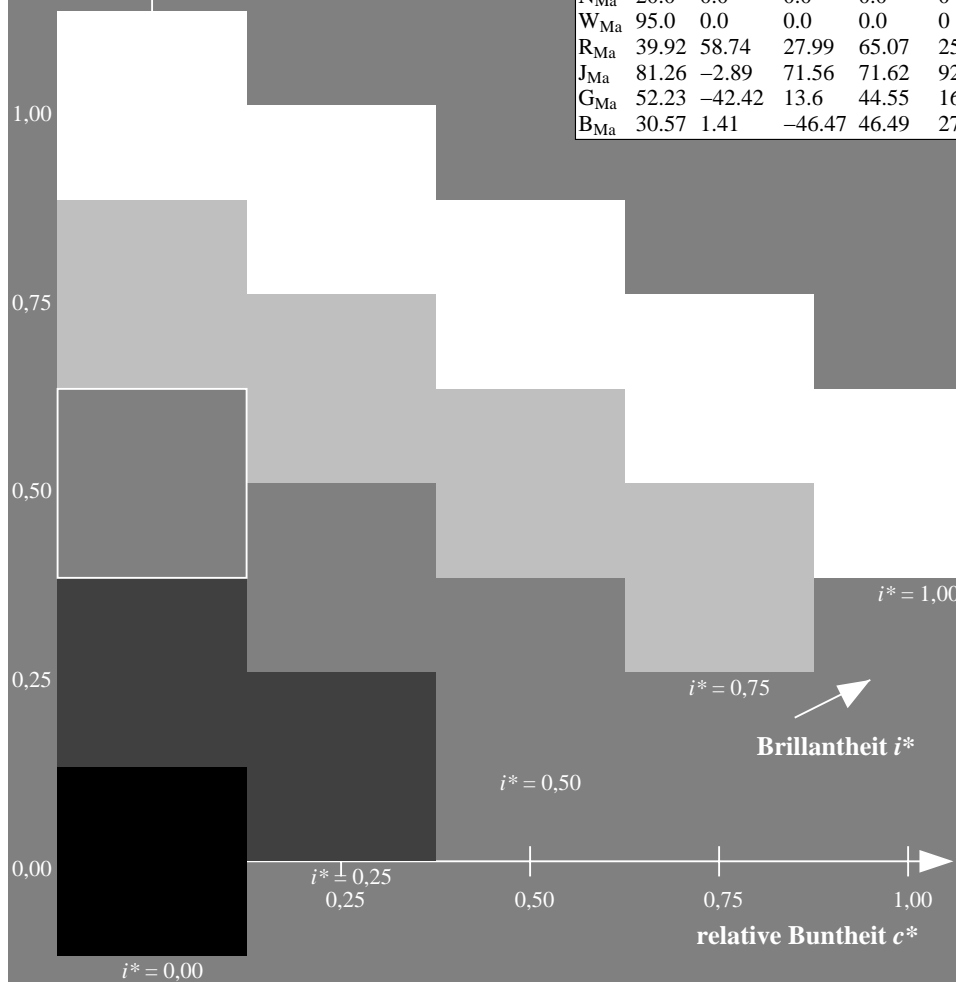
%Regularität

$g^*_{H,rel} = 72$

$g^*_{C,rel} = 57$

ORS20_95a; adaptierte CIELAB-Daten

u^*_e	$L^*=L^*_a$	a^*_a	b^*_a	$C^*_{ab,a}$	$h^*_{ab,a}$	u^*_d
r00j	48.83	63.91	30.45	70.79	25	m84o
r25j	55.53	50.37	45.65	67.97	42	o17y
r50j	64.76	33.86	56.12	65.55	59	o42y
r75j	74.12	17.13	66.74	68.9	76	o67y
j00g	85.5	-3.22	79.65	79.72	92	o92y
j25g	79.45	-24.05	66.85	71.04	110	y20l
j50g	69.75	-38.03	49.98	62.8	127	y46l
j75g	61.38	-50.1	35.41	61.35	145	y72l
g00b	52.6	-62.77	20.12	65.92	162	y99l
g25b	55.39	-47.66	-8.06	48.34	190	l36c
g50b	57.43	-36.92	-27.8	46.22	217	l72c
g75b	55.19	-21.2	-44.17	48.99	244	c11v
b00r	41.84	1.31	-43.28	43.3	272	c56v
b25r	29.72	24.12	-41.48	47.98	300	v04m
b50r	38.41	44.74	-27.3	52.41	329	v55m
b75r	49.41	70.07	-3.62	70.16	357	m11o



Ein und Ausgabe: Farbmetrisches Drucker-Reflektiv-System ORS20_95a für relativen CIELAB-Buntton $h^* = lab^*h^* = h_{ab}/360 = 0.256$

Daten für jede Farbe:

lab^*tch^* und lab^*icu^*

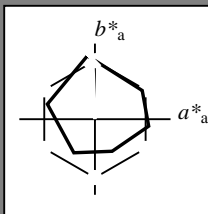
Bunttontexte:

$u_e^* = j00g$ $u_d^* = o92y$

Kontrastreduzierungsfaktor:

$c_R = 0.96$

Dreiecks-Helligkeit i^*



ORS20_95a; adaptierte CIELAB-Daten

u_e^*	$L^*=L_a^*$	a_a^*	b_a^*	$C_{ab,a}^*$	$h_{ab,a}^*$
O _{Ma}	48.71	62.56	37.91	73.15	31
Y _{Ma}	89.25	-9.92	83.91	84.49	97
L _{Ma}	52.5	-62.91	19.95	66.0	162
C _{Ma}	59.15	-27.87	-44.43	52.45	238
V _{Ma}	29.13	22.73	-42.44	48.14	298
M _{Ma}	49.51	71.08	-9.19	71.67	353
N _{Ma}	20.0	0.0	0.0	0.0	0
W _{Ma}	95.0	0.0	0.0	0.0	0
R _{Ma}	39.92	58.74	27.99	65.07	25
J _{Ma}	81.26	-2.89	71.56	71.62	92
G _{Ma}	52.23	-42.42	13.6	44.55	162
B _{Ma}	30.57	1.41	-46.47	46.49	272

Daten für Maximalfarbe (Ma):

LAB^*LAB^*Ma : 86 -3 80

LAB^*LCH^*Ma : 86 80 92

lab^*rgb^*Ma : 1.0 1.0 0.0

lab^*olv^*Ma : 1.0 0.93 0.0

Dreiecks-Helligkeit i^*

%Umfang

$u_{rel}^* = 83$

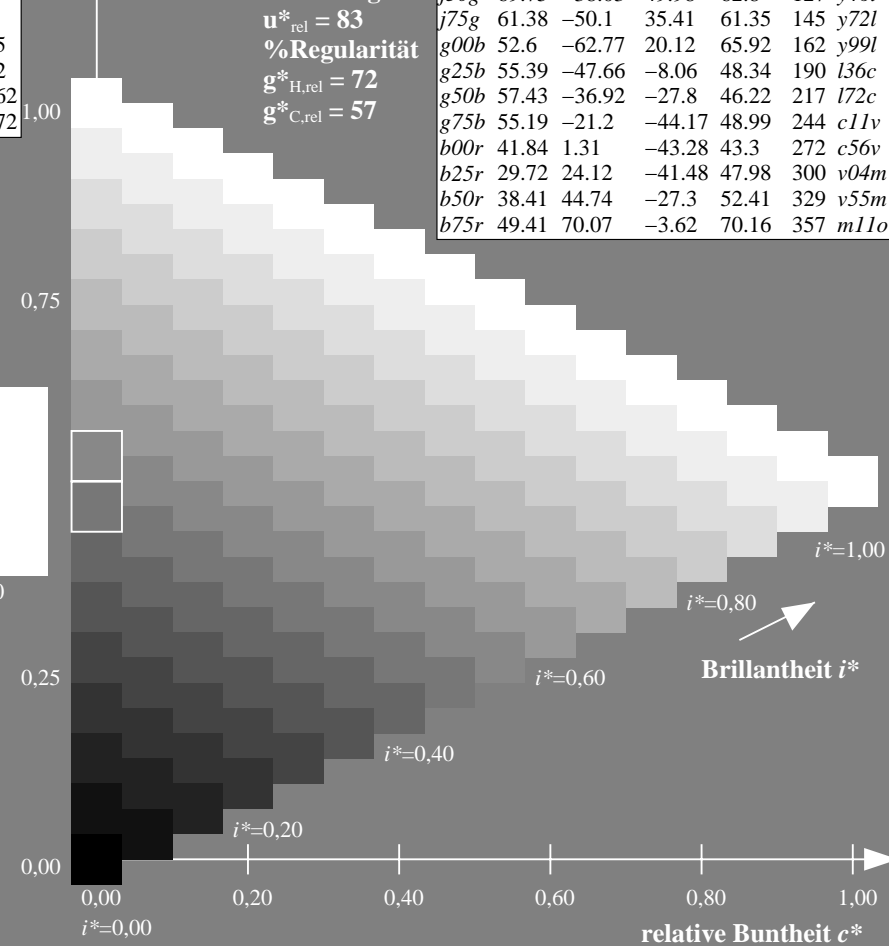
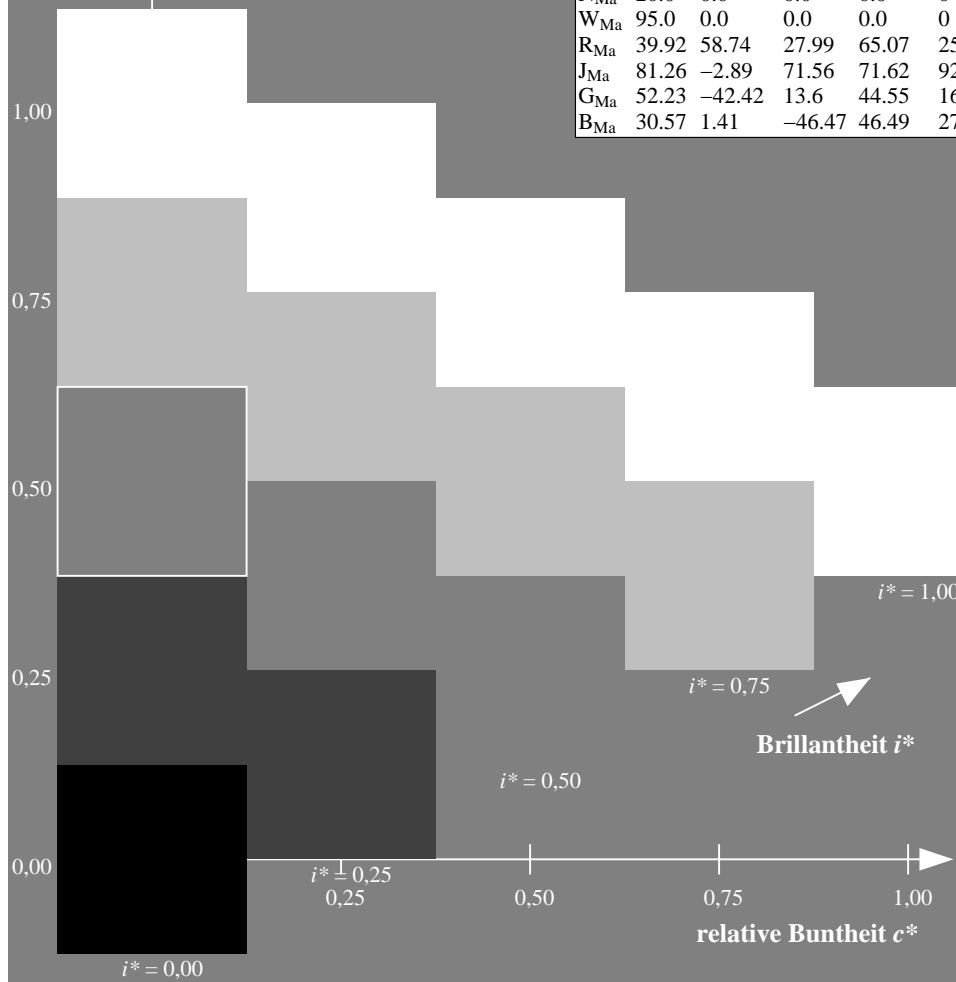
%Regularität

$g_{H,rel}^* = 72$

$g_{C,rel}^* = 57$

ORS20_95a; adaptierte CIELAB-Daten

u_e^*	$L^*=L_a^*$	a_a^*	b_a^*	$C_{ab,a}^*$	$h_{ab,a}^*$	u_d^*
r00j	48.83	63.91	30.45	70.79	25	m84o
r25j	55.53	50.37	45.65	67.97	42	o17y
r50j	64.76	33.86	56.12	65.55	59	o42y
r75j	74.12	17.13	66.74	68.9	76	o67y
j00g	85.5	-3.22	79.65	79.72	92	o92y
j25g	79.45	-24.05	66.85	71.04	110	y20l
j50g	69.75	-38.03	49.98	62.8	127	y46l
j75g	61.38	-50.1	35.41	61.35	145	y72l
g00b	52.6	-62.77	20.12	65.92	162	y99l
g25b	55.39	-47.66	-8.06	48.34	190	l36c
g50b	57.43	-36.92	-27.8	46.22	217	l72c
g75b	55.19	-21.2	-44.17	48.99	244	c11v
b00r	41.84	1.31	-43.28	43.3	272	c56v
b25r	29.72	24.12	-41.48	47.98	300	v04m
b50r	38.41	44.74	-27.3	52.41	329	v55m
b75r	49.41	70.07	-3.62	70.16	357	m11o



Ein und Ausgabe: Farbmetrisches Drucker-Reflektiv-System ORS20_95a für relativen CIELAB-Buntton $h^* = lab^*h^* = h_{ab}/360 = 0.305$

Daten für jede Farbe:

lab^*tch^* und lab^*icu^*

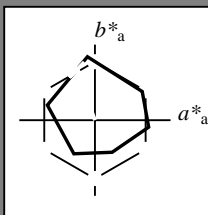
Bunttontexte:

$u^*_e = j25g$ $u^*_d = y20l$

Kontrastreduzierungsfaktor:

$c_R = 0.96$

Dreiecks-Helligkeit i^*



ORS20_95a; adaptierte CIELAB-Daten						
u^*_e	$L^*=L^*_a$	a^*_a	b^*_a	$C^*_{ab,a}$	$h^*_{ab,a}$	
O _{Ma}	48.71	62.56	37.91	73.15	31	
Y _{Ma}	89.25	-9.92	83.91	84.49	97	
L _{Ma}	52.5	-62.91	19.95	66.0	162	
C _{Ma}	59.15	-27.87	-44.43	52.45	238	
V _{Ma}	29.13	22.73	-42.44	48.14	298	
M _{Ma}	49.51	71.08	-9.19	71.67	353	
N _{Ma}	20.0	0.0	0.0	0.0	0	
W _{Ma}	95.0	0.0	0.0	0.0	0	
R _{Ma}	39.92	58.74	27.99	65.07	25	
J _{Ma}	81.26	-2.89	71.56	71.62	92	
G _{Ma}	52.23	-42.42	13.6	44.55	162	
B _{Ma}	30.57	1.41	-46.47	46.49	272	

Daten für Maximalfarbe (Ma):

$LAB^*LAB^*_{Ma}$: 79 -24 67

$LAB^*LCH^*_{Ma}$: 79 71 109

$lab^*rgb^*_{Ma}$: 0.75 1.0 0.0

$lab^*olv^*_{Ma}$: 0.8 1.0 0.0

Dreiecks-Helligkeit i^*

%Umfang

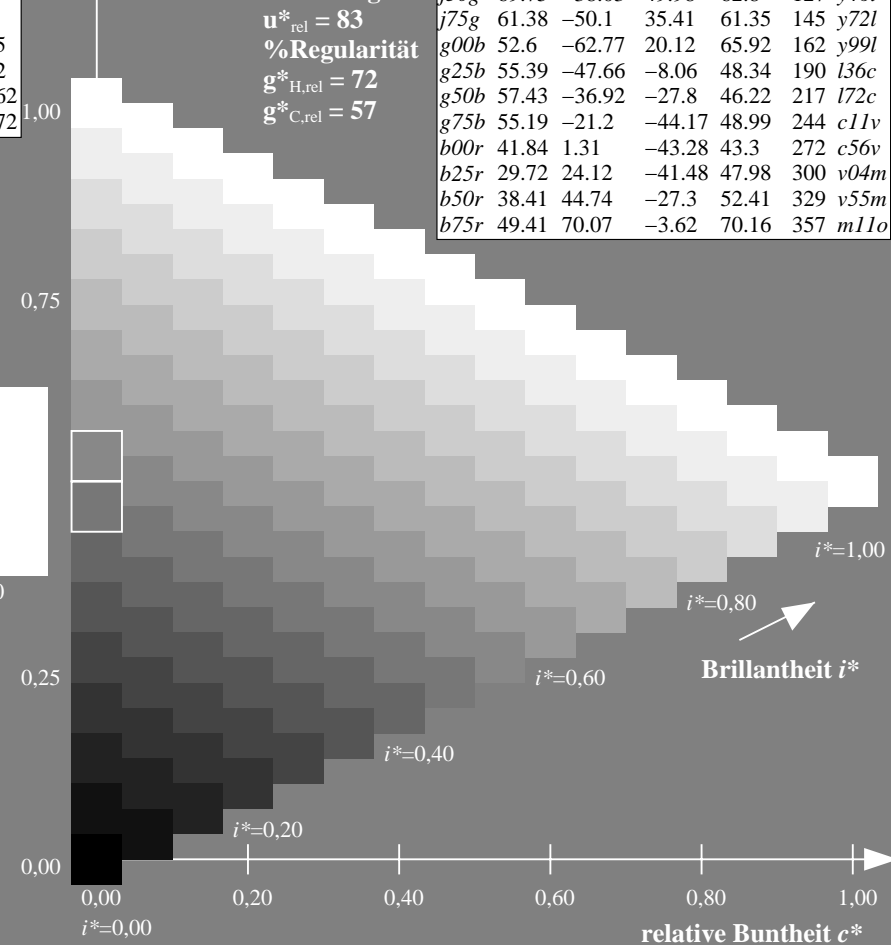
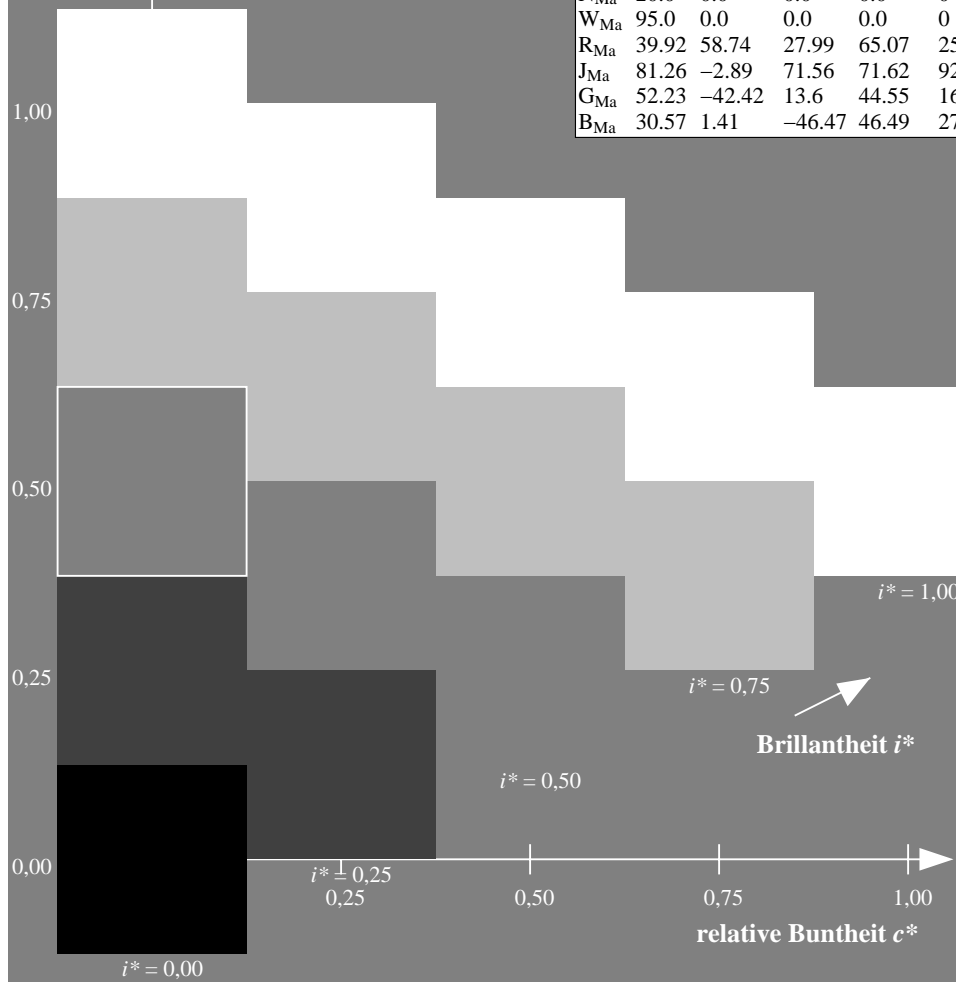
$u^*_{rel} = 83$

%Regularität

$g^*_{H,rel} = 72$

$g^*_{C,rel} = 57$

ORS20_95a; adaptierte CIELAB-Daten							
u^*_e	$L^*=L^*_a$	a^*_a	b^*_a	$C^*_{ab,a}$	$h^*_{ab,a}$	u^*_d	
r00j	48.83	63.91	30.45	70.79	25	m84o	
r25j	55.53	50.37	45.65	67.97	42	o17y	
r50j	64.76	33.86	56.12	65.55	59	o42y	
r75j	74.12	17.13	66.74	68.9	76	o67y	
j00g	85.5	-3.22	79.65	79.72	92	o92y	
j25g	79.45	-24.05	66.85	71.04	110	y20l	
j50g	69.75	-38.03	49.98	62.8	127	y46l	
j75g	61.38	-50.1	35.41	61.35	145	y72l	
g00b	52.6	-62.77	20.12	65.92	162	y99l	
g25b	55.39	-47.66	-8.06	48.34	190	l36c	
g50b	57.43	-36.92	-27.8	46.22	217	l72c	
g75b	55.19	-21.2	-44.17	48.99	244	c11v	
b00r	41.84	1.31	-43.28	43.3	272	c56v	
b25r	29.72	24.12	-41.48	47.98	300	v04m	
b50r	38.41	44.74	-27.3	52.41	329	v55m	
b75r	49.41	70.07	-3.62	70.16	357	m11o	



Ein und Ausgabe: Farbmetrisches Drucker-Reflektiv-System ORS20_95a für relativen CIELAB-Buntton $h^* = lab^*h^* = h_{ab}/360 = 0.354$

Daten für jede Farbe:

lab^*tch^* und lab^*icu^*

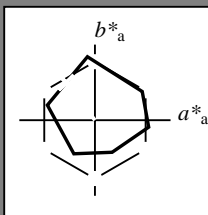
Bunttontexte:

$u_e^* = j50g$ $u_d^* = y46l$

Kontrastreduzierungsfaktor:

$c_R = 0.96$

Dreiecks-Helligkeit i^*



ORS20_95a; adaptierte CIELAB-Daten						
u_e^*	$L^*=L_a^*$	a_a^*	b_a^*	$C^*_{ab,a}$	$h^*_{ab,a}$	
O _{Ma}	48.71	62.56	37.91	73.15	31	
Y _{Ma}	89.25	-9.92	83.91	84.49	97	
L _{Ma}	52.5	-62.91	19.95	66.0	162	
C _{Ma}	59.15	-27.87	-44.43	52.45	238	
V _{Ma}	29.13	22.73	-42.44	48.14	298	
M _{Ma}	49.51	71.08	-9.19	71.67	353	
N _{Ma}	20.0	0.0	0.0	0.0	0	
W _{Ma}	95.0	0.0	0.0	0.0	0	
R _{Ma}	39.92	58.74	27.99	65.07	25	
J _{Ma}	81.26	-2.89	71.56	71.62	92	
G _{Ma}	52.23	-42.42	13.6	44.55	162	
B _{Ma}	30.57	1.41	-46.47	46.49	272	

Daten für Maximalfarbe (Ma):

$LAB^*LAB^*_{Ma}$: 70 -38 50

$LAB^*LCH^*_{Ma}$: 70 63 127

$lab^*rgb^*_{Ma}$: 0.5 1.0 0.0

$lab^*olv^*_{Ma}$: 0.54 1.0 0.0

Dreiecks-Helligkeit i^*

%Umfang

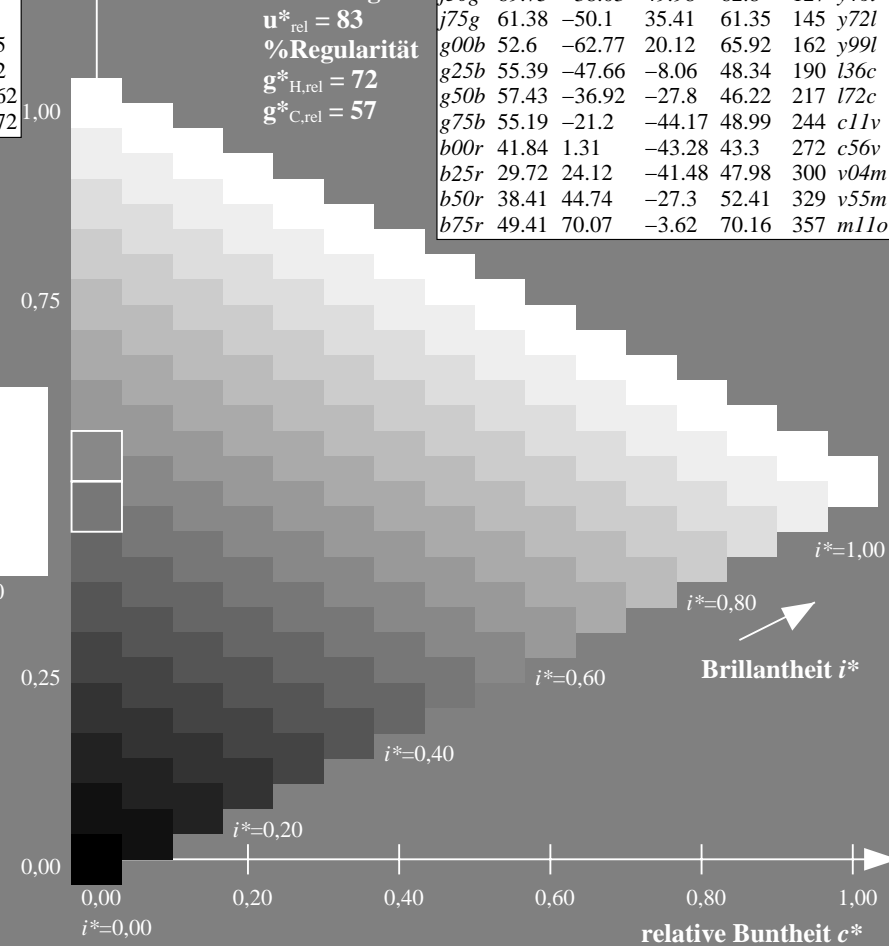
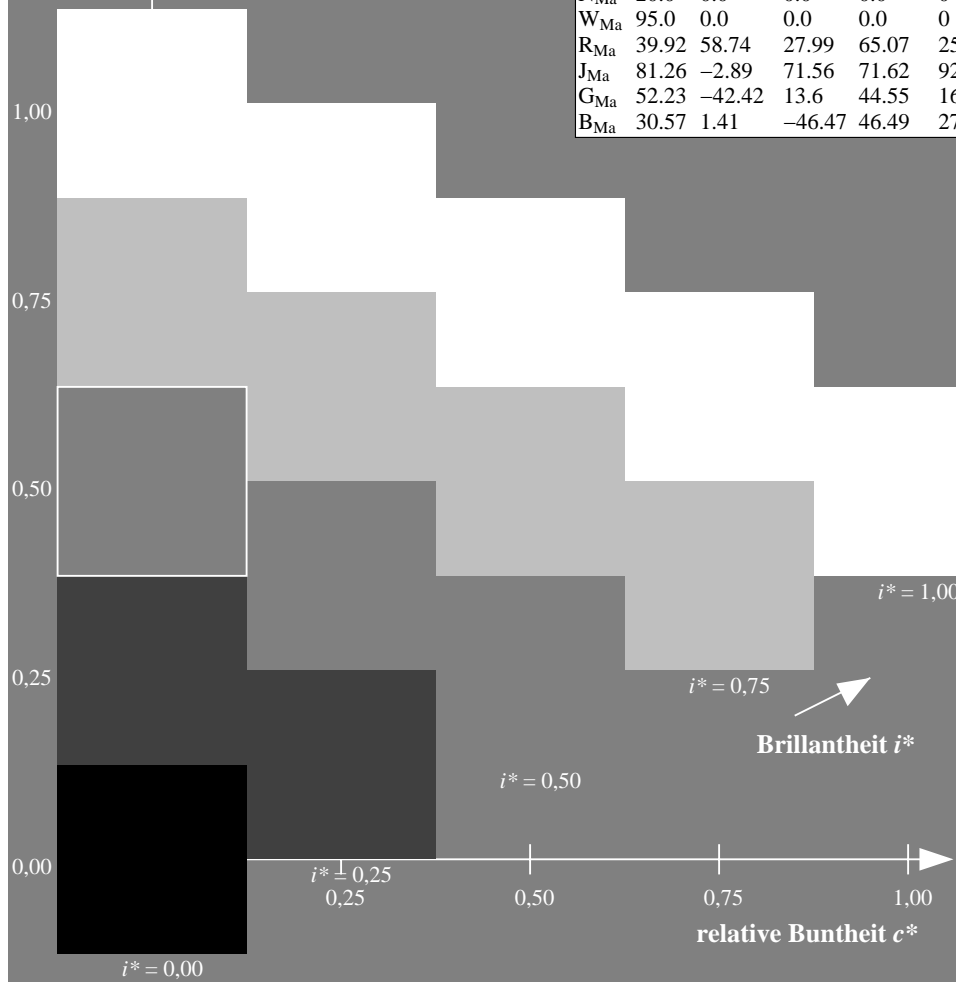
$u^*_{rel} = 83$

%Regularität

$g^*_{H,rel} = 72$

$g^*_{C,rel} = 57$

ORS20_95a; adaptierte CIELAB-Daten							
u_e^*	$L^*=L_a^*$	a_a^*	b_a^*	$C^*_{ab,a}$	$h^*_{ab,a}$	u_d^*	
r00j	48.83	63.91	30.45	70.79	25	m84o	
r25j	55.53	50.37	45.65	67.97	42	o17y	
r50j	64.76	33.86	56.12	65.55	59	o42y	
r75j	74.12	17.13	66.74	68.9	76	o67y	
j00g	85.5	-3.22	79.65	79.72	92	o92y	
j25g	79.45	-24.05	66.85	71.04	110	y20l	
j50g	69.75	-38.03	49.98	62.8	127	y46l	
j75g	61.38	-50.1	35.41	61.35	145	y72l	
g00b	52.6	-62.77	20.12	65.92	162	y99l	
g25b	55.39	-47.66	-8.06	48.34	190	l36c	
g50b	57.43	-36.92	-27.8	46.22	217	l72c	
g75b	55.19	-21.2	-44.17	48.99	244	c11v	
b00r	41.84	1.31	-43.28	43.3	272	c56v	
b25r	29.72	24.12	-41.48	47.98	300	v04m	
b50r	38.41	44.74	-27.3	52.41	329	v55m	
b75r	49.41	70.07	-3.62	70.16	357	m11o	



Ein und Ausgabe: Farbmetrisches Drucker-Reflektiv-System ORS20_95a für relativen CIELAB-Buntton $h^* = lab^*h^* = h_{ab}/360 = 0.402$

Daten für jede Farbe:

lab^*tch^* und lab^*icu^*

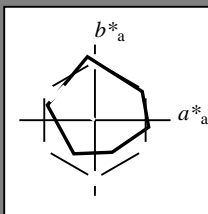
Bunttontexte:

$u_e^* = j75g$ $u_d^* = y72l$

Kontrastreduzierungsfaktor:

$c_R = 0.96$

Dreiecks-Helligkeit i^*



ORS20_95a; adaptierte CIELAB-Daten

u_e^*	$L^*=L_a^*$	a_a^*	b_a^*	$C_{ab,a}^*$	$h_{ab,a}^*$
O _{Ma}	48.71	62.56	37.91	73.15	31
Y _{Ma}	89.25	-9.92	83.91	84.49	97
L _{Ma}	52.5	-62.91	19.95	66.0	162
C _{Ma}	59.15	-27.87	-44.43	52.45	238
V _{Ma}	29.13	22.73	-42.44	48.14	298
M _{Ma}	49.51	71.08	-9.19	71.67	353
N _{Ma}	20.0	0.0	0.0	0.0	0
W _{Ma}	95.0	0.0	0.0	0.0	0
R _{Ma}	39.92	58.74	27.99	65.07	25
J _{Ma}	81.26	-2.89	71.56	71.62	92
G _{Ma}	52.23	-42.42	13.6	44.55	162
B _{Ma}	30.57	1.41	-46.47	46.49	272

Daten für Maximalfarbe (Ma):

LAB^*LAB^*Ma : 61 -50 35

LAB^*LCH^*Ma : 61 61 144

lab^*rgb^*Ma : 0.25 1.0 0.0

lab^*olv^*Ma : 0.27 1.0 0.0

Dreiecks-Helligkeit i^*

%Umfang

$u_{rel}^* = 83$

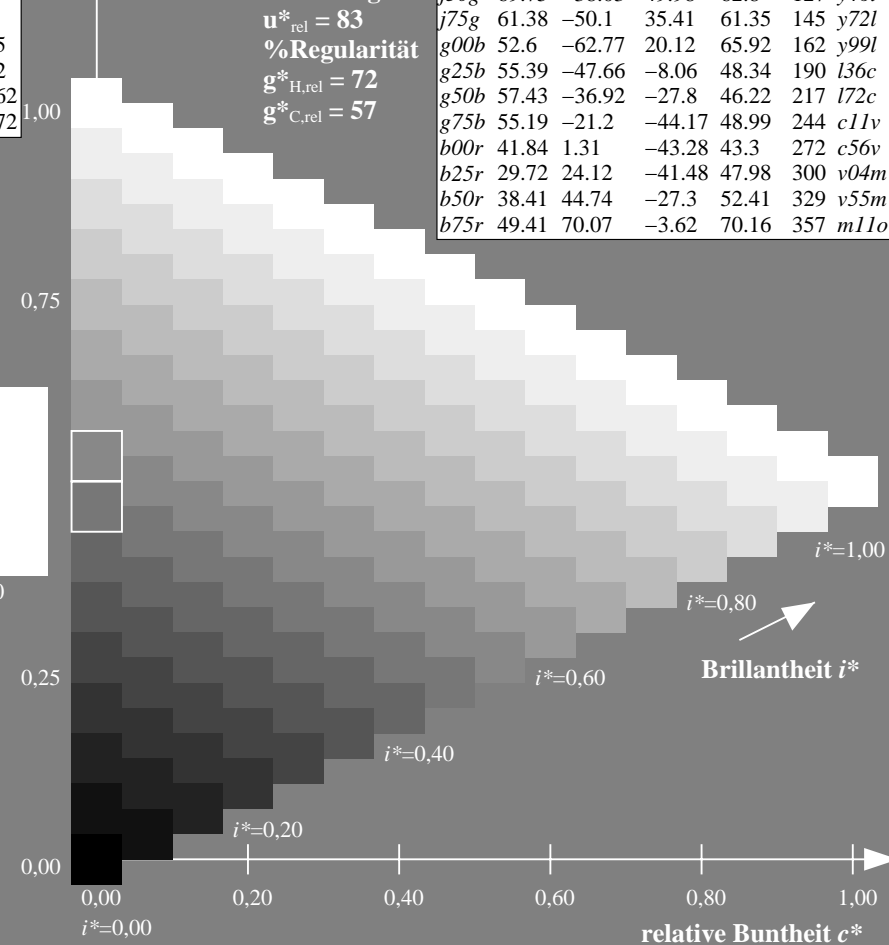
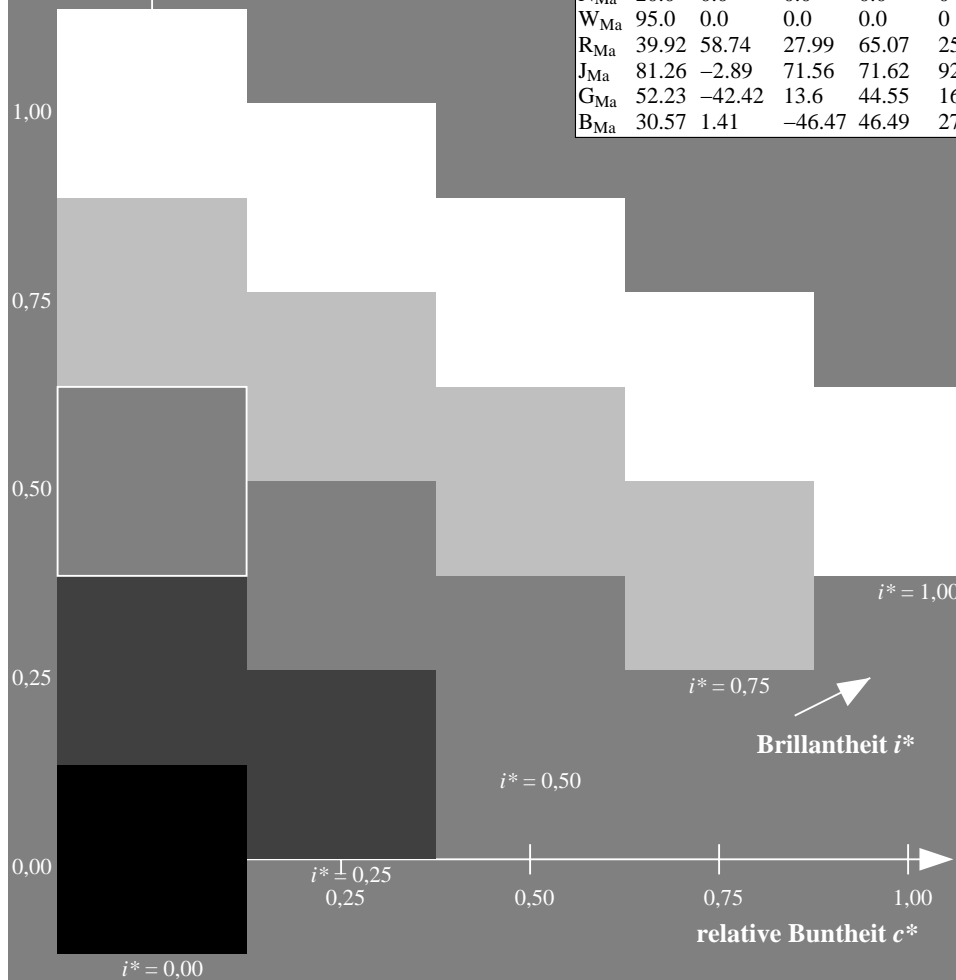
%Regularität

$g_{H,rel}^* = 72$

$g_{C,rel}^* = 57$

ORS20_95a; adaptierte CIELAB-Daten

u_e^*	$L^*=L_a^*$	a_a^*	b_a^*	$C_{ab,a}^*$	$h_{ab,a}^*$	u_d^*
r00j	48.83	63.91	30.45	70.79	25	m84o
r25j	55.53	50.37	45.65	67.97	42	o17y
r50j	64.76	33.86	56.12	65.55	59	o42y
r75j	74.12	17.13	66.74	68.9	76	o67y
j00g	85.5	-3.22	79.65	79.72	92	o92y
j25g	79.45	-24.05	66.85	71.04	110	y20l
j50g	69.75	-38.03	49.98	62.8	127	y46l
j75g	61.38	-50.1	35.41	61.35	145	y72l
g00b	52.6	-62.77	20.12	65.92	162	y99l
g25b	55.39	-47.66	-8.06	48.34	190	l36c
g50b	57.43	-36.92	-27.8	46.22	217	l72c
g75b	55.19	-21.2	-44.17	48.99	244	c11v
b00r	41.84	1.31	-43.28	43.3	272	c56v
b25r	29.72	24.12	-41.48	47.98	300	v04m
b50r	38.41	44.74	-27.3	52.41	329	v55m
b75r	49.41	70.07	-3.62	70.16	357	m11o



Ein und Ausgabe: Farbmetrisches Drucker-Reflektiv-System ORS20_95a für relativen CIELAB-Buntton $h^* = lab^*h^* = h_{ab}/360 = 0.451$

Daten für jede Farbe:

lab^*ch^* und lab^*icu^*

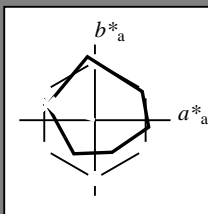
Bunttontexte:

$u^*_e = g00b$ $u^*_d = y99l$

Kontrastreduzierungsfaktor:

$c_R = 0.96$

Dreiecks-Helligkeit i^*



ORS20_95a; adaptierte CIELAB-Daten						
u^*_e	$L^*=L^*_a$	a^*_a	b^*_a	$C^*_{ab,a}$	$h^*_{ab,a}$	
O _{Ma}	48.71	62.56	37.91	73.15	31	
Y _{Ma}	89.25	-9.92	83.91	84.49	97	
L _{Ma}	52.5	-62.91	19.95	66.0	162	
C _{Ma}	59.15	-27.87	-44.43	52.45	238	
V _{Ma}	29.13	22.73	-42.44	48.14	298	
M _{Ma}	49.51	71.08	-9.19	71.67	353	
N _{Ma}	20.0	0.0	0.0	0.0	0	
W _{Ma}	95.0	0.0	0.0	0.0	0	
R _{Ma}	39.92	58.74	27.99	65.07	25	
J _{Ma}	81.26	-2.89	71.56	71.62	92	
G _{Ma}	52.23	-42.42	13.6	44.55	162	
B _{Ma}	30.57	1.41	-46.47	46.49	272	

Daten für Maximalfarbe (Ma):

$LAB^*LAB^*_{Ma}$: 53 -63 20

$LAB^*LCH^*_{Ma}$: 53 66 162

$lab^*rgb^*_{Ma}$: 0.0 1.0 0.0

$lab^*olv^*_{Ma}$: 0.0 1.0 0.0

Dreiecks-Helligkeit i^*

%Umfang

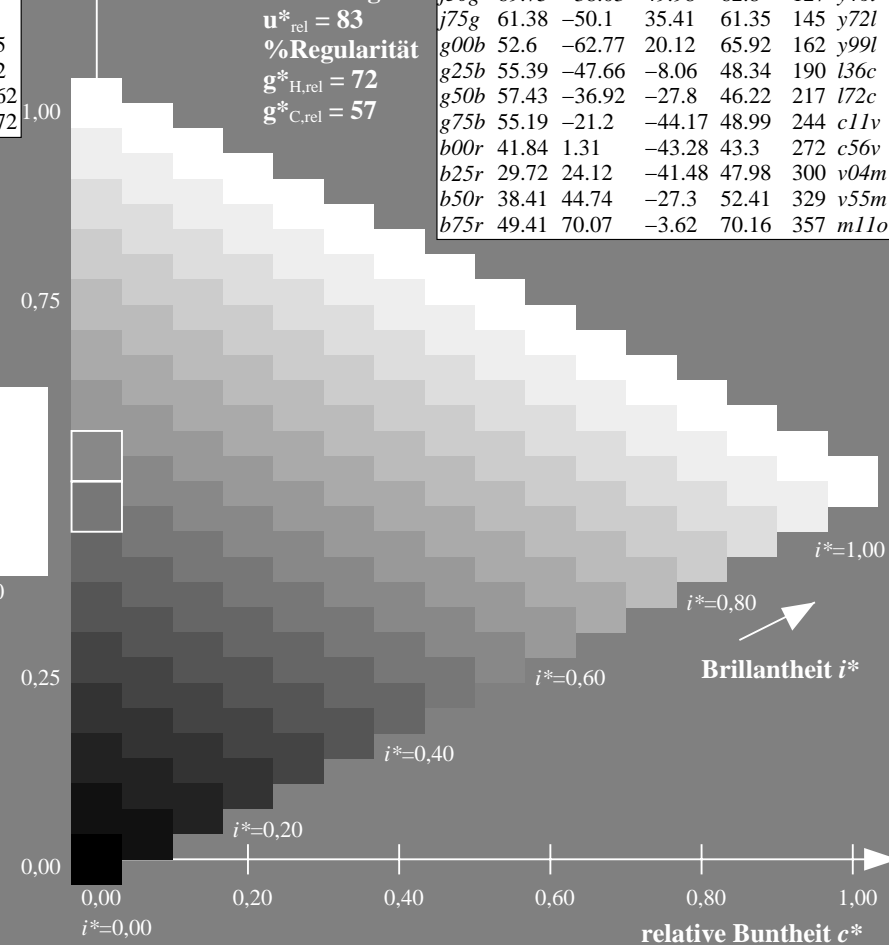
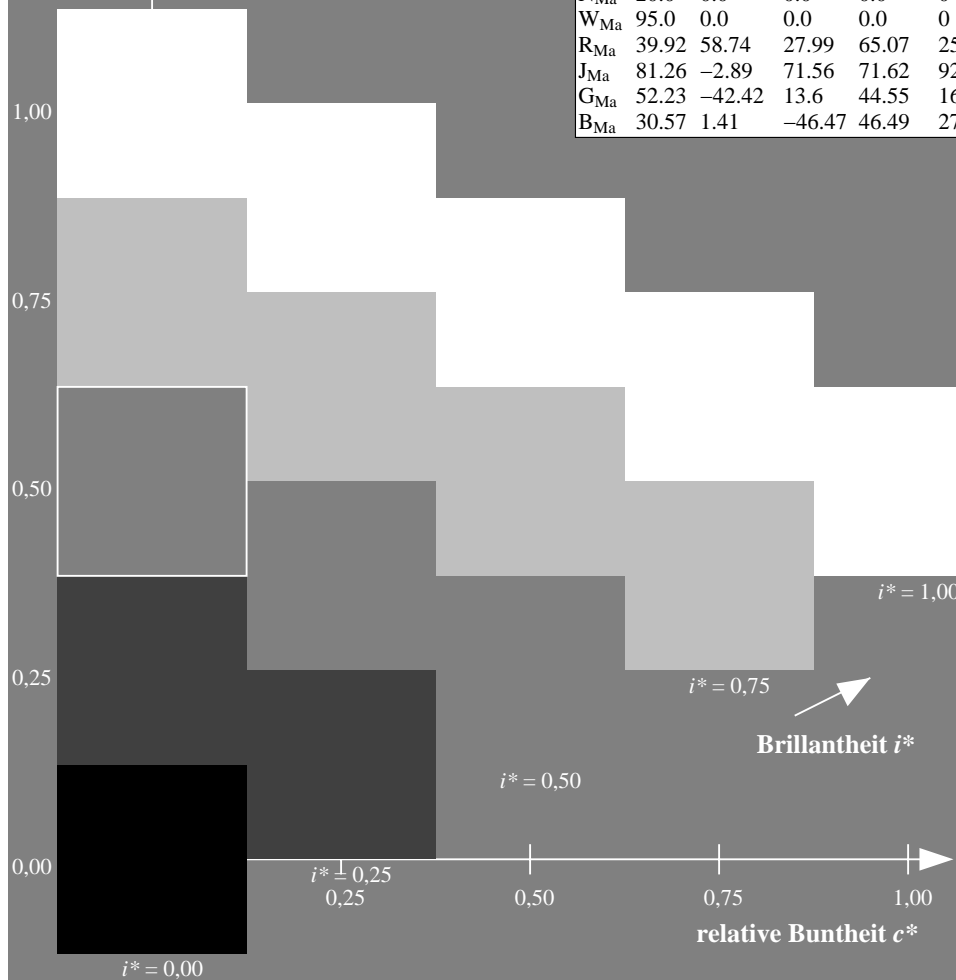
$u^*_{rel} = 83$

%Regularität

$g^*_{H,rel} = 72$

$g^*_{C,rel} = 57$

ORS20_95a; adaptierte CIELAB-Daten						
u^*_e	$L^*=L^*_a$	a^*_a	b^*_a	$C^*_{ab,a}$	$h^*_{ab,a}$	u^*_d
r00j	48.83	63.91	30.45	70.79	25	m84o
r25j	55.53	50.37	45.65	67.97	42	o17y
r50j	64.76	33.86	56.12	65.55	59	o42y
r75j	74.12	17.13	66.74	68.9	76	o67y
j00g	85.5	-3.22	79.65	79.72	92	o92y
j25g	79.45	-24.05	66.85	71.04	110	y20l
j50g	69.75	-38.03	49.98	62.8	127	y46l
j75g	61.38	-50.1	35.41	61.35	145	y72l
g00b	52.6	-62.77	20.12	65.92	162	y99l
g25b	55.39	-47.66	-8.06	48.34	190	l36c
g50b	57.43	-36.92	-27.8	46.22	217	l72c
g75b	55.19	-21.2	-44.17	48.99	244	c11v
b00r	41.84	1.31	-43.28	43.3	272	c56v
b25r	29.72	24.12	-41.48	47.98	300	v04m
b50r	38.41	44.74	-27.3	52.41	329	v55m
b75r	49.41	70.07	-3.62	70.16	357	m11o



Ein und Ausgabe: Farbmetrisches Drucker-Reflektiv-System ORS20_95a für relativen CIELAB-Buntton $h^* = lab^*h^* = h_{ab}/360 = 0.527$

Daten für jede Farbe:

lab^*tch^* und lab^*icu^*

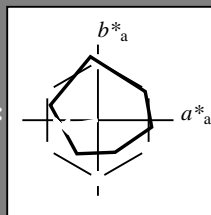
Bunttontexte:

$u^*_e = g25b$ $u^*_d = l36c$

Kontrastreduzierungsfaktor:

$c_R = 0.96$

Dreiecks-Helligkeit i^*



ORS20_95a; adaptierte CIELAB-Daten

u^*_e	$L^*=L^*_a$	a^*_a	b^*_a	$C^*_{ab,a}$	$h^*_{ab,a}$
O _{Ma}	48.71	62.56	37.91	73.15	31
Y _{Ma}	89.25	-9.92	83.91	84.49	97
L _{Ma}	52.5	-62.91	19.95	66.0	162
C _{Ma}	59.15	-27.87	-44.43	52.45	238
V _{Ma}	29.13	22.73	-42.44	48.14	298
M _{Ma}	49.51	71.08	-9.19	71.67	353
N _{Ma}	20.0	0.0	0.0	0.0	0
W _{Ma}	95.0	0.0	0.0	0.0	0
R _{Ma}	39.92	58.74	27.99	65.07	25
J _{Ma}	81.26	-2.89	71.56	71.62	92
G _{Ma}	52.23	-42.42	13.6	44.55	162
B _{Ma}	30.57	1.41	-46.47	46.49	272

Daten für Maximalfarbe (Ma):

$LAB^*LAB^*_{Ma}$: 55 -48 -8

$LAB^*LCH^*_{Ma}$: 55 48 189

$lab^*rgb^*_{Ma}$: 0.0 1.0 0.5

$lab^*olv^*_{Ma}$: 0.0 1.0 0.36

Dreiecks-Helligkeit i^*

%Umfang

$u^*_{rel} = 83$

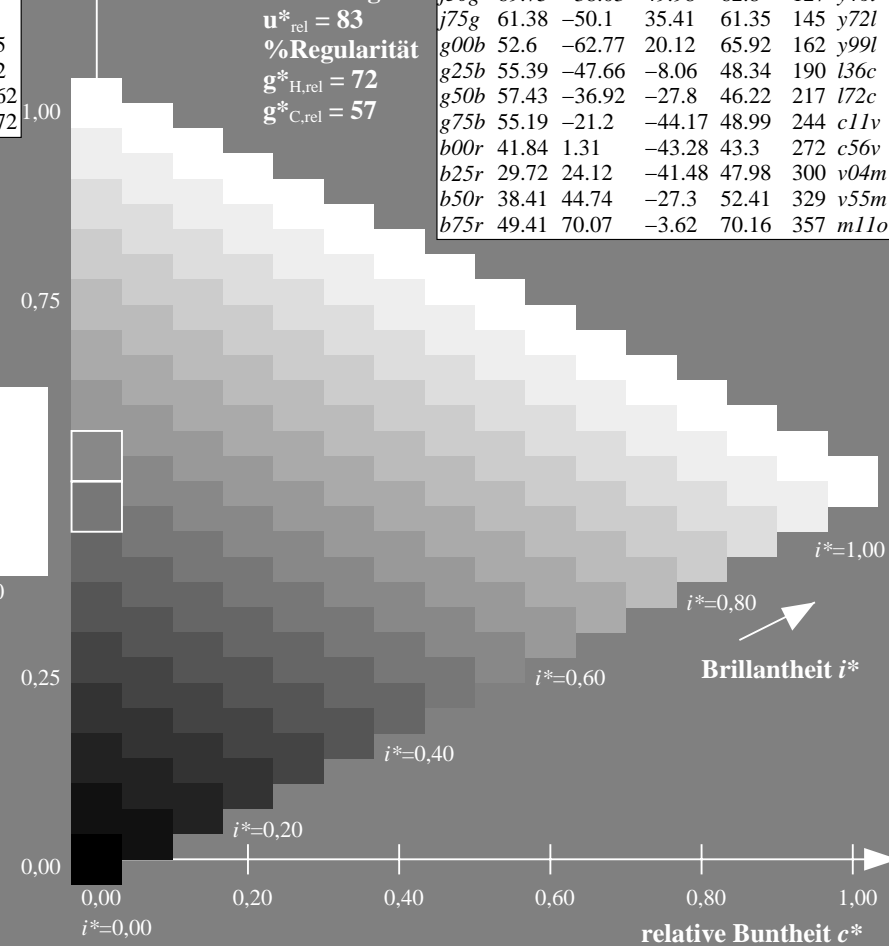
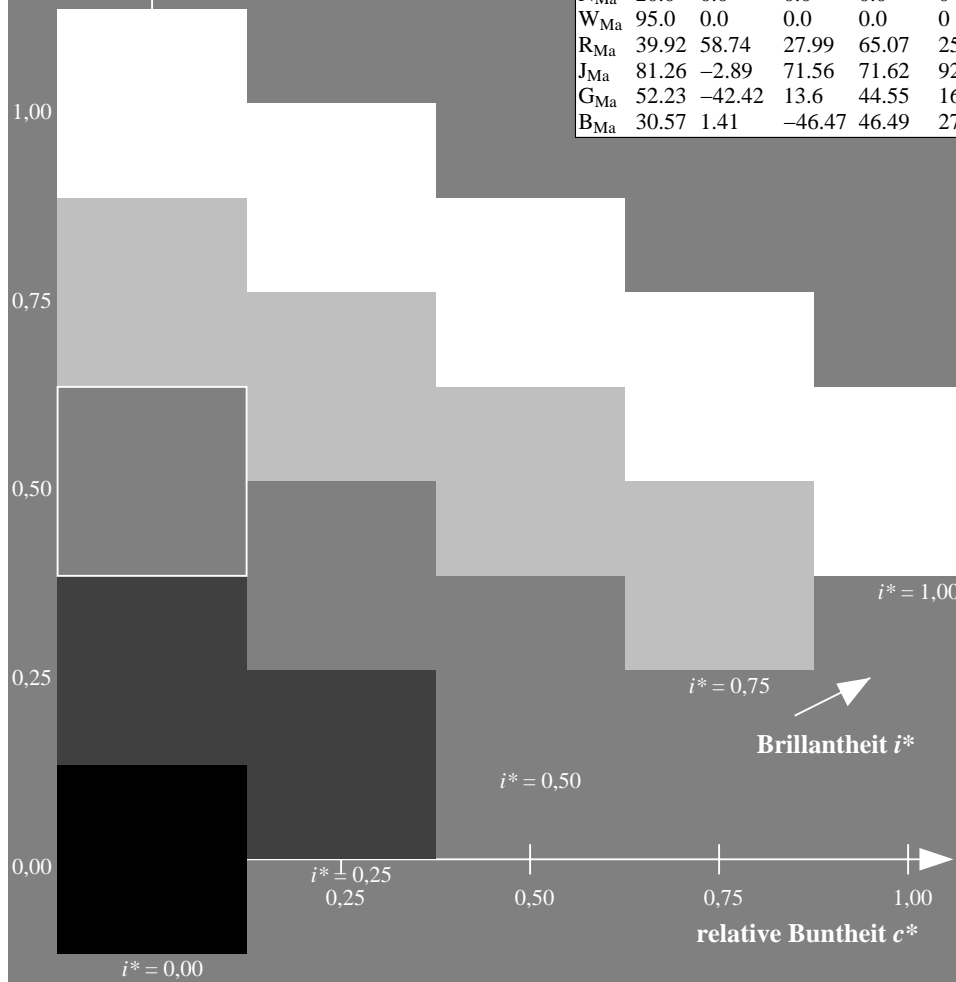
%Regularität

$g^*_{H,rel} = 72$

$g^*_{C,rel} = 57$

ORS20_95a; adaptierte CIELAB-Daten

u^*_e	$L^*=L^*_a$	a^*_a	b^*_a	$C^*_{ab,a}$	$h^*_{ab,a}$	u^*_d
r00j	48.83	63.91	30.45	70.79	25	m84o
r25j	55.53	50.37	45.65	67.97	42	o17y
r50j	64.76	33.86	56.12	65.55	59	o42y
r75j	74.12	17.13	66.74	68.9	76	o67y
j00g	85.5	-3.22	79.65	79.72	92	o92y
j25g	79.45	-24.05	66.85	71.04	110	y20l
j50g	69.75	-38.03	49.98	62.8	127	y46l
j75g	61.38	-50.1	35.41	61.35	145	y72l
g00b	52.6	-62.77	20.12	65.92	162	y99l
g25b	55.39	-47.66	-8.06	48.34	190	l36c
g50b	57.43	-36.92	-27.8	46.22	217	l72c
g75b	55.19	-21.2	-44.17	48.99	244	c11v
b00r	41.84	1.31	-43.28	43.3	272	c56v
b25r	29.72	24.12	-41.48	47.98	300	v04m
b50r	38.41	44.74	-27.3	52.41	329	v55m
b75r	49.41	70.07	-3.62	70.16	357	m11o



Ein und Ausgabe: Farbmetrisches Drucker-Reflektiv-System ORS20_95a für relativen CIELAB-Buntton $h^* = lab^*h^* = h_{ab}/360 = 0.603$

Daten für jede Farbe:

lab^*ch^* und lab^*icu^*

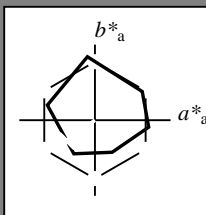
Bunttontexte:

$u^*_e = g50b$ $u^*_d = l72c$

Kontrastreduzierungsfaktor:

$c_R = 0.96$

Dreiecks-Helligkeit i^*



ORS20_95a; adaptierte CIELAB-Daten						
u^*_e	$L^*=L^*_a$	a^*_a	b^*_a	$C^*_{ab,a}$	$h^*_{ab,a}$	
O _{Ma}	48.71	62.56	37.91	73.15	31	
Y _{Ma}	89.25	-9.92	83.91	84.49	97	
L _{Ma}	52.5	-62.91	19.95	66.0	162	
C _{Ma}	59.15	-27.87	-44.43	52.45	238	
V _{Ma}	29.13	22.73	-42.44	48.14	298	
M _{Ma}	49.51	71.08	-9.19	71.67	353	
N _{Ma}	20.0	0.0	0.0	0.0	0	
W _{Ma}	95.0	0.0	0.0	0.0	0	
R _{Ma}	39.92	58.74	27.99	65.07	25	
J _{Ma}	81.26	-2.89	71.56	71.62	92	
G _{Ma}	52.23	-42.42	13.6	44.55	162	
B _{Ma}	30.57	1.41	-46.47	46.49	272	

Daten für Maximalfarbe (Ma):

$LAB^*LAB^*_{Ma}$: 57 -37 -28

$LAB^*LCH^*_{Ma}$: 57 46 216

$lab^*rgb^*_{Ma}$: 0.0 1.0 1.0

$lab^*olv^*_{Ma}$: 0.0 1.0 0.72

Dreiecks-Helligkeit i^*

%Umfang

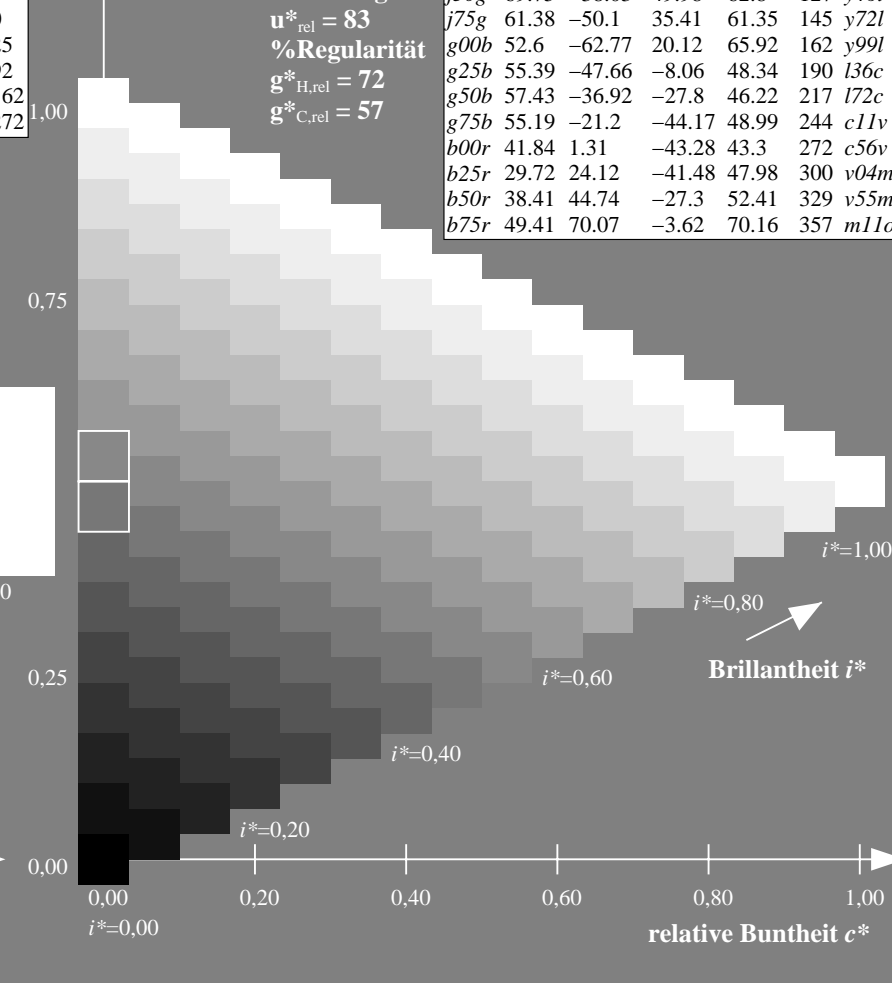
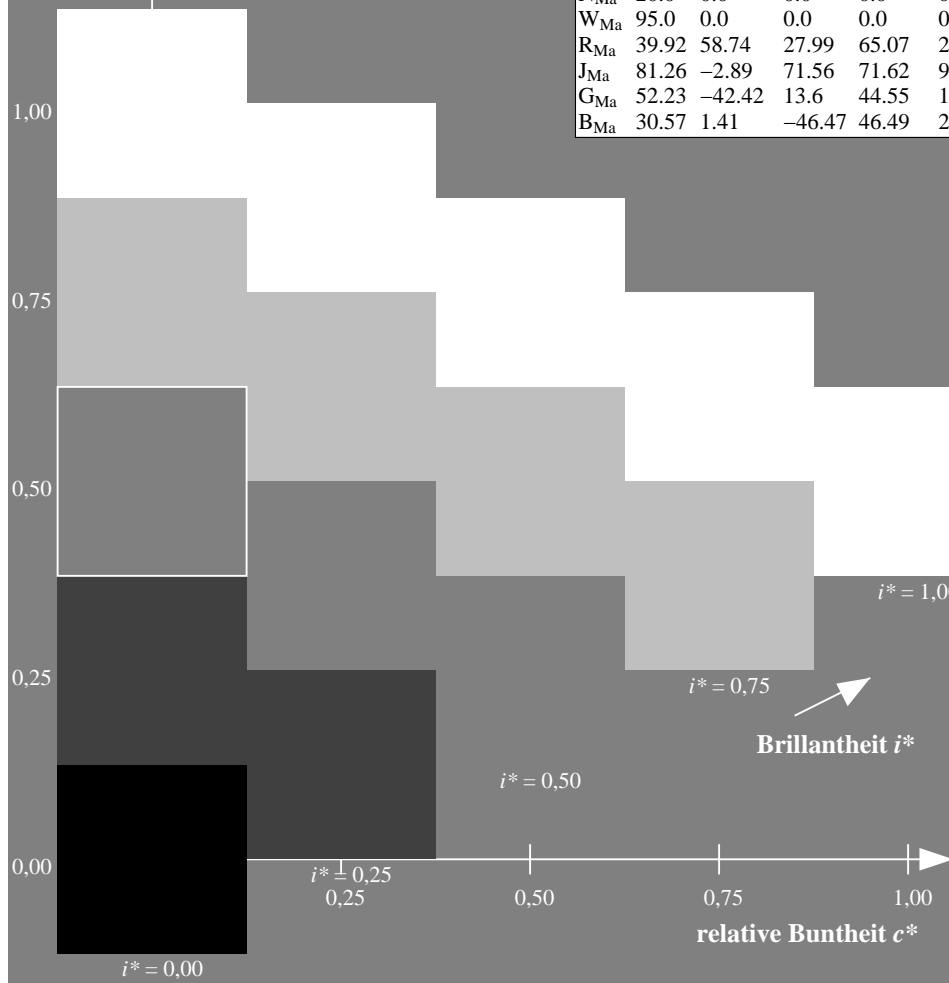
$u^*_{rel} = 83$

%Regularität

$g^*_{H,rel} = 72$

$g^*_{C,rel} = 57$

ORS20_95a; adaptierte CIELAB-Daten							
u^*_e	$L^*=L^*_a$	a^*_a	b^*_a	$C^*_{ab,a}$	$h^*_{ab,a}$	u^*_d	
r00j	48.83	63.91	30.45	70.79	25	m84o	
r25j	55.53	50.37	45.65	67.97	42	o17y	
r50j	64.76	33.86	56.12	65.55	59	o42y	
r75j	74.12	17.13	66.74	68.9	76	o67y	
j00g	85.5	-3.22	79.65	79.72	92	o92y	
j25g	79.45	-24.05	66.85	71.04	110	y20l	
j50g	69.75	-38.03	49.98	62.8	127	y46l	
j75g	61.38	-50.1	35.41	61.35	145	y72l	
g00b	52.6	-62.77	20.12	65.92	162	y99l	
g25b	55.39	-47.66	-8.06	48.34	190	l36c	
g50b	57.43	-36.92	-27.8	46.22	217	l72c	
g75b	55.19	-21.2	-44.17	48.99	244	c11v	
b00r	41.84	1.31	-43.28	43.3	272	c56v	
b25r	29.72	24.12	-41.48	47.98	300	v04m	
b50r	38.41	44.74	-27.3	52.41	329	v55m	
b75r	49.41	70.07	-3.62	70.16	357	m11o	



Ein und Ausgabe: Farbmetrisches Drucker-Reflektiv-System ORS20_95a für relativen CIELAB-Buntton $h^* = lab^*h^* = h_{ab}/360 = 0.679$

Daten für jede Farbe:

lab^*tch^* und lab^*icu^*

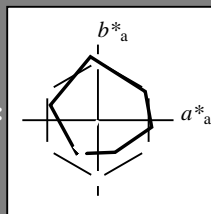
Bunttontexte:

$u^*_e = g75b$ $u^*_d = c11v$

Kontrastreduzierungsfaktor:

$c_R = 0.96$

Dreiecks-Helligkeit i^*



ORS20_95a; adaptierte CIELAB-Daten						
u^*_e	$L^*=L^*_a$	a^*_a	b^*_a	$C^*_{ab,a}$	$h^*_{ab,a}$	
O _{Ma}	48.71	62.56	37.91	73.15	31	
Y _{Ma}	89.25	-9.92	83.91	84.49	97	
L _{Ma}	52.5	-62.91	19.95	66.0	162	
C _{Ma}	59.15	-27.87	-44.43	52.45	238	
V _{Ma}	29.13	22.73	-42.44	48.14	298	
M _{Ma}	49.51	71.08	-9.19	71.67	353	
N _{Ma}	20.0	0.0	0.0	0.0	0	
W _{Ma}	95.0	0.0	0.0	0.0	0	
R _{Ma}	39.92	58.74	27.99	65.07	25	
J _{Ma}	81.26	-2.89	71.56	71.62	92	
G _{Ma}	52.23	-42.42	13.6	44.55	162	
B _{Ma}	30.57	1.41	-46.47	46.49	272	

Daten für Maximalfarbe (Ma):

$LAB^*LAB^*_{Ma}$: 55 -21 -44

$LAB^*LCH^*_{Ma}$: 55 49 244

$lab^*rgb^*_{Ma}$: 0.0 0.5 1.0

$lab^*olv^*_{Ma}$: 0.0 0.89 1.0

Dreiecks-Helligkeit i^*

%Umfang

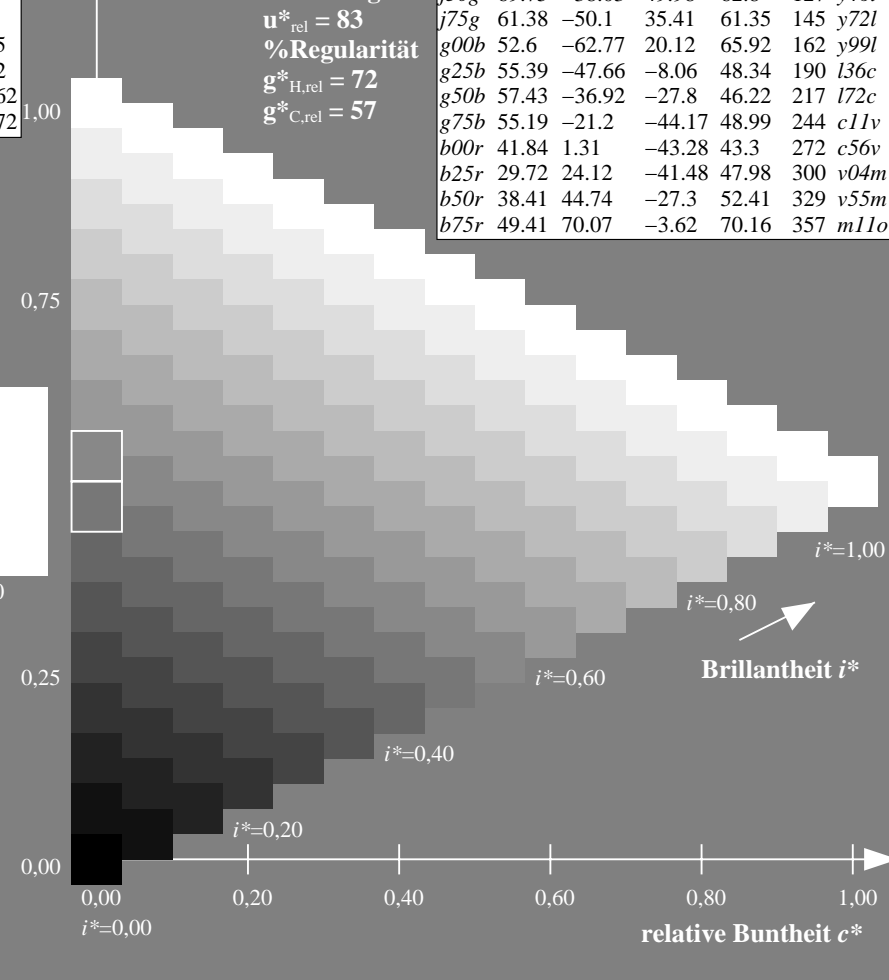
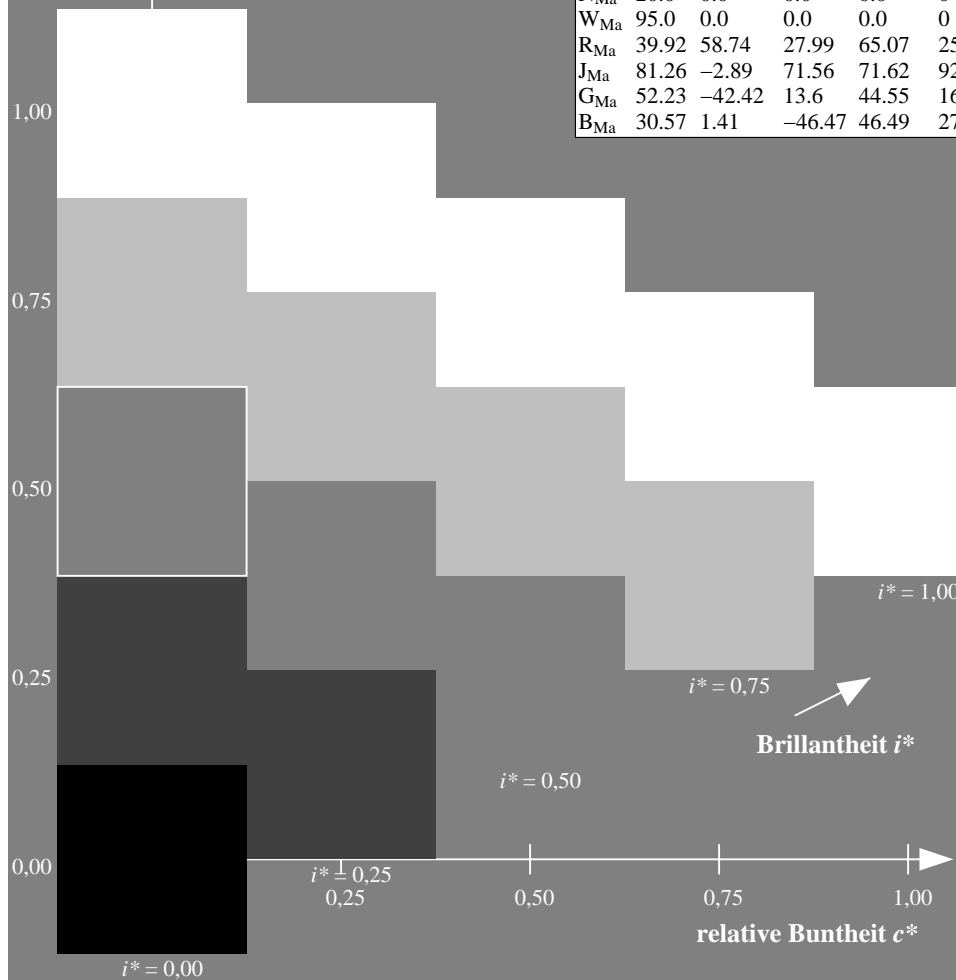
$u^*_{rel} = 83$

%Regularität

$g^*_{H,rel} = 72$

$g^*_{C,rel} = 57$

ORS20_95a; adaptierte CIELAB-Daten						
u^*_e	$L^*=L^*_a$	a^*_a	b^*_a	$C^*_{ab,a}$	$h^*_{ab,a}$	u^*_d
r00j	48.83	63.91	30.45	70.79	25	m84o
r25j	55.53	50.37	45.65	67.97	42	o17y
r50j	64.76	33.86	56.12	65.55	59	o42y
r75j	74.12	17.13	66.74	68.9	76	o67y
j00g	85.5	-3.22	79.65	79.72	92	o92y
j25g	79.45	-24.05	66.85	71.04	110	y20l
j50g	69.75	-38.03	49.98	62.8	127	y46l
j75g	61.38	-50.1	35.41	61.35	145	y72l
g00b	52.6	-62.77	20.12	65.92	162	y99l
g25b	55.39	-47.66	-8.06	48.34	190	l36c
g50b	57.43	-36.92	-27.8	46.22	217	l72c
g75b	55.19	-21.2	-44.17	48.99	244	c11v
b00r	41.84	1.31	-43.28	43.3	272	c56v
b25r	29.72	24.12	-41.48	47.98	300	v04m
b50r	38.41	44.74	-27.3	52.41	329	v55m
b75r	49.41	70.07	-3.62	70.16	357	m11o



Ein und Ausgabe: Farbmetrisches Drucker-Reflektiv-System ORS20_95a für relativen CIELAB-Buntton $h^* = lab^*h^* = h_{ab}/360 = 0.755$

Daten für jede Farbe:

lab^*ch^* und lab^*icu^*

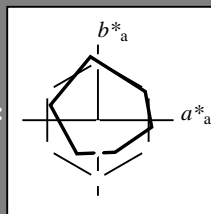
Bunttontexte:

$u^*_e = b00r$ $u^*_d = c56v$

Kontrastreduzierungsfaktor:

$c_R = 0.96$

Dreiecks-Helligkeit i^*



ORS20_95a; adaptierte CIELAB-Daten

u^*_e	$L^*=L^*_a$	a^*_a	b^*_a	$C^*_{ab,a}$	$h^*_{ab,a}$
O _{Ma}	48.71	62.56	37.91	73.15	31
Y _{Ma}	89.25	-9.92	83.91	84.49	97
L _{Ma}	52.5	-62.91	19.95	66.0	162
C _{Ma}	59.15	-27.87	-44.43	52.45	238
V _{Ma}	29.13	22.73	-42.44	48.14	298
M _{Ma}	49.51	71.08	-9.19	71.67	353
N _{Ma}	20.0	0.0	0.0	0.0	0
W _{Ma}	95.0	0.0	0.0	0.0	0
R _{Ma}	39.92	58.74	27.99	65.07	25
J _{Ma}	81.26	-2.89	71.56	71.62	92
G _{Ma}	52.23	-42.42	13.6	44.55	162
B _{Ma}	30.57	1.41	-46.47	46.49	272

Daten für Maximalfarbe (Ma):

$LAB^*LAB^*_{Ma}$: 42 1 -43

$LAB^*LCH^*_{Ma}$: 42 43 271

$lab^*rgb^*_{Ma}$: 0.0 0.0 1.0

$lab^*olv^*_{Ma}$: 0.0 0.44 1.0

Dreiecks-Helligkeit i^*

%Umfang

$u^*_{rel} = 83$

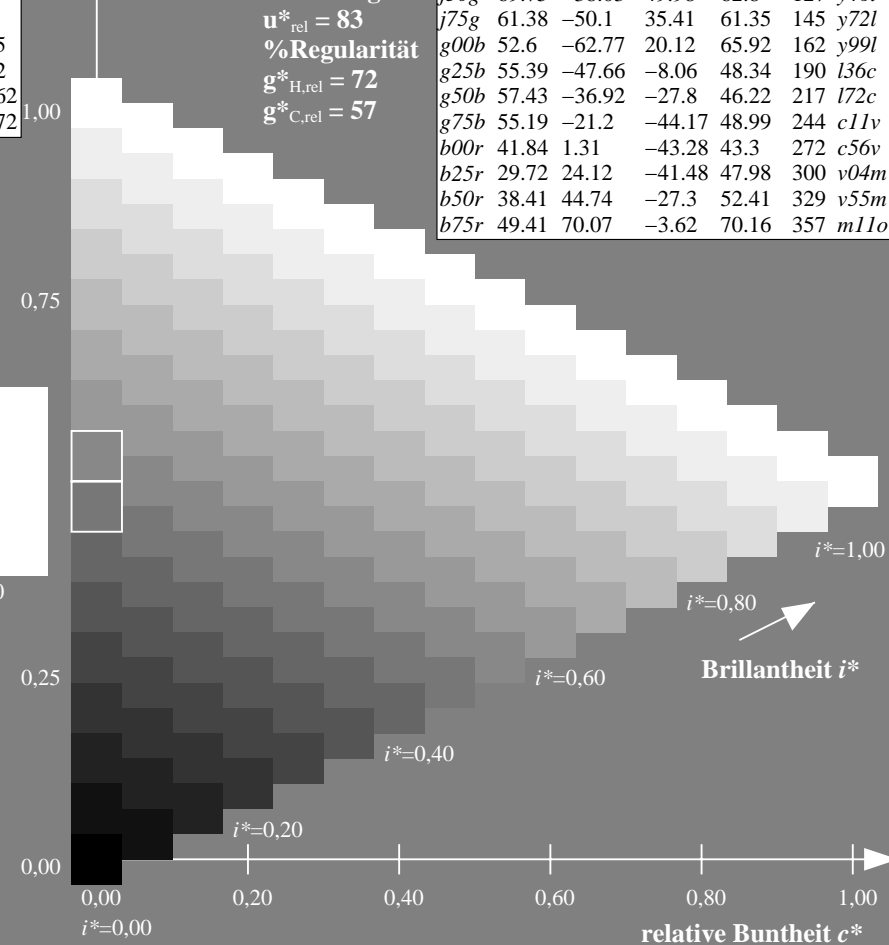
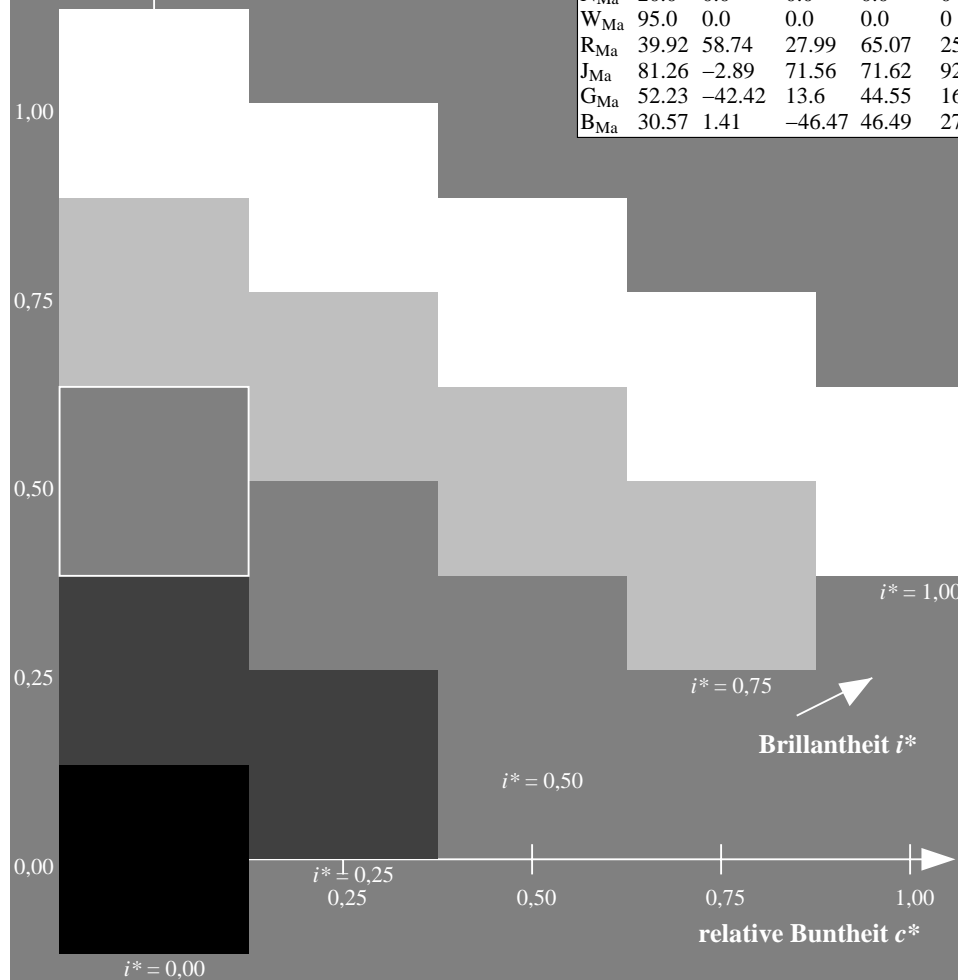
%Regularität

$g^*_{H,rel} = 72$

$g^*_{C,rel} = 57$

ORS20_95a; adaptierte CIELAB-Daten

u^*_e	$L^*=L^*_a$	a^*_a	b^*_a	$C^*_{ab,a}$	$h^*_{ab,a}$	u^*_d
r00j	48.83	63.91	30.45	70.79	25	m84o
r25j	55.53	50.37	45.65	67.97	42	o17y
r50j	64.76	33.86	56.12	65.55	59	o42y
r75j	74.12	17.13	66.74	68.9	76	o67y
j00g	85.5	-3.22	79.65	79.72	92	o92y
j25g	79.45	-24.05	66.85	71.04	110	y20l
j50g	69.75	-38.03	49.98	62.8	127	y46l
j75g	61.38	-50.1	35.41	61.35	145	y72l
g00b	52.6	-62.77	20.12	65.92	162	y99l
g25b	55.39	-47.66	-8.06	48.34	190	l36c
g50b	57.43	-36.92	-27.8	46.22	217	l72c
g75b	55.19	-21.2	-44.17	48.99	244	c11v
b00r	41.84	1.31	-43.28	43.3	272	c56v
b25r	29.72	24.12	-41.48	47.98	300	v04m
b50r	38.41	44.74	-27.3	52.41	329	v55m
b75r	49.41	70.07	-3.62	70.16	357	m11o



Ein und Ausgabe: Farbmetrisches Drucker-Reflektiv-System ORS20_95a für relativen CIELAB-Buntton $h^* = lab^*h^* = h_{ab}/360 = 0.834$

Daten für jede Farbe:

lab^*tch^* und lab^*icu^*

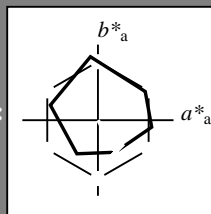
Bunttontexte:

$u^*_e = b25r$ $u^*_d = v04m$

Kontrastreduzierungsfaktor:

$c_R = 0.96$

Dreiecks-Helligkeit i^*



ORS20_95a; adaptierte CIELAB-Daten						
u^*_e	$L^*=L^*_a$	a^*_a	b^*_a	$C^*_{ab,a}$	$h^*_{ab,a}$	
O _{Ma}	48.71	62.56	37.91	73.15	31	
Y _{Ma}	89.25	-9.92	83.91	84.49	97	
L _{Ma}	52.5	-62.91	19.95	66.0	162	
C _{Ma}	59.15	-27.87	-44.43	52.45	238	
V _{Ma}	29.13	22.73	-42.44	48.14	298	
M _{Ma}	49.51	71.08	-9.19	71.67	353	
N _{Ma}	20.0	0.0	0.0	0.0	0	
W _{Ma}	95.0	0.0	0.0	0.0	0	
R _{Ma}	39.92	58.74	27.99	65.07	25	
J _{Ma}	81.26	-2.89	71.56	71.62	92	
G _{Ma}	52.23	-42.42	13.6	44.55	162	
B _{Ma}	30.57	1.41	-46.47	46.49	272	

Daten für Maximalfarbe (Ma):

$LAB^*LAB^*_{Ma}$: 30 24 -41

$LAB^*LCH^*_{Ma}$: 30 48 300

$lab^*rgb^*_{Ma}$: 0.5 0.0 1.0

$lab^*olv^*_{Ma}$: 0.04 0.0 1.0

Dreiecks-Helligkeit i^*

%Umfang

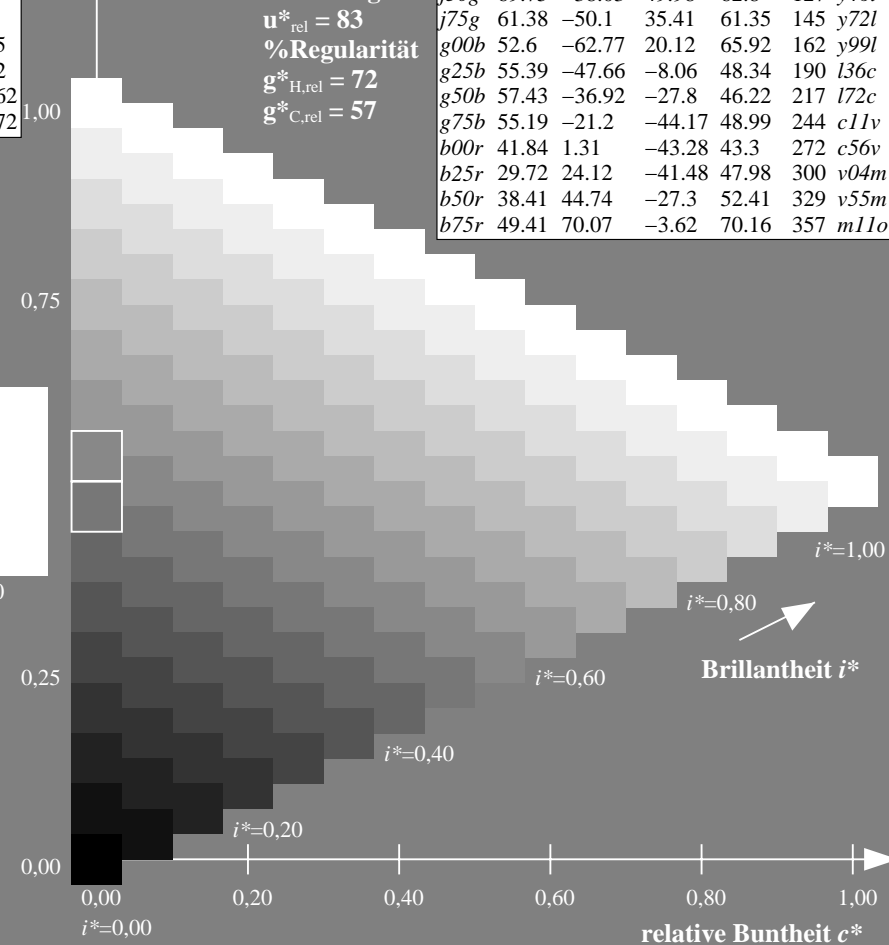
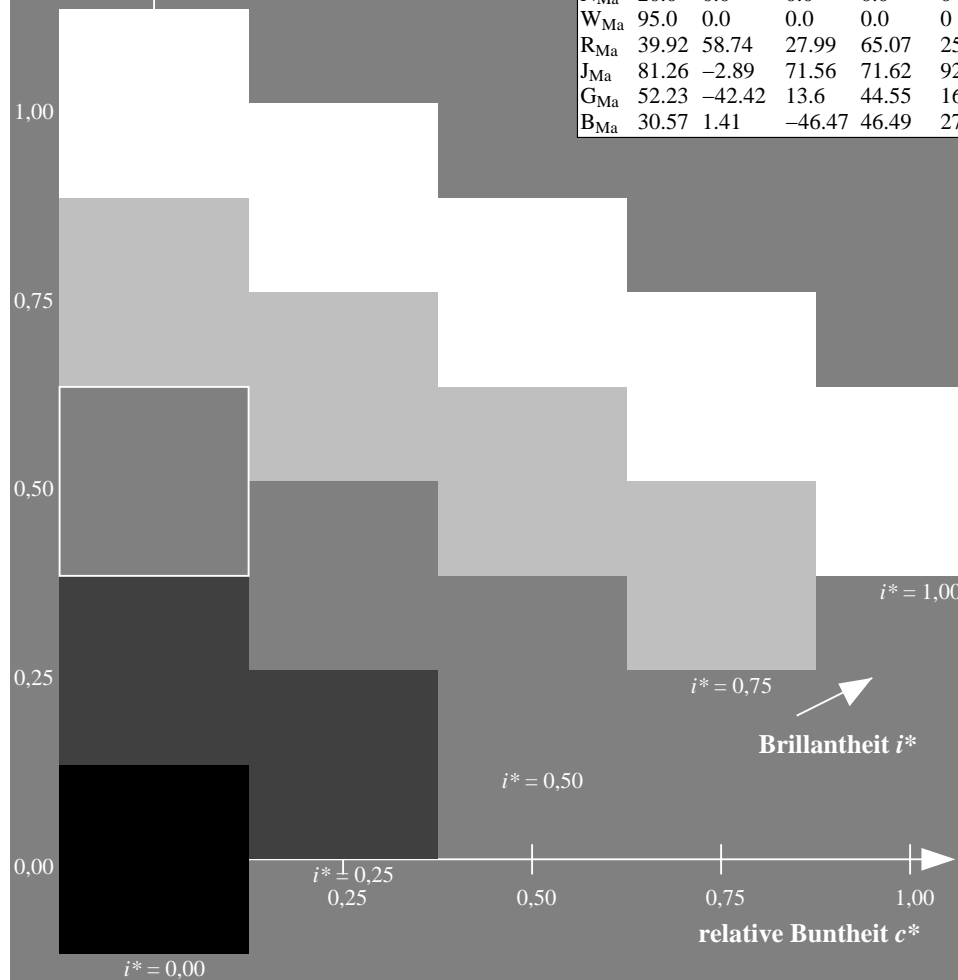
$u^*_{rel} = 83$

%Regularität

$g^*_{H,rel} = 72$

$g^*_{C,rel} = 57$

ORS20_95a; adaptierte CIELAB-Daten						
u^*_e	$L^*=L^*_a$	a^*_a	b^*_a	$C^*_{ab,a}$	$h^*_{ab,a}$	u^*_d
r00j	48.83	63.91	30.45	70.79	25	m84o
r25j	55.53	50.37	45.65	67.97	42	o17y
r50j	64.76	33.86	56.12	65.55	59	o42y
r75j	74.12	17.13	66.74	68.9	76	o67y
j00g	85.5	-3.22	79.65	79.72	92	o92y
j25g	79.45	-24.05	66.85	71.04	110	y20l
j50g	69.75	-38.03	49.98	62.8	127	y46l
j75g	61.38	-50.1	35.41	61.35	145	y72l
g00b	52.6	-62.77	20.12	65.92	162	y99l
g25b	55.39	-47.66	-8.06	48.34	190	l36c
g50b	57.43	-36.92	-27.8	46.22	217	l72c
g75b	55.19	-21.2	-44.17	48.99	244	c11v
b00r	41.84	1.31	-43.28	43.3	272	c56v
b25r	29.72	24.12	-41.48	47.98	300	v04m
b50r	38.41	44.74	-27.3	52.41	329	v55m
b75r	49.41	70.07	-3.62	70.16	357	m11o



Ein und Ausgabe: Farbmetrisches Drucker-Reflektiv-System ORS20_95a für relativen CIELAB-Buntton $h^* = lab^*h^* = h_{ab}/360 = 0.913$

Daten für jede Farbe:

lab^*tch^* und lab^*icu^*

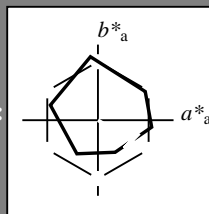
Bunttontexte:

$u^*_e = b50r$ $u^*_d = v55m$

Kontrastreduzierungsfaktor:

$c_R = 0.96$

Dreiecks-Helligkeit i^*



ORS20_95a; adaptierte CIELAB-Daten

u^*_e	$L^*=L^*_a$	a^*_a	b^*_a	$C^*_{ab,a}$	$h^*_{ab,a}$
O _{Ma}	48.71	62.56	37.91	73.15	31
Y _{Ma}	89.25	-9.92	83.91	84.49	97
L _{Ma}	52.5	-62.91	19.95	66.0	162
C _{Ma}	59.15	-27.87	-44.43	52.45	238
V _{Ma}	29.13	22.73	-42.44	48.14	298
M _{Ma}	49.51	71.08	-9.19	71.67	353
N _{Ma}	20.0	0.0	0.0	0.0	0
W _{Ma}	95.0	0.0	0.0	0.0	0
R _{Ma}	39.92	58.74	27.99	65.07	25
J _{Ma}	81.26	-2.89	71.56	71.62	92
G _{Ma}	52.23	-42.42	13.6	44.55	162
B _{Ma}	30.57	1.41	-46.47	46.49	272

Daten für Maximalfarbe (Ma):

$LAB^*LAB^*_{Ma}$: 38 45 -27

$LAB^*LCH^*_{Ma}$: 38 52 328

$lab^*rgb^*_{Ma}$: 1.0 0.0 1.0

$lab^*olv^*_{Ma}$: 0.56 0.0 1.0

Dreiecks-Helligkeit i^*

%Umfang

$u^*_{rel} = 83$

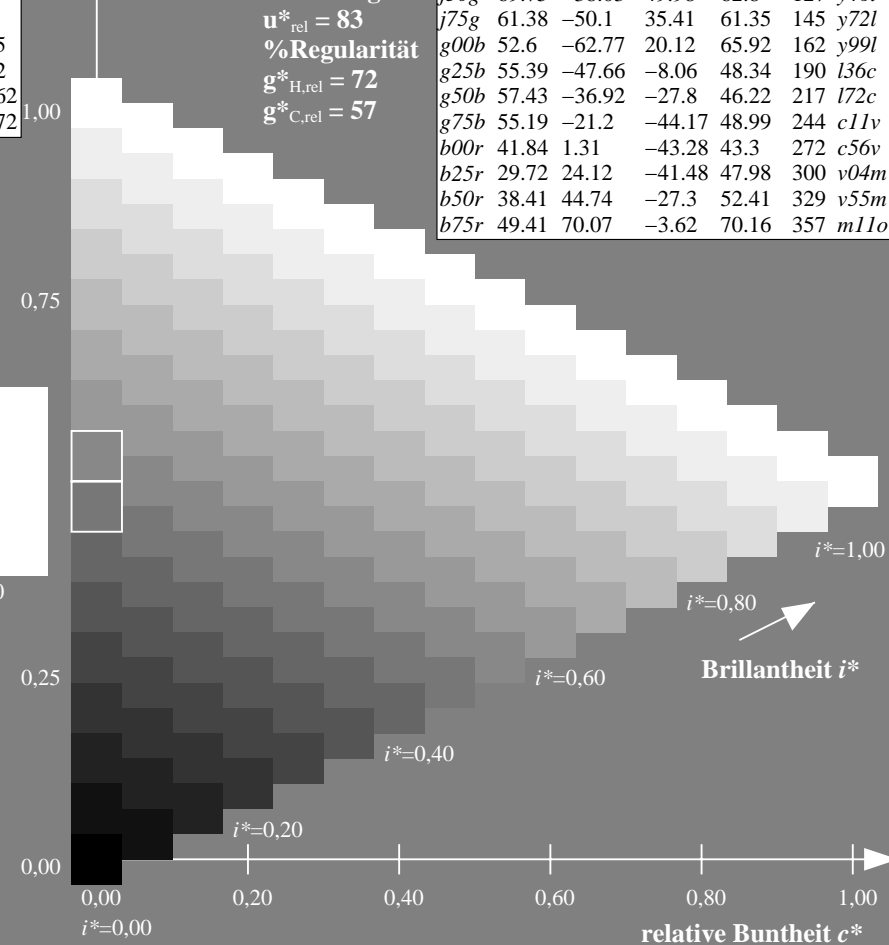
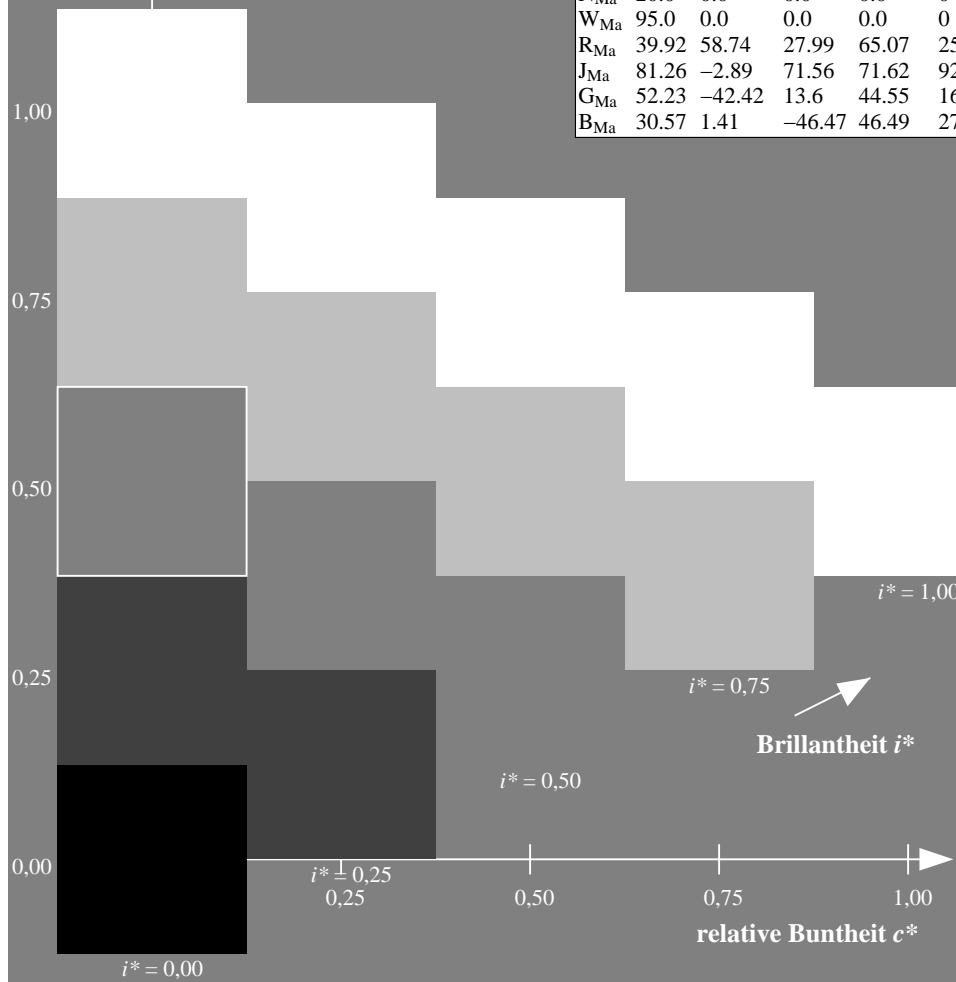
%Regularität

$g^*_{H,rel} = 72$

$g^*_{C,rel} = 57$

ORS20_95a; adaptierte CIELAB-Daten

u^*_e	$L^*=L^*_a$	a^*_a	b^*_a	$C^*_{ab,a}$	$h^*_{ab,a}$	u^*_d
r00j	48.83	63.91	30.45	70.79	25	m84o
r25j	55.53	50.37	45.65	67.97	42	o17y
r50j	64.76	33.86	56.12	65.55	59	o42y
r75j	74.12	17.13	66.74	68.9	76	o67y
j00g	85.5	-3.22	79.65	79.72	92	o92y
j25g	79.45	-24.05	66.85	71.04	110	y20l
j50g	69.75	-38.03	49.98	62.8	127	y46l
j75g	61.38	-50.1	35.41	61.35	145	y72l
g00b	52.6	-62.77	20.12	65.92	162	y99l
g25b	55.39	-47.66	-8.06	48.34	190	l36c
g50b	57.43	-36.92	-27.8	46.22	217	l72c
g75b	55.19	-21.2	-44.17	48.99	244	c11v
b00r	41.84	1.31	-43.28	43.3	272	c56v
b25r	29.72	24.12	-41.48	47.98	300	v04m
b50r	38.41	44.74	-27.3	52.41	329	v55m
b75r	49.41	70.07	-3.62	70.16	357	m11o



Ein und Ausgabe: Farbmetrisches Drucker-Reflektiv-System ORS20_95a für relativen CIELAB-Buntton $h^* = lab^*h^* = h_{ab}/360 = 0.992$

Daten für jede Farbe:

lab^*tch^* und lab^*icu^*

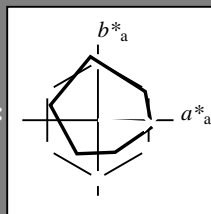
Bunttontexte:

$u^*_e = b75r$ $u^*_d = m11o$

Kontrastreduzierungsfaktor:

$c_R = 0.96$

Dreiecks-Helligkeit i^*



ORS20_95a; adaptierte CIELAB-Daten						
u^*_e	$L^*=L^*_a$	a^*_a	b^*_a	$C^*_{ab,a}$	$h^*_{ab,a}$	
O _{Ma}	48.71	62.56	37.91	73.15	31	
Y _{Ma}	89.25	-9.92	83.91	84.49	97	
L _{Ma}	52.5	-62.91	19.95	66.0	162	
C _{Ma}	59.15	-27.87	-44.43	52.45	238	
V _{Ma}	29.13	22.73	-42.44	48.14	298	
M _{Ma}	49.51	71.08	-9.19	71.67	353	
N _{Ma}	20.0	0.0	0.0	0.0	0	
W _{Ma}	95.0	0.0	0.0	0.0	0	
R _{Ma}	39.92	58.74	27.99	65.07	25	
J _{Ma}	81.26	-2.89	71.56	71.62	92	
G _{Ma}	52.23	-42.42	13.6	44.55	162	
B _{Ma}	30.57	1.41	-46.47	46.49	272	

Daten für Maximalfarbe (Ma):

$LAB^*LAB^*_{Ma}$: 49 70 -4

$LAB^*LCH^*_{Ma}$: 49 70 357

$lab^*rgb^*_{Ma}$: 1.0 0.0 0.5

$lab^*olv^*_{Ma}$: 1.0 0.0 0.89

Dreiecks-Helligkeit i^*

%Umfang

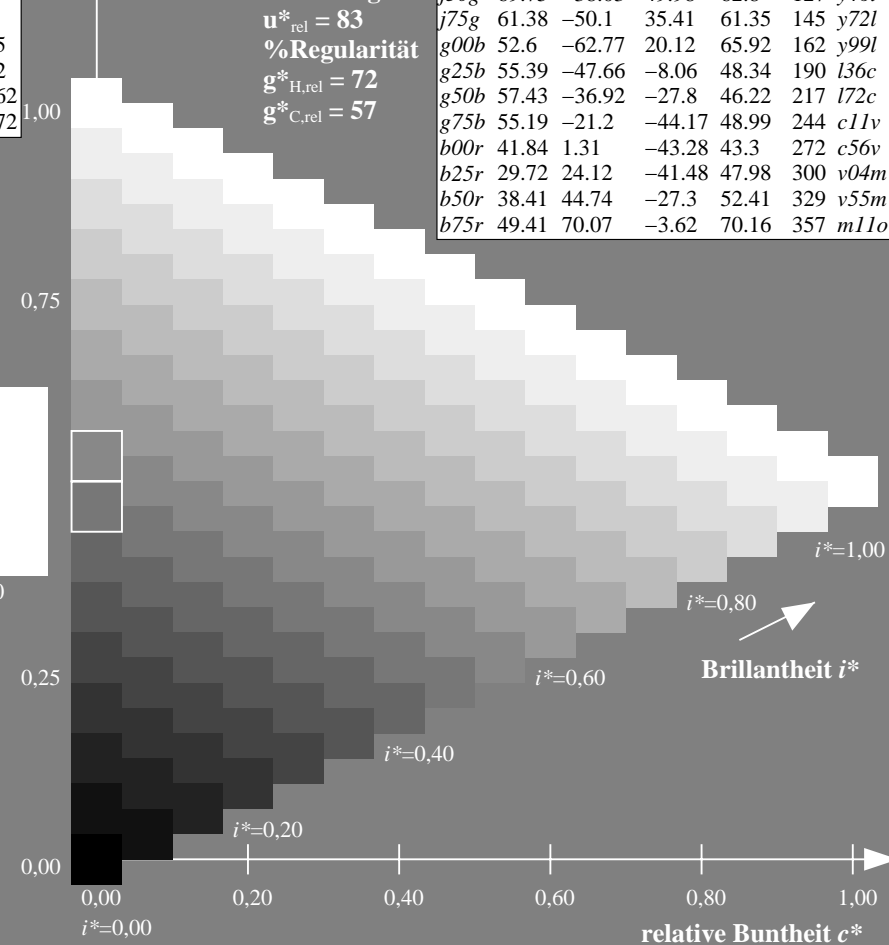
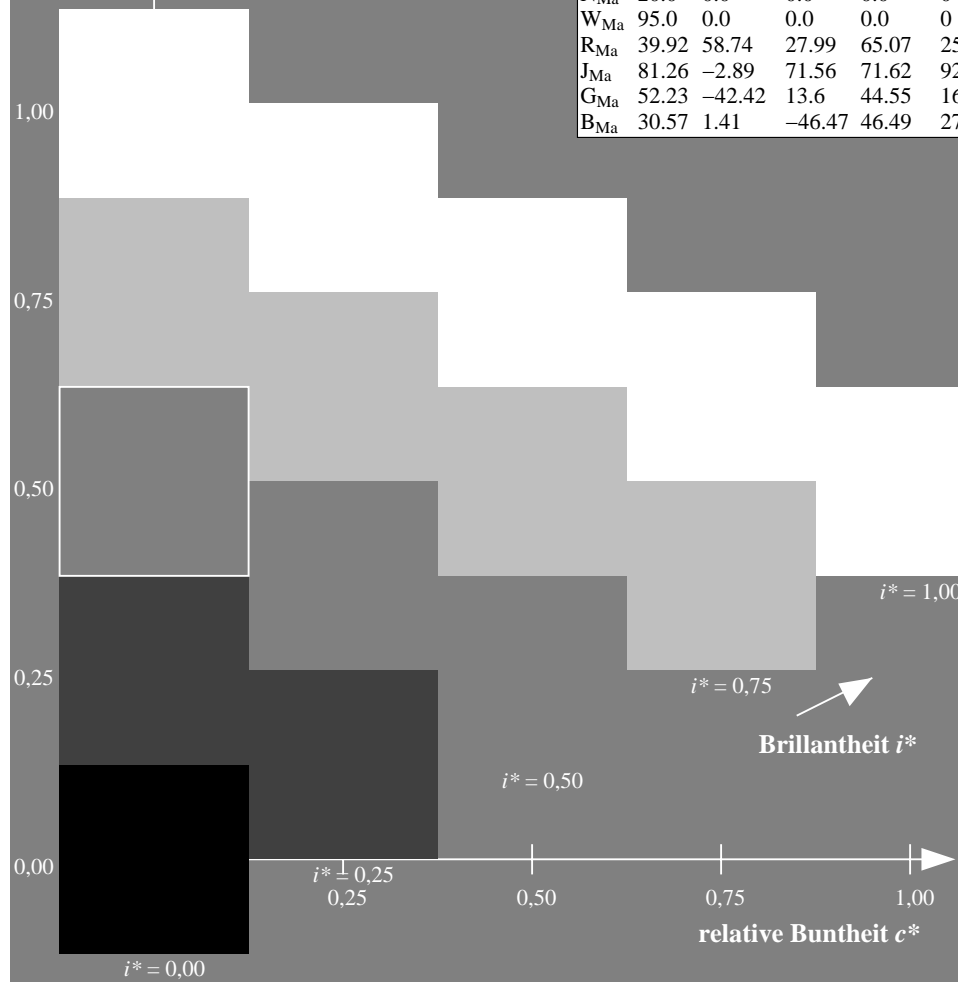
$u^*_{rel} = 83$

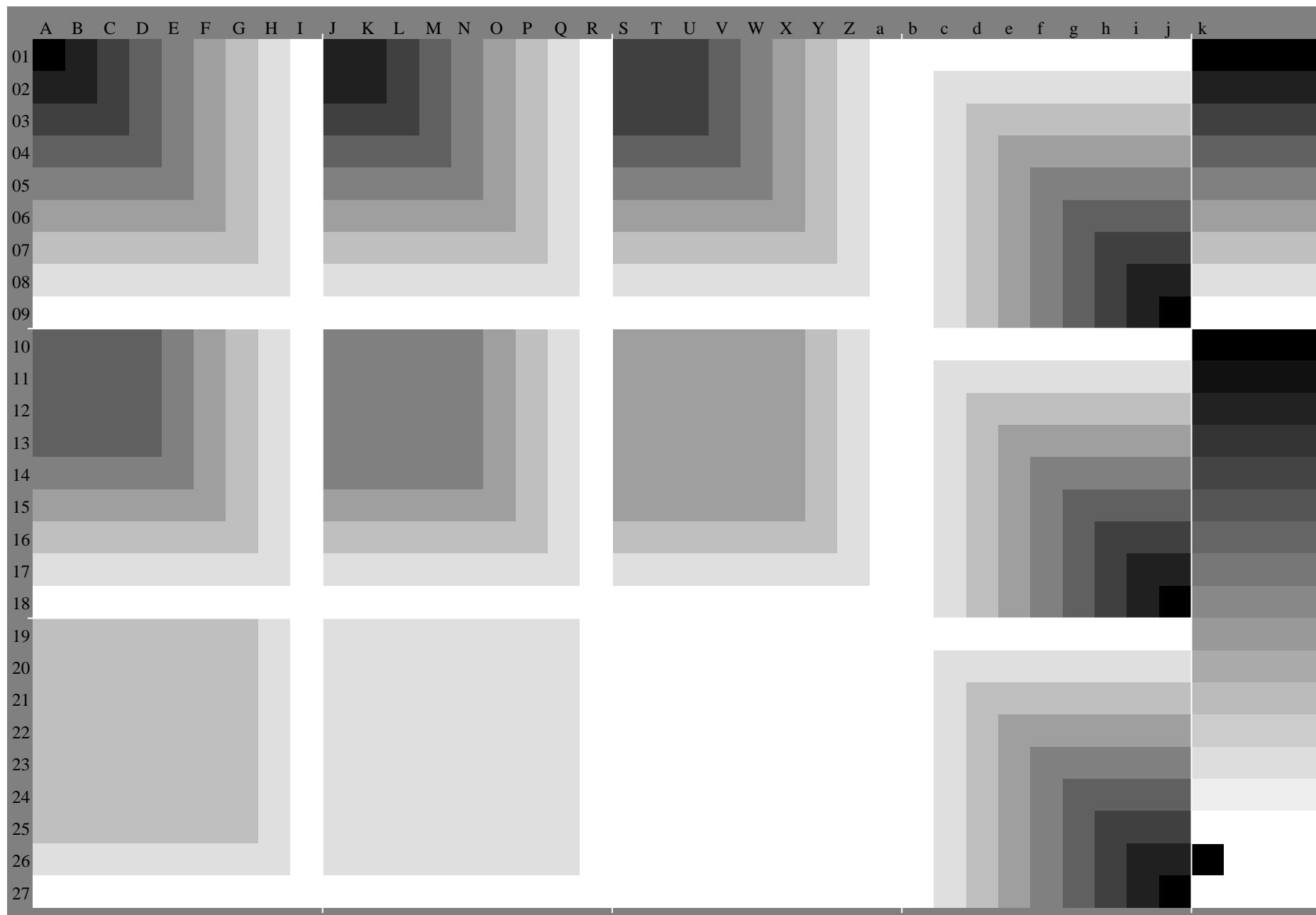
%Regularität

$g^*_{H,rel} = 72$

$g^*_{C,rel} = 57$

ORS20_95a; adaptierte CIELAB-Daten							
u^*_e	$L^*=L^*_a$	a^*_a	b^*_a	$C^*_{ab,a}$	$h^*_{ab,a}$	u^*_d	
r00j	48.83	63.91	30.45	70.79	25	m84o	
r25j	55.53	50.37	45.65	67.97	42	o17y	
r50j	64.76	33.86	56.12	65.55	59	o42y	
r75j	74.12	17.13	66.74	68.9	76	o67y	
j00g	85.5	-3.22	79.65	79.72	92	o92y	
j25g	79.45	-24.05	66.85	71.04	110	y20l	
j50g	69.75	-38.03	49.98	62.8	127	y46l	
j75g	61.38	-50.1	35.41	61.35	145	y72l	
g00b	52.6	-62.77	20.12	65.92	162	y99l	
g25b	55.39	-47.66	-8.06	48.34	190	l36c	
g50b	57.43	-36.92	-27.8	46.22	217	l72c	
g75b	55.19	-21.2	-44.17	48.99	244	c11v	
b00r	41.84	1.31	-43.28	43.3	272	c56v	
b25r	29.72	24.12	-41.48	47.98	300	v04m	
b50r	38.41	44.74	-27.3	52.41	329	v55m	
b75r	49.41	70.07	-3.62	70.16	357	m11o	



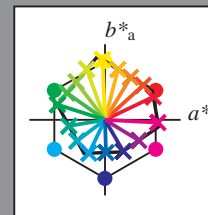


Ein und Ausgabe:
Farbmetrisches Drucker-Reflektiv-System ORS20_95a
Daten für jede Farbe:

u_e^* und Nummer $Nr.$ = 00 .. 15
Elementar-Bunttontext:
 $u_e^* = 16$ Bunttoene $r00j, r25j, \dots, b75r$
Kontrastreduzierungsfaktor:
 $c_R = 0.96$

ORS20_95a; adaptierte CIELAB-Daten

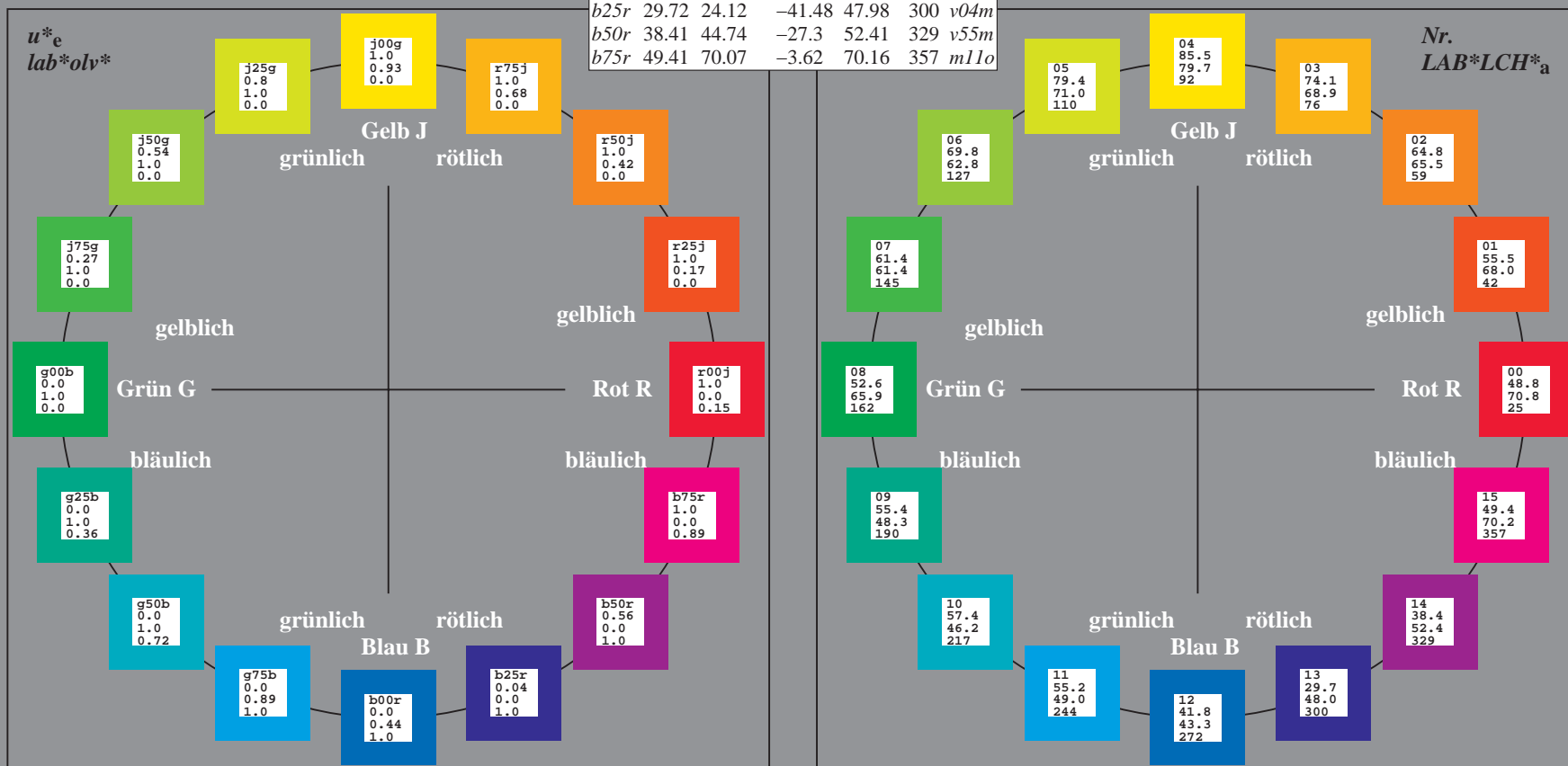
u_e^*	$L^*=L_a^*$	a^*_a	b^*_a	$C^*_{ab,a}$	$h^*_{ab,a}$	u_d^*
$r00j$	48.83	63.91	30.45	70.79	25	$m84o$
$r25j$	55.53	50.37	45.65	67.97	42	$o17y$
$r50j$	64.76	33.86	56.12	65.55	59	$o42y$
$r75j$	74.12	17.13	66.74	68.9	76	$o67y$
$j00g$	85.5	-3.22	79.65	79.72	92	$o92y$
$j25g$	79.45	-24.05	66.85	71.04	110	$y20l$
$j50g$	69.75	-38.03	49.98	62.8	127	$y46l$
$j75g$	61.38	-50.1	35.41	61.35	145	$y72l$
$g00b$	52.6	-62.77	20.12	65.92	162	$y99l$
$g25b$	55.39	-47.66	-8.06	48.34	190	$l36c$
$g50b$	57.43	-36.92	-27.8	46.22	217	$l72c$
$g75b$	55.19	-21.2	-44.17	48.99	244	$c11v$
$b00r$	41.84	1.31	-43.28	43.3	272	$c56v$
$b25r$	29.72	24.12	-41.48	47.98	300	$v04m$
$b50r$	38.41	44.74	-27.3	52.41	329	$v55m$
$b75r$	49.41	70.07	-3.62	70.16	357	$m11o$



%Umfang
 $u_{rel}^* = 83$
%Regularität
 $g_{H,rel}^* = 72$
 $g_{C,rel}^* = 57$

ORS20_95a; adaptierte CIELAB-Daten

Name	$L^*=L_a^*$	a^*_a	b^*_a	$C^*_{ab,a}$	$h^*_{ab,a}$
O_{Ma}	48.71	62.56	37.91	73.15	31
Y_{Ma}	89.25	-9.92	83.91	84.49	97
L_{Ma}	52.5	-62.91	19.95	66.0	162
C_{Ma}	59.15	-27.87	-44.43	52.45	238
V_{Ma}	29.13	22.73	-42.44	48.14	298
M_{Ma}	49.51	71.08	-9.19	71.67	353
N_{Ma}	20.0	0.0	0.0	0.0	0
W_{Ma}	95.0	0.0	0.0	0.0	0
R_{CIE}	39.92	58.74	27.99	65.07	25
J_{CIE}	81.26	-2.89	71.56	71.62	92
G_{CIE}	52.23	-42.42	13.6	44.55	162
B_{CIE}	30.57	1.41	-46.47	46.49	272



Ein und Ausgabe: Farbmetrisches Drucker-Reflektiv-System ORS20_95a für relativen CIELAB-Buntton $h^* = lab^*h^* = h_{ab}/360 = 0.071$

Daten für jede Farbe:

lab^*tch^* und lab^*icu^*

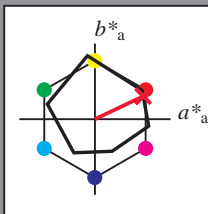
Bunttontexte:

$u^*_e = r00j$ $u^*_d = m84o$

Kontrastreduzierungsfaktor:

$c_R = 0.96$

Dreiecks-Helligkeit i^*



ORS20_95a; adaptierte CIELAB-Daten

u^*_e	$L^*=L^*_a$	a^*_a	b^*_a	$C^*_{ab,a}$	$h^*_{ab,a}$
O _{Ma}	48.71	62.56	37.91	73.15	31
Y _{Ma}	89.25	-9.92	83.91	84.49	97
L _{Ma}	52.5	-62.91	19.95	66.0	162
C _{Ma}	59.15	-27.87	-44.43	52.45	238
V _{Ma}	29.13	22.73	-42.44	48.14	298
M _{Ma}	49.51	71.08	-9.19	71.67	353
N _{Ma}	20.0	0.0	0.0	0.0	0
W _{Ma}	95.0	0.0	0.0	0.0	0
R _{Ma}	39.92	58.74	27.99	65.07	25
J _{Ma}	81.26	-2.89	71.56	71.62	92
G _{Ma}	52.23	-42.42	13.6	44.55	162
B _{Ma}	30.57	1.41	-46.47	46.49	272

Daten für Maximalfarbe (Ma):

$LAB^*LAB^*_{Ma}$: 49 64 30

$LAB^*LCH^*_{Ma}$: 49 71 25

$lab^*rgb^*_{Ma}$: 1.0 0.0 0.0

$lab^*olv^*_{Ma}$: 1.0 0.0 0.15

Dreiecks-Helligkeit i^*

%Umfang

$u^*_{rel} = 83$

%Regularität

$g^*_{H,rel} = 72$

$g^*_{C,rel} = 57$

ORS20_95a; adaptierte CIELAB-Daten

u^*_e	$L^*=L^*_a$	a^*_a	b^*_a	$C^*_{ab,a}$	$h^*_{ab,a}$	u^*_d
r00j	48.83	63.91	30.45	70.79	25	m84o
r25j	55.53	50.37	45.65	67.97	42	o17y
r50j	64.76	33.86	56.12	65.55	59	o42y
r75j	74.12	17.13	66.74	68.9	76	o67y
j00g	85.5	-3.22	79.65	79.72	92	o92y
j25g	79.45	-24.05	66.85	71.04	110	y20l
j50g	69.75	-38.03	49.98	62.8	127	y46l
j75g	61.38	-50.1	35.41	61.35	145	y72l
g00b	52.6	-62.77	20.12	65.92	162	y99l
g25b	55.39	-47.66	-8.06	48.34	190	l36c
g50b	57.43	-36.92	-27.8	46.22	217	l72c
g75b	55.19	-21.2	-44.17	48.99	244	c11v
b00r	41.84	1.31	-43.28	43.3	272	c56v
b25r	29.72	24.12	-41.48	47.98	300	v04m
b50r	38.41	44.74	-27.3	52.41	329	v55m
b75r	49.41	70.07	-3.62	70.16	357	m11o

lab^*olv^*

$i^* = 1.00$

Brillantheit i^*

$i^* = 0.80$

$i^* = 0.60$

$i^* = 0.40$

$i^* = 0.20$

$i^* = 0.00$

Ein und Ausgabe: Farbmetrisches Drucker-Reflektiv-System ORS20_95a für relativen CIELAB-Buntton $h^* = lab^*h^* = h_{ab}/360 = 0.117$

Daten für jede Farbe:

lab^*tch^* und lab^*icu^*

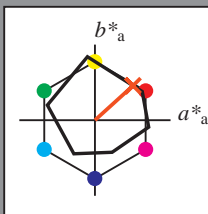
Bunttontexte:

$u^*_e = r25j$ $u^*_d = o17y$

Kontrastreduzierungsfaktor:

$c_R = 0.96$

Dreiecks-Helligkeit t^*



ORS20_95a; adaptierte CIELAB-Daten

u^*_e	$L^*=L^*_a$	a^*_a	b^*_a	$C^*_{ab,a}$	$h^*_{ab,a}$
O _{Ma}	48.71	62.56	37.91	73.15	31
Y _{Ma}	89.25	-9.92	83.91	84.49	97
L _{Ma}	52.5	-62.91	19.95	66.0	162
C _{Ma}	59.15	-27.87	-44.43	52.45	238
V _{Ma}	29.13	22.73	-42.44	48.14	298
M _{Ma}	49.51	71.08	-9.19	71.67	353
N _{Ma}	20.0	0.0	0.0	0.0	0
W _{Ma}	95.0	0.0	0.0	0.0	0
R _{Ma}	39.92	58.74	27.99	65.07	25
J _{Ma}	81.26	-2.89	71.56	71.62	92
G _{Ma}	52.23	-42.42	13.6	44.55	162
B _{Ma}	30.57	1.41	-46.47	46.49	272

Daten für Maximalfarbe (Ma):

$LAB^*LAB^*_{Ma}$: 56 50 46

$LAB^*LCH^*_{Ma}$: 56 68 42

$lab^*rgb^*_{Ma}$: 1.0 0.25 0.0

$lab^*olv^*_{Ma}$: 1.0 0.17 0.0

Dreiecks-Helligkeit t^*

%Umfang

$u^*_{rel} = 83$

%Regularität

$g^*_{H,rel} = 72$

$g^*_{C,rel} = 57$

ORS20_95a; adaptierte CIELAB-Daten

u^*_e	$L^*=L^*_a$	a^*_a	b^*_a	$C^*_{ab,a}$	$h^*_{ab,a}$	u^*_d
r00j	48.83	63.91	30.45	70.79	25	m84o
r25j	55.53	50.37	45.65	67.97	42	o17y
r50j	64.76	33.86	56.12	65.55	59	o42y
r75j	74.12	17.13	66.74	68.9	76	o67y
j00g	85.5	-3.22	79.65	79.72	92	o92y
j25g	79.45	-24.05	66.85	71.04	110	y20l
j50g	69.75	-38.03	49.98	62.8	127	y46l
j75g	61.38	-50.1	35.41	61.35	145	y72l
g00b	52.6	-62.77	20.12	65.92	162	y99l
g25b	55.39	-47.66	-8.06	48.34	190	l36c
g50b	57.43	-36.92	-27.8	46.22	217	l72c
g75b	55.19	-21.2	-44.17	48.99	244	c11v
b00r	41.84	1.31	-43.28	43.3	272	c56v
b25r	29.72	24.12	-41.48	47.98	300	v04m
b50r	38.41	44.74	-27.3	52.41	329	v55m
b75r	49.41	70.07	-3.62	70.16	357	m11o

lab^*olv^*

$i^* = 1.00$

Brillantheit i^*

$i^* = 0.80$

$i^* = 0.60$

$i^* = 0.40$

$i^* = 0.20$

$i^* = 0.00$

relative Buntheit c^*

Ein und Ausgabe: Farbmetrisches Drucker-Reflektiv-System ORS20_95a für relativen CIELAB-Buntton $h^* = lab^*h^* = h_{ab}/360 = 0.164$

Daten für jede Farbe:

lab^*tch^* und lab^*icu^*

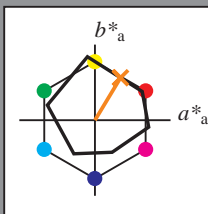
Bunttontexte:

$u^*_e = r50j$ $u^*_d = o42y$

Kontrastreduzierungsfaktor:

$c_R = 0.96$

Dreiecks-Helligkeit t^*



ORS20_95a; adaptierte CIELAB-Daten

	u^*_e	$L^*=L^*_a$	a^*_a	b^*_a	$C^*_{ab,a}$	$h^*_{ab,a}$
O _{Ma}	48.71	62.56	37.91	73.15	31	
Y _{Ma}	89.25	-9.92	83.91	84.49	97	
L _{Ma}	52.5	-62.91	19.95	66.0	162	
C _{Ma}	59.15	-27.87	-44.43	52.45	238	
V _{Ma}	29.13	22.73	-42.44	48.14	298	
M _{Ma}	49.51	71.08	-9.19	71.67	353	
N _{Ma}	20.0	0.0	0.0	0.0	0	
W _{Ma}	95.0	0.0	0.0	0.0	0	
R _{Ma}	39.92	58.74	27.99	65.07	25	
J _{Ma}	81.26	-2.89	71.56	71.62	92	
G _{Ma}	52.23	-42.42	13.6	44.55	162	
B _{Ma}	30.57	1.41	-46.47	46.49	272	

Daten für Maximalfarbe (Ma):

$LAB^*LAB^*_{Ma}$: 65 34 56

$LAB^*LCH^*_{Ma}$: 65 66 58

$lab^*rgb^*_{Ma}$: 1.0 0.5 0.0

$lab^*olv^*_{Ma}$: 1.0 0.42 0.0

Dreiecks-Helligkeit t^*

%Umfang

$u^*_{rel} = 83$

%Regularität

$g^*_{H,rel} = 72$

$g^*_{C,rel} = 57$

ORS20_95a; adaptierte CIELAB-Daten

	u^*_e	$L^*=L^*_a$	a^*_a	b^*_a	$C^*_{ab,a}$	$h^*_{ab,a}$	u^*_d
r00j	48.83	63.91	30.45	70.79	25	m84o	
r25j	55.53	50.37	45.65	67.97	42	o17y	
r50j	64.76	33.86	56.12	65.55	59	o42y	
r75j	74.12	17.13	66.74	68.9	76	o67y	
j00g	85.5	-3.22	79.65	79.72	92	o92y	
j25g	79.45	-24.05	66.85	71.04	110	y20l	
j50g	69.75	-38.03	49.98	62.8	127	y46l	
j75g	61.38	-50.1	35.41	61.35	145	y72l	
g00b	52.6	-62.77	20.12	65.92	162	y99l	
g25b	55.39	-47.66	-8.06	48.34	190	l36c	
g50b	57.43	-36.92	-27.8	46.22	217	l72c	
g75b	55.19	-21.2	-44.17	48.99	244	c11v	
b00r	41.84	1.31	-43.28	43.3	272	c56v	
b25r	29.72	24.12	-41.48	47.98	300	v04m	
b50r	38.41	44.74	-27.3	52.41	329	v55m	
b75r	49.41	70.07	-3.62	70.16	357	m11o	

lab^*olv^*

$i^* = 1.00$

Brillantheit i^*

$i^* = 0.80$

$i^* = 0.60$

$i^* = 0.40$

$i^* = 0.20$

$i^* = 0.00$

Ein und Ausgabe: Farbmetrisches Drucker-Reflektiv-System ORS20_95a für relativen CIELAB-Buntton $h^* = \text{lab}^*h^* = h_{ab}/360 = 0.21$

Daten für jede Farbe:

lab^*tch^* und lab^*icu^*

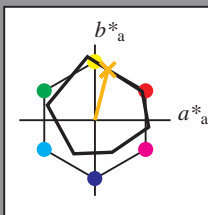
Bunttontexte:

$u^*_e = r75j$ $u^*_d = o67y$

Kontrastreduzierungsfaktor:

$c_R = 0.96$

Dreiecks-Helligkeit i^*



ORS20_95a; adaptierte CIELAB-Daten

	u^*_e	$L^*=L^*_a$	a^*_a	b^*_a	$C^*_{ab,a}$	$h^*_{ab,a}$
O _{Ma}	48.71	62.56	37.91	73.15	31	
Y _{Ma}	89.25	-9.92	83.91	84.49	97	
L _{Ma}	52.5	-62.91	19.95	66.0	162	
C _{Ma}	59.15	-27.87	-44.43	52.45	238	
V _{Ma}	29.13	22.73	-42.44	48.14	298	
M _{Ma}	49.51	71.08	-9.19	71.67	353	
N _{Ma}	20.0	0.0	0.0	0.0	0	
W _{Ma}	95.0	0.0	0.0	0.0	0	
R _{Ma}	39.92	58.74	27.99	65.07	25	
J _{Ma}	81.26	-2.89	71.56	71.62	92	
G _{Ma}	52.23	-42.42	13.6	44.55	162	
B _{Ma}	30.57	1.41	-46.47	46.49	272	

Daten für Maximalfarbe (Ma):

$\text{LAB}^*\text{LAB}^*_{\text{Ma}}$: 74 17 67

$\text{LAB}^*\text{LCH}^*_{\text{Ma}}$: 74 69 75

$\text{lab}^*\text{rgb}^*_{\text{Ma}}$: 1.0 0.75 0.0

$\text{lab}^*\text{olv}^*_{\text{Ma}}$: 1.0 0.68 0.0

Dreiecks-Helligkeit i^*

%Umfang

$u^*_{\text{rel}} = 83$

%Regularität

$g^*_{H,\text{rel}} = 72$

$g^*_{C,\text{rel}} = 57$

ORS20_95a; adaptierte CIELAB-Daten

	u^*_e	$L^*=L^*_a$	a^*_a	b^*_a	$C^*_{ab,a}$	$h^*_{ab,a}$	u^*_d
r00j	48.83	63.91	30.45	70.79	25	m84o	
r25j	55.53	50.37	45.65	67.97	42	o17y	
r50j	64.76	33.86	56.12	65.55	59	o42y	
r75j	74.12	17.13	66.74	68.9	76	o67y	
j00g	85.5	-3.22	79.65	79.72	92	o92y	
j25g	79.45	-24.05	66.85	71.04	110	y20l	
j50g	69.75	-38.03	49.98	62.8	127	y46l	
j75g	61.38	-50.1	35.41	61.35	145	y72l	
g00b	52.6	-62.77	20.12	65.92	162	y99l	
g25b	55.39	-47.66	-8.06	48.34	190	l36c	
g50b	57.43	-36.92	-27.8	46.22	217	l72c	
g75b	55.19	-21.2	-44.17	48.99	244	c11v	
b00r	41.84	1.31	-43.28	43.3	272	c56v	
b25r	29.72	24.12	-41.48	47.98	300	v04m	
b50r	38.41	44.74	-27.3	52.41	329	v55m	
b75r	49.41	70.07	-3.62	70.16	357	m11o	

lab^*olv^*

$i^* = 1.00$

Brillantheit i^*

$i^* = 0.80$

$i^* = 0.60$

$i^* = 0.40$

$i^* = 0.20$

$i^* = 0.00$

Ein und Ausgabe: Farbmetrisches Drucker-Reflektiv-System ORS20_95a für relativen CIELAB-Buntton $h^* = lab^*h^* = h_{ab}/360 = 0.256$

Daten für jede Farbe:

lab^*tch^* und lab^*icu^*

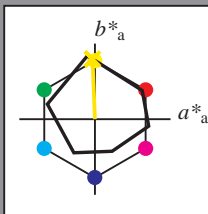
Bunttontexte:

$u^*_e = j00g$ $u^*_d = o92y$

Kontrastreduzierungsfaktor:

$c_R = 0.96$

Dreiecks-Helligkeit t^*



ORS20_95a; adaptierte CIELAB-Daten

u^*_e	$L^*=L^*_a$	a^*_a	b^*_a	$C^*_{ab,a}$	$h^*_{ab,a}$
O _{Ma}	48.71	62.56	37.91	73.15	31
Y _{Ma}	89.25	-9.92	83.91	84.49	97
L _{Ma}	52.5	-62.91	19.95	66.0	162
C _{Ma}	59.15	-27.87	-44.43	52.45	238
V _{Ma}	29.13	22.73	-42.44	48.14	298
M _{Ma}	49.51	71.08	-9.19	71.67	353
N _{Ma}	20.0	0.0	0.0	0.0	0
W _{Ma}	95.0	0.0	0.0	0.0	0
R _{Ma}	39.92	58.74	27.99	65.07	25
J _{Ma}	81.26	-2.89	71.56	71.62	92
G _{Ma}	52.23	-42.42	13.6	44.55	162
B _{Ma}	30.57	1.41	-46.47	46.49	272

Daten für Maximalfarbe (Ma):

$LAB^*LAB^*_{Ma}$: 86 -3 80

$LAB^*LCH^*_{Ma}$: 86 80 92

$lab^*rgb^*_{Ma}$: 1.0 1.0 0.0

$lab^*olv^*_{Ma}$: 1.0 0.93 0.0

Dreiecks-Helligkeit t^*

%Umfang

$u^*_{rel} = 83$

%Regularität

$g^*_{H,rel} = 72$

$g^*_{C,rel} = 57$

ORS20_95a; adaptierte CIELAB-Daten

u^*_e	$L^*=L^*_a$	a^*_a	b^*_a	$C^*_{ab,a}$	$h^*_{ab,a}$	u^*_d
r00j	48.83	63.91	30.45	70.79	25	m84o
r25j	55.53	50.37	45.65	67.97	42	o17y
r50j	64.76	33.86	56.12	65.55	59	o42y
r75j	74.12	17.13	66.74	68.9	76	o67y
j00g	85.5	-3.22	79.65	79.72	92	o92y
j25g	79.45	-24.05	66.85	71.04	110	y20l
j50g	69.75	-38.03	49.98	62.8	127	y46l
j75g	61.38	-50.1	35.41	61.35	145	y72l
g00b	52.6	-62.77	20.12	65.92	162	y99l
g25b	55.39	-47.66	-8.06	48.34	190	l36c
g50b	57.43	-36.92	-27.8	46.22	217	l72c
g75b	55.19	-21.2	-44.17	48.99	244	c11v
b00r	41.84	1.31	-43.28	43.3	272	c56v
b25r	29.72	24.12	-41.48	47.98	300	v04m
b50r	38.41	44.74	-27.3	52.41	329	v55m
b75r	49.41	70.07	-3.62	70.16	357	m11o

lab^*olv^*

$i^* = 1.00$

Brillantheit i^*

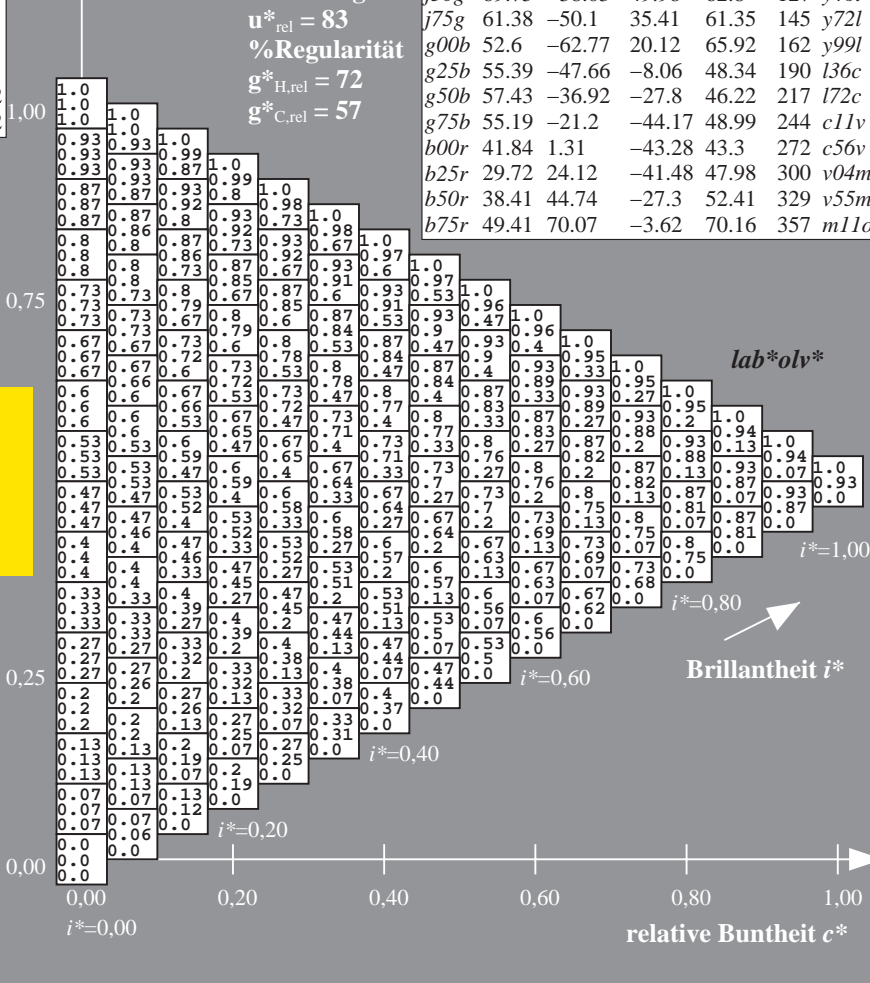
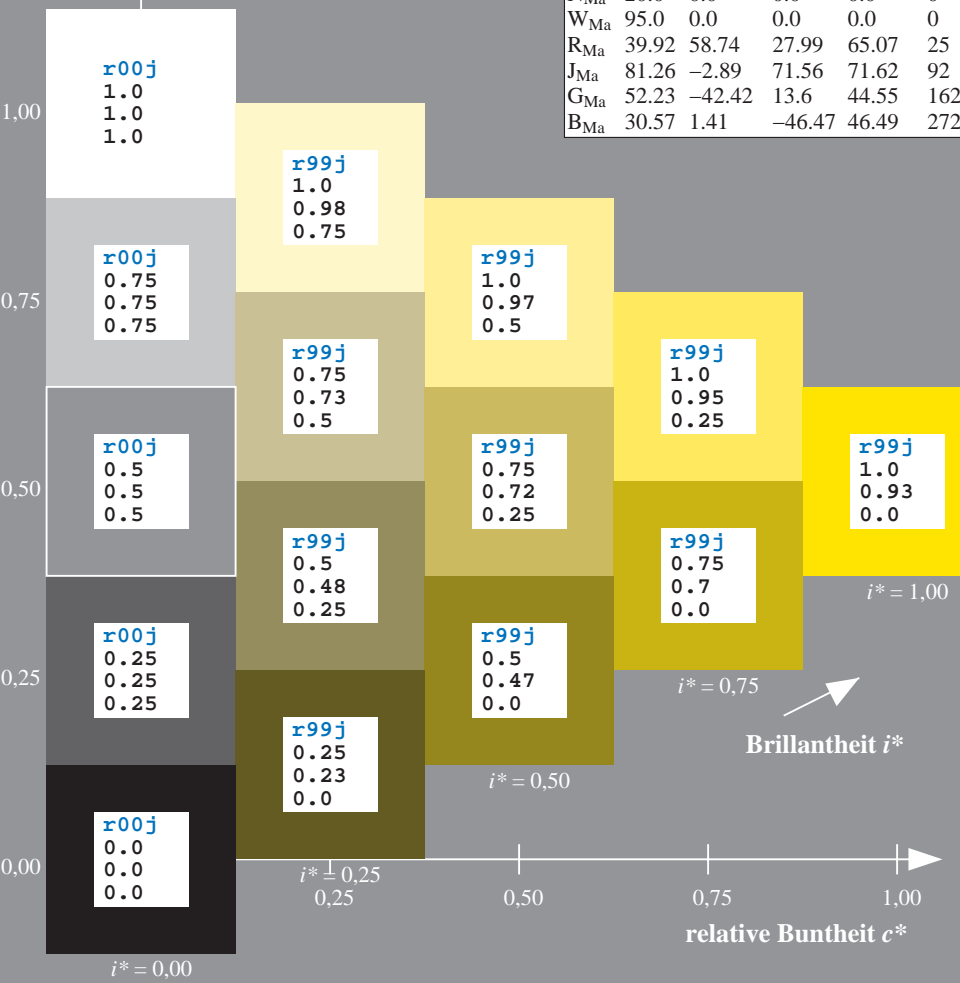
$i^* = 0.80$

$i^* = 0.60$

$i^* = 0.40$

$i^* = 0.20$

$i^* = 0.00$



Siehe ähnliche Dateien: <http://www.ps.bam.de/Eg13>; www.ps.bam.de/Eg.HTM
Technische Information: <http://www.ps.bam.de> Version 2.1, io=1,1, ColSp=1

BAM-Registrierung: 20081001-Eg13/10L/L13G00NA.PS/ .TXT BAM-Material: Code=rha4ta
- Anwendung für Beurteilung und Messung von Drucker- oder Monitorsystemen

Daten für jede Farbe:

*lab*tch** und *lab*icu**

Bunttexte:

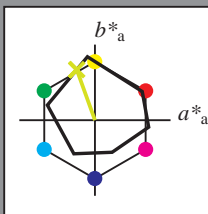
$$u_e^* = j25g \quad u_d^* = y20l$$

Kontrastreduzierungsfaktor:

 $c_D = 0.96$

K Dreiecks-Helligkeit t^*

Dricks-Hemigket



ORS20 95a; adaptierte CIELAB-Daten						
u_e^*	$L^*=L_a^*$	a_a^*	b_a^*	$C^*_{ab,a}$	$h^*_{ab,a}$	
O _{Ma}	48.71	62.56	37.91	73.15	31	
Y _{Ma}	89.25	-9.92	83.91	84.49	97	
L _{Ma}	52.5	-62.91	19.95	66.0	162	
C _{Ma}	59.15	-27.87	-44.43	52.45	238	
V _{Ma}	29.13	22.73	-42.44	48.14	298	
M _{Ma}	49.51	71.08	-9.19	71.67	353	
N _{Ma}	20.0	0.0	0.0	0.0	0	
W _{Ma}	95.0	0.0	0.0	0.0	0	
R _{Ma}	39.92	58.74	27.99	65.07	25	
J _{Ma}	81.26	-2.89	71.56	71.62	92	
G _{Ma}	52.23	-42.42	13.6	44.55	162	
B _{Ma}	30.57	1.41	-46.47	46.49	272	

Daten für Maximalfarbe (Ma):

*LAB*LAB**_{Ms}: 79 -24 67

LAD*LGH* 70 71 100

*LAB***LCH***Ma*: 79 71 10

*lab*rgb**Ma: 0.75 1.0 0.0

*lab*olv**M_a: 0.8 1.0 0.0

Dreiecks-Helligkeit t^*

Druckers-Reinigkeit:

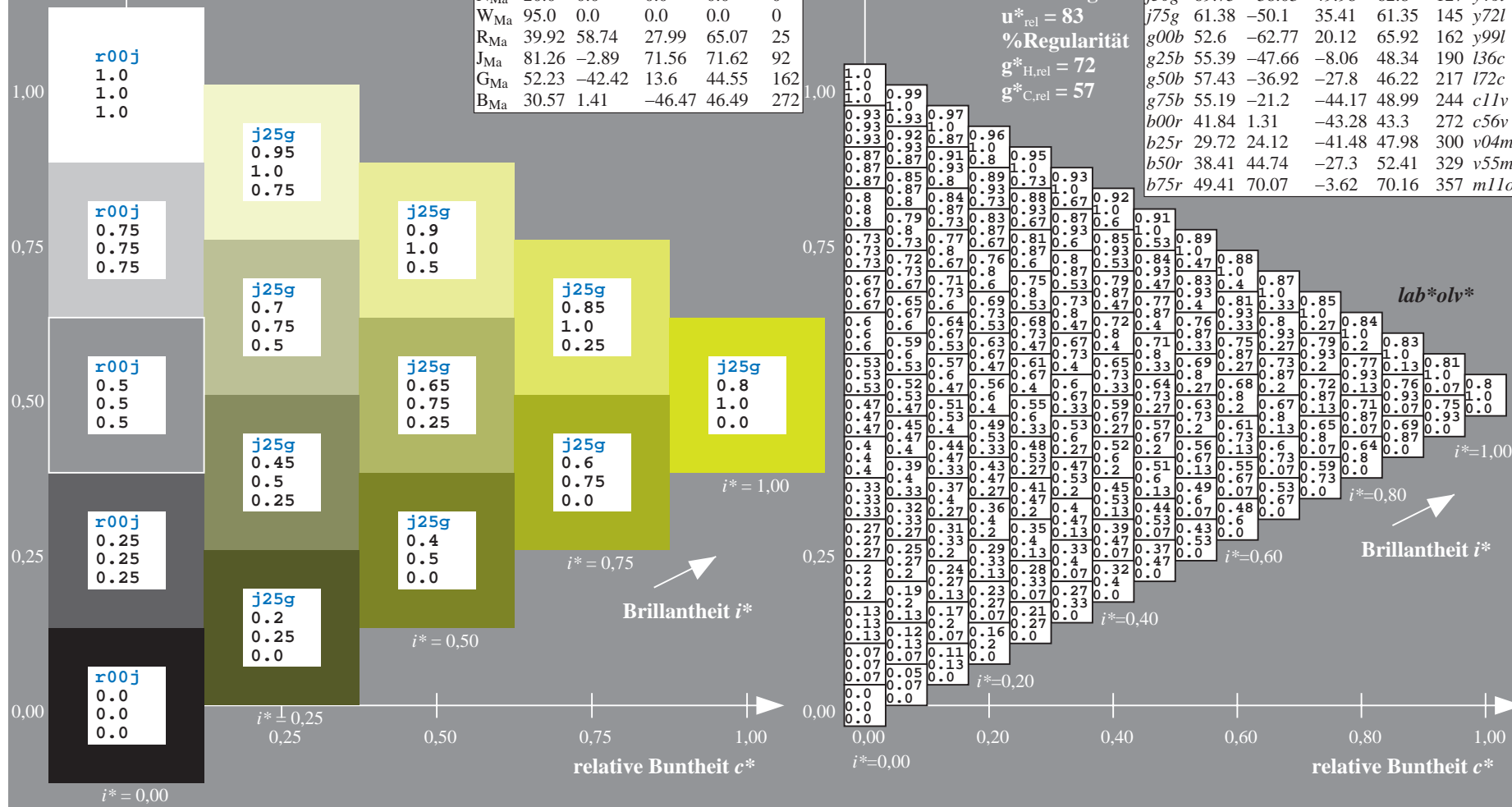
%Umfang

$$\mathbf{u}_{\text{rel}}^* = 83$$

%Regular:

$$g^*_{H,rel} = 72$$
$$g^*_{C,rel} = 57$$

ORS20_95a; adaptierte CIELAB-Daten							
u_e^*	$L^*=L_a^*$	a_a^*	b_a^*	$C_{ab,a}^*$	$h_{ab,a}^*$	u_d^*	
<i>r00j</i>	48.83	63.91	30.45	70.79	25	<i>m84c</i>	
<i>r25j</i>	55.53	50.37	45.65	67.97	42	<i>o17y</i>	
<i>r50j</i>	64.76	33.86	56.12	65.55	59	<i>o42y</i>	
<i>r75j</i>	74.12	17.13	66.74	68.9	76	<i>o67y</i>	
<i>j00g</i>	85.5	-3.22	79.65	79.72	92	<i>o92y</i>	
<i>j25g</i>	79.45	-24.05	66.85	71.04	110	<i>y20l</i>	
<i>j50g</i>	69.75	-38.03	49.98	62.8	127	<i>y46l</i>	
<i>j75g</i>	61.38	-50.1	35.41	61.35	145	<i>y72l</i>	
<i>g00b</i>	52.6	-62.77	20.12	65.92	162	<i>y99l</i>	
<i>g25b</i>	55.39	-47.66	-8.06	48.34	190	<i>i36c</i>	
<i>g50b</i>	57.43	-36.92	-27.8	46.22	217	<i>i72c</i>	
<i>g75b</i>	55.19	-21.2	-44.17	48.99	244	<i>c11v</i>	
<i>b00r</i>	41.84	1.31	-43.28	43.3	272	<i>c56v</i>	
<i>b25r</i>	29.72	24.12	-41.48	47.98	300	<i>v04m</i>	
<i>b50r</i>	38.41	44.74	-27.3	52.41	329	<i>v55m</i>	
<i>b75r</i>	49.41	70.07	-3.62	70.16	357	<i>m11o</i>	



Ein und Ausgabe: Farbmetrisches Drucker-Reflektiv-System ORS20_95a für relativen CIELAB-Buntton $h^* = lab^*h^* = h_{ab}/360 = 0.354$

Daten für jede Farbe:

lab^*tch^* und lab^*icu^*

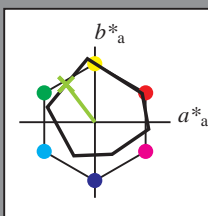
Bunttontexte:

$u^*_e = j50g$ $u^*_d = y46l$

Kontrastreduzierungsfaktor:

$c_R = 0.96$

Dreiecks-Helligkeit i^*



ORS20_95a; adaptierte CIELAB-Daten						
	u^*_e	$L^*=L^*_a$	a^*_a	b^*_a	$C^*_{ab,a}$	$h^*_{ab,a}$
O _{Ma}	48.71	62.56	37.91	73.15	31	
Y _{Ma}	89.25	-9.92	83.91	84.49	97	
L _{Ma}	52.5	-62.91	19.95	66.0	162	
C _{Ma}	59.15	-27.87	-44.43	52.45	238	
V _{Ma}	29.13	22.73	-42.44	48.14	298	
M _{Ma}	49.51	71.08	-9.19	71.67	353	
N _{Ma}	20.0	0.0	0.0	0.0	0	
W _{Ma}	95.0	0.0	0.0	0.0	0	
R _{Ma}	39.92	58.74	27.99	65.07	25	
J _{Ma}	81.26	-2.89	71.56	71.62	92	
G _{Ma}	52.23	-42.42	13.6	44.55	162	
B _{Ma}	30.57	1.41	-46.47	46.49	272	

Daten für Maximalfarbe (Ma):

$LAB^*LAB^*_{Ma}$: 70 -38 50

$LAB^*LCH^*_{Ma}$: 70 63 127

$lab^*rgb^*_{Ma}$: 0.5 1.0 0.0

$lab^*olv^*_{Ma}$: 0.54 1.0 0.0

Dreiecks-Helligkeit i^*

%Umfang

$u^*_{rel} = 83$

%Regularität

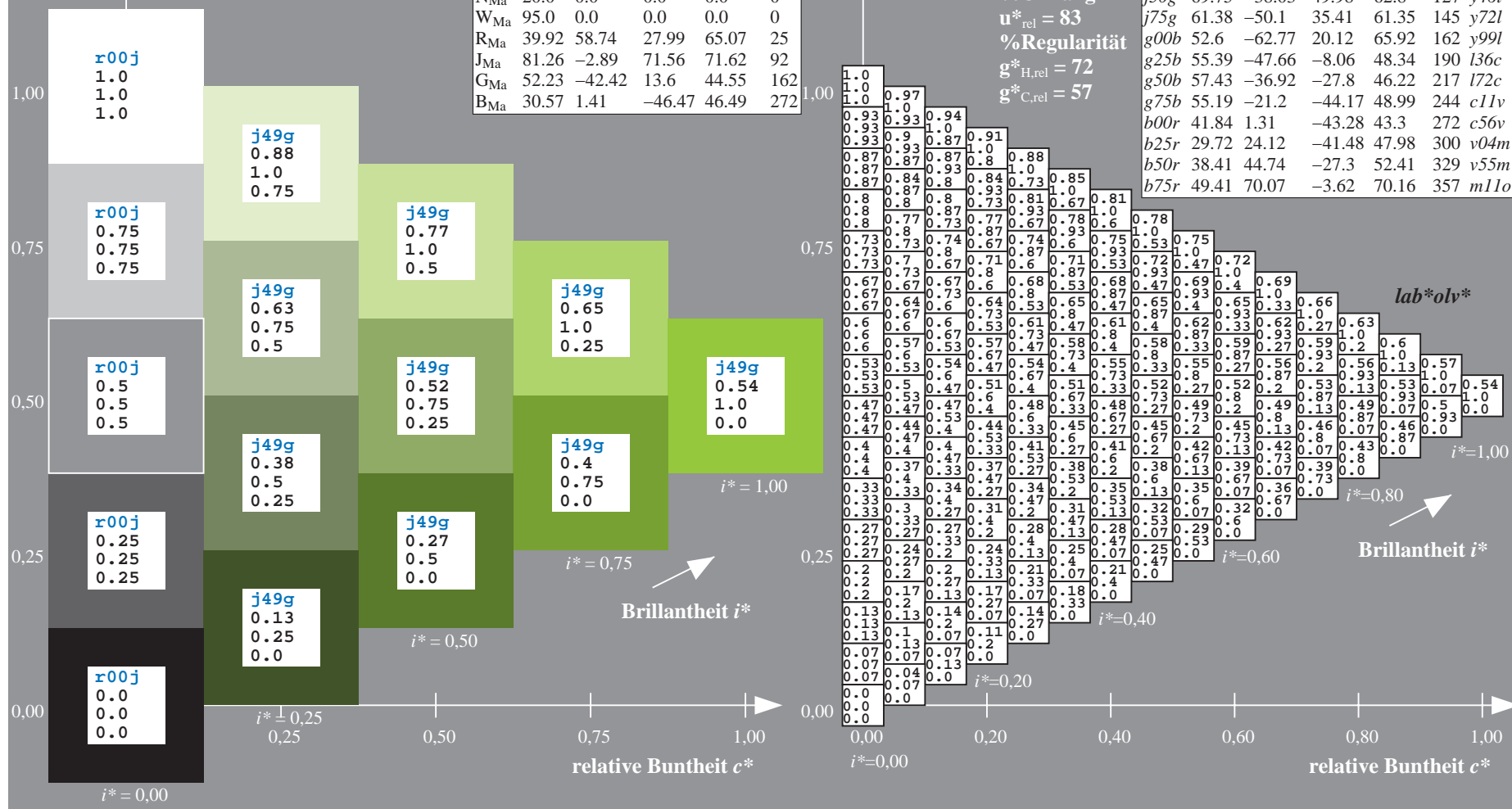
$g^*_{H,rel} = 72$

$g^*_{C,rel} = 57$

ORS20_95a; adaptierte CIELAB-Daten						
	u^*_e	$L^*=L^*_a$	a^*_a	b^*_a	$C^*_{ab,a}$	$h^*_{ab,a}$
r00j	48.83	63.91	30.45	70.79	25	m84o
r25j	55.53	50.37	45.65	67.97	42	o17y
r50j	64.76	33.86	56.12	65.55	59	o42y
r75j	74.12	17.13	66.74	68.9	76	o67y
j00g	85.5	-3.22	79.65	79.72	92	o92y
j25g	79.45	-24.05	66.85	71.04	110	y20l
j50g	69.75	-38.03	49.98	62.8	127	y46l
j75g	61.38	-50.1	35.41	61.35	145	y72l
g00b	52.6	-62.77	20.12	65.92	162	y99l
g25b	55.39	-47.66	-8.06	48.34	190	l36c
g50b	57.43	-36.92	-27.8	46.22	217	l72c
g75b	55.19	-21.2	-44.17	48.99	244	c11v
b00r	41.84	1.31	-43.28	43.3	272	c56v
b25r	29.72	24.12	-41.48	47.98	300	v04m
b50r	38.41	44.74	-27.3	52.41	329	v55m
b75r	49.41	70.07	-3.62	70.16	357	m11o

Siehe ähnliche Dateien: <http://www.ps.bam.de/Eg13/>; www.ps.bam.de/Eg13G00NA.PS/
Technische Information: <http://www.ps.bam.de> Version 2.1, io=1,1, ColSpx=1

BAM-Registrierung: 20081001-Eg13/10L/L13G00NA.PS/.TXT BAM-Material: Code=rh4ta
Anwendung für Beurteilung und Messung von Drucker- oder Monitorsystemen



Ein und Ausgabe: Farbmetrisches Drucker-Reflektiv-System ORS20_95a für relativen CIELAB-Buntton $h^* = lab^*h^* = h_{ab}/360 = 0.402$

Daten für jede Farbe:

lab^*ch^* und lab^*icu^*

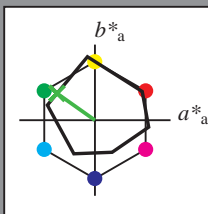
Bunttontexte:

$u^*_e = j75g$ $u^*_d = y72l$

Kontrastreduzierungsfaktor:

$c_R = 0.96$

Dreiecks-Helligkeit i^*



ORS20_95a; adaptierte CIELAB-Daten						
	u^*_e	$L^*=L^*_a$	a^*_a	b^*_a	$C^*_{ab,a}$	$h^*_{ab,a}$
O _{Ma}	48.71	62.56	37.91	73.15	31	
Y _{Ma}	89.25	-9.92	83.91	84.49	97	
L _{Ma}	52.5	-62.91	19.95	66.0	162	
C _{Ma}	59.15	-27.87	-44.43	52.45	238	
V _{Ma}	29.13	22.73	-42.44	48.14	298	
M _{Ma}	49.51	71.08	-9.19	71.67	353	
N _{Ma}	20.0	0.0	0.0	0.0	0	
W _{Ma}	95.0	0.0	0.0	0.0	0	
R _{Ma}	39.92	58.74	27.99	65.07	25	
J _{Ma}	81.26	-2.89	71.56	71.62	92	
G _{Ma}	52.23	-42.42	13.6	44.55	162	
B _{Ma}	30.57	1.41	-46.47	46.49	272	

Daten für Maximalfarbe (Ma):

$LAB^*LAB^*_{Ma}$: 61 -50 35

$LAB^*LCH^*_{Ma}$: 61 61 144

$lab^*rgb^*_{Ma}$: 0.25 1.0 0.0

$lab^*olv^*_{Ma}$: 0.27 1.0 0.0

Dreiecks-Helligkeit i^*

%Umfang

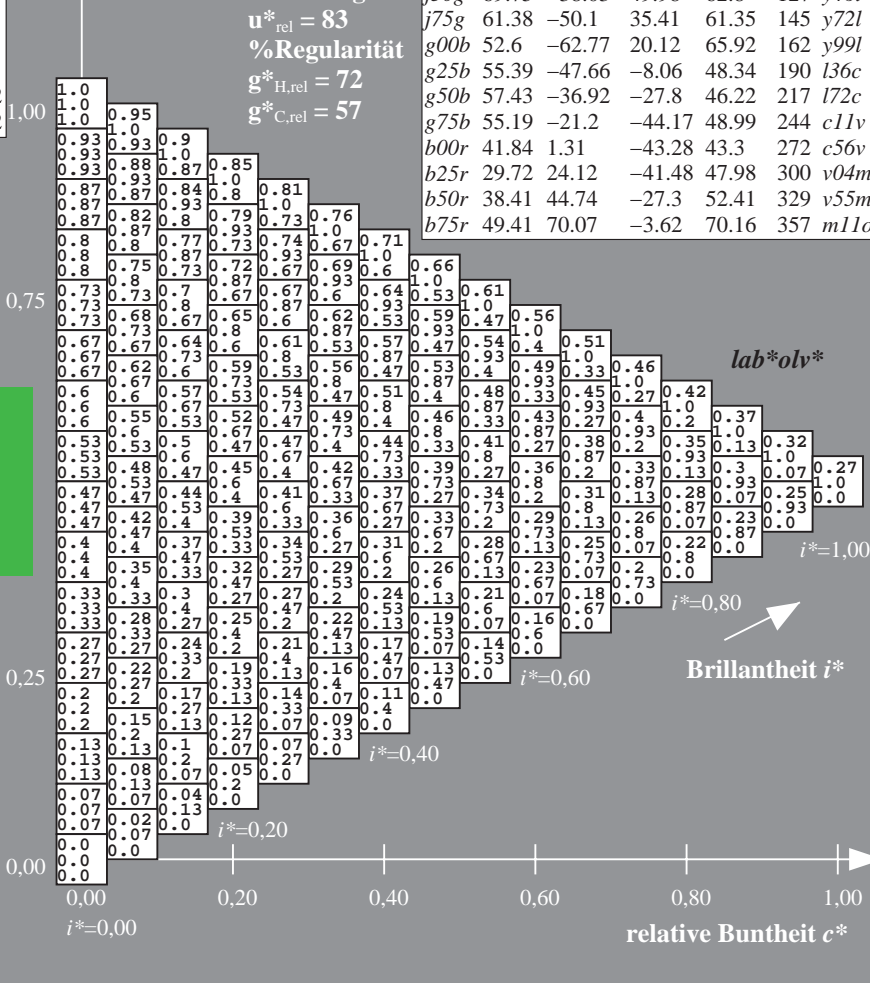
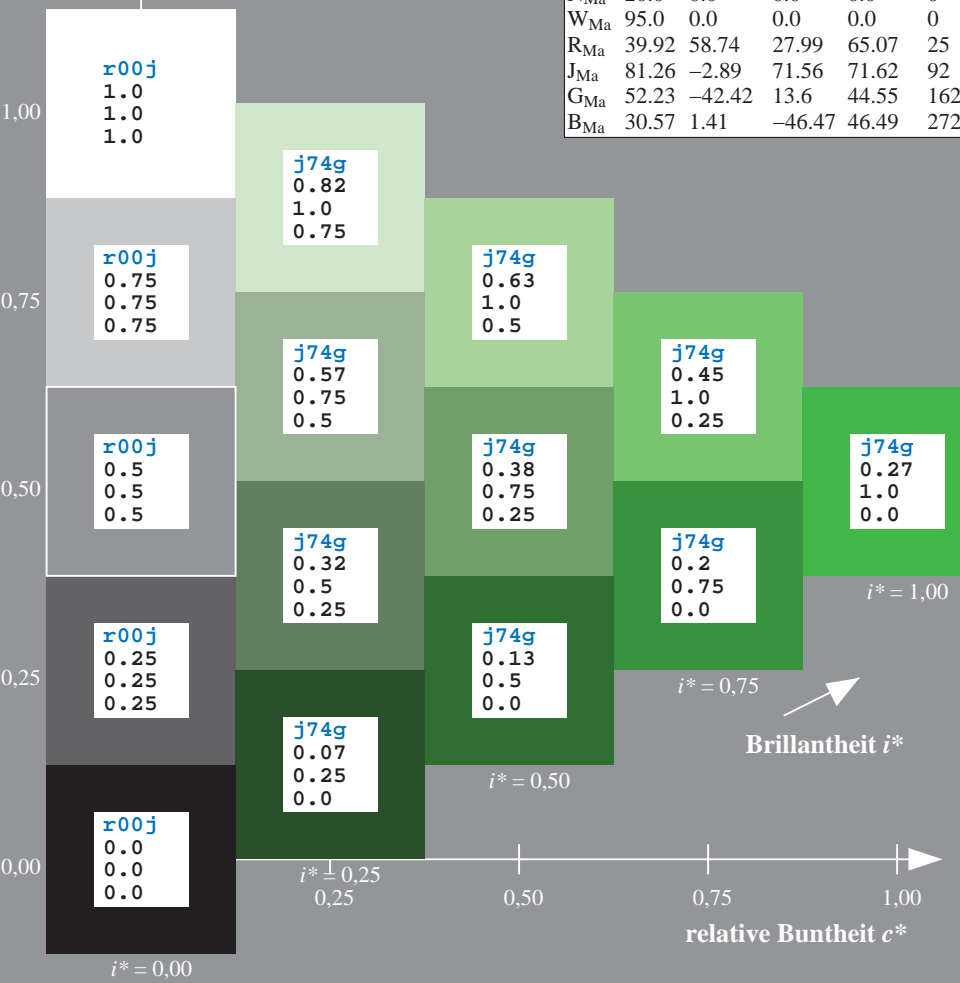
$u^*_{rel} = 83$

%Regularität

$g^*_{H,rel} = 72$

$g^*_{C,rel} = 57$

ORS20_95a; adaptierte CIELAB-Daten						
	u^*_e	$L^*=L^*_a$	a^*_a	b^*_a	$C^*_{ab,a}$	$h^*_{ab,a}$
r00j	48.83	63.91	30.45	70.79	25	m84o
r25j	55.53	50.37	45.65	67.97	42	o17y
r50j	64.76	33.86	56.12	65.55	59	o42y
r75j	74.12	17.13	66.74	68.9	76	o67y
j00g	85.5	-3.22	79.65	79.72	92	o92y
j25g	79.45	-24.05	66.85	71.04	110	y20l
j50g	69.75	-38.03	49.98	62.8	127	y46l
j75g	61.38	-50.1	35.41	61.35	145	y72l
g00b	52.6	-62.77	20.12	65.92	162	y99l
g25b	55.39	-47.66	-8.06	48.34	190	l36c
g50b	57.43	-36.92	-27.8	46.22	217	l72c
g75b	55.19	-21.2	-44.17	48.99	244	c11v
b00r	41.84	1.31	-43.28	43.3	272	c56v
b25r	29.72	24.12	-41.48	47.98	300	v04m
b50r	38.41	44.74	-27.3	52.41	329	v55m
b75r	49.41	70.07	-3.62	70.16	357	m11o



Ein und Ausgabe: Farbmetrisches Drucker-Reflektiv-System ORS20_95a für relativen CIELAB-Buntton $h^* = lab^*h^* = h_{ab}/360 = 0.451$

Daten für jede Farbe:

lab^*tch^* und lab^*icu^*

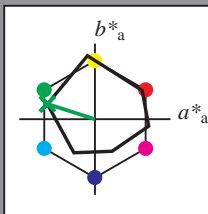
Bunttontexte:

$u^*_e = g00b$ $u^*_d = y99l$

Kontrastreduzierungsfaktor:

$c_R = 0.96$

Dreiecks-Helligkeit i^*



ORS20_95a; adaptierte CIELAB-Daten

u^*_e	$L^*=L^*_a$	a^*_a	b^*_a	$C^*_{ab,a}$	$h^*_{ab,a}$
O _{Ma}	48.71	62.56	37.91	73.15	31
Y _{Ma}	89.25	-9.92	83.91	84.49	97
L _{Ma}	52.5	-62.91	19.95	66.0	162
C _{Ma}	59.15	-27.87	-44.43	52.45	238
V _{Ma}	29.13	22.73	-42.44	48.14	298
M _{Ma}	49.51	71.08	-9.19	71.67	353
N _{Ma}	20.0	0.0	0.0	0.0	0
W _{Ma}	95.0	0.0	0.0	0.0	0
R _{Ma}	39.92	58.74	27.99	65.07	25
J _{Ma}	81.26	-2.89	71.56	71.62	92
G _{Ma}	52.23	-42.42	13.6	44.55	162
B _{Ma}	30.57	1.41	-46.47	46.49	272

Daten für Maximalfarbe (Ma):

$LAB^*LAB^*_{Ma}$: 53 -63 20

$LAB^*LCH^*_{Ma}$: 53 66 162

$lab^*rgb^*_{Ma}$: 0.0 1.0 0.0

$lab^*olv^*_{Ma}$: 0.0 1.0 0.0

Dreiecks-Helligkeit i^*

%Umfang

$u^*_{rel} = 83$

%Regularität

$g^*_{H,rel} = 72$

$g^*_{C,rel} = 57$

ORS20_95a; adaptierte CIELAB-Daten

u^*_e	$L^*=L^*_a$	a^*_a	b^*_a	$C^*_{ab,a}$	$h^*_{ab,a}$	u^*_d
r00j	48.83	63.91	30.45	70.79	25	m84o
r25j	55.53	50.37	45.65	67.97	42	o17y
r50j	64.76	33.86	56.12	65.55	59	o42y
r75j	74.12	17.13	66.74	68.9	76	o67y
j00g	85.5	-3.22	79.65	79.72	92	o92y
j25g	79.45	-24.05	66.85	71.04	110	y20l
j50g	69.75	-38.03	49.98	62.8	127	y46l
j75g	61.38	-50.1	35.41	61.35	145	y72l
g00b	52.6	-62.77	20.12	65.92	162	y99l
g25b	55.39	-47.66	-8.06	48.34	190	l36c
g50b	57.43	-36.92	-27.8	46.22	217	l72c
g75b	55.19	-21.2	-44.17	48.99	244	c11v
b00r	41.84	1.31	-43.28	43.3	272	c56v
b25r	29.72	24.12	-41.48	47.98	300	v04m
b50r	38.41	44.74	-27.3	52.41	329	v55m
b75r	49.41	70.07	-3.62	70.16	357	m11o

lab^*olv^*

$i^* = 1.00$

Brillantheit i^*

$i^* = 0.80$

$i^* = 0.60$

$i^* = 0.40$

$i^* = 0.20$

$i^* = 0.00$

relative Buntheit c^*

relative Buntheit c^*

Ein und Ausgabe: Farbmetrisches Drucker-Reflektiv-System ORS20_95a für relativen CIELAB-Buntton $h^* = lab^*h^* = h_{ab}/360 = 0.527$

Daten für jede Farbe:

lab^*ch^* und lab^*icu^*

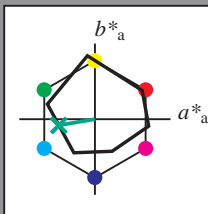
Bunttontexte:

$u^*_e = g25b$ $u^*_d = l36c$

Kontrastreduzierungsfaktor:

$c_R = 0.96$

Dreiecks-Helligkeit i^*



ORS20_95a; adaptierte CIELAB-Daten

u^*_e	$L^*=L^*_a$	a^*_a	b^*_a	$C^*_{ab,a}$	$h^*_{ab,a}$
O _{Ma}	48.71	62.56	37.91	73.15	31
Y _{Ma}	89.25	-9.92	83.91	84.49	97
L _{Ma}	52.5	-62.91	19.95	66.0	162
C _{Ma}	59.15	-27.87	-44.43	52.45	238
V _{Ma}	29.13	22.73	-42.44	48.14	298
M _{Ma}	49.51	71.08	-9.19	71.67	353
N _{Ma}	20.0	0.0	0.0	0.0	0
W _{Ma}	95.0	0.0	0.0	0.0	0
R _{Ma}	39.92	58.74	27.99	65.07	25
J _{Ma}	81.26	-2.89	71.56	71.62	92
G _{Ma}	52.23	-42.42	13.6	44.55	162
B _{Ma}	30.57	1.41	-46.47	46.49	272

Daten für Maximalfarbe (Ma):

$LAB^*LAB^*_{Ma}$: 55 -48 -8

$LAB^*LCH^*_{Ma}$: 55 48 189

$lab^*rgb^*_{Ma}$: 0.0 1.0 0.5

$lab^*olv^*_{Ma}$: 0.0 1.0 0.36

Dreiecks-Helligkeit i^*

%Umfang

$u^*_{rel} = 83$

%Regularität

$g^*_{H,rel} = 72$

$g^*_{C,rel} = 57$

ORS20_95a; adaptierte CIELAB-Daten

u^*_e	$L^*=L^*_a$	a^*_a	b^*_a	$C^*_{ab,a}$	$h^*_{ab,a}$	u^*_d
r00j	48.83	63.91	30.45	70.79	25	m84o
r25j	55.53	50.37	45.65	67.97	42	o17y
r50j	64.76	33.86	56.12	65.55	59	o42y
r75j	74.12	17.13	66.74	68.9	76	o67y
j00g	85.5	-3.22	79.65	79.72	92	o92y
j25g	79.45	-24.05	66.85	71.04	110	y20l
j50g	69.75	-38.03	49.98	62.8	127	y46l
j75g	61.38	-50.1	35.41	61.35	145	y72l
g00b	52.6	-62.77	20.12	65.92	162	y99l
g25b	55.39	-47.66	-8.06	48.34	190	l36c
g50b	57.43	-36.92	-27.8	46.22	217	l72c
g75b	55.19	-21.2	-44.17	48.99	244	c11v
b00r	41.84	1.31	-43.28	43.3	272	c56v
b25r	29.72	24.12	-41.48	47.98	300	v04m
b50r	38.41	44.74	-27.3	52.41	329	v55m
b75r	49.41	70.07	-3.62	70.16	357	m11o

lab^*olv^*

$i^* = 1.00$

Brillantheit i^*

$i^* = 0.80$

$i^* = 0.60$

$i^* = 0.40$

$i^* = 0.20$

$i^* = 0.00$

Ein und Ausgabe: Farbmetrisches Drucker-Reflektiv-System ORS20_95a für relativen CIELAB-Buntton $h^* = lab^*h^* = h_{ab}/360 = 0.603$

Daten für jede Farbe:

lab^*tch^* und lab^*icu^*

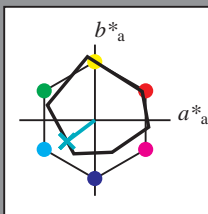
Bunttontexte:

$u^*_e = g50b$ $u^*_d = l72c$

Kontrastreduzierungsfaktor:

$c_R = 0.96$

Dreiecks-Helligkeit i^*



ORS20_95a; adaptierte CIELAB-Daten						
u^*_e	$L^*=L^*_a$	a^*_a	b^*_a	$C^*_{ab,a}$	$h^*_{ab,a}$	
O _{Ma}	48.71	62.56	37.91	73.15	31	
Y _{Ma}	89.25	-9.92	83.91	84.49	97	
L _{Ma}	52.5	-62.91	19.95	66.0	162	
C _{Ma}	59.15	-27.87	-44.43	52.45	238	
V _{Ma}	29.13	22.73	-42.44	48.14	298	
M _{Ma}	49.51	71.08	-9.19	71.67	353	
N _{Ma}	20.0	0.0	0.0	0.0	0	
W _{Ma}	95.0	0.0	0.0	0.0	0	
R _{Ma}	39.92	58.74	27.99	65.07	25	
J _{Ma}	81.26	-2.89	71.56	71.62	92	
G _{Ma}	52.23	-42.42	13.6	44.55	162	
B _{Ma}	30.57	1.41	-46.47	46.49	272	

Daten für Maximalfarbe (Ma):

$LAB^*LAB^*_{Ma}$: 57 -37 -28

$LAB^*LCH^*_{Ma}$: 57 46 216

$lab^*rgb^*_{Ma}$: 0.0 1.0 1.0

$lab^*olv^*_{Ma}$: 0.0 1.0 0.72

Dreiecks-Helligkeit i^*

%Umfang

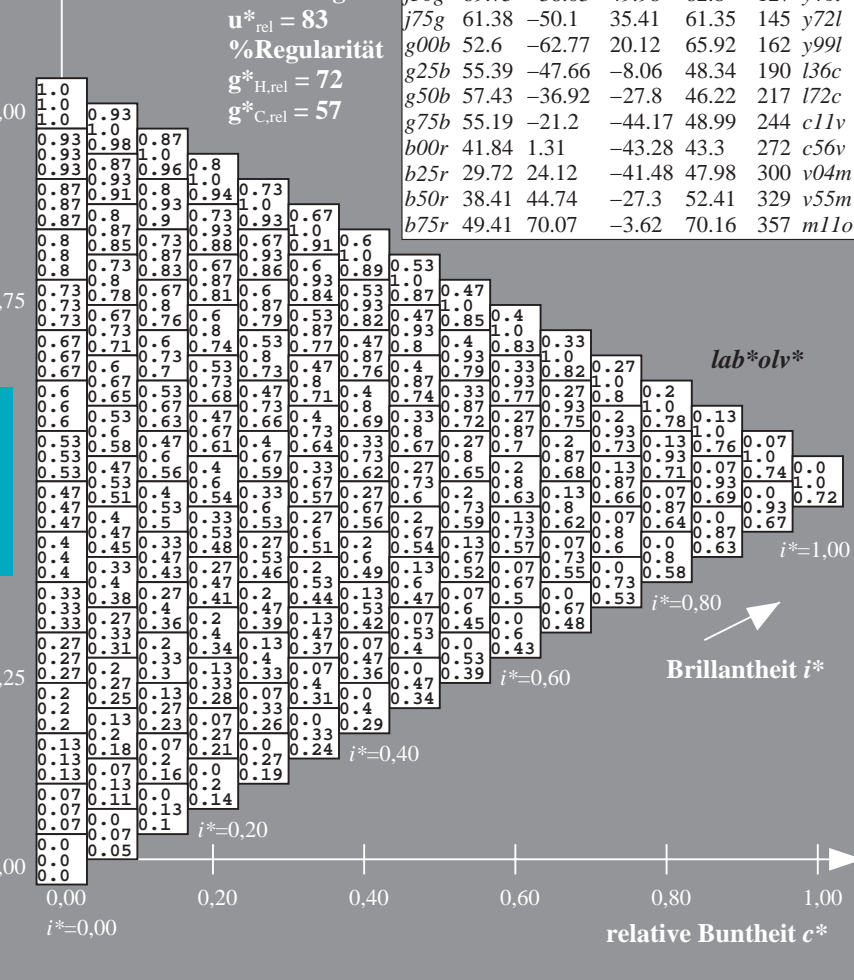
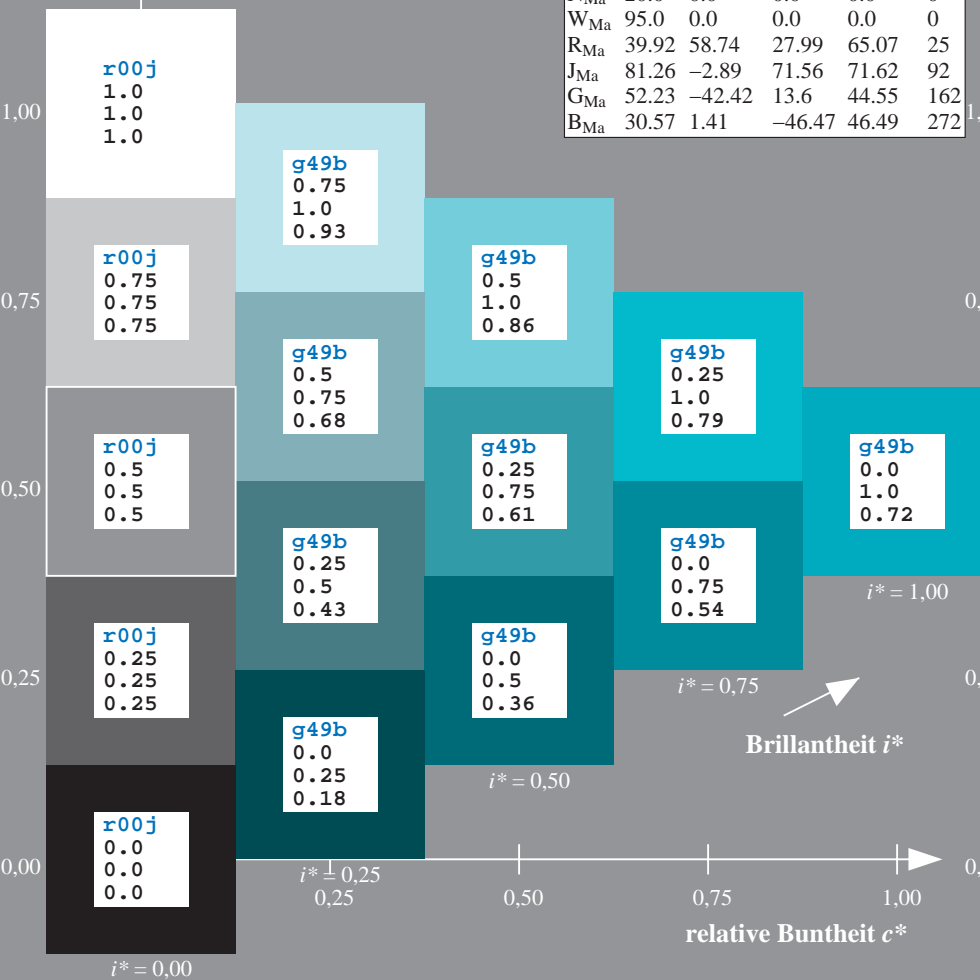
$u^*_{rel} = 83$

%Regularität

$g^*_{H,rel} = 72$

$g^*_{C,rel} = 57$

ORS20_95a; adaptierte CIELAB-Daten						
u^*_e	$L^*=L^*_a$	a^*_a	b^*_a	$C^*_{ab,a}$	$h^*_{ab,a}$	u^*_d
r00j	48.83	63.91	30.45	70.79	25	m84o
r25j	55.53	50.37	45.65	67.97	42	o17y
r50j	64.76	33.86	56.12	65.55	59	o42y
r75j	74.12	17.13	66.74	68.9	76	o67y
j00g	85.5	-3.22	79.65	79.72	92	o92y
j25g	79.45	-24.05	66.85	71.04	110	y20l
j50g	69.75	-38.03	49.98	62.8	127	y46l
j75g	61.38	-50.1	35.41	61.35	145	y72l
g00b	52.6	-62.77	20.12	65.92	162	y99l
g25b	55.39	-47.66	-8.06	48.34	190	l36c
g50b	57.43	-36.92	-27.8	46.22	217	l72c
g75b	55.19	-21.2	-44.17	48.99	244	c11v
b00r	41.84	1.31	-43.28	43.3	272	c56v
b25r	29.72	24.12	-41.48	47.98	300	v04m
b50r	38.41	44.74	-27.3	52.41	329	v55m
b75r	49.41	70.07	-3.62	70.16	357	m11o



Ein und Ausgabe: Farbmetrisches Drucker-Reflektiv-System ORS20_95a für relativen CIELAB-Buntton $h^* = lab^*h^* = h_{ab}/360 = 0.679$

Daten für jede Farbe:

lab^*tch^* und lab^*icu^*

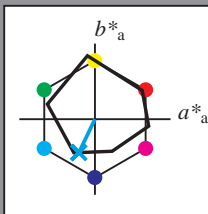
Bunttontexte:

$u^*_e = g75b$ $u^*_d = c11v$

Kontrastreduzierungsfaktor:

$c_R = 0.96$

Dreiecks-Helligkeit i^*



ORS20_95a; adaptierte CIELAB-Daten

u^*_e	$L^*=L^*_a$	a^*_a	b^*_a	$C^*_{ab,a}$	$h^*_{ab,a}$
O _{Ma}	48.71	62.56	37.91	73.15	31
Y _{Ma}	89.25	-9.92	83.91	84.49	97
L _{Ma}	52.5	-62.91	19.95	66.0	162
C _{Ma}	59.15	-27.87	-44.43	52.45	238
V _{Ma}	29.13	22.73	-42.44	48.14	298
M _{Ma}	49.51	71.08	-9.19	71.67	353
N _{Ma}	20.0	0.0	0.0	0.0	0
W _{Ma}	95.0	0.0	0.0	0.0	0
R _{Ma}	39.92	58.74	27.99	65.07	25
J _{Ma}	81.26	-2.89	71.56	71.62	92
G _{Ma}	52.23	-42.42	13.6	44.55	162
B _{Ma}	30.57	1.41	-46.47	46.49	272

Daten für Maximalfarbe (Ma):

$LAB^*LAB^*_{Ma}$: 55 -21 -44

$LAB^*LCH^*_{Ma}$: 55 49 244

$lab^*rgb^*_{Ma}$: 0.0 0.5 1.0

$lab^*olv^*_{Ma}$: 0.0 0.89 1.0

Dreiecks-Helligkeit i^*

%Umfang

$u^*_{rel} = 83$

%Regularität

$g^*_{H,rel} = 72$

$g^*_{C,rel} = 57$

ORS20_95a; adaptierte CIELAB-Daten

u^*_e	$L^*=L^*_a$	a^*_a	b^*_a	$C^*_{ab,a}$	$h^*_{ab,a}$	u^*_d
r00j	48.83	63.91	30.45	70.79	25	m84o
r25j	55.53	50.37	45.65	67.97	42	o17y
r50j	64.76	33.86	56.12	65.55	59	o42y
r75j	74.12	17.13	66.74	68.9	76	o67y
j00g	85.5	-3.22	79.65	79.72	92	o92y
j25g	79.45	-24.05	66.85	71.04	110	y20l
j50g	69.75	-38.03	49.98	62.8	127	y46l
j75g	61.38	-50.1	35.41	61.35	145	y72l
g00b	52.6	-62.77	20.12	65.92	162	y99l
g25b	55.39	-47.66	-8.06	48.34	190	l36c
g50b	57.43	-36.92	-27.8	46.22	217	l72c
g75b	55.19	-21.2	-44.17	48.99	244	c11v
b00r	41.84	1.31	-43.28	43.3	272	c56v
b25r	29.72	24.12	-41.48	47.98	300	v04m
b50r	38.41	44.74	-27.3	52.41	329	v55m
b75r	49.41	70.07	-3.62	70.16	357	m11o

lab^*olv^*

$i^* = 1.00$

Brillantheit i^*

$i^* = 0.80$

$i^* = 0.60$

$i^* = 0.40$

$i^* = 0.20$

$i^* = 0.00$

Ein und Ausgabe: Farbmetrisches Drucker-Reflektiv-System ORS20_95a für relativen CIELAB-Buntton $h^* = lab^*h^* = h_{ab}/360 = 0.755$

Daten für jede Farbe:

lab^*tch^* und lab^*icu^*

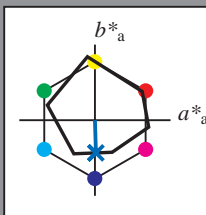
Bunttontexte:

$u^*_e = b00r$ $u^*_d = c56v$

Kontrastreduzierungsfaktor:

$c_R = 0.96$

Dreiecks-Helligkeit i^*



ORS20_95a; adaptierte CIELAB-Daten						
u^*_e	$L^*=L^*_a$	a^*_a	b^*_a	$C^*_{ab,a}$	$h^*_{ab,a}$	
O _{Ma}	48.71	62.56	37.91	73.15	31	
Y _{Ma}	89.25	-9.92	83.91	84.49	97	
L _{Ma}	52.5	-62.91	19.95	66.0	162	
C _{Ma}	59.15	-27.87	-44.43	52.45	238	
V _{Ma}	29.13	22.73	-42.44	48.14	298	
M _{Ma}	49.51	71.08	-9.19	71.67	353	
N _{Ma}	20.0	0.0	0.0	0.0	0	
W _{Ma}	95.0	0.0	0.0	0.0	0	
R _{Ma}	39.92	58.74	27.99	65.07	25	
J _{Ma}	81.26	-2.89	71.56	71.62	92	
G _{Ma}	52.23	-42.42	13.6	44.55	162	
B _{Ma}	30.57	1.41	-46.47	46.49	272	

Daten für Maximalfarbe (Ma):

$LAB^*LAB^*_{Ma}$: 42 1 -43

$LAB^*LCH^*_{Ma}$: 42 43 271

$lab^*rgb^*_{Ma}$: 0.0 0.0 1.0

$lab^*olv^*_{Ma}$: 0.0 0.44 1.0

Dreiecks-Helligkeit i^*

%Umfang

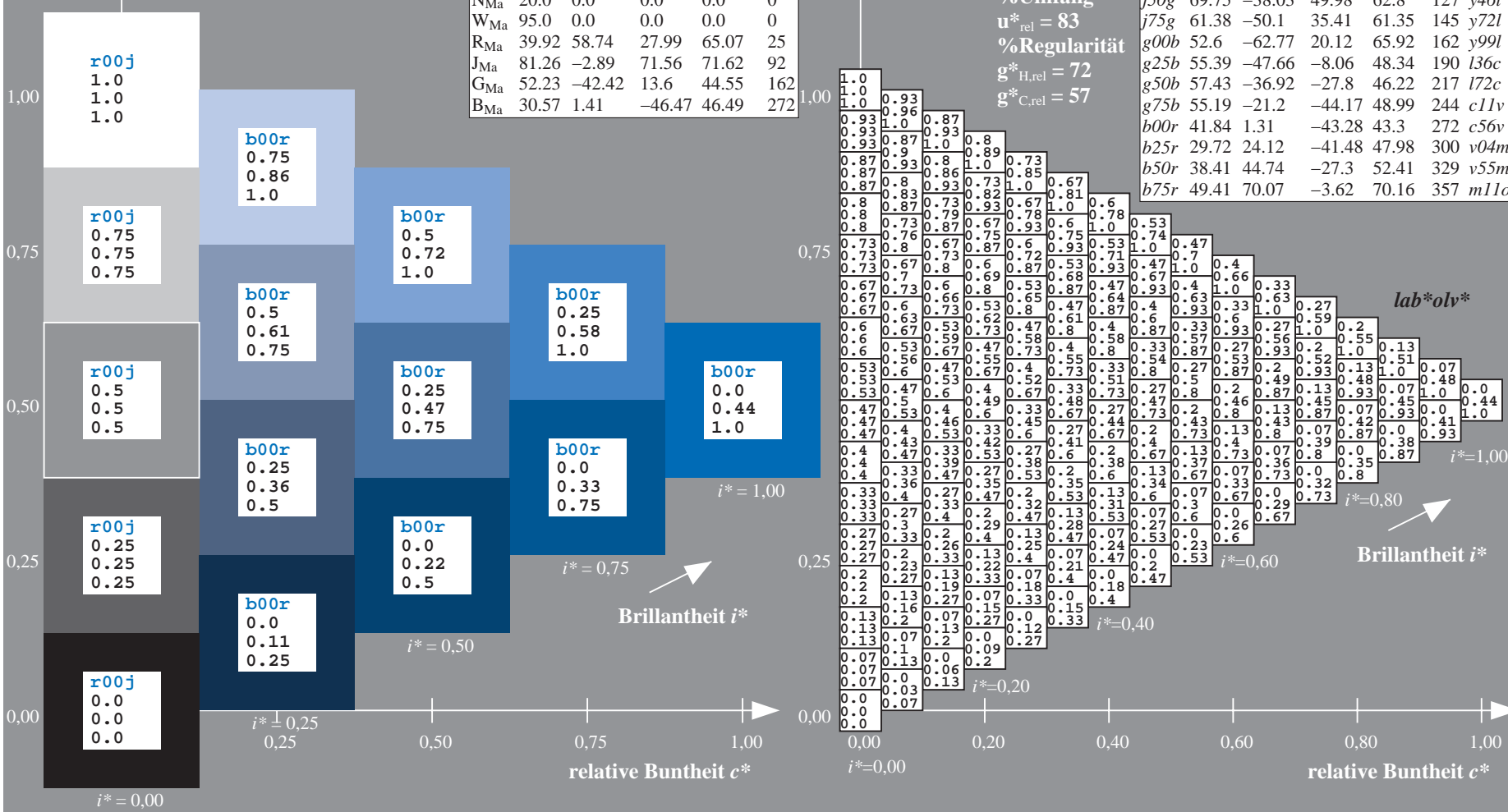
$u^*_{rel} = 83$

%Regularität

$g^*_{H,rel} = 72$

$g^*_{C,rel} = 57$

ORS20_95a; adaptierte CIELAB-Daten						
u^*_e	$L^*=L^*_a$	a^*_a	b^*_a	$C^*_{ab,a}$	$h^*_{ab,a}$	u^*_d
r00j	48.83	63.91	30.45	70.79	25	m84o
r25j	55.53	50.37	45.65	67.97	42	o17y
r50j	64.76	33.86	56.12	65.55	59	o42y
r75j	74.12	17.13	66.74	68.9	76	o67y
j00g	85.5	-3.22	79.65	79.72	92	o92y
j25g	79.45	-24.05	66.85	71.04	110	y20l
j50g	69.75	-38.03	49.98	62.8	127	y46l
j75g	61.38	-50.1	35.41	61.35	145	y72l
g00b	52.6	-62.77	20.12	65.92	162	y99l
g25b	55.39	-47.66	-8.06	48.34	190	l36c
g50b	57.43	-36.92	-27.8	46.22	217	l72c
g75b	55.19	-21.2	-44.17	48.99	244	c11v
b00r	41.84	1.31	-43.28	43.3	272	c56v
b25r	29.72	24.12	-41.48	47.98	300	v04m
b50r	38.41	44.74	-27.3	52.41	329	v55m
b75r	49.41	70.07	-3.62	70.16	357	m11o



Ein und Ausgabe: Farbmetrisches Drucker-Reflektiv-System ORS20_95a für relativen CIELAB-Buntton $h^* = lab^*h^* = h_{ab}/360 = 0.834$

Daten für jede Farbe:

lab^*tch^* und lab^*icu^*

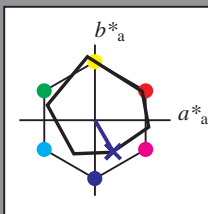
Bunttontexte:

$u^*_e = b25r$ $u^*_d = v04m$

Kontrastreduzierungsfaktor:

$c_R = 0.96$

Dreiecks-Helligkeit i^*



ORS20_95a; adaptierte CIELAB-Daten

u^*_e	$L^*=L^*_a$	a^*_a	b^*_a	$C^*_{ab,a}$	$h^*_{ab,a}$
O _{Ma}	48.71	62.56	37.91	73.15	31
Y _{Ma}	89.25	-9.92	83.91	84.49	97
L _{Ma}	52.5	-62.91	19.95	66.0	162
C _{Ma}	59.15	-27.87	-44.43	52.45	238
V _{Ma}	29.13	22.73	-42.44	48.14	298
M _{Ma}	49.51	71.08	-9.19	71.67	353
N _{Ma}	20.0	0.0	0.0	0.0	0
W _{Ma}	95.0	0.0	0.0	0.0	0
R _{Ma}	39.92	58.74	27.99	65.07	25
J _{Ma}	81.26	-2.89	71.56	71.62	92
G _{Ma}	52.23	-42.42	13.6	44.55	162
B _{Ma}	30.57	1.41	-46.47	46.49	272

Daten für Maximalfarbe (Ma):

$LAB^*LAB^*_{Ma}$: 30 24 -41

$LAB^*LCH^*_{Ma}$: 30 48 300

$lab^*rgb^*_{Ma}$: 0.5 0.0 1.0

$lab^*olv^*_{Ma}$: 0.04 0.0 1.0

Dreiecks-Helligkeit i^*

%Umfang

$u^*_{rel} = 83$

%Regularität

$g^*_{H,rel} = 72$

$g^*_{C,rel} = 57$

ORS20_95a; adaptierte CIELAB-Daten

u^*_e	$L^*=L^*_a$	a^*_a	b^*_a	$C^*_{ab,a}$	$h^*_{ab,a}$	u^*_d
r00j	48.83	63.91	30.45	70.79	25	m84o
r25j	55.53	50.37	45.65	67.97	42	o17y
r50j	64.76	33.86	56.12	65.55	59	o42y
r75j	74.12	17.13	66.74	68.9	76	o67y
j00g	85.5	-3.22	79.65	79.72	92	o92y
j25g	79.45	-24.05	66.85	71.04	110	y20l
j50g	69.75	-38.03	49.98	62.8	127	y46l
j75g	61.38	-50.1	35.41	61.35	145	y72l
g00b	52.6	-62.77	20.12	65.92	162	y99l
g25b	55.39	-47.66	-8.06	48.34	190	l36c
g50b	57.43	-36.92	-27.8	46.22	217	l72c
g75b	55.19	-21.2	-44.17	48.99	244	c11v
b00r	41.84	1.31	-43.28	43.3	272	c56v
b25r	29.72	24.12	-41.48	47.98	300	v04m
b50r	38.41	44.74	-27.3	52.41	329	v55m
b75r	49.41	70.07	-3.62	70.16	357	m11o

lab^*olv^*

$i^* = 1.00$

Brillantheit i^*

$i^* = 0.80$

$i^* = 0.60$

$i^* = 0.40$

$i^* = 0.20$

$i^* = 0.00$

Ein und Ausgabe: Farbmetrisches Drucker-Reflektiv-System ORS20_95a für relativen CIELAB-Buntton $h^* = lab^*h^* = h_{ab}/360 = 0.913$

Daten für jede Farbe:

lab^*tch^* und lab^*icu^*

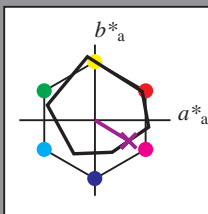
Bunttontexte:

$u^*_e = b50r$ $u^*_d = v55m$

Kontrastreduzierungsfaktor:

$c_R = 0.96$

Dreiecks-Helligkeit i^*



ORS20_95a; adaptierte CIELAB-Daten

	u^*_e	$L^*=L^*_a$	a^*_a	b^*_a	$C^*_{ab,a}$	$h^*_{ab,a}$
O _{Ma}	48.71	62.56	37.91	73.15	31	
Y _{Ma}	89.25	-9.92	83.91	84.49	97	
L _{Ma}	52.5	-62.91	19.95	66.0	162	
C _{Ma}	59.15	-27.87	-44.43	52.45	238	
V _{Ma}	29.13	22.73	-42.44	48.14	298	
M _{Ma}	49.51	71.08	-9.19	71.67	353	
N _{Ma}	20.0	0.0	0.0	0.0	0	
W _{Ma}	95.0	0.0	0.0	0.0	0	
R _{Ma}	39.92	58.74	27.99	65.07	25	
J _{Ma}	81.26	-2.89	71.56	71.62	92	
G _{Ma}	52.23	-42.42	13.6	44.55	162	
B _{Ma}	30.57	1.41	-46.47	46.49	272	

Daten für Maximalfarbe (Ma):

$LAB^*LAB^*_{Ma}$: 38 45 -27

$LAB^*LCH^*_{Ma}$: 38 52 328

$lab^*rgb^*_{Ma}$: 1.0 0.0 1.0

$lab^*olv^*_{Ma}$: 0.56 0.0 1.0

Dreiecks-Helligkeit i^*

%Umfang

$u^*_{rel} = 83$

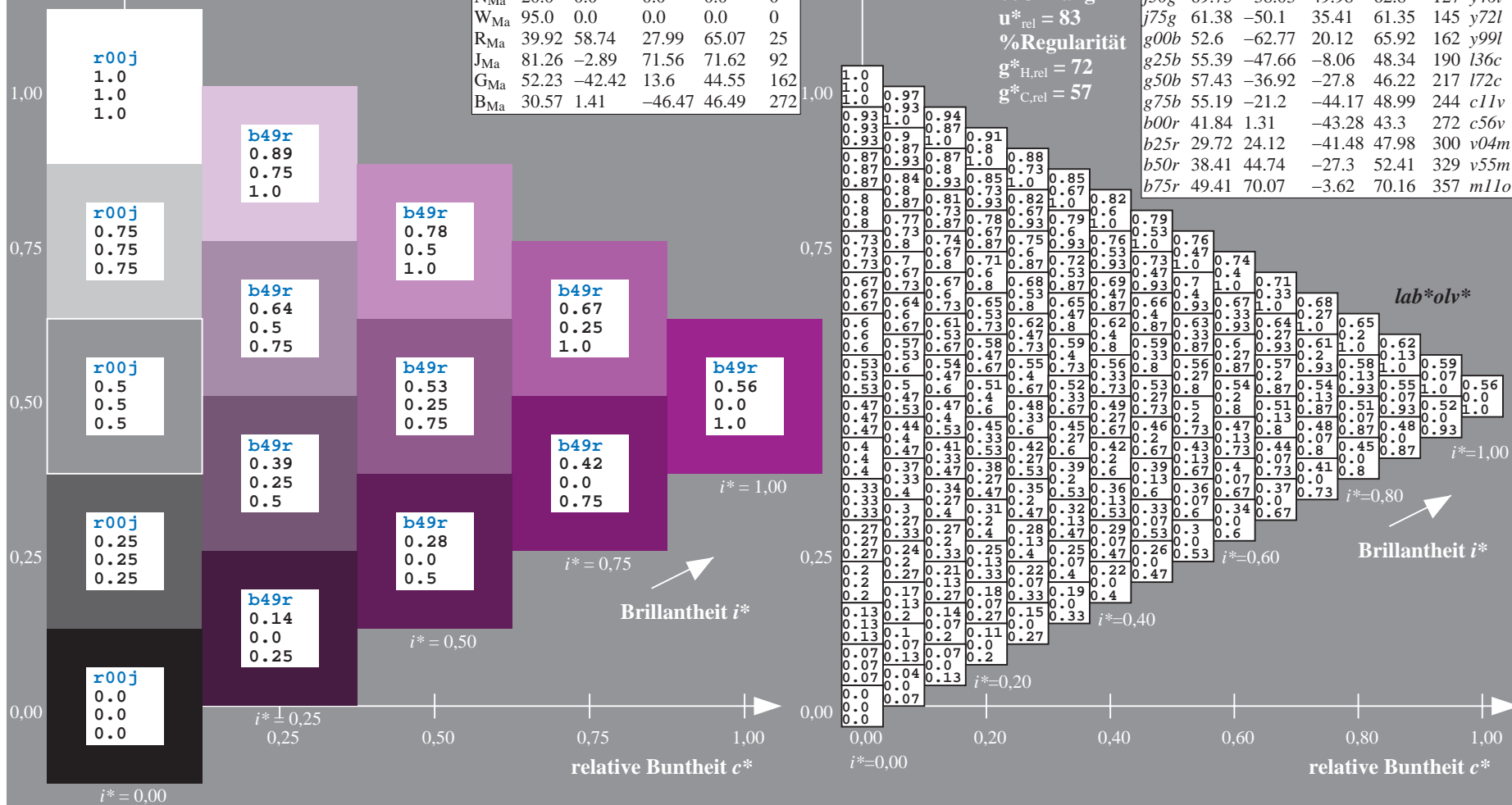
%Regularität

$g^*_{H,rel} = 72$

$g^*_{C,rel} = 57$

ORS20_95a; adaptierte CIELAB-Daten

	u^*_e	$L^*=L^*_a$	a^*_a	b^*_a	$C^*_{ab,a}$	$h^*_{ab,a}$	u^*_d
r00j	48.83	63.91	30.45	70.79	25	m84o	
r25j	55.53	50.37	45.65	67.97	42	o17y	
r50j	64.76	33.86	56.12	65.55	59	o42y	
r75j	74.12	17.13	66.74	68.9	76	o67y	
j00g	85.5	-3.22	79.65	79.72	92	o92y	
j25g	79.45	-24.05	66.85	71.04	110	y20l	
j50g	69.75	-38.03	49.98	62.8	127	y46l	
j75g	61.38	-50.1	35.41	61.35	145	y72l	
g00b	52.6	-62.77	20.12	65.92	162	y99l	
g25b	55.39	-47.66	-8.06	48.34	190	l36c	
g50b	57.43	-36.92	-27.8	46.22	217	l72c	
g75b	55.19	-21.2	-44.17	48.99	244	c11v	
b00r	41.84	1.31	-43.28	43.3	272	c56v	
b25r	29.72	24.12	-41.48	47.98	300	v04m	
b50r	38.41	44.74	-27.3	52.41	329	v55m	
b75r	49.41	70.07	-3.62	70.16	357	m11o	



Ein und Ausgabe: Farbmetrisches Drucker-Reflektiv-System ORS20_95a für relativen CIELAB-Buntton $h^* = lab^*h^* = h_{ab}/360 = 0.992$

Daten für jede Farbe:

lab^*tch^* und lab^*icu^*

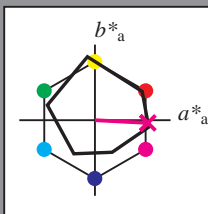
Bunttontexte:

$u^*_e = b75r$ $u^*_d = m11o$

Kontrastreduzierungsfaktor:

$c_R = 0.96$

Dreiecks-Helligkeit i^*



ORS20_95a; adaptierte CIELAB-Daten

u^*_e	$L^*=L^*_a$	a^*_a	b^*_a	$C^*_{ab,a}$	$h^*_{ab,a}$
O _{Ma}	48.71	62.56	37.91	73.15	31
Y _{Ma}	89.25	-9.92	83.91	84.49	97
L _{Ma}	52.5	-62.91	19.95	66.0	162
C _{Ma}	59.15	-27.87	-44.43	52.45	238
V _{Ma}	29.13	22.73	-42.44	48.14	298
M _{Ma}	49.51	71.08	-9.19	71.67	353
N _{Ma}	20.0	0.0	0.0	0.0	0
W _{Ma}	95.0	0.0	0.0	0.0	0
R _{Ma}	39.92	58.74	27.99	65.07	25
J _{Ma}	81.26	-2.89	71.56	71.62	92
G _{Ma}	52.23	-42.42	13.6	44.55	162
B _{Ma}	30.57	1.41	-46.47	46.49	272

Daten für Maximalfarbe (Ma):

$LAB^*LAB^*_{Ma}$: 49 70 -4

$LAB^*LCH^*_{Ma}$: 49 70 357

$lab^*rgb^*_{Ma}$: 1.0 0.0 0.5

$lab^*olv^*_{Ma}$: 1.0 0.0 0.89

Dreiecks-Helligkeit i^*

%Umfang

$u^*_{rel} = 83$

%Regularität

$g^*_{H,rel} = 72$

$g^*_{C,rel} = 57$

ORS20_95a; adaptierte CIELAB-Daten

u^*_e	$L^*=L^*_a$	a^*_a	b^*_a	$C^*_{ab,a}$	$h^*_{ab,a}$	u^*_d
r00j	48.83	63.91	30.45	70.79	25	m84o
r25j	55.53	50.37	45.65	67.97	42	o17y
r50j	64.76	33.86	56.12	65.55	59	o42y
r75j	74.12	17.13	66.74	68.9	76	o67y
j00g	85.5	-3.22	79.65	79.72	92	o92y
j25g	79.45	-24.05	66.85	71.04	110	y20l
j50g	69.75	-38.03	49.98	62.8	127	y46l
j75g	61.38	-50.1	35.41	61.35	145	y72l
g00b	52.6	-62.77	20.12	65.92	162	y99l
g25b	55.39	-47.66	-8.06	48.34	190	l36c
g50b	57.43	-36.92	-27.8	46.22	217	l72c
g75b	55.19	-21.2	-44.17	48.99	244	c11v
b00r	41.84	1.31	-43.28	43.3	272	c56v
b25r	29.72	24.12	-41.48	47.98	300	v04m
b50r	38.41	44.74	-27.3	52.41	329	v55m
b75r	49.41	70.07	-3.62	70.16	357	m11o

lab^*olv^*

$i^* = 1.00$

Brillantheit i^*

$i^* = 0.80$

$i^* = 0.60$

$i^* = 0.40$

$i^* = 0.20$

$i^* = 0.00$

Siehe ähnliche Dateien: <http://www.ps.bam.de/Eg13/>; www.ps.bam.de/Eg13/10L/L13G00NA.PS/.TXT BAM-Material: Code=rh4ta
Technische Information: <http://www.ps.bam.de> Version 2.1, io=1,1, ColSp=1

	A	B	C	D	E	F	G	H	I	J	K	L	M	N	O	P	Q	R	S	T	U	V	W	X	Y	Z	a	b	c	d	e	f	g	h	i	j	k	lab*oly*							
01	0.0	0.0	0.0	0.0	0.0	0.0	0.0	0.0	0.0	0.0	0.0	0.0	0.0	0.0	0.0	0.0	0.0	0.0	0.0	0.0	0.0	0.0	0.0	0.0	0.0	0.0	0.0	0.0	0.0	0.0	0.0	0.0	0.0	0.0	0.0	0.0	0.0	0.0	0.0	0.0					
02	0.0	0.13	0.25	0.38	0.5	0.63	0.75	0.88	1.0	0.0	0.0	0.0	0.0	0.0	0.0	0.0	0.0	0.0	0.0	0.0	0.0	0.0	0.0	0.0	0.0	0.0	0.0	0.0	0.0	0.0	0.0	0.0	0.0	0.0	0.0	0.0	0.0	0.0	0.0	0.0	0.0				
03	0.0	0.12	0.25	0.38	0.5	0.63	0.75	0.88	1.0	0.0	0.13	0.25	0.38	0.5	0.63	0.75	0.88	1.0	0.0	0.13	0.25	0.38	0.5	0.63	0.75	0.88	1.0	0.0	0.13	0.25	0.38	0.5	0.63	0.75	0.88	1.0	0.0	0.13	0.25	0.38	0.5	0.63	0.75	0.88	1.0
04	0.0	0.12	0.25	0.37	0.5	0.63	0.75	0.88	1.0	0.0	0.13	0.25	0.37	0.5	0.63	0.75	0.88	1.0	0.0	0.13	0.25	0.37	0.5	0.63	0.75	0.88	1.0	0.0	0.13	0.25	0.37	0.5	0.63	0.75	0.88	1.0	0.0	0.13	0.25	0.37	0.5	0.63	0.75	0.88	1.0
05	0.0	0.12	0.25	0.37	0.5	0.63	0.75	0.88	1.0	0.0	0.13	0.25	0.37	0.5	0.63	0.75	0.88	1.0	0.0	0.13	0.25	0.37	0.5	0.63	0.75	0.88	1.0	0.0	0.13	0.25	0.37	0.5	0.63	0.75	0.88	1.0	0.0	0.13	0.25	0.37	0.5	0.63	0.75	0.88	1.0
06	0.0	0.12	0.25	0.37	0.5	0.63	0.75	0.88	1.0	0.0	0.13	0.25	0.37	0.5	0.63	0.75	0.88	1.0	0.0	0.13	0.25	0.37	0.5	0.63	0.75	0.88	1.0	0.0	0.13	0.25	0.37	0.5	0.63	0.75	0.88	1.0	0.0	0.13	0.25	0.37	0.5	0.63	0.75	0.88	1.0
07	0.0	0.12	0.25	0.37	0.5	0.63	0.75	0.88	1.0	0.0	0.13	0.25	0.37	0.5	0.63	0.75	0.88	1.0	0.0	0.13	0.25	0.37	0.5	0.63	0.75	0.88	1.0	0.0	0.13	0.25	0.37	0.5	0.63	0.75	0.88	1.0	0.0	0.13	0.25	0.37	0.5	0.63	0.75	0.88	1.0
08	0.0	0.12	0.25	0.37	0.5	0.63	0.75	0.88	1.0	0.0	0.13	0.25	0.37	0.5	0.63	0.75	0.88	1.0	0.0	0.13	0.25	0.37	0.5	0.63	0.75	0.88	1.0	0.0	0.13	0.25	0.37	0.5	0.63	0.75	0.88	1.0	0.0	0.13	0.25	0.37	0.5	0.63	0.75	0.88	1.0
09	0.0	0.12	0.25	0.37	0.5	0.63	0.75	0.88	1.0	0.0	0.13	0.25	0.37	0.5	0.63	0.75	0.88	1.0	0.0	0.13	0.25	0.37	0.5	0.63	0.75	0.88	1.0	0.0	0.13	0.25	0.37	0.5	0.63	0.75	0.88	1.0	0.0	0.13	0.25	0.37	0.5	0.63	0.75	0.88	1.0
10	0.0	0.12	0.25	0.37	0.5	0.63	0.75	0.88	1.0	0.0	0.13	0.25	0.37	0.5	0.63	0.75	0.88	1.0	0.0	0.13	0.25	0.37	0.5	0.63	0.75	0.88	1.0	0.0	0.13	0.25	0.37	0.5	0.63	0.75	0.88	1.0	0.0	0.13	0.25	0.37	0.5	0.63	0.75	0.88	1.0
11	0.0	0.12	0.25	0.37	0.5	0.63	0.75	0.88	1.0	0.0	0.13	0.25	0.37	0.5	0.63	0.75	0.88	1.0	0.0	0.13	0.25	0.37	0.5	0.63	0.75	0.88	1.0	0.0	0.13	0.25	0.37	0.5	0.63	0.75	0.88	1.0	0.0	0.13	0.25	0.37	0.5	0.63	0.75	0.88	1.0
12	0.0	0.12	0.25	0.37	0.5	0.63	0.75	0.88	1.0	0.0	0.13	0.25	0.37	0.5	0.63	0.75	0.88	1.0	0.0	0.13	0.25	0.37	0.5	0.63	0.75	0.88	1.0	0.0	0.13	0.25	0.37	0.5	0.63	0.75	0.88	1.0	0.0	0.13	0.25	0.37	0.5	0.63	0.75	0.88	1.0
13	0.0	0.12	0.25	0.37	0.5	0.63	0.75	0.88	1.0	0.0	0.13	0.25	0.37	0.5	0.63	0.75	0.88	1.0	0.0	0.13	0.25	0.37	0.5	0.63	0.75	0.88	1.0	0.0	0.13	0.25	0.37	0.5	0.63	0.75	0.88	1.0	0.0	0.13	0.25	0.37	0.5	0.63	0.75	0.88	1.0
14	0.0	0.12	0.25	0.37	0.5	0.63	0.75	0.88	1.0	0.0	0.13	0.25	0.37	0.5	0.63	0.75	0.88	1.0	0.0	0.13	0.25	0.37	0.5	0.63	0.75	0.88	1.0	0.0	0.13	0.25	0.37	0.5	0.63	0.75	0.88	1.0	0.0	0.13	0.25	0.37	0.5	0.63	0.75	0.88	1.0
15	0.0	0.12	0.25	0.37	0.5	0.63	0.75	0.88	1.0	0.0	0.13	0.25	0.37	0.5	0.63	0.75	0.88	1.0	0.0	0.13	0.25	0.37	0.5	0.63	0.75	0.88	1.0	0.0	0.13	0.25	0.37	0.5	0.63	0.75	0.88	1.0	0.0	0.13	0.25	0.37	0.5	0.63	0.75	0.88	1.0
16	0.0	0.12	0.25	0.37	0.5	0.63	0.75	0.88	1.0	0.0	0.13	0.25	0.37	0.5	0.63	0.75	0.88	1.0	0.0	0.13	0.25	0.37	0.5	0.63	0.75	0.88	1.0	0.0	0.13	0.25	0.37	0.5	0.63	0.75	0.88	1.0	0.0	0.13	0.25	0.37	0.5	0.63	0.75	0.88	1.0
17	0.0	0.12	0.25	0.37	0.5	0.63	0.75	0.88	1.0	0.0	0.13	0.25	0.37	0.5	0.63	0.75	0.88	1.0	0.0	0.13	0.25	0.37	0.5	0.63	0.75	0.88	1.0	0.0	0.13	0.25	0.37	0.5	0.63	0.75	0.88	1.0	0.0	0.13	0.25	0.37	0.5	0.63	0.75	0.88	1.0
18	0.0	0.12	0.25	0.37	0.5	0.63	0.75	0.88	1.0	0.0	0.13	0.25	0.37	0.5	0.63	0.75	0.88	1.0	0.0	0.13	0.25	0.37	0.5	0.63	0.75	0.88	1.0	0.0	0.13	0.25	0.37	0.5	0.63	0.75	0.88	1.0	0.0	0.13	0.25	0.37	0.5	0.63	0.75	0.88	1.0
19	0.0	0.12	0.25	0.37	0.5	0.63	0.75	0.88	1.0	0.0	0.13	0.25	0.37	0.5	0.63	0.75	0.88	1.0	0.0	0.13	0.25	0.37	0.5	0.63	0.75	0.88	1.0	0.0	0.13	0.25	0.37	0.5	0.63	0.75	0.88	1.0	0.0	0.13	0.25	0.37	0.5	0.63	0.75	0.88	1.0
20	0.0	0.12	0.25	0.37	0.5	0.63	0.75	0.88	1.0	0.0	0.13	0.25	0.37	0.5	0.63	0.75	0.88	1.0	0.0	0.13	0.25	0.37	0.5	0.63	0.75	0.88	1.0	0.0	0.13	0.25	0.37	0.5	0.63	0.75	0.88	1.0	0.0	0.13	0.25	0.37	0.5	0.63	0.75	0.88	1.0
21	0.0	0.12	0.25	0.37	0.5	0.63	0.75	0.88	1.0	0.0	0.13	0.25	0.37	0.5	0.63	0.75	0.88	1.0	0.0	0.13	0.25	0.37	0.5	0.63	0.75	0.88	1.0	0.0	0.13	0.25	0.37	0.5	0.63	0.75	0.88	1.0	0.0	0.13	0.25	0.37	0.5	0.63	0.75	0.88	1.0
22	0.0	0.12	0.25	0.37	0.5	0.63	0.75	0.88	1.0	0.0	0.13	0.25	0.37	0.5	0.63	0.75	0.88	1.0	0.0	0.13	0.25	0.37	0.5	0.63	0.75	0.88	1.0	0.0	0.13	0.25	0.37	0.5	0.63	0.75	0.88	1.0	0.0	0.13	0.25	0.37	0.5	0.63	0.75	0.88	1.0
23	0.0	0.12	0.25	0.37	0.5	0.63	0.75	0.88	1.0	0.0	0.13	0.25	0.37	0.5	0.63	0.75	0.88	1.0	0.0	0.13	0.25	0.37	0.5	0.63	0.75	0.88	1.0	0.0	0.13	0.25	0.37	0.5	0.63	0.75	0.88	1.0	0.0	0.13	0.25	0.37	0.5	0.63	0.75	0.88	1.0
24	0.0	0.12	0.25	0.37	0.5	0.63	0.75	0.88	1.0	0.0	0.13	0.25	0.37	0.5	0.63	0.75	0.88	1.0	0.0	0.13	0.25	0.37	0.5	0.63	0.75	0.88	1.0	0.0	0.13	0.25	0.37	0.5	0.63	0.75	0.88	1.0	0.0	0.13	0.25	0.37	0.5	0.63	0.75	0.88	1.0
25	0.0	0.12	0.25	0.37	0.5	0.63	0.75	0.88	1.0	0.0	0.13	0.25	0.37	0.5	0.63	0.75	0.88	1.0	0.0	0.13	0.25	0.37	0.5	0.63	0.75	0.88	1.0	0.0	0.13	0.25	0.37	0.5	0.63	0.75	0.88	1.0	0.0	0.13	0.25	0.37	0.5	0.63	0.75	0.88	1.0
26	0.0	0.12	0.25	0.37	0.5	0.63	0.75	0.88	1.0	0.0	0.13	0.25	0.37	0.5	0.63	0.75	0.88	1.0	0.0	0.13	0.25	0.37	0.5	0.63	0.75	0.88	1.0	0.0	0.13	0.25	0.37	0.5	0.63	0.75	0.88	1.0	0.0	0.13	0.25	0.37	0.5	0.63	0.75	0.88	1.0
27	0.0	0.12	0.25	0.37	0.5	0.63	0.75	0.88	1.0	0.0	0.13	0.25	0.37	0.5	0.63	0.75	0.88	1.0	0.0	0.13	0.25	0.37	0.5	0.63	0.75	0.88	1.0	0.0	0.13	0.25	0.37	0.5	0.63	0.75	0.88	1.0	0.0	0.13	0.25	0.37	0.5	0.63	0.75	0.88	1.0

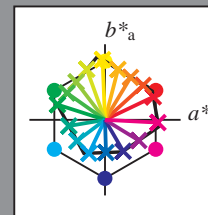
BAM-Registrierung: 20081001-Eg13/10L/L13G00NA.PS/.TXT BAM-Material: Code=rh4ta
Anwendung für Beurteilung und Messung von Drucker- oder Monitorsystemen

Ein und Ausgabe:
Farbmetrisches Drucker-Reflektiv-System ORS20_95a
Daten für jede Farbe:

u^*_e und Nummer $Nr.$ = 00 .. 15
Elementar-Bunttontext:
 $u^*_e = 16$ Bunttoene $r00j, r25j, ..., b75r$
Kontrastreduzierungsfaktor:
 $c_R = 0.96$

ORS20_95a; adaptierte CIELAB-Daten

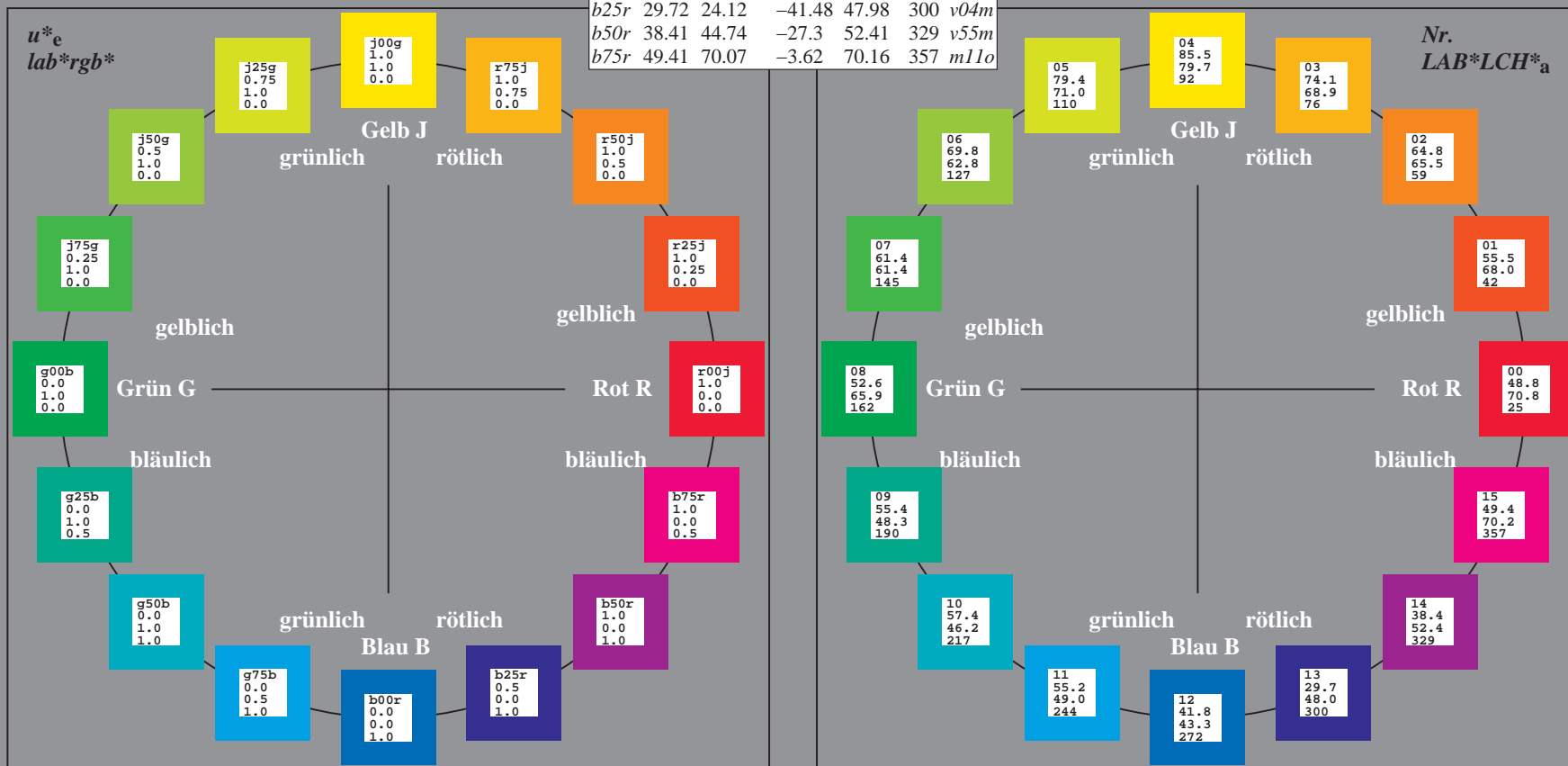
u^*_e	$L^*=L^*_a$	a^*_a	b^*_a	$C^*_{ab,a}$	$h^*_{ab,a}$	u^*_d
$r00j$	48.83	63.91	30.45	70.79	25	$m84o$
$r25j$	55.53	50.37	45.65	67.97	42	$o17y$
$r50j$	64.76	33.86	56.12	65.55	59	$o42y$
$r75j$	74.12	17.13	66.74	68.9	76	$o67y$
$j00g$	85.5	-3.22	79.65	79.72	92	$o92y$
$j25g$	79.45	-24.05	66.85	71.04	110	$y20l$
$j50g$	69.75	-38.03	49.98	62.8	127	$y46l$
$j75g$	61.38	-50.1	35.41	61.35	145	$y72l$
$g00b$	52.6	-62.77	20.12	65.92	162	$y99l$
$g25b$	55.39	-47.66	-8.06	48.34	190	$l36c$
$g50b$	57.43	-36.92	-27.8	46.22	217	$l72c$
$g75b$	55.19	-21.2	-44.17	48.99	244	$c11v$
$b00r$	41.84	1.31	-43.28	43.3	272	$c56v$
$b25r$	29.72	24.12	-41.48	47.98	300	$v04m$
$b50r$	38.41	44.74	-27.3	52.41	329	$v55m$
$b75r$	49.41	70.07	-3.62	70.16	357	$m11o$



%Umfang
 $u^*_{rel} = 83$
%Regularität
 $g^*_{H,rel} = 72$
 $g^*_{C,rel} = 57$

ORS20_95a; adaptierte CIELAB-Daten

Name	$L^*=L^*_a$	a^*_a	b^*_a	$C^*_{ab,a}$	$h^*_{ab,a}$
O_{Ma}	48.71	62.56	37.91	73.15	31
Y_{Ma}	89.25	-9.92	83.91	84.49	97
L_{Ma}	52.5	-62.91	19.95	66.0	162
C_{Ma}	59.15	-27.87	-44.43	52.45	238
V_{Ma}	29.13	22.73	-42.44	48.14	298
M_{Ma}	49.51	71.08	-9.19	71.67	353
N_{Ma}	20.0	0.0	0.0	0.0	0
W_{Ma}	95.0	0.0	0.0	0.0	0
R_{CIE}	39.92	58.74	27.99	65.07	25
J_{CIE}	81.26	-2.89	71.56	71.62	92
G_{CIE}	52.23	-42.42	13.6	44.55	162
B_{CIE}	30.57	1.41	-46.47	46.49	272



metrisches Drucker-Reflektiv-System ORS20_95a für relativen CIELAB-Buntton $h^* = lab^*h^* = h_{ab}/360 = 0.071$

Daten für jede Farbe:

*lab*tch** und *lab*icu**

Bunttexte:

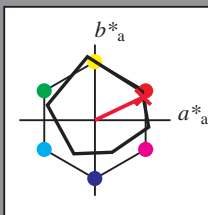
$$u_e^* = r00j \quad u_d^* = m84o$$

Kontrastreduzierungsfaktor:

 $c_R = 0.96$

Dreiecks-Helligkeit t^*

Brokens Alignment:



ORS20 95a; adaptierte CIELAB-Daten						
u_e^*	$L^*=L_a^*$	a^*_a	b^*_a	$C^*_{ab,a}$	$h^*_{ab,a}$	
O _{Ma}	48.71	62.56	37.91	73.15	31	
Y _{Ma}	89.25	-9.92	83.91	84.49	97	
L _{Ma}	52.5	-62.91	19.95	66.0	162	
C _{Ma}	59.15	-27.87	-44.43	52.45	238	
V _{Ma}	29.13	22.73	-42.44	48.14	298	
M _{Ma}	49.51	71.08	-9.19	71.67	353	
N _{Ma}	20.0	0.0	0.0	0.0	0	
W _{Ma}	95.0	0.0	0.0	0.0	0	
R _{Ma}	39.92	58.74	27.99	65.07	25	
J _{Ma}	81.26	-2.89	71.56	71.62	92	
G _{Ma}	52.23	-42.42	13.6	44.55	162	
B _{Ma}	30.57	1.41	-46.47	46.49	272	

Daten für Maximalfarbe (Ma):

LAB*LAB*MO: 49 64 30

LAD*LCII* 49 51 35

LAB*LCH*Ma: 49 71 2

*lab*rgb*_Ma: 1.0 0.0 0.0*

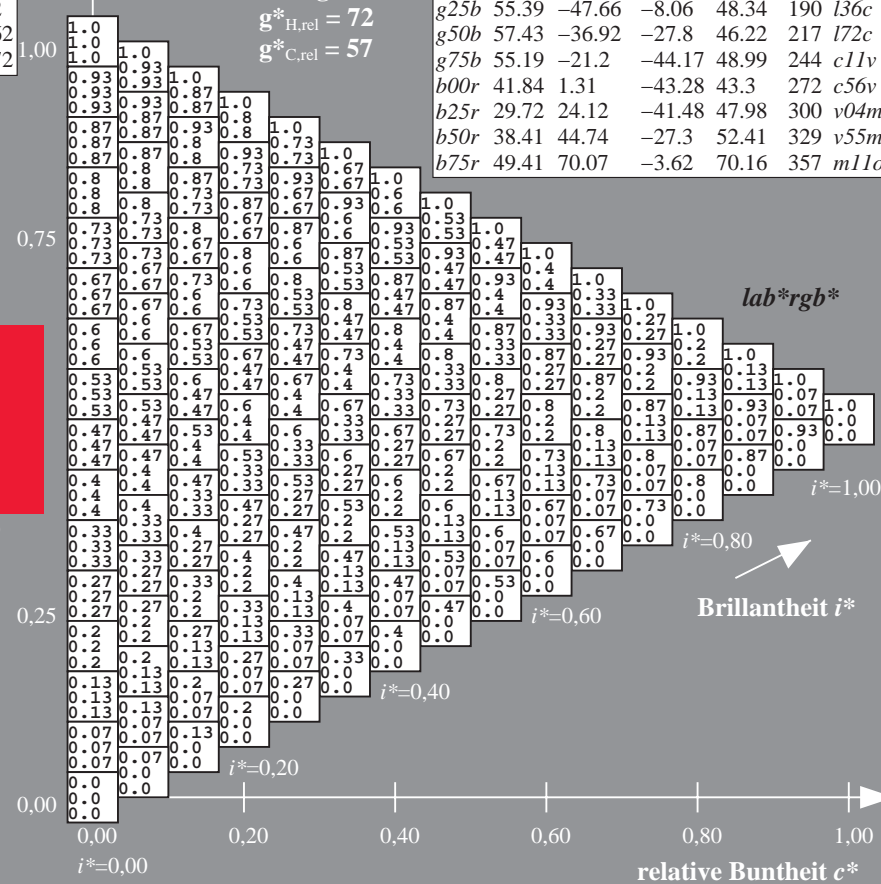
*lab*olv**Ma: 1.0 0.0 0.15

Dreiecks-Helligkeit t^*

%Umfang

$$\mathbf{u}_{\text{rel}}^* = 83$$

%Regularität

$$g^*_{H,rel} = 72$$


*lab*rgb**

 $i^*=1,00$

Brilliantheit i*

relative Buntheit c^*

BAM-Prüfvorlage Eg13; Farbmimetrik-Systeme, Seite 128/270 Eingabe: 000n / w / nnn0 / www set...
4 Separationen, 9 Datentabellen für 16 Bunttöne r00j bis b75r Ausgabe: ->cmyn6* setcmykcolor

BAM-Registrierung: 20081001-Eg13/10/L13G00NA.PS/.TXT BAM-Material: Code=rha4ta
Anwendung für Beurteilung und Messung von Drucker- oder Monitorsystemen

Siehe ähnliche Dateien: <http://www.ps.bam.de/Eg13>; www.ps.bam.de/Eg.HTM
Technische Information: <http://www.ps.bam.de> Version 2.1, io=1,1, ColSpx=1

Ein und Ausgabe: Farbmetrisches Drucker-Reflektiv-System ORS20_95a für relativen CIELAB-Buntton $h^* = lab^*h^* = h_{ab}/360 = 0.117$

Daten für jede Farbe:

lab^*tch^* und lab^*icu^*

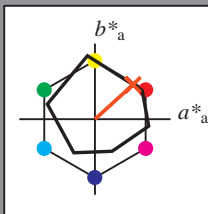
Bunttontexte:

$u^*_e = r25j$ $u^*_d = o17y$

Kontrastreduzierungsfaktor:

$c_R = 0.96$

Dreiecks-Helligkeit t^*



ORS20_95a; adaptierte CIELAB-Daten

u^*_e	$L^*=L^*_a$	a^*_a	b^*_a	$C^*_{ab,a}$	$h^*_{ab,a}$
O _{Ma}	48.71	62.56	37.91	73.15	31
Y _{Ma}	89.25	-9.92	83.91	84.49	97
L _{Ma}	52.5	-62.91	19.95	66.0	162
C _{Ma}	59.15	-27.87	-44.43	52.45	238
V _{Ma}	29.13	22.73	-42.44	48.14	298
M _{Ma}	49.51	71.08	-9.19	71.67	353
N _{Ma}	20.0	0.0	0.0	0.0	0
W _{Ma}	95.0	0.0	0.0	0.0	0
R _{Ma}	39.92	58.74	27.99	65.07	25
J _{Ma}	81.26	-2.89	71.56	71.62	92
G _{Ma}	52.23	-42.42	13.6	44.55	162
B _{Ma}	30.57	1.41	-46.47	46.49	272

Daten für Maximalfarbe (Ma):

$LAB^*LAB^*_{Ma}$: 56 50 46

$LAB^*LCH^*_{Ma}$: 56 68 42

$lab^*rgb^*_{Ma}$: 1.0 0.25 0.0

$lab^*olv^*_{Ma}$: 1.0 0.17 0.0

Dreiecks-Helligkeit t^*

%Umfang

$u^*_{rel} = 83$

%Regularität

$g^*_{H,rel} = 72$

$g^*_{C,rel} = 57$

ORS20_95a; adaptierte CIELAB-Daten

u^*_e	$L^*=L^*_a$	a^*_a	b^*_a	$C^*_{ab,a}$	$h^*_{ab,a}$	u^*_d
r00j	48.83	63.91	30.45	70.79	25	m84o
r25j	55.53	50.37	45.65	67.97	42	o17y
r50j	64.76	33.86	56.12	65.55	59	o42y
r75j	74.12	17.13	66.74	68.9	76	o67y
j00g	85.5	-3.22	79.65	79.72	92	o92y
j25g	79.45	-24.05	66.85	71.04	110	y20l
j50g	69.75	-38.03	49.98	62.8	127	y46l
j75g	61.38	-50.1	35.41	61.35	145	y72l
g00b	52.6	-62.77	20.12	65.92	162	y99l
g25b	55.39	-47.66	-8.06	48.34	190	l36c
g50b	57.43	-36.92	-27.8	46.22	217	l72c
g75b	55.19	-21.2	-44.17	48.99	244	c11v
b00r	41.84	1.31	-43.28	43.3	272	c56v
b25r	29.72	24.12	-41.48	47.98	300	v04m
b50r	38.41	44.74	-27.3	52.41	329	v55m
b75r	49.41	70.07	-3.62	70.16	357	m11o

lab^*rgb^*

$i^* = 1.00$

Brillantheit i^*

$i^* = 0.80$

$i^* = 0.60$

$i^* = 0.40$

$i^* = 0.20$

$i^* = 0.00$

relative Buntheit c^*

Ein und Ausgabe: Farbmetrisches Drucker-Reflexiv-System ORS20_95a für relativen CIELAB-Buntton $h^* = lab^*h^* = h_{ab}/360 = 0.164$

Daten für jede Farbe:

lab^*tch^* und lab^*icu^*

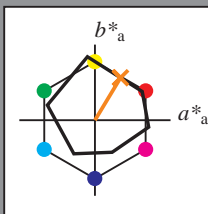
Bunttontexte:

$u^*_e = r50j$ $u^*_d = o42y$

Kontrastreduzierungsfaktor:

$c_R = 0.96$

Dreiecks-Helligkeit t^*



ORS20_95a; adaptierte CIELAB-Daten

	u^*_e	$L^*=L^*_a$	a^*_a	b^*_a	$C^*_{ab,a}$	$h^*_{ab,a}$
O _{Ma}	48.71	62.56	37.91	73.15	31	
Y _{Ma}	89.25	-9.92	83.91	84.49	97	
L _{Ma}	52.5	-62.91	19.95	66.0	162	
C _{Ma}	59.15	-27.87	-44.43	52.45	238	
V _{Ma}	29.13	22.73	-42.44	48.14	298	
M _{Ma}	49.51	71.08	-9.19	71.67	353	
N _{Ma}	20.0	0.0	0.0	0.0	0	
W _{Ma}	95.0	0.0	0.0	0.0	0	
R _{Ma}	39.92	58.74	27.99	65.07	25	
J _{Ma}	81.26	-2.89	71.56	71.62	92	
G _{Ma}	52.23	-42.42	13.6	44.55	162	
B _{Ma}	30.57	1.41	-46.47	46.49	272	

Daten für Maximalfarbe (Ma):

$LAB^*LAB^*_{Ma}$: 65 34 56

$LAB^*LCH^*_{Ma}$: 65 66 58

$lab^*rgb^*_{Ma}$: 1.0 0.5 0.0

$lab^*olv^*_{Ma}$: 1.0 0.42 0.0

Dreiecks-Helligkeit t^*

%Umfang

$u^*_{rel} = 83$

%Regularität

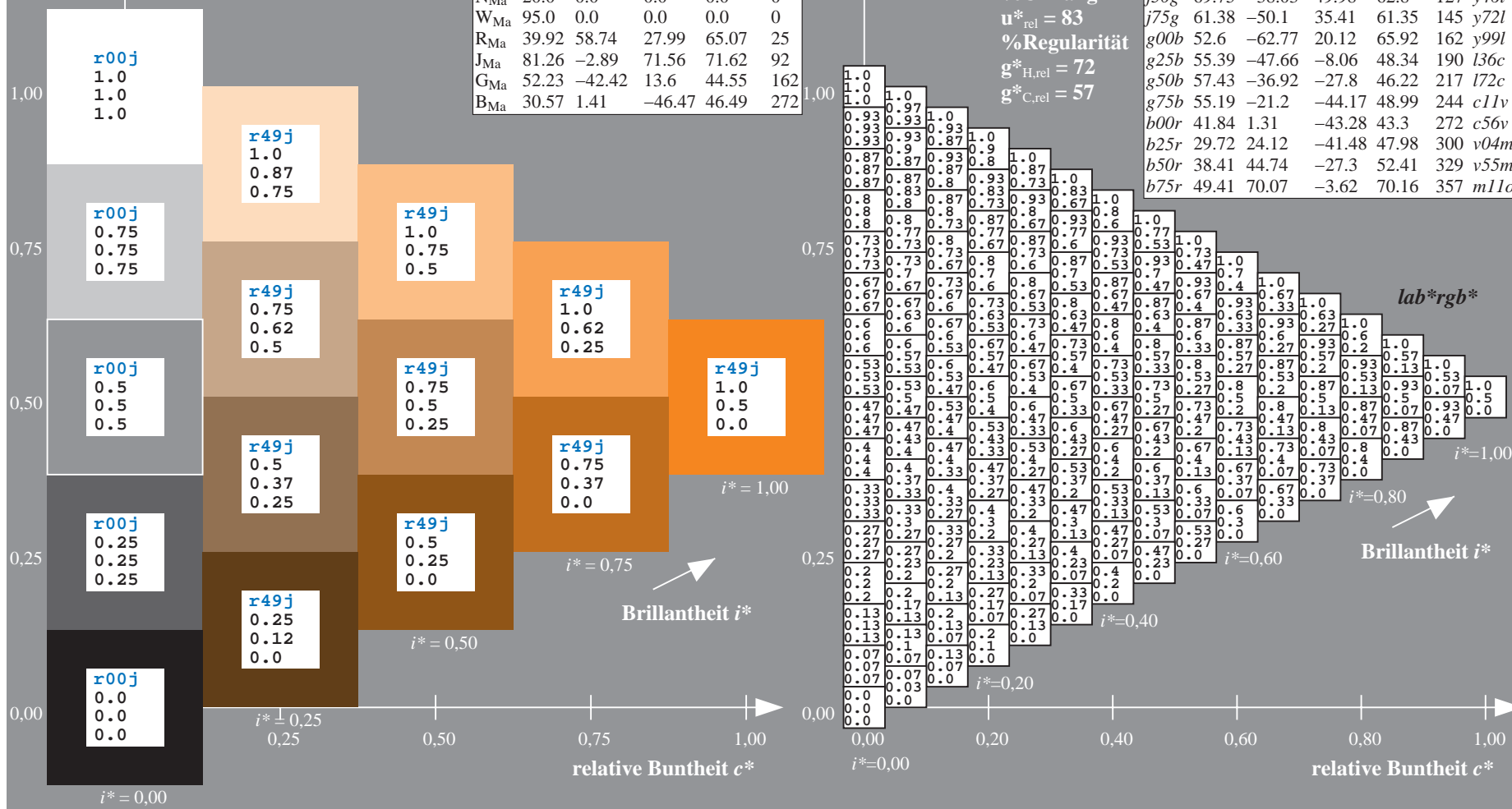
$g^*_{H,rel} = 72$

$g^*_{C,rel} = 57$

$u^*_e = r50j$
 lab^*rgb^*

ORS20_95a; adaptierte CIELAB-Daten

	u^*_e	$L^*=L^*_a$	a^*_a	b^*_a	$C^*_{ab,a}$	$h^*_{ab,a}$	u^*_d
r00j	48.83	63.91	30.45	70.79	25	m84o	
r25j	55.53	50.37	45.65	67.97	42	o17y	
r50j	64.76	33.86	56.12	65.55	59	o42y	
r75j	74.12	17.13	66.74	68.9	76	o67y	
j00g	85.5	-3.22	79.65	79.72	92	o92y	
j25g	79.45	-24.05	66.85	71.04	110	y20l	
j50g	69.75	-38.03	49.98	62.8	127	y46l	
j75g	61.38	-50.1	35.41	61.35	145	y72l	
g00b	52.6	-62.77	20.12	65.92	162	y99l	
g25b	55.39	-47.66	-8.06	48.34	190	l36c	
g50b	57.43	-36.92	-27.8	46.22	217	l72c	
g75b	55.19	-21.2	-44.17	48.99	244	c11v	
b00r	41.84	1.31	-43.28	43.3	272	c56v	
b25r	29.72	24.12	-41.48	47.98	300	v04m	
b50r	38.41	44.74	-27.3	52.41	329	v55m	
b75r	49.41	70.07	-3.62	70.16	357	m11o	



Ein und Ausgabe: Farbmetrisches Drucker-Reflektiv-System ORS20_95a für relativen CIELAB-Buntton $h^* = lab^*h^* = h_{ab}/360 = 0.21$

Daten für jede Farbe:

lab^*tch^* und lab^*icu^*

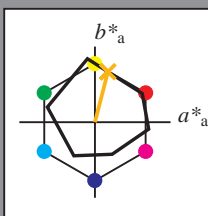
Bunttontexte:

$u^*_e = r75j$ $u^*_d = o67y$

Kontrastreduzierungsfaktor:

$c_R = 0.96$

Dreiecks-Helligkeit i^*



ORS20_95a; adaptierte CIELAB-Daten						
u^*_e	$L^*=L^*_a$	a^*_a	b^*_a	$C^*_{ab,a}$	$h^*_{ab,a}$	
O _{Ma}	48.71	62.56	37.91	73.15	31	
Y _{Ma}	89.25	-9.92	83.91	84.49	97	
L _{Ma}	52.5	-62.91	19.95	66.0	162	
C _{Ma}	59.15	-27.87	-44.43	52.45	238	
V _{Ma}	29.13	22.73	-42.44	48.14	298	
M _{Ma}	49.51	71.08	-9.19	71.67	353	
N _{Ma}	20.0	0.0	0.0	0.0	0	
W _{Ma}	95.0	0.0	0.0	0.0	0	
R _{Ma}	39.92	58.74	27.99	65.07	25	
J _{Ma}	81.26	-2.89	71.56	71.62	92	
G _{Ma}	52.23	-42.42	13.6	44.55	162	
B _{Ma}	30.57	1.41	-46.47	46.49	272	

Daten für Maximalfarbe (Ma):

$LAB^*LAB^*_{Ma}$: 74 17 67

$LAB^*LCH^*_{Ma}$: 74 69 75

$lab^*rgb^*_{Ma}$: 1.0 0.75 0.0

$lab^*olv^*_{Ma}$: 1.0 0.68 0.0

Dreiecks-Helligkeit i^*

%Umfang

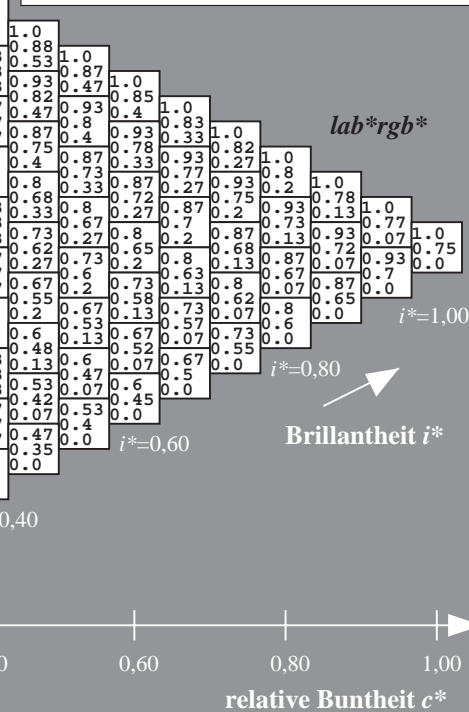
$u^*_{rel} = 83$

%Regularität

$g^*_{H,rel} = 72$

$g^*_{C,rel} = 57$

ORS20_95a; adaptierte CIELAB-Daten									
u^*_e	$L^*=L^*_a$	a^*_a	b^*_a	$C^*_{ab,a}$	$h^*_{ab,a}$	u^*_d			
r00j	48.83	63.91	30.45	70.79	25	m84o			
r25j	55.53	50.37	45.65	67.97	42	o17y			
r50j	64.76	33.86	56.12	65.55	59	o42y			
r75j	74.12	17.13	66.74	68.9	76	o67y			
j00g	85.5	-3.22	79.65	79.72	92	o92y			
j25g	79.45	-24.05	66.85	71.04	110	y20l			
j50g	69.75	-38.03	49.98	62.8	127	y46l			
j75g	61.38	-50.1	35.41	61.35	145	y72l			
g00b	52.6	-62.77	20.12	65.92	162	y99l			
g25b	55.39	-47.66	-8.06	48.34	190	l36c			
g50b	57.43	-36.92	-27.8	46.22	217	l72c			
g75b	55.19	-21.2	-44.17	48.99	244	c11v			
b00r	41.84	1.31	-43.28	43.3	272	c56v			
b25r	29.72	24.12	-41.48	47.98	300	v04m			
b50r	38.41	44.74	-27.3	52.41	329	v55m			
b75r	49.41	70.07	-3.62	70.16	357	m11o			



Ein und Ausgabe: Farbmetrisches Drucker-Reflektiv-System ORS20_95a für relativen CIELAB-Buntton $h^* = lab^*h^* = h_{ab}/360 = 0.256$

Daten für jede Farbe:

lab^*tch^* und lab^*icu^*

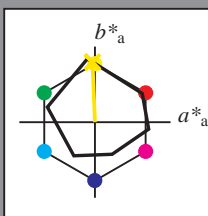
Bunttontexte:

$u^*_e = j00g$ $u^*_d = o92y$

Kontrastreduzierungsfaktor:

$c_R = 0.96$

Dreiecks-Helligkeit t^*



ORS20_95a; adaptierte CIELAB-Daten						
u^*_e	$L^*=L^*_a$	a^*_a	b^*_a	$C^*_{ab,a}$	$h^*_{ab,a}$	
O _{Ma}	48.71	62.56	37.91	73.15	31	
Y _{Ma}	89.25	-9.92	83.91	84.49	97	
L _{Ma}	52.5	-62.91	19.95	66.0	162	
C _{Ma}	59.15	-27.87	-44.43	52.45	238	
V _{Ma}	29.13	22.73	-42.44	48.14	298	
M _{Ma}	49.51	71.08	-9.19	71.67	353	
N _{Ma}	20.0	0.0	0.0	0.0	0	
W _{Ma}	95.0	0.0	0.0	0.0	0	
R _{Ma}	39.92	58.74	27.99	65.07	25	
J _{Ma}	81.26	-2.89	71.56	71.62	92	
G _{Ma}	52.23	-42.42	13.6	44.55	162	
B _{Ma}	30.57	1.41	-46.47	46.49	272	

Daten für Maximalfarbe (Ma):

$LAB^*LAB^*_{Ma}$: 86 -3 80

$LAB^*LCH^*_{Ma}$: 86 80 92

$lab^*rgb^*_{Ma}$: 1.0 1.0 0.0

$lab^*olv^*_{Ma}$: 1.0 0.93 0.0

Dreiecks-Helligkeit t^*

%Umfang

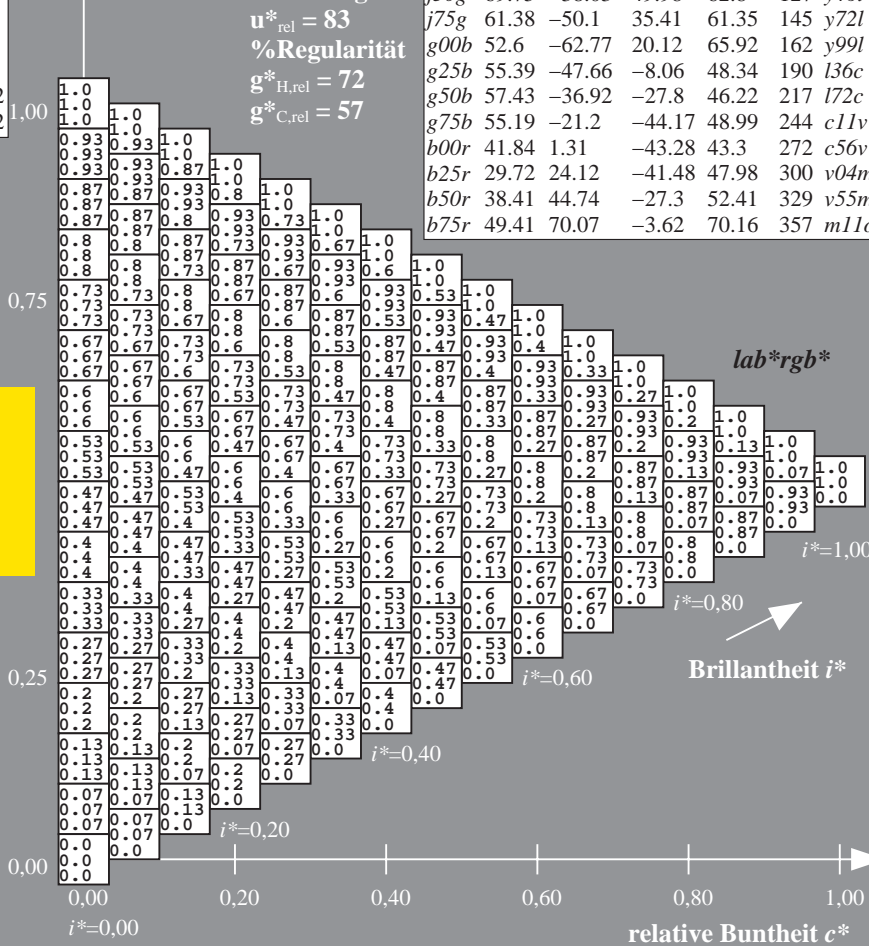
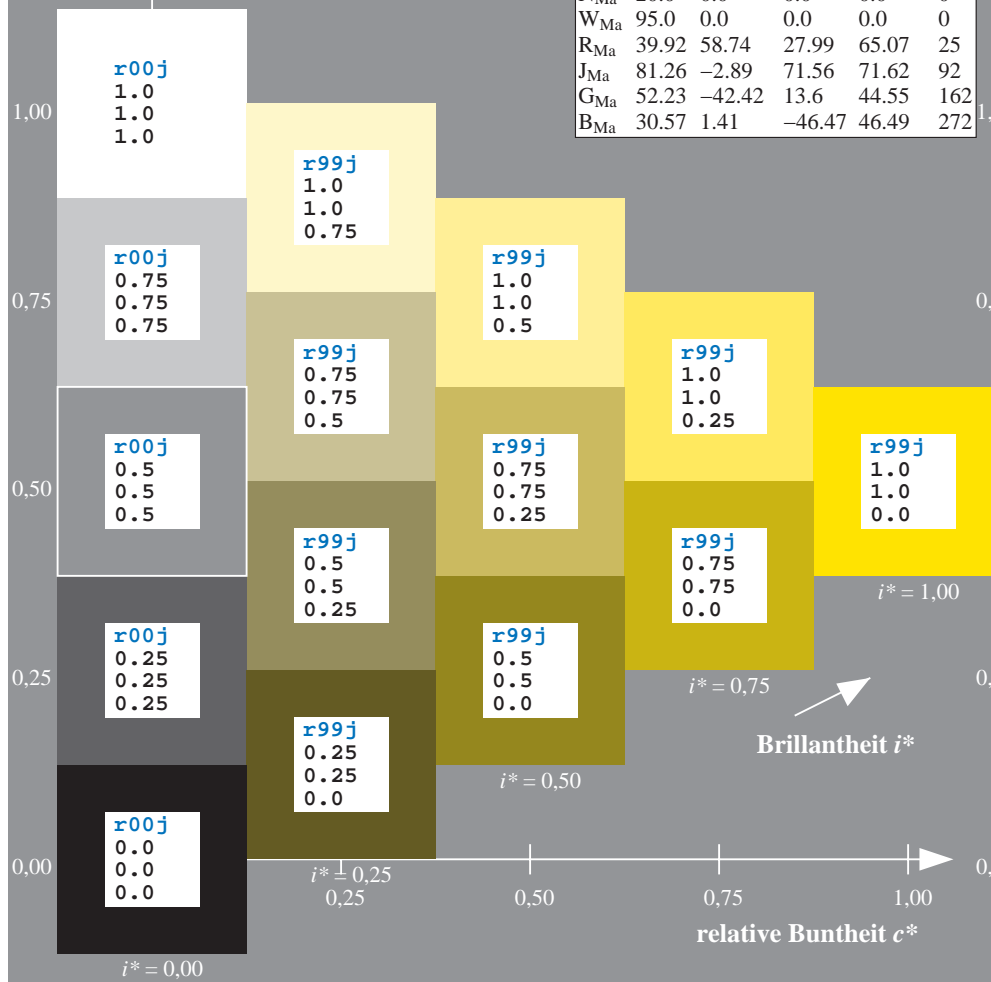
$u^*_{rel} = 83$

%Regularität

$g^*_{H,rel} = 72$

$g^*_{C,rel} = 57$

ORS20_95a; adaptierte CIELAB-Daten						
u^*_e	$L^*=L^*_a$	a^*_a	b^*_a	$C^*_{ab,a}$	$h^*_{ab,a}$	u^*_d
r00j	48.83	63.91	30.45	70.79	25	m84o
r25j	55.53	50.37	45.65	67.97	42	o17y
r50j	64.76	33.86	56.12	65.55	59	o42y
r75j	74.12	17.13	66.74	68.9	76	o67y
j00g	85.5	-3.22	79.65	79.72	92	o92y
j25g	79.45	-24.05	66.85	71.04	110	y20l
j50g	69.75	-38.03	49.98	62.8	127	y46l
j75g	61.38	-50.1	35.41	61.35	145	y72l
g00b	52.6	-62.77	20.12	65.92	162	y99l
g25b	55.39	-47.66	-8.06	48.34	190	l36c
g50b	57.43	-36.92	-27.8	46.22	217	l72c
g75b	55.19	-21.2	-44.17	48.99	244	c11v
b00r	41.84	1.31	-43.28	43.3	272	c56v
b25r	29.72	24.12	-41.48	47.98	300	v04m
b50r	38.41	44.74	-27.3	52.41	329	v55m
b75r	49.41	70.07	-3.62	70.16	357	m11o



Ein und Ausgabe: Farbmetrisches Drucker-Reflektiv-System ORS20_95a für relativen CIELAB-Buntton $h^* = lab^*h^* = h_{ab}/360 = 0.305$

Daten für jede Farbe:

lab^*tch^* und lab^*icu^*

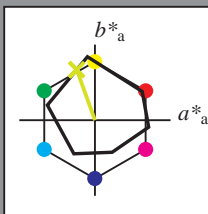
Bunttontexte:

$u^*_e = j25g$ $u^*_d = y20l$

Kontrastreduzierungsfaktor:

$c_R = 0.96$

Dreiecks-Helligkeit i^*



ORS20_95a; adaptierte CIELAB-Daten						
	u^*_e	$L^*=L^*_a$	a^*_a	b^*_a	$C^*_{ab,a}$	$h^*_{ab,a}$
O _{Ma}	48.71	62.56	37.91	73.15	31	
Y _{Ma}	89.25	-9.92	83.91	84.49	97	
L _{Ma}	52.5	-62.91	19.95	66.0	162	
C _{Ma}	59.15	-27.87	-44.43	52.45	238	
V _{Ma}	29.13	22.73	-42.44	48.14	298	
M _{Ma}	49.51	71.08	-9.19	71.67	353	
N _{Ma}	20.0	0.0	0.0	0.0	0	
W _{Ma}	95.0	0.0	0.0	0.0	0	
R _{Ma}	39.92	58.74	27.99	65.07	25	
J _{Ma}	81.26	-2.89	71.56	71.62	92	
G _{Ma}	52.23	-42.42	13.6	44.55	162	
B _{Ma}	30.57	1.41	-46.47	46.49	272	

Daten für Maximalfarbe (Ma):

$LAB^*LAB^*_{Ma}$: 79 -24 67

$LAB^*LCH^*_{Ma}$: 79 71 109

$lab^*rgb^*_{Ma}$: 0.75 1.0 0.0

$lab^*olv^*_{Ma}$: 0.8 1.0 0.0

Dreiecks-Helligkeit i^*

%Umfang

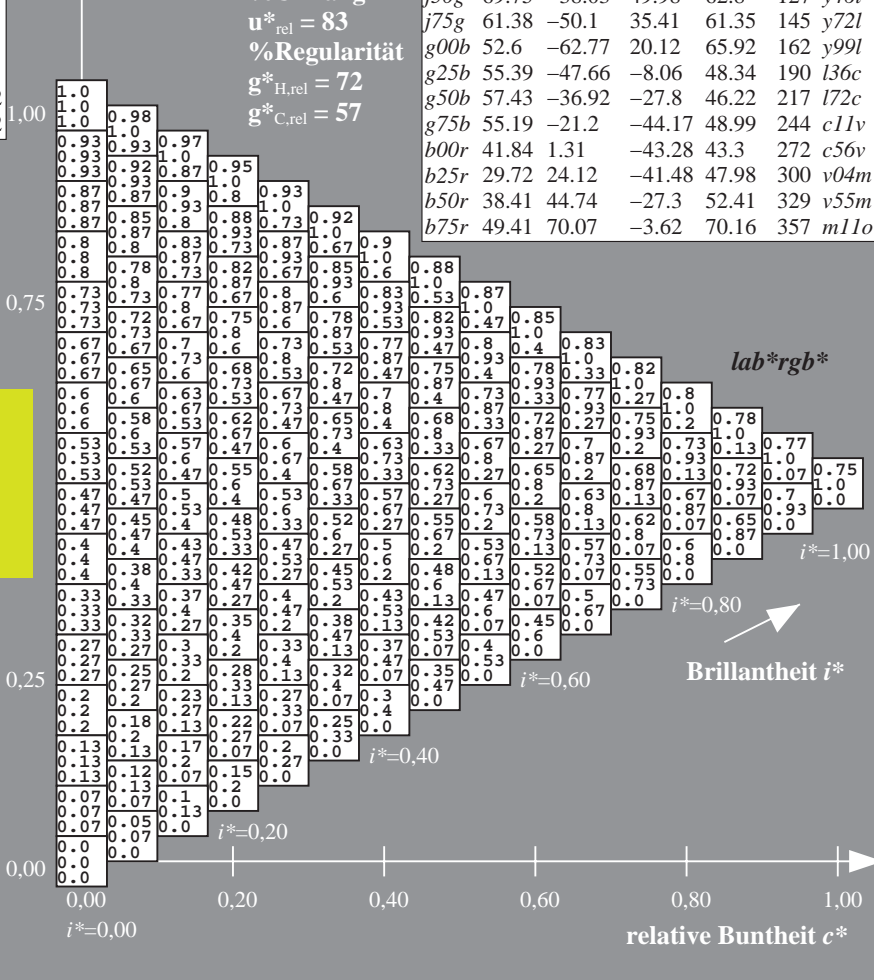
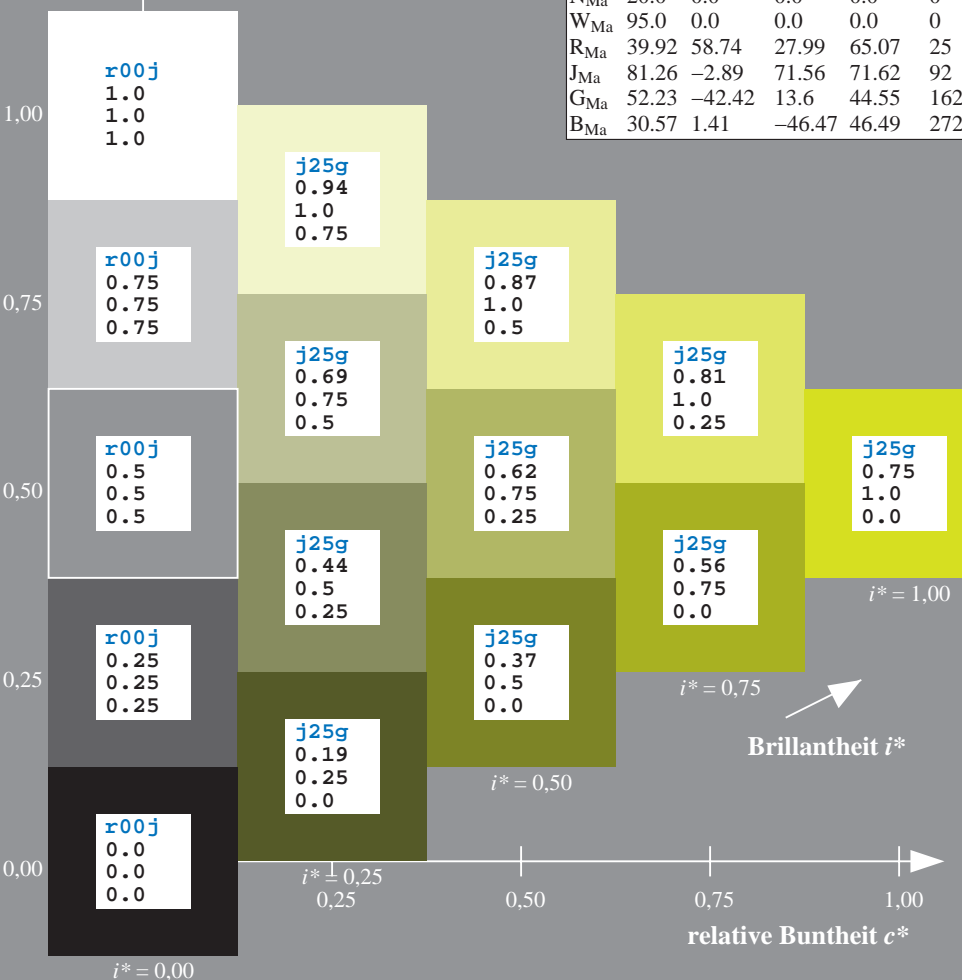
$u^*_{rel} = 83$

%Regularität

$g^*_{H,rel} = 72$

$g^*_{C,rel} = 57$

ORS20_95a; adaptierte CIELAB-Daten						
	u^*_e	$L^*=L^*_a$	a^*_a	b^*_a	$C^*_{ab,a}$	$h^*_{ab,a}$
r00j	48.83	63.91	30.45	70.79	25	m84o
r25j	55.53	50.37	45.65	67.97	42	o17y
r50j	64.76	33.86	56.12	65.55	59	o42y
r75j	74.12	17.13	66.74	68.9	76	o67y
j00g	85.5	-3.22	79.65	79.72	92	o92y
j25g	79.45	-24.05	66.85	71.04	110	y20l
j50g	69.75	-38.03	49.98	62.8	127	y46l
j75g	61.38	-50.1	35.41	61.35	145	y72l
g00b	52.6	-62.77	20.12	65.92	162	y99l
g25b	55.39	-47.66	-8.06	48.34	190	l36c
g50b	57.43	-36.92	-27.8	46.22	217	l72c
g75b	55.19	-21.2	-44.17	48.99	244	c11v
b00r	41.84	1.31	-43.28	43.3	272	c56v
b25r	29.72	24.12	-41.48	47.98	300	v04m
b50r	38.41	44.74	-27.3	52.41	329	v55m
b75r	49.41	70.07	-3.62	70.16	357	m11o



Ein und Ausgabe: Farbmetrisches Drucker-Reflexiv-System ORS20_95a für relativen CIELAB-Buntton $h^* = lab^*h^* = h_{ab}/360 = 0.354$

Daten für jede Farbe:

lab^*tch^* und lab^*icu^*

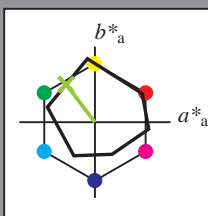
Bunttontexte:

$u^*_e = j50g$ $u^*_d = y46l$

Kontrastreduzierungsfaktor:

$c_R = 0.96$

Dreiecks-Helligkeit i^*



ORS20_95a; adaptierte CIELAB-Daten						
	u^*_e	$L^*=L^*_a$	a^*_a	b^*_a	$C^*_{ab,a}$	$h^*_{ab,a}$
O _{Ma}	48.71	62.56	37.91	73.15	31	
Y _{Ma}	89.25	-9.92	83.91	84.49	97	
L _{Ma}	52.5	-62.91	19.95	66.0	162	
C _{Ma}	59.15	-27.87	-44.43	52.45	238	
V _{Ma}	29.13	22.73	-42.44	48.14	298	
M _{Ma}	49.51	71.08	-9.19	71.67	353	
N _{Ma}	20.0	0.0	0.0	0.0	0	
W _{Ma}	95.0	0.0	0.0	0.0	0	
R _{Ma}	39.92	58.74	27.99	65.07	25	
J _{Ma}	81.26	-2.89	71.56	71.62	92	
G _{Ma}	52.23	-42.42	13.6	44.55	162	
B _{Ma}	30.57	1.41	-46.47	46.49	272	

Daten für Maximalfarbe (Ma):

$LAB^*LAB^*_{Ma}$: 70 -38 50

$LAB^*LCH^*_{Ma}$: 70 63 127

$lab^*rgb^*_{Ma}$: 0.5 1.0 0.0

$lab^*olv^*_{Ma}$: 0.54 1.0 0.0

Dreiecks-Helligkeit i^*

%Umfang

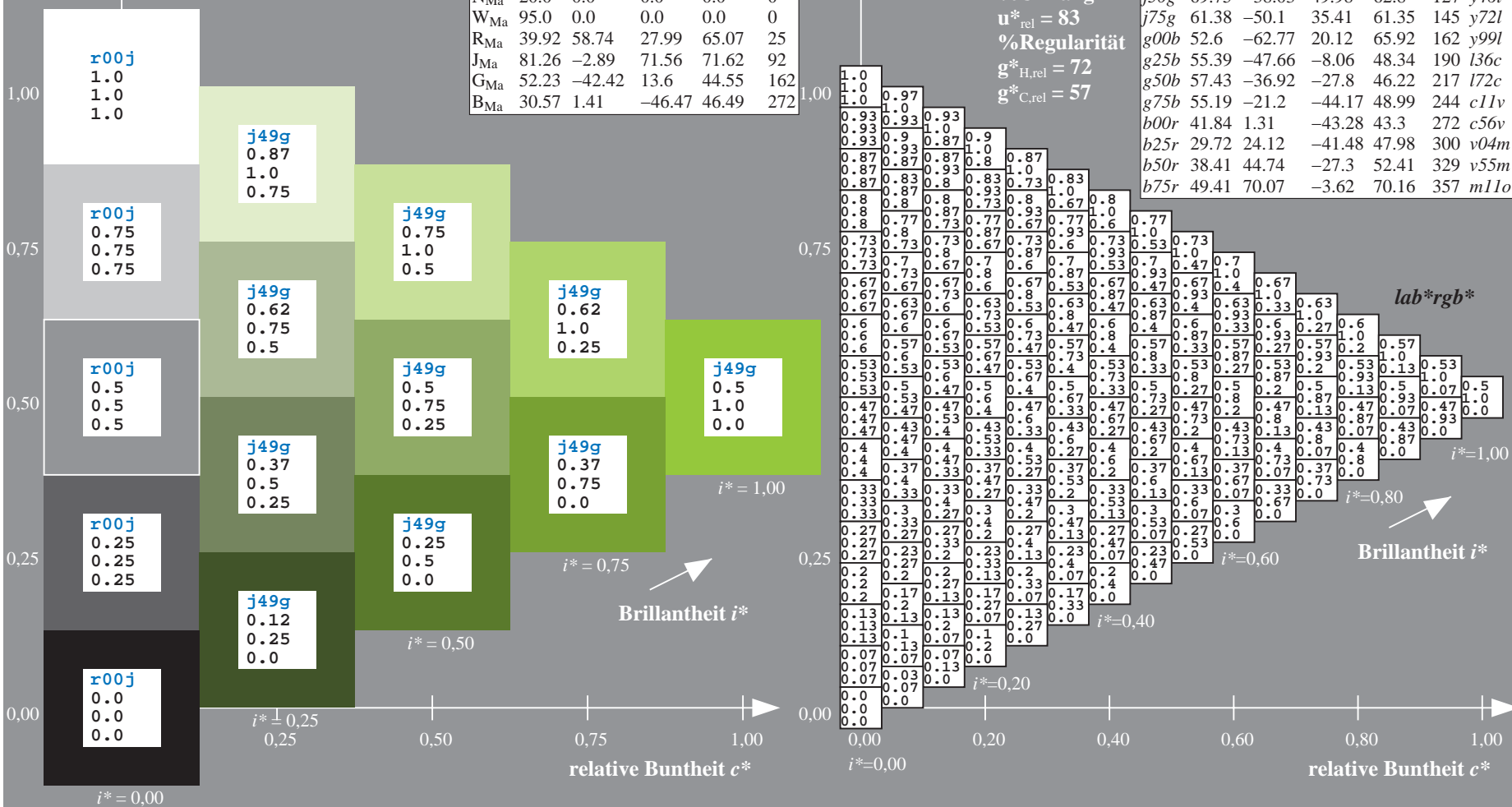
$u^*_{rel} = 83$

%Regularität

$g^*_{H,rel} = 72$

$g^*_{C,rel} = 57$

ORS20_95a; adaptierte CIELAB-Daten						
	u^*_e	$L^*=L^*_a$	a^*_a	b^*_a	$C^*_{ab,a}$	$h^*_{ab,a}$
r00j	48.83	63.91	30.45	70.79	25	m84o
r25j	55.53	50.37	45.65	67.97	42	o17y
r50j	64.76	33.86	56.12	65.55	59	o42y
r75j	74.12	17.13	66.74	68.9	76	o67y
j00g	85.5	-3.22	79.65	79.72	92	o92y
j25g	79.45	-24.05	66.85	71.04	110	y20l
j50g	69.75	-38.03	49.98	62.8	127	y46l
j75g	61.38	-50.1	35.41	61.35	145	y72l
g00b	52.6	-62.77	20.12	65.92	162	y99l
g25b	55.39	-47.66	-8.06	48.34	190	l36c
g50b	57.43	-36.92	-27.8	46.22	217	l72c
g75b	55.19	-21.2	-44.17	48.99	244	c11v
b00r	41.84	1.31	-43.28	43.3	272	c56v
b25r	29.72	24.12	-41.48	47.98	300	v04m
b50r	38.41	44.74	-27.3	52.41	329	v55m
b75r	49.41	70.07	-3.62	70.16	357	m11o



Ein und Ausgabe: Farbmetrisches Drucker-Reflektiv-System ORS20_95a für relativen CIELAB-Buntton $h^* = lab^*h^* = h_{ab}/360 = 0.402$

Daten für jede Farbe:

lab^*ch^* und lab^*icu^*

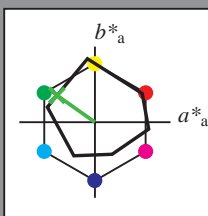
Bunttontexte:

$u^*_e = j75g$ $u^*_d = y72l$

Kontrastreduzierungsfaktor:

$c_R = 0.96$

Dreiecks-Helligkeit i^*



ORS20_95a; adaptierte CIELAB-Daten						
	u^*_e	$L^*=L^*_a$	a^*_a	b^*_a	$C^*_{ab,a}$	$h^*_{ab,a}$
O _{Ma}	48.71	62.56	37.91	73.15	31	
Y _{Ma}	89.25	-9.92	83.91	84.49	97	
L _{Ma}	52.5	-62.91	19.95	66.0	162	
C _{Ma}	59.15	-27.87	-44.43	52.45	238	
V _{Ma}	29.13	22.73	-42.44	48.14	298	
M _{Ma}	49.51	71.08	-9.19	71.67	353	
N _{Ma}	20.0	0.0	0.0	0.0	0	
W _{Ma}	95.0	0.0	0.0	0.0	0	
R _{Ma}	39.92	58.74	27.99	65.07	25	
J _{Ma}	81.26	-2.89	71.56	71.62	92	
G _{Ma}	52.23	-42.42	13.6	44.55	162	
B _{Ma}	30.57	1.41	-46.47	46.49	272	

Daten für Maximalfarbe (Ma):

$LAB^*LAB^*_{Ma}$: 61 -50 35

$LAB^*LCH^*_{Ma}$: 61 61 144

$lab^*rgb^*_{Ma}$: 0.25 1.0 0.0

$lab^*olv^*_{Ma}$: 0.27 1.0 0.0

Dreiecks-Helligkeit i^*

%Umfang

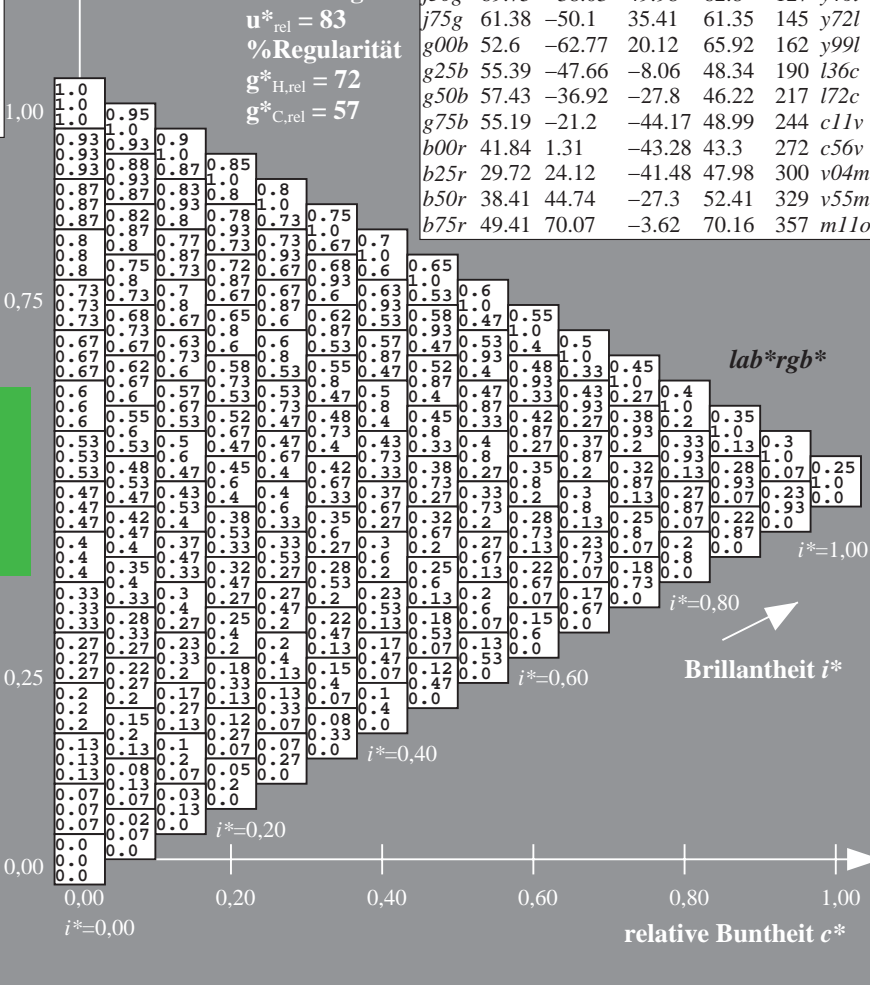
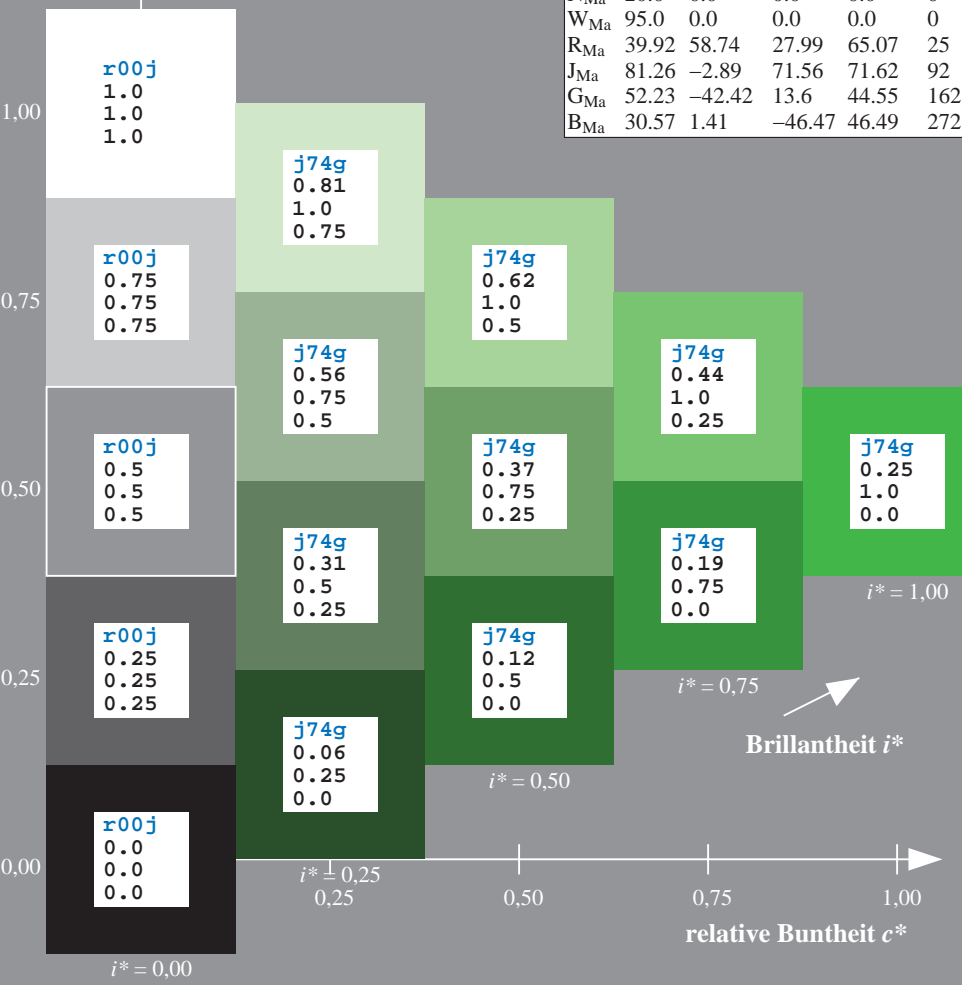
$u^*_{rel} = 83$

%Regularität

$g^*_{H,rel} = 72$

$g^*_{C,rel} = 57$

ORS20_95a; adaptierte CIELAB-Daten						
	u^*_e	$L^*=L^*_a$	a^*_a	b^*_a	$C^*_{ab,a}$	$h^*_{ab,a}$
r00j	48.83	63.91	30.45	70.79	25	m84o
r25j	55.53	50.37	45.65	67.97	42	o17y
r50j	64.76	33.86	56.12	65.55	59	o42y
r75j	74.12	17.13	66.74	68.9	76	o67y
j00g	85.5	-3.22	79.65	79.72	92	o92y
j25g	79.45	-24.05	66.85	71.04	110	y20l
j50g	69.75	-38.03	49.98	62.8	127	y46l
j75g	61.38	-50.1	35.41	61.35	145	y72l
g00b	52.6	-62.77	20.12	65.92	162	y99l
g25b	55.39	-47.66	-8.06	48.34	190	l36c
g50b	57.43	-36.92	-27.8	46.22	217	l72c
g75b	55.19	-21.2	-44.17	48.99	244	c11v
b00r	41.84	1.31	-43.28	43.3	272	c56v
b25r	29.72	24.12	-41.48	47.98	300	v04m
b50r	38.41	44.74	-27.3	52.41	329	v55m
b75r	49.41	70.07	-3.62	70.16	357	m11o



Ein und Ausgabe: Farbmetrisches Drucker-Reflektiv-System ORS20_95a für relativen CIELAB-Buntton $h^* = lab^*h^* = h_{ab}/360 = 0.451$

Daten für jede Farbe:

lab^*tch^* und lab^*icu^*

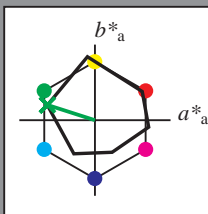
Bunttontexte:

$u^*_e = g00b$ $u^*_d = y99l$

Kontrastreduzierungsfaktor:

$c_R = 0.96$

Dreiecks-Helligkeit i^*



ORS20_95a; adaptierte CIELAB-Daten						
u^*_e	$L^*=L^*_a$	a^*_a	b^*_a	$C^*_{ab,a}$	$h^*_{ab,a}$	
O _{Ma}	48.71	62.56	37.91	73.15	31	
Y _{Ma}	89.25	-9.92	83.91	84.49	97	
L _{Ma}	52.5	-62.91	19.95	66.0	162	
C _{Ma}	59.15	-27.87	-44.43	52.45	238	
V _{Ma}	29.13	22.73	-42.44	48.14	298	
M _{Ma}	49.51	71.08	-9.19	71.67	353	
N _{Ma}	20.0	0.0	0.0	0.0	0	
W _{Ma}	95.0	0.0	0.0	0.0	0	
R _{Ma}	39.92	58.74	27.99	65.07	25	
J _{Ma}	81.26	-2.89	71.56	71.62	92	
G _{Ma}	52.23	-42.42	13.6	44.55	162	
B _{Ma}	30.57	1.41	-46.47	46.49	272	

Daten für Maximalfarbe (Ma):

$LAB^*LAB^*_{Ma}$: 53 -63 20

$LAB^*LCH^*_{Ma}$: 53 66 162

$lab^*rgb^*_{Ma}$: 0.0 1.0 0.0

$lab^*olv^*_{Ma}$: 0.0 1.0 0.0

Dreiecks-Helligkeit i^*

%Umfang

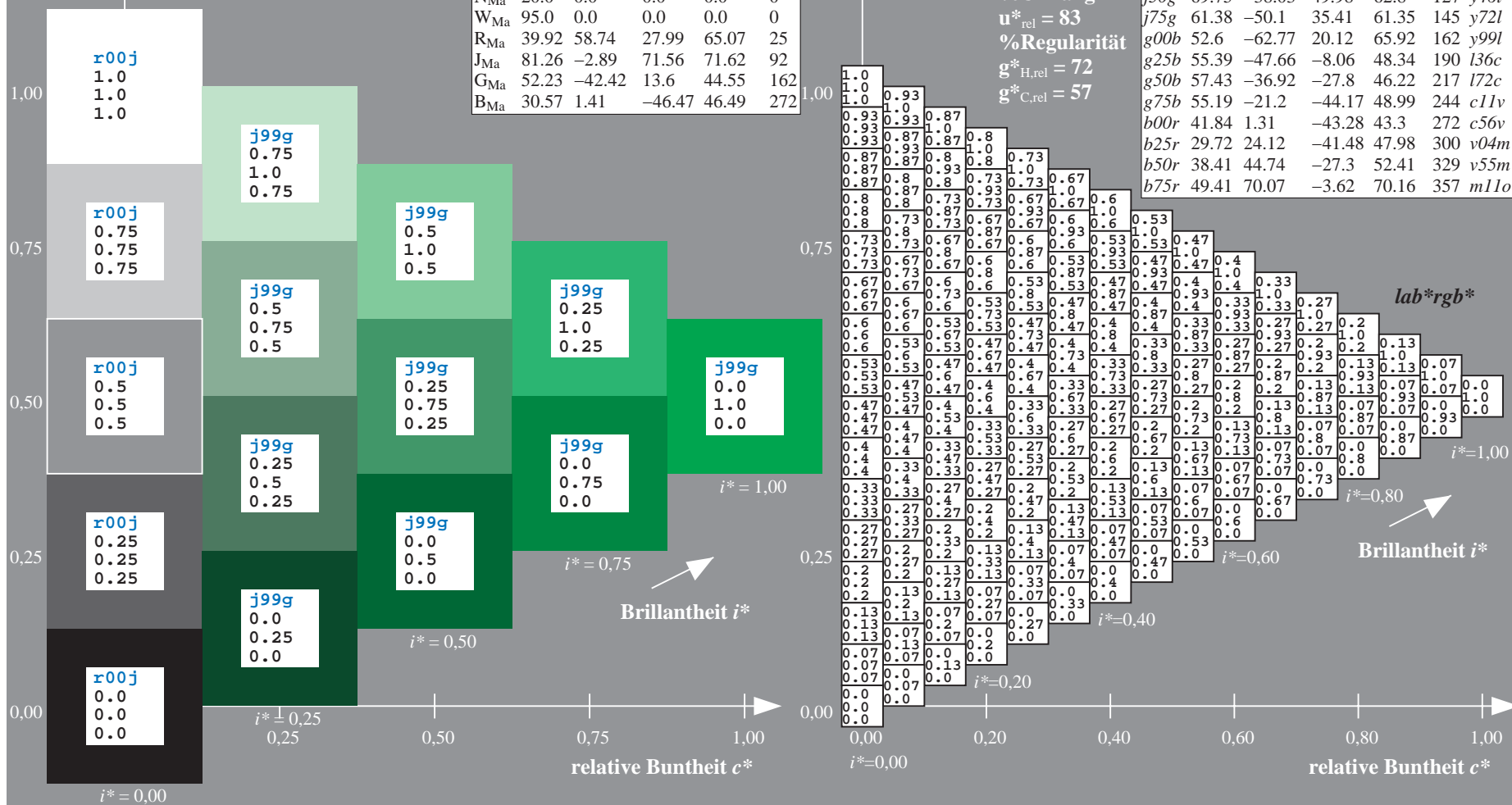
$u^*_{rel} = 83$

%Regularität

$g^*_{H,rel} = 72$

$g^*_{C,rel} = 57$

ORS20_95a; adaptierte CIELAB-Daten						
u^*_e	$L^*=L^*_a$	a^*_a	b^*_a	$C^*_{ab,a}$	$h^*_{ab,a}$	u^*_d
r00j	48.83	63.91	30.45	70.79	25	m84o
r25j	55.53	50.37	45.65	67.97	42	o17y
r50j	64.76	33.86	56.12	65.55	59	o42y
r75j	74.12	17.13	66.74	68.9	76	o67y
j00g	85.5	-3.22	79.65	79.72	92	o92y
j25g	79.45	-24.05	66.85	71.04	110	y20l
j50g	69.75	-38.03	49.98	62.8	127	y46l
j75g	61.38	-50.1	35.41	61.35	145	y72l
g00b	52.6	-62.77	20.12	65.92	162	y99l
g25b	55.39	-47.66	-8.06	48.34	190	l36c
g50b	57.43	-36.92	-27.8	46.22	217	l72c
g75b	55.19	-21.2	-44.17	48.99	244	c11v
b00r	41.84	1.31	-43.28	43.3	272	c56v
b25r	29.72	24.12	-41.48	47.98	300	v04m
b50r	38.41	44.74	-27.3	52.41	329	v55m
b75r	49.41	70.07	-3.62	70.16	357	m11o



Ein und Ausgabe: Farbmetrisches Drucker-Reflektiv-System ORS20_95a für relativen CIELAB-Buntton $h^* = lab^*h^* = h_{ab}/360 = 0.527$

Daten für jede Farbe:

lab^*ch^* und lab^*icu^*

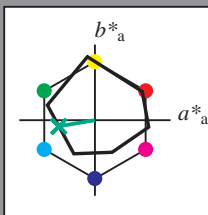
Bunttontexte:

$u^*_e = g25b$ $u^*_d = l36c$

Kontrastreduzierungsfaktor:

$c_R = 0.96$

Dreiecks-Helligkeit i^*



ORS20_95a; adaptierte CIELAB-Daten

u^*_e	$L^*=L^*_a$	a^*_a	b^*_a	$C^*_{ab,a}$	$h^*_{ab,a}$
O _{Ma}	48.71	62.56	37.91	73.15	31
Y _{Ma}	89.25	-9.92	83.91	84.49	97
L _{Ma}	52.5	-62.91	19.95	66.0	162
C _{Ma}	59.15	-27.87	-44.43	52.45	238
V _{Ma}	29.13	22.73	-42.44	48.14	298
M _{Ma}	49.51	71.08	-9.19	71.67	353
N _{Ma}	20.0	0.0	0.0	0.0	0
W _{Ma}	95.0	0.0	0.0	0.0	0
R _{Ma}	39.92	58.74	27.99	65.07	25
J _{Ma}	81.26	-2.89	71.56	71.62	92
G _{Ma}	52.23	-42.42	13.6	44.55	162
B _{Ma}	30.57	1.41	-46.47	46.49	272

Daten für Maximalfarbe (Ma):

$LAB^*LAB^*_{Ma}$: 55 -48 -8

$LAB^*LCH^*_{Ma}$: 55 48 189

$lab^*rgb^*_{Ma}$: 0.0 1.0 0.5

$lab^*olv^*_{Ma}$: 0.0 1.0 0.36

Dreiecks-Helligkeit i^*

%Umfang

$u^*_{rel} = 83$

%Regularität

$g^*_{H,rel} = 72$

$g^*_{C,rel} = 57$

ORS20_95a; adaptierte CIELAB-Daten

u^*_e	$L^*=L^*_a$	a^*_a	b^*_a	$C^*_{ab,a}$	$h^*_{ab,a}$	u^*_d
r00j	48.83	63.91	30.45	70.79	25	m84o
r25j	55.53	50.37	45.65	67.97	42	o17y
r50j	64.76	33.86	56.12	65.55	59	o42y
r75j	74.12	17.13	66.74	68.9	76	o67y
j00g	85.5	-3.22	79.65	79.72	92	o92y
j25g	79.45	-24.05	66.85	71.04	110	y20l
j50g	69.75	-38.03	49.98	62.8	127	y46l
j75g	61.38	-50.1	35.41	61.35	145	y72l
g00b	52.6	-62.77	20.12	65.92	162	y99l
g25b	55.39	-47.66	-8.06	48.34	190	l36c
g50b	57.43	-36.92	-27.8	46.22	217	l72c
g75b	55.19	-21.2	-44.17	48.99	244	c11v
b00r	41.84	1.31	-43.28	43.3	272	c56v
b25r	29.72	24.12	-41.48	47.98	300	v04m
b50r	38.41	44.74	-27.3	52.41	329	v55m
b75r	49.41	70.07	-3.62	70.16	357	m11o

lab^*rgb^*

$i^* = 1.00$

Brillantheit i^*

$i^* = 0.80$

$i^* = 0.60$

$i^* = 0.40$

$i^* = 0.20$

$i^* = 0.00$

Ein und Ausgabe: Farbmetrisches Drucker-Reflektiv-System ORS20_95a für relativen CIELAB-Buntton $h^* = lab^*h^* = h_{ab}/360 = 0.603$

Daten für jede Farbe:

lab^*tch^* und lab^*icu^*

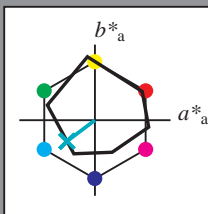
Bunttontexte:

$u^*_e = g50b$ $u^*_d = l72c$

Kontrastreduzierungsfaktor:

$c_R = 0.96$

Dreiecks-Helligkeit i^*



ORS20_95a; adaptierte CIELAB-Daten						
u^*_e	$L^*=L^*_a$	a^*_a	b^*_a	$C^*_{ab,a}$	$h^*_{ab,a}$	
O _{Ma}	48.71	62.56	37.91	73.15	31	
Y _{Ma}	89.25	-9.92	83.91	84.49	97	
L _{Ma}	52.5	-62.91	19.95	66.0	162	
C _{Ma}	59.15	-27.87	-44.43	52.45	238	
V _{Ma}	29.13	22.73	-42.44	48.14	298	
M _{Ma}	49.51	71.08	-9.19	71.67	353	
N _{Ma}	20.0	0.0	0.0	0.0	0	
W _{Ma}	95.0	0.0	0.0	0.0	0	
R _{Ma}	39.92	58.74	27.99	65.07	25	
J _{Ma}	81.26	-2.89	71.56	71.62	92	
G _{Ma}	52.23	-42.42	13.6	44.55	162	
B _{Ma}	30.57	1.41	-46.47	46.49	272	

Daten für Maximalfarbe (Ma):

$LAB^*LAB^*_{Ma}$: 57 -37 -28

$LAB^*LCH^*_{Ma}$: 57 46 216

$lab^*rgb^*_{Ma}$: 0.0 1.0 1.0

$lab^*olv^*_{Ma}$: 0.0 1.0 0.72

Dreiecks-Helligkeit i^*

%Umfang

$u^*_{rel} = 83$

%Regularität

$g^*_{H,rel} = 72$

$g^*_{C,rel} = 57$

ORS20_95a; adaptierte CIELAB-Daten						
u^*_e	$L^*=L^*_a$	a^*_a	b^*_a	$C^*_{ab,a}$	$h^*_{ab,a}$	u^*_d
r00j	48.83	63.91	30.45	70.79	25	m84o
r25j	55.53	50.37	45.65	67.97	42	o17y
r50j	64.76	33.86	56.12	65.55	59	o42y
r75j	74.12	17.13	66.74	68.9	76	o67y
j00g	85.5	-3.22	79.65	79.72	92	o92y
j25g	79.45	-24.05	66.85	71.04	110	y20l
j50g	69.75	-38.03	49.98	62.8	127	y46l
j75g	61.38	-50.1	35.41	61.35	145	y72l
g00b	52.6	-62.77	20.12	65.92	162	y99l
g25b	55.39	-47.66	-8.06	48.34	190	l36c
g50b	57.43	-36.92	-27.8	46.22	217	l72c
g75b	55.19	-21.2	-44.17	48.99	244	c11v
b00r	41.84	1.31	-43.28	43.3	272	c56v
b25r	29.72	24.12	-41.48	47.98	300	v04m
b50r	38.41	44.74	-27.3	52.41	329	v55m
b75r	49.41	70.07	-3.62	70.16	357	m11o

Ein und Ausgabe: Farbmetrisches Drucker-Reflektiv-System ORS20_95a für relativen CIELAB-Buntton $h^* = lab^*h^* = h_{ab}/360 = 0.679$

Daten für jede Farbe:

lab^*tch^* und lab^*icu^*

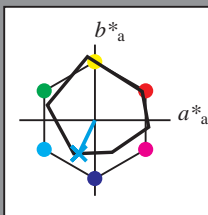
Bunttontexte:

$u^*_e = g75b$ $u^*_d = c11v$

Kontrastreduzierungsfaktor:

$c_R = 0.96$

Dreiecks-Helligkeit i^*



ORS20_95a; adaptierte CIELAB-Daten						
u^*_e	$L^*=L^*_a$	a^*_a	b^*_a	$C^*_{ab,a}$	$h^*_{ab,a}$	
O _{Ma}	48.71	62.56	37.91	73.15	31	
Y _{Ma}	89.25	-9.92	83.91	84.49	97	
L _{Ma}	52.5	-62.91	19.95	66.0	162	
C _{Ma}	59.15	-27.87	-44.43	52.45	238	
V _{Ma}	29.13	22.73	-42.44	48.14	298	
M _{Ma}	49.51	71.08	-9.19	71.67	353	
N _{Ma}	20.0	0.0	0.0	0.0	0	
W _{Ma}	95.0	0.0	0.0	0.0	0	
R _{Ma}	39.92	58.74	27.99	65.07	25	
J _{Ma}	81.26	-2.89	71.56	71.62	92	
G _{Ma}	52.23	-42.42	13.6	44.55	162	
B _{Ma}	30.57	1.41	-46.47	46.49	272	

Daten für Maximalfarbe (Ma):

$LAB^*LAB^*_{Ma}$: 55 -21 -44

$LAB^*LCH^*_{Ma}$: 55 49 244

$lab^*rgb^*_{Ma}$: 0.0 0.5 1.0

$lab^*olv^*_{Ma}$: 0.0 0.89 1.0

Dreiecks-Helligkeit i^*

%Umfang

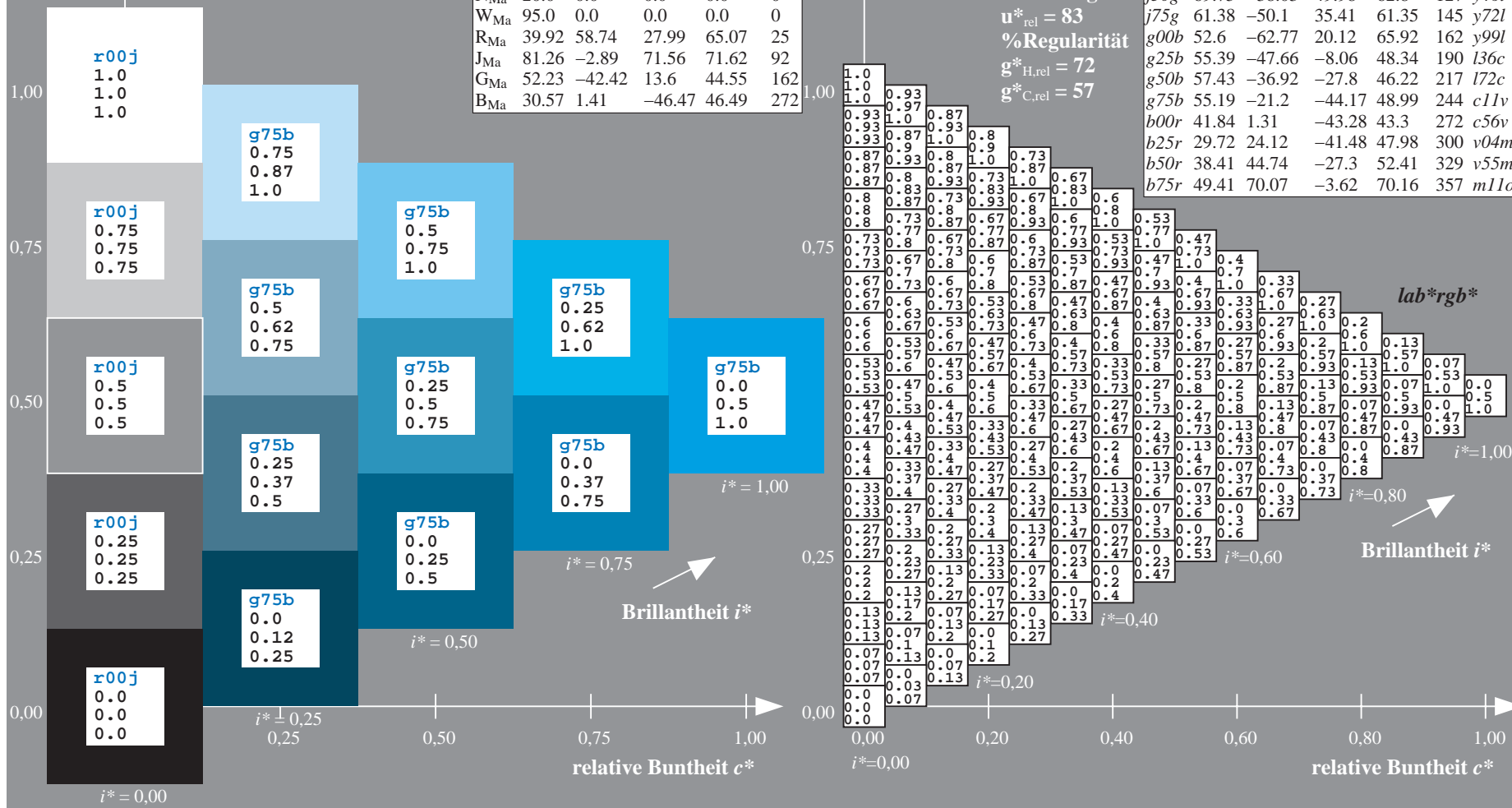
$u^*_{rel} = 83$

%Regularität

$g^*_{H,rel} = 72$

$g^*_{C,rel} = 57$

ORS20_95a; adaptierte CIELAB-Daten						
u^*_e	$L^*=L^*_a$	a^*_a	b^*_a	$C^*_{ab,a}$	$h^*_{ab,a}$	u^*_d
r00j	48.83	63.91	30.45	70.79	25	m84o
r25j	55.53	50.37	45.65	67.97	42	o17y
r50j	64.76	33.86	56.12	65.55	59	o42y
r75j	74.12	17.13	66.74	68.9	76	o67y
j00g	85.5	-3.22	79.65	79.72	92	o92y
j25g	79.45	-24.05	66.85	71.04	110	y20l
j50g	69.75	-38.03	49.98	62.8	127	y46l
j75g	61.38	-50.1	35.41	61.35	145	y72l
g00b	52.6	-62.77	20.12	65.92	162	y99l
g25b	55.39	-47.66	-8.06	48.34	190	l36c
g50b	57.43	-36.92	-27.8	46.22	217	l72c
g75b	55.19	-21.2	-44.17	48.99	244	c11v
b00r	41.84	1.31	-43.28	43.3	272	c56v
b25r	29.72	24.12	-41.48	47.98	300	v04m
b50r	38.41	44.74	-27.3	52.41	329	v55m
b75r	49.41	70.07	-3.62	70.16	357	m11o



Ein und Ausgabe: Farbmetrisches Drucker-Reflektiv-System ORS20_95a für relativen CIELAB-Buntton $h^* = lab^*h^* = h_{ab}/360 = 0.755$

Daten für jede Farbe:

lab^*tch^* und lab^*icu^*

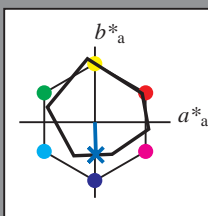
Bunttontexte:

$u^*_e = b00r$ $u^*_d = c56v$

Kontrastreduzierungsfaktor:

$c_R = 0.96$

Dreiecks-Helligkeit i^*



ORS20_95a; adaptierte CIELAB-Daten						
u^*_e	$L^*=L^*_a$	a^*_a	b^*_a	$C^*_{ab,a}$	$h^*_{ab,a}$	
O _{Ma}	48.71	62.56	37.91	73.15	31	
Y _{Ma}	89.25	-9.92	83.91	84.49	97	
L _{Ma}	52.5	-62.91	19.95	66.0	162	
C _{Ma}	59.15	-27.87	-44.43	52.45	238	
V _{Ma}	29.13	22.73	-42.44	48.14	298	
M _{Ma}	49.51	71.08	-9.19	71.67	353	
N _{Ma}	20.0	0.0	0.0	0.0	0	
W _{Ma}	95.0	0.0	0.0	0.0	0	
R _{Ma}	39.92	58.74	27.99	65.07	25	
J _{Ma}	81.26	-2.89	71.56	71.62	92	
G _{Ma}	52.23	-42.42	13.6	44.55	162	
B _{Ma}	30.57	1.41	-46.47	46.49	272	

Daten für Maximalfarbe (Ma):

$LAB^*LAB^*_{Ma}$: 42 1 -43

$LAB^*LCH^*_{Ma}$: 42 43 271

$lab^*rgb^*_{Ma}$: 0.0 0.0 1.0

$lab^*olv^*_{Ma}$: 0.0 0.44 1.0

Dreiecks-Helligkeit i^*

%Umfang

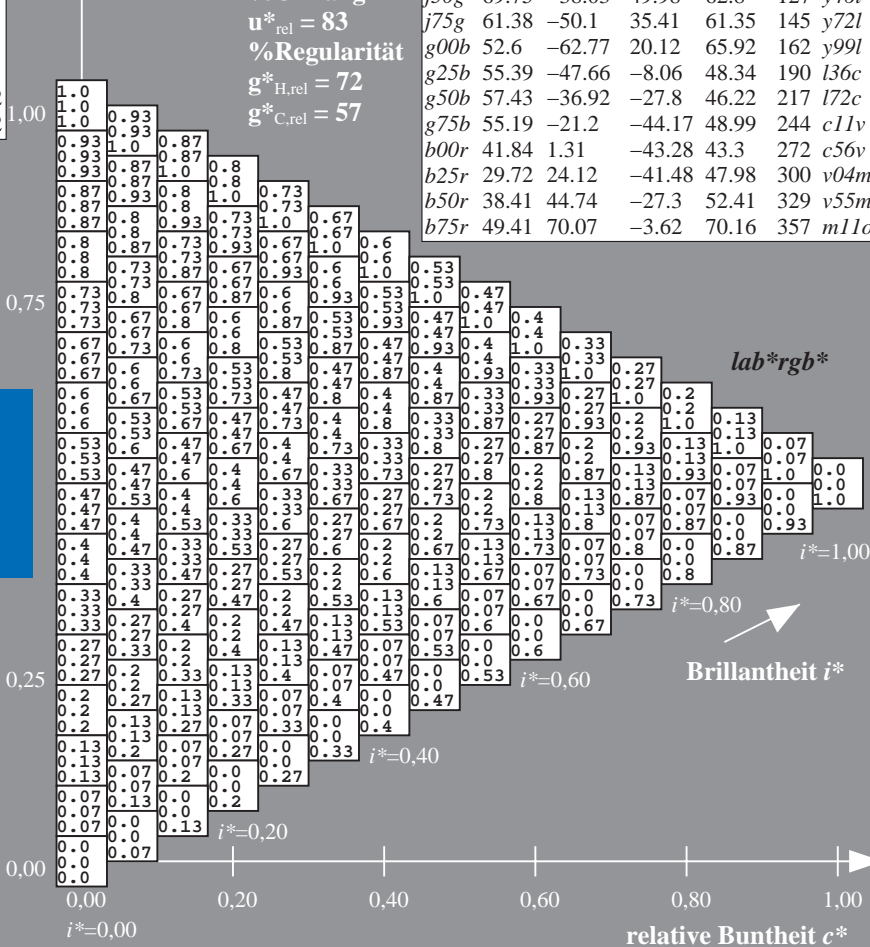
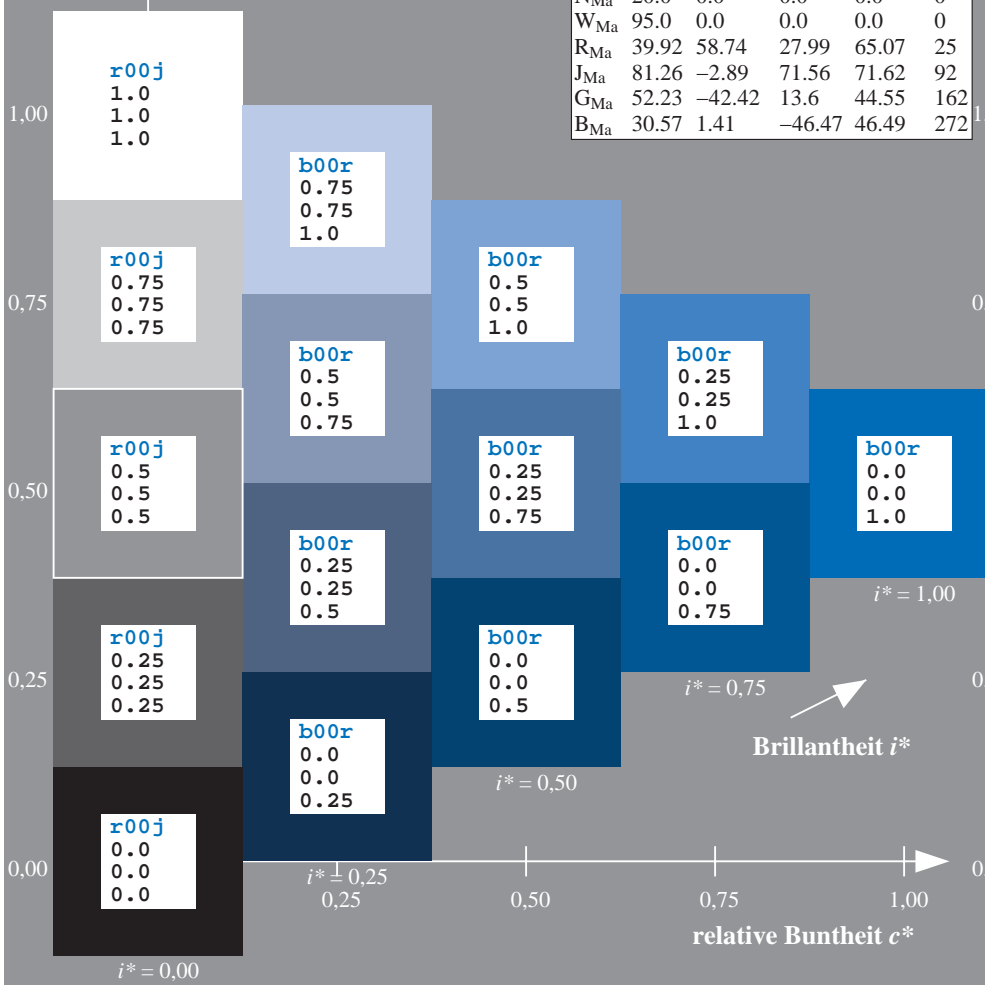
$u^*_{rel} = 83$

%Regularität

$g^*_{H,rel} = 72$

$g^*_{C,rel} = 57$

ORS20_95a; adaptierte CIELAB-Daten						
u^*_e	$L^*=L^*_a$	a^*_a	b^*_a	$C^*_{ab,a}$	$h^*_{ab,a}$	u^*_d
r00j	48.83	63.91	30.45	70.79	25	m84o
r25j	55.53	50.37	45.65	67.97	42	o17y
r50j	64.76	33.86	56.12	65.55	59	o42y
r75j	74.12	17.13	66.74	68.9	76	o67y
j00g	85.5	-3.22	79.65	79.72	92	o92y
j25g	79.45	-24.05	66.85	71.04	110	y20l
j50g	69.75	-38.03	49.98	62.8	127	y46l
j75g	61.38	-50.1	35.41	61.35	145	y72l
g00b	52.6	-62.77	20.12	65.92	162	y99l
g25b	55.39	-47.66	-8.06	48.34	190	l36c
g50b	57.43	-36.92	-27.8	46.22	217	l72c
g75b	55.19	-21.2	-44.17	48.99	244	c11v
b00r	41.84	1.31	-43.28	43.3	272	c56v
b25r	29.72	24.12	-41.48	47.98	300	v04m
b50r	38.41	44.74	-27.3	52.41	329	v55m
b75r	49.41	70.07	-3.62	70.16	357	m11o



Ein und Ausgabe: Farbmetrisches Drucker-Reflektiv-System ORS20_95a für relativen CIELAB-Buntton $h^* = lab^*h^* = h_{ab}/360 = 0.834$

Daten für jede Farbe:

lab^*tch^* und lab^*icu^*

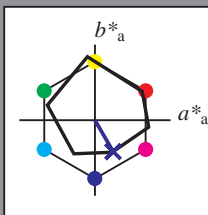
Bunttontexte:

$u^*_e = b25r$ $u^*_d = v04m$

Kontrastreduzierungsfaktor:

$c_R = 0.96$

Dreiecks-Helligkeit i^*



ORS20_95a; adaptierte CIELAB-Daten						
u^*_e	$L^*=L^*_a$	a^*_a	b^*_a	$C^*_{ab,a}$	$h^*_{ab,a}$	
O _{Ma}	48.71	62.56	37.91	73.15	31	
Y _{Ma}	89.25	-9.92	83.91	84.49	97	
L _{Ma}	52.5	-62.91	19.95	66.0	162	
C _{Ma}	59.15	-27.87	-44.43	52.45	238	
V _{Ma}	29.13	22.73	-42.44	48.14	298	
M _{Ma}	49.51	71.08	-9.19	71.67	353	
N _{Ma}	20.0	0.0	0.0	0.0	0	
W _{Ma}	95.0	0.0	0.0	0.0	0	
R _{Ma}	39.92	58.74	27.99	65.07	25	
J _{Ma}	81.26	-2.89	71.56	71.62	92	
G _{Ma}	52.23	-42.42	13.6	44.55	162	
B _{Ma}	30.57	1.41	-46.47	46.49	272	

Daten für Maximalfarbe (Ma):

$LAB^*LAB^*_{Ma}$: 30 24 -41

$LAB^*LCH^*_{Ma}$: 30 48 300

$lab^*rgb^*_{Ma}$: 0.5 0.0 1.0

$lab^*olv^*_{Ma}$: 0.04 0.0 1.0

Dreiecks-Helligkeit i^*

%Umfang

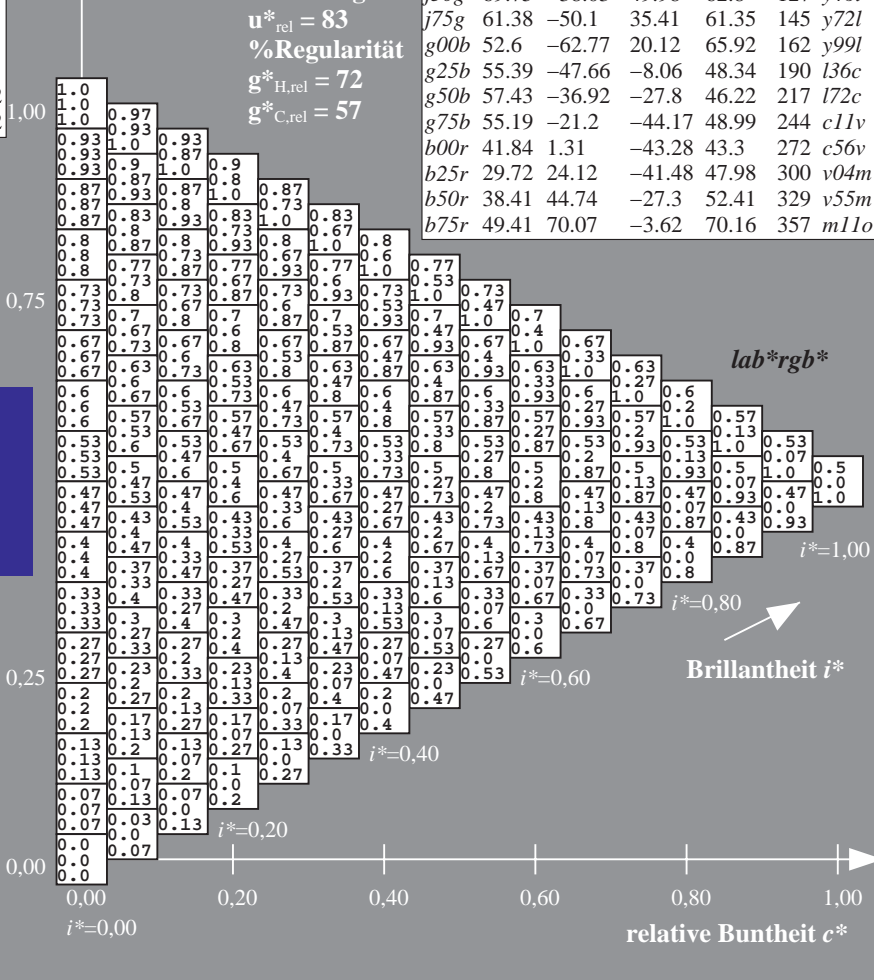
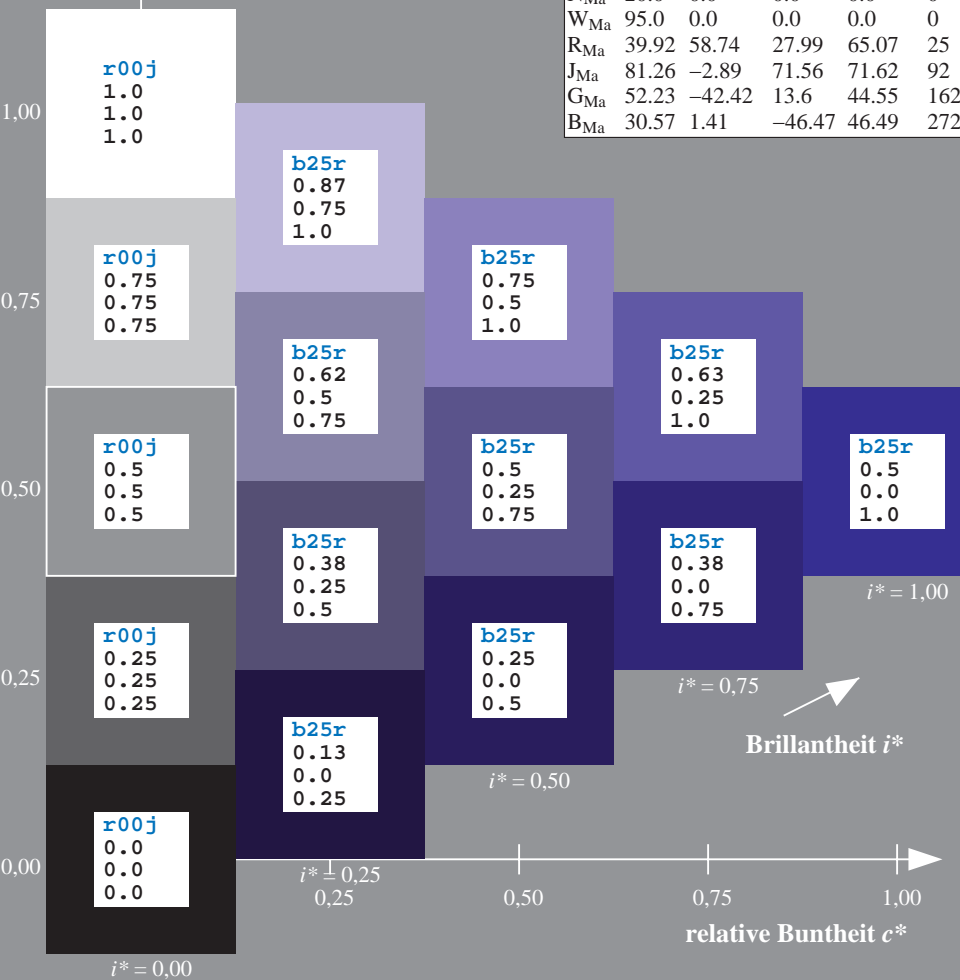
$u^*_{rel} = 83$

%Regularität

$g^*_{H,rel} = 72$

$g^*_{C,rel} = 57$

ORS20_95a; adaptierte CIELAB-Daten						
u^*_e	$L^*=L^*_a$	a^*_a	b^*_a	$C^*_{ab,a}$	$h^*_{ab,a}$	u^*_d
r00j	48.83	63.91	30.45	70.79	25	m84o
r25j	55.53	50.37	45.65	67.97	42	o17y
r50j	64.76	33.86	56.12	65.55	59	o42y
r75j	74.12	17.13	66.74	68.9	76	o67y
j00g	85.5	-3.22	79.65	79.72	92	o92y
j25g	79.45	-24.05	66.85	71.04	110	y20l
j50g	69.75	-38.03	49.98	62.8	127	y46l
j75g	61.38	-50.1	35.41	61.35	145	y72l
g00b	52.6	-62.77	20.12	65.92	162	y99l
g25b	55.39	-47.66	-8.06	48.34	190	l36c
g50b	57.43	-36.92	-27.8	46.22	217	l72c
g75b	55.19	-21.2	-44.17	48.99	244	c11v
b00r	41.84	1.31	-43.28	43.3	272	c56v
b25r	29.72	24.12	-41.48	47.98	300	v04m
b50r	38.41	44.74	-27.3	52.41	329	v55m
b75r	49.41	70.07	-3.62	70.16	357	m11o



Ein und Ausgabe: Farbmetrisches Drucker-Reflektiv-System ORS20_95a für relativen CIELAB-Buntton $h^* = lab^*h^* = h_{ab}/360 = 0.913$

Daten für jede Farbe:

lab^*tch^* und lab^*icu^*

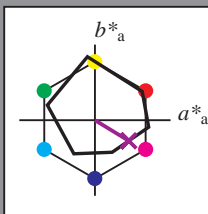
Bunttontexte:

$u^*_e = b50r$ $u^*_d = v55m$

Kontrastreduzierungsfaktor:

$c_R = 0.96$

Dreiecks-Helligkeit i^*



ORS20_95a; adaptierte CIELAB-Daten						
u^*_e	$L^*=L^*_a$	a^*_a	b^*_a	$C^*_{ab,a}$	$h^*_{ab,a}$	
O _{Ma}	48.71	62.56	37.91	73.15	31	
Y _{Ma}	89.25	-9.92	83.91	84.49	97	
L _{Ma}	52.5	-62.91	19.95	66.0	162	
C _{Ma}	59.15	-27.87	-44.43	52.45	238	
V _{Ma}	29.13	22.73	-42.44	48.14	298	
M _{Ma}	49.51	71.08	-9.19	71.67	353	
N _{Ma}	20.0	0.0	0.0	0.0	0	
W _{Ma}	95.0	0.0	0.0	0.0	0	
R _{Ma}	39.92	58.74	27.99	65.07	25	
J _{Ma}	81.26	-2.89	71.56	71.62	92	
G _{Ma}	52.23	-42.42	13.6	44.55	162	
B _{Ma}	30.57	1.41	-46.47	46.49	272	

Daten für Maximalfarbe (Ma):

$LAB^*LAB^*_{Ma}$: 38 45 -27

$LAB^*LCH^*_{Ma}$: 38 52 328

$lab^*rgb^*_{Ma}$: 1.0 0.0 1.0

$lab^*olv^*_{Ma}$: 0.56 0.0 1.0

Dreiecks-Helligkeit i^*

%Umfang

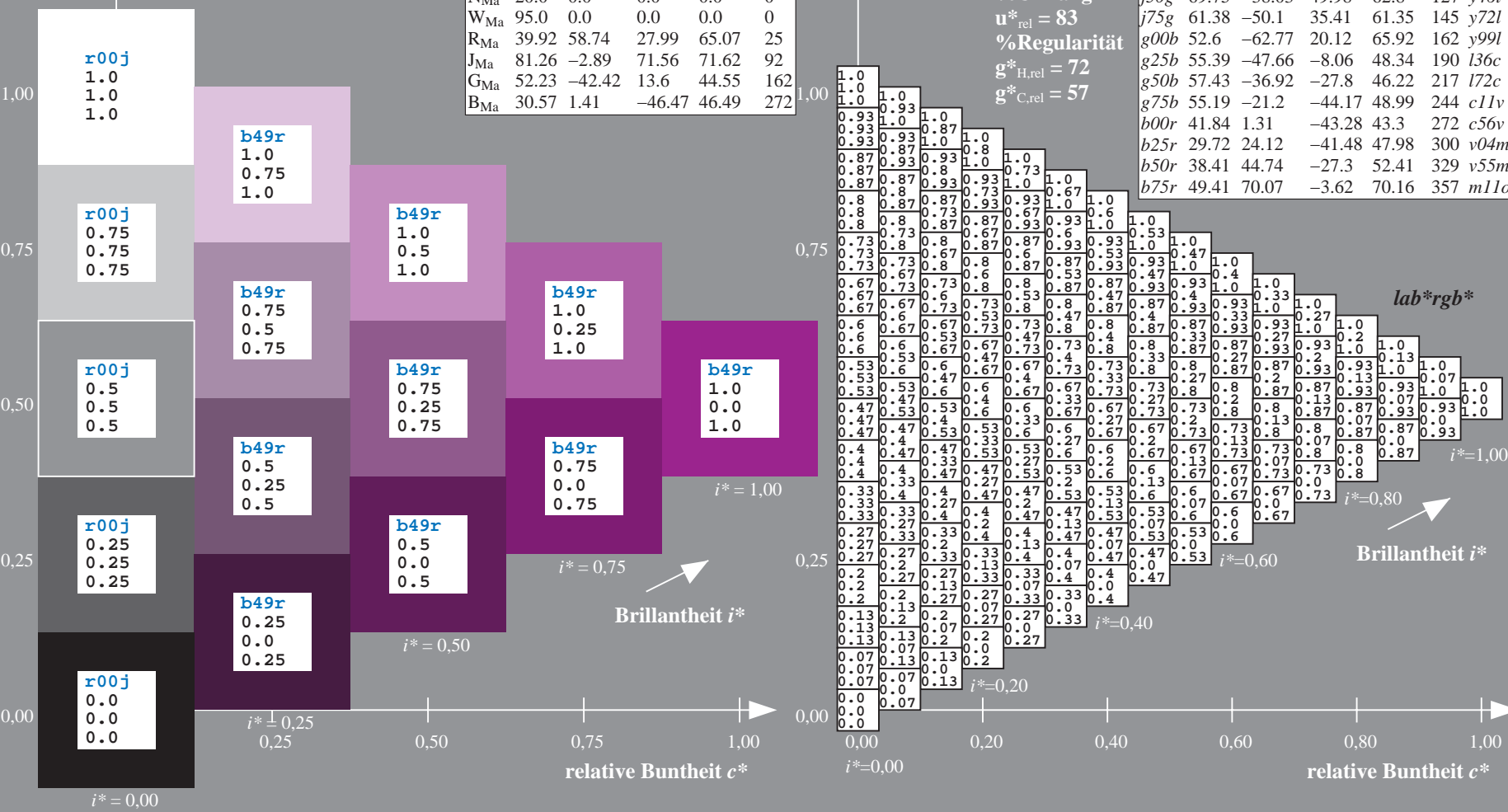
$u^*_{rel} = 83$

%Regularität

$g^*_{H,rel} = 72$

$g^*_{C,rel} = 57$

ORS20_95a; adaptierte CIELAB-Daten						
u^*_e	$L^*=L^*_a$	a^*_a	b^*_a	$C^*_{ab,a}$	$h^*_{ab,a}$	u^*_d
r00j	48.83	63.91	30.45	70.79	25	m84o
r25j	55.53	50.37	45.65	67.97	42	o17y
r50j	64.76	33.86	56.12	65.55	59	o42y
r75j	74.12	17.13	66.74	68.9	76	o67y
j00g	85.5	-3.22	79.65	79.72	92	o92y
j25g	79.45	-24.05	66.85	71.04	110	y20l
j50g	69.75	-38.03	49.98	62.8	127	y46l
j75g	61.38	-50.1	35.41	61.35	145	y72l
g00b	52.6	-62.77	20.12	65.92	162	y99l
g25b	55.39	-47.66	-8.06	48.34	190	l36c
g50b	57.43	-36.92	-27.8	46.22	217	l72c
g75b	55.19	-21.2	-44.17	48.99	244	c11v
b00r	41.84	1.31	-43.28	43.3	272	c56v
b25r	29.72	24.12	-41.48	47.98	300	v04m
b50r	38.41	44.74	-27.3	52.41	329	v55m
b75r	49.41	70.07	-3.62	70.16	357	m11o



Ein und Ausgabe: Farbmetrisches Drucker-Reflektiv-System ORS20_95a für relativen CIELAB-Buntton $h^* = lab^*h^* = h_{ab}/360 = 0.992$

Daten für jede Farbe:

lab^*tch^* und lab^*icu^*

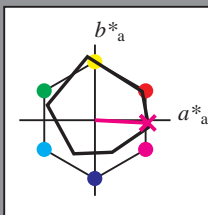
Bunttontexte:

$u^*_e = b75r$ $u^*_d = m11o$

Kontrastreduzierungsfaktor:

$c_R = 0.96$

Dreiecks-Helligkeit i^*



ORS20_95a; adaptierte CIELAB-Daten

u^*_e	$L^*=L^*_a$	a^*_a	b^*_a	$C^*_{ab,a}$	$h^*_{ab,a}$
O _{Ma}	48.71	62.56	37.91	73.15	31
Y _{Ma}	89.25	-9.92	83.91	84.49	97
L _{Ma}	52.5	-62.91	19.95	66.0	162
C _{Ma}	59.15	-27.87	-44.43	52.45	238
V _{Ma}	29.13	22.73	-42.44	48.14	298
M _{Ma}	49.51	71.08	-9.19	71.67	353
N _{Ma}	20.0	0.0	0.0	0.0	0
W _{Ma}	95.0	0.0	0.0	0.0	0
R _{Ma}	39.92	58.74	27.99	65.07	25
J _{Ma}	81.26	-2.89	71.56	71.62	92
G _{Ma}	52.23	-42.42	13.6	44.55	162
B _{Ma}	30.57	1.41	-46.47	46.49	272

Daten für Maximalfarbe (Ma):

$LAB^*LAB^*_{Ma}$: 49 70 -4

$LAB^*LCH^*_{Ma}$: 49 70 357

$lab^*rgb^*_{Ma}$: 1.0 0.0 0.5

$lab^*olv^*_{Ma}$: 1.0 0.0 0.89

Dreiecks-Helligkeit i^*

%Umfang

$u^*_{rel} = 83$

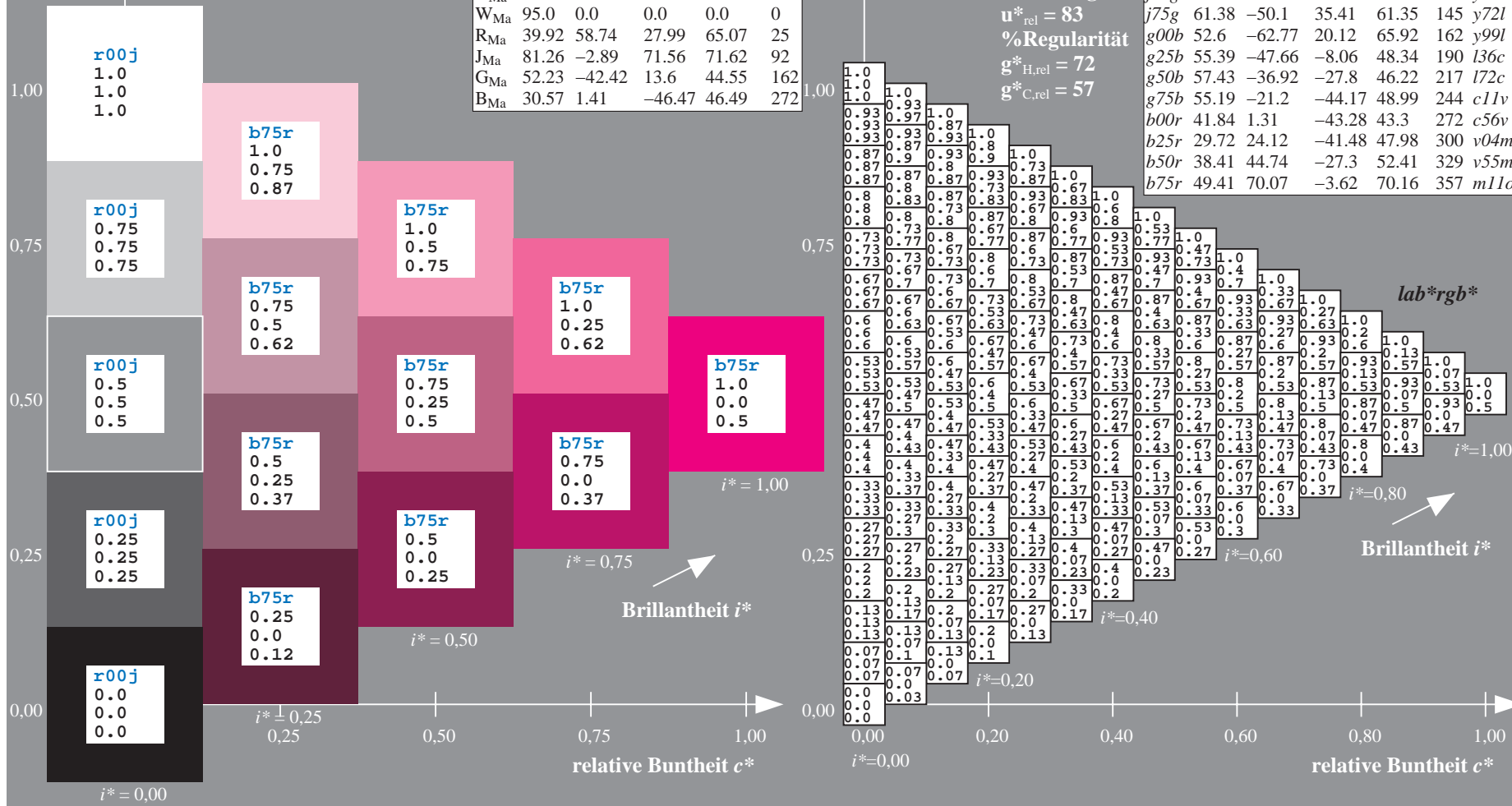
%Regularität

$g^*_{H,rel} = 72$

$g^*_{C,rel} = 57$

ORS20_95a; adaptierte CIELAB-Daten

u^*_e	$L^*=L^*_a$	a^*_a	b^*_a	$C^*_{ab,a}$	$h^*_{ab,a}$	u^*_d
r00j	48.83	63.91	30.45	70.79	25	m84o
r25j	55.53	50.37	45.65	67.97	42	o17y
r50j	64.76	33.86	56.12	65.55	59	o42y
r75j	74.12	17.13	66.74	68.9	76	o67y
j00g	85.5	-3.22	79.65	79.72	92	o92y
j25g	79.45	-24.05	66.85	71.04	110	y20l
j50g	69.75	-38.03	49.98	62.8	127	y46l
j75g	61.38	-50.1	35.41	61.35	145	y72l
g00b	52.6	-62.77	20.12	65.92	162	y99l
g25b	55.39	-47.66	-8.06	48.34	190	l36c
g50b	57.43	-36.92	-27.8	46.22	217	l72c
g75b	55.19	-21.2	-44.17	48.99	244	c11v
b00r	41.84	1.31	-43.28	43.3	272	c56v
b25r	29.72	24.12	-41.48	47.98	300	v04m
b50r	38.41	44.74	-27.3	52.41	329	v55m
b75r	49.41	70.07	-3.62	70.16	357	m11o



Siehe ähnliche Dateien: <http://www.ps.bam.de/Eg13/>; www.ps.bam.de/Eg13/10L/L13G00NA.PS/.TXT BAM-Material: Code=rh4ta
Technische Information: <http://www.ps.bam.de> Version 2.1, io=1,1, ColSp=1

	A	B	C	D	E	F	G	H	I	J	K	L	M	N	O	P	Q	R	S	T	U	V	W	X	Y	Z	a	b	c	d	e	f	g	h	i	j	k	lab*rgb*				
01	0.0	0.0	0.0	0.0	0.0	0.0	0.0	0.0	0.0	0.0	0.13	0.12	0.12	0.12	0.12	0.12	0.12	0.12	0.11	0.25	0.25	0.23	0.23	0.23	0.23	0.23	0.23	0.23	0.23	0.23	0.23	0.23	0.23	0.23	0.23	0.23	0.23	0.23	0.23	0.23	0.23	
02	0.06	0.0	0.0	0.0	0.0	0.0	0.0	0.0	0.0	0.13	0.13	0.13	0.13	0.13	0.13	0.13	0.13	0.13	0.13	0.25	0.25	0.24	0.24	0.24	0.24	0.24	0.24	0.24	0.24	0.24	0.24	0.24	0.24	0.24	0.24	0.24	0.24	0.24	0.24	0.24	0.24	
03	0.12	0.0	0.0	0.0	0.0	0.0	0.0	0.0	0.0	0.24	0.18	0.13	0.13	0.13	0.13	0.13	0.13	0.13	0.13	0.25	0.25	0.25	0.25	0.25	0.25	0.25	0.25	0.25	0.25	0.25	0.25	0.25	0.25	0.25	0.25	0.25	0.25	0.25	0.25	0.25	0.25	0.25
04	0.17	0.04	0.0	0.0	0.0	0.0	0.0	0.0	0.0	0.29	0.24	0.13	0.13	0.13	0.13	0.13	0.13	0.13	0.13	0.38	0.36	0.31	0.25	0.25	0.25	0.25	0.25	0.25	0.25	0.25	0.25	0.25	0.25	0.25	0.25	0.25	0.25	0.25	0.25	0.25	0.25	0.25
05	0.23	0.1	0.0	0.0	0.0	0.0	0.0	0.0	0.0	0.35	0.3	0.17	0.13	0.13	0.13	0.13	0.13	0.13	0.13	0.47	0.42	0.37	0.25	0.25	0.25	0.25	0.25	0.25	0.25	0.25	0.25	0.25	0.25	0.25	0.25	0.25	0.25	0.25	0.25	0.25	0.25	0.25
06	0.29	0.16	0.03	0.0	0.0	0.0	0.0	0.0	0.0	0.41	0.36	0.22	0.13	0.13	0.13	0.13	0.13	0.13	0.13	0.53	0.48	0.42	0.29	0.25	0.25	0.25	0.25	0.25	0.25	0.25	0.25	0.25	0.25	0.25	0.25	0.25	0.25	0.25	0.25	0.25	0.25	0.25
07	0.35	0.22	0.08	0.0	0.0	0.0	0.0	0.0	0.0	0.47	0.42	0.28	0.15	0.13	0.13	0.13	0.13	0.13	0.13	0.59	0.54	0.48	0.35	0.25	0.25	0.25	0.25	0.25	0.25	0.25	0.25	0.25	0.25	0.25	0.25	0.25	0.25	0.25	0.25	0.25	0.25	0.25
08	0.41	0.27	0.14	0.01	0.0	0.0	0.0	0.0	0.0	0.53	0.47	0.34	0.21	0.13	0.13	0.13	0.13	0.13	0.13	0.65	0.59	0.54	0.41	0.28	0.25	0.25	0.25	0.25	0.25	0.25	0.25	0.25	0.25	0.25	0.25	0.25	0.25	0.25	0.25	0.25	0.25	0.25
09	0.46	0.33	0.2	0.07	0.0	0.0	0.0	0.0	0.0	0.58	0.53	0.4	0.27	0.13	0.13	0.13	0.13	0.13	0.13	0.7	0.65	0.6	0.47	0.33	0.25	0.25	0.25	0.25	0.25	0.25	0.25	0.25	0.25	0.25	0.25	0.25	0.25	0.25	0.25	0.25	0.25	0.25
10	0.5	0.38	0.38	0.38	0.35	0.35	0.35	0.35	0.35	0.5	0.5	0.5	0.47	0.47	0.47	0.47	0.47	0.47	0.47	0.63	0.63	0.63	0.63	0.63	0.63	0.63	0.63	0.63	0.63	0.63	0.63	0.63	0.63	0.63	0.63	0.63	0.63	0.63	0.63	0.63	0.63	0.63
11	0.53	0.46	0.33	0.2	0.07	0.0	0.0	0.0	0.0	0.58	0.53	0.4	0.27	0.13	0.13	0.13	0.13	0.13	0.13	0.7	0.65	0.6	0.47	0.33	0.25	0.25	0.25	0.25	0.25	0.25	0.25	0.25	0.25	0.25	0.25	0.25	0.25	0.25	0.25	0.25	0.25	0.25
12	0.58	0.46	0.33	0.2	0.07	0.0	0.0	0.0	0.0	0.58	0.53	0.4	0.27	0.13	0.13	0.13	0.13	0.13	0.13	0.7	0.65	0.6	0.47	0.33	0.25	0.25	0.25	0.25	0.25	0.25	0.25	0.25	0.25	0.25	0.25	0.25	0.25	0.25	0.25	0.25	0.25	0.25
13	0.63	0.38	0.38	0.38	0.38	0.38	0.38	0.38	0.38	0.5	0.5	0.5	0.49	0.49	0.49	0.49	0.49	0.49	0.49	0.63	0.63	0.63	0.63	0.63	0.63	0.63	0.63	0.63	0.63	0.63	0.63	0.63	0.63	0.63	0.63	0.63	0.63	0.63	0.63	0.63	0.63	0.63
14	0.68	0.53	0.46	0.33	0.2	0.07	0.0	0.0	0.0	0.58	0.53	0.4	0.27	0.13	0.13	0.13	0.13	0.13	0.13	0.7	0.65	0.6	0.47	0.33	0.25	0.25	0.25	0.25	0.25	0.25	0.25	0.25	0.25	0.25	0.25	0.25	0.25	0.25	0.25	0.25	0.25	0.25
15	0.73	0.58	0.5	0.49	0.43	0.38	0.38	0.38	0.38	0.5	0.5	0.5	0.5	0.5	0.5	0.5	0.5	0.5	0.5	0.63	0.63	0.63	0.63	0.63	0.63	0.63	0.63	0.63	0.63	0.63	0.63	0.63	0.63	0.63	0.63	0.63	0.63	0.63	0.63	0.63	0.63	0.63
16	0.78	0.63	0.53	0.46	0.33	0.2	0.07	0.0	0.0	0.58	0.53	0.4	0.27	0.13	0.13	0.13	0.13	0.13	0.13	0.7	0.65	0.6	0.47	0.33	0.25	0.25	0.25	0.25	0.25	0.25	0.25	0.25	0.25	0.25	0.25	0.25	0.25	0.25	0.25	0.25	0.25	0.25
17	0.83	0.68	0.58	0.5	0.43	0.38	0.38	0.38	0.38	0.5	0.5	0.5	0.48	0.48	0.48	0.48	0.48	0.48	0.48	0.63	0.63	0.63	0.63	0.63	0.63	0.63	0.63	0.63	0.63	0.63	0.63	0.63	0.63	0.63	0.63	0.63	0.63	0.63	0.63	0.63	0.63	0.63
18	0.88	0.73	0.63	0.53	0.46	0.33	0.2	0.07	0.0	0.58	0.53	0.4	0.27	0.13	0.13	0.13	0.13	0.13	0.13	0.7	0.65	0.6	0.47	0.33	0.25	0.25	0.25	0.25	0.25	0.25	0.25	0.25	0.25	0.25	0.25	0.25	0.25	0.25	0.25	0.25	0.25	0.25
19	0.93	0.78	0.63	0.53	0.46	0.33	0.2	0.07	0.0	0.58	0.53	0.4	0.27	0.13	0.13	0.13	0.13	0.13	0.13	0.7	0.65	0.6	0.47	0.33	0.25	0.25	0.25	0.25	0.25	0.25	0.25	0.25	0.25	0.25	0.25	0.25	0.25	0.25	0.25	0.25	0.25	0.25
20	0.98	0.83	0.73	0.63	0.53	0.46	0.33	0.2	0.07	0.0	0.58	0.53	0.4	0.27	0.13	0.13	0.13	0.13	0.13	0.7	0.65	0.6	0.47	0.33	0.25	0.25	0.25	0.25	0.25	0.25	0.25	0.25	0.25	0.25	0.25	0.25	0.25	0.25	0.25	0.25	0.25	0.25
21	1.0	0.93	0.83	0.73	0.63	0.53	0.46	0.33	0.2	0.07	0.0	0.58	0.53	0.4	0.27	0.13	0.13	0.13	0.13	0.7	0.65	0.6	0.47	0.33	0.25	0.25	0.25	0.25	0.25	0.25	0.25	0.25	0.25	0.25	0.25	0.25	0.25	0.25	0.25	0.25	0.25	0.25
22	1.0	0.98	0.88	0.78	0.63	0.53	0.46	0.33	0.2	0.07	0.0	0.58	0.53	0.4	0.27	0.13	0.13	0.13	0.13	0.7	0.65	0.6	0.47	0.33	0.25	0.25	0.25	0.25	0.25	0.25	0.25	0.25	0.25	0.25	0.25	0.25	0.25	0.25	0.25	0.25	0.25	0.25
23	1.0	1.0	0.93	0.83	0.73	0.63	0.53	0.46	0.33	0.2	0.07	0.0	0.58	0.53	0.4	0.27	0.13	0.13	0.13	0.7	0.65	0.6	0.47	0.33	0.25	0.25	0.25	0.25	0.25	0.25	0.25	0.25	0.25	0.25	0.25	0.25	0.25	0.25	0.25	0.25	0.25	0.25
24	1.0	1.0	1.0	0.93	0.83	0.73	0.63	0.53	0.46	0.33	0.2	0.07	0.0	0.58	0.53	0.4	0.27	0.13	0.13	0.7	0.65	0.6	0.47	0.33	0.25	0.25	0.25	0.25	0.25	0.25	0.25	0.25	0.25	0.25	0.25	0.25	0.25	0.25	0.25	0.25	0.25	0.25
25	1.0	1.0	1.0	1.0	0.93	0.83	0.73	0.63	0.53	0.46	0.33	0.2	0.07	0.0	0.58	0.53	0.4	0.27	0.13	0.13	0.7	0.65	0.6	0.47	0.33	0.25	0.25	0.25	0.25	0.25	0.25	0.25	0.25	0.25	0.25	0.25	0.25	0.25	0.25	0.25	0.25	0.25
26	1.0	1.0	1.0	1.0	1.0	0.93	0.83	0.73	0.63	0.53	0.46	0.33	0.2	0.07	0.0	0.58	0.53	0.4	0.27	0.13	0.13	0.7	0.65	0.6	0.47	0.33	0.25	0.25	0.25	0.25	0.25	0.25	0.25	0.25	0.25	0.25	0.25	0.25	0.25	0.25	0.25	0.25
27	1.0	1.0	1.0	1.0	1.0	1.0	0.93	0.83	0.73	0.63	0.53	0.46	0.33	0.2	0.07	0.0	0.58	0.53	0.4	0.27	0.13	0.13	0.7	0.65	0.6	0.47	0.33	0.25	0.25	0.25	0.25	0.25	0.25	0.25	0.25	0.25	0.25	0.25	0.25	0.25	0.25	0.25

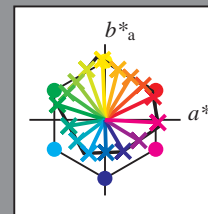
BAM-Registrierung: 20081001-Eg13/10L/L13G00NA.PS/.TXT BAM-Material: Code=rh4ta
Anwendung für Beurteilung und Messung von Drucker- oder Monitorsystemen

Ein und Ausgabe:
Farbmétrisches Drucker-Reflektiv-System ORS20_95a
Daten für jede Farbe:

u^*_e und Nummer $Nr.$ = 00 .. 15
Elementar-Bunttontext:
 $u^*_e = 16$ Bunttoene $r00j, r25j, \dots, b75r$
Kontrastreduzierungsfaktor:
 $c_R = 0.96$

ORS20_95a; adaptierte CIELAB-Daten

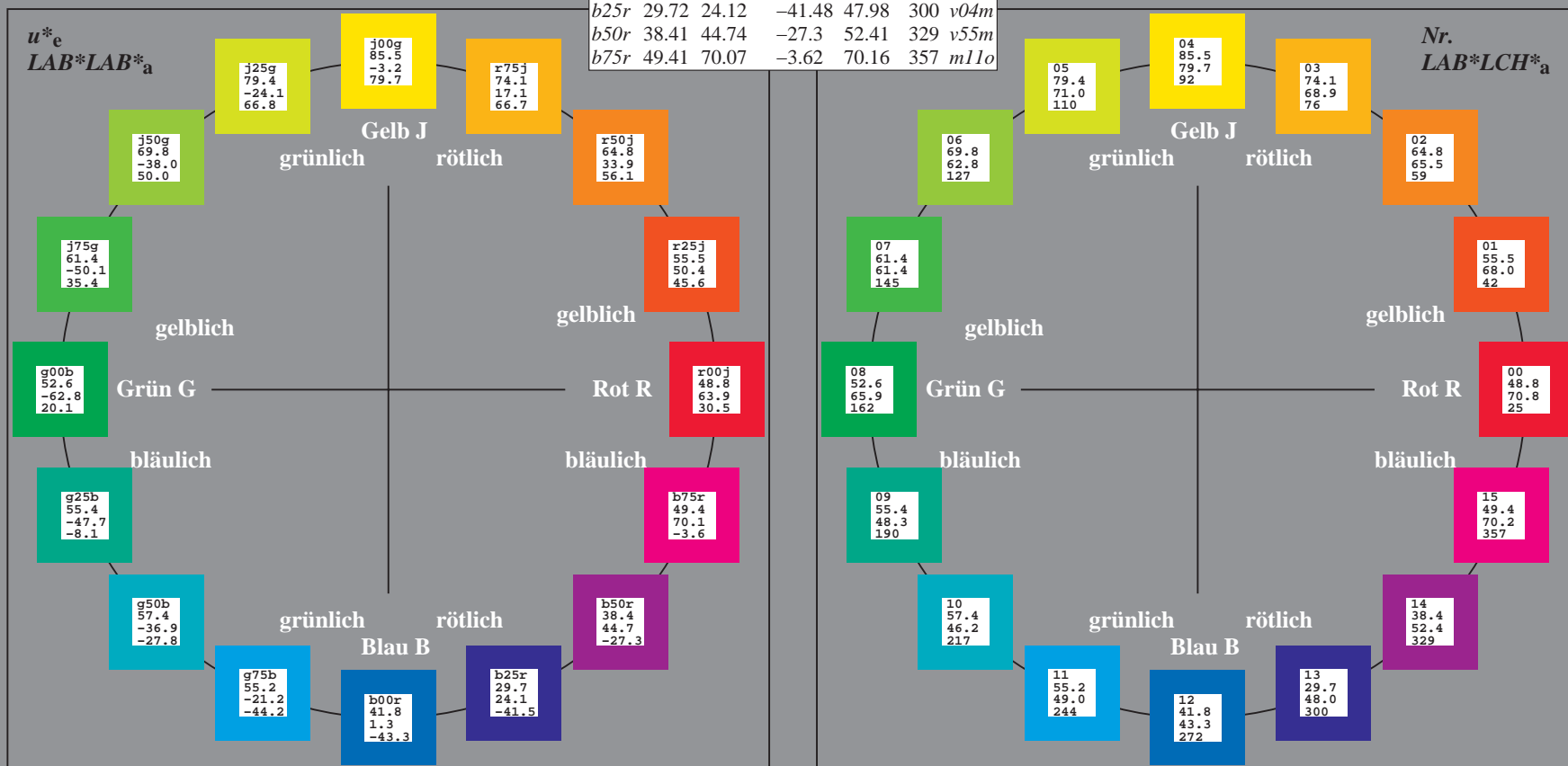
u^*_e	$L^*=L^*_a$	a^*_a	b^*_a	$C^*_{ab,a}$	$h^*_{ab,a}$	u^*_d
$r00j$	48.83	63.91	30.45	70.79	25	$m84o$
$r25j$	55.53	50.37	45.65	67.97	42	$o17y$
$r50j$	64.76	33.86	56.12	65.55	59	$o42y$
$r75j$	74.12	17.13	66.74	68.9	76	$o67y$
$j00g$	85.5	-3.22	79.65	79.72	92	$o92y$
$j25g$	79.45	-24.05	66.85	71.04	110	$y20l$
$j50g$	69.75	-38.03	49.98	62.8	127	$y46l$
$j75g$	61.38	-50.1	35.41	61.35	145	$y72l$
$g00b$	52.6	-62.77	20.12	65.92	162	$y99l$
$g25b$	55.39	-47.66	-8.06	48.34	190	$l36c$
$g50b$	57.43	-36.92	-27.8	46.22	217	$l72c$
$g75b$	55.19	-21.2	-44.17	48.99	244	$c11v$
$b00r$	41.84	1.31	-43.28	43.3	272	$c56v$
$b25r$	29.72	24.12	-41.48	47.98	300	$v04m$
$b50r$	38.41	44.74	-27.3	52.41	329	$v55m$
$b75r$	49.41	70.07	-3.62	70.16	357	$m11o$



%Umfang
 $u^*_{rel} = 83$
%Regularität
 $g^*_{H,rel} = 72$
 $g^*_{C,rel} = 57$

ORS20_95a; adaptierte CIELAB-Daten

Name	$L^*=L^*_a$	a^*_a	b^*_a	$C^*_{ab,a}$	$h^*_{ab,a}$
O_{Ma}	48.71	62.56	37.91	73.15	31
Y_{Ma}	89.25	-9.92	83.91	84.49	97
L_{Ma}	52.5	-62.91	19.95	66.0	162
C_{Ma}	59.15	-27.87	-44.43	52.45	238
V_{Ma}	29.13	22.73	-42.44	48.14	298
M_{Ma}	49.51	71.08	-9.19	71.67	353
N_{Ma}	20.0	0.0	0.0	0.0	0
W_{Ma}	95.0	0.0	0.0	0.0	0
R_{CIE}	39.92	58.74	27.99	65.07	25
J_{CIE}	81.26	-2.89	71.56	71.62	92
G_{CIE}	52.23	-42.42	13.6	44.55	162
B_{CIE}	30.57	1.41	-46.47	46.49	272



Ein und Ausgabe: Farbmetrisches Drucker-Reflektiv-System ORS20_95a für relativen CIELAB-Buntton $h^* = lab^*h^* = h_{ab}/360 = 0.071$

Daten für jede Farbe:

lab^*tch^* und lab^*icu^*

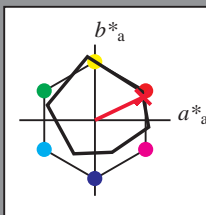
Bunttontexte:

$u^*_e = r00j$ $u^*_d = m84o$

Kontrastreduzierungsfaktor:

$c_R = 0.96$

Dreiecks-Helligkeit i^*



ORS20_95a; adaptierte CIELAB-Daten						
u^*_e	$L^*=L^*_a$	a^*_a	b^*_a	$C^*_{ab,a}$	$h^*_{ab,a}$	u^*_d
O _{Ma}	48.71	62.56	37.91	73.15	31	
Y _{Ma}	89.25	-9.92	83.91	84.49	97	
L _{Ma}	52.5	-62.91	19.95	66.0	162	
C _{Ma}	59.15	-27.87	-44.43	52.45	238	
V _{Ma}	29.13	22.73	-42.44	48.14	298	
M _{Ma}	49.51	71.08	-9.19	71.67	353	
N _{Ma}	20.0	0.0	0.0	0.0	0	
W _{Ma}	95.0	0.0	0.0	0.0	0	
R _{Ma}	39.92	58.74	27.99	65.07	25	
J _{Ma}	81.26	-2.89	71.56	71.62	92	
G _{Ma}	52.23	-42.42	13.6	44.55	162	
B _{Ma}	30.57	1.41	-46.47	46.49	272	

Daten für Maximalfarbe (Ma):

$LAB^*LAB^*_{Ma}$: 49 64 30

$LAB^*LCH^*_{Ma}$: 49 71 25

$lab^*rgb^*_{Ma}$: 1.0 0.0 0.0

$lab^*olv^*_{Ma}$: 1.0 0.0 0.15

Dreiecks-Helligkeit i^*

%Umfang

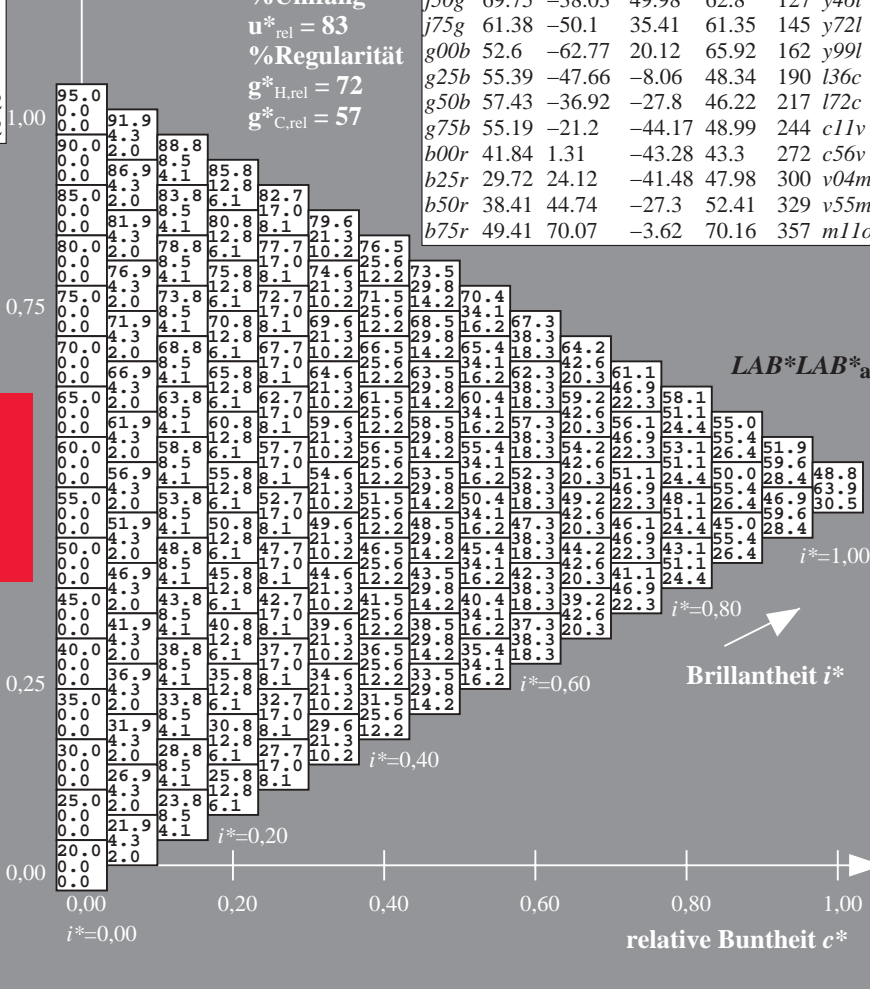
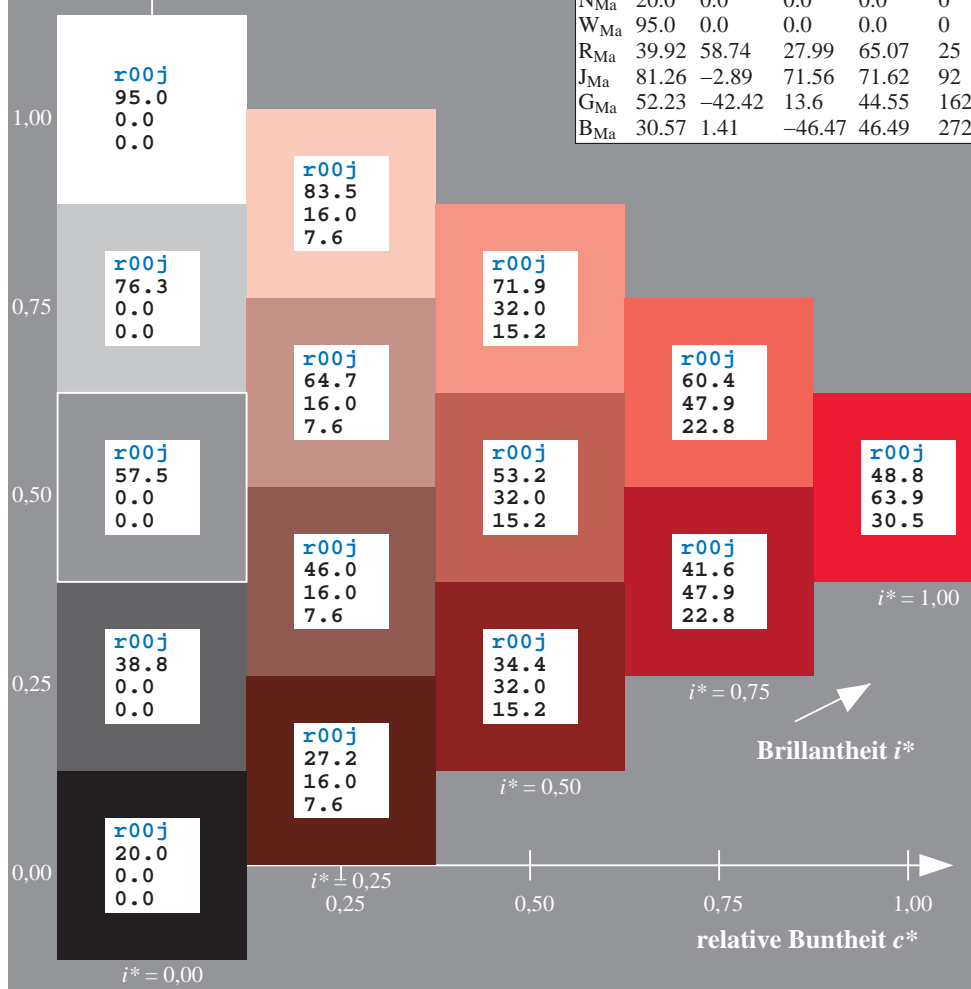
$u^*_{rel} = 83$

%Regularität

$g^*_{H,rel} = 72$

$g^*_{C,rel} = 57$

ORS20_95a; adaptierte CIELAB-Daten						
u^*_e	$L^*=L^*_a$	a^*_a	b^*_a	$C^*_{ab,a}$	$h^*_{ab,a}$	u^*_d
r00j	48.83	63.91	30.45	70.79	25	m84o
r25j	55.53	50.37	45.65	67.97	42	o17y
r50j	64.76	33.86	56.12	65.55	59	o42y
r75j	74.12	17.13	66.74	68.9	76	o67y
j00g	85.5	-3.22	79.65	79.72	92	o92y
j25g	79.45	-24.05	66.85	71.04	110	y20l
j50g	69.75	-38.03	49.98	62.8	127	y46l
j75g	61.38	-50.1	35.41	61.35	145	y72l
g00b	52.6	-62.77	20.12	65.92	162	y99l
g25b	55.39	-47.66	-8.06	48.34	190	l36c
g50b	57.43	-36.92	-27.8	46.22	217	l72c
g75b	55.19	-21.2	-44.17	48.99	244	c11v
b00r	41.84	1.31	-43.28	43.3	272	c56v
b25r	29.72	24.12	-41.48	47.98	300	v04m
b50r	38.41	44.74	-27.3	52.41	329	v55m
b75r	49.41	70.07	-3.62	70.16	357	m11o



Ein und Ausgabe: Farbmetrisches Drucker-Reflektiv-System ORS20_95a für relativen CIELAB-Buntton $h^* = lab^*h^* = h_{ab}/360 = 0.117$

Daten für jede Farbe:

lab^*tch^* und lab^*icu^*

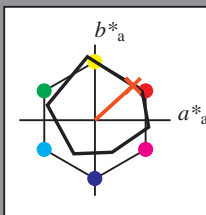
Bunttontexte:

$u^*_e = r25j$ $u^*_d = o17y$

Kontrastreduzierungsfaktor:

$c_R = 0.96$

Dreiecks-Helligkeit t^*



ORS20_95a; adaptierte CIELAB-Daten						
u^*_e	$L^*=L^*_a$	a^*_a	b^*_a	$C^*_{ab,a}$	$h^*_{ab,a}$	
O _{Ma}	48.71	62.56	37.91	73.15	31	
Y _{Ma}	89.25	-9.92	83.91	84.49	97	
L _{Ma}	52.5	-62.91	19.95	66.0	162	
C _{Ma}	59.15	-27.87	-44.43	52.45	238	
V _{Ma}	29.13	22.73	-42.44	48.14	298	
M _{Ma}	49.51	71.08	-9.19	71.67	353	
N _{Ma}	20.0	0.0	0.0	0.0	0	
W _{Ma}	95.0	0.0	0.0	0.0	0	
R _{Ma}	39.92	58.74	27.99	65.07	25	
J _{Ma}	81.26	-2.89	71.56	71.62	92	
G _{Ma}	52.23	-42.42	13.6	44.55	162	
B _{Ma}	30.57	1.41	-46.47	46.49	272	

Daten für Maximalfarbe (Ma):

$LAB^*LAB^*_{Ma}$: 56 50 46

$LAB^*LCH^*_{Ma}$: 56 68 42

$lab^*rgb^*_{Ma}$: 1.0 0.25 0.0

$lab^*olv^*_{Ma}$: 1.0 0.17 0.0

Dreiecks-Helligkeit t^*

%Umfang

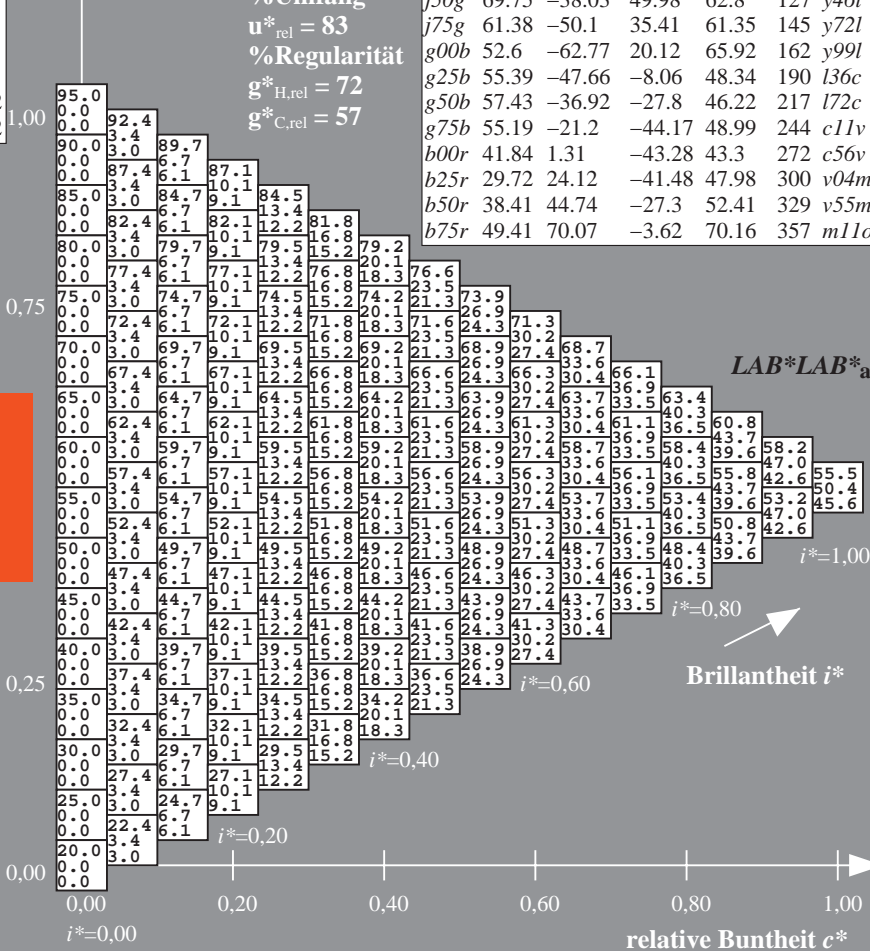
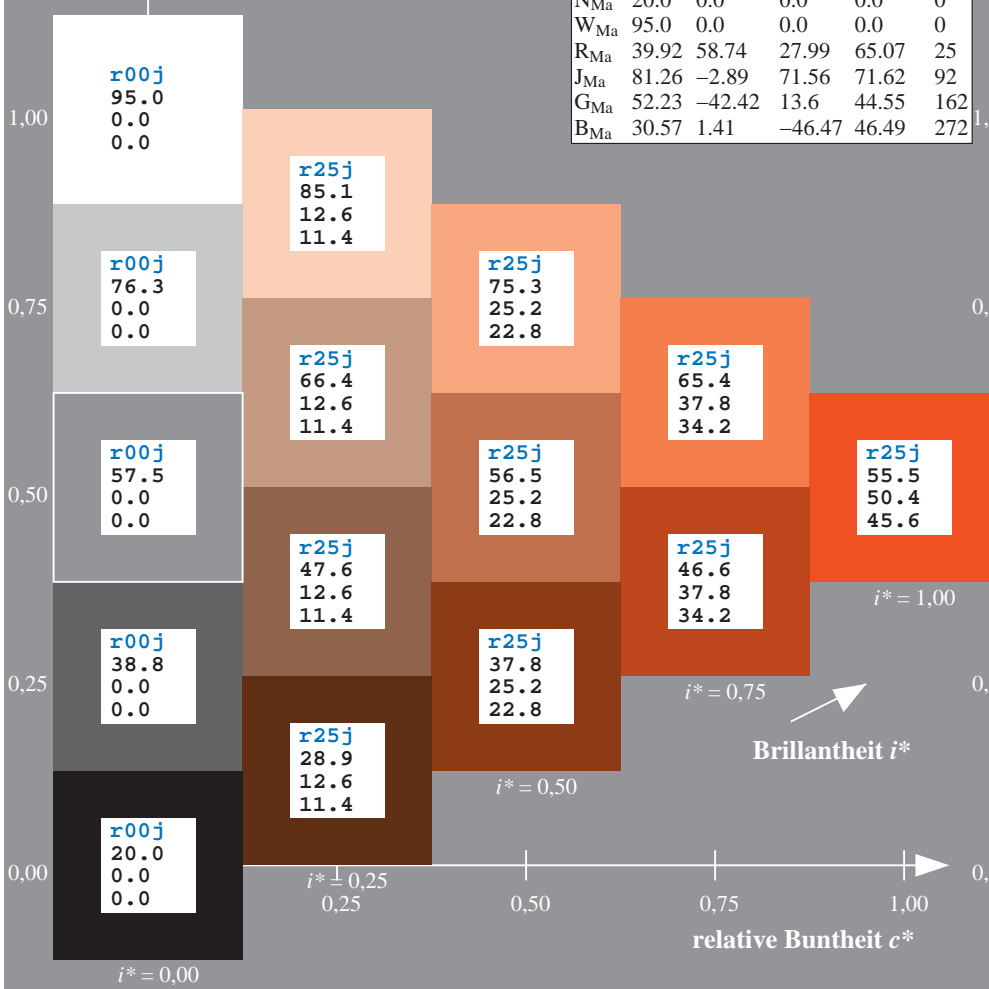
$u^*_{rel} = 83$

%Regularität

$g^*_{H,rel} = 72$

$g^*_{C,rel} = 57$

ORS20_95a; adaptierte CIELAB-Daten						
u^*_e	$L^*=L^*_a$	a^*_a	b^*_a	$C^*_{ab,a}$	$h^*_{ab,a}$	u^*_d
r00j	48.83	63.91	30.45	70.79	25	m84o
r25j	55.53	50.37	45.65	67.97	42	o17y
r50j	64.76	33.86	56.12	65.55	59	o42y
r75j	74.12	17.13	66.74	68.9	76	o67y
j00g	85.5	-3.22	79.65	79.72	92	o92y
j25g	79.45	-24.05	66.85	71.04	110	y20l
j50g	69.75	-38.03	49.98	62.8	127	y46l
j75g	61.38	-50.1	35.41	61.35	145	y72l
g00b	52.6	-62.77	20.12	65.92	162	y99l
g25b	55.39	-47.66	-8.06	48.34	190	l36c
g50b	57.43	-36.92	-27.8	46.22	217	l72c
g75b	55.19	-21.2	-44.17	48.99	244	c11v
b00r	41.84	1.31	-43.28	43.3	272	c56v
b25r	29.72	24.12	-41.48	47.98	300	v04m
b50r	38.41	44.74	-27.3	52.41	329	v55m
b75r	49.41	70.07	-3.62	70.16	357	m11o



Ein und Ausgabe: Farbmetrisches Drucker-Reflektiv-System ORS20_95a für relativen CIELAB-Buntton $h^* = lab^*h^* = h_{ab}/360 = 0.164$

Daten für jede Farbe:

lab^*tch^* und lab^*icu^*

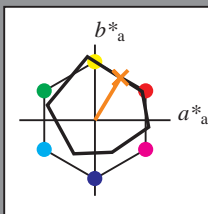
Bunttontexte:

$u^*_e = r50j$ $u^*_d = o42y$

Kontrastreduzierungsfaktor:

$c_R = 0.96$

Dreiecks-Helligkeit t^*



ORS20_95a; adaptierte CIELAB-Daten						
u^*_e	$L^*=L^*_a$	a^*_a	b^*_a	$C^*_{ab,a}$	$h^*_{ab,a}$	
O _{Ma}	48.71	62.56	37.91	73.15	31	
Y _{Ma}	89.25	-9.92	83.91	84.49	97	
L _{Ma}	52.5	-62.91	19.95	66.0	162	
C _{Ma}	59.15	-27.87	-44.43	52.45	238	
V _{Ma}	29.13	22.73	-42.44	48.14	298	
M _{Ma}	49.51	71.08	-9.19	71.67	353	
N _{Ma}	20.0	0.0	0.0	0.0	0	
W _{Ma}	95.0	0.0	0.0	0.0	0	
R _{Ma}	39.92	58.74	27.99	65.07	25	
J _{Ma}	81.26	-2.89	71.56	71.62	92	
G _{Ma}	52.23	-42.42	13.6	44.55	162	
B _{Ma}	30.57	1.41	-46.47	46.49	272	

Daten für Maximalfarbe (Ma):

$LAB^*LAB^*_Ma$: 65 34 56

$LAB^*LCH^*_Ma$: 65 66 58

$lab^*rgb^*_Ma$: 1.0 0.5 0.0

$lab^*olv^*_Ma$: 1.0 0.42 0.0

Dreiecks-Helligkeit t^*

%Umfang

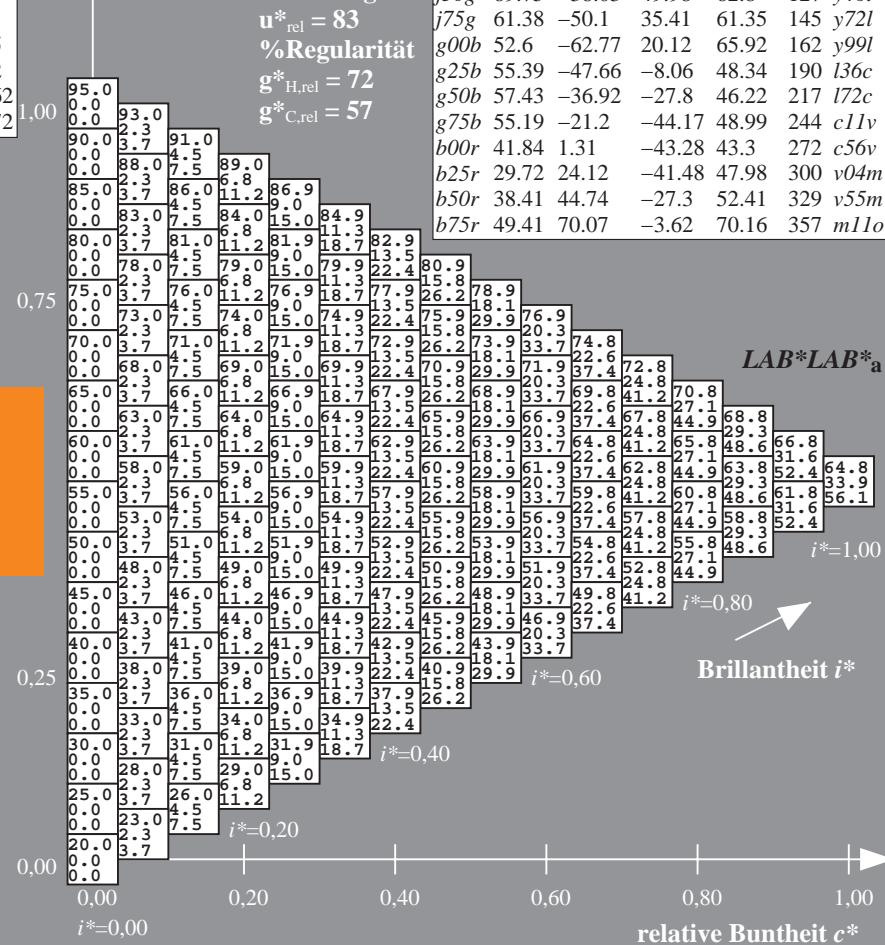
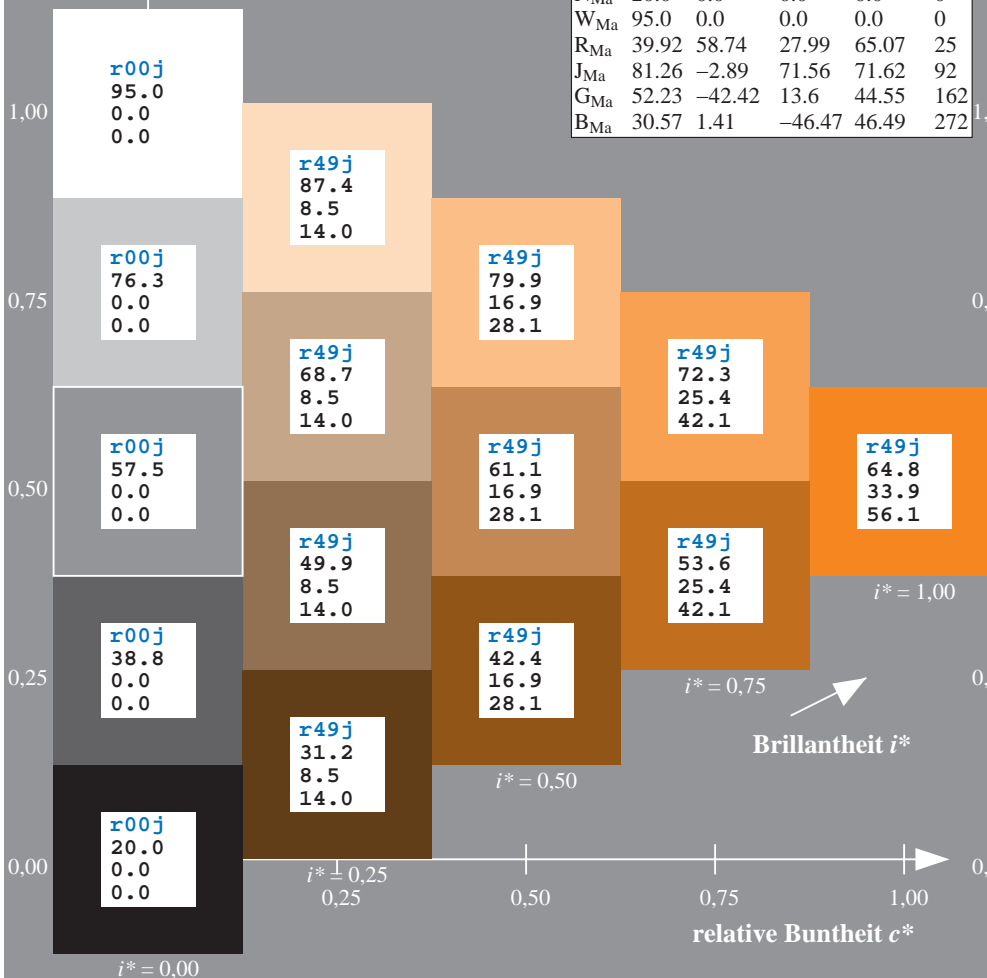
$u^*_{rel} = 83$

%Regularität

$g^*_{H,rel} = 72$

$g^*_{C,rel} = 57$

ORS20_95a; adaptierte CIELAB-Daten									
u^*_e	$L^*=L^*_a$	a^*_a	b^*_a	$C^*_{ab,a}$	$h^*_{ab,a}$	u^*_d			
r00j	48.83	63.91	30.45	70.79	25	m84o			
r25j	55.53	50.37	45.65	67.97	42	o17y			
r50j	64.76	33.86	56.12	65.55	59	o42y			
r75j	74.12	17.13	66.74	68.9	76	o67y			
j00g	85.5	-3.22	79.65	79.72	92	o92y			
j25g	79.45	-24.05	66.85	71.04	110	y20l			
j50g	69.75	-38.03	49.98	62.8	127	y46l			
j75g	61.38	-50.1	35.41	61.35	145	y72l			
g00b	52.6	-62.77	20.12	65.92	162	y99l			
g25b	55.39	-47.66	-8.06	48.34	190	l36c			
g50b	57.43	-36.92	-27.8	46.22	217	l72c			
g75b	55.19	-21.2	-44.17	48.99	244	c11v			
b00r	41.84	1.31	-43.28	43.3	272	c56v			
b25r	29.72	24.12	-41.48	47.98	300	v04m			
b50r	38.41	44.74	-27.3	52.41	329	v55m			
b75r	49.41	70.07	-3.62	70.16	357	m11o			



Ein und Ausgabe: Farbmetrisches Drucker-Reflektiv-System ORS20_95a für relativen CIELAB-Buntton $h^* = \text{lab}^*h^* = h_{ab}/360 = 0.21$

Daten für jede Farbe:

lab^*tch^* und lab^*icu^*

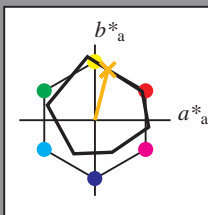
Bunttontexte:

$u^*_e = r75j$ $u^*_d = o67y$

Kontrastreduzierungsfaktor:

$c_R = 0.96$

Dreiecks-Helligkeit i^*



ORS20_95a; adaptierte CIELAB-Daten

	u^*_e	$L^*=L^*_a$	a^*_a	b^*_a	$C^*_{ab,a}$	$h^*_{ab,a}$
O _{Ma}	48.71	62.56	37.91	73.15	31	
Y _{Ma}	89.25	-9.92	83.91	84.49	97	
L _{Ma}	52.5	-62.91	19.95	66.0	162	
C _{Ma}	59.15	-27.87	-44.43	52.45	238	
V _{Ma}	29.13	22.73	-42.44	48.14	298	
M _{Ma}	49.51	71.08	-9.19	71.67	353	
N _{Ma}	20.0	0.0	0.0	0.0	0	
W _{Ma}	95.0	0.0	0.0	0.0	0	
R _{Ma}	39.92	58.74	27.99	65.07	25	
J _{Ma}	81.26	-2.89	71.56	71.62	92	
G _{Ma}	52.23	-42.42	13.6	44.55	162	
B _{Ma}	30.57	1.41	-46.47	46.49	272	

Daten für Maximalfarbe (Ma):

$\text{LAB}^*\text{LAB}^*_{\text{Ma}}$: 74 17 67

$\text{LAB}^*\text{LCH}^*_{\text{Ma}}$: 74 69 75

$\text{lab}^*\text{rgb}^*_{\text{Ma}}$: 1.0 0.75 0.0

$\text{lab}^*\text{olv}^*_{\text{Ma}}$: 1.0 0.68 0.0

Dreiecks-Helligkeit i^*

%Umfang

$u^*_{\text{rel}} = 83$

%Regularität

$g^*_{H,\text{rel}} = 72$

$g^*_{C,\text{rel}} = 57$

ORS20_95a; adaptierte CIELAB-Daten

	u^*_e	$L^*=L^*_a$	a^*_a	b^*_a	$C^*_{ab,a}$	$h^*_{ab,a}$	u^*_d
r00j	48.83	63.91	30.45	70.79	25	m84o	
r25j	55.53	50.37	45.65	67.97	42	o17y	
r50j	64.76	33.86	56.12	65.55	59	o42y	
r75j	74.12	17.13	66.74	68.9	76	o67y	
j00g	85.5	-3.22	79.65	79.72	92	o92y	
j25g	79.45	-24.05	66.85	71.04	110	y20l	
j50g	69.75	-38.03	49.98	62.8	127	y46l	
j75g	61.38	-50.1	35.41	61.35	145	y72l	
g00b	52.6	-62.77	20.12	65.92	162	y99l	
g25b	55.39	-47.66	-8.06	48.34	190	l36c	
g50b	57.43	-36.92	-27.8	46.22	217	l72c	
g75b	55.19	-21.2	-44.17	48.99	244	c11v	
b00r	41.84	1.31	-43.28	43.3	272	c56v	
b25r	29.72	24.12	-41.48	47.98	300	v04m	
b50r	38.41	44.74	-27.3	52.41	329	v55m	
b75r	49.41	70.07	-3.62	70.16	357	m11o	

$\text{LAB}^*\text{LAB}^*_{\text{Ma}}$

$i^* = 1.00$

Brillantheit i^*

$i^* = 0.80$

$i^* = 0.60$

$i^* = 0.40$

$i^* = 0.20$

$i^* = 0.00$

relative Buntheit c^*

Ein und Ausgabe: Farbmetrisches Drucker-Reflektiv-System ORS20_95a für relativen CIELAB-Buntton $h^* = lab^*h^* = h_{ab}/360 = 0.256$

Daten für jede Farbe:

lab^*tch^* und lab^*icu^*

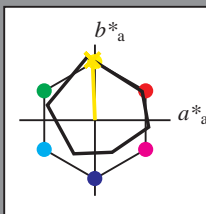
Bunttontexte:

$u^*_e = j00g$ $u^*_d = o92y$

Kontrastreduzierungsfaktor:

$c_R = 0.96$

Dreiecks-Helligkeit i^*



ORS20_95a; adaptierte CIELAB-Daten

	u^*_e	$L^*=L^*_a$	a^*_a	b^*_a	$C^*_{ab,a}$	$h^*_{ab,a}$
O _{Ma}	48.71	62.56	37.91	73.15	31	
Y _{Ma}	89.25	-9.92	83.91	84.49	97	
L _{Ma}	52.5	-62.91	19.95	66.0	162	
C _{Ma}	59.15	-27.87	-44.43	52.45	238	
V _{Ma}	29.13	22.73	-42.44	48.14	298	
M _{Ma}	49.51	71.08	-9.19	71.67	353	
N _{Ma}	20.0	0.0	0.0	0.0	0	
W _{Ma}	95.0	0.0	0.0	0.0	0	
R _{Ma}	39.92	58.74	27.99	65.07	25	
J _{Ma}	81.26	-2.89	71.56	71.62	92	
G _{Ma}	52.23	-42.42	13.6	44.55	162	
B _{Ma}	30.57	1.41	-46.47	46.49	272	

Daten für Maximalfarbe (Ma):

$LAB^*LAB^*_{Ma}$: 86 -3 80

$LAB^*LCH^*_{Ma}$: 86 80 92

$lab^*rgb^*_{Ma}$: 1.0 1.0 0.0

$lab^*olv^*_{Ma}$: 1.0 0.93 0.0

Dreiecks-Helligkeit i^*

%Umfang

$u^*_{rel} = 83$

%Regularität

$g^*_{H,rel} = 72$

$g^*_{C,rel} = 57$

ORS20_95a; adaptierte CIELAB-Daten

	u^*_e	$L^*=L^*_a$	a^*_a	b^*_a	$C^*_{ab,a}$	$h^*_{ab,a}$	u^*_d
r00j	48.83	63.91	30.45	70.79	25	m84o	
r25j	55.53	50.37	45.65	67.97	42	o17y	
r50j	64.76	33.86	56.12	65.55	59	o42y	
r75j	74.12	17.13	66.74	68.9	76	o67y	
j00g	85.5	-3.22	79.65	79.72	92	o92y	
j25g	79.45	-24.05	66.85	71.04	110	y20l	
j50g	69.75	-38.03	49.98	62.8	127	y46l	
j75g	61.38	-50.1	35.41	61.35	145	y72l	
g00b	52.6	-62.77	20.12	65.92	162	y99l	
g25b	55.39	-47.66	-8.06	48.34	190	l36c	
g50b	57.43	-36.92	-27.8	46.22	217	l72c	
g75b	55.19	-21.2	-44.17	48.99	244	c11v	
b00r	41.84	1.31	-43.28	43.3	272	c56v	
b25r	29.72	24.12	-41.48	47.98	300	v04m	
b50r	38.41	44.74	-27.3	52.41	329	v55m	
b75r	49.41	70.07	-3.62	70.16	357	m11o	

$LAB^*LAB^*_{Ma}$

$i^*=1.00$

Brillantheit i^*

$i^*=0.80$

$i^*=0.60$

$i^*=0.40$

$i^*=0.20$

$i^*=0.00$

Ein und Ausgabe: Farbmetrisches Drucker-Reflektiv-System ORS20_95a für relativen CIELAB-Buntton $h^* = lab^*h^* = h_{ab}/360 = 0.305$

Daten für jede Farbe:

lab^*ch^* und lab^*icu^*

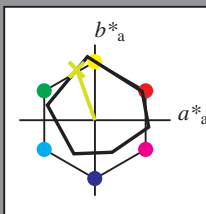
Bunttontexte:

$u^*_e = j25g$ $u^*_d = y20l$

Kontrastreduzierungsfaktor:

$c_R = 0.96$

Dreiecks-Helligkeit i^*



ORS20_95a; adaptierte CIELAB-Daten

	u^*_e	$L^*=L^*_a$	a^*_a	b^*_a	$C^*_{ab,a}$	$h^*_{ab,a}$
O _{Ma}	48.71	62.56	37.91	73.15	31	
Y _{Ma}	89.25	-9.92	83.91	84.49	97	
L _{Ma}	52.5	-62.91	19.95	66.0	162	
C _{Ma}	59.15	-27.87	-44.43	52.45	238	
V _{Ma}	29.13	22.73	-42.44	48.14	298	
M _{Ma}	49.51	71.08	-9.19	71.67	353	
N _{Ma}	20.0	0.0	0.0	0.0	0	
W _{Ma}	95.0	0.0	0.0	0.0	0	
R _{Ma}	39.92	58.74	27.99	65.07	25	
J _{Ma}	81.26	-2.89	71.56	71.62	92	
G _{Ma}	52.23	-42.42	13.6	44.55	162	
B _{Ma}	30.57	1.41	-46.47	46.49	272	

Daten für Maximalfarbe (Ma):

$LAB^*LAB^*_{Ma}$: 79 -24 67

$LAB^*LCH^*_{Ma}$: 79 71 109

$lab^*rgb^*_{Ma}$: 0.75 1.0 0.0

$lab^*olv^*_{Ma}$: 0.8 1.0 0.0

Dreiecks-Helligkeit i^*

%Umfang

$u^*_{rel} = 83$

%Regularität

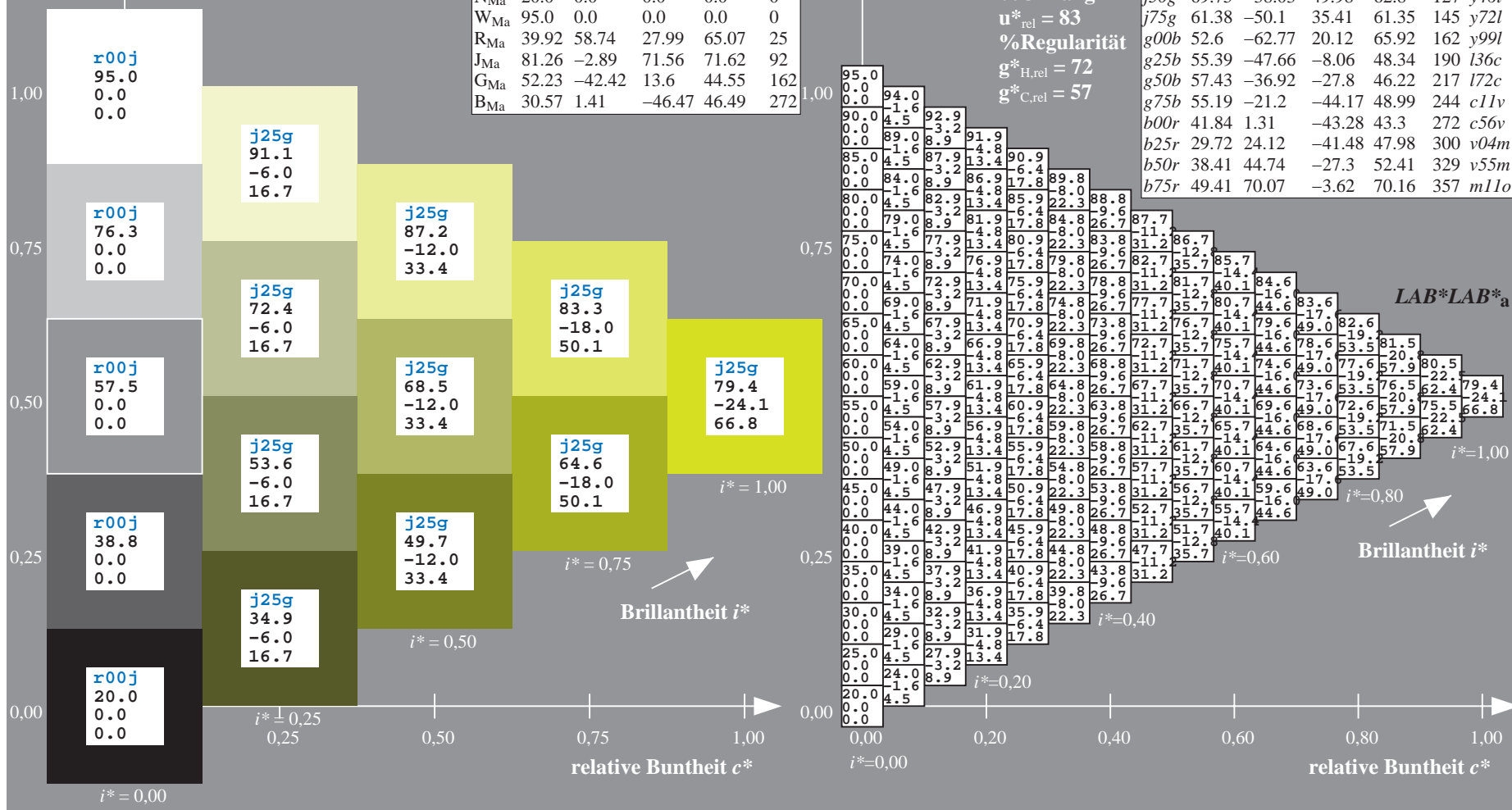
$g^*_{H,rel} = 72$

$g^*_{C,rel} = 57$

ORS20_95a; adaptierte CIELAB-Daten

	u^*_e	$L^*=L^*_a$	a^*_a	b^*_a	$C^*_{ab,a}$	$h^*_{ab,a}$	u^*_d
r00j	48.83	63.91	30.45	70.79	25	m84o	
r25j	55.53	50.37	45.65	67.97	42	o17y	
r50j	64.76	33.86	56.12	65.55	59	o42y	
r75j	74.12	17.13	66.74	68.9	76	o67y	
j00g	85.5	-3.22	79.65	79.72	92	o92y	
j25g	79.45	-24.05	66.85	71.04	110	y20l	
j50g	69.75	-38.03	49.98	62.8	127	y46l	
j75g	61.38	-50.1	35.41	61.35	145	y72l	
g00b	52.6	-62.77	20.12	65.92	162	y99l	
g25b	55.39	-47.66	-8.06	48.34	190	l36c	
g50b	57.43	-36.92	-27.8	46.22	217	l72c	
g75b	55.19	-21.2	-44.17	48.99	244	c11v	
b00r	41.84	1.31	-43.28	43.3	272	c56v	
b25r	29.72	24.12	-41.48	47.98	300	v04m	
b50r	38.41	44.74	-27.3	52.41	329	v55m	
b75r	49.41	70.07	-3.62	70.16	357	m11o	

$u^*_e = j25g$
 $LAB^*LAB^*_a$



Ein und Ausgabe: Farbmetrisches Drucker-Reflektiv-System ORS20_95a für relativen CIELAB-Buntton $h^* = \text{lab}^*h^* = h_{ab}/360 = 0.354$

Daten für jede Farbe:

lab^*tch^* und lab^*icu^*

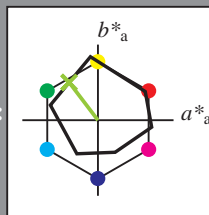
Bunttontexte:

$u^*_e = j50g$ $u^*_d = y46l$

Kontrastreduzierungsfaktor:

$c_R = 0.96$

Dreiecks-Helligkeit i^*



ORS20_95a; adaptierte CIELAB-Daten						
u^*_e	$L^*=L^*_a$	a^*_a	b^*_a	$C^*_{ab,a}$	$h^*_{ab,a}$	
O _{Ma}	48.71	62.56	37.91	73.15	31	
Y _{Ma}	89.25	-9.92	83.91	84.49	97	
L _{Ma}	52.5	-62.91	19.95	66.0	162	
C _{Ma}	59.15	-27.87	-44.43	52.45	238	
V _{Ma}	29.13	22.73	-42.44	48.14	298	
M _{Ma}	49.51	71.08	-9.19	71.67	353	
N _{Ma}	20.0	0.0	0.0	0.0	0	
W _{Ma}	95.0	0.0	0.0	0.0	0	
R _{Ma}	39.92	58.74	27.99	65.07	25	
J _{Ma}	81.26	-2.89	71.56	71.62	92	
G _{Ma}	52.23	-42.42	13.6	44.55	162	
B _{Ma}	30.57	1.41	-46.47	46.49	272	

Daten für Maximalfarbe (Ma):

$\text{LAB}^*\text{LAB}^*_{Ma}$: 70 -38 50

$\text{LAB}^*\text{LCH}^*_{Ma}$: 70 63 127

$\text{lab}^*\text{rgb}^*_{Ma}$: 0.5 1.0 0.0

$\text{lab}^*\text{olv}^*_{Ma}$: 0.54 1.0 0.0

Dreiecks-Helligkeit i^*

%Umfang

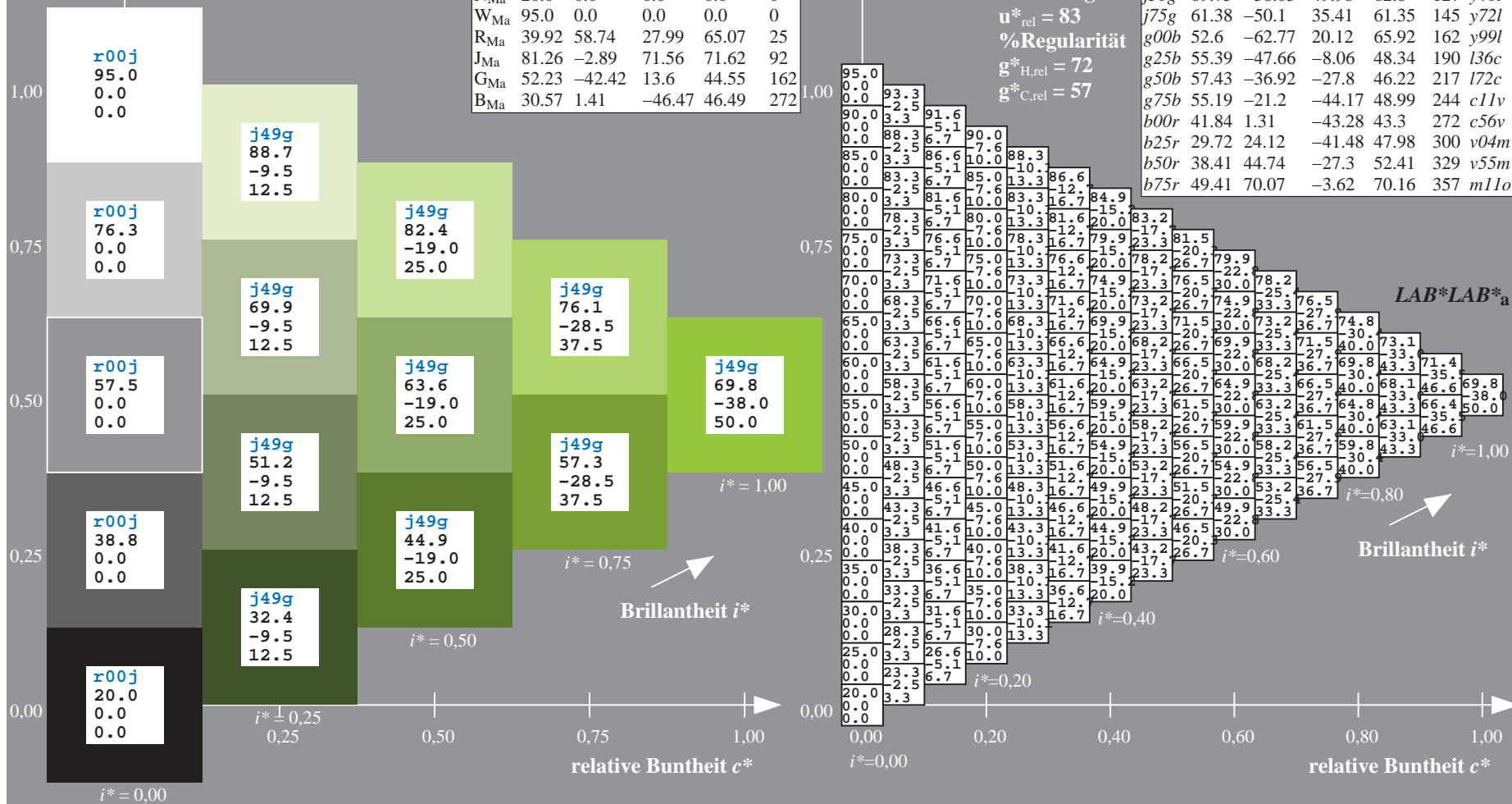
$u^*_{rel} = 83$

%Regularität

$g^*_{H,rel} = 72$

$g^*_{C,rel} = 57$

ORS20_95a; adaptierte CIELAB-Daten								
u^*_e	$L^*=L^*_a$	a^*_a	b^*_a	$C^*_{ab,a}$	$h^*_{ab,a}$	u^*_d		
r00j	48.83	63.91	30.45	70.79	25	m84o		
r25j	55.53	50.37	45.65	67.97	42	o17y		
r50j	64.76	33.86	56.12	65.55	59	o42y		
r75j	74.12	17.13	66.74	68.9	76	o67y		
j00g	85.5	-3.22	79.65	79.72	92	o92y		
j25g	79.45	-24.05	66.85	71.04	110	y20l		
j50g	69.75	-38.03	49.98	62.8	127	y46l		
j75g	61.38	-50.1	35.41	61.35	145	y72l		
g00b	52.6	-62.77	20.12	65.92	162	y99l		
g25b	55.39	-47.66	-8.06	48.34	190	l36c		
g50b	57.43	-36.92	-27.8	46.22	217	l72c		
g75b	55.19	-21.2	-44.17	48.99	244	c11v		
b00r	41.84	1.31	-43.28	43.3	272	c56v		
b25r	29.72	24.12	-41.48	47.98	300	v04m		
b50r	38.41	44.74	-27.3	52.41	329	v55m		
b75r	49.41	70.07	-3.62	70.16	357	m11o		



Ein und Ausgabe: Farbmetrisches Drucker-Reflektiv-System ORS20_95a für relativen CIELAB-Buntton $h^* = lab^*h^* = h_{ab}/360 = 0.402$

Daten für jede Farbe:

lab^*ch^* und lab^*icu^*

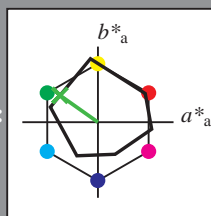
Bunttontexte:

$u^*_e = j75g$ $u^*_d = y72l$

Kontrastreduzierungsfaktor:

$c_R = 0.96$

Dreiecks-Helligkeit i^*



ORS20_95a; adaptierte CIELAB-Daten						
u^*_e	$L^*=L^*_a$	a^*_a	b^*_a	$C^*_{ab,a}$	$h^*_{ab,a}$	
O _{Ma}	48.71	62.56	37.91	73.15	31	
Y _{Ma}	89.25	-9.92	83.91	84.49	97	
L _{Ma}	52.5	-62.91	19.95	66.0	162	
C _{Ma}	59.15	-27.87	-44.43	52.45	238	
V _{Ma}	29.13	22.73	-42.44	48.14	298	
M _{Ma}	49.51	71.08	-9.19	71.67	353	
N _{Ma}	20.0	0.0	0.0	0.0	0	
W _{Ma}	95.0	0.0	0.0	0.0	0	
R _{Ma}	39.92	58.74	27.99	65.07	25	
J _{Ma}	81.26	-2.89	71.56	71.62	92	
G _{Ma}	52.23	-42.42	13.6	44.55	162	
B _{Ma}	30.57	1.41	-46.47	46.49	272	

Daten für Maximalfarbe (Ma):

$LAB^*LAB^*_{Ma}$: 61 -50 35

$LAB^*LCH^*_{Ma}$: 61 61 144

$lab^*rgb^*_{Ma}$: 0.25 1.0 0.0

$lab^*olv^*_{Ma}$: 0.27 1.0 0.0

Dreiecks-Helligkeit i^*

%Umfang

$u^*_{rel} = 83$

%Regularität

$g^*_{H,rel} = 72$

$g^*_{C,rel} = 57$

ORS20_95a; adaptierte CIELAB-Daten						
u^*_e	$L^*=L^*_a$	a^*_a	b^*_a	$C^*_{ab,a}$	$h^*_{ab,a}$	u^*_d
r00j	48.83	63.91	30.45	70.79	25	m84o
r25j	55.53	50.37	45.65	67.97	42	o17y
r50j	64.76	33.86	56.12	65.55	59	o42y
r75j	74.12	17.13	66.74	68.9	76	o67y
j00g	85.5	-3.22	79.65	79.72	92	o92y
j25g	79.45	-24.05	66.85	71.04	110	y20l
j50g	69.75	-38.03	49.98	62.8	127	y46l
j75g	61.38	-50.1	35.41	61.35	145	y72l
g00b	52.6	-62.77	20.12	65.92	162	y99l
g25b	55.39	-47.66	-8.06	48.34	190	l36c
g50b	57.43	-36.92	-27.8	46.22	217	l72c
g75b	55.19	-21.2	-44.17	48.99	244	c11v
b00r	41.84	1.31	-43.28	43.3	272	c56v
b25r	29.72	24.12	-41.48	47.98	300	v04m
b50r	38.41	44.74	-27.3	52.41	329	v55m
b75r	49.41	70.07	-3.62	70.16	357	m11o

$LAB^*LAB^*_{a}$

$i^*=1.00$

Brillantheit i^*

$i^*=0.80$

$i^*=0.60$

$i^*=0.40$

$i^*=0.20$

$i^*=0.00$

relative Buntheit c^*

Ein und Ausgabe: Farbmetrisches Drucker-Reflektiv-System ORS20_95a für relativen CIELAB-Buntton $h^* = lab^*h^* = h_{ab}/360 = 0.451$

Daten für jede Farbe:

lab^*ch^* und lab^*icu^*

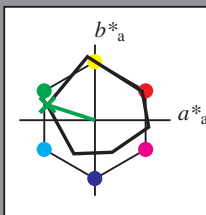
Bunttontexte:

$u^*_e = g00b$ $u^*_d = y99l$

Kontrastreduzierungsfaktor:

$c_R = 0.96$

Dreiecks-Helligkeit i^*



ORS20_95a; adaptierte CIELAB-Daten

u^*_e	$L^*=L^*_a$	a^*_a	b^*_a	$C^*_{ab,a}$	$h^*_{ab,a}$
O _{Ma}	48.71	62.56	37.91	73.15	31
Y _{Ma}	89.25	-9.92	83.91	84.49	97
L _{Ma}	52.5	-62.91	19.95	66.0	162
C _{Ma}	59.15	-27.87	-44.43	52.45	238
V _{Ma}	29.13	22.73	-42.44	48.14	298
M _{Ma}	49.51	71.08	-9.19	71.67	353
N _{Ma}	20.0	0.0	0.0	0.0	0
W _{Ma}	95.0	0.0	0.0	0.0	0
R _{Ma}	39.92	58.74	27.99	65.07	25
J _{Ma}	81.26	-2.89	71.56	71.62	92
G _{Ma}	52.23	-42.42	13.6	44.55	162
B _{Ma}	30.57	1.41	-46.47	46.49	272

Daten für Maximalfarbe (Ma):

$LAB^*LAB^*_{Ma}$: 53 -63 20

$LAB^*LCH^*_{Ma}$: 53 66 162

$lab^*rgb^*_{Ma}$: 0.0 1.0 0.0

$lab^*olv^*_{Ma}$: 0.0 1.0 0.0

Dreiecks-Helligkeit i^*

%Umfang

$u^*_{rel} = 83$

%Regularität

$g^*_{H,rel} = 72$

$g^*_{C,rel} = 57$

ORS20_95a; adaptierte CIELAB-Daten

u^*_e	$L^*=L^*_a$	a^*_a	b^*_a	$C^*_{ab,a}$	$h^*_{ab,a}$	u^*_d
r00j	48.83	63.91	30.45	70.79	25	m84o
r25j	55.53	50.37	45.65	67.97	42	o17y
r50j	64.76	33.86	56.12	65.55	59	o42y
r75j	74.12	17.13	66.74	68.9	76	o67y
j00g	85.5	-3.22	79.65	79.72	92	o92y
j25g	79.45	-24.05	66.85	71.04	110	y20l
j50g	69.75	-38.03	49.98	62.8	127	y46l
j75g	61.38	-50.1	35.41	61.35	145	y72l
g00b	52.6	-62.77	20.12	65.92	162	y99l
g25b	55.39	-47.66	-8.06	48.34	190	l36c
g50b	57.43	-36.92	-27.8	46.22	217	l72c
g75b	55.19	-21.2	-44.17	48.99	244	c11v
b00r	41.84	1.31	-43.28	43.3	272	c56v
b25r	29.72	24.12	-41.48	47.98	300	v04m
b50r	38.41	44.74	-27.3	52.41	329	v55m
b75r	49.41	70.07	-3.62	70.16	357	m11o

$LAB^*LAB^*_{a}$

$i^* = 1.00$

Brillantheit i^*

$i^* = 0.80$

$i^* = 0.60$

$i^* = 0.40$

$i^* = 0.20$

relative Buntheit c^*

relative Buntheit c^*

www.ps.bam.de/Eg13/10L/L13G00NA.PS/.TXT; ORS19_96a; Transfer und Ausgabe
N: Keine Ausgabe-Linearisierung (OL) in Datei (F), Startup (S), Gerät (D)

Daten für jede Farbe:

*lab*tch** und *lab*icu**

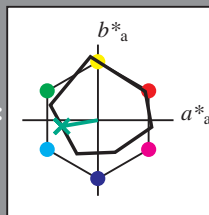
Bunttexte:

$$u^*_e = g25b \quad u^*_d = l36c$$

Kontrastreduzierungsfaktor:

 $c_D = 0.96$

K Dreiecks-Helligkeit t^*



ORS20_95a; adaptierte CIELAB-Daten						
u_e^*	$L^*=L_a^*$	a^*	b^*_a	$C^*_{ab,a}$	$h^*_{ab,a}$	
O _{Ma}	48.71	62.56	37.91	73.15		31
Y _{Ma}	89.25	-9.92	83.91	84.49		97
L _{Ma}	52.5	-62.91	19.95	66.0		162
C _{Ma}	59.15	-27.87	-44.43	52.45		238
V _{Ma}	29.13	22.73	-42.44	48.14		298
M _{Ma}	49.51	71.08	-9.19	71.67		353
N _{Ma}	20.0	0.0	0.0	0.0		0
W _{Ma}	95.0	0.0	0.0	0.0		0
R _{Ma}	39.92	58.74	27.99	65.07		25
J _{Ma}	81.26	-2.89	71.56	71.62		92
G _{Ma}	52.23	-42.42	13.6	44.55		162
B _{Ma}	30.57	1.41	-46.47	46.49		272

Daten für Maximalfarbe (Ma):

LAB*LAB*Mo: 55 -48 -8

LAD	LAD	Ma	55	-46	-6
LAD*LCII*			55	49	100

LAB*LCH*Ma: 55 48 1

*lab*rgb**Ma: 0.0 1.0 0.5

*lab*olv**Ma: 0.0 1.0 0.36

Dreiecks-Helligkeit t^*

0/11

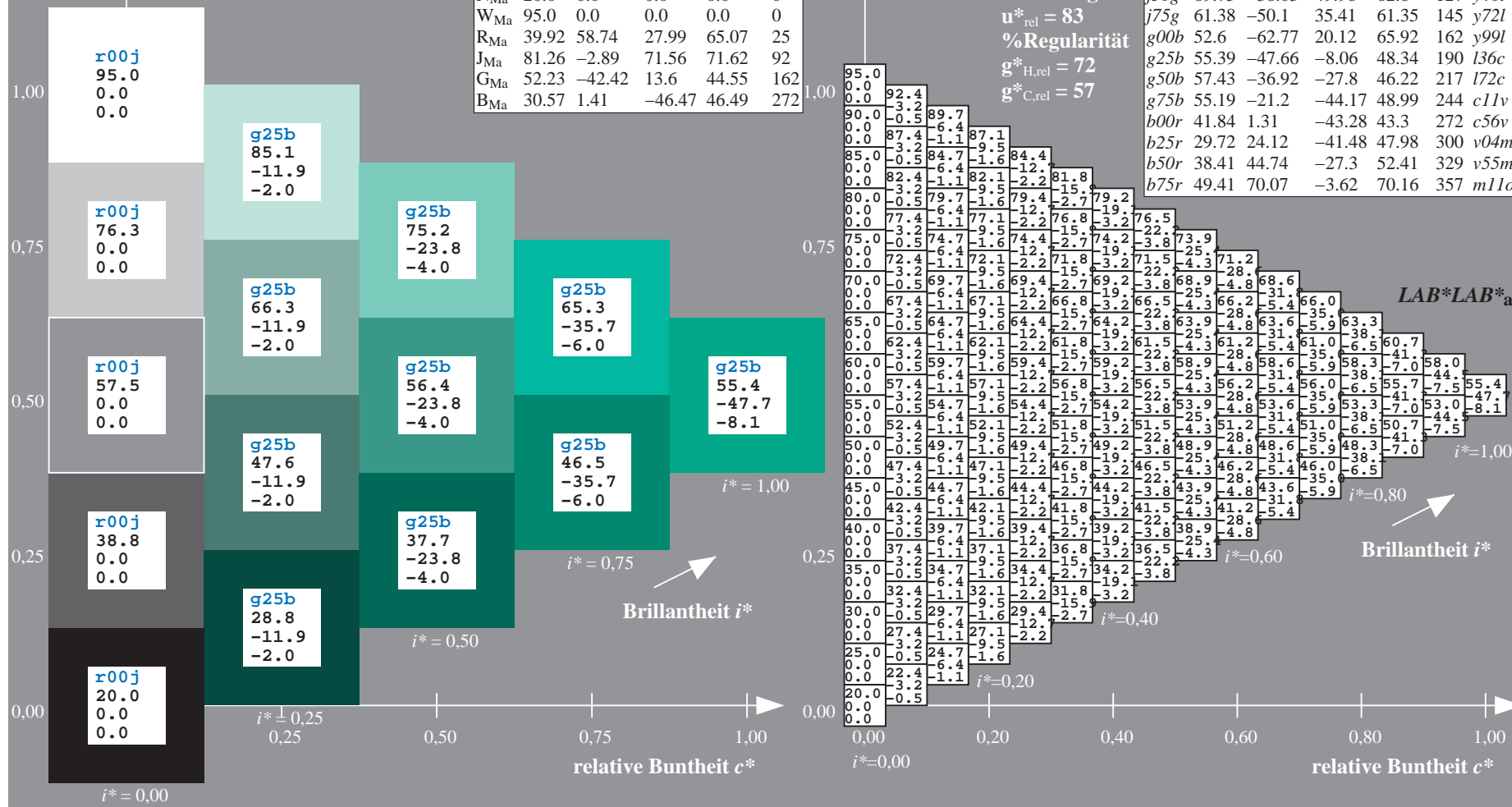
%Umfang

$$\mathbf{u}_{\text{rel}}^* = 83$$

%Regularität

$$g^*_{H,rel} = 72$$
$$g^*_{C,rel} = 57$$

ORS20_95a; adaptierte CIELAB-Daten							
u_e	$L^*=L_a$	a^*_a	b^*_a	$C^*_{ab,a}$	$h^*_{ab,a}$	u_d	
<i>r00j</i>	48.83	63.91	30.45	70.79	25	<i>m84c</i>	
<i>r25j</i>	55.53	50.37	45.65	67.97	42	<i>o17y</i>	
<i>r50j</i>	64.76	33.86	56.12	65.55	59	<i>o42y</i>	
<i>r75j</i>	74.12	17.13	66.74	68.9	76	<i>o67y</i>	
<i>j00g</i>	85.5	-3.22	79.65	79.72	92	<i>o92y</i>	
<i>j25g</i>	79.45	-24.05	66.85	71.04	110	<i>y20l</i>	
<i>j50g</i>	69.75	-38.03	49.98	62.8	127	<i>y46l</i>	
<i>j75g</i>	61.38	-50.1	35.41	61.35	145	<i>y72l</i>	
<i>g00b</i>	52.6	-62.77	20.12	65.92	162	<i>y99l</i>	
<i>g25b</i>	55.39	-47.66	-8.06	48.34	190	<i>i36c</i>	
<i>g50b</i>	57.43	-36.92	-27.8	46.22	217	<i>i72c</i>	
<i>g75b</i>	55.19	-21.2	-44.17	48.99	244	<i>c11v</i>	
<i>b00r</i>	41.84	1.31	-43.28	43.3	272	<i>c56v</i>	
<i>b25r</i>	29.72	24.12	-41.48	47.98	300	<i>v04m</i>	
<i>b50r</i>	38.41	44.74	-27.3	52.41	329	<i>v55m</i>	
<i>b75r</i>	49.41	70.07	-3.62	70.16	357	<i>m11a</i>	



BAM-Prüfvorlage Eg13; Farbmatrik-Systeme, Seite 155/270 Eingabe: 000n / w / nnn0 / www set...
4 Separationen, 9 Datentabellen für 16 Bunttöne r00j bis b75r Ausgabe: ->cmyn6* setcmykcolor

BAM-Prüfvorlage Eg13; Farbmatrik-Systeme, Seite 155/270 Eingabe: 000n / w / nnn0 / www set...
4 Separationen, 9 Datentabellen für 16 Bunttöne r00j bis b75r Ausgabe: ->cmyn6* setcmykcolor

BAM-Registrierung: 20081001-Eg13/10/L13G00NA.PS/.TXT BAM-Material: Code=rha4ta
Anwendung für Beurteilung und Messung von Drucker- oder Monitorsystemen

BAM-Registrierung: 20081001-Eg13/10/L13G00NA.PS/.TXT BAM-Material: Code=rha4ta
Anwendung für Beurteilung und Messung von Drucker- oder Monitorsystemen

Ein und Ausgabe: Farbmetrisches Drucker-Reflektiv-System ORS20_95a für relativen CIELAB-Buntton $h^* = lab^*h^* = h_{ab}/360 = 0.603$

Daten für jede Farbe:

lab^*tch^* und lab^*icu^*

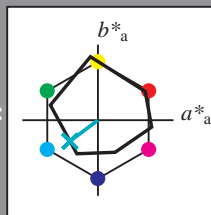
Bunttontexte:

$u^*_e = g50b$ $u^*_d = l72c$

Kontrastreduzierungsfaktor:

$c_R = 0.96$

Dreiecks-Helligkeit i^*



ORS20_95a; adaptierte CIELAB-Daten

	u^*_e	$L^*=L^*_a$	a^*_a	b^*_a	$C^*_{ab,a}$	$h^*_{ab,a}$
O _{Ma}	48.71	62.56	37.91	73.15	31	
Y _{Ma}	89.25	-9.92	83.91	84.49	97	
L _{Ma}	52.5	-62.91	19.95	66.0	162	
C _{Ma}	59.15	-27.87	-44.43	52.45	238	
V _{Ma}	29.13	22.73	-42.44	48.14	298	
M _{Ma}	49.51	71.08	-9.19	71.67	353	
N _{Ma}	20.0	0.0	0.0	0.0	0	
W _{Ma}	95.0	0.0	0.0	0.0	0	
R _{Ma}	39.92	58.74	27.99	65.07	25	
J _{Ma}	81.26	-2.89	71.56	71.62	92	
G _{Ma}	52.23	-42.42	13.6	44.55	162	
B _{Ma}	30.57	1.41	-46.47	46.49	272	

Daten für Maximalfarbe (Ma):

$LAB^*LAB^*_{Ma}$: 57 -37 -28

$LAB^*LCH^*_{Ma}$: 57 46 216

$lab^*rgb^*_{Ma}$: 0.0 1.0 1.0

$lab^*olv^*_{Ma}$: 0.0 1.0 0.72

Dreiecks-Helligkeit i^*

%Umfang

$u^*_{rel} = 83$

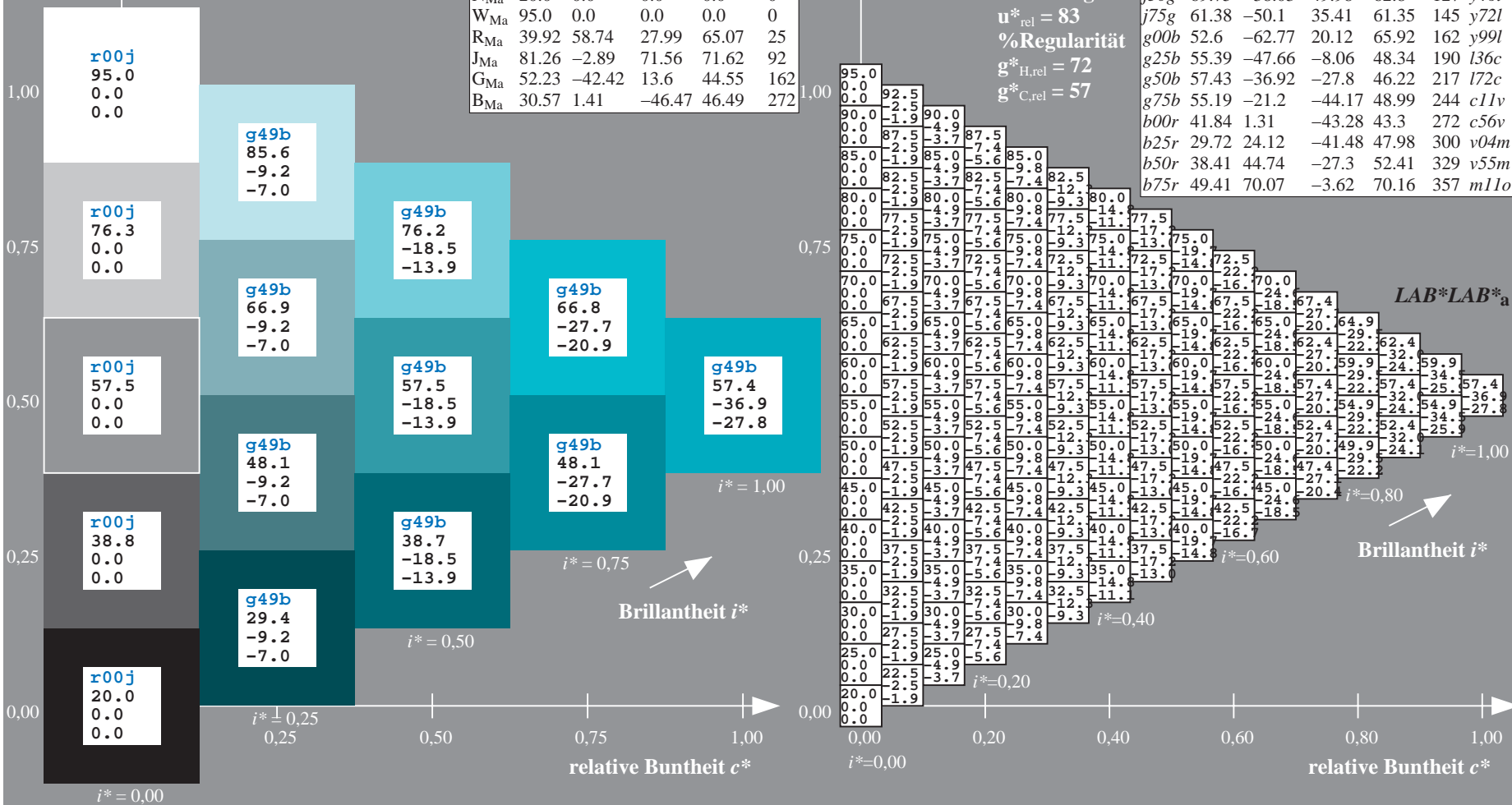
%Regularität

$g^*_{H,rel} = 72$

$g^*_{C,rel} = 57$

ORS20_95a; adaptierte CIELAB-Daten

	u^*_e	$L^*=L^*_a$	a^*_a	b^*_a	$C^*_{ab,a}$	$h^*_{ab,a}$	u^*_d
r00j	48.83	63.91	30.45	70.79	25	m84o	
r25j	55.53	50.37	45.65	67.97	42	o17y	
r50j	64.76	33.86	56.12	65.55	59	o42y	
r75j	74.12	17.13	66.74	68.9	76	o67y	
j00g	85.5	-3.22	79.65	79.72	92	o92y	
j25g	79.45	-24.05	66.85	71.04	110	y20l	
j50g	69.75	-38.03	49.98	62.8	127	y46l	
j75g	61.38	-50.1	35.41	61.35	145	y72l	
g00b	52.6	-62.77	20.12	65.92	162	y99l	
g25b	55.39	-47.66	-8.06	48.34	190	l36c	
g50b	57.43	-36.92	-27.8	46.22	217	l72c	
g75b	55.19	-21.2	-44.17	48.99	244	c11v	
b00r	41.84	1.31	-43.28	43.3	272	c56v	
b25r	29.72	24.12	-41.48	47.98	300	v04m	
b50r	38.41	44.74	-27.3	52.41	329	v55m	
b75r	49.41	70.07	-3.62	70.16	357	m11o	



Ein und Ausgabe: Farbmetrisches Drucker-Reflektiv-System ORS20_95a für relativen CIELAB-Buntton $h^* = lab^*h^* = h_{ab}/360 = 0.679$

Daten für jede Farbe:

lab^*tch^* und lab^*icu^*

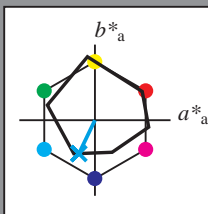
Bunttontexte:

$u^*_e = g75b$ $u^*_d = c11v$

Kontrastreduzierungsfaktor:

$c_R = 0.96$

Dreiecks-Helligkeit i^*



ORS20_95a; adaptierte CIELAB-Daten

	u^*_e	$L^*=L^*_a$	a^*_a	b^*_a	$C^*_{ab,a}$	$h^*_{ab,a}$
O _{Ma}	48.71	62.56	37.91	73.15	31	
Y _{Ma}	89.25	-9.92	83.91	84.49	97	
L _{Ma}	52.5	-62.91	19.95	66.0	162	
C _{Ma}	59.15	-27.87	-44.43	52.45	238	
V _{Ma}	29.13	22.73	-42.44	48.14	298	
M _{Ma}	49.51	71.08	-9.19	71.67	353	
N _{Ma}	20.0	0.0	0.0	0.0	0	
W _{Ma}	95.0	0.0	0.0	0.0	0	
R _{Ma}	39.92	58.74	27.99	65.07	25	
J _{Ma}	81.26	-2.89	71.56	71.62	92	
G _{Ma}	52.23	-42.42	13.6	44.55	162	
B _{Ma}	30.57	1.41	-46.47	46.49	272	

Daten für Maximalfarbe (Ma):

$LAB^*LAB^*_{Ma}$: 55 -21 -44

$LAB^*LCH^*_{Ma}$: 55 49 244

$lab^*rgb^*_{Ma}$: 0.0 0.5 1.0

$lab^*olv^*_{Ma}$: 0.0 0.89 1.0

Dreiecks-Helligkeit i^*

%Umfang

$u^*_{rel} = 83$

%Regularität

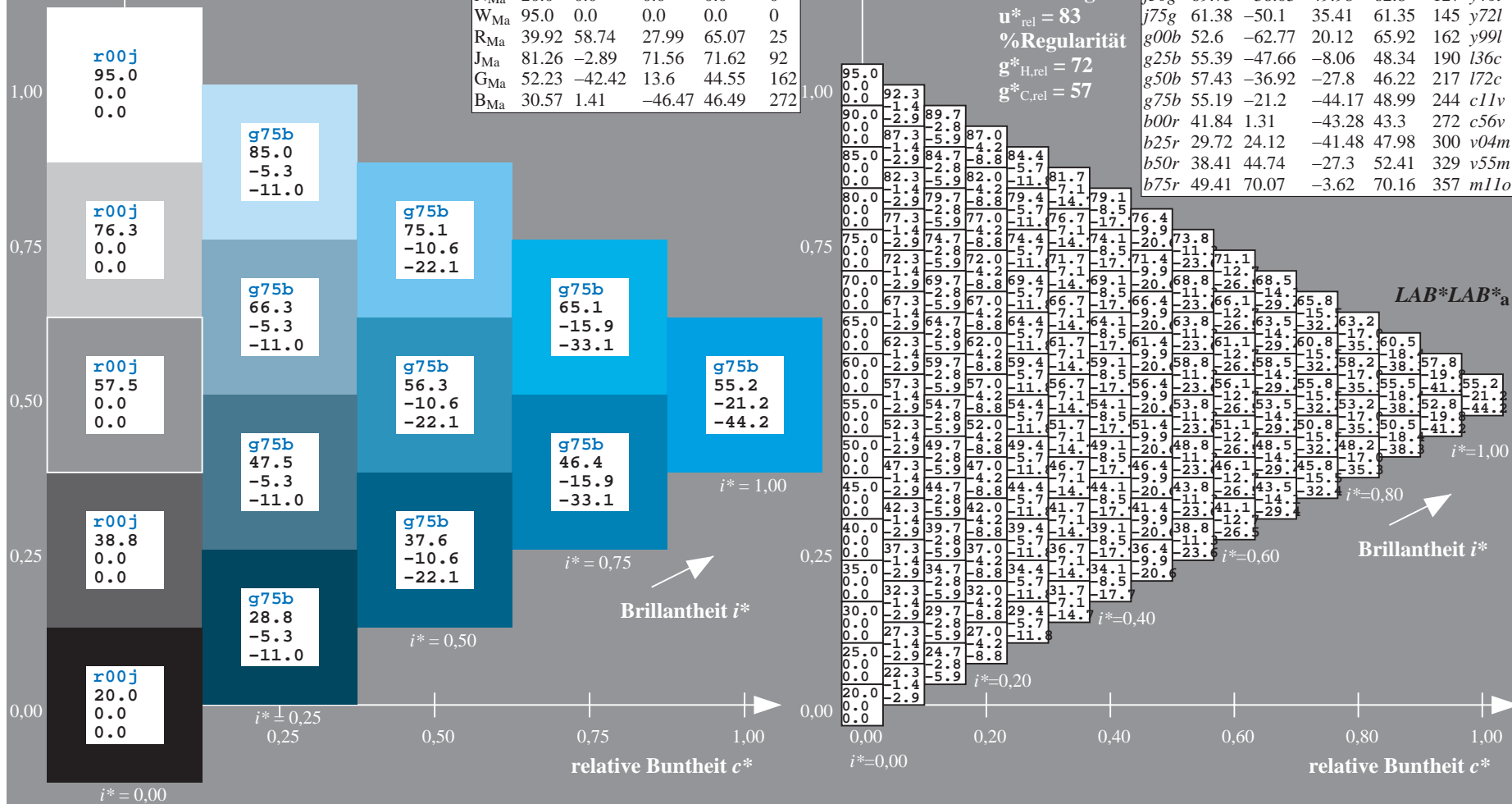
$g^*_{H,rel} = 72$

$g^*_{C,rel} = 57$

ORS20_95a; adaptierte CIELAB-Daten

	u^*_e	$L^*=L^*_a$	a^*_a	b^*_a	$C^*_{ab,a}$	$h^*_{ab,a}$	u^*_d
r00j	48.83	63.91	30.45	70.79	25	m84o	
r25j	55.53	50.37	45.65	67.97	42	o17y	
r50j	64.76	33.86	56.12	65.55	59	o42y	
r75j	74.12	17.13	66.74	68.9	76	o67y	
j00g	85.5	-3.22	79.65	79.72	92	o92y	
j25g	79.45	-24.05	66.85	71.04	110	y20l	
j50g	69.75	-38.03	49.98	62.8	127	y46l	
j75g	61.38	-50.1	35.41	61.35	145	y72l	
g00b	52.6	-62.77	20.12	65.92	162	y99l	
g25b	55.39	-47.66	-8.06	48.34	190	l36c	
g50b	57.43	-36.92	-27.8	46.22	217	l72c	
g75b	55.19	-21.2	-44.17	48.99	244	c11v	
b00r	41.84	1.31	-43.28	43.3	272	c56v	
b25r	29.72	24.12	-41.48	47.98	300	v04m	
b50r	38.41	44.74	-27.3	52.41	329	v55m	
b75r	49.41	70.07	-3.62	70.16	357	m11o	

$u^*_e = g75b$
 $LAB^*LAB^*_a$



Ein und Ausgabe: Farbmetrisches Drucker-Reflektiv-System ORS20_95a für relativen CIELAB-Buntton $h^* = lab^*h^* = h_{ab}/360 = 0.755$

Daten für jede Farbe:

lab^*ch^* und lab^*icu^*

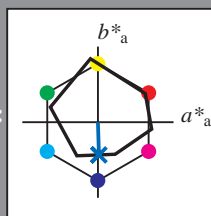
Bunttontexte:

$u^*_e = b00r$ $u^*_d = c56v$

Kontrastreduzierungsfaktor:

$c_R = 0.96$

Dreiecks-Helligkeit i^*



ORS20_95a; adaptierte CIELAB-Daten						
u^*_e	$L^*=L^*_a$	a^*_a	b^*_a	$C^*_{ab,a}$	$h^*_{ab,a}$	
O _{Ma}	48.71	62.56	37.91	73.15	31	
Y _{Ma}	89.25	-9.92	83.91	84.49	97	
L _{Ma}	52.5	-62.91	19.95	66.0	162	
C _{Ma}	59.15	-27.87	-44.43	52.45	238	
V _{Ma}	29.13	22.73	-42.44	48.14	298	
M _{Ma}	49.51	71.08	-9.19	71.67	353	
N _{Ma}	20.0	0.0	0.0	0.0	0	
W _{Ma}	95.0	0.0	0.0	0.0	0	
R _{Ma}	39.92	58.74	27.99	65.07	25	
J _{Ma}	81.26	-2.89	71.56	71.62	92	
G _{Ma}	52.23	-42.42	13.6	44.55	162	
B _{Ma}	30.57	1.41	-46.47	46.49	272	

Daten für Maximalfarbe (Ma):

$LAB^*LAB^*_Ma$: 42 1 -43

$LAB^*LCH^*_Ma$: 42 43 271

$lab^*rgb^*_Ma$: 0.0 0.0 1.0

$lab^*olv^*_Ma$: 0.0 0.44 1.0

Dreiecks-Helligkeit i^*

%Umfang

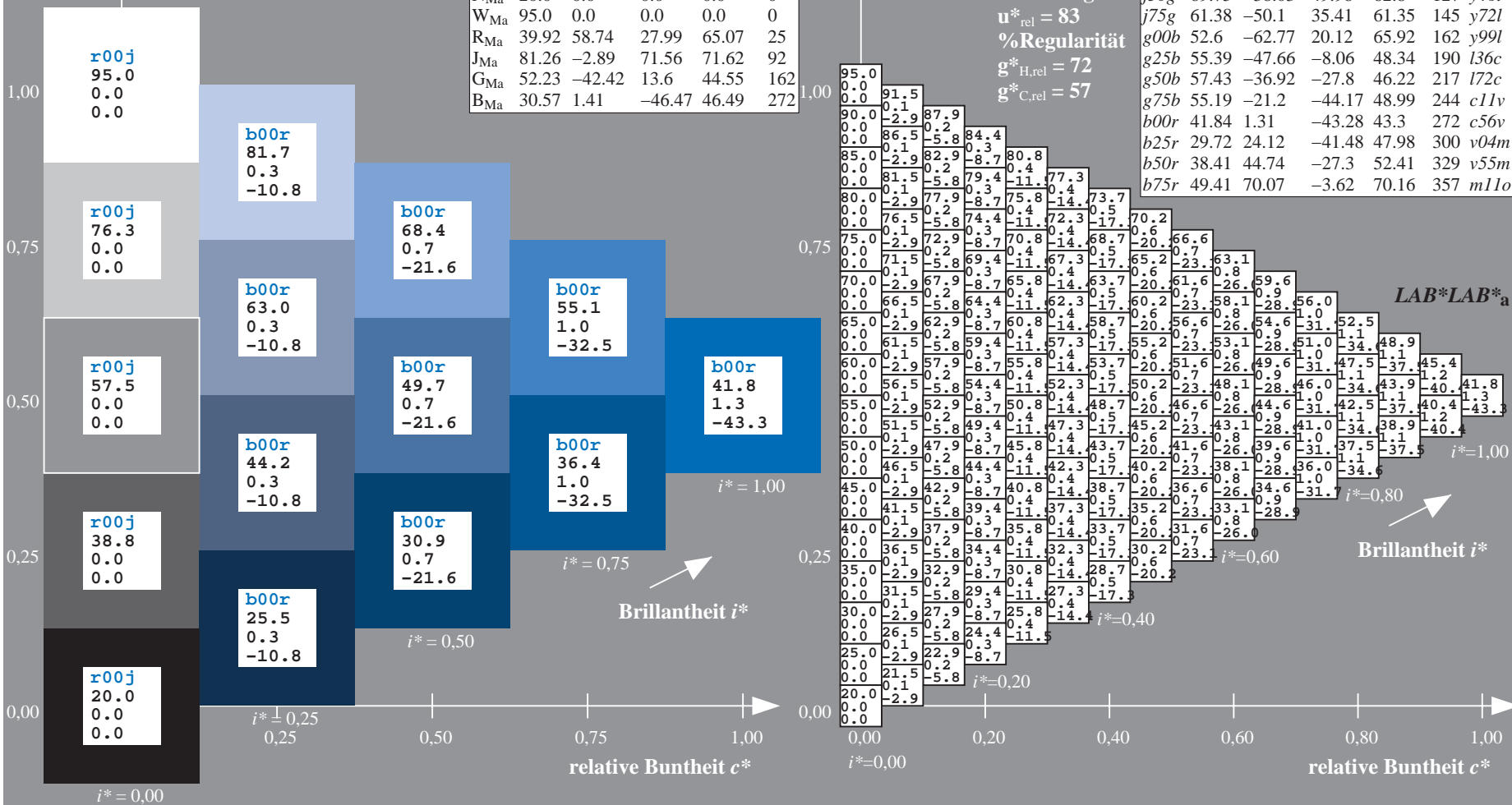
$u^*_{rel} = 83$

%Regularität

$g^*_{H,rel} = 72$

$g^*_{C,rel} = 57$

ORS20_95a; adaptierte CIELAB-Daten						
u^*_e	$L^*=L^*_a$	a^*_a	b^*_a	$C^*_{ab,a}$	$h^*_{ab,a}$	u^*_d
r00j	48.83	63.91	30.45	70.79	25	m84o
r25j	55.53	50.37	45.65	67.97	42	o17y
r50j	64.76	33.86	56.12	65.55	59	o42y
r75j	74.12	17.13	66.74	68.9	76	o67y
j00g	85.5	-3.22	79.65	79.72	92	o92y
j25g	79.45	-24.05	66.85	71.04	110	y20l
j50g	69.75	-38.03	49.98	62.8	127	y46l
j75g	61.38	-50.1	35.41	61.35	145	y72l
g00b	52.6	-62.77	20.12	65.92	162	y99l
g25b	55.39	-47.66	-8.06	48.34	190	l36c
g50b	57.43	-36.92	-27.8	46.22	217	l72c
g75b	55.19	-21.2	-44.17	48.99	244	c11v
b00r	41.84	1.31	-43.28	43.3	272	c56v
b25r	29.72	24.12	-41.48	47.98	300	v04m
b50r	38.41	44.74	-27.3	52.41	329	v55m
b75r	49.41	70.07	-3.62	70.16	357	m11o



Ein und Ausgabe: Farbmetrisches Drucker-Reflektiv-System ORS20_95a für relativen CIELAB-Buntton $h^* = lab^*h^* = h_{ab}/360 = 0.834$

Daten für jede Farbe:

lab^*ch^* und lab^*icu^*

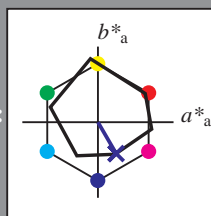
Bunttontexte:

$u^*_e = b25r$ $u^*_d = v04m$

Kontrastreduzierungsfaktor:

$c_R = 0.96$

Dreiecks-Helligkeit i^*



ORS20_95a; adaptierte CIELAB-Daten						
u^*_e	$L^*=L^*_a$	a^*_a	b^*_a	$C^*_{ab,a}$	$h^*_{ab,a}$	u^*_d
O _{Ma}	48.71	62.56	37.91	73.15	31	
Y _{Ma}	89.25	-9.92	83.91	84.49	97	
L _{Ma}	52.5	-62.91	19.95	66.0	162	
C _{Ma}	59.15	-27.87	-44.43	52.45	238	
V _{Ma}	29.13	22.73	-42.44	48.14	298	
M _{Ma}	49.51	71.08	-9.19	71.67	353	
N _{Ma}	20.0	0.0	0.0	0.0	0	
W _{Ma}	95.0	0.0	0.0	0.0	0	
R _{Ma}	39.92	58.74	27.99	65.07	25	
J _{Ma}	81.26	-2.89	71.56	71.62	92	
G _{Ma}	52.23	-42.42	13.6	44.55	162	
B _{Ma}	30.57	1.41	-46.47	46.49	272	

Daten für Maximalfarbe (Ma):

$LAB^*LAB^*_{Ma}$: 30 24 -41

$LAB^*LCH^*_{Ma}$: 30 48 300

$lab^*rgb^*_{Ma}$: 0.5 0.0 1.0

$lab^*olv^*_{Ma}$: 0.04 0.0 1.0

Dreiecks-Helligkeit i^*

%Umfang

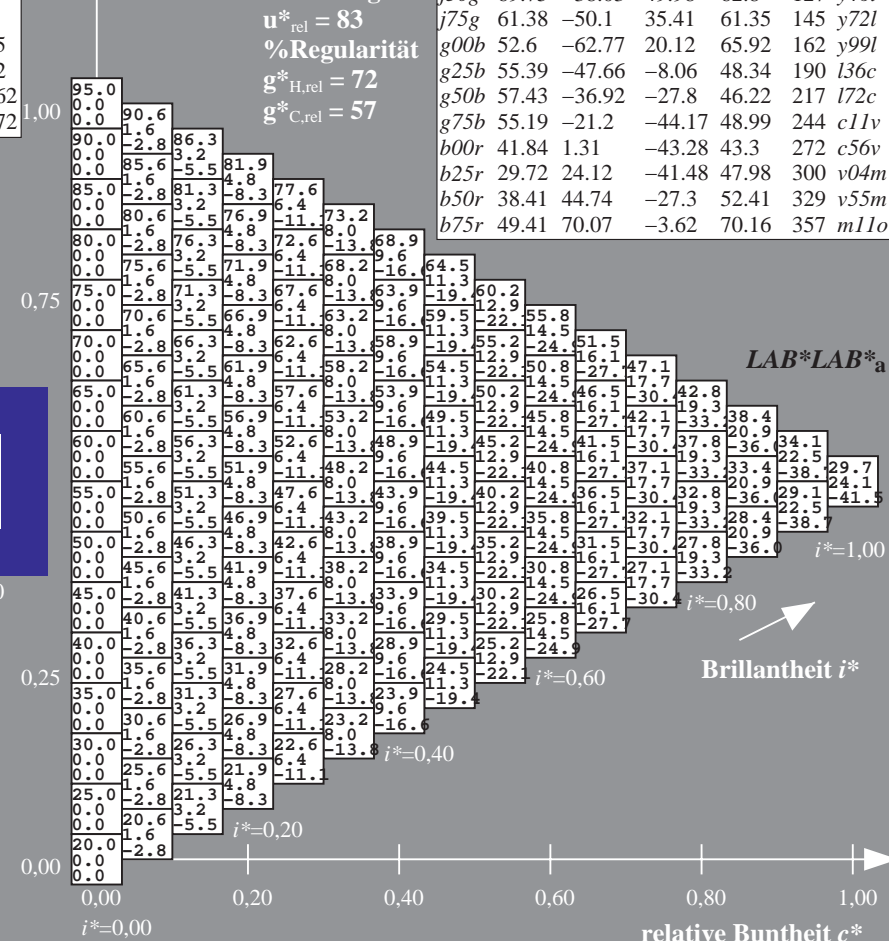
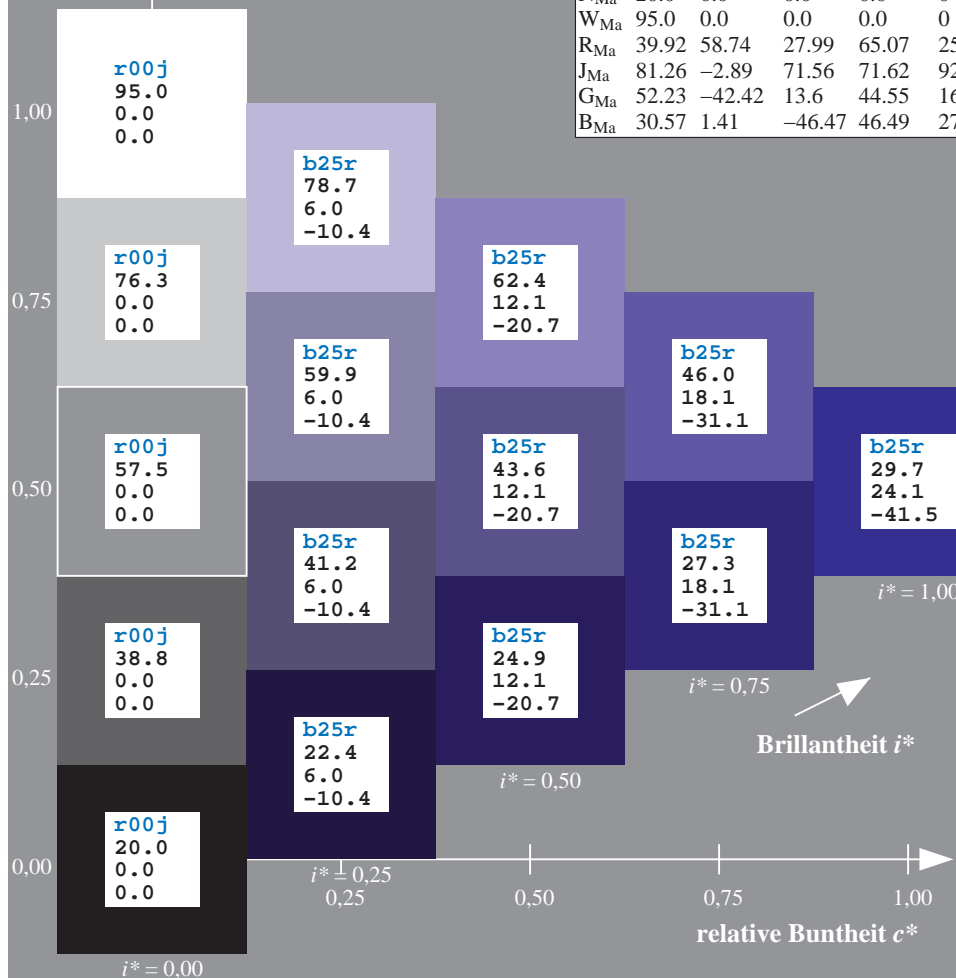
$u^*_{rel} = 83$

%Regularität

$g^*_{H,rel} = 72$

$g^*_{C,rel} = 57$

ORS20_95a; adaptierte CIELAB-Daten						
u^*_e	$L^*=L^*_a$	a^*_a	b^*_a	$C^*_{ab,a}$	$h^*_{ab,a}$	u^*_d
r00j	48.83	63.91	30.45	70.79	25	m84o
r25j	55.53	50.37	45.65	67.97	42	o17y
r50j	64.76	33.86	56.12	65.55	59	o42y
r75j	74.12	17.13	66.74	68.9	76	o67y
j00g	85.5	-3.22	79.65	79.72	92	o92y
j25g	79.45	-24.05	66.85	71.04	110	y20l
j50g	69.75	-38.03	49.98	62.8	127	y46l
j75g	61.38	-50.1	35.41	61.35	145	y72l
g00b	52.6	-62.77	20.12	65.92	162	y99l
g25b	55.39	-47.66	-8.06	48.34	190	l36c
g50b	57.43	-36.92	-27.8	46.22	217	l72c
g75b	55.19	-21.2	-44.17	48.99	244	c11v
b00r	41.84	1.31	-43.28	43.3	272	c56v
b25r	29.72	24.12	-41.48	47.98	300	v04m
b50r	38.41	44.74	-27.3	52.41	329	v55m
b75r	49.41	70.07	-3.62	70.16	357	m11o



Ein und Ausgabe: Farbmetrisches Drucker-Reflektiv-System ORS20_95a für relativen CIELAB-Buntton $h^* = lab^*h^* = h_{ab}/360 = 0.913$

Daten für jede Farbe:

lab^*ch^* und lab^*icu^*

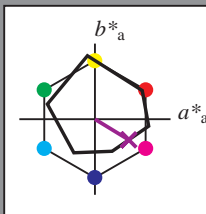
Bunttontexte:

$u^*_e = b50r$ $u^*_d = v55m$

Kontrastreduzierungsfaktor:

$c_R = 0.96$

Dreiecks-Helligkeit i^*



ORS20_95a; adaptierte CIELAB-Daten						
u^*_e	$L^*=L^*_a$	a^*_a	b^*_a	$C^*_{ab,a}$	$h^*_{ab,a}$	u^*_d
O _{Ma}	48.71	62.56	37.91	73.15	31	
Y _{Ma}	89.25	-9.92	83.91	84.49	97	
L _{Ma}	52.5	-62.91	19.95	66.0	162	
C _{Ma}	59.15	-27.87	-44.43	52.45	238	
V _{Ma}	29.13	22.73	-42.44	48.14	298	
M _{Ma}	49.51	71.08	-9.19	71.67	353	
N _{Ma}	20.0	0.0	0.0	0.0	0	
W _{Ma}	95.0	0.0	0.0	0.0	0	
R _{Ma}	39.92	58.74	27.99	65.07	25	
J _{Ma}	81.26	-2.89	71.56	71.62	92	
G _{Ma}	52.23	-42.42	13.6	44.55	162	
B _{Ma}	30.57	1.41	-46.47	46.49	272	

Daten für Maximalfarbe (Ma):

$LAB^*LAB^*_{Ma}$: 38 45 -27

$LAB^*LCH^*_{Ma}$: 38 52 328

$lab^*rgb^*_{Ma}$: 1.0 0.0 1.0

$lab^*olv^*_{Ma}$: 0.56 0.0 1.0

Dreiecks-Helligkeit i^*

%Umfang

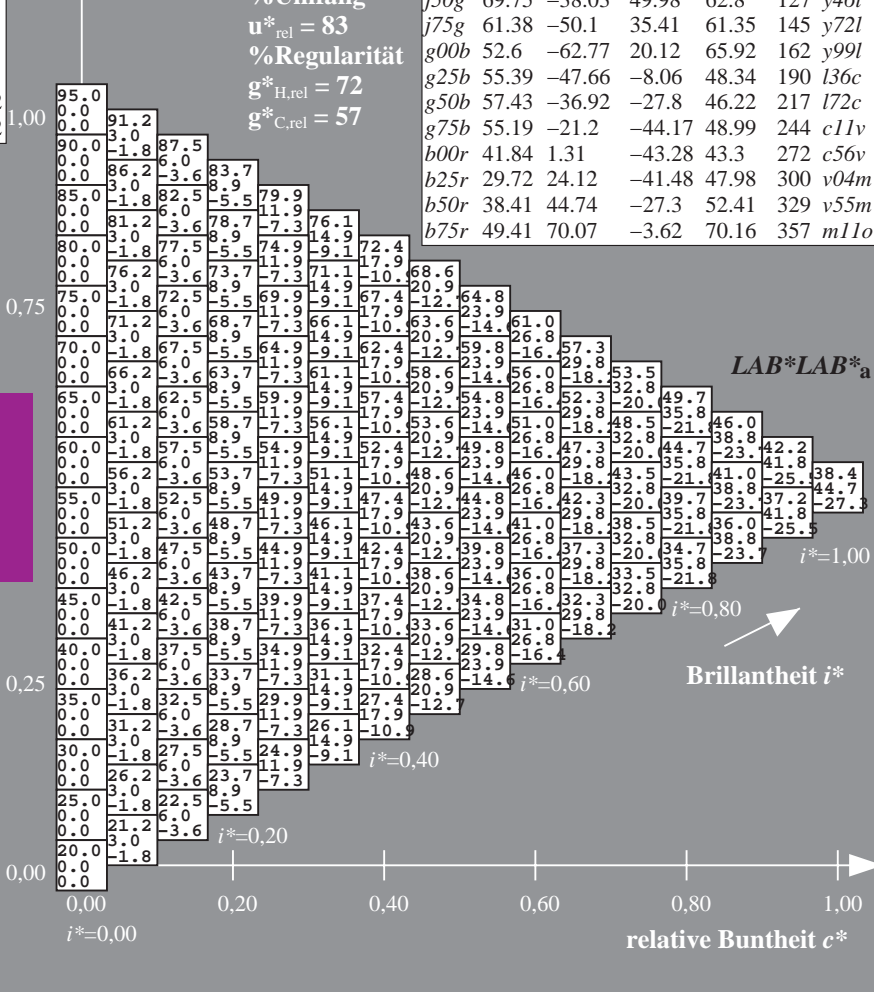
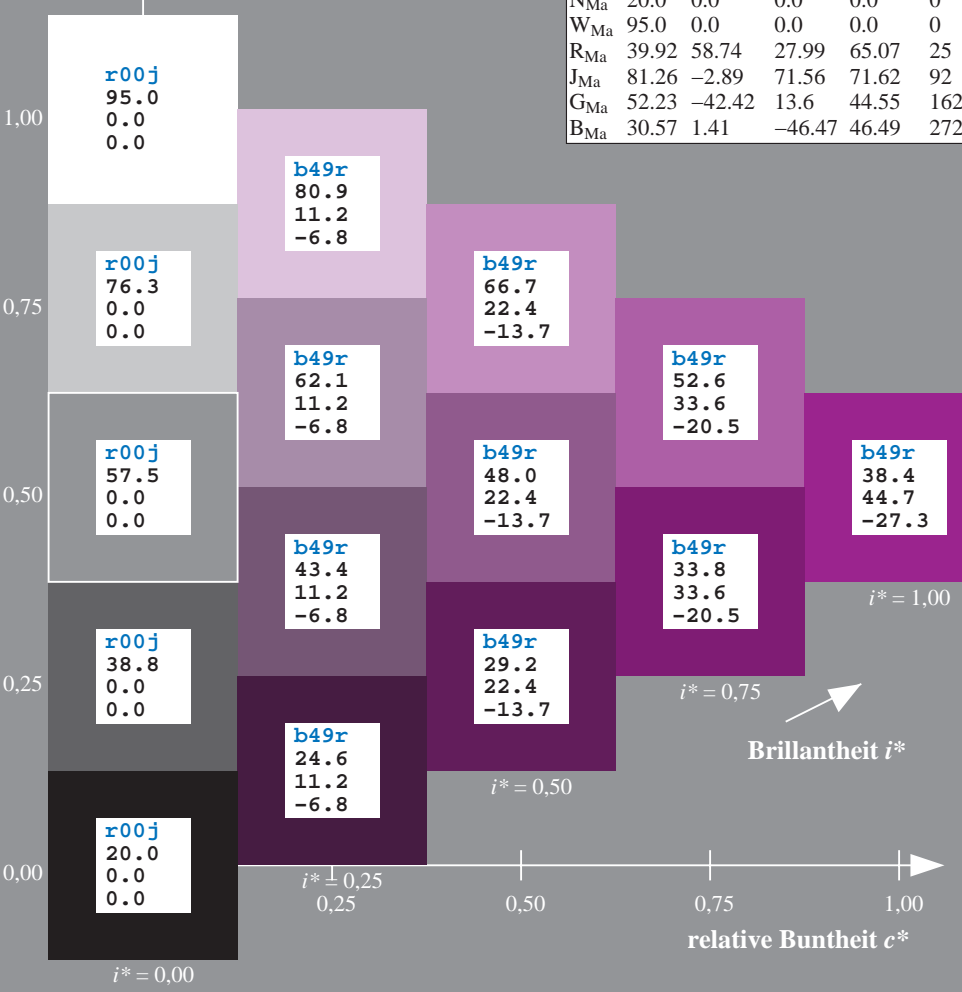
$u^*_{rel} = 83$

%Regularität

$g^*_{H,rel} = 72$

$g^*_{C,rel} = 57$

ORS20_95a; adaptierte CIELAB-Daten						
u^*_e	$L^*=L^*_a$	a^*_a	b^*_a	$C^*_{ab,a}$	$h^*_{ab,a}$	u^*_d
r00j	48.83	63.91	30.45	70.79	25	m84o
r25j	55.53	50.37	45.65	67.97	42	o17y
r50j	64.76	33.86	56.12	65.55	59	o42y
r75j	74.12	17.13	66.74	68.9	76	o67y
j00g	85.5	-3.22	79.65	79.72	92	o92y
j25g	79.45	-24.05	66.85	71.04	110	y20l
j50g	69.75	-38.03	49.98	62.8	127	y46l
j75g	61.38	-50.1	35.41	61.35	145	y72l
g00b	52.6	-62.77	20.12	65.92	162	y99l
g25b	55.39	-47.66	-8.06	48.34	190	l36c
g50b	57.43	-36.92	-27.8	46.22	217	l72c
g75b	55.19	-21.2	-44.17	48.99	244	c11v
b00r	41.84	1.31	-43.28	43.3	272	c56v
b25r	29.72	24.12	-41.48	47.98	300	v04m
b50r	38.41	44.74	-27.3	52.41	329	v55m
b75r	49.41	70.07	-3.62	70.16	357	m11o



Ein und Ausgabe: Farbmetrisches Drucker-Reflektiv-System ORS20_95a für relativen CIELAB-Buntton $h^* = \text{lab}^*h^* = h_{ab}/360 = 0.992$

Daten für jede Farbe:

lab^*tch^* und lab^*icu^*

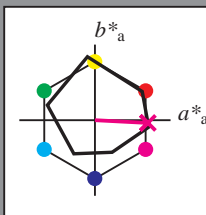
Bunttontexte:

$u^*_e = b75r$ $u^*_d = m11o$

Kontrastreduzierungsfaktor:

$c_R = 0.96$

Dreiecks-Helligkeit i^*



ORS20_95a; adaptierte CIELAB-Daten

u^*_e	$L^*=L^*_a$	a^*_a	b^*_a	$C^*_{ab,a}$	$h^*_{ab,a}$
O _{Ma}	48.71	62.56	37.91	73.15	31
Y _{Ma}	89.25	-9.92	83.91	84.49	97
L _{Ma}	52.5	-62.91	19.95	66.0	162
C _{Ma}	59.15	-27.87	-44.43	52.45	238
V _{Ma}	29.13	22.73	-42.44	48.14	298
M _{Ma}	49.51	71.08	-9.19	71.67	353
N _{Ma}	20.0	0.0	0.0	0.0	0
W _{Ma}	95.0	0.0	0.0	0.0	0
R _{Ma}	39.92	58.74	27.99	65.07	25
J _{Ma}	81.26	-2.89	71.56	71.62	92
G _{Ma}	52.23	-42.42	13.6	44.55	162
B _{Ma}	30.57	1.41	-46.47	46.49	272

Daten für Maximalfarbe (Ma):

$\text{LAB}^*\text{LAB}^*_{Ma}$: 49 70 -4

$\text{LAB}^*\text{LCH}^*_{Ma}$: 49 70 357

$\text{lab}^*\text{rgb}^*_{Ma}$: 1.0 0.0 0.5

$\text{lab}^*\text{olv}^*_{Ma}$: 1.0 0.0 0.89

Dreiecks-Helligkeit i^*

%Umfang

$u^*_{rel} = 83$

%Regularität

$g^*_{H,rel} = 72$

$g^*_{C,rel} = 57$

ORS20_95a; adaptierte CIELAB-Daten

u^*_e	$L^*=L^*_a$	a^*_a	b^*_a	$C^*_{ab,a}$	$h^*_{ab,a}$	u^*_d
r00j	48.83	63.91	30.45	70.79	25	m84o
r25j	55.53	50.37	45.65	67.97	42	o17y
r50j	64.76	33.86	56.12	65.55	59	o42y
r75j	74.12	17.13	66.74	68.9	76	o67y
j00g	85.5	-3.22	79.65	79.72	92	o92y
j25g	79.45	-24.05	66.85	71.04	110	y20l
j50g	69.75	-38.03	49.98	62.8	127	y46l
j75g	61.38	-50.1	35.41	61.35	145	y72l
g00b	52.6	-62.77	20.12	65.92	162	y99l
g25b	55.39	-47.66	-8.06	48.34	190	l36c
g50b	57.43	-36.92	-27.8	46.22	217	l72c
g75b	55.19	-21.2	-44.17	48.99	244	c11v
b00r	41.84	1.31	-43.28	43.3	272	c56v
b25r	29.72	24.12	-41.48	47.98	300	v04m
b50r	38.41	44.74	-27.3	52.41	329	v55m
b75r	49.41	70.07	-3.62	70.16	357	m11o

$\text{LAB}^*\text{LAB}^*_a$

$i^* = 1.00$

Brillantheit i^*

$i^* = 0.80$

$i^* = 0.60$

$i^* = 0.40$

$i^* = 0.20$

relative Buntheit c^*

relative Buntheit c^*

Siehe ähnliche Dateien: <http://www.ps.bam.de/Eg13/>; www.ps.bam.de/Eg13/10L/L13G00NA.PS/.TXT BAM-Material: Code=rh4ta
Technische Information: <http://www.ps.bam.de> Version 2.1, io=1,1, ColSp=1

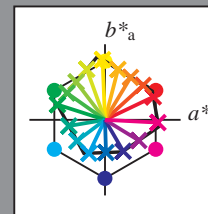
	A	B	C	D	E	F	G	H	I	J	K	L	M	N	O	P	Q	R	S	T	U	V	W	X	Y	Z	a	b	c	d	e	f	g	h	i	j	k	LAB*	LAB*																																																																																																																																																																																																																																																																																																																																																																																																																																																																																																																																																																																																																																																																																																																																																																																																																																																																																																																
01	20.0	24.1	28.1	32.2	36.2	40.3	44.4	48.4	52.5	56.5	60.6	64.7	68.7	72.8	76.8	80.9	84.9	89.0	93.0	97.1	101.1	105.2	109.2	113.3	117.3	121.4	125.4	129.5	133.5	137.6	141.6	145.7	149.7	153.8	157.8	161.9	165.9	170.0	174.0	178.1	182.1	186.2	190.2	194.3	198.3	202.4	206.4	210.5	214.5	218.6	222.6	226.7	230.7	234.8	238.8	242.9	246.9	251.0	255.0	259.1	263.1	267.2	271.2	275.3	279.3	283.4	287.4	291.5	295.5	299.6	303.6	307.7	311.7	315.8	319.8	323.9	327.9	331.9	336.0	340.0	344.1	348.1	352.2	356.2	360.3	364.3	368.4	372.4	376.5	380.5	384.6	388.6	392.7	396.7	400.8	404.8	408.9	412.9	417.0	421.0	425.1	429.1	433.2	437.2	441.3	445.3	449.4	453.4	457.5	461.5	465.6	469.6	473.7	477.7	481.8	485.8	489.9	493.9	498.0	502.0	506.1	510.1	514.2	518.2	522.3	526.3	530.4	534.4	538.5	542.5	546.6	550.6	554.7	558.7	562.8	566.8	570.9	574.9	579.0	583.0	587.1	591.1	595.2	599.2	603.3	607.3	611.4	615.4	619.5	623.5	627.6	631.6	635.7	639.7	643.8	647.8	651.9	655.9	660.0	664.0	668.1	672.1	676.2	680.2	684.3	688.3	692.4	696.4	700.5	704.5	708.6	712.6	716.7	720.7	724.8	728.8	732.9	736.9	740.9	745.0	749.0	753.1	757.1	761.2	765.2	769.3	773.3	777.4	781.4	785.5	789.5	793.6	797.6	801.7	805.7	809.8	813.8	817.9	821.9	826.0	830.0	834.1	838.1	842.2	846.2	850.3	854.3	858.4	862.4	866.5	870.5	874.6	878.6	882.7	886.7	890.8	894.8	898.9	902.9	907.0	911.0	915.1	919.1	923.2	927.2	931.3	935.3	939.4	943.4	947.5	951.5	955.6	959.6	963.7	967.7	971.8	975.8	979.9	983.9	988.0	992.0	996.1	1000.1	1004.2	1008.2	1012.3	1016.3	1020.4	1024.4	1028.5	1032.5	1036.6	1040.6	1044.7	1048.7	1052.8	1056.8	1060.9	1064.9	1069.0	1073.0	1077.1	1081.1	1085.2	1089.2	1093.3	1097.3	1101.4	1105.4	1109.5	1113.5	1117.6	1121.6	1125.7	1129.7	1133.8	1137.8	1141.9	1145.9	1149.9	1154.0	1158.1	1162.1	1166.2	1170.2	1174.3	1178.3	1182.4	1186.4	1190.5	1194.5	1198.6	1202.6	1206.7	1210.7	1214.8	1218.8	1222.9	1226.9	1231.0	1235.0	1239.1	1243.1	1247.2	1251.2	1255.3	1259.3	1263.4	1267.4	1271.5	1275.5	1279.6	1283.6	1287.7	1291.7	1295.8	1299.8	1303.9	1307.9	1312.0	1316.0	1320.1	1324.1	1328.2	1332.2	1336.3	1340.3	1344.4	1348.4	1352.5	1356.5	1360.6	1364.6	1368.7	1372.7	1376.8	1380.8	1384.9	1388.9	1393.0	1397.0	1401.1	1405.1	1409.2	1413.2	1417.3	1421.3	1425.4	1429.4	1433.5	1437.5	1441.6	1445.6	1449.7	1453.7	1457.8	1461.8	1465.9	1469.9	1474.0	1478.0	1482.1	1486.1	1490.2	1494.2	1498.3	1502.3	1506.4	1510.4	1514.5	1518.5	1522.6	1526.6	1530.7	1534.7	1538.8	1542.8	1546.9	1550.9	1555.0	1559.0	1563.1	1567.1	1571.2	1575.2	1579.3	1583.3	1587.4	1591.4	1595.5	1599.5	1603.6	1607.6	1611.7	1615.7	1619.8	1623.8	1627.9	1631.9	1636.0	1640.0	1644.1	1648.1	1652.2	1656.2	1660.3	1664.3	1668.4	1672.4	1676.5	1680.5	1684.6	1688.6	1692.7	1696.7	1700.8	1704.8	1708.9	1712.9	1717.0	1721.0	1725.1	1729.1	1733.2	1737.2	1741.3	1745.3	1749.4	1753.4	1757.5	1761.5	1765.6	1769.6	1773.7	1777.7	1781.8	1785.8	1789.9	1793.9	1798.0	1802.0	1806.1	1810.1	1814.2	1818.2	1822.2	1826.3	1830.3	1834.4	1838.4	1842.5	1846.5	1850.6	1854.6	1858.7	1862.7	1866.8	1870.8	1874.9	1878.9	1883.0	1887.0	1891.1	1895.1	1899.2	1903.2	1907.3	1911.3	1915.4	1919.4	1923.5	1927.5	1931.6	1935.6	1939.7	1943.7	1947.8	1951.8	1955.9	1959.9	1964.0	1968.0	1972.1	1976.1	1980.2	1984.2	1988.3	1992.3	1996.4	2000.4	2004.5	2008.5	2012.6	2016.6	2020.7	2024.7	2028.8	2032.8	2036.9	2040.9	2045.0	2049.0	2053.1	2057.1	2061.2	2065.2	2069.3	2073.3	2077.4	2081.4	2085.5	2089.5	2093.6	2097.6	2101.7	2105.7	2109.8	2113.8	2117.9	2121.9	2126.0	2130.0	2134.1	2138.1	2142.2	2146.2	2150.3	2154.3	2158.4	2162.4	2166.5	2170.5	2174.6	2178.6	2182.7	2186.7	2190.8	2194.8	2198.9	2202.9	2207.0	2211.0	2215.1	2219.1	2223.2	2227.2	2231.3	2235.3	2239.4	2243.4	2247.5	2251.5	2255.6	2259.6	2263.7	2267.7	2271.8	2275.8	2279.9	2283.9	2288.0	2292.0	2296.1	2300.1	2304.2	2308.2	2312.3	2316.3	2320.4	2324.4	2328.5	2332.5	2336.6	2340.6	2344.7	2348.7	2352.8	2356.8	2360.9	2364.9	2369.0	2373.0	2377.1	2381.1	2385.2	2389.2	2393.3	2397.3	2401.4	2405.4	2409.5	2413.5	2417.6	2421.6	2425.7	2429.7	2433.8	2437.8	2441.9	2445.9	2450.0	2454.0	2458.1	2462.1	2466.2	2470.2	2474.3	2478.3	2482.4	2486.4	2490.5	2494.5	2498.6	2502.6	2506.7	2510.7	2514.8	2518.8	2522.9	2526.9	2531.0	2535.0	2539.1	2543.1	2547.2	2551.2	2555.3	2559.3	2563.4	2567.4	2571.5	2575.5	2579.6	2583.6	2587.7	2591.7	2595.8	2599.8	2603.9	2607.9	2612.0	2616.0	2620.1	2624.1	2628.2	2632.2	2636.3	2640.3	2644.4	2648.4	2652.5	2656.5	2660.6	2664.6	2668.7	2672.7	2676.8	2680.8	2684.9	2688.9	2693.0	2697.0	2701.1	2705.1	2709.2	2713.2	2717.3	2721.3	2725.4	2729.4	2733.5	2737.5	2741.6	2745.6	2749.7	2753.7	2757.8	2761.8	2765.9	2769.9	2774.0	2778.0	2782.1	2786.1	2790.2	2794.2	2798.3	2802.3	2806.4	2810.4	2814.5	2818.5	2822.6	2826.6	2830.7	2834.7	2838.8	2842.8	2846.9	2850.9	2855.0	2859.0	2863.1	2867.1	2871.2	2875.2	2879.3	2883.3	2887.4	2891.4	2895.5	2899.5	2903.6	2907.6	2911.7	2915.7	2919.8	2923.8	2927.9	2931.9	2936.0	2940.0	2944.1	2948.1	2952.2	2956.2	2960.3	2964.3	2968.4	2972.4	2976.5	2980.5	2984.6	2988.6	2992.7	2996.7	3000.8	3004.8	3008.9	3012.9	3017.0	3021.0	3025.0	3029.1	3033.1	3037.2	3041.2	3045.3	3049.3	3053.4	3057.4	3061.5	3065.5	3069.6	3073.6	3077.7	3081.7	3085.8	3089.8	3093.9	3097.9	3102.0	3106.0	3110.1	3114.1	3118.2	3122.2	3126.3	3130.3	3134.4	3138.4	3142.5	3146.5	3150.6	3154.6	3158.7	3162.7	3166.8	3170.8	3174.9	3178.9	3183.0	3187.0	3191.1	3195.1	3199.2	3203.2	3207.2	3211.3	3215.3	3219.4	3223.4	3227.5	3231.5	3235.6	3239.6	3243.7	3247.7	3251.8	3255.8	3259.9	3263.9	3268.0	3272.0	3276.1	3280.1	3284.2	3288.2	3292.3	3296.3	3300.4	3304.4	3308.5	3312.5	3316.6	3320.6	3324.7	3328.7	3332.8	3336.8	3340.9	3344.9	3349.0	3353.0	3357.1	3361.1	3365.2	3369.2	3373.3	3377.3	3381.4	3385.4	3389.5	3393.5	3397.6	3401.6	3405.7	3409.7	3413.8	3417.8	3421.9	3425.9	3430.0	3434.0	3438.1	3442.1	3446.2	3450.2	3454.3	3458.3	3462.4	3466.4	3470.5	3474.5	3478.6	3482.6	3486.7	3490.7	3494.8	3498.8	3502.9	3506.9	3511.0	3515.0	3519.1	3523.1	3527.2	3531.2	3535.3	3539.3	3543.4	3547.4	3551.5	3555.5	3559.6	3563.6	3567.6	3571.7	3575.7	3579.8	3583.8	3587.9	3591.9	3596.0	3600.0	3604.1	3608.1	3612.2	3616.2	3620.3	3624.3	3628.4	3632.4	3636.5	3640.5	3644.6	3648.6	3652.7	3656.7	3660.8	3664.8	3668.9	3672.9	3677.0	3681.0	3685.1	3689.1	3693.2	3697.2	3701.3	3705.3	3709.4	3713.4	3717.5	3721.5	3725.6	3729.6	3733.7	3737.7</

Ein und Ausgabe:
Farbmetrisches Drucker-Reflektiv-System ORS20_95a
Daten für jede Farbe:

u^*_e und Nummer $Nr.$ = 00 .. 15
Elementar-Bunttontext:
 $u^*_e = 16$ Bunttoene $r00j, r25j, \dots, b75r$
Kontrastreduzierungsfaktor:
 $c_R = 0.96$

ORS20_95a; adaptierte CIELAB-Daten

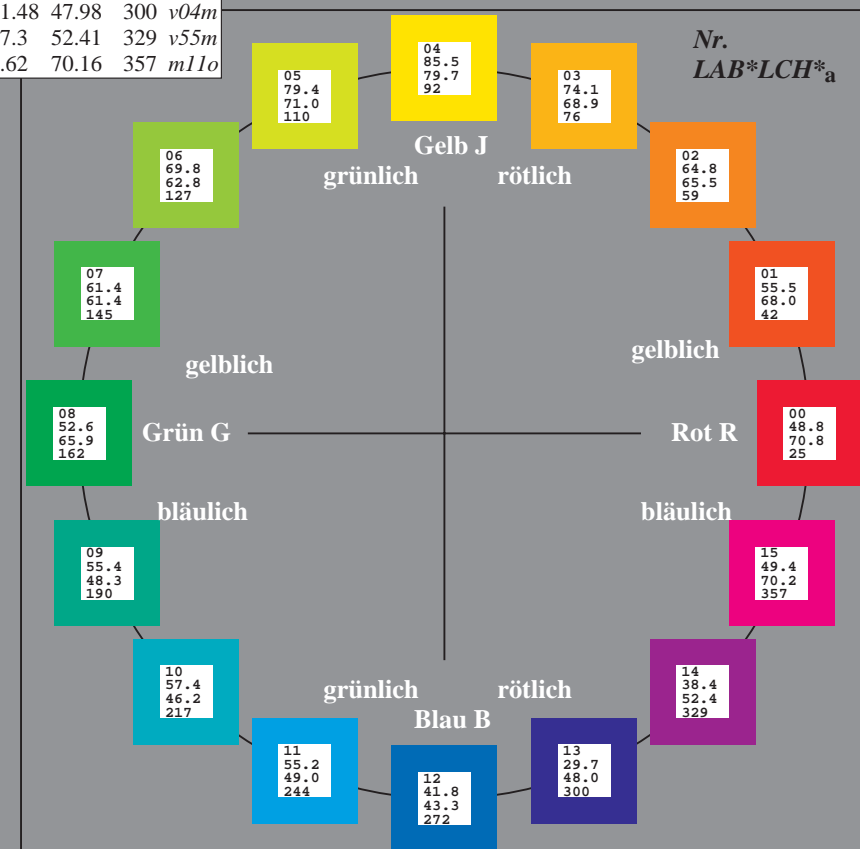
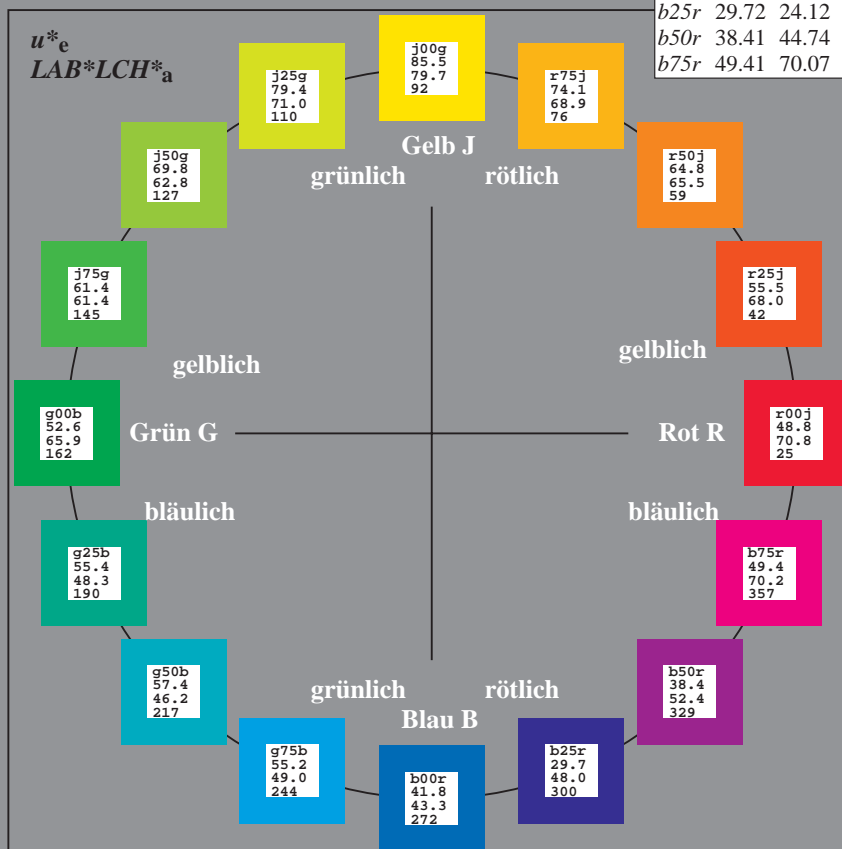
u^*_e	$L^*=L^*_a$	a^*_a	b^*_a	$C^*_{ab,a}$	$h^*_{ab,a}$	u^*_d
$r00j$	48.83	63.91	30.45	70.79	25	$m84o$
$r25j$	55.53	50.37	45.65	67.97	42	$o17y$
$r50j$	64.76	33.86	56.12	65.55	59	$o42y$
$r75j$	74.12	17.13	66.74	68.9	76	$o67y$
$j00g$	85.5	-3.22	79.65	79.72	92	$o92y$
$j25g$	79.45	-24.05	66.85	71.04	110	$y20l$
$j50g$	69.75	-38.03	49.98	62.8	127	$y46l$
$j75g$	61.38	-50.1	35.41	61.35	145	$y72l$
$g00b$	52.6	-62.77	20.12	65.92	162	$y99l$
$g25b$	55.39	-47.66	-8.06	48.34	190	$l36c$
$g50b$	57.43	-36.92	-27.8	46.22	217	$l72c$
$g75b$	55.19	-21.2	-44.17	48.99	244	$c11v$
$b00r$	41.84	1.31	-43.28	43.3	272	$c56v$
$b25r$	29.72	24.12	-41.48	47.98	300	$v04m$
$b50r$	38.41	44.74	-27.3	52.41	329	$v55m$
$b75r$	49.41	70.07	-3.62	70.16	357	$m11o$



%Umfang
 $u^*_{rel} = 83$
%Regularität
 $g^*_{H,rel} = 72$
 $g^*_{C,rel} = 57$

ORS20_95a; adaptierte CIELAB-Daten

Name	$L^*=L^*_a$	a^*_a	b^*_a	$C^*_{ab,a}$	$h^*_{ab,a}$
O_{Ma}	48.71	62.56	37.91	73.15	31
Y_{Ma}	89.25	-9.92	83.91	84.49	97
L_{Ma}	52.5	-62.91	19.95	66.0	162
C_{Ma}	59.15	-27.87	-44.43	52.45	238
V_{Ma}	29.13	22.73	-42.44	48.14	298
M_{Ma}	49.51	71.08	-9.19	71.67	353
N_{Ma}	20.0	0.0	0.0	0.0	0
W_{Ma}	95.0	0.0	0.0	0.0	0
R_{CIE}	39.92	58.74	27.99	65.07	25
J_{CIE}	81.26	-2.89	71.56	71.62	92
G_{CIE}	52.23	-42.42	13.6	44.55	162
B_{CIE}	30.57	1.41	-46.47	46.49	272



Ein und Ausgabe: Farbmetrisches Drucker-Reflektiv-System ORS20_95a für relativen CIELAB-Buntton $h^* = lab^*h^* = h_{ab}/360 = 0.071$

Daten für jede Farbe:

lab^*tch^* und lab^*icu^*

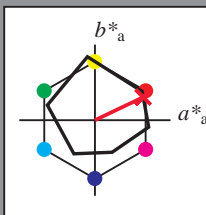
Bunttontexte:

$u^*_e = r00j$ $u^*_d = m84o$

Kontrastreduzierungsfaktor:

$c_R = 0.96$

Dreiecks-Helligkeit i^*



ORS20_95a; adaptierte CIELAB-Daten						
u^*_e	$L^*=L^*_a$	a^*_a	b^*_a	$C^*_{ab,a}$	$h^*_{ab,a}$	u^*_d
O _{Ma}	48.71	62.56	37.91	73.15	31	
Y _{Ma}	89.25	-9.92	83.91	84.49	97	
L _{Ma}	52.5	-62.91	19.95	66.0	162	
C _{Ma}	59.15	-27.87	-44.43	52.45	238	
V _{Ma}	29.13	22.73	-42.44	48.14	298	
M _{Ma}	49.51	71.08	-9.19	71.67	353	
N _{Ma}	20.0	0.0	0.0	0.0	0	
W _{Ma}	95.0	0.0	0.0	0.0	0	
R _{Ma}	39.92	58.74	27.99	65.07	25	
J _{Ma}	81.26	-2.89	71.56	71.62	92	
G _{Ma}	52.23	-42.42	13.6	44.55	162	
B _{Ma}	30.57	1.41	-46.47	46.49	272	

Daten für Maximalfarbe (Ma):

$LAB^*LAB^*_{Ma}$: 49 64 30

$LAB^*LCH^*_{Ma}$: 49 71 25

$lab^*rgb^*_{Ma}$: 1.0 0.0 0.0

$lab^*olv^*_{Ma}$: 1.0 0.0 0.15

Dreiecks-Helligkeit i^*

%Umfang

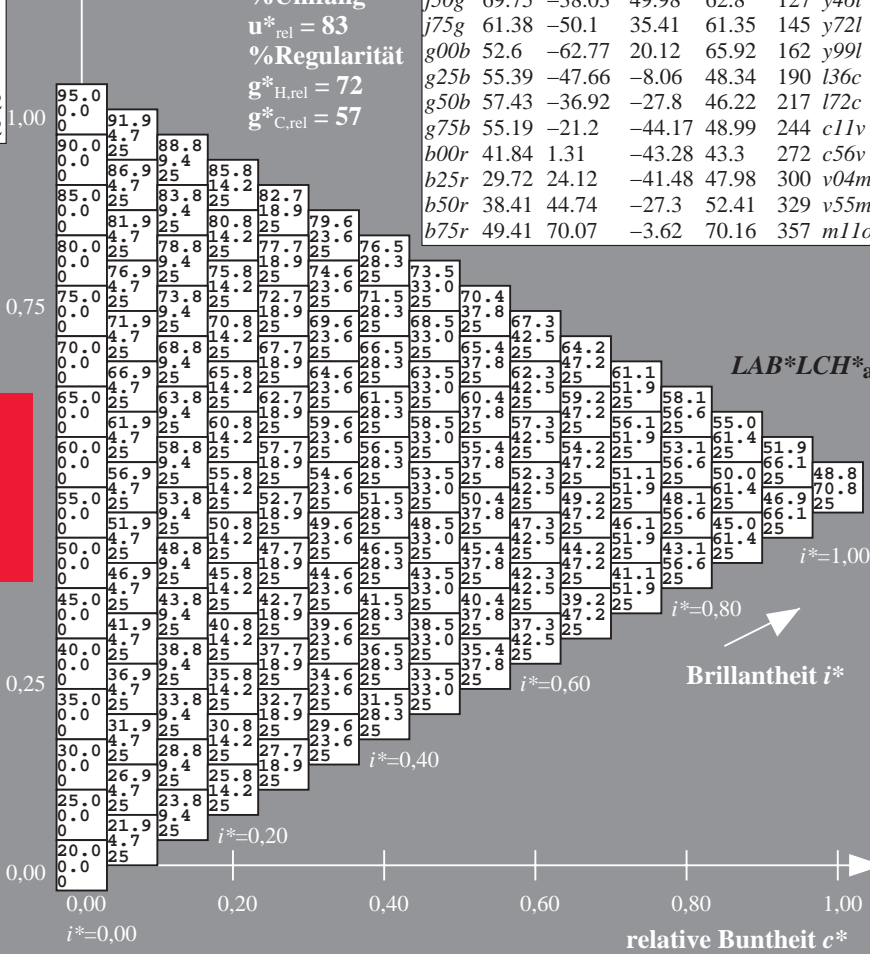
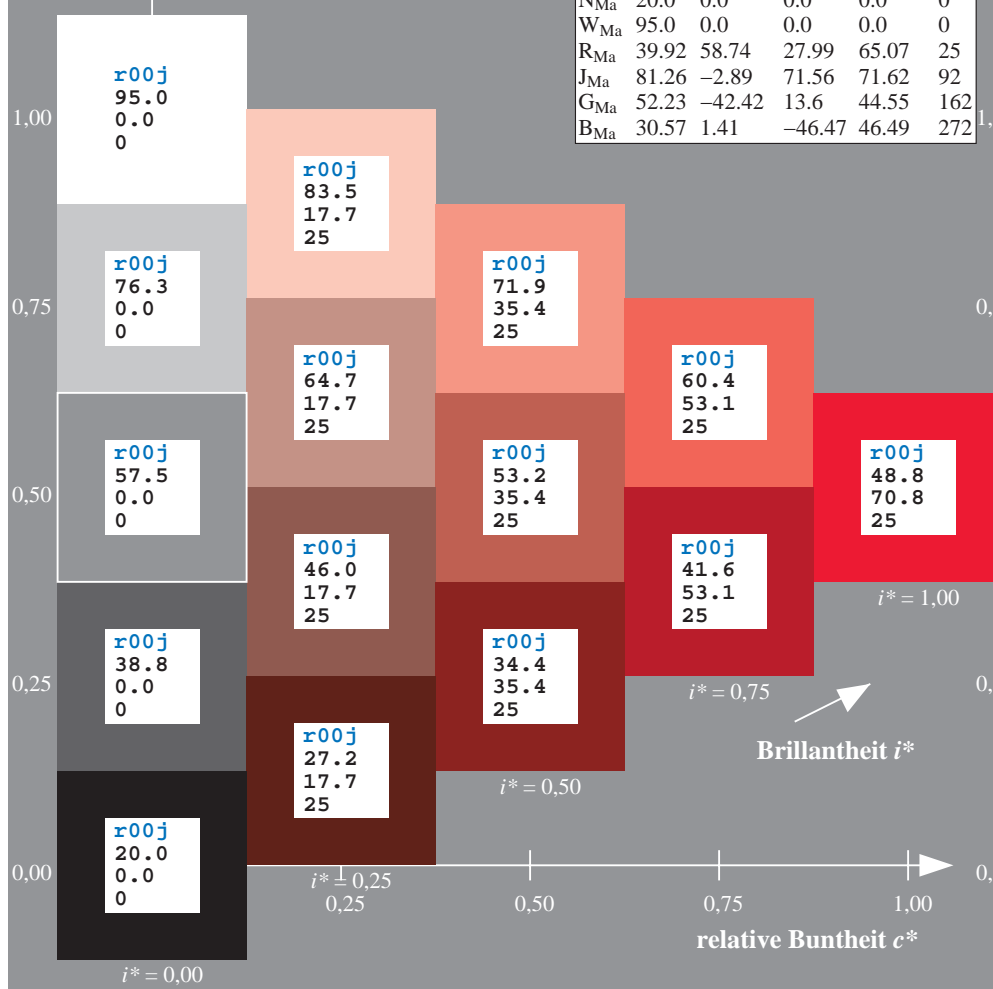
$u^*_{rel} = 83$

%Regularität

$g^*_{H,rel} = 72$

$g^*_{C,rel} = 57$

ORS20_95a; adaptierte CIELAB-Daten						
u^*_e	$L^*=L^*_a$	a^*_a	b^*_a	$C^*_{ab,a}$	$h^*_{ab,a}$	u^*_d
r00j	48.83	63.91	30.45	70.79	25	m84o
r25j	55.53	50.37	45.65	67.97	42	o17y
r50j	64.76	33.86	56.12	65.55	59	o42y
r75j	74.12	17.13	66.74	68.9	76	o67y
j00g	85.5	-3.22	79.65	79.72	92	o92y
j25g	79.45	-24.05	66.85	71.04	110	y20l
j50g	69.75	-38.03	49.98	62.8	127	y46l
j75g	61.38	-50.1	35.41	61.35	145	y72l
g00b	52.6	-62.77	20.12	65.92	162	y99l
g25b	55.39	-47.66	-8.06	48.34	190	l36c
g50b	57.43	-36.92	-27.8	46.22	217	l72c
g75b	55.19	-21.2	-44.17	48.99	244	c11v
b00r	41.84	1.31	-43.28	43.3	272	c56v
b25r	29.72	24.12	-41.48	47.98	300	v04m
b50r	38.41	44.74	-27.3	52.41	329	v55m
b75r	49.41	70.07	-3.62	70.16	357	m11o



Ein und Ausgabe: Farbmetrisches Drucker-Reflektiv-System ORS20_95a für relativen CIELAB-Buntton $h^* = lab^*h^* = h_{ab}/360 = 0.117$

Daten für jede Farbe:

lab^*tch^* und lab^*icu^*

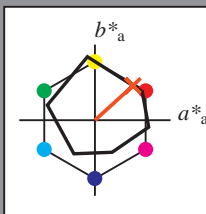
Bunttontexte:

$u^*_e = r25j$ $u^*_d = o17y$

Kontrastreduzierungsfaktor:

$c_R = 0.96$

Dreiecks-Helligkeit t^*



ORS20_95a; adaptierte CIELAB-Daten

	u^*_e	$L^*=L^*_a$	a^*_a	b^*_a	$C^*_{ab,a}$	$h^*_{ab,a}$
O _{Ma}	48.71	62.56	37.91	73.15	31	
Y _{Ma}	89.25	-9.92	83.91	84.49	97	
L _{Ma}	52.5	-62.91	19.95	66.0	162	
C _{Ma}	59.15	-27.87	-44.43	52.45	238	
V _{Ma}	29.13	22.73	-42.44	48.14	298	
M _{Ma}	49.51	71.08	-9.19	71.67	353	
N _{Ma}	20.0	0.0	0.0	0.0	0	
W _{Ma}	95.0	0.0	0.0	0.0	0	
R _{Ma}	39.92	58.74	27.99	65.07	25	
J _{Ma}	81.26	-2.89	71.56	71.62	92	
G _{Ma}	52.23	-42.42	13.6	44.55	162	
B _{Ma}	30.57	1.41	-46.47	46.49	272	

Daten für Maximalfarbe (Ma):

$LAB^*LAB^*_{Ma}$: 56 50 46

$LAB^*LCH^*_{Ma}$: 56 68 42

$lab^*rgb^*_{Ma}$: 1.0 0.25 0.0

$lab^*olv^*_{Ma}$: 1.0 0.17 0.0

Dreiecks-Helligkeit t^*

%Umfang

$u^*_{rel} = 83$

%Regularität

$g^*_{H,rel} = 72$

$g^*_{C,rel} = 57$

ORS20_95a; adaptierte CIELAB-Daten

	u^*_e	$L^*=L^*_a$	a^*_a	b^*_a	$C^*_{ab,a}$	$h^*_{ab,a}$	u^*_d
r00j	48.83	63.91	30.45	70.79	25	m84o	
r25j	55.53	50.37	45.65	67.97	42	o17y	
r50j	64.76	33.86	56.12	65.55	59	o42y	
r75j	74.12	17.13	66.74	68.9	76	o67y	
j00g	85.5	-3.22	79.65	79.72	92	o92y	
j25g	79.45	-24.05	66.85	71.04	110	y20l	
j50g	69.75	-38.03	49.98	62.8	127	y46l	
j75g	61.38	-50.1	35.41	61.35	145	y72l	
g00b	52.6	-62.77	20.12	65.92	162	y99l	
g25b	55.39	-47.66	-8.06	48.34	190	l36c	
g50b	57.43	-36.92	-27.8	46.22	217	l72c	
g75b	55.19	-21.2	-44.17	48.99	244	c11v	
b00r	41.84	1.31	-43.28	43.3	272	c56v	
b25r	29.72	24.12	-41.48	47.98	300	v04m	
b50r	38.41	44.74	-27.3	52.41	329	v55m	
b75r	49.41	70.07	-3.62	70.16	357	m11o	

$LAB^*LCH^*_{a}$

$i^*=1.00$

Brillantheit i^*

$i^*=0.80$

$i^*=0.60$

$i^*=0.40$

$i^*=0.20$

$i^*=0.00$

Ein und Ausgabe: Farbmetrisches Drucker-Reflektiv-System ORS20_95a für relativen CIELAB-Buntton $h^* = lab^*h^* = h_{ab}/360 = 0.164$

Daten für jede Farbe:

lab^*tch^* und lab^*icu^*

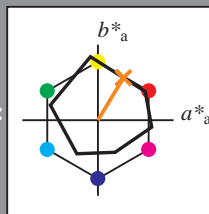
Bunttontexte:

$u^*_e = r50j$ $u^*_d = o42y$

Kontrastreduzierungsfaktor:

$c_R = 0.96$

Dreiecks-Helligkeit i^*



ORS20_95a; adaptierte CIELAB-Daten

u^*_e	$L^*=L^*_a$	a^*_a	b^*_a	$C^*_{ab,a}$	$h^*_{ab,a}$
O _{Ma}	48.71	62.56	37.91	73.15	31
Y _{Ma}	89.25	-9.92	83.91	84.49	97
L _{Ma}	52.5	-62.91	19.95	66.0	162
C _{Ma}	59.15	-27.87	-44.43	52.45	238
V _{Ma}	29.13	22.73	-42.44	48.14	298
M _{Ma}	49.51	71.08	-9.19	71.67	353
N _{Ma}	20.0	0.0	0.0	0.0	0
W _{Ma}	95.0	0.0	0.0	0.0	0
R _{Ma}	39.92	58.74	27.99	65.07	25
J _{Ma}	81.26	-2.89	71.56	71.62	92
G _{Ma}	52.23	-42.42	13.6	44.55	162
B _{Ma}	30.57	1.41	-46.47	46.49	272

Daten für Maximalfarbe (Ma):

$LAB^*LAB^*_{Ma}$: 65 34 56

$LAB^*LCH^*_{Ma}$: 65 66 58

$lab^*rgb^*_{Ma}$: 1.0 0.5 0.0

$lab^*olv^*_{Ma}$: 1.0 0.42 0.0

Dreiecks-Helligkeit i^*

%Umfang

$u^*_{rel} = 83$

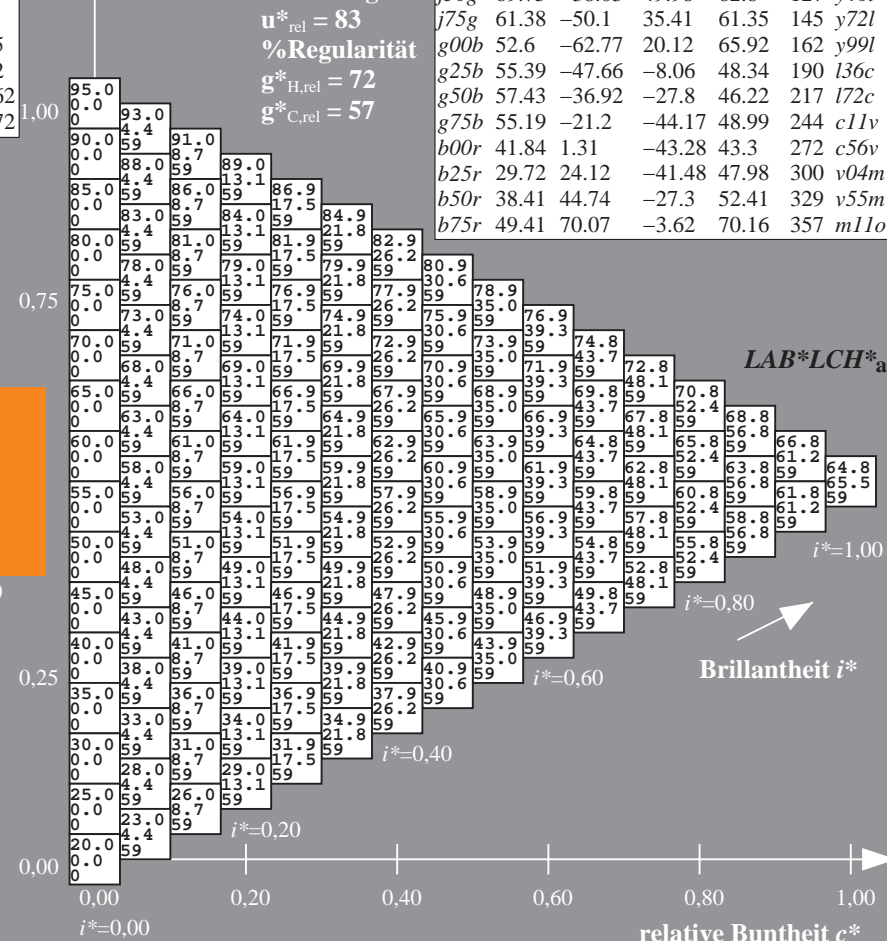
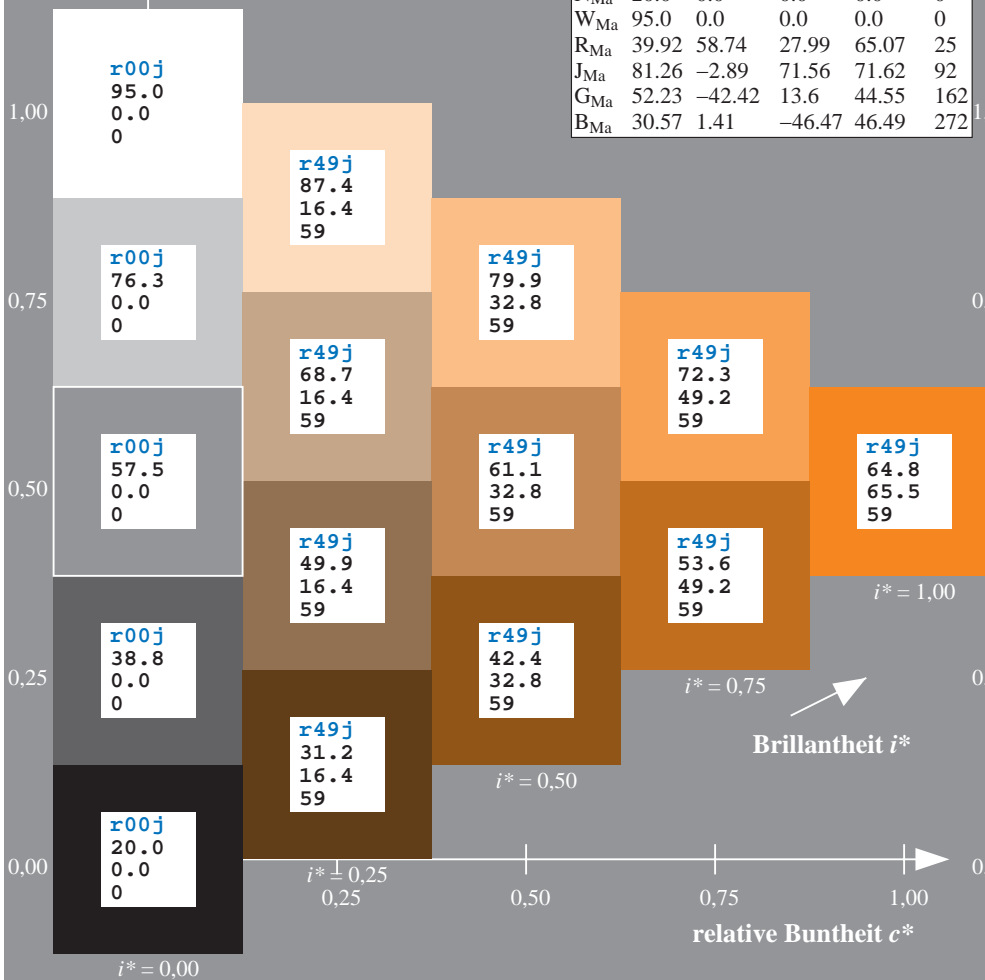
%Regularität

$g^*_{H,rel} = 72$

$g^*_{C,rel} = 57$

ORS20_95a; adaptierte CIELAB-Daten

u^*_e	$L^*=L^*_a$	a^*_a	b^*_a	$C^*_{ab,a}$	$h^*_{ab,a}$	u^*_d
r00j	48.83	63.91	30.45	70.79	25	m84o
r25j	55.53	50.37	45.65	67.97	42	o17y
r50j	64.76	33.86	56.12	65.55	59	o42y
r75j	74.12	17.13	66.74	68.9	76	o67y
j00g	85.5	-3.22	79.65	79.72	92	o92y
j25g	79.45	-24.05	66.85	71.04	110	y20l
j50g	69.75	-38.03	49.98	62.8	127	y46l
j75g	61.38	-50.1	35.41	61.35	145	y72l
g00b	52.6	-62.77	20.12	65.92	162	y99l
g25b	55.39	-47.66	-8.06	48.34	190	l36c
g50b	57.43	-36.92	-27.8	46.22	217	l72c
g75b	55.19	-21.2	-44.17	48.99	244	c11v
b00r	41.84	1.31	-43.28	43.3	272	c56v
b25r	29.72	24.12	-41.48	47.98	300	v04m
b50r	38.41	44.74	-27.3	52.41	329	v55m
b75r	49.41	70.07	-3.62	70.16	357	m11o



Ein und Ausgabe: Farbmetrisches Drucker-Reflektiv-System ORS20_95a für relativen CIELAB-Buntton $h^* = lab^*h^* = h_{ab}/360 = 0.21$

Daten für jede Farbe:

lab^*tch^* und lab^*icu^*

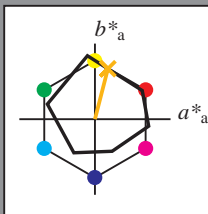
Bunttontexte:

$u^*_e = r75j$ $u^*_d = o67y$

Kontrastreduzierungsfaktor:

$c_R = 0.96$

Dreiecks-Helligkeit t^*



ORS20_95a; adaptierte CIELAB-Daten

	u^*_e	$L^*=L^*_a$	a^*_a	b^*_a	$C^*_{ab,a}$	$h^*_{ab,a}$
O _{Ma}	48.71	62.56	37.91	73.15	31	
Y _{Ma}	89.25	-9.92	83.91	84.49	97	
L _{Ma}	52.5	-62.91	19.95	66.0	162	
C _{Ma}	59.15	-27.87	-44.43	52.45	238	
V _{Ma}	29.13	22.73	-42.44	48.14	298	
M _{Ma}	49.51	71.08	-9.19	71.67	353	
N _{Ma}	20.0	0.0	0.0	0.0	0	
W _{Ma}	95.0	0.0	0.0	0.0	0	
R _{Ma}	39.92	58.74	27.99	65.07	25	
J _{Ma}	81.26	-2.89	71.56	71.62	92	
G _{Ma}	52.23	-42.42	13.6	44.55	162	
B _{Ma}	30.57	1.41	-46.47	46.49	272	

Daten für Maximalfarbe (Ma):

$LAB^*LAB^*_{Ma}$: 74 17 67

$LAB^*LCH^*_{Ma}$: 74 69 75

$lab^*rgb^*_{Ma}$: 1.0 0.75 0.0

$lab^*olv^*_{Ma}$: 1.0 0.68 0.0

Dreiecks-Helligkeit t^*

%Umfang

$u^*_{rel} = 83$

%Regularität

$g^*_{H,rel} = 72$

$g^*_{C,rel} = 57$

ORS20_95a; adaptierte CIELAB-Daten

	u^*_e	$L^*=L^*_a$	a^*_a	b^*_a	$C^*_{ab,a}$	$h^*_{ab,a}$	u^*_d
r00j	48.83	63.91	30.45	70.79	25	m84o	
r25j	55.53	50.37	45.65	67.97	42	o17y	
r50j	64.76	33.86	56.12	65.55	59	o42y	
r75j	74.12	17.13	66.74	68.9	76	o67y	
j00g	85.5	-3.22	79.65	79.72	92	o92y	
j25g	79.45	-24.05	66.85	71.04	110	y20l	
j50g	69.75	-38.03	49.98	62.8	127	y46l	
j75g	61.38	-50.1	35.41	61.35	145	y72l	
g00b	52.6	-62.77	20.12	65.92	162	y99l	
g25b	55.39	-47.66	-8.06	48.34	190	l36c	
g50b	57.43	-36.92	-27.8	46.22	217	l72c	
g75b	55.19	-21.2	-44.17	48.99	244	c11v	
b00r	41.84	1.31	-43.28	43.3	272	c56v	
b25r	29.72	24.12	-41.48	47.98	300	v04m	
b50r	38.41	44.74	-27.3	52.41	329	v55m	
b75r	49.41	70.07	-3.62	70.16	357	m11o	

$LAB^*LCH^*_{a}$

$i^*=1.00$

Brillantheit i^*

$i^*=0.80$

$i^*=0.60$

$i^*=0.40$

$i^*=0.20$

Ein und Ausgabe: Farbmetrisches Drucker-Reflektiv-System ORS20_95a für relativen CIELAB-Buntton $h^* = lab^*h^* = h_{ab}/360 = 0.256$

Daten für jede Farbe:

lab^*tch^* und lab^*icu^*

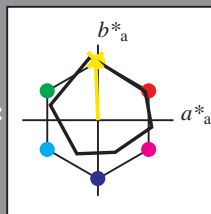
Bunttontexte:

$u^*_e = j00g$ $u^*_d = o92y$

Kontrastreduzierungsfaktor:

$c_R = 0.96$

Dreiecks-Helligkeit i^*



ORS20_95a; adaptierte CIELAB-Daten						
	u^*_e	$L^*=L^*_a$	a^*_a	b^*_a	$C^*_{ab,a}$	$h^*_{ab,a}$
O _{Ma}	48.71	62.56	37.91	73.15	31	
Y _{Ma}	89.25	-9.92	83.91	84.49	97	
L _{Ma}	52.5	-62.91	19.95	66.0	162	
C _{Ma}	59.15	-27.87	-44.43	52.45	238	
V _{Ma}	29.13	22.73	-42.44	48.14	298	
M _{Ma}	49.51	71.08	-9.19	71.67	353	
N _{Ma}	20.0	0.0	0.0	0.0	0	
W _{Ma}	95.0	0.0	0.0	0.0	0	
R _{Ma}	39.92	58.74	27.99	65.07	25	
J _{Ma}	81.26	-2.89	71.56	71.62	92	
G _{Ma}	52.23	-42.42	13.6	44.55	162	
B _{Ma}	30.57	1.41	-46.47	46.49	272	

Daten für Maximalfarbe (Ma):

$LAB^*LAB^*_{Ma}$: 86 -3 80

$LAB^*LCH^*_{Ma}$: 86 80 92

$lab^*rgb^*_{Ma}$: 1.0 1.0 0.0

$lab^*olv^*_{Ma}$: 1.0 0.93 0.0

Dreiecks-Helligkeit i^*

%Umfang

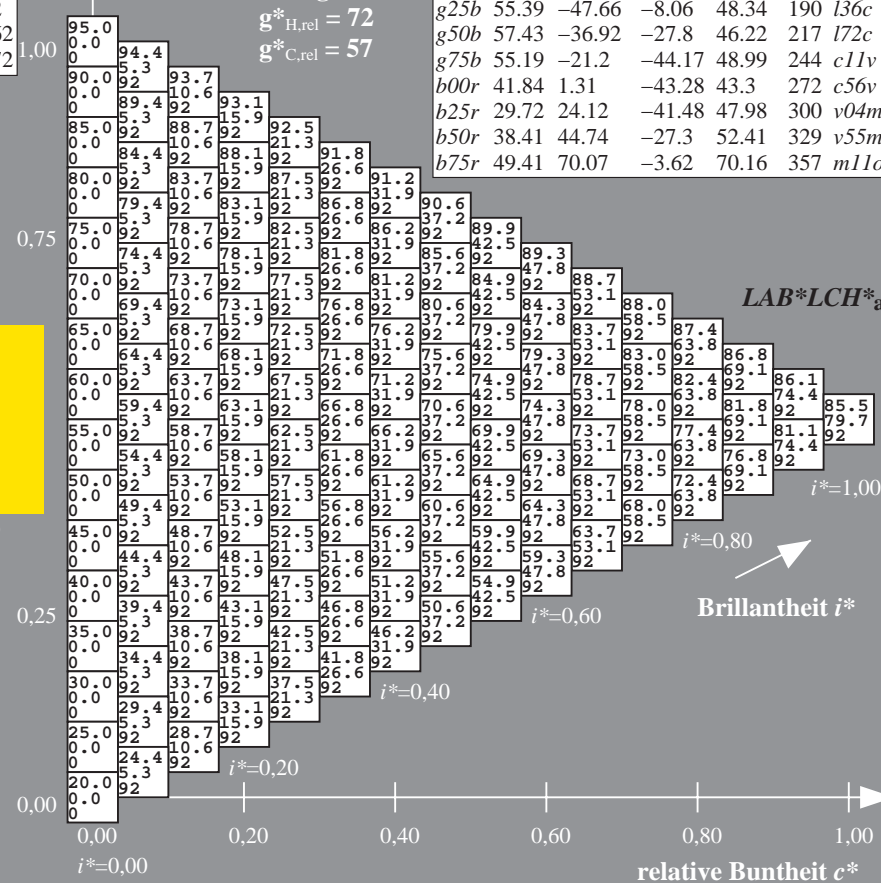
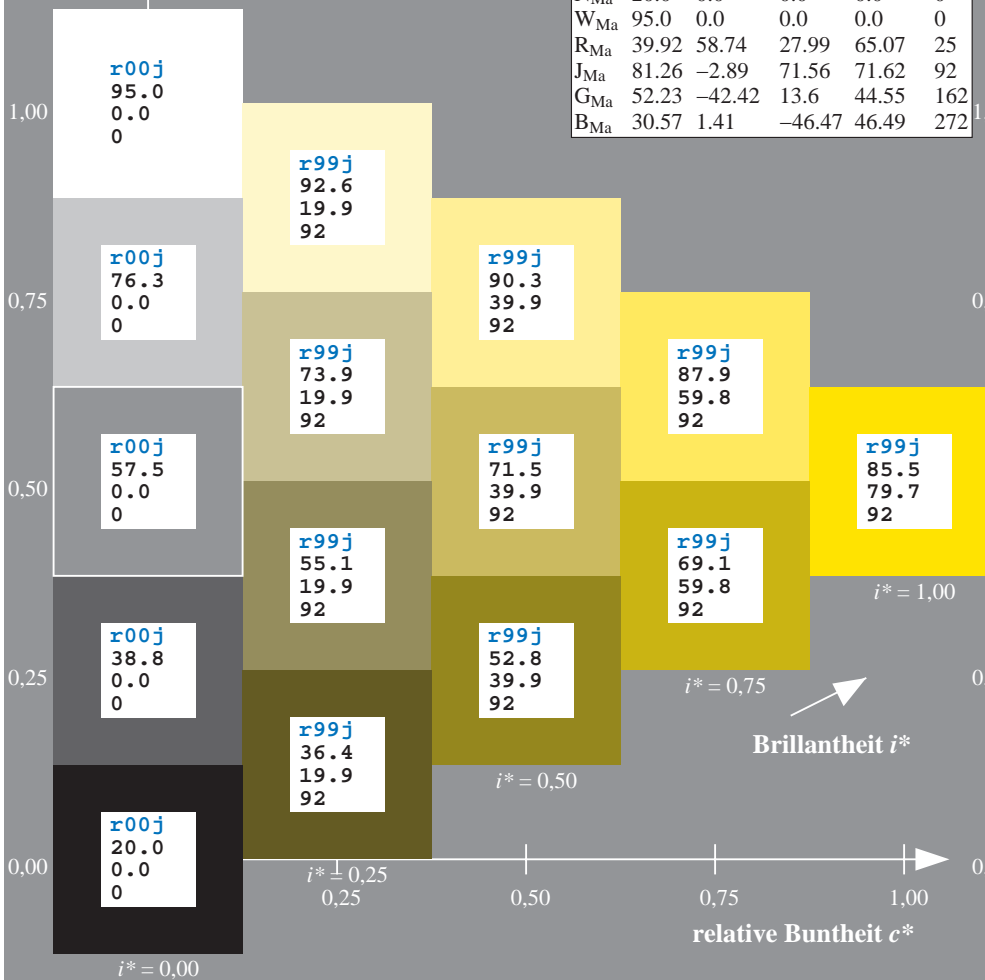
$u^*_{rel} = 83$

%Regularität

$g^*_{H,rel} = 72$

$g^*_{C,rel} = 57$

ORS20_95a; adaptierte CIELAB-Daten						
	u^*_e	$L^*=L^*_a$	a^*_a	b^*_a	$C^*_{ab,a}$	$h^*_{ab,a}$
r00j	48.83	63.91	30.45	70.79	25	m84o
r25j	55.53	50.37	45.65	67.97	42	o17y
r50j	64.76	33.86	56.12	65.55	59	o42y
r75j	74.12	17.13	66.74	68.9	76	o67y
j00g	85.5	-3.22	79.65	79.72	92	o92y
j25g	79.45	-24.05	66.85	71.04	110	y20l
j50g	69.75	-38.03	49.98	62.8	127	y46l
j75g	61.38	-50.1	35.41	61.35	145	y72l
g00b	52.6	-62.77	20.12	65.92	162	y99l
g25b	55.39	-47.66	-8.06	48.34	190	l36c
g50b	57.43	-36.92	-27.8	46.22	217	l72c
g75b	55.19	-21.2	-44.17	48.99	244	c11v
b00r	41.84	1.31	-43.28	43.3	272	c56v
b25r	29.72	24.12	-41.48	47.98	300	v04m
b50r	38.41	44.74	-27.3	52.41	329	v55m
b75r	49.41	70.07	-3.62	70.16	357	m11o



Ein und Ausgabe: Farbmetrisches Drucker-Reflektiv-System ORS20_95a für relativen CIELAB-Buntton $h^* = lab^*h^* = h_{ab}/360 = 0.305$

Daten für jede Farbe:

lab^*tch^* und lab^*icu^*

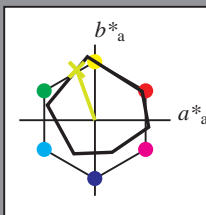
Bunttontexte:

$u^*_e = j25g$ $u^*_d = y20l$

Kontrastreduzierungsfaktor:

$c_R = 0.96$

Dreiecks-Helligkeit i^*



ORS20_95a; adaptierte CIELAB-Daten

u^*_e	$L^*=L^*_a$	a^*_a	b^*_a	$C^*_{ab,a}$	$h^*_{ab,a}$
O _{Ma}	48.71	62.56	37.91	73.15	31
Y _{Ma}	89.25	-9.92	83.91	84.49	97
L _{Ma}	52.5	-62.91	19.95	66.0	162
C _{Ma}	59.15	-27.87	-44.43	52.45	238
V _{Ma}	29.13	22.73	-42.44	48.14	298
M _{Ma}	49.51	71.08	-9.19	71.67	353
N _{Ma}	20.0	0.0	0.0	0.0	0
W _{Ma}	95.0	0.0	0.0	0.0	0
R _{Ma}	39.92	58.74	27.99	65.07	25
J _{Ma}	81.26	-2.89	71.56	71.62	92
G _{Ma}	52.23	-42.42	13.6	44.55	162
B _{Ma}	30.57	1.41	-46.47	46.49	272

Daten für Maximalfarbe (Ma):

$LAB^*LAB^*_{Ma}$: 79 -24 67

$LAB^*LCH^*_{Ma}$: 79 71 109

$lab^*rgb^*_{Ma}$: 0.75 1.0 0.0

$lab^*olv^*_{Ma}$: 0.8 1.0 0.0

Dreiecks-Helligkeit i^*

%Umfang

$u^*_{rel} = 83$

%Regularität

$g^*_{H,rel} = 72$

$g^*_{C,rel} = 57$

ORS20_95a; adaptierte CIELAB-Daten

u^*_e	$L^*=L^*_a$	a^*_a	b^*_a	$C^*_{ab,a}$	$h^*_{ab,a}$	u^*_d
r00j	48.83	63.91	30.45	70.79	25	m84o
r25j	55.53	50.37	45.65	67.97	42	o17y
r50j	64.76	33.86	56.12	65.55	59	o42y
r75j	74.12	17.13	66.74	68.9	76	o67y
j00g	85.5	-3.22	79.65	79.72	92	o92y
j25g	79.45	-24.05	66.85	71.04	110	y20l
j50g	69.75	-38.03	49.98	62.8	127	y46l
j75g	61.38	-50.1	35.41	61.35	145	y72l
g00b	52.6	-62.77	20.12	65.92	162	y99l
g25b	55.39	-47.66	-8.06	48.34	190	l36c
g50b	57.43	-36.92	-27.8	46.22	217	l72c
g75b	55.19	-21.2	-44.17	48.99	244	c11v
b00r	41.84	1.31	-43.28	43.3	272	c56v
b25r	29.72	24.12	-41.48	47.98	300	v04m
b50r	38.41	44.74	-27.3	52.41	329	v55m
b75r	49.41	70.07	-3.62	70.16	357	m11o

$LAB^*LCH^*_{a}$

$i^* = 1.00$

Brillantheit i^*

$i^* = 0.80$

$i^* = 0.60$

$i^* = 0.40$

$i^* = 0.20$

$i^* = 0.00$

relative Buntheit c^*

relative Buntheit c^*

Ein und Ausgabe: Farbmetrisches Drucker-Reflektiv-System ORS20_95a für relativen CIELAB-Buntton $h^* = lab^*h^* = h_{ab}/360 = 0.354$

Daten für jede Farbe:

lab^*ch^* und lab^*icu^*

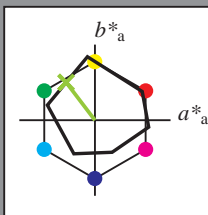
Bunttontexte:

$u^*_e = j50g$ $u^*_d = y46l$

Kontrastreduzierungsfaktor:

$c_R = 0.96$

Dreiecks-Helligkeit i^*



ORS20_95a; adaptierte CIELAB-Daten						
u^*_e	$L^*=L^*_a$	a^*_a	b^*_a	$C^*_{ab,a}$	$h^*_{ab,a}$	u^*_d
O _{Ma}	48.71	62.56	37.91	73.15	31	
Y _{Ma}	89.25	-9.92	83.91	84.49	97	
L _{Ma}	52.5	-62.91	19.95	66.0	162	
C _{Ma}	59.15	-27.87	-44.43	52.45	238	
V _{Ma}	29.13	22.73	-42.44	48.14	298	
M _{Ma}	49.51	71.08	-9.19	71.67	353	
N _{Ma}	20.0	0.0	0.0	0.0	0	
W _{Ma}	95.0	0.0	0.0	0.0	0	
R _{Ma}	39.92	58.74	27.99	65.07	25	
J _{Ma}	81.26	-2.89	71.56	71.62	92	
G _{Ma}	52.23	-42.42	13.6	44.55	162	
B _{Ma}	30.57	1.41	-46.47	46.49	272	

Daten für Maximalfarbe (Ma):

$LAB^*LAB^*_{Ma}$: 70 -38 50

$LAB^*LCH^*_{Ma}$: 70 63 127

$lab^*rgb^*_{Ma}$: 0.5 1.0 0.0

$lab^*olv^*_{Ma}$: 0.54 1.0 0.0

Dreiecks-Helligkeit i^*

%Umfang

$u^*_{rel} = 83$

%Regularität

$g^*_{H,rel} = 72$

$g^*_{C,rel} = 57$

ORS20_95a; adaptierte CIELAB-Daten						
u^*_e	$L^*=L^*_a$	a^*_a	b^*_a	$C^*_{ab,a}$	$h^*_{ab,a}$	u^*_d
r00j	48.83	63.91	30.45	70.79	25	m84o
r25j	55.53	50.37	45.65	67.97	42	o17y
r50j	64.76	33.86	56.12	65.55	59	o42y
r75j	74.12	17.13	66.74	68.9	76	o67y
j00g	85.5	-3.22	79.65	79.72	92	o92y
j25g	79.45	-24.05	66.85	71.04	110	y20l
j50g	69.75	-38.03	49.98	62.8	127	y46l
j75g	61.38	-50.1	35.41	61.35	145	y72l
g00b	52.6	-62.77	20.12	65.92	162	y99l
g25b	55.39	-47.66	-8.06	48.34	190	l36c
g50b	57.43	-36.92	-27.8	46.22	217	l72c
g75b	55.19	-21.2	-44.17	48.99	244	c11v
b00r	41.84	1.31	-43.28	43.3	272	c56v
b25r	29.72	24.12	-41.48	47.98	300	v04m
b50r	38.41	44.74	-27.3	52.41	329	v55m
b75r	49.41	70.07	-3.62	70.16	357	m11o

$LAB^*LCH^*_{a}$

$i^*=1.00$

Brillantheit i^*

$i^*=0.80$

$i^*=0.60$

$i^*=0.40$

$i^*=0.20$

Ein und Ausgabe: Farbmetrisches Drucker-Reflektiv-System ORS20_95a für relativen CIELAB-Buntton $h^* = lab^*h^* = h_{ab}/360 = 0.402$

Daten für jede Farbe:

lab^*ch^* und lab^*icu^*

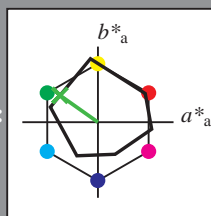
Bunttontexte:

$u^*_e = j75g$ $u^*_d = y72l$

Kontrastreduzierungsfaktor:

$c_R = 0.96$

Dreiecks-Helligkeit i^*



ORS20_95a; adaptierte CIELAB-Daten						
u^*_e	$L^*=L^*_a$	a^*_a	b^*_a	$C^*_{ab,a}$	$h^*_{ab,a}$	u^*_d
O _{Ma}	48.71	62.56	37.91	73.15	31	
Y _{Ma}	89.25	-9.92	83.91	84.49	97	
L _{Ma}	52.5	-62.91	19.95	66.0	162	
C _{Ma}	59.15	-27.87	-44.43	52.45	238	
V _{Ma}	29.13	22.73	-42.44	48.14	298	
M _{Ma}	49.51	71.08	-9.19	71.67	353	
N _{Ma}	20.0	0.0	0.0	0.0	0	
W _{Ma}	95.0	0.0	0.0	0.0	0	
R _{Ma}	39.92	58.74	27.99	65.07	25	
J _{Ma}	81.26	-2.89	71.56	71.62	92	
G _{Ma}	52.23	-42.42	13.6	44.55	162	
B _{Ma}	30.57	1.41	-46.47	46.49	272	

Daten für Maximalfarbe (Ma):

$LAB^*LAB^*_{Ma}$: 61 -50 35

$LAB^*LCH^*_{Ma}$: 61 61 144

$lab^*rgb^*_{Ma}$: 0.25 1.0 0.0

$lab^*olv^*_{Ma}$: 0.27 1.0 0.0

Dreiecks-Helligkeit i^*

%Umfang

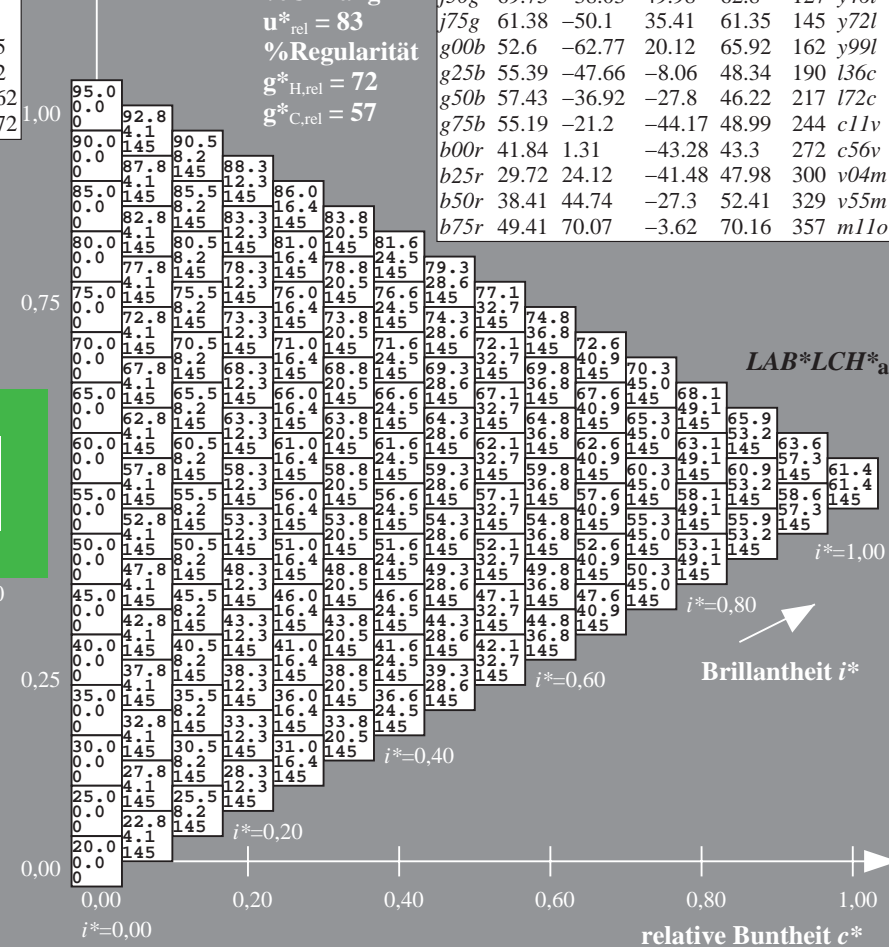
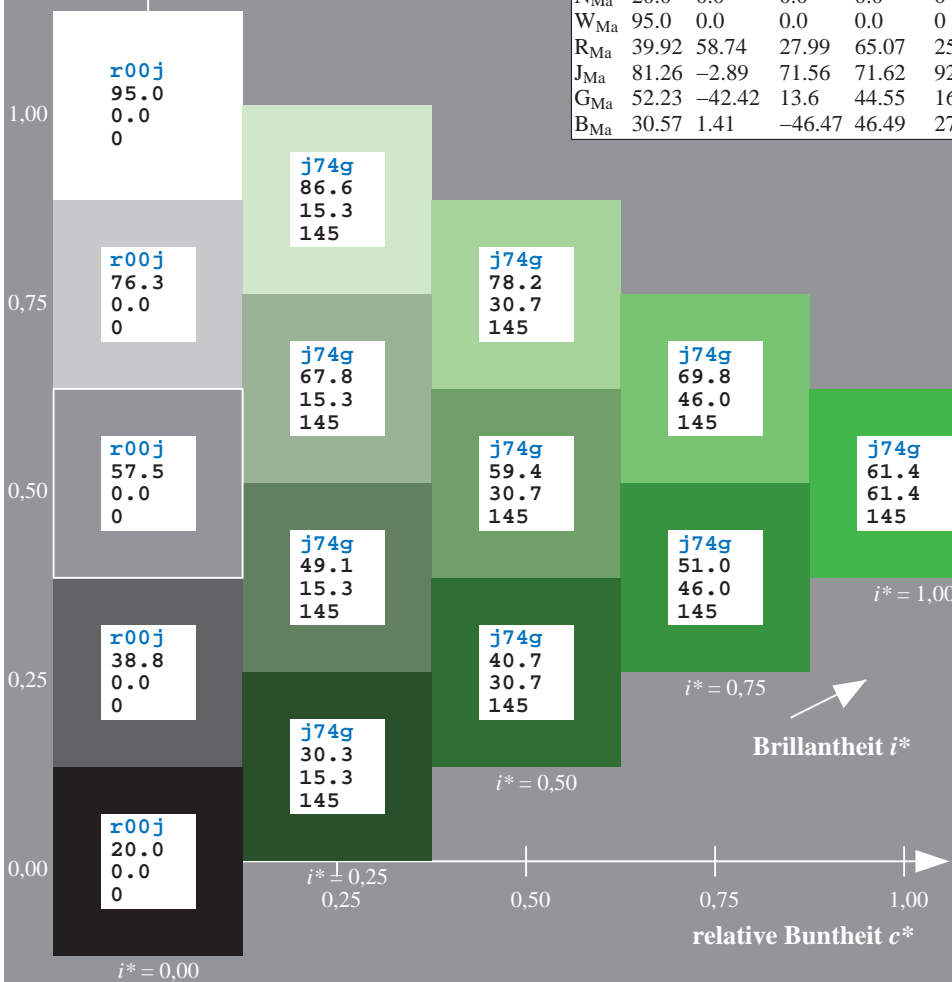
$u^*_{rel} = 83$

%Regularität

$g^*_{H,rel} = 72$

$g^*_{C,rel} = 57$

ORS20_95a; adaptierte CIELAB-Daten						
u^*_e	$L^*=L^*_a$	a^*_a	b^*_a	$C^*_{ab,a}$	$h^*_{ab,a}$	u^*_d
r00j	48.83	63.91	30.45	70.79	25	m84o
r25j	55.53	50.37	45.65	67.97	42	o17y
r50j	64.76	33.86	56.12	65.55	59	o42y
r75j	74.12	17.13	66.74	68.9	76	o67y
j00g	85.5	-3.22	79.65	79.72	92	o92y
j25g	79.45	-24.05	66.85	71.04	110	y20l
j50g	69.75	-38.03	49.98	62.8	127	y46l
j75g	61.38	-50.1	35.41	61.35	145	y72l
g00b	52.6	-62.77	20.12	65.92	162	y99l
g25b	55.39	-47.66	-8.06	48.34	190	l36c
g50b	57.43	-36.92	-27.8	46.22	217	l72c
g75b	55.19	-21.2	-44.17	48.99	244	c11v
b00r	41.84	1.31	-43.28	43.3	272	c56v
b25r	29.72	24.12	-41.48	47.98	300	v04m
b50r	38.41	44.74	-27.3	52.41	329	v55m
b75r	49.41	70.07	-3.62	70.16	357	m11o



Ein und Ausgabe: Farbmetrisches Drucker-Reflektiv-System ORS20_95a für relativen CIELAB-Buntton $h^* = lab^*h^* = h_{ab}/360 = 0.451$

Daten für jede Farbe:

lab^*ch^* und lab^*icu^*

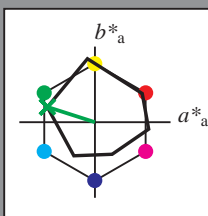
Bunttontexte:

$u^*_e = g00b$ $u^*_d = y99l$

Kontrastreduzierungsfaktor:

$c_R = 0.96$

Dreiecks-Helligkeit i^*



ORS20_95a; adaptierte CIELAB-Daten						
u^*_e	$L^*=L^*_a$	a^*_a	b^*_a	$C^*_{ab,a}$	$h^*_{ab,a}$	u^*_d
O _{Ma}	48.71	62.56	37.91	73.15	31	
Y _{Ma}	89.25	-9.92	83.91	84.49	97	
L _{Ma}	52.5	-62.91	19.95	66.0	162	
C _{Ma}	59.15	-27.87	-44.43	52.45	238	
V _{Ma}	29.13	22.73	-42.44	48.14	298	
M _{Ma}	49.51	71.08	-9.19	71.67	353	
N _{Ma}	20.0	0.0	0.0	0.0	0	
W _{Ma}	95.0	0.0	0.0	0.0	0	
R _{Ma}	39.92	58.74	27.99	65.07	25	
J _{Ma}	81.26	-2.89	71.56	71.62	92	
G _{Ma}	52.23	-42.42	13.6	44.55	162	
B _{Ma}	30.57	1.41	-46.47	46.49	272	

Daten für Maximalfarbe (Ma):

$LAB^*LAB^*_{Ma}$: 53 -63 20

$LAB^*LCH^*_{Ma}$: 53 66 162

$lab^*rgb^*_{Ma}$: 0.0 1.0 0.0

$lab^*olv^*_{Ma}$: 0.0 1.0 0.0

Dreiecks-Helligkeit i^*

%Umfang

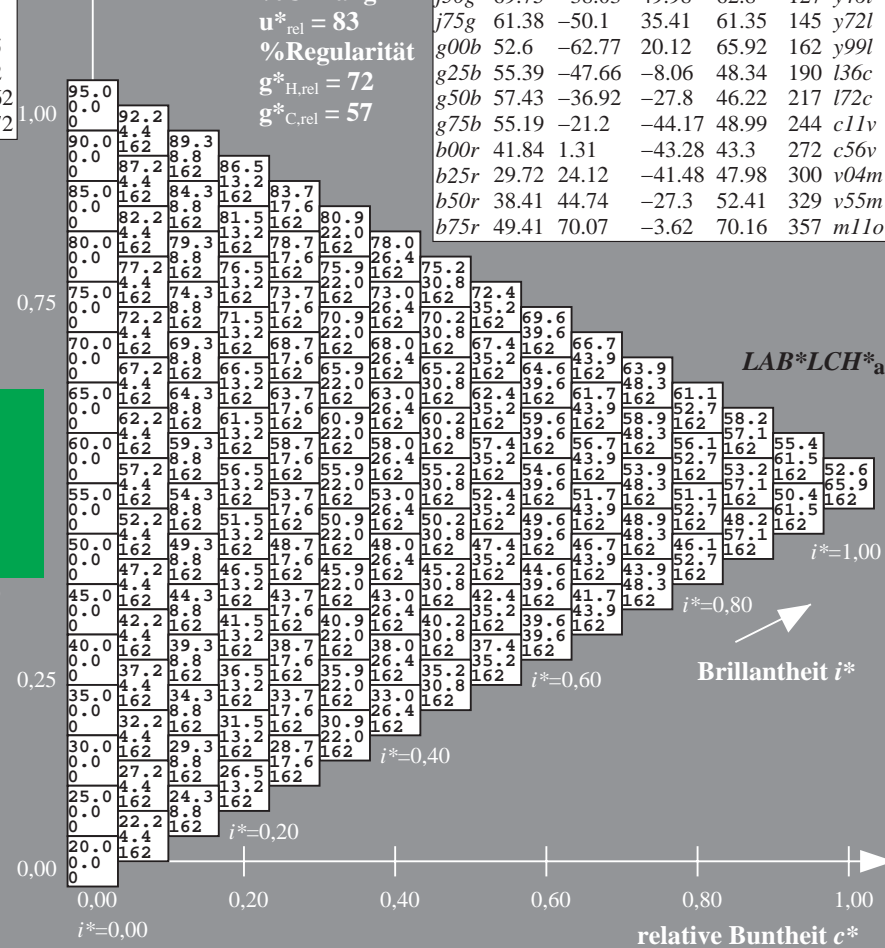
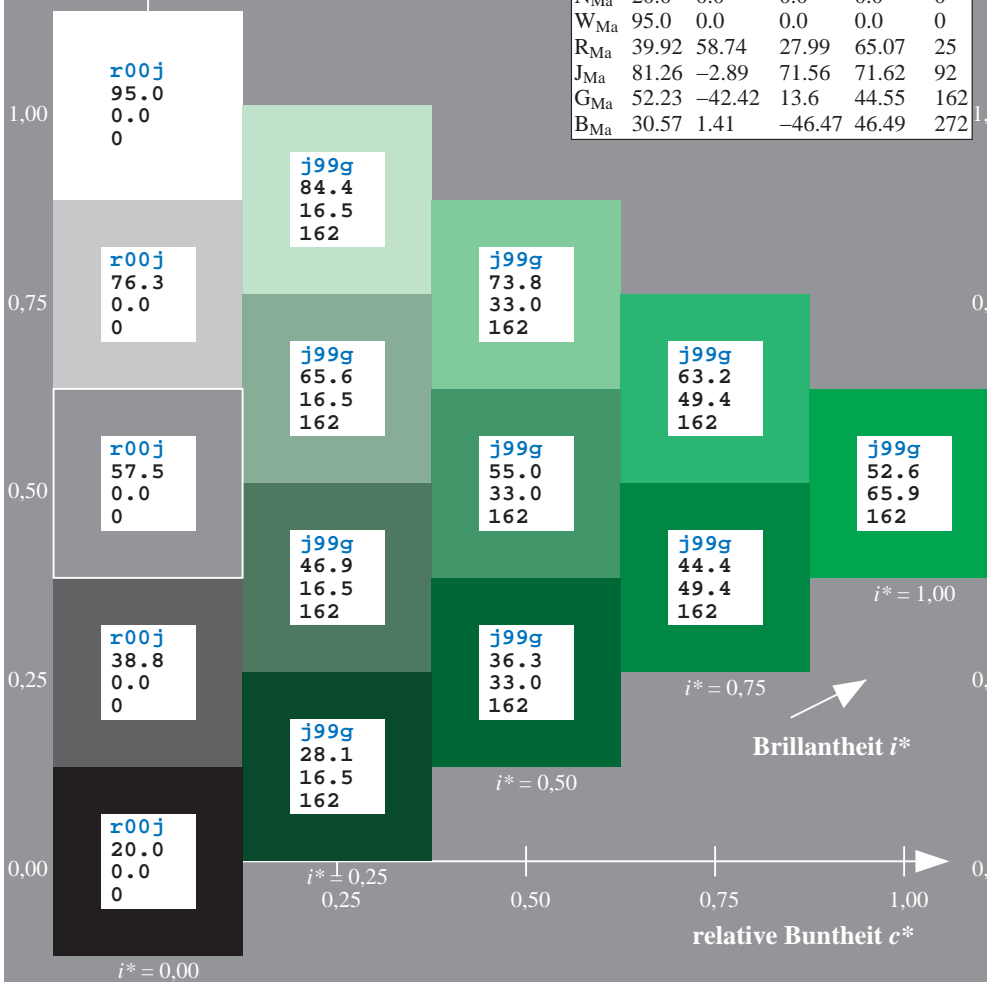
$u^*_{rel} = 83$

%Regularität

$g^*_{H,rel} = 72$

$g^*_{C,rel} = 57$

ORS20_95a; adaptierte CIELAB-Daten						
u^*_e	$L^*=L^*_a$	a^*_a	b^*_a	$C^*_{ab,a}$	$h^*_{ab,a}$	u^*_d
r00j	48.83	63.91	30.45	70.79	25	m84o
r25j	55.53	50.37	45.65	67.97	42	o17y
r50j	64.76	33.86	56.12	65.55	59	o42y
r75j	74.12	17.13	66.74	68.9	76	o67y
j00g	85.5	-3.22	79.65	79.72	92	o92y
j25g	79.45	-24.05	66.85	71.04	110	y20l
j50g	69.75	-38.03	49.98	62.8	127	y46l
j75g	61.38	-50.1	35.41	61.35	145	y72l
g00b	52.6	-62.77	20.12	65.92	162	y99l
g25b	55.39	-47.66	-8.06	48.34	190	l36c
g50b	57.43	-36.92	-27.8	46.22	217	l72c
g75b	55.19	-21.2	-44.17	48.99	244	c11v
b00r	41.84	1.31	-43.28	43.3	272	c56v
b25r	29.72	24.12	-41.48	47.98	300	v04m
b50r	38.41	44.74	-27.3	52.41	329	v55m
b75r	49.41	70.07	-3.62	70.16	357	m11o



Ein und Ausgabe: Farbmetrisches Drucker-Reflektiv-System ORS20_95a für relativen CIELAB-Buntton $h^* = \text{lab}^*h^* = h_{ab}/360 = 0.527$

Daten für jede Farbe:

lab^*tch^* und lab^*icu^*

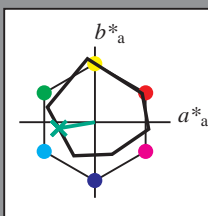
Bunttontexte:

$u^*_e = g25b$ $u^*_d = l36c$

Kontrastreduzierungsfaktor:

$c_R = 0.96$

Dreiecks-Helligkeit i^*



ORS20_95a; adaptierte CIELAB-Daten						
u^*_e	$L^*=L^*_a$	a^*_a	b^*_a	$C^*_{ab,a}$	$h^*_{ab,a}$	u^*_d
O _{Ma}	48.71	62.56	37.91	73.15	31	
Y _{Ma}	89.25	-9.92	83.91	84.49	97	
L _{Ma}	52.5	-62.91	19.95	66.0	162	
C _{Ma}	59.15	-27.87	-44.43	52.45	238	
V _{Ma}	29.13	22.73	-42.44	48.14	298	
M _{Ma}	49.51	71.08	-9.19	71.67	353	
W _{Ma}	20.0	0.0	0.0	0.0	0	
N _{Ma}	95.0	0.0	0.0	0.0	0	
R _{Ma}	39.92	58.74	27.99	65.07	25	
J _{Ma}	81.26	-2.89	71.56	71.62	92	
G _{Ma}	52.23	-42.42	13.6	44.55	162	
B _{Ma}	30.57	1.41	-46.47	46.49	272	

Daten für Maximalfarbe (Ma):

$\text{LAB}^*\text{LAB}^*_{Ma}$: 55 -48 -8

$\text{LAB}^*\text{LCH}^*_{Ma}$: 55 48 189

$\text{lab}^*\text{rgb}^*_{Ma}$: 0.0 1.0 0.5

$\text{lab}^*\text{olv}^*_{Ma}$: 0.0 1.0 0.36

Dreiecks-Helligkeit i^*

%Umfang

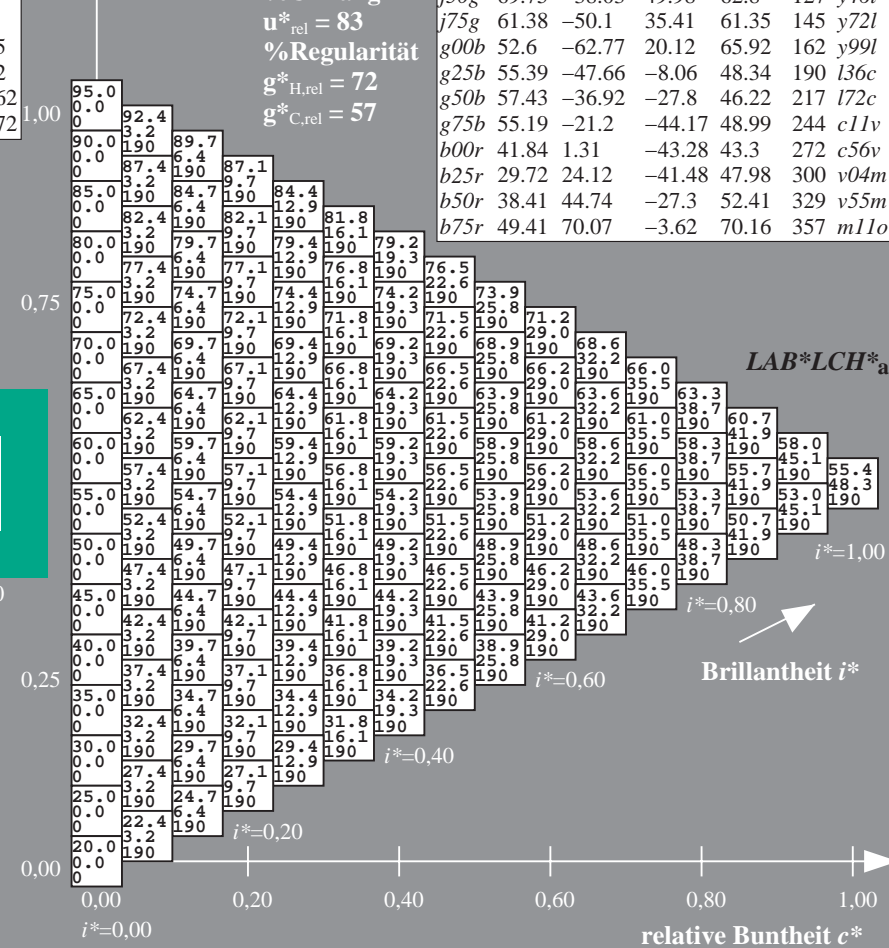
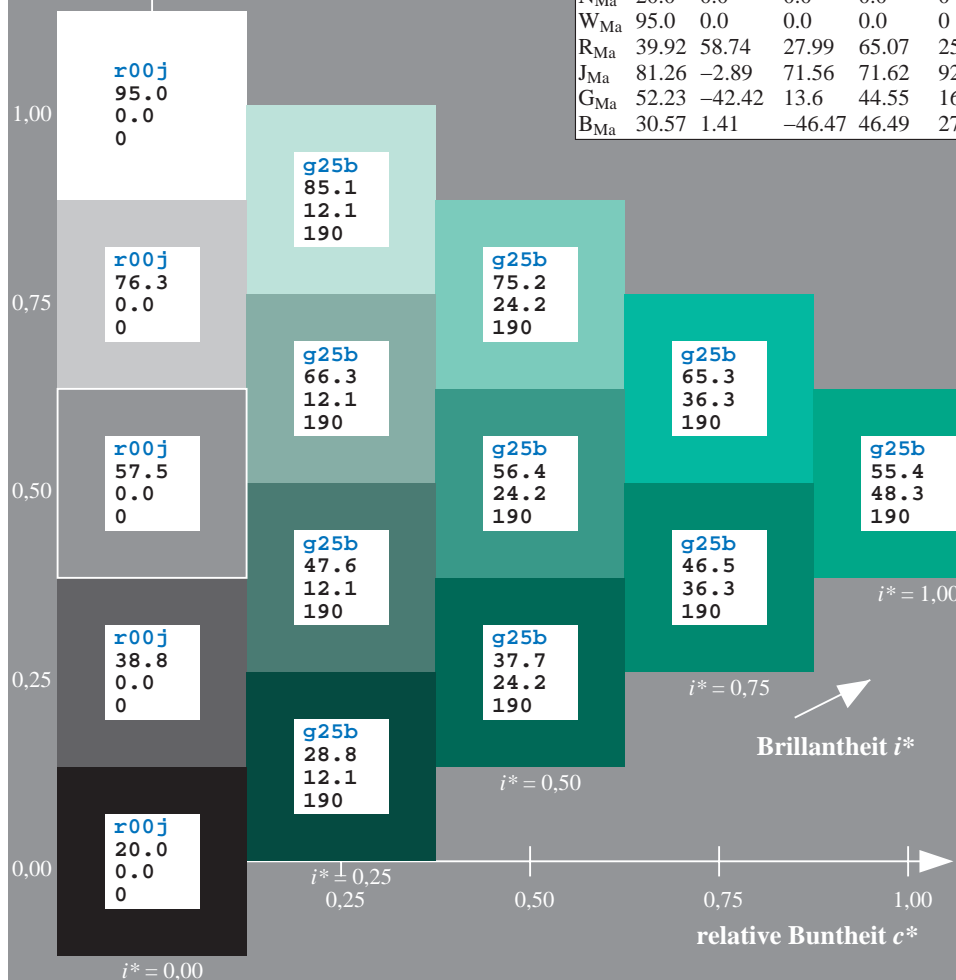
$u^*_{rel} = 83$

%Regularität

$g^*_{H,rel} = 72$

$g^*_{C,rel} = 57$

ORS20_95a; adaptierte CIELAB-Daten						
u^*_e	$L^*=L^*_a$	a^*_a	b^*_a	$C^*_{ab,a}$	$h^*_{ab,a}$	u^*_d
r00j	48.83	63.91	30.45	70.79	25	m84o
r25j	55.53	50.37	45.65	67.97	42	o17y
r50j	64.76	33.86	56.12	65.55	59	o42y
r75j	74.12	17.13	66.74	68.9	76	o67y
j00g	85.5	-3.22	79.65	79.72	92	o92y
j25g	79.45	-24.05	66.85	71.04	110	y20l
j50g	69.75	-38.03	49.98	62.8	127	y46l
j75g	61.38	-50.1	35.41	61.35	145	y72l
g00b	52.6	-62.77	20.12	65.92	162	y99l
g25b	55.39	-47.66	-8.06	48.34	190	l36c
g50b	57.43	-36.92	-27.8	46.22	217	l72c
g75b	55.19	-21.2	-44.17	48.99	244	c11v
b00r	41.84	1.31	-43.28	43.3	272	c56v
b25r	29.72	24.12	-41.48	47.98	300	v04m
b50r	38.41	44.74	-27.3	52.41	329	v55m
b75r	49.41	70.07	-3.62	70.16	357	m11o



Ein und Ausgabe: Farbmetrisches Drucker-Reflektiv-System ORS20_95a für relativen CIELAB-Buntton $h^* = \text{lab}^*h^* = h_{ab}/360 = 0.603$

Daten für jede Farbe:

lab^*ch^* und lab^*icu^*

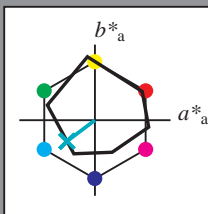
Bunttontexte:

$u^*_e = g50b$ $u^*_d = l72c$

Kontrastreduzierungsfaktor:

$c_R = 0.96$

Dreiecks-Helligkeit i^*



ORS20_95a; adaptierte CIELAB-Daten

	u^*_e	$L^*=L^*_a$	a^*_a	b^*_a	$C^*_{ab,a}$	$h^*_{ab,a}$
O _{Ma}	48.71	62.56	37.91	73.15	31	
Y _{Ma}	89.25	-9.92	83.91	84.49	97	
L _{Ma}	52.5	-62.91	19.95	66.0	162	
C _{Ma}	59.15	-27.87	-44.43	52.45	238	
V _{Ma}	29.13	22.73	-42.44	48.14	298	
M _{Ma}	49.51	71.08	-9.19	71.67	353	
N _{Ma}	20.0	0.0	0.0	0.0	0	
W _{Ma}	95.0	0.0	0.0	0.0	0	
R _{Ma}	39.92	58.74	27.99	65.07	25	
J _{Ma}	81.26	-2.89	71.56	71.62	92	
G _{Ma}	52.23	-42.42	13.6	44.55	162	
B _{Ma}	30.57	1.41	-46.47	46.49	272	

Daten für Maximalfarbe (Ma):

$\text{LAB}^*\text{LAB}^*_{\text{Ma}}$: 57 -37 -28

$\text{LAB}^*\text{LCH}^*_{\text{Ma}}$: 57 46 216

$\text{lab}^*\text{rgb}^*_{\text{Ma}}$: 0.0 1.0 1.0

$\text{lab}^*\text{olv}^*_{\text{Ma}}$: 0.0 1.0 0.72

Dreiecks-Helligkeit i^*

%Umfang

$u^*_{\text{rel}} = 83$

%Regularität

$g^*_{H,\text{rel}} = 72$

$g^*_{C,\text{rel}} = 57$

ORS20_95a; adaptierte CIELAB-Daten

	u^*_e	$L^*=L^*_a$	a^*_a	b^*_a	$C^*_{ab,a}$	$h^*_{ab,a}$	u^*_d
r00j	48.83	63.91	30.45	70.79	25	m84o	
r25j	55.53	50.37	45.65	67.97	42	o17y	
r50j	64.76	33.86	56.12	65.55	59	o42y	
r75j	74.12	17.13	66.74	68.9	76	o67y	
j00g	85.5	-3.22	79.65	79.72	92	o92y	
j25g	79.45	-24.05	66.85	71.04	110	y20l	
j50g	69.75	-38.03	49.98	62.8	127	y46l	
j75g	61.38	-50.1	35.41	61.35	145	y72l	
g00b	52.6	-62.77	20.12	65.92	162	y99l	
g25b	55.39	-47.66	-8.06	48.34	190	l36c	
g50b	57.43	-36.92	-27.8	46.22	217	l72c	
g75b	55.19	-21.2	-44.17	48.99	244	c11v	
b00r	41.84	1.31	-43.28	43.3	272	c56v	
b25r	29.72	24.12	-41.48	47.98	300	v04m	
b50r	38.41	44.74	-27.3	52.41	329	v55m	
b75r	49.41	70.07	-3.62	70.16	357	m11o	

$\text{LAB}^*\text{LCH}^*_{\text{Ma}}$

$i^* = 1.00$

Brillantheit i^*

$i^* = 0.80$

$i^* = 0.60$

$i^* = 0.40$

$i^* = 0.20$

$i^* = 0.00$

relative Buntheit c^*

relative Buntheit c^*

Ein und Ausgabe: Farbmetrisches Drucker-Reflektiv-System ORS20_95a für relativen CIELAB-Buntton $h^* = \text{lab}^*h^* = h_{ab}/360 = 0.679$

Daten für jede Farbe:

lab^*tch^* und lab^*icu^*

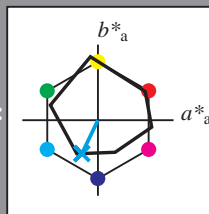
Bunttontexte:

$u^*_e = g75b$ $u^*_d = c11v$

Kontrastreduzierungsfaktor:

$c_R = 0.96$

Dreiecks-Helligkeit i^*



ORS20_95a; adaptierte CIELAB-Daten

	u^*_e	$L^*=L^*_a$	a^*_a	b^*_a	$C^*_{ab,a}$	$h^*_{ab,a}$
O _{Ma}	48.71	62.56	37.91	73.15	31	
Y _{Ma}	89.25	-9.92	83.91	84.49	97	
L _{Ma}	52.5	-62.91	19.95	66.0	162	
C _{Ma}	59.15	-27.87	-44.43	52.45	238	
V _{Ma}	29.13	22.73	-42.44	48.14	298	
M _{Ma}	49.51	71.08	-9.19	71.67	353	
N _{Ma}	20.0	0.0	0.0	0.0	0	
W _{Ma}	95.0	0.0	0.0	0.0	0	
R _{Ma}	39.92	58.74	27.99	65.07	25	
J _{Ma}	81.26	-2.89	71.56	71.62	92	
G _{Ma}	52.23	-42.42	13.6	44.55	162	
B _{Ma}	30.57	1.41	-46.47	46.49	272	

Daten für Maximalfarbe (Ma):

$\text{LAB}^*\text{LAB}^*_{Ma}$: 55 -21 -44

$\text{LAB}^*\text{LCH}^*_{Ma}$: 55 49 244

$\text{lab}^*\text{rgb}^*_{Ma}$: 0.0 0.5 1.0

$\text{lab}^*\text{olv}^*_{Ma}$: 0.0 0.89 1.0

Dreiecks-Helligkeit i^*

%Umfang

$u^*_{rel} = 83$

%Regularität

$g^*_{H,rel} = 72$

$g^*_{C,rel} = 57$

ORS20_95a; adaptierte CIELAB-Daten

	u^*_e	$L^*=L^*_a$	a^*_a	b^*_a	$C^*_{ab,a}$	$h^*_{ab,a}$	u^*_d
r00j	48.83	63.91	30.45	70.79	25	m84o	
r25j	55.53	50.37	45.65	67.97	42	o17y	
r50j	64.76	33.86	56.12	65.55	59	o42y	
r75j	74.12	17.13	66.74	68.9	76	o67y	
j00g	85.5	-3.22	79.65	79.72	92	o92y	
j25g	79.45	-24.05	66.85	71.04	110	y20l	
j50g	69.75	-38.03	49.98	62.8	127	y46l	
j75g	61.38	-50.1	35.41	61.35	145	y72l	
g00b	52.6	-62.77	20.12	65.92	162	y99l	
g25b	55.39	-47.66	-8.06	48.34	190	l36c	
g50b	57.43	-36.92	-27.8	46.22	217	l72c	
g75b	55.19	-21.2	-44.17	48.99	244	c11v	
b00r	41.84	1.31	-43.28	43.3	272	c56v	
b25r	29.72	24.12	-41.48	47.98	300	v04m	
b50r	38.41	44.74	-27.3	52.41	329	v55m	
b75r	49.41	70.07	-3.62	70.16	357	m11o	

$\text{LAB}^*\text{LCH}^*_a$

$i^*=1.00$

Brillantheit i^*

$i^*=0.80$

$i^*=0.60$

$i^*=0.40$

$i^*=0.20$

$i^*=0.00$

relative Buntheit c^*

relative Buntheit c^*

Ein und Ausgabe: Farbmetrisches Drucker-Reflektiv-System ORS20_95a für relativen CIELAB-Buntton $h^* = lab^*h^* = h_{ab}/360 = 0.755$

Daten für jede Farbe:

lab^*tch^* und lab^*icu^*

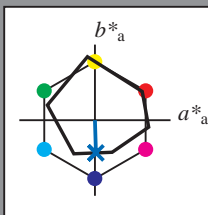
Bunttontexte:

$u^*_e = b00r$ $u^*_d = c56v$

Kontrastreduzierungsfaktor:

$c_R = 0.96$

Dreiecks-Helligkeit i^*



ORS20_95a; adaptierte CIELAB-Daten						
u^*_e	$L^*=L^*_a$	a^*_a	b^*_a	$C^*_{ab,a}$	$h^*_{ab,a}$	u^*_d
O _{Ma}	48.71	62.56	37.91	73.15	31	
Y _{Ma}	89.25	-9.92	83.91	84.49	97	
L _{Ma}	52.5	-62.91	19.95	66.0	162	
C _{Ma}	59.15	-27.87	-44.43	52.45	238	
V _{Ma}	29.13	22.73	-42.44	48.14	298	
M _{Ma}	49.51	71.08	-9.19	71.67	353	
N _{Ma}	20.0	0.0	0.0	0.0	0	
W _{Ma}	95.0	0.0	0.0	0.0	0	
R _{Ma}	39.92	58.74	27.99	65.07	25	
J _{Ma}	81.26	-2.89	71.56	71.62	92	
G _{Ma}	52.23	-42.42	13.6	44.55	162	
B _{Ma}	30.57	1.41	-46.47	46.49	272	

Daten für Maximalfarbe (Ma):

$LAB^*LAB^*_{Ma}$: 42 1 -43

$LAB^*LCH^*_{Ma}$: 42 43 271

$lab^*rgb^*_{Ma}$: 0.0 0.0 1.0

$lab^*olv^*_{Ma}$: 0.0 0.44 1.0

Dreiecks-Helligkeit i^*

%Umfang

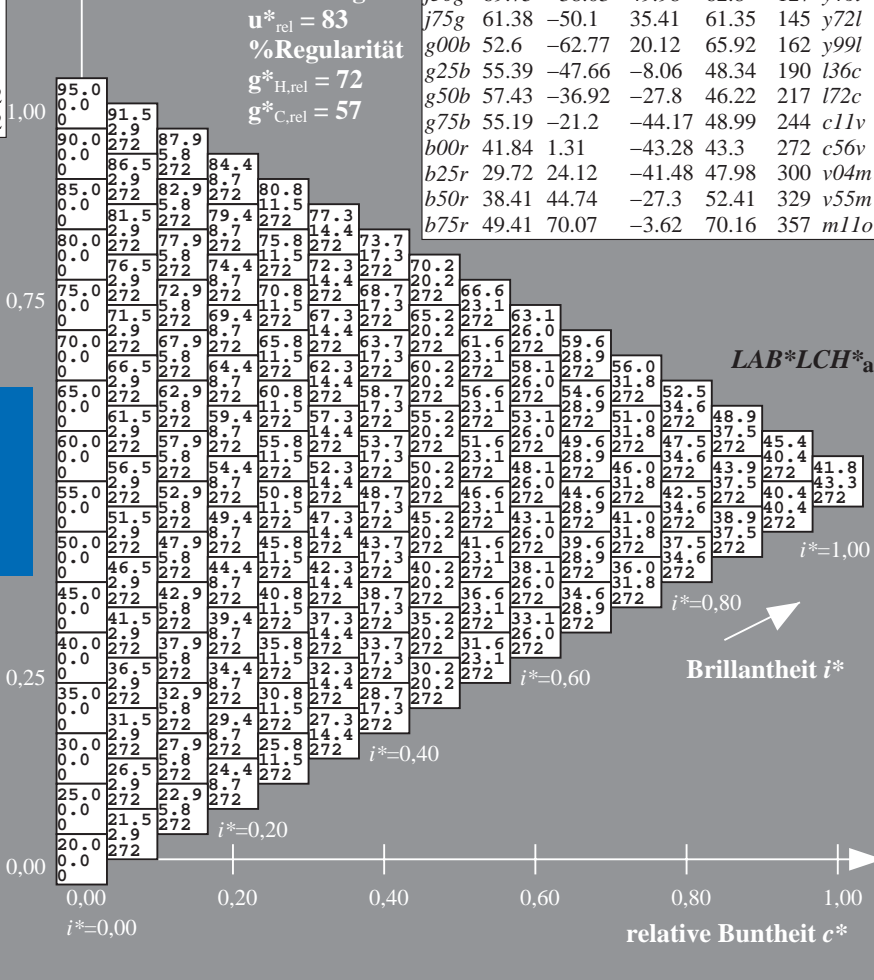
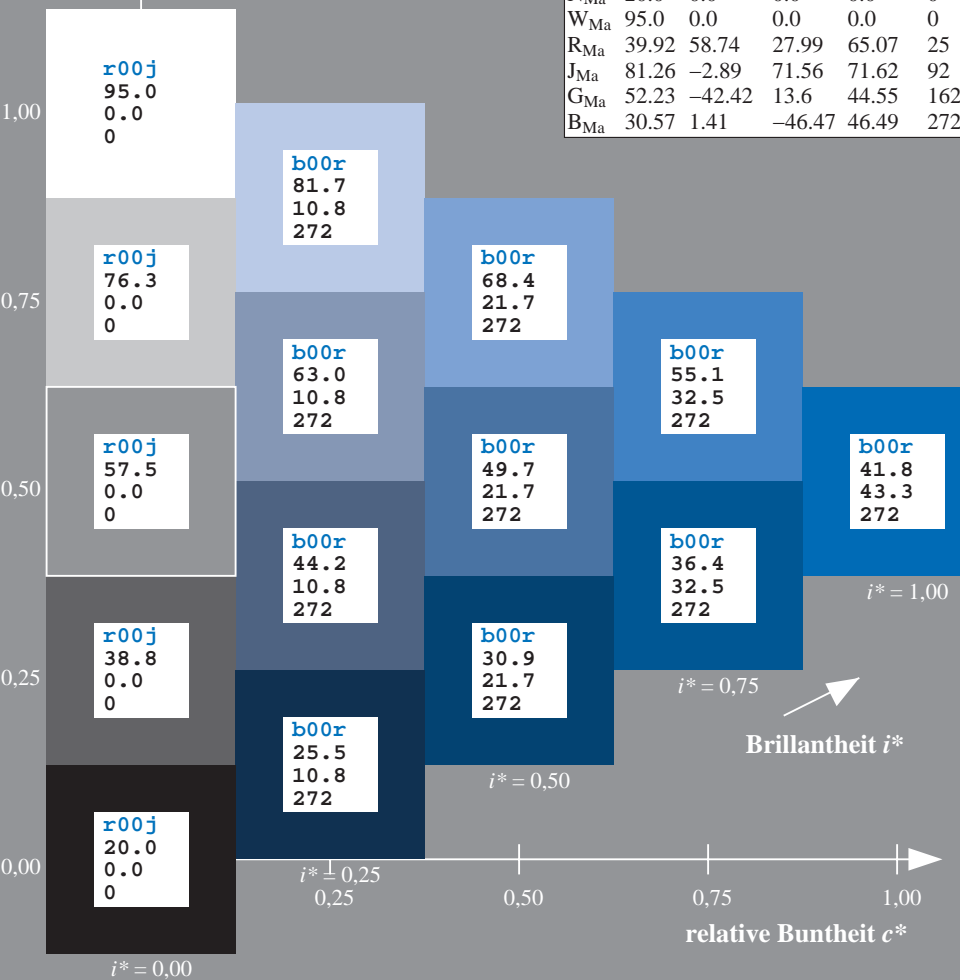
$u^*_{rel} = 83$

%Regularität

$g^*_{H,rel} = 72$

$g^*_{C,rel} = 57$

ORS20_95a; adaptierte CIELAB-Daten						
u^*_e	$L^*=L^*_a$	a^*_a	b^*_a	$C^*_{ab,a}$	$h^*_{ab,a}$	u^*_d
r00j	48.83	63.91	30.45	70.79	25	m84o
r25j	55.53	50.37	45.65	67.97	42	o17y
r50j	64.76	33.86	56.12	65.55	59	o42y
r75j	74.12	17.13	66.74	68.9	76	o67y
j00g	85.5	-3.22	79.65	79.72	92	o92y
j25g	79.45	-24.05	66.85	71.04	110	y20l
j50g	69.75	-38.03	49.98	62.8	127	y46l
j75g	61.38	-50.1	35.41	61.35	145	y72l
g00b	52.6	-62.77	20.12	65.92	162	y99l
g25b	55.39	-47.66	-8.06	48.34	190	l36c
g50b	57.43	-36.92	-27.8	46.22	217	l72c
g75b	55.19	-21.2	-44.17	48.99	244	c11v
b00r	41.84	1.31	-43.28	43.3	272	c56v
b25r	29.72	24.12	-41.48	47.98	300	v04m
b50r	38.41	44.74	-27.3	52.41	329	v55m
b75r	49.41	70.07	-3.62	70.16	357	m11o



Ein und Ausgabe: Farbmetrisches Drucker-Reflektiv-System ORS20_95a für relativen CIELAB-Buntton $h^* = lab^*h^* = h_{ab}/360 = 0.834$

Daten für jede Farbe:

lab^*ch^* und lab^*icu^*

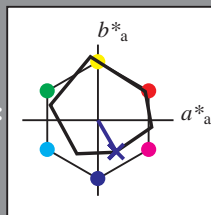
Bunttontexte:

$u^*_e = b25r$ $u^*_d = v04m$

Kontrastreduzierungsfaktor:

$c_R = 0.96$

Dreiecks-Helligkeit i^*



ORS20_95a; adaptierte CIELAB-Daten						
u^*_e	$L^*=L^*_a$	a^*_a	b^*_a	$C^*_{ab,a}$	$h^*_{ab,a}$	u^*_d
O _{Ma}	48.71	62.56	37.91	73.15	31	
Y _{Ma}	89.25	-9.92	83.91	84.49	97	
L _{Ma}	52.5	-62.91	19.95	66.0	162	
C _{Ma}	59.15	-27.87	-44.43	52.45	238	
V _{Ma}	29.13	22.73	-42.44	48.14	298	
M _{Ma}	49.51	71.08	-9.19	71.67	353	
N _{Ma}	20.0	0.0	0.0	0.0	0	
W _{Ma}	95.0	0.0	0.0	0.0	0	
R _{Ma}	39.92	58.74	27.99	65.07	25	
J _{Ma}	81.26	-2.89	71.56	71.62	92	
G _{Ma}	52.23	-42.42	13.6	44.55	162	
B _{Ma}	30.57	1.41	-46.47	46.49	272	

Daten für Maximalfarbe (Ma):

$LAB^*LAB^*_{Ma}$: 30 24 -41

$LAB^*LCH^*_{Ma}$: 30 48 300

$lab^*rgb^*_{Ma}$: 0.5 0.0 1.0

$lab^*olv^*_{Ma}$: 0.04 0.0 1.0

Dreiecks-Helligkeit i^*

%Umfang

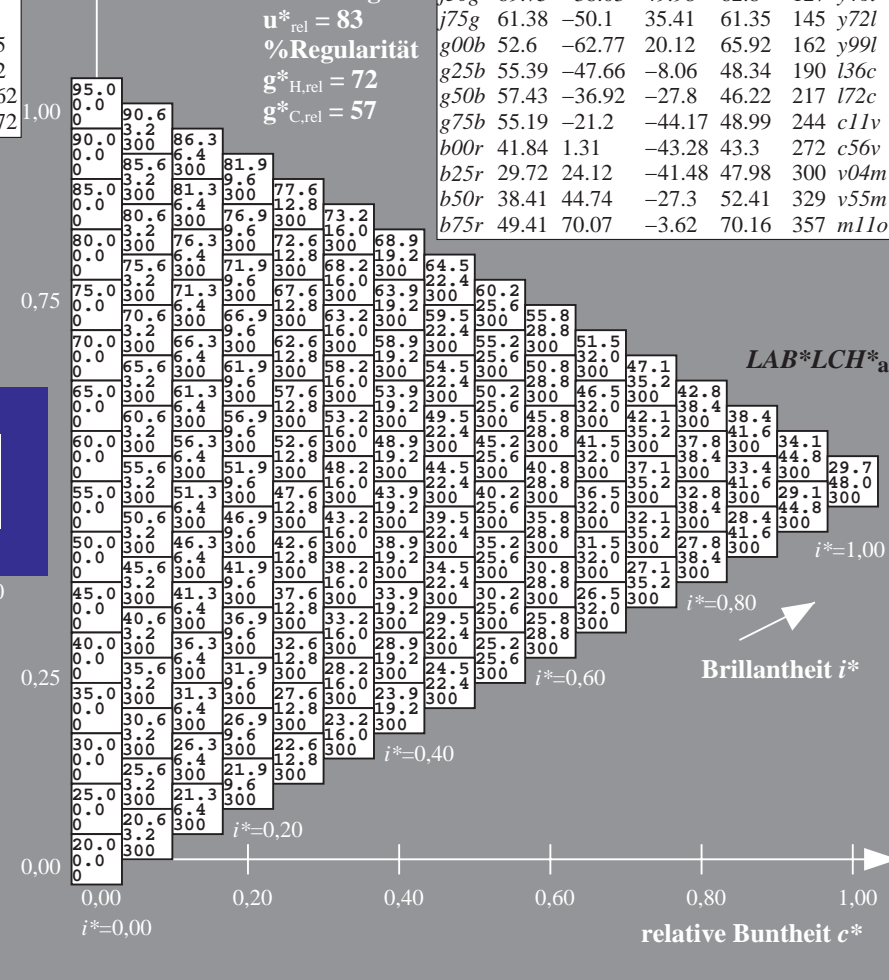
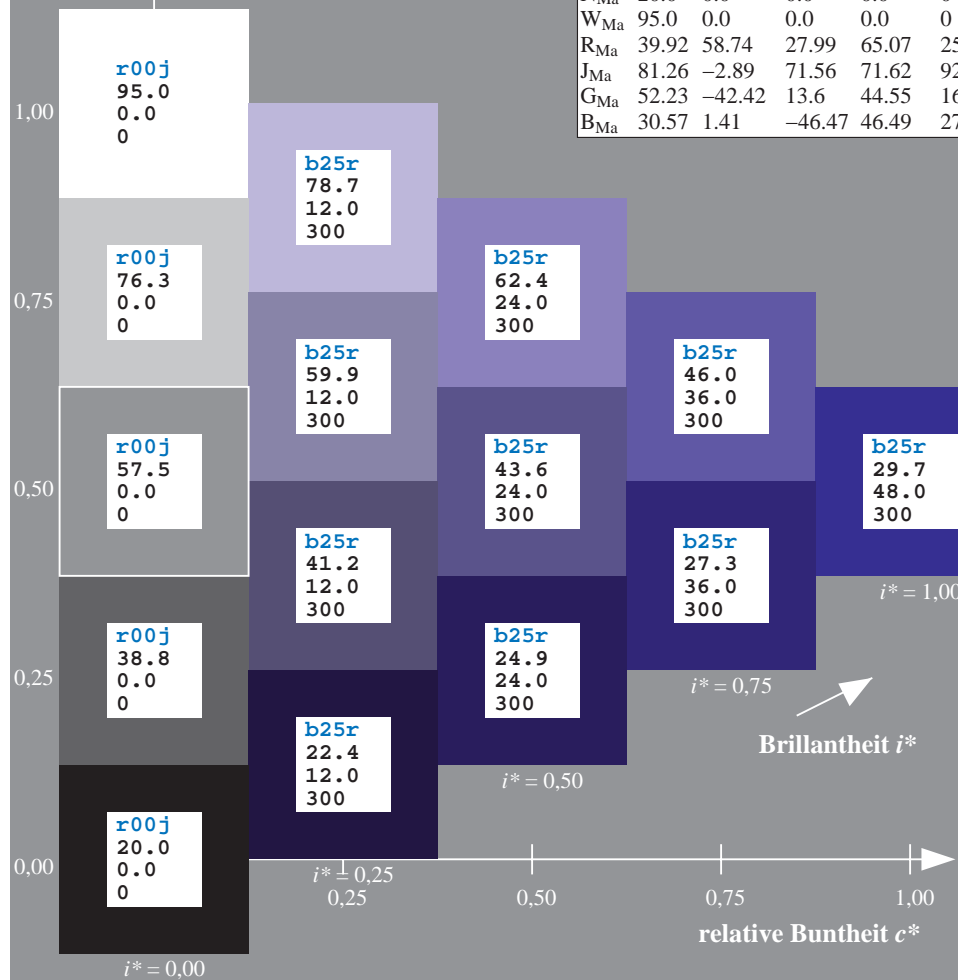
$u^*_{rel} = 83$

%Regularität

$g^*_{H,rel} = 72$

$g^*_{C,rel} = 57$

ORS20_95a; adaptierte CIELAB-Daten						
u^*_e	$L^*=L^*_a$	a^*_a	b^*_a	$C^*_{ab,a}$	$h^*_{ab,a}$	u^*_d
r00j	48.83	63.91	30.45	70.79	25	m84o
r25j	55.53	50.37	45.65	67.97	42	o17y
r50j	64.76	33.86	56.12	65.55	59	o42y
r75j	74.12	17.13	66.74	68.9	76	o67y
j00g	85.5	-3.22	79.65	79.72	92	o92y
j25g	79.45	-24.05	66.85	71.04	110	y20l
j50g	69.75	-38.03	49.98	62.8	127	y46l
j75g	61.38	-50.1	35.41	61.35	145	y72l
g00b	52.6	-62.77	20.12	65.92	162	y99l
g25b	55.39	-47.66	-8.06	48.34	190	l36c
g50b	57.43	-36.92	-27.8	46.22	217	l72c
g75b	55.19	-21.2	-44.17	48.99	244	c11v
b00r	41.84	1.31	-43.28	43.3	272	c56v
b25r	29.72	24.12	-41.48	47.98	300	v04m
b50r	38.41	44.74	-27.3	52.41	329	v55m
b75r	49.41	70.07	-3.62	70.16	357	m11o



Ein und Ausgabe: Farbmetrisches Drucker-Reflektiv-System ORS20_95a für relativen CIELAB-Buntton $h^* = lab^*h^* = h_{ab}/360 = 0.913$

Daten für jede Farbe:

lab^*tch^* und lab^*icu^*

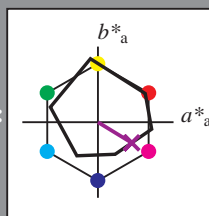
Bunttontexte:

$u^*_e = b50r$ $u^*_d = v55m$

Kontrastreduzierungsfaktor:

$c_R = 0.96$

Dreiecks-Helligkeit t^*



ORS20_95a; adaptierte CIELAB-Daten						
u^*_e	$L^*=L^*_a$	a^*_a	b^*_a	$C^*_{ab,a}$	$h^*_{ab,a}$	u^*_d
O _{Ma}	48.71	62.56	37.91	73.15	31	
Y _{Ma}	89.25	-9.92	83.91	84.49	97	
L _{Ma}	52.5	-62.91	19.95	66.0	162	
C _{Ma}	59.15	-27.87	-44.43	52.45	238	
V _{Ma}	29.13	22.73	-42.44	48.14	298	
M _{Ma}	49.51	71.08	-9.19	71.67	353	
N _{Ma}	20.0	0.0	0.0	0.0	0	
W _{Ma}	95.0	0.0	0.0	0.0	0	
R _{Ma}	39.92	58.74	27.99	65.07	25	
J _{Ma}	81.26	-2.89	71.56	71.62	92	
G _{Ma}	52.23	-42.42	13.6	44.55	162	
B _{Ma}	30.57	1.41	-46.47	46.49	272	

Daten für Maximalfarbe (Ma):

$LAB^*LAB^*_{Ma}$: 38 45 -27

$LAB^*LCH^*_{Ma}$: 38 52 328

$lab^*rgb^*_{Ma}$: 1.0 0.0 1.0

$lab^*olv^*_{Ma}$: 0.56 0.0 1.0

Dreiecks-Helligkeit t^*

%Umfang

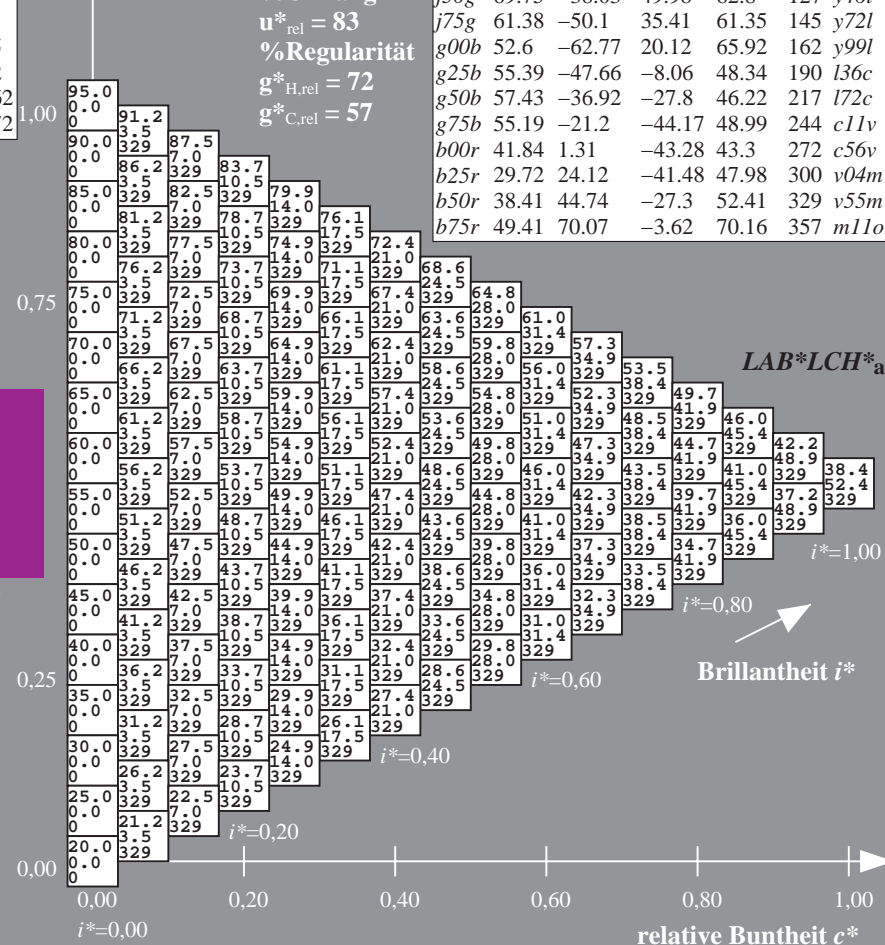
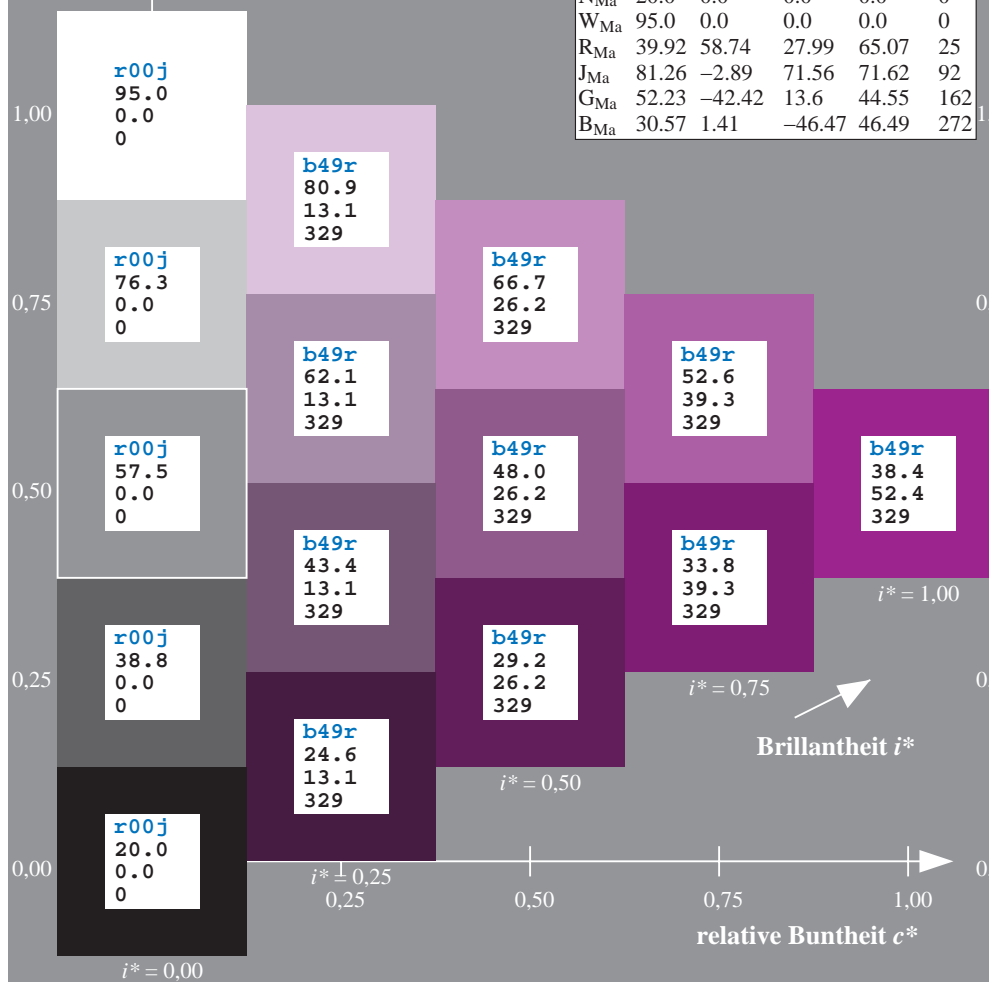
$u^*_{rel} = 83$

%Regularität

$g^*_{H,rel} = 72$

$g^*_{C,rel} = 57$

ORS20_95a; adaptierte CIELAB-Daten						
u^*_e	$L^*=L^*_a$	a^*_a	b^*_a	$C^*_{ab,a}$	$h^*_{ab,a}$	u^*_d
r00j	48.83	63.91	30.45	70.79	25	m84o
r25j	55.53	50.37	45.65	67.97	42	o17y
r50j	64.76	33.86	56.12	65.55	59	o42y
r75j	74.12	17.13	66.74	68.9	76	o67y
j00g	85.5	-3.22	79.65	79.72	92	o92y
j25g	79.45	-24.05	66.85	71.04	110	y20l
j50g	69.75	-38.03	49.98	62.8	127	y46l
j75g	61.38	-50.1	35.41	61.35	145	y72l
g00b	52.6	-62.77	20.12	65.92	162	y99l
g25b	55.39	-47.66	-8.06	48.34	190	l36c
g50b	57.43	-36.92	-27.8	46.22	217	l72c
g75b	55.19	-21.2	-44.17	48.99	244	c11v
b00r	41.84	1.31	-43.28	43.3	272	c56v
b25r	29.72	24.12	-41.48	47.98	300	v04m
b50r	38.41	44.74	-27.3	52.41	329	v55m
b75r	49.41	70.07	-3.62	70.16	357	m11o



Ein und Ausgabe: Farbmetrisches Drucker-Reflektiv-System ORS20_95a für relativen CIELAB-Buntton $h^* = \text{lab}^*h^* = h_{ab}/360 = 0.992$

Daten für jede Farbe:

lab^*tch^* und lab^*icu^*

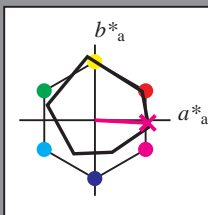
Bunttontexte:

$u^*_e = b75r$ $u^*_d = m11o$

Kontrastreduzierungsfaktor:

$c_R = 0.96$

Dreiecks-Helligkeit t^*



ORS20_95a; adaptierte CIELAB-Daten

	u^*_e	$L^*=L^*_a$	a^*_a	b^*_a	$C^*_{ab,a}$	$h^*_{ab,a}$
O _{Ma}	48.71	62.56	37.91	73.15	31	
Y _{Ma}	89.25	-9.92	83.91	84.49	97	
L _{Ma}	52.5	-62.91	19.95	66.0	162	
C _{Ma}	59.15	-27.87	-44.43	52.45	238	
V _{Ma}	29.13	22.73	-42.44	48.14	298	
M _{Ma}	49.51	71.08	-9.19	71.67	353	
N _{Ma}	20.0	0.0	0.0	0.0	0	
W _{Ma}	95.0	0.0	0.0	0.0	0	
R _{Ma}	39.92	58.74	27.99	65.07	25	
J _{Ma}	81.26	-2.89	71.56	71.62	92	
G _{Ma}	52.23	-42.42	13.6	44.55	162	
B _{Ma}	30.57	1.41	-46.47	46.49	272	

Daten für Maximalfarbe (Ma):

$\text{LAB}^*\text{LAB}^*_{Ma}$: 49 70 -4

$\text{LAB}^*\text{LCH}^*_{Ma}$: 49 70 357

$\text{lab}^*\text{rgb}^*_{Ma}$: 1.0 0.0 0.5

$\text{lab}^*\text{olv}^*_{Ma}$: 1.0 0.0 0.89

Dreiecks-Helligkeit t^*

%Umfang

$u^*_{rel} = 83$

%Regularität

$g^*_{H,rel} = 72$

$g^*_{C,rel} = 57$

ORS20_95a; adaptierte CIELAB-Daten

	u^*_e	$L^*=L^*_a$	a^*_a	b^*_a	$C^*_{ab,a}$	$h^*_{ab,a}$	u^*_d
r00j	48.83	63.91	30.45	70.79	25	m84o	
r25j	55.53	50.37	45.65	67.97	42	o17y	
r50j	64.76	33.86	56.12	65.55	59	o42y	
r75j	74.12	17.13	66.74	68.9	76	o67y	
j00g	85.5	-3.22	79.65	79.72	92	o92y	
j25g	79.45	-24.05	66.85	71.04	110	y20l	
j50g	69.75	-38.03	49.98	62.8	127	y46l	
j75g	61.38	-50.1	35.41	61.35	145	y72l	
g00b	52.6	-62.77	20.12	65.92	162	y99l	
g25b	55.39	-47.66	-8.06	48.34	190	l36c	
g50b	57.43	-36.92	-27.8	46.22	217	l72c	
g75b	55.19	-21.2	-44.17	48.99	244	c11v	
b00r	41.84	1.31	-43.28	43.3	272	c56v	
b25r	29.72	24.12	-41.48	47.98	300	v04m	
b50r	38.41	44.74	-27.3	52.41	329	v55m	
b75r	49.41	70.07	-3.62	70.16	357	m11o	

$\text{LAB}^*\text{LCH}^*_{Ma}$

$i^* = 1.00$

Brillantheit i^*

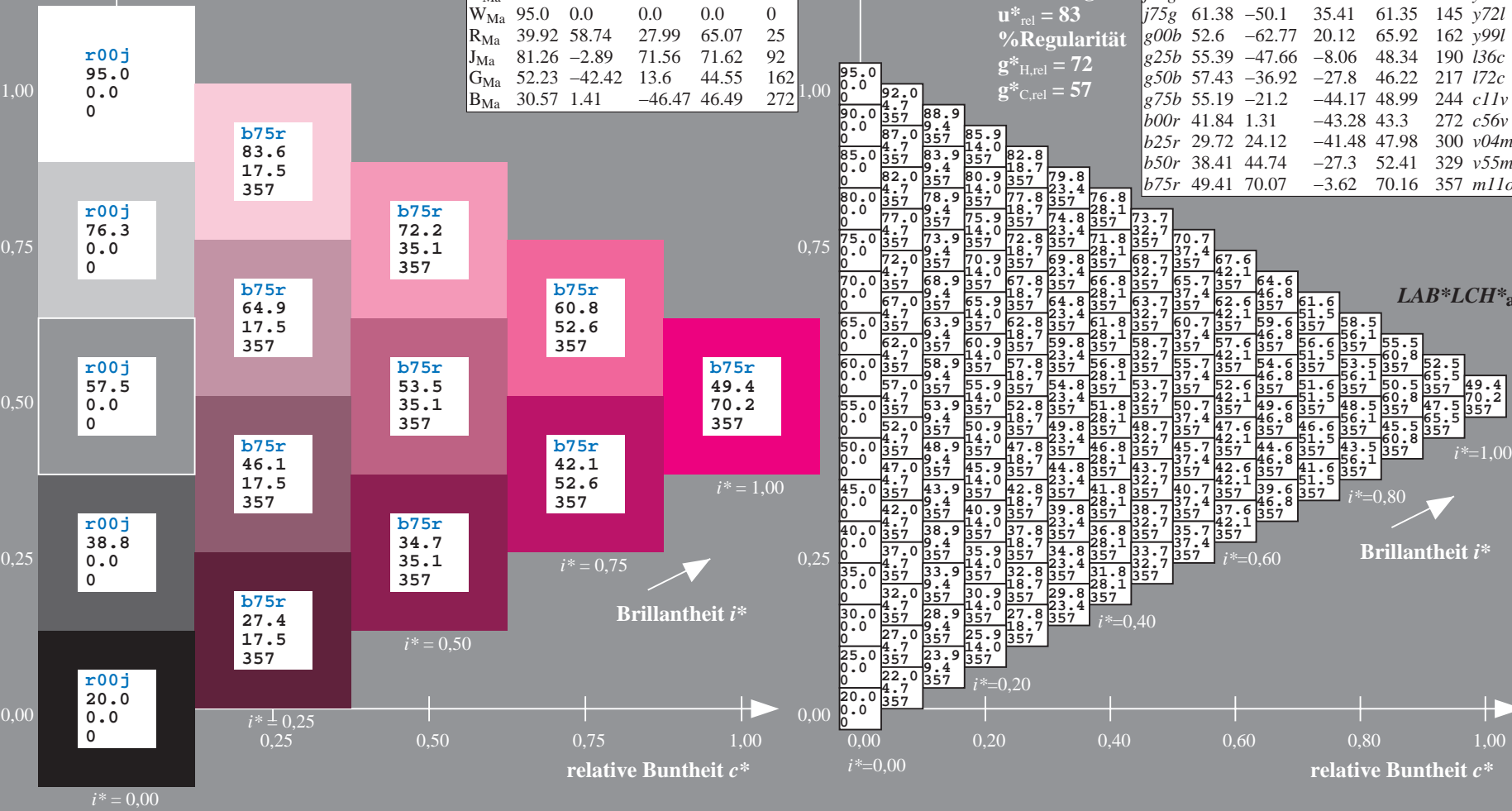
$i^* = 0.80$

$i^* = 0.60$

$i^* = 0.40$

$i^* = 0.20$

$i^* = 0.00$



Siehe ähnliche Dateien: <http://www.ps.bam.de/Eg13/>; www.ps.bam.de/Eg13/10L/L13G00NA.PS/.TXT BAM-Material: Code=rhatha
Technische Information: <http://www.ps.bam.de> Version 2.1, io=1,1, ColSp=1

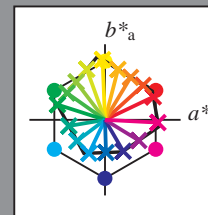
	A	B	C	D	E	F	G	H	I	J	K	L	M	N	O	P	Q	R	S	T	U	V	W	X	Y	Z	a	b	c	d	e	f	g	h	i	j	k	LAB*LCH*a	LAB*LCH*b																																																																																																																																																																																																																																																																																																																																																																																																																																																																																																																														
01	20.0	24.1	28.1	32.2	36.2	40.3	44.4	48.4	52.5	56.5	60.6	64.7	68.7	72.8	76.8	80.9	84.9	88.9	92.9	96.9	100.9	104.9	108.9	112.9	116.9	120.9	124.9	128.9	132.9	136.9	140.9	144.9	148.9	152.9	156.9	160.9	164.9	168.9	172.9	176.9	180.9	184.9	188.9	192.9	196.9	200.9																																																																																																																																																																																																																																																																																																																																																																																																																																																																																																																							
	0.0	8.3	16.5	24.8	33.0	41.2	49.5	57.8	66.0	74.1	82.3	90.5	98.7	106.9	115.1	123.3	131.5	139.7	147.9	156.1	164.3	172.5	180.7	188.9	197.1	205.3	213.5	221.7	229.9	238.1	246.3	254.5	262.7	270.9	279.1	287.3	295.5	303.7	311.9	320.1	328.3	336.5	344.7	352.9	361.1	369.3																																																																																																																																																																																																																																																																																																																																																																																																																																																																																																																							
	0.162	1.62	1.62	1.62	1.62	1.62	1.62	1.62	1.62	1.62	1.62	1.62	1.62	1.62	1.62	1.62	1.62	1.62	1.62	1.62	1.62	1.62	1.62	1.62	1.62	1.62	1.62	1.62	1.62	1.62	1.62	1.62	1.62	1.62	1.62	1.62	1.62	1.62	1.62	1.62	1.62	1.62	1.62	1.62	1.62	1.62																																																																																																																																																																																																																																																																																																																																																																																																																																																																																																																							
02	21.1	24.9	29.1	33.2	37.3	41.4	45.5	49.6	53.7	57.8	61.9	65.9	69.9	73.9	77.9	81.9	85.9	89.9	93.9	97.9	101.9	105.9	109.9	113.9	117.9	121.9	125.9	129.9	133.9	137.9	141.9	145.9	149.9	153.9	157.9	161.9	165.9	169.9	173.9	177.9	181.9	185.9	189.9	193.9	197.9	201.9	205.9																																																																																																																																																																																																																																																																																																																																																																																																																																																																																																																						
	6.0	6.6	11.6	18.4	25.7	33.4	41.2	49.1	57.0	64.9	72.8	80.7	88.6	96.5	104.4	112.3	120.2	128.1	136.0	143.9	151.8	159.7	167.6	175.5	183.4	191.3	199.2	207.1	215.0	222.9	230.8	238.7	246.6	254.5	262.4	270.3	278.2	286.1	294.0	301.9	309.8	317.7	325.6	333.5	341.4	349.3	357.2																																																																																																																																																																																																																																																																																																																																																																																																																																																																																																																						
	228	238	200	188	181	178	175	173	172	173	173	173	173	173	173	173	173	173	173	173	173	173	173	173	173	173	173	173	173	173	173	173	173	173	173	173	173	173	173	173	173	173	173	173	173	173	173																																																																																																																																																																																																																																																																																																																																																																																																																																																																																																																						
03	22.3	25.9	29.9	33.9	38.1	42.3	46.4	50.6	54.7	58.8	62.9	67.0	71.1	75.2	79.3	83.4	87.5	91.6	95.7	99.8	103.9	107.9	111.9	115.9	119.9	123.9	127.9	131.9	135.9	139.9	143.9	147.9	151.9	155.9	159.9	163.9	167.9	171.9	175.9	179.9	183.9	187.9	191.9	195.9	199.9	203.9	207.9	211.9	215.9																																																																																																																																																																																																																																																																																																																																																																																																																																																																																																																				
	12.0	10.9	13.1	17.2	23.1	29.7	36.7	44.0	51.4	58.8	66.1	73.5	80.9	88.3	95.7	103.1	110.5	117.9	125.3	132.7	140.1	147.5	154.9	162.3	169.7	177.1	184.5	191.9	199.3	206.7	214.1	221.5	228.9	236.3	243.7	251.1	258.5	265.9	273.3	280.7	288.1	295.5	302.9	310.3	317.7	325.1	332.5	339.9	347.3	354.7																																																																																																																																																																																																																																																																																																																																																																																																																																																																																																																			
	228	268	238	213	202	193	188	184	181	178	175	173	172	173	173	173	173	173	173	173	173	173	173	173	173	173	173	173	173	173	173	173	173	173	173	173	173	173	173	173	173	173	173	173	173	173	173	173	173	173	173																																																																																																																																																																																																																																																																																																																																																																																																																																																																																																																		
04	23.4	27.1	30.5	34.7	38.8	43.0	47.2	51.3	55.5	59.6	63.7	67.8	71.9	76.0	80.1	84.2	88.3	92.4	96.5	100.6	104.7	108.8	112.9	116.9	120.9	124.9	128.9	132.9	136.9	140.9	144.9	148.9	152.9	156.9	160.9	164.9	168.9	172.9	176.9	180.9	184.9	188.9	192.9	196.9	200.9	204.9	208.9	212.9	216.9	220.9	224.9	228.9	232.9	236.9	240.9	244.9	248.9	252.9	256.9	260.9	264.9	268.9	272.9	276.9	280.9	284.9	288.9	292.9	296.9	300.9	304.9	308.9	312.9	316.9	320.9	324.9	328.9	332.9	336.9	340.9	344.9	348.9	352.9	356.9	360.9	364.9	368.9	372.9	376.9	380.9	384.9	388.9	392.9	396.9	400.9	404.9	408.9	412.9	416.9	420.9	424.9	428.9	432.9	436.9	440.9	444.9	448.9	452.9	456.9	460.9	464.9	468.9	472.9	476.9	480.9	484.9	488.9	492.9	496.9	500.9	504.9	508.9	512.9	516.9	520.9	524.9	528.9	532.9	536.9	540.9	544.9	548.9	552.9	556.9	560.9	564.9	568.9	572.9	576.9	580.9	584.9	588.9	592.9	596.9	600.9	604.9	608.9	612.9	616.9	620.9	624.9	628.9	632.9	636.9	640.9	644.9	648.9	652.9	656.9	660.9	664.9	668.9	672.9	676.9	680.9	684.9	688.9	692.9	696.9	700.9	704.9	708.9	712.9	716.9	720.9	724.9	728.9	732.9	736.9	740.9	744.9	748.9	752.9	756.9	760.9	764.9	768.9	772.9	776.9	780.9	784.9	788.9	792.9	796.9	800.9	804.9	808.9	812.9	816.9	820.9	824.9	828.9	832.9	836.9	840.9	844.9	848.9	852.9	856.9	860.9	864.9	868.9	872.9	876.9	880.9	884.9	888.9	892.9	896.9	900.9	904.9	908.9	912.9	916.9	920.9	924.9	928.9	932.9	936.9	940.9	944.9	948.9	952.9	956.9	960.9	964.9	968.9	972.9	976.9	980.9	984.9	988.9	992.9	996.9	1000.9	1004.9	1008.9	1012.9	1016.9	1020.9	1024.9	1028.9	1032.9	1036.9	1040.9	1044.9	1048.9	1052.9	1056.9	1060.9	1064.9	1068.9	1072.9	1076.9	1080.9	1084.9	1088.9	1092.9	1096.9	1100.9	1104.9	1108.9	1112.9	1116.9	1120.9	1124.9	1128.9	1132.9	1136.9	1140.9	1144.9	1148.9	1152.9	1156.9	1160.9	1164.9	1168.9	1172.9	1176.9	1180.9	1184.9	1188.9	1192.9	1196.9	1200.9	1204.9	1208.9	1212.9	1216.9	1220.9	1224.9	1228.9	1232.9	1236.9	1240.9	1244.9	1248.9	1252.9	1256.9	1260.9	1264.9	1268.9	1272.9	1276.9	1280.9	1284.9	1288.9	1292.9	1296.9	1300.9	1304.9	1308.9	1312.9	1316.9	1320.9	1324.9	1328.9	1332.9	1336.9	1340.9	1344.9	1348.9	1352.9	1356.9	1360.9	1364.9	1368.9	1372.9	1376.9	1380.9	1384.9	1388.9	1392.9	1396.9	1400.9	1404.9	1408.9	1412.9	1416.9	1420.9	1424.9	1428.9	1432.9	1436.9	1440.9	1444.9	1448.9	1452.9	1456.9	1460.9	1464.9	1468.9	1472.9	1476.9	1480.9	1484.9	1488.9	1492.9	1496.9	1500.9	1504.9	1508.9	1512.9	1516.9	1520.9	1524.9	1528.9	1532.9	1536.9	1540.9	1544.9	1548.9	1552.9	1556.9	1560.9	1564.9	1568.9	1572.9	1576.9	1580.9	1584.9	1588.9	1592.9	1596.9	1600.9	1604.9	1608.9	1612.9	1616.9	1620.9	1624.9	1628.9	1632.9	1636.9	1640.9	1644.9	1648.9	1652.9	1656.9	1660.9	1664.9	1668.9	1672.9	1676.9	1680.9	1684.9	1688.9	1692.9	1696.9	1700.9	1704.9	1708.9	1712.9	1716.9	1720.9	1724.9	1728.9	1732.9	1736.9	1740.9	1744.9	1748.9	1752.9	1756.9	1760.9	1764.9	1768.9	1772.9	1776.9	1780.9	1784.9	1788.9	1792.9	1796.9	1800.9	1804.9	1808.9	1812.9	1816.9	1820.9	1824.9	1828.9	1832.9	1836.9	1840.9	1844.9	1848.9	1852.9	1856.9	1860.9	1864.9	1868.9	1872.9	1876.9	1880.9	1884.9	1888.9	1892.9	1896.9	1900.9	1904.9	1908.9	1912.9	1916.9	1920.9	1924.9	1928.9	1932.9	1936.9	1940.9	1944.9	1948.9	1952.9	1956.9	1960.9	1964.9	1968.9	1972.9	1976.9	1980.9	1984.9	1988.9	1992.9	1996.9	2000.9	2004.9	2008.9	2012.9	2016.9	2020.9	2024.9	2028.9	2032.9	2036.9	2040.9	2044.9	2048.9	2052.9	2056.9	2060.9	2064.9	2068.9	2072.9	2076.9	2080.9	2084.9	2088.9	2092.9	2096.9	2100.9	2104.9	2108.9	2112.9	2116.9	2120.9	2124.9	2128.9	2132.9	2136.9	2140.9	2144.9	2148.9	2152.9	2156.9	2160.9	2164.9	2168.9	2172.9	2176.9	2180.9	2184.9	2188.9	2192.9	2196.9	2200.9	2204.9	2208.9	2212.9	2216.9</

Ein und Ausgabe:
Farbmetrisches Drucker-Reflektiv-System ORS20_95a
Daten für jede Farbe:

u^*_e und Nummer $Nr.$ = 00 .. 15
Elementar-Bunttontext:
 $u^*_e = 16$ Bunttoene $r00j, r25j, \dots, b75r$
Kontrastreduzierungsfaktor:
 $c_R = 0.96$

ORS20_95a; adaptierte CIELAB-Daten

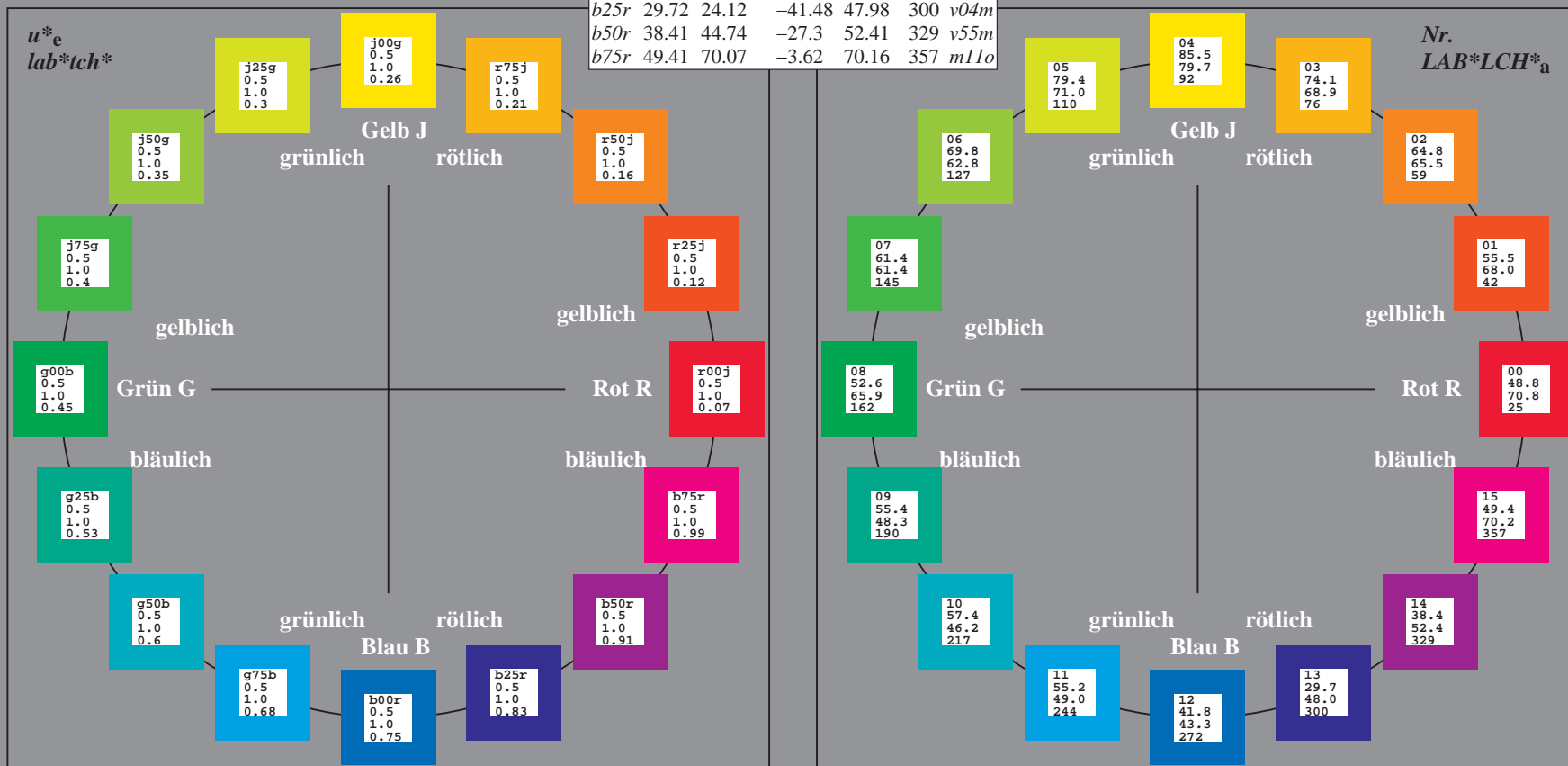
u^*_e	$L^*=L^*_a$	a^*_a	b^*_a	$C^*_{ab,a}$	$h^*_{ab,a}$	u^*_d
$r00j$	48.83	63.91	30.45	70.79	25	$m84o$
$r25j$	55.53	50.37	45.65	67.97	42	$o17y$
$r50j$	64.76	33.86	56.12	65.55	59	$o42y$
$r75j$	74.12	17.13	66.74	68.9	76	$o67y$
$j00g$	85.5	-3.22	79.65	79.72	92	$o92y$
$j25g$	79.45	-24.05	66.85	71.04	110	$y20l$
$j50g$	69.75	-38.03	49.98	62.8	127	$y46l$
$j75g$	61.38	-50.1	35.41	61.35	145	$y72l$
$g00b$	52.6	-62.77	20.12	65.92	162	$y99l$
$g25b$	55.39	-47.66	-8.06	48.34	190	$l36c$
$g50b$	57.43	-36.92	-27.8	46.22	217	$l72c$
$g75b$	55.19	-21.2	-44.17	48.99	244	$c11v$
$b00r$	41.84	1.31	-43.28	43.3	272	$c56v$
$b25r$	29.72	24.12	-41.48	47.98	300	$v04m$
$b50r$	38.41	44.74	-27.3	52.41	329	$v55m$
$b75r$	49.41	70.07	-3.62	70.16	357	$m11o$



%Umfang
 $u^*_{rel} = 83$
%Regularität
 $g^*_{H,rel} = 72$
 $g^*_{C,rel} = 57$

ORS20_95a; adaptierte CIELAB-Daten

Name	$L^*=L^*_a$	a^*_a	b^*_a	$C^*_{ab,a}$	$h^*_{ab,a}$
O_{Ma}	48.71	62.56	37.91	73.15	31
Y_{Ma}	89.25	-9.92	83.91	84.49	97
L_{Ma}	52.5	-62.91	19.95	66.0	162
C_{Ma}	59.15	-27.87	-44.43	52.45	238
V_{Ma}	29.13	22.73	-42.44	48.14	298
M_{Ma}	49.51	71.08	-9.19	71.67	353
N_{Ma}	20.0	0.0	0.0	0.0	0
W_{Ma}	95.0	0.0	0.0	0.0	0
R_{CIE}	39.92	58.74	27.99	65.07	25
J_{CIE}	81.26	-2.89	71.56	71.62	92
G_{CIE}	52.23	-42.42	13.6	44.55	162
B_{CIE}	30.57	1.41	-46.47	46.49	272



Ein und Ausgabe: Farbmetrisches Drucker-Reflektiv-System ORS20_95a für relativen CIELAB-Buntton $h^* = lab^*h^* = h_{ab}/360 = 0.071$

Daten für jede Farbe:

lab^*tch^* und lab^*icu^*

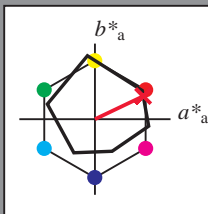
Bunttontexte:

$u^*_e = r00j$ $u^*_d = m84o$

Kontrastreduzierungsfaktor:

$c_R = 0.96$

Dreiecks-Helligkeit i^*



ORS20_95a; adaptierte CIELAB-Daten

u^*_e	$L^*=L^*_a$	a^*_a	b^*_a	$C^*_{ab,a}$	$h^*_{ab,a}$
O _{Ma}	48.71	62.56	37.91	73.15	31
Y _{Ma}	89.25	-9.92	83.91	84.49	97
L _{Ma}	52.5	-62.91	19.95	66.0	162
C _{Ma}	59.15	-27.87	-44.43	52.45	238
V _{Ma}	29.13	22.73	-42.44	48.14	298
M _{Ma}	49.51	71.08	-9.19	71.67	353
N _{Ma}	20.0	0.0	0.0	0.0	0
W _{Ma}	95.0	0.0	0.0	0.0	0
R _{Ma}	39.92	58.74	27.99	65.07	25
J _{Ma}	81.26	-2.89	71.56	71.62	92
G _{Ma}	52.23	-42.42	13.6	44.55	162
B _{Ma}	30.57	1.41	-46.47	46.49	272

Daten für Maximalfarbe (Ma):

$LAB^*LAB^*_{Ma}$: 49 64 30

$LAB^*LCH^*_{Ma}$: 49 71 25

$lab^*rgb^*_{Ma}$: 1.0 0.0 0.0

$lab^*olv^*_{Ma}$: 1.0 0.0 0.15

Dreiecks-Helligkeit i^*

%Umfang

$u^*_{rel} = 83$

%Regularität

$g^*_{H,rel} = 72$

$g^*_{C,rel} = 57$

ORS20_95a; adaptierte CIELAB-Daten

u^*_e	$L^*=L^*_a$	a^*_a	b^*_a	$C^*_{ab,a}$	$h^*_{ab,a}$	u^*_d
r00j	48.83	63.91	30.45	70.79	25	m84o
r25j	55.53	50.37	45.65	67.97	42	o17y
r50j	64.76	33.86	56.12	65.55	59	o42y
r75j	74.12	17.13	66.74	68.9	76	o67y
j00g	85.5	-3.22	79.65	79.72	92	o92y
j25g	79.45	-24.05	66.85	71.04	110	y20l
j50g	69.75	-38.03	49.98	62.8	127	y46l
j75g	61.38	-50.1	35.41	61.35	145	y72l
g00b	52.6	-62.77	20.12	65.92	162	y99l
g25b	55.39	-47.66	-8.06	48.34	190	l36c
g50b	57.43	-36.92	-27.8	46.22	217	l72c
g75b	55.19	-21.2	-44.17	48.99	244	c11v
b00r	41.84	1.31	-43.28	43.3	272	c56v
b25r	29.72	24.12	-41.48	47.98	300	v04m
b50r	38.41	44.74	-27.3	52.41	329	v55m
b75r	49.41	70.07	-3.62	70.16	357	m11o

lab^*tch^*

$i^* = 1.00$

Brillantheit i^*

$i^* = 0.80$

$i^* = 0.60$

$i^* = 0.40$

$i^* = 0.20$

Ein und Ausgabe: Farbmetrisches Drucker-Reflektiv-System ORS20_95a für relativen CIELAB-Buntton $h^* = lab^*h^* = h_{ab}/360 = 0.117$

Daten für jede Farbe:

lab^*tch^* und lab^*icu^*

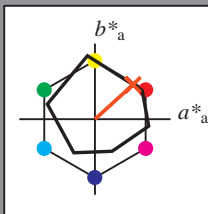
Bunttontexte:

$u^*_e = r25j$ $u^*_d = o17y$

Kontrastreduzierungsfaktor:

$c_R = 0.96$

Dreiecks-Helligkeit i^*



ORS20_95a; adaptierte CIELAB-Daten

	u^*_e	$L^*=L^*_a$	a^*_a	b^*_a	$C^*_{ab,a}$	$h^*_{ab,a}$
O _{Ma}	48.71	62.56	37.91	73.15	31	
Y _{Ma}	89.25	-9.92	83.91	84.49	97	
L _{Ma}	52.5	-62.91	19.95	66.0	162	
C _{Ma}	59.15	-27.87	-44.43	52.45	238	
V _{Ma}	29.13	22.73	-42.44	48.14	298	
M _{Ma}	49.51	71.08	-9.19	71.67	353	
N _{Ma}	20.0	0.0	0.0	0.0	0	
W _{Ma}	95.0	0.0	0.0	0.0	0	
R _{Ma}	39.92	58.74	27.99	65.07	25	
J _{Ma}	81.26	-2.89	71.56	71.62	92	
G _{Ma}	52.23	-42.42	13.6	44.55	162	
B _{Ma}	30.57	1.41	-46.47	46.49	272	

Daten für Maximalfarbe (Ma):

$LAB^*LAB^*_{Ma}$: 56 50 46

$LAB^*LCH^*_{Ma}$: 56 68 42

$lab^*rgb^*_{Ma}$: 1.0 0.25 0.0

$lab^*olv^*_{Ma}$: 1.0 0.17 0.0

Dreiecks-Helligkeit i^*

%Umfang

$u^*_{rel} = 83$

%Regularität

$g^*_{H,rel} = 72$

$g^*_{C,rel} = 57$

ORS20_95a; adaptierte CIELAB-Daten

	u^*_e	$L^*=L^*_a$	a^*_a	b^*_a	$C^*_{ab,a}$	$h^*_{ab,a}$	u^*_d
r00j	48.83	63.91	30.45	70.79	25	m84o	
r25j	55.53	50.37	45.65	67.97	42	o17y	
r50j	64.76	33.86	56.12	65.55	59	o42y	
r75j	74.12	17.13	66.74	68.9	76	o67y	
j00g	85.5	-3.22	79.65	79.72	92	o92y	
j25g	79.45	-24.05	66.85	71.04	110	y20l	
j50g	69.75	-38.03	49.98	62.8	127	y46l	
j75g	61.38	-50.1	35.41	61.35	145	y72l	
g00b	52.6	-62.77	20.12	65.92	162	y99l	
g25b	55.39	-47.66	-8.06	48.34	190	l36c	
g50b	57.43	-36.92	-27.8	46.22	217	l72c	
g75b	55.19	-21.2	-44.17	48.99	244	c11v	
b00r	41.84	1.31	-43.28	43.3	272	c56v	
b25r	29.72	24.12	-41.48	47.98	300	v04m	
b50r	38.41	44.74	-27.3	52.41	329	v55m	
b75r	49.41	70.07	-3.62	70.16	357	m11o	

lab^*tch^*

$i^* = 1.00$

Brillantheit i^*

$i^* = 0.80$

$i^* = 0.60$

$i^* = 0.40$

$i^* = 0.20$

$i^* = 0.00$

Ein und Ausgabe: Farbmetrisches Drucker-Reflektiv-System ORS20_95a für relativen CIELAB-Buntton $h^* = lab^*h^* = h_{ab}/360 = 0.164$

Daten für jede Farbe:

lab^*tch^* und lab^*icu^*

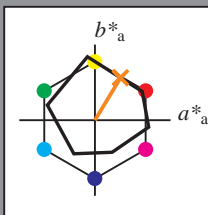
Bunttontexte:

$u^*_e = r50j$ $u^*_d = o42y$

Kontrastreduzierungsfaktor:

$c_R = 0.96$

Dreiecks-Helligkeit t^*



ORS20_95a; adaptierte CIELAB-Daten						
	u^*_e	$L^*=L^*_a$	a^*_a	b^*_a	$C^*_{ab,a}$	$h^*_{ab,a}$
O _{Ma}	48.71	62.56	37.91	73.15	31	
Y _{Ma}	89.25	-9.92	83.91	84.49	97	
L _{Ma}	52.5	-62.91	19.95	66.0	162	
C _{Ma}	59.15	-27.87	-44.43	52.45	238	
V _{Ma}	29.13	22.73	-42.44	48.14	298	
M _{Ma}	49.51	71.08	-9.19	71.67	353	
N _{Ma}	20.0	0.0	0.0	0.0	0	
W _{Ma}	95.0	0.0	0.0	0.0	0	
R _{Ma}	39.92	58.74	27.99	65.07	25	
J _{Ma}	81.26	-2.89	71.56	71.62	92	
G _{Ma}	52.23	-42.42	13.6	44.55	162	
B _{Ma}	30.57	1.41	-46.47	46.49	272	

Daten für Maximalfarbe (Ma):

$LAB^*LAB^*_{Ma}$: 65 34 56

$LAB^*LCH^*_{Ma}$: 65 66 58

$lab^*rgb^*_{Ma}$: 1.0 0.5 0.0

$lab^*olv^*_{Ma}$: 1.0 0.42 0.0

Dreiecks-Helligkeit t^*

%Umfang

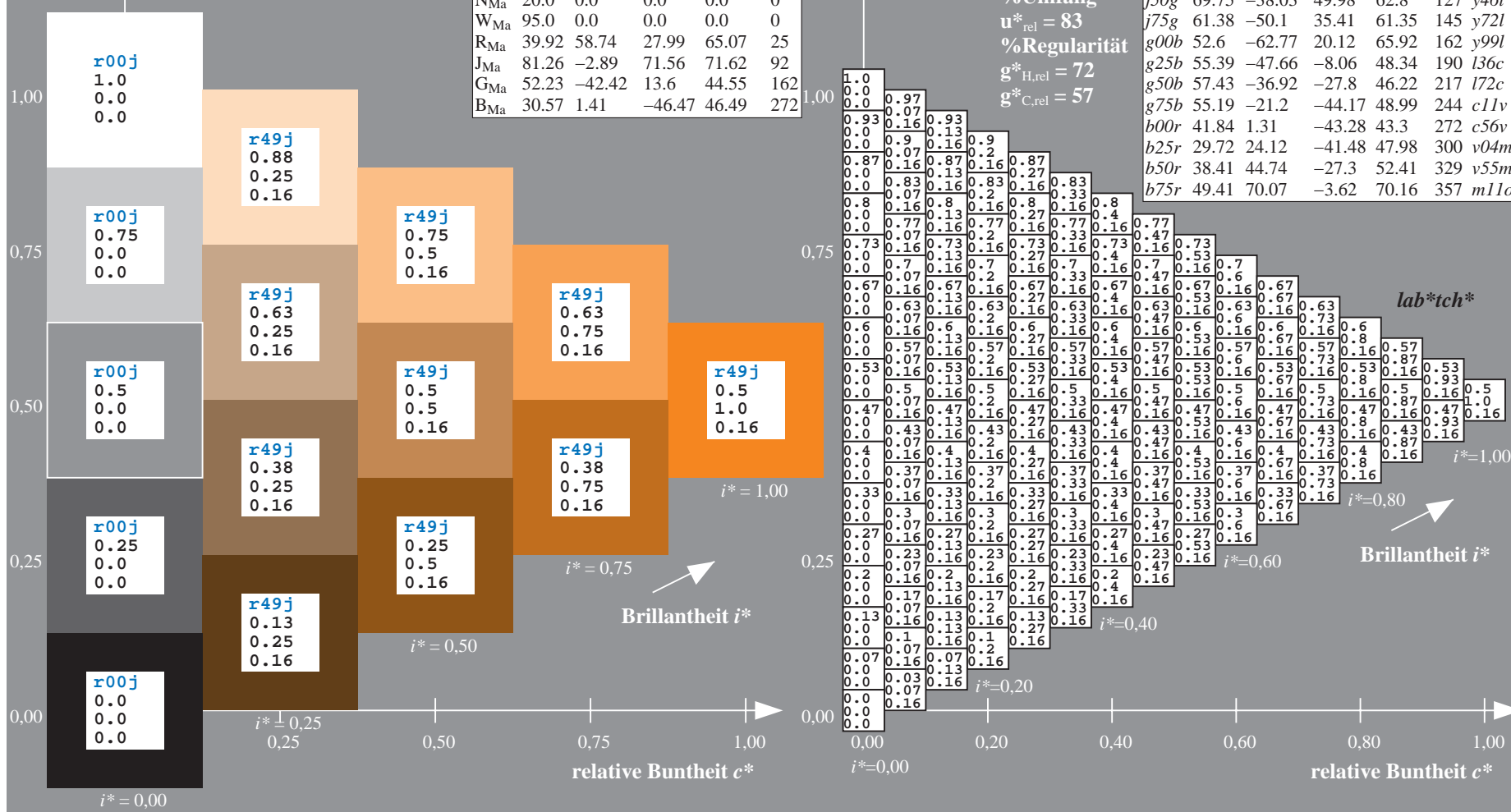
$u^*_{rel} = 83$

%Regularität

$g^*_{H,rel} = 72$

$g^*_{C,rel} = 57$

ORS20_95a; adaptierte CIELAB-Daten									
	u^*_e	$L^*=L^*_a$	a^*_a	b^*_a	$C^*_{ab,a}$	$h^*_{ab,a}$	u^*_d		
r00j	48.83	63.91	30.45	70.79	25		m84o		
r25j	55.53	50.37	45.65	67.97	42		o17y		
r50j	64.76	33.86	56.12	65.55	59		o42y		
r75j	74.12	17.13	66.74	68.9	76		o67y		
j00g	85.5	-3.22	79.65	79.72	92		o92y		
j25g	79.45	-24.05	66.85	71.04	110		y20l		
j50g	69.75	-38.03	49.98	62.8	127		y46l		
j75g	61.38	-50.1	35.41	61.35	145		y72l		
g00b	52.6	-62.77	20.12	65.92	162		y99l		
g25b	55.39	-47.66	-8.06	48.34	190		l36c		
g50b	57.43	-36.92	-27.8	46.22	217		l72c		
g75b	55.19	-21.2	-44.17	48.99	244		c11v		
b00r	41.84	1.31	-43.28	43.3	272		c56v		
b25r	29.72	24.12	-41.48	47.98	300		v04m		
b50r	38.41	44.74	-27.3	52.41	329		v55m		
b75r	49.41	70.07	-3.62	70.16	357		m11o		



Ein und Ausgabe: Farbmimetrisches Drucker-Reflektiv-System ORS20_95a für relativen CIELAB-Buntton $h^* = lab^*h^* = h_{ab}/360 = 0.21$

Daten für jede Farbe:

lab^*tch^* und lab^*icu^*

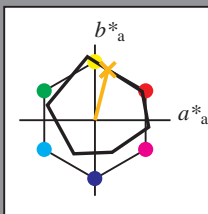
Bunttontexte:

$u^*_e = r75j$ $u^*_d = o67y$

Kontrastreduzierungsfaktor:

$c_R = 0.96$

Dreiecks-Helligkeit t^*



ORS20_95a; adaptierte CIELAB-Daten						
u^*_e	$L^*=L^*_a$	a^*_a	b^*_a	$C^*_{ab,a}$	$h^*_{ab,a}$	u^*_d
O _{Ma}	48.71	62.56	37.91	73.15	31	
Y _{Ma}	89.25	-9.92	83.91	84.49	97	
L _{Ma}	52.5	-62.91	19.95	66.0	162	
C _{Ma}	59.15	-27.87	-44.43	52.45	238	
V _{Ma}	29.13	22.73	-42.44	48.14	298	
M _{Ma}	49.51	71.08	-9.19	71.67	353	
N _{Ma}	20.0	0.0	0.0	0.0	0	
W _{Ma}	95.0	0.0	0.0	0.0	0	
R _{Ma}	39.92	58.74	27.99	65.07	25	
J _{Ma}	81.26	-2.89	71.56	71.62	92	
G _{Ma}	52.23	-42.42	13.6	44.55	162	
B _{Ma}	30.57	1.41	-46.47	46.49	272	

Daten für Maximalfarbe (Ma):

$LAB^*LAB^*_{Ma}$: 74 17 67

$LAB^*LCH^*_{Ma}$: 74 69 75

$lab^*rgb^*_{Ma}$: 1.0 0.75 0.0

$lab^*olv^*_{Ma}$: 1.0 0.68 0.0

Dreiecks-Helligkeit t^*

%Umfang

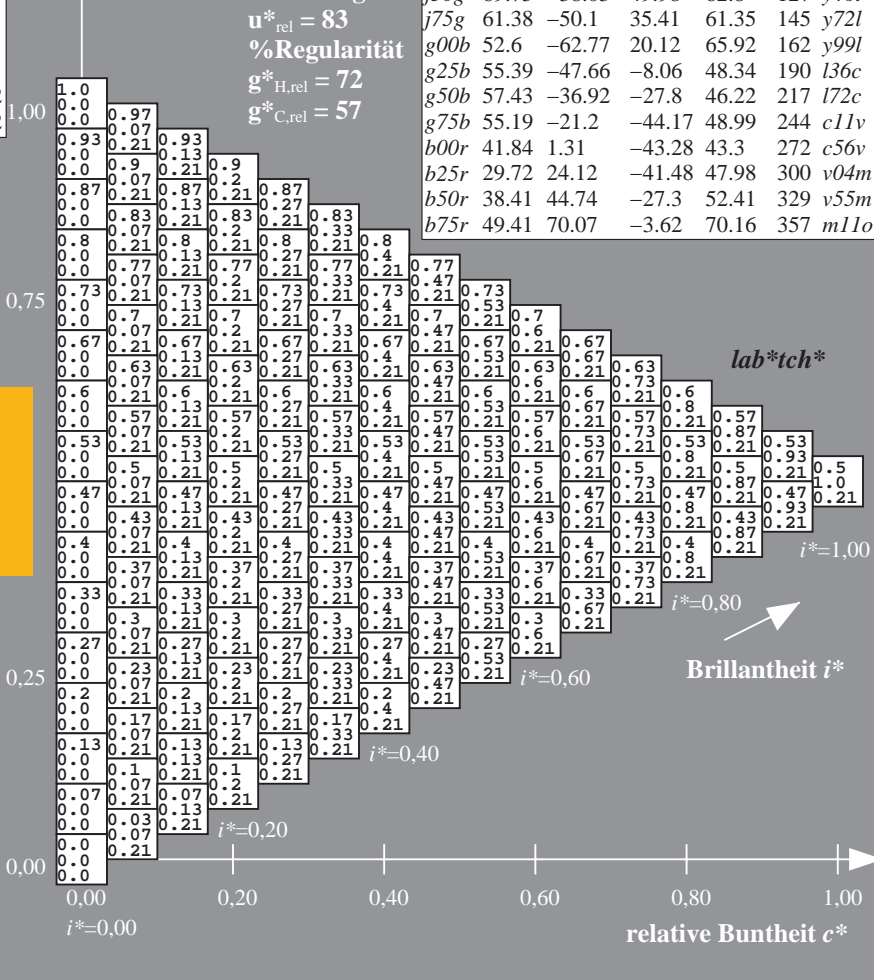
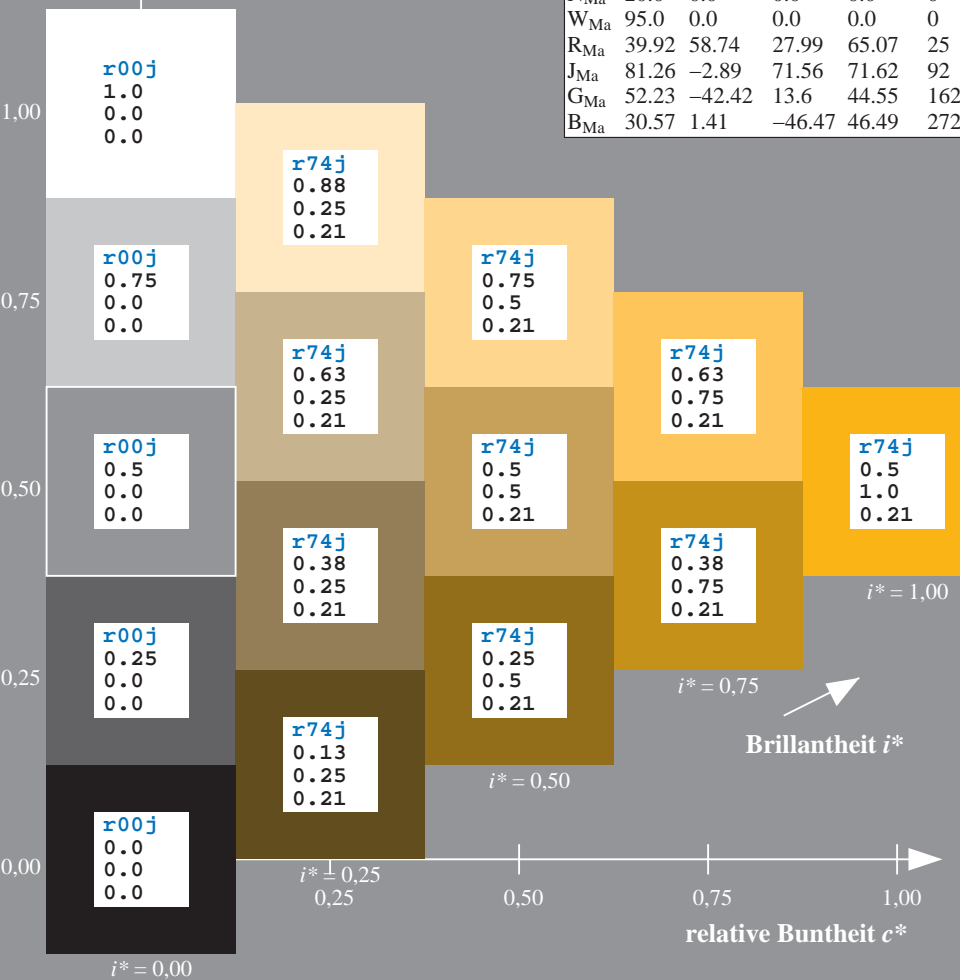
$u^*_{rel} = 83$

%Regularität

$g^*_{H,rel} = 72$

$g^*_{C,rel} = 57$

ORS20_95a; adaptierte CIELAB-Daten						
u^*_e	$L^*=L^*_a$	a^*_a	b^*_a	$C^*_{ab,a}$	$h^*_{ab,a}$	u^*_d
r00j	48.83	63.91	30.45	70.79	25	m84o
r25j	55.53	50.37	45.65	67.97	42	o17y
r50j	64.76	33.86	56.12	65.55	59	o42y
r75j	74.12	17.13	66.74	68.9	76	o67y
j00g	85.5	-3.22	79.65	79.72	92	o92y
j25g	79.45	-24.05	66.85	71.04	110	y20l
j50g	69.75	-38.03	49.98	62.8	127	y46l
j75g	61.38	-50.1	35.41	61.35	145	y72l
g00b	52.6	-62.77	20.12	65.92	162	y99l
g25b	55.39	-47.66	-8.06	48.34	190	l36c
g50b	57.43	-36.92	-27.8	46.22	217	l72c
g75b	55.19	-21.2	-44.17	48.99	244	c11v
b00r	41.84	1.31	-43.28	43.3	272	c56v
b25r	29.72	24.12	-41.48	47.98	300	v04m
b50r	38.41	44.74	-27.3	52.41	329	v55m
b75r	49.41	70.07	-3.62	70.16	357	m11o



Ein und Ausgabe: Farbmetrisches Drucker-Reflektiv-System ORS20_95a für relativen CIELAB-Buntton $h^* = lab^*h^* = h_{ab}/360 = 0.256$

Daten für jede Farbe:

lab^*tch^* und lab^*icu^*

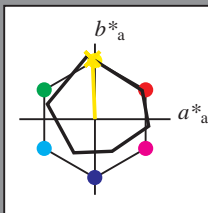
Bunttontexte:

$u^*_e = j00g$ $u^*_d = o92y$

Kontrastreduzierungsfaktor:

$c_R = 0.96$

Dreiecks-Helligkeit t^*



ORS20_95a; adaptierte CIELAB-Daten

u^*_e	$L^*=L^*_a$	a^*_a	b^*_a	$C^*_{ab,a}$	$h^*_{ab,a}$
O _{Ma}	48.71	62.56	37.91	73.15	31
Y _{Ma}	89.25	-9.92	83.91	84.49	97
L _{Ma}	52.5	-62.91	19.95	66.0	162
C _{Ma}	59.15	-27.87	-44.43	52.45	238
V _{Ma}	29.13	22.73	-42.44	48.14	298
M _{Ma}	49.51	71.08	-9.19	71.67	353
N _{Ma}	20.0	0.0	0.0	0.0	0
W _{Ma}	95.0	0.0	0.0	0.0	0
R _{Ma}	39.92	58.74	27.99	65.07	25
J _{Ma}	81.26	-2.89	71.56	71.62	92
G _{Ma}	52.23	-42.42	13.6	44.55	162
B _{Ma}	30.57	1.41	-46.47	46.49	272

Daten für Maximalfarbe (Ma):

$LAB^*LAB^*_{Ma}$: 86 -3 80

$LAB^*LCH^*_{Ma}$: 86 80 92

$lab^*rgb^*_{Ma}$: 1.0 1.0 0.0

$lab^*olv^*_{Ma}$: 1.0 0.93 0.0

Dreiecks-Helligkeit t^*

%Umfang

$u^*_{rel} = 83$

%Regularität

$g^*_{H,rel} = 72$

$g^*_{C,rel} = 57$

ORS20_95a; adaptierte CIELAB-Daten

u^*_e	$L^*=L^*_a$	a^*_a	b^*_a	$C^*_{ab,a}$	$h^*_{ab,a}$	u^*_d
r00j	48.83	63.91	30.45	70.79	25	m84o
r25j	55.53	50.37	45.65	67.97	42	o17y
r50j	64.76	33.86	56.12	65.55	59	o42y
r75j	74.12	17.13	66.74	68.9	76	o67y
j00g	85.5	-3.22	79.65	79.72	92	o92y
j25g	79.45	-24.05	66.85	71.04	110	y20l
j50g	69.75	-38.03	49.98	62.8	127	y46l
j75g	61.38	-50.1	35.41	61.35	145	y72l
g00b	52.6	-62.77	20.12	65.92	162	y99l
g25b	55.39	-47.66	-8.06	48.34	190	l36c
g50b	57.43	-36.92	-27.8	46.22	217	l72c
g75b	55.19	-21.2	-44.17	48.99	244	c11v
b00r	41.84	1.31	-43.28	43.3	272	c56v
b25r	29.72	24.12	-41.48	47.98	300	v04m
b50r	38.41	44.74	-27.3	52.41	329	v55m
b75r	49.41	70.07	-3.62	70.16	357	m11o

lab^*tch^*

$i^* = 1.00$

Brillantheit i^*

$i^* = 0.80$

$i^* = 0.60$

$i^* = 0.40$

$i^* = 0.20$

Ein und Ausgabe: Farbmetrisches Drucker-Reflektiv-System ORS20_95a für relativen CIELAB-Buntton $h^* = lab^*h^* = h_{ab}/360 = 0.305$

Daten für jede Farbe:

lab^*tch^* und lab^*icu^*

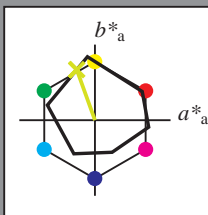
Bunttontexte:

$u^*_e = j25g$ $u^*_d = y20l$

Kontrastreduzierungsfaktor:

$c_R = 0.96$

Dreiecks-Helligkeit i^*



ORS20_95a; adaptierte CIELAB-Daten

	u^*_e	$L^*=L^*_a$	a^*_a	b^*_a	$C^*_{ab,a}$	$h^*_{ab,a}$
O _{Ma}	48.71	62.56	37.91	73.15	31	
Y _{Ma}	89.25	-9.92	83.91	84.49	97	
L _{Ma}	52.5	-62.91	19.95	66.0	162	
C _{Ma}	59.15	-27.87	-44.43	52.45	238	
V _{Ma}	29.13	22.73	-42.44	48.14	298	
M _{Ma}	49.51	71.08	-9.19	71.67	353	
N _{Ma}	20.0	0.0	0.0	0.0	0	
W _{Ma}	95.0	0.0	0.0	0.0	0	
R _{Ma}	39.92	58.74	27.99	65.07	25	
J _{Ma}	81.26	-2.89	71.56	71.62	92	
G _{Ma}	52.23	-42.42	13.6	44.55	162	
B _{Ma}	30.57	1.41	-46.47	46.49	272	

Daten für Maximalfarbe (Ma):

$LAB^*LAB^*_{Ma}$: 79 -24 67

$LAB^*LCH^*_{Ma}$: 79 71 109

$lab^*rgb^*_{Ma}$: 0.75 1.0 0.0

$lab^*olv^*_{Ma}$: 0.8 1.0 0.0

Dreiecks-Helligkeit i^*

%Umfang

$u^*_{rel} = 83$

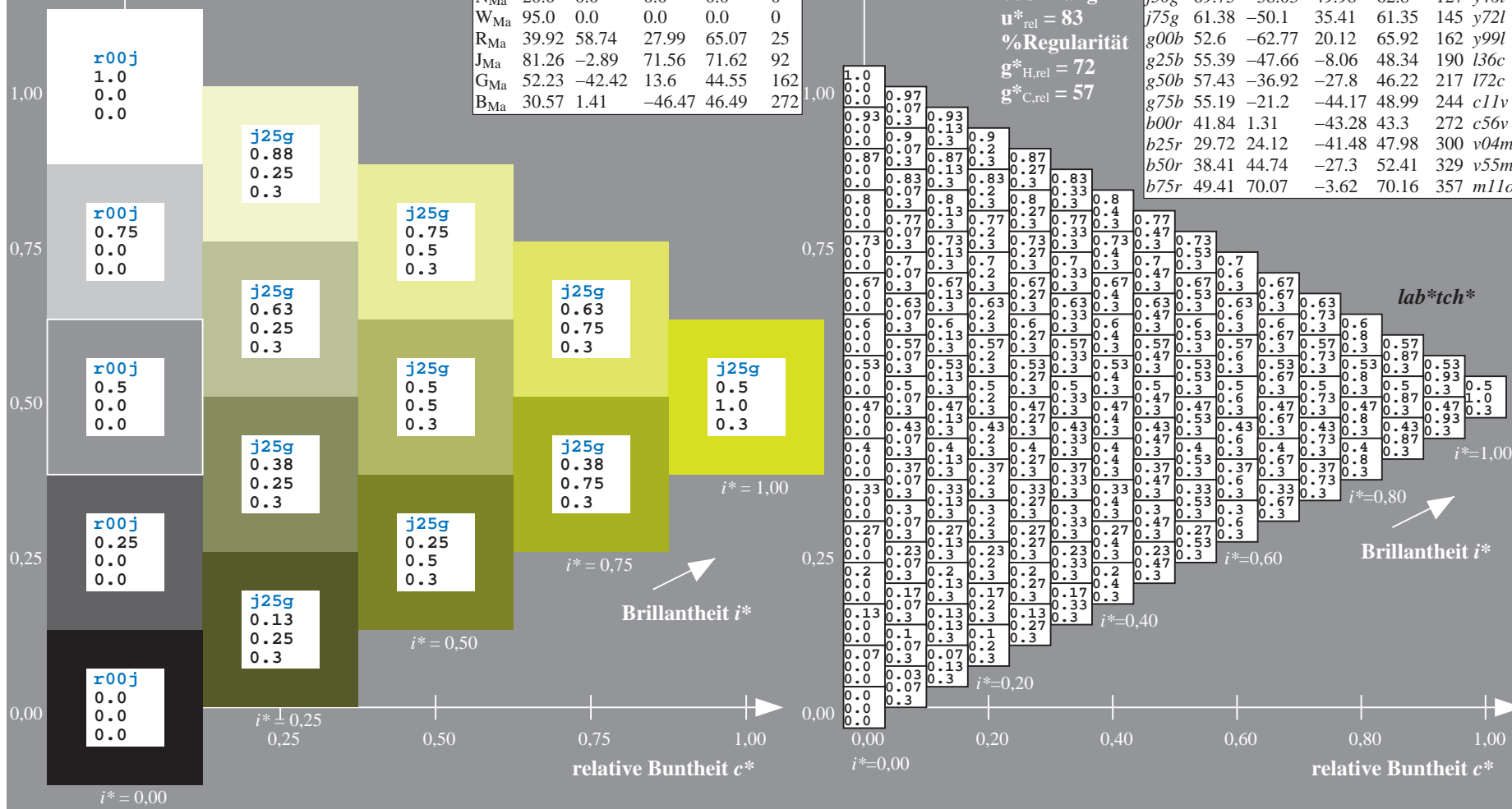
%Regularität

$g^*_{H,rel} = 72$

$g^*_{C,rel} = 57$

ORS20_95a; adaptierte CIELAB-Daten

	u^*_e	$L^*=L^*_a$	a^*_a	b^*_a	$C^*_{ab,a}$	$h^*_{ab,a}$	u^*_d
r00j	48.83	63.91	30.45	70.79	25	m84o	
r25j	55.53	50.37	45.65	67.97	42	o17y	
r50j	64.76	33.86	56.12	65.55	59	o42y	
r75j	74.12	17.13	66.74	68.9	76	o67y	
j00g	85.5	-3.22	79.65	79.72	92	o92y	
j25g	79.45	-24.05	66.85	71.04	110	y20l	
j50g	69.75	-38.03	49.98	62.8	127	y46l	
j75g	61.38	-50.1	35.41	61.35	145	y72l	
g00b	52.6	-62.77	20.12	65.92	162	y99l	
g25b	55.39	-47.66	-8.06	48.34	190	l36c	
g50b	57.43	-36.92	-27.8	46.22	217	l72c	
g75b	55.19	-21.2	-44.17	48.99	244	c11v	
b00r	41.84	1.31	-43.28	43.3	272	c56v	
b25r	29.72	24.12	-41.48	47.98	300	v04m	
b50r	38.41	44.74	-27.3	52.41	329	v55m	
b75r	49.41	70.07	-3.62	70.16	357	m11o	



Ein und Ausgabe: Farbmetrisches Drucker-Reflektiv-System ORS20_95a für relativen CIELAB-Buntton $h^* = lab^*h^* = h_{ab}/360 = 0.354$

Daten für jede Farbe:

lab^*tch^* und lab^*icu^*

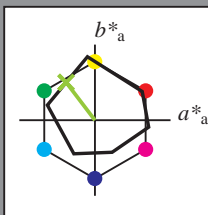
Bunttontexte:

$u^*_e = j50g$ $u^*_d = y46l$

Kontrastreduzierungsfaktor:

$c_R = 0.96$

Dreiecks-Helligkeit i^*



ORS20_95a; adaptierte CIELAB-Daten						
u^*_e	$L^*=L^*_a$	a^*_a	b^*_a	$C^*_{ab,a}$	$h^*_{ab,a}$	
O _{Ma}	48.71	62.56	37.91	73.15	31	
Y _{Ma}	89.25	-9.92	83.91	84.49	97	
L _{Ma}	52.5	-62.91	19.95	66.0	162	
C _{Ma}	59.15	-27.87	-44.43	52.45	238	
V _{Ma}	29.13	22.73	-42.44	48.14	298	
M _{Ma}	49.51	71.08	-9.19	71.67	353	
N _{Ma}	20.0	0.0	0.0	0.0	0	
W _{Ma}	95.0	0.0	0.0	0.0	0	
R _{Ma}	39.92	58.74	27.99	65.07	25	
J _{Ma}	81.26	-2.89	71.56	71.62	92	
G _{Ma}	52.23	-42.42	13.6	44.55	162	
B _{Ma}	30.57	1.41	-46.47	46.49	272	

Daten für Maximalfarbe (Ma):

$LAB^*LAB^*_{Ma}$: 70 -38 50

$LAB^*LCH^*_{Ma}$: 70 63 127

$lab^*rgb^*_{Ma}$: 0.5 1.0 0.0

$lab^*olv^*_{Ma}$: 0.54 1.0 0.0

Dreiecks-Helligkeit i^*

%Umfang

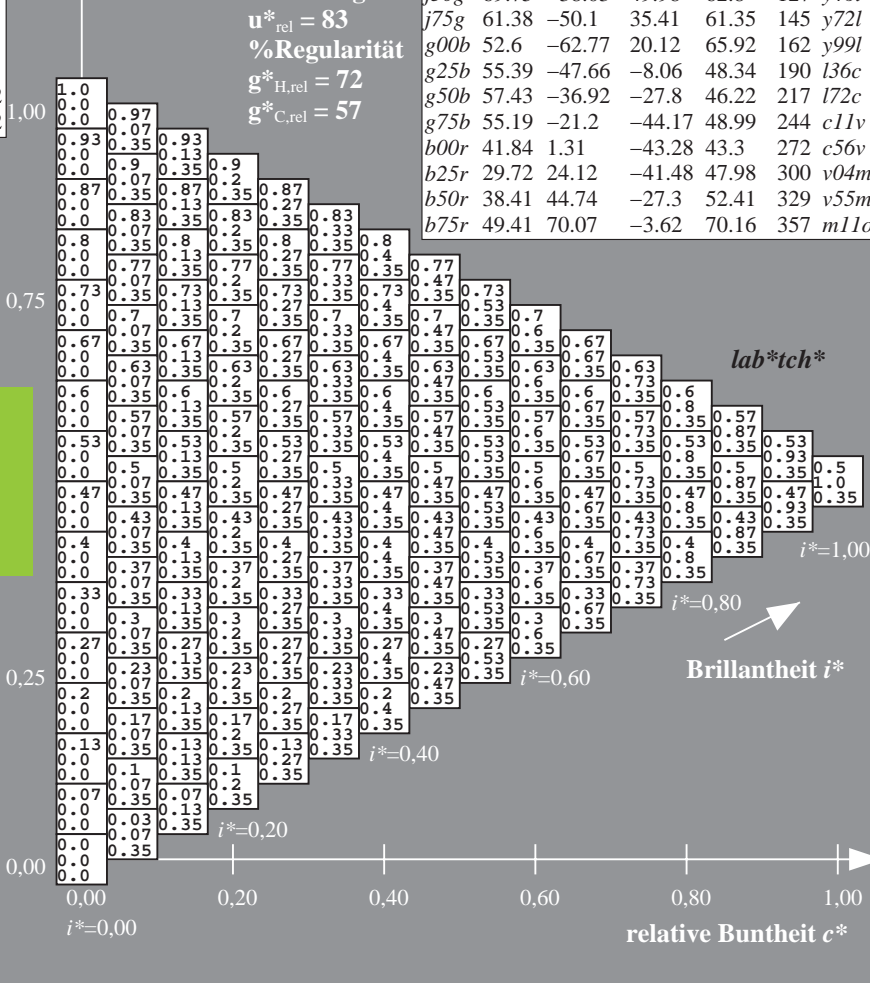
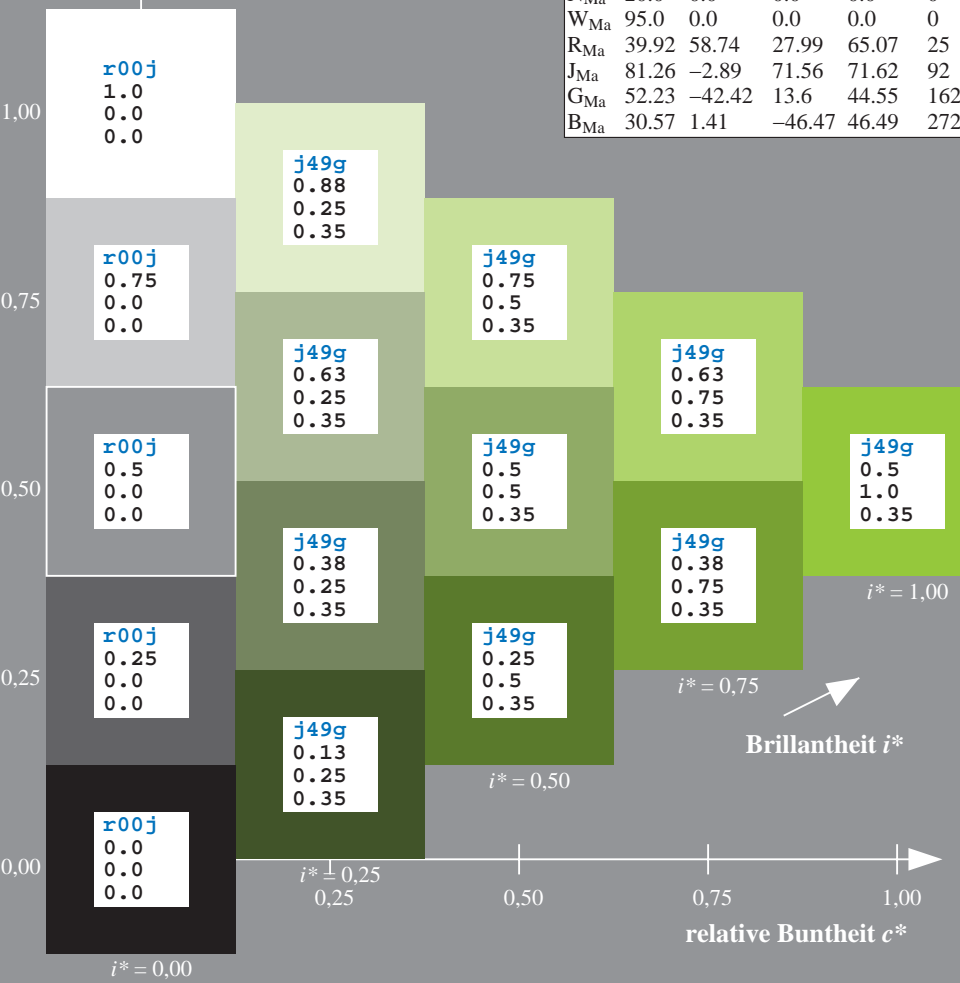
$u^*_{rel} = 83$

%Regularität

$g^*_{H,rel} = 72$

$g^*_{C,rel} = 57$

ORS20_95a; adaptierte CIELAB-Daten						
u^*_e	$L^*=L^*_a$	a^*_a	b^*_a	$C^*_{ab,a}$	$h^*_{ab,a}$	u^*_d
r00j	48.83	63.91	30.45	70.79	25	m84o
r25j	55.53	50.37	45.65	67.97	42	o17y
r50j	64.76	33.86	56.12	65.55	59	o42y
r75j	74.12	17.13	66.74	68.9	76	o67y
j00g	85.5	-3.22	79.65	79.72	92	o92y
j25g	79.45	-24.05	66.85	71.04	110	y20l
j50g	69.75	-38.03	49.98	62.8	127	y46l
j75g	61.38	-50.1	35.41	61.35	145	y72l
g00b	52.6	-62.77	20.12	65.92	162	y99l
g25b	55.39	-47.66	-8.06	48.34	190	l36c
g50b	57.43	-36.92	-27.8	46.22	217	l72c
g75b	55.19	-21.2	-44.17	48.99	244	c11v
b00r	41.84	1.31	-43.28	43.3	272	c56v
b25r	29.72	24.12	-41.48	47.98	300	v04m
b50r	38.41	44.74	-27.3	52.41	329	v55m
b75r	49.41	70.07	-3.62	70.16	357	m11o



Ein und Ausgabe: Farbmetrisches Drucker-Reflektiv-System ORS20_95a für relativen CIELAB-Buntton $h^* = lab^*h^* = h_{ab}/360 = 0.402$

Daten für jede Farbe:

lab^*tch^* und lab^*icu^*

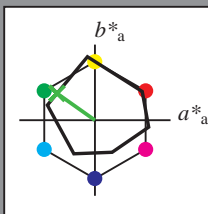
Bunttontexte:

$u^*_e = j75g$ $u^*_d = y72l$

Kontrastreduzierungsfaktor:

$c_R = 0.96$

Dreiecks-Helligkeit i^*



ORS20_95a; adaptierte CIELAB-Daten

	u^*_e	$L^*=L^*_a$	a^*_a	b^*_a	$C^*_{ab,a}$	$h^*_{ab,a}$
O _{Ma}	48.71	62.56	37.91	73.15	31	
Y _{Ma}	89.25	-9.92	83.91	84.49	97	
L _{Ma}	52.5	-62.91	19.95	66.0	162	
C _{Ma}	59.15	-27.87	-44.43	52.45	238	
V _{Ma}	29.13	22.73	-42.44	48.14	298	
M _{Ma}	49.51	71.08	-9.19	71.67	353	
N _{Ma}	20.0	0.0	0.0	0.0	0	
W _{Ma}	95.0	0.0	0.0	0.0	0	
R _{Ma}	39.92	58.74	27.99	65.07	25	
J _{Ma}	81.26	-2.89	71.56	71.62	92	
G _{Ma}	52.23	-42.42	13.6	44.55	162	
B _{Ma}	30.57	1.41	-46.47	46.49	272	

Daten für Maximalfarbe (Ma):

$LAB^*LAB^*_{Ma}$: 61 -50 35

$LAB^*LCH^*_{Ma}$: 61 61 144

$lab^*rgb^*_{Ma}$: 0.25 1.0 0.0

$lab^*olv^*_{Ma}$: 0.27 1.0 0.0

Dreiecks-Helligkeit i^*

%Umfang

$u^*_{rel} = 83$

%Regularität

$g^*_{H,rel} = 72$

$g^*_{C,rel} = 57$

ORS20_95a; adaptierte CIELAB-Daten

	u^*_e	$L^*=L^*_a$	a^*_a	b^*_a	$C^*_{ab,a}$	$h^*_{ab,a}$	u^*_d
r00j	48.83	63.91	30.45	70.79	25	m84o	
r25j	55.53	50.37	45.65	67.97	42	o17y	
r50j	64.76	33.86	56.12	65.55	59	o42y	
r75j	74.12	17.13	66.74	68.9	76	o67y	
j00g	85.5	-3.22	79.65	79.72	92	o92y	
j25g	79.45	-24.05	66.85	71.04	110	y20l	
j50g	69.75	-38.03	49.98	62.8	127	y46l	
j75g	61.38	-50.1	35.41	61.35	145	y72l	
g00b	52.6	-62.77	20.12	65.92	162	y99l	
g25b	55.39	-47.66	-8.06	48.34	190	l36c	
g50b	57.43	-36.92	-27.8	46.22	217	l72c	
g75b	55.19	-21.2	-44.17	48.99	244	c11v	
b00r	41.84	1.31	-43.28	43.3	272	c56v	
b25r	29.72	24.12	-41.48	47.98	300	v04m	
b50r	38.41	44.74	-27.3	52.41	329	v55m	
b75r	49.41	70.07	-3.62	70.16	357	m11o	

lab^*tch^*

$i^* = 1.00$

Brillantheit i^*

$i^* = 0.80$

$i^* = 0.60$

$i^* = 0.40$

$i^* = 0.20$

$i^* = 0.00$

relative Buntheit c^*

Ein und Ausgabe: Farbmetrisches Drucker-Reflektiv-System ORS20_95a für relativen CIELAB-Buntton $h^* = lab^*h^* = h_{ab}/360 = 0.451$

Daten für jede Farbe:

lab^*tch^* und lab^*icu^*

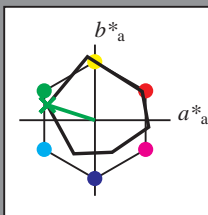
Bunttontexte:

$u^*_e = g00b$ $u^*_d = y99l$

Kontrastreduzierungsfaktor:

$c_R = 0.96$

Dreiecks-Helligkeit t^*



ORS20_95a; adaptierte CIELAB-Daten						
u^*_e	$L^*=L^*_a$	a^*_a	b^*_a	$C^*_{ab,a}$	$h^*_{ab,a}$	
O _{Ma}	48.71	62.56	37.91	73.15	31	
Y _{Ma}	89.25	-9.92	83.91	84.49	97	
L _{Ma}	52.5	-62.91	19.95	66.0	162	
C _{Ma}	59.15	-27.87	-44.43	52.45	238	
V _{Ma}	29.13	22.73	-42.44	48.14	298	
M _{Ma}	49.51	71.08	-9.19	71.67	353	
N _{Ma}	20.0	0.0	0.0	0.0	0	
W _{Ma}	95.0	0.0	0.0	0.0	0	
R _{Ma}	39.92	58.74	27.99	65.07	25	
J _{Ma}	81.26	-2.89	71.56	71.62	92	
G _{Ma}	52.23	-42.42	13.6	44.55	162	
B _{Ma}	30.57	1.41	-46.47	46.49	272	

Daten für Maximalfarbe (Ma):

$LAB^*LAB^*_{Ma}$: 53 -63 20

$LAB^*LCH^*_{Ma}$: 53 66 162

$lab^*rgb^*_{Ma}$: 0.0 1.0 0.0

$lab^*olv^*_{Ma}$: 0.0 1.0 0.0

Dreiecks-Helligkeit t^*

%Umfang

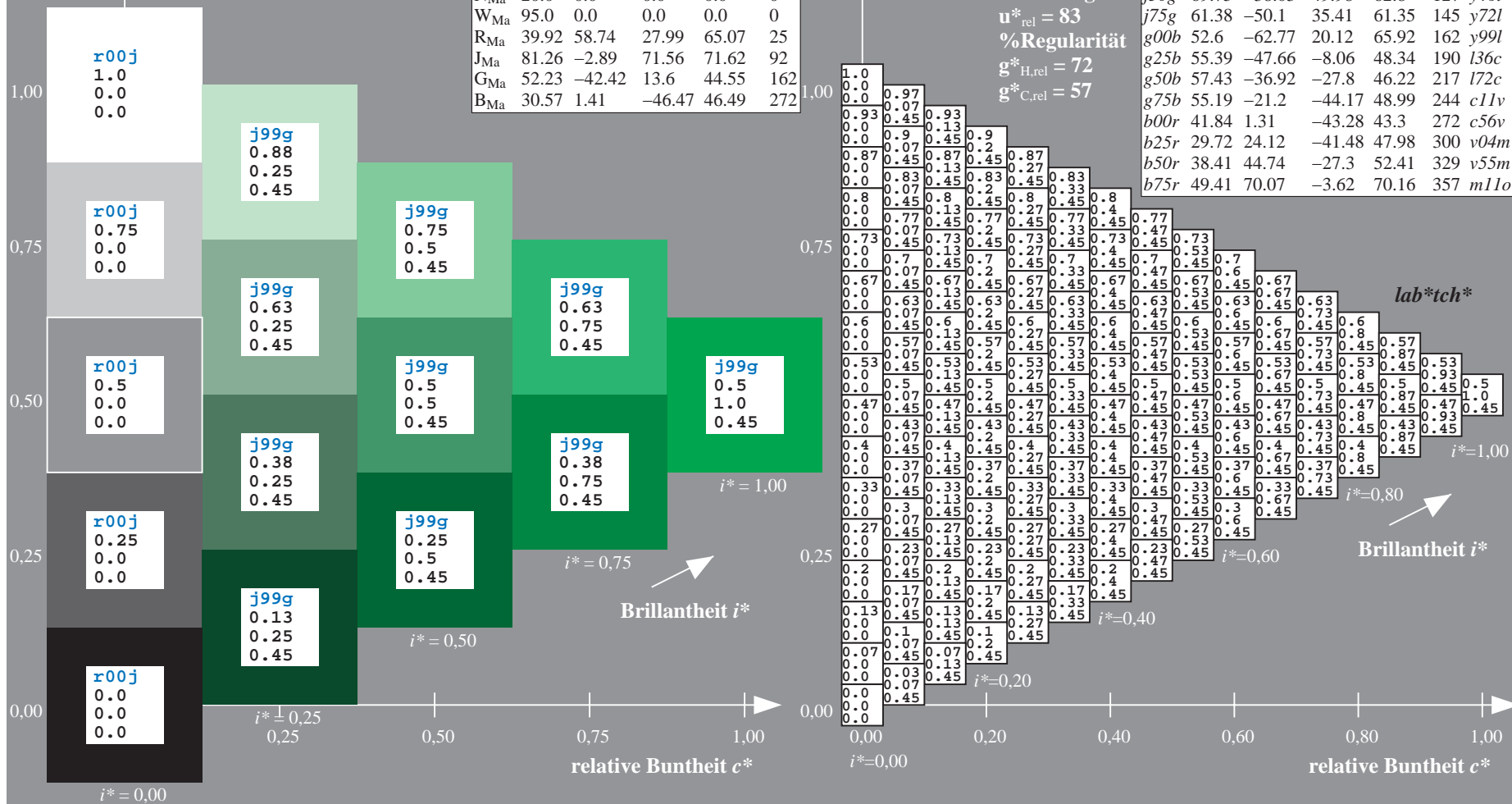
$u^*_{rel} = 83$

%Regularität

$g^*_{H,rel} = 72$

$g^*_{C,rel} = 57$

ORS20_95a; adaptierte CIELAB-Daten						
u^*_e	$L^*=L^*_a$	a^*_a	b^*_a	$C^*_{ab,a}$	$h^*_{ab,a}$	u^*_d
r00j	48.83	63.91	30.45	70.79	25	m84o
r25j	55.53	50.37	45.65	67.97	42	o17y
r50j	64.76	33.86	56.12	65.55	59	o42y
r75j	74.12	17.13	66.74	68.9	76	o67y
j00g	85.5	-3.22	79.65	79.72	92	o92y
j25g	79.45	-24.05	66.85	71.04	110	y20l
j50g	69.75	-38.03	49.98	62.8	127	y46l
j75g	61.38	-50.1	35.41	61.35	145	y72l
g00b	52.6	-62.77	20.12	65.92	162	y99l
g25b	55.39	-47.66	-8.06	48.34	190	l36c
g50b	57.43	-36.92	-27.8	46.22	217	l72c
g75b	55.19	-21.2	-44.17	48.99	244	c11v
b00r	41.84	1.31	-43.28	43.3	272	c56v
b25r	29.72	24.12	-41.48	47.98	300	v04m
b50r	38.41	44.74	-27.3	52.41	329	v55m
b75r	49.41	70.07	-3.62	70.16	357	m11o



Ein und Ausgabe: Farbmetrisches Drucker-Reflektiv-System ORS20_95a für relativen CIELAB-Buntton $h^* = lab^*h^* = h_{ab}/360 = 0.527$

Daten für jede Farbe:

lab^*tch^* und lab^*icu^*

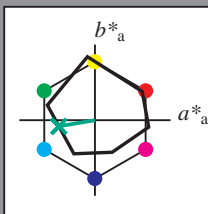
Bunttontexte:

$u^*_e = g25b$ $u^*_d = l36c$

Kontrastreduzierungsfaktor:

$c_R = 0.96$

Dreiecks-Helligkeit i^*



ORS20_95a; adaptierte CIELAB-Daten						
u^*_e	$L^*=L^*_a$	a^*_a	b^*_a	$C^*_{ab,a}$	$h^*_{ab,a}$	
O _{Ma}	48.71	62.56	37.91	73.15	31	
Y _{Ma}	89.25	-9.92	83.91	84.49	97	
L _{Ma}	52.5	-62.91	19.95	66.0	162	
C _{Ma}	59.15	-27.87	-44.43	52.45	238	
V _{Ma}	29.13	22.73	-42.44	48.14	298	
M _{Ma}	49.51	71.08	-9.19	71.67	353	
N _{Ma}	20.0	0.0	0.0	0.0	0	
W _{Ma}	95.0	0.0	0.0	0.0	0	
R _{Ma}	39.92	58.74	27.99	65.07	25	
J _{Ma}	81.26	-2.89	71.56	71.62	92	
G _{Ma}	52.23	-42.42	13.6	44.55	162	
B _{Ma}	30.57	1.41	-46.47	46.49	272	

Daten für Maximalfarbe (Ma):

$LAB^*LAB^*_{Ma}$: 55 -48 -8

$LAB^*LCH^*_{Ma}$: 55 48 189

$lab^*rgb^*_{Ma}$: 0.0 1.0 0.5

$lab^*olv^*_{Ma}$: 0.0 1.0 0.36

Dreiecks-Helligkeit i^*

%Umfang

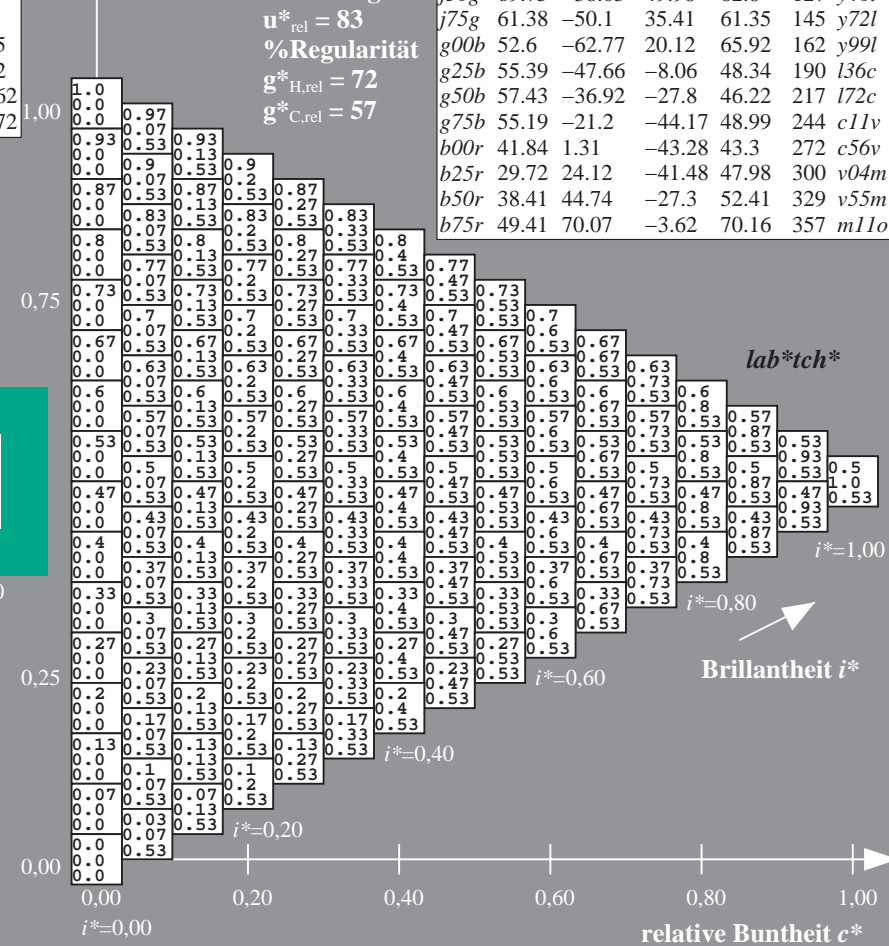
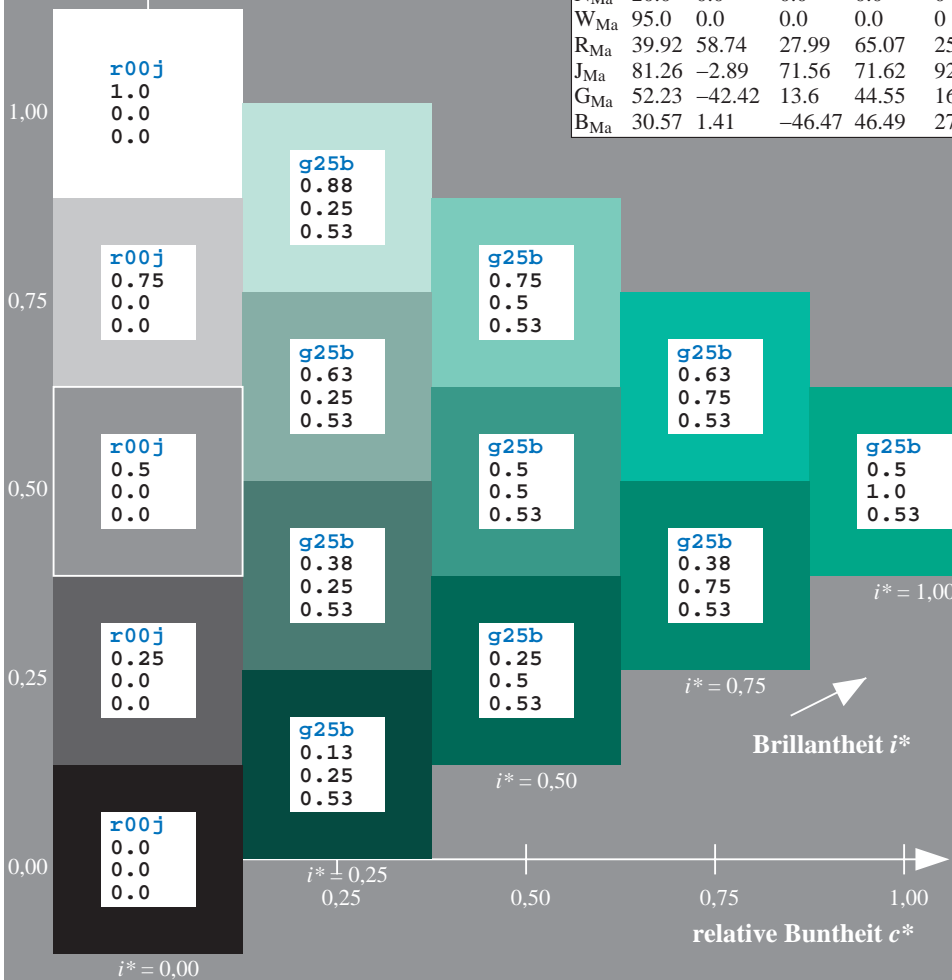
$u^*_{rel} = 83$

%Regularität

$g^*_{H,rel} = 72$

$g^*_{C,rel} = 57$

ORS20_95a; adaptierte CIELAB-Daten						
u^*_e	$L^*=L^*_a$	a^*_a	b^*_a	$C^*_{ab,a}$	$h^*_{ab,a}$	u^*_d
r00j	48.83	63.91	30.45	70.79	25	m84o
r25j	55.53	50.37	45.65	67.97	42	o17y
r50j	64.76	33.86	56.12	65.55	59	o42y
r75j	74.12	17.13	66.74	68.9	76	o67y
j00g	85.5	-3.22	79.65	79.72	92	o92y
j25g	79.45	-24.05	66.85	71.04	110	y20l
j50g	69.75	-38.03	49.98	62.8	127	y46l
j75g	61.38	-50.1	35.41	61.35	145	y72l
g00b	52.6	-62.77	20.12	65.92	162	y99l
g25b	55.39	-47.66	-8.06	48.34	190	l36c
g50b	57.43	-36.92	-27.8	46.22	217	l72c
g75b	55.19	-21.2	-44.17	48.99	244	c11v
b00r	41.84	1.31	-43.28	43.3	272	c56v
b25r	29.72	24.12	-41.48	47.98	300	v04m
b50r	38.41	44.74	-27.3	52.41	329	v55m
b75r	49.41	70.07	-3.62	70.16	357	m11o



Ein und Ausgabe: Farbmetrisches Drucker-Reflektiv-System ORS20_95a für relativen CIELAB-Buntton $h^* = lab^*h^* = h_{ab}/360 = 0.603$

Daten für jede Farbe:

lab^*tch^* und lab^*icu^*

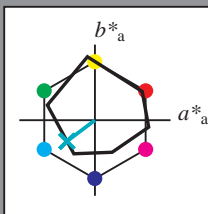
Bunttontexte:

$u^*_e = g50b$ $u^*_d = l72c$

Kontrastreduzierungsfaktor:

$c_R = 0.96$

Dreiecks-Helligkeit t^*



ORS20_95a; adaptierte CIELAB-Daten

	u^*_e	$L^*=L^*_a$	a^*_a	b^*_a	$C^*_{ab,a}$	$h^*_{ab,a}$
O _{Ma}	48.71	62.56	37.91	73.15	31	
Y _{Ma}	89.25	-9.92	83.91	84.49	97	
L _{Ma}	52.5	-62.91	19.95	66.0	162	
C _{Ma}	59.15	-27.87	-44.43	52.45	238	
V _{Ma}	29.13	22.73	-42.44	48.14	298	
M _{Ma}	49.51	71.08	-9.19	71.67	353	
N _{Ma}	20.0	0.0	0.0	0.0	0	
W _{Ma}	95.0	0.0	0.0	0.0	0	
R _{Ma}	39.92	58.74	27.99	65.07	25	
J _{Ma}	81.26	-2.89	71.56	71.62	92	
G _{Ma}	52.23	-42.42	13.6	44.55	162	
B _{Ma}	30.57	1.41	-46.47	46.49	272	

Daten für Maximalfarbe (Ma):

$LAB^*LAB^*_{Ma}$: 57 -37 -28

$LAB^*LCH^*_{Ma}$: 57 46 216

$lab^*rgb^*_{Ma}$: 0.0 1.0 1.0

$lab^*olv^*_{Ma}$: 0.0 1.0 0.72

Dreiecks-Helligkeit t^*

%Umfang

$u^*_{rel} = 83$

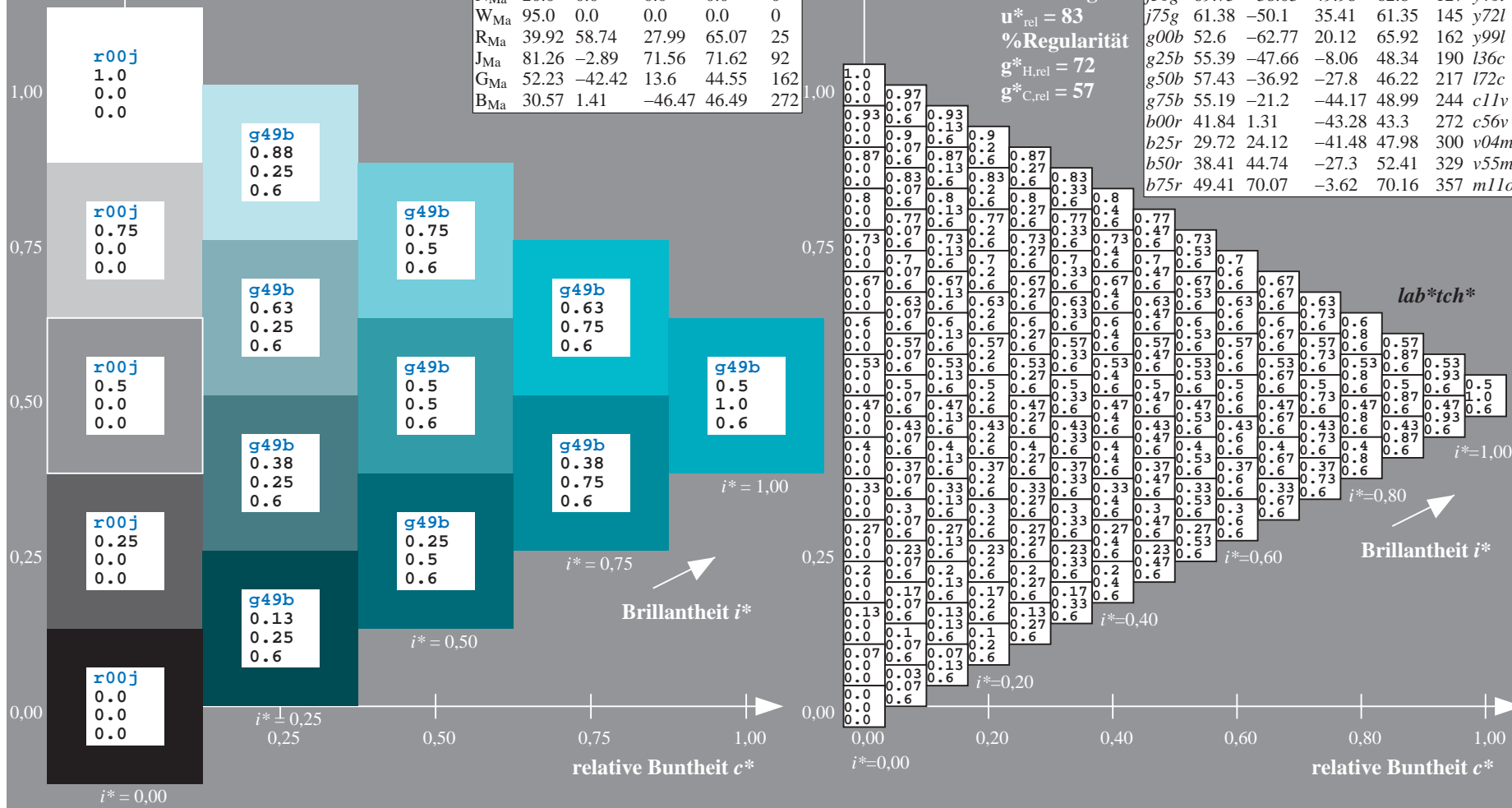
%Regularität

$g^*_{H,rel} = 72$

$g^*_{C,rel} = 57$

ORS20_95a; adaptierte CIELAB-Daten

	u^*_e	$L^*=L^*_a$	a^*_a	b^*_a	$C^*_{ab,a}$	$h^*_{ab,a}$	u^*_d
r00j	48.83	63.91	30.45	70.79	25	m84o	
r25j	55.53	50.37	45.65	67.97	42	o17y	
r50j	64.76	33.86	56.12	65.55	59	o42y	
r75j	74.12	17.13	66.74	68.9	76	o67y	
j00g	85.5	-3.22	79.65	79.72	92	o92y	
j25g	79.45	-24.05	66.85	71.04	110	y20l	
j50g	69.75	-38.03	49.98	62.8	127	y46l	
j75g	61.38	-50.1	35.41	61.35	145	y72l	
g00b	52.6	-62.77	20.12	65.92	162	y99l	
g25b	55.39	-47.66	-8.06	48.34	190	l36c	
g50b	57.43	-36.92	-27.8	46.22	217	l72c	
g75b	55.19	-21.2	-44.17	48.99	244	c11v	
b00r	41.84	1.31	-43.28	43.3	272	c56v	
b25r	29.72	24.12	-41.48	47.98	300	v04m	
b50r	38.41	44.74	-27.3	52.41	329	v55m	
b75r	49.41	70.07	-3.62	70.16	357	m11o	



Ein und Ausgabe: Farbmetrisches Drucker-Reflektiv-System ORS20_95a für relativen CIELAB-Buntton $h^* = lab^*h^* = h_{ab}/360 = 0.679$

Daten für jede Farbe:

lab^*tch^* und lab^*icu^*

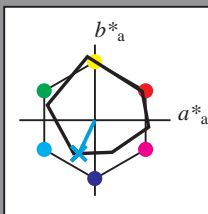
Bunttontexte:

$u^*_e = g75b$ $u^*_d = c11v$

Kontrastreduzierungsfaktor:

$c_R = 0.96$

Dreiecks-Helligkeit i^*



ORS20_95a; adaptierte CIELAB-Daten

	u^*_e	$L^*=L^*_a$	a^*_a	b^*_a	$C^*_{ab,a}$	$h^*_{ab,a}$
O _{Ma}	48.71	62.56	37.91	73.15	31	
Y _{Ma}	89.25	-9.92	83.91	84.49	97	
L _{Ma}	52.5	-62.91	19.95	66.0	162	
C _{Ma}	59.15	-27.87	-44.43	52.45	238	
V _{Ma}	29.13	22.73	-42.44	48.14	298	
M _{Ma}	49.51	71.08	-9.19	71.67	353	
N _{Ma}	20.0	0.0	0.0	0.0	0	
W _{Ma}	95.0	0.0	0.0	0.0	0	
R _{Ma}	39.92	58.74	27.99	65.07	25	
J _{Ma}	81.26	-2.89	71.56	71.62	92	
G _{Ma}	52.23	-42.42	13.6	44.55	162	
B _{Ma}	30.57	1.41	-46.47	46.49	272	

Daten für Maximalfarbe (Ma):

$LAB^*LAB^*_{Ma}$: 55 -21 -44

$LAB^*LCH^*_{Ma}$: 55 49 244

$lab^*rgb^*_{Ma}$: 0.0 0.5 1.0

$lab^*olv^*_{Ma}$: 0.0 0.89 1.0

Dreiecks-Helligkeit i^*

%Umfang

$u^*_{rel} = 83$

%Regularität

$g^*_{H,rel} = 72$

$g^*_{C,rel} = 57$

ORS20_95a; adaptierte CIELAB-Daten

	u^*_e	$L^*=L^*_a$	a^*_a	b^*_a	$C^*_{ab,a}$	$h^*_{ab,a}$	u^*_d
r00j	48.83	63.91	30.45	70.79	25	m84o	
r25j	55.53	50.37	45.65	67.97	42	o17y	
r50j	64.76	33.86	56.12	65.55	59	o42y	
r75j	74.12	17.13	66.74	68.9	76	o67y	
j00g	85.5	-3.22	79.65	79.72	92	o92y	
j25g	79.45	-24.05	66.85	71.04	110	y20l	
j50g	69.75	-38.03	49.98	62.8	127	y46l	
j75g	61.38	-50.1	35.41	61.35	145	y72l	
g00b	52.6	-62.77	20.12	65.92	162	y99l	
g25b	55.39	-47.66	-8.06	48.34	190	l36c	
g50b	57.43	-36.92	-27.8	46.22	217	l72c	
g75b	55.19	-21.2	-44.17	48.99	244	c11v	
b00r	41.84	1.31	-43.28	43.3	272	c56v	
b25r	29.72	24.12	-41.48	47.98	300	v04m	
b50r	38.41	44.74	-27.3	52.41	329	v55m	
b75r	49.41	70.07	-3.62	70.16	357	m11o	

lab^*tch^*

$i^* = 1.00$

Brillantheit i^*

$i^* = 0.80$

$i^* = 0.60$

$i^* = 0.40$

$i^* = 0.20$

$i^* = 0.00$

Ein und Ausgabe: Farbmetrisches Drucker-Reflektiv-System ORS20_95a für relativen CIELAB-Buntton $h^* = \text{lab}^*h^* = h_{ab}/360 = 0.755$

Daten für jede Farbe:

lab^*tch^* und lab^*icu^*

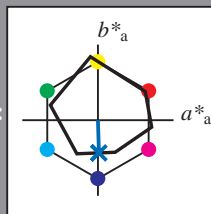
Bunttontexte:

$u^*_e = b00r$ $u^*_d = c56v$

Kontrastreduzierungsfaktor:

$c_R = 0.96$

Dreiecks-Helligkeit i^*



ORS20_95a; adaptierte CIELAB-Daten

	u^*_e	$L^*=L^*_a$	a^*_a	b^*_a	$C^*_{ab,a}$	$h^*_{ab,a}$
O _{Ma}	48.71	62.56	37.91	73.15	31	
Y _{Ma}	89.25	-9.92	83.91	84.49	97	
L _{Ma}	52.5	-62.91	19.95	66.0	162	
C _{Ma}	59.15	-27.87	-44.43	52.45	238	
V _{Ma}	29.13	22.73	-42.44	48.14	298	
M _{Ma}	49.51	71.08	-9.19	71.67	353	
N _{Ma}	20.0	0.0	0.0	0.0	0	
W _{Ma}	95.0	0.0	0.0	0.0	0	
R _{Ma}	39.92	58.74	27.99	65.07	25	
J _{Ma}	81.26	-2.89	71.56	71.62	92	
G _{Ma}	52.23	-42.42	13.6	44.55	162	
B _{Ma}	30.57	1.41	-46.47	46.49	272	

Daten für Maximalfarbe (Ma):

$\text{LAB}^*\text{LAB}^*_{Ma}$: 42 1 -43

$\text{LAB}^*\text{LCH}^*_{Ma}$: 42 43 271

$\text{lab}^*\text{rgb}^*_{Ma}$: 0.0 0.0 1.0

$\text{lab}^*\text{olv}^*_{Ma}$: 0.0 0.44 1.0

Dreiecks-Helligkeit i^*

%Umfang

$u^*_{rel} = 83$

%Regularität

$g^*_{H,rel} = 72$

$g^*_{C,rel} = 57$

ORS20_95a; adaptierte CIELAB-Daten

	u^*_e	$L^*=L^*_a$	a^*_a	b^*_a	$C^*_{ab,a}$	$h^*_{ab,a}$	u^*_d
r00j	48.83	63.91	30.45	70.79	25	m84o	
r25j	55.53	50.37	45.65	67.97	42	o17y	
r50j	64.76	33.86	56.12	65.55	59	o42y	
r75j	74.12	17.13	66.74	68.9	76	o67y	
j00g	85.5	-3.22	79.65	79.72	92	o92y	
j25g	79.45	-24.05	66.85	71.04	110	y20l	
j50g	69.75	-38.03	49.98	62.8	127	y46l	
j75g	61.38	-50.1	35.41	61.35	145	y72l	
g00b	52.6	-62.77	20.12	65.92	162	y99l	
g25b	55.39	-47.66	-8.06	48.34	190	l36c	
g50b	57.43	-36.92	-27.8	46.22	217	l72c	
g75b	55.19	-21.2	-44.17	48.99	244	c11v	
b00r	41.84	1.31	-43.28	43.3	272	c56v	
b25r	29.72	24.12	-41.48	47.98	300	v04m	
b50r	38.41	44.74	-27.3	52.41	329	v55m	
b75r	49.41	70.07	-3.62	70.16	357	m11o	

lab^*tch^*

$i^* = 1.00$

Brillantheit i^*

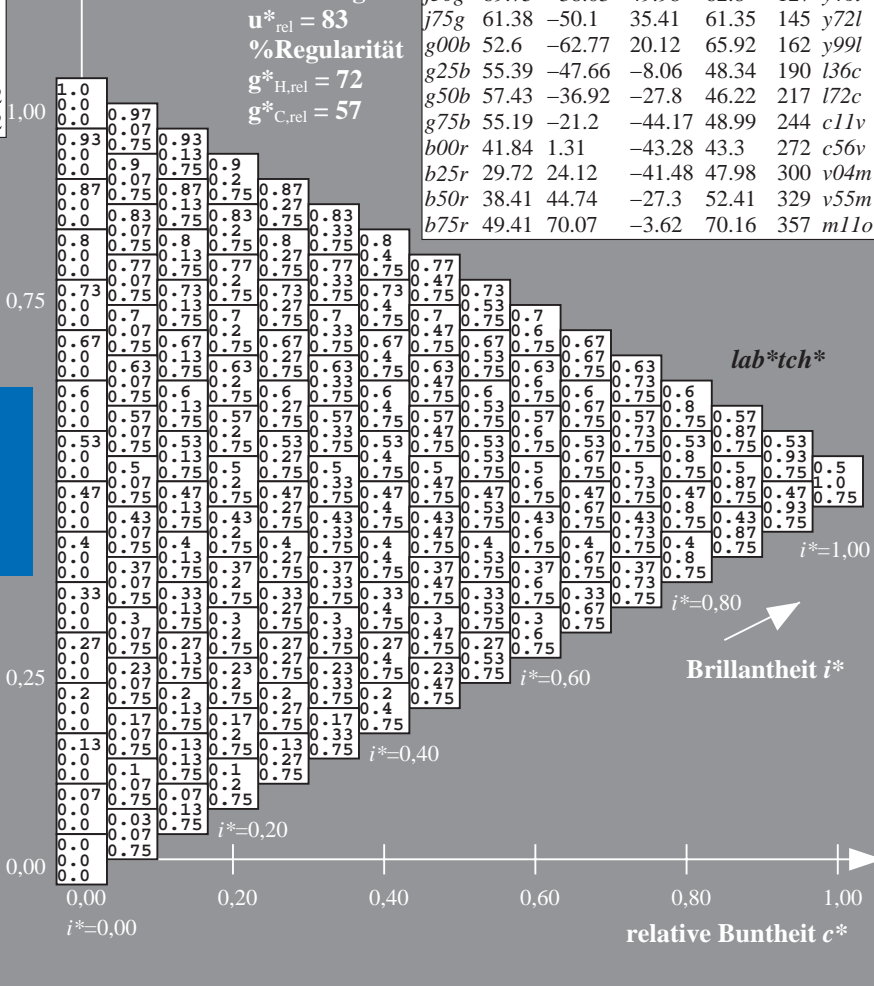
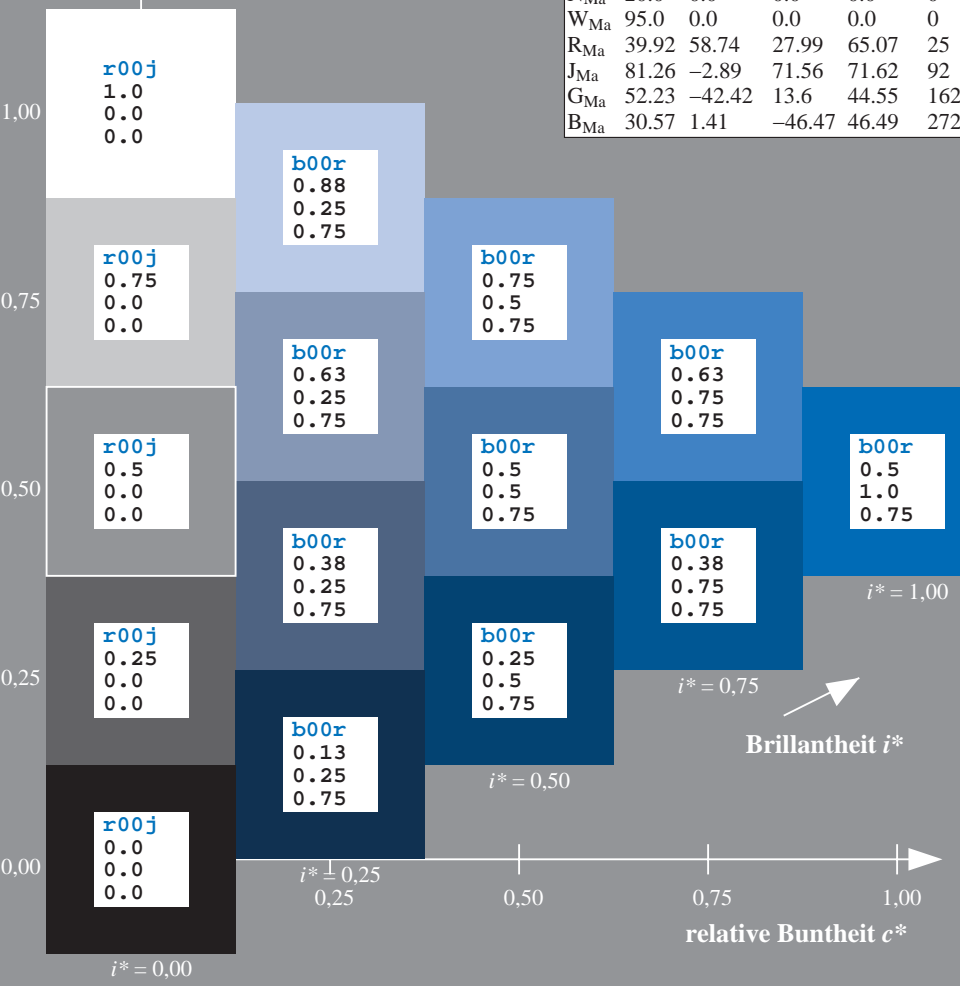
$i^* = 0.80$

$i^* = 0.60$

$i^* = 0.40$

$i^* = 0.20$

$i^* = 0.00$



Ein und Ausgabe: Farbmetrisches Drucker-Reflektiv-System ORS20_95a für relativen CIELAB-Buntton $h^* = lab^*h^* = h_{ab}/360 = 0.834$

Daten für jede Farbe:

lab^*tch^* und lab^*icu^*

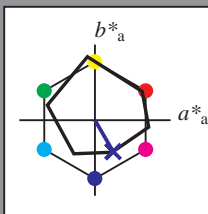
Bunttontexte:

$u^*_e = b25r$ $u^*_d = v04m$

Kontrastreduzierungsfaktor:

$c_R = 0.96$

Dreiecks-Helligkeit i^*



ORS20_95a; adaptierte CIELAB-Daten

u^*_e	$L^*=L^*_a$	a^*_a	b^*_a	$C^*_{ab,a}$	$h^*_{ab,a}$
O _{Ma}	48.71	62.56	37.91	73.15	31
Y _{Ma}	89.25	-9.92	83.91	84.49	97
L _{Ma}	52.5	-62.91	19.95	66.0	162
C _{Ma}	59.15	-27.87	-44.43	52.45	238
V _{Ma}	29.13	22.73	-42.44	48.14	298
M _{Ma}	49.51	71.08	-9.19	71.67	353
N _{Ma}	20.0	0.0	0.0	0.0	0
W _{Ma}	95.0	0.0	0.0	0.0	0
R _{Ma}	39.92	58.74	27.99	65.07	25
J _{Ma}	81.26	-2.89	71.56	71.62	92
G _{Ma}	52.23	-42.42	13.6	44.55	162
B _{Ma}	30.57	1.41	-46.47	46.49	272

Daten für Maximalfarbe (Ma):

$LAB^*LAB^*_{Ma}$: 30 24 -41

$LAB^*LCH^*_{Ma}$: 30 48 300

$lab^*rgb^*_{Ma}$: 0.5 0.0 1.0

$lab^*olv^*_{Ma}$: 0.04 0.0 1.0

Dreiecks-Helligkeit i^*

%Umfang

$u^*_{rel} = 83$

%Regularität

$g^*_{H,rel} = 72$

$g^*_{C,rel} = 57$

ORS20_95a; adaptierte CIELAB-Daten

u^*_e	$L^*=L^*_a$	a^*_a	b^*_a	$C^*_{ab,a}$	$h^*_{ab,a}$	u^*_d
r00j	48.83	63.91	30.45	70.79	25	m84o
r25j	55.53	50.37	45.65	67.97	42	o17y
r50j	64.76	33.86	56.12	65.55	59	o42y
r75j	74.12	17.13	66.74	68.9	76	o67y
j00g	85.5	-3.22	79.65	79.72	92	o92y
j25g	79.45	-24.05	66.85	71.04	110	y20l
j50g	69.75	-38.03	49.98	62.8	127	y46l
j75g	61.38	-50.1	35.41	61.35	145	y72l
g00b	52.6	-62.77	20.12	65.92	162	y99l
g25b	55.39	-47.66	-8.06	48.34	190	l36c
g50b	57.43	-36.92	-27.8	46.22	217	l72c
g75b	55.19	-21.2	-44.17	48.99	244	c11v
b00r	41.84	1.31	-43.28	43.3	272	c56v
b25r	29.72	24.12	-41.48	47.98	300	v04m
b50r	38.41	44.74	-27.3	52.41	329	v55m
b75r	49.41	70.07	-3.62	70.16	357	m11o

lab^*tch^*

$i^*=1.00$

Brillantheit i^*

$i^*=0.80$

$i^*=0.60$

$i^*=0.40$

$i^*=0.20$

Ein und Ausgabe: Farbmetrisches Drucker-Reflektiv-System ORS20_95a für relativen CIELAB-Buntton $h^* = lab^*h^* = h_{ab}/360 = 0.913$

Daten für jede Farbe:

lab^*tch^* und lab^*icu^*

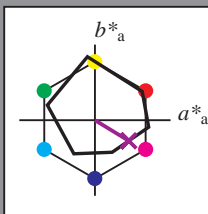
Bunttontexte:

$u^*_e = b50r$ $u^*_d = v55m$

Kontrastreduzierungsfaktor:

$c_R = 0.96$

Dreiecks-Helligkeit i^*



ORS20_95a; adaptierte CIELAB-Daten

u^*_e	$L^*=L^*_a$	a^*_a	b^*_a	$C^*_{ab,a}$	$h^*_{ab,a}$
O _{Ma}	48.71	62.56	37.91	73.15	31
Y _{Ma}	89.25	-9.92	83.91	84.49	97
L _{Ma}	52.5	-62.91	19.95	66.0	162
C _{Ma}	59.15	-27.87	-44.43	52.45	238
V _{Ma}	29.13	22.73	-42.44	48.14	298
M _{Ma}	49.51	71.08	-9.19	71.67	353
N _{Ma}	20.0	0.0	0.0	0.0	0
W _{Ma}	95.0	0.0	0.0	0.0	0
R _{Ma}	39.92	58.74	27.99	65.07	25
J _{Ma}	81.26	-2.89	71.56	71.62	92
G _{Ma}	52.23	-42.42	13.6	44.55	162
B _{Ma}	30.57	1.41	-46.47	46.49	272

Daten für Maximalfarbe (Ma):

$LAB^*LAB^*_{Ma}$: 38 45 -27

$LAB^*LCH^*_{Ma}$: 38 52 328

$lab^*rgb^*_{Ma}$: 1.0 0.0 1.0

$lab^*olv^*_{Ma}$: 0.56 0.0 1.0

Dreiecks-Helligkeit i^*

%Umfang

$u^*_{rel} = 83$

%Regularität

$g^*_{H,rel} = 72$

$g^*_{C,rel} = 57$

ORS20_95a; adaptierte CIELAB-Daten

u^*_e	$L^*=L^*_a$	a^*_a	b^*_a	$C^*_{ab,a}$	$h^*_{ab,a}$	u^*_d
r00j	48.83	63.91	30.45	70.79	25	m84o
r25j	55.53	50.37	45.65	67.97	42	o17y
r50j	64.76	33.86	56.12	65.55	59	o42y
r75j	74.12	17.13	66.74	68.9	76	o67y
j00g	85.5	-3.22	79.65	79.72	92	o92y
j25g	79.45	-24.05	66.85	71.04	110	y20l
j50g	69.75	-38.03	49.98	62.8	127	y46l
j75g	61.38	-50.1	35.41	61.35	145	y72l
g00b	52.6	-62.77	20.12	65.92	162	y99l
g25b	55.39	-47.66	-8.06	48.34	190	l36c
g50b	57.43	-36.92	-27.8	46.22	217	l72c
g75b	55.19	-21.2	-44.17	48.99	244	c11v
b00r	41.84	1.31	-43.28	43.3	272	c56v
b25r	29.72	24.12	-41.48	47.98	300	v04m
b50r	38.41	44.74	-27.3	52.41	329	v55m
b75r	49.41	70.07	-3.62	70.16	357	m11o

lab^*tch^*

$i^* = 1.00$

Brillantheit i^*

$i^* = 0.80$

$i^* = 0.60$

$i^* = 0.40$

$i^* = 0.20$

relative Bunttheit c^*

$i^* = 0.00$

relative Bunttheit c^*

Ein und Ausgabe: Farbmetrisches Drucker-Reflektiv-System ORS20_95a für relativen CIELAB-Buntton $h^* = lab^*h^* = h_{ab}/360 = 0.992$

Daten für jede Farbe:

lab^*tch^* und lab^*icu^*

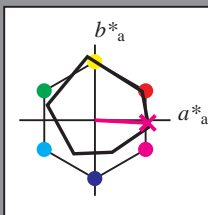
Bunttontexte:

$u^*_e = b75r$ $u^*_d = m11o$

Kontrastreduzierungsfaktor:

$c_R = 0.96$

Dreiecks-Helligkeit i^*



ORS20_95a; adaptierte CIELAB-Daten						
u^*_e	$L^*=L^*_a$	a^*_a	b^*_a	$C^*_{ab,a}$	$h^*_{ab,a}$	
O _{Ma}	48.71	62.56	37.91	73.15	31	
Y _{Ma}	89.25	-9.92	83.91	84.49	97	
L _{Ma}	52.5	-62.91	19.95	66.0	162	
C _{Ma}	59.15	-27.87	-44.43	52.45	238	
V _{Ma}	29.13	22.73	-42.44	48.14	298	
M _{Ma}	49.51	71.08	-9.19	71.67	353	
N _{Ma}	20.0	0.0	0.0	0.0	0	
W _{Ma}	95.0	0.0	0.0	0.0	0	
R _{Ma}	39.92	58.74	27.99	65.07	25	
J _{Ma}	81.26	-2.89	71.56	71.62	92	
G _{Ma}	52.23	-42.42	13.6	44.55	162	
B _{Ma}	30.57	1.41	-46.47	46.49	272	

Daten für Maximalfarbe (Ma):

$LAB^*LAB^*_{Ma}$: 49 70 -4

$LAB^*LCH^*_{Ma}$: 49 70 357

$lab^*rgb^*_{Ma}$: 1.0 0.0 0.5

$lab^*olv^*_{Ma}$: 1.0 0.0 0.89

Dreiecks-Helligkeit i^*

%Umfang

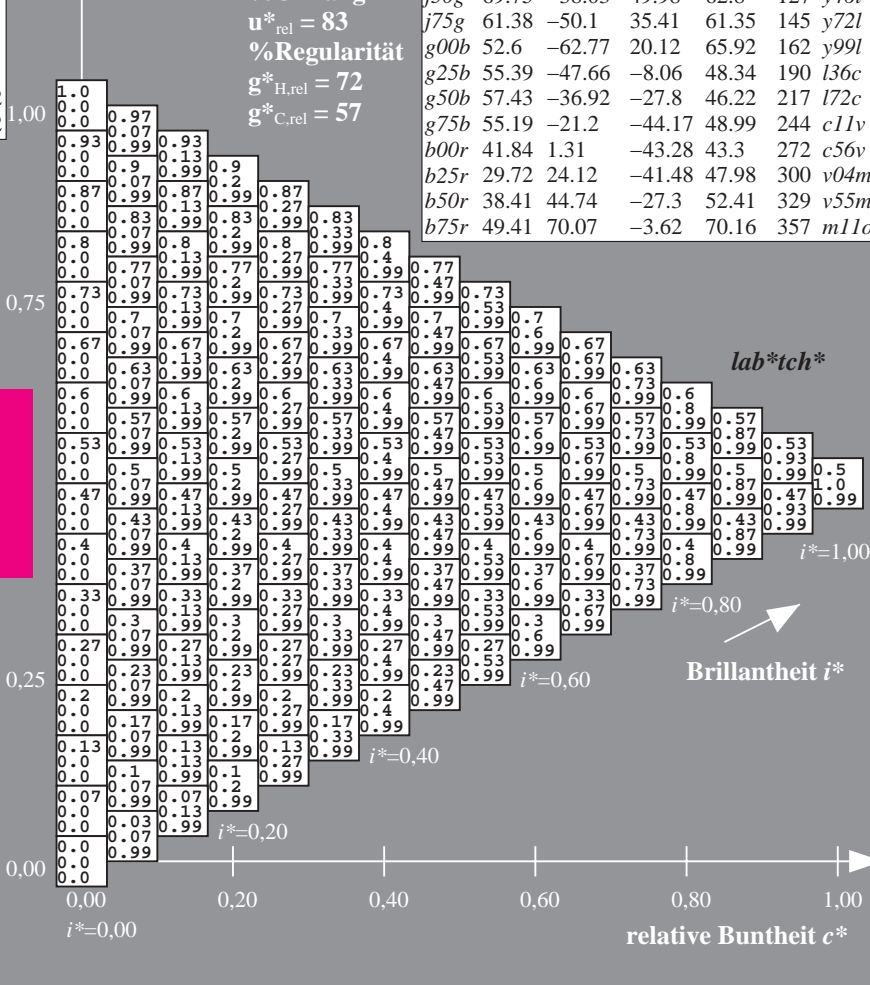
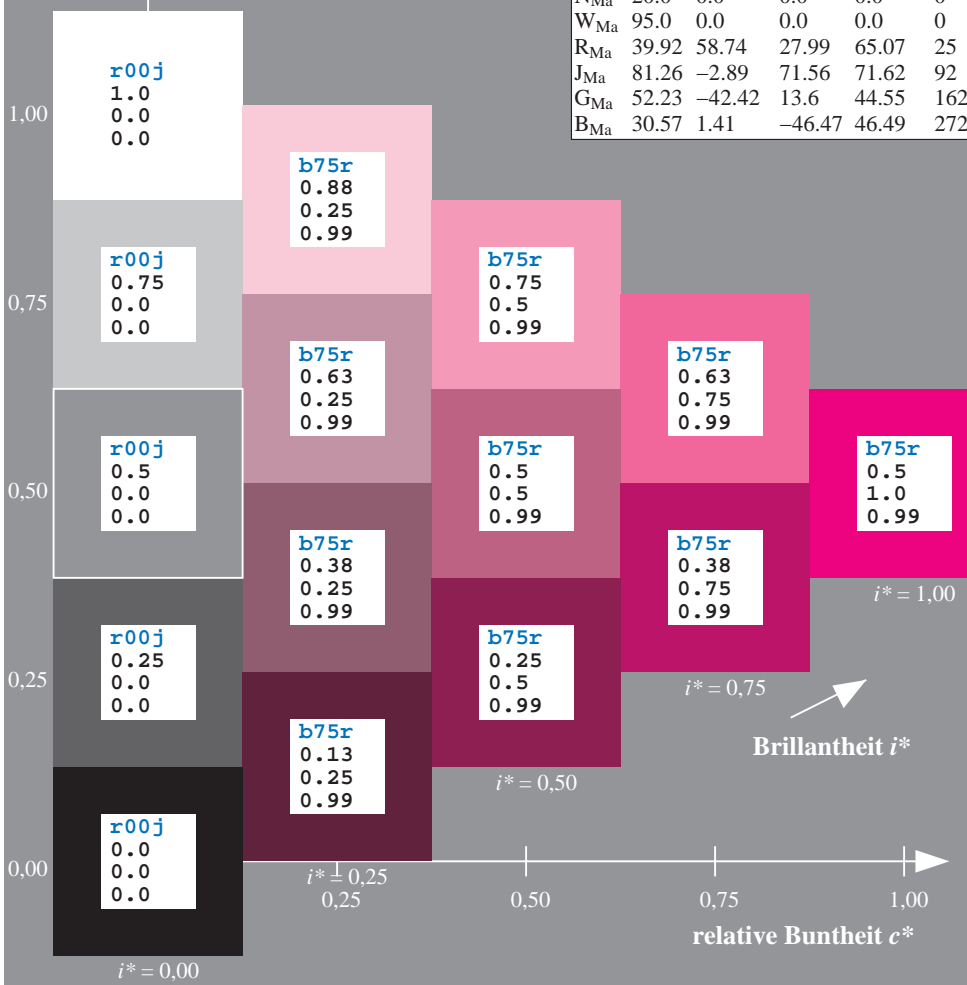
$u^*_{rel} = 83$

%Regularität

$g^*_{H,rel} = 72$

$g^*_{C,rel} = 57$

ORS20_95a; adaptierte CIELAB-Daten						
u^*_e	$L^*=L^*_a$	a^*_a	b^*_a	$C^*_{ab,a}$	$h^*_{ab,a}$	u^*_d
r00j	48.83	63.91	30.45	70.79	25	m84o
r25j	55.53	50.37	45.65	67.97	42	o17y
r50j	64.76	33.86	56.12	65.55	59	o42y
r75j	74.12	17.13	66.74	68.9	76	o67y
j00g	85.5	-3.22	79.65	79.72	92	o92y
j25g	79.45	-24.05	66.85	71.04	110	y20l
j50g	69.75	-38.03	49.98	62.8	127	y46l
j75g	61.38	-50.1	35.41	61.35	145	y72l
g00b	52.6	-62.77	20.12	65.92	162	y99l
g25b	55.39	-47.66	-8.06	48.34	190	l36c
g50b	57.43	-36.92	-27.8	46.22	217	l72c
g75b	55.19	-21.2	-44.17	48.99	244	c11v
b00r	41.84	1.31	-43.28	43.3	272	c56v
b25r	29.72	24.12	-41.48	47.98	300	v04m
b50r	38.41	44.74	-27.3	52.41	329	v55m
b75r	49.41	70.07	-3.62	70.16	357	m11o



Siehe ähnliche Dateien: <http://www.ps.bam.de/Eg13/>; www.ps.bam.de/Eg13/
Technische Information: http://www.ps.bam.de/Version2.1_io=1.1_ColSpX=1

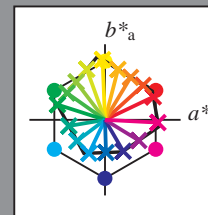
	A	B	C	D	E	F	G	H	I	J	K	L	M	N	O	P	Q	R	S	T	U	V	W	X	Y	Z	a	b	c	d	e	f	g	h	i	j	k	lab* <i>tch*</i>																																																																																																																																																																																																																																																																																																																																																																																																																																																																																																																																																																																																																																																																																																																																																																																																																																																																																																																																																																																																																																																																																																																																																																																																																														
01	0.0	0.06	0.13	0.19	0.25	0.31	0.38	0.44	0.5	0.56	0.63	0.69	0.75	0.81	0.88	0.94	1.0	1.06	1.13	1.19	1.25	1.31	1.38	1.44	1.5	1.56	1.63	1.69	1.75	1.81	1.88	1.94	2.0	2.06	2.13	2.19	2.25	2.31	2.38	2.44	2.5	2.56	2.63	2.69	2.75	2.81	2.88	2.94	3.0	3.06	3.13	3.19	3.25	3.31	3.38	3.44	3.5	3.56	3.63	3.69	3.75	3.81	3.88	3.94	4.0	4.06	4.13	4.19	4.25	4.31	4.38	4.44	4.5	4.56	4.63	4.69	4.75	4.81	4.88	4.94	5.0	5.06	5.13	5.19	5.25	5.31	5.38	5.44	5.5	5.56	5.63	5.69	5.75	5.81	5.88	5.94	6.0	6.06	6.13	6.19	6.25	6.31	6.38	6.44	6.5	6.56	6.63	6.69	6.75	6.81	6.88	6.94	7.0	7.06	7.13	7.19	7.25	7.31	7.38	7.44	7.5	7.56	7.63	7.69	7.75	7.81	7.88	7.94	8.0	8.06	8.13	8.19	8.25	8.31	8.38	8.44	8.5	8.56	8.63	8.69	8.75	8.81	8.88	8.94	9.0	9.06	9.13	9.19	9.25	9.31	9.38	9.44	9.5	9.56	9.63	9.69	9.75	9.81	9.88	9.94	10.0	10.06	10.13	10.19	10.25	10.31	10.38	10.44	10.5	10.56	10.63	10.69	10.75	10.81	10.88	10.94	11.0	11.06	11.13	11.19	11.25	11.31	11.38	11.44	11.5	11.56	11.63	11.69	11.75	11.81	11.88	11.94	12.0	12.06	12.13	12.19	12.25	12.31	12.38	12.44	12.5	12.56	12.63	12.69	12.75	12.81	12.88	12.94	13.0	13.06	13.13	13.19	13.25	13.31	13.38	13.44	13.5	13.56	13.63	13.69	13.75	13.81	13.88	13.94	14.0	14.06	14.13	14.19	14.25	14.31	14.38	14.44	14.5	14.56	14.63	14.69	14.75	14.81	14.88	14.94	15.0	15.06	15.13	15.19	15.25	15.31	15.38	15.44	15.5	15.56	15.63	15.69	15.75	15.81	15.88	15.94	16.0	16.06	16.13	16.19	16.25	16.31	16.38	16.44	16.5	16.56	16.63	16.69	16.75	16.81	16.88	16.94	17.0	17.06	17.13	17.19	17.25	17.31	17.38	17.44	17.5	17.56	17.63	17.69	17.75	17.81	17.88	17.94	18.0	18.06	18.13	18.19	18.25	18.31	18.38	18.44	18.5	18.56	18.63	18.69	18.75	18.81	18.88	18.94	19.0	19.06	19.13	19.19	19.25	19.31	19.38	19.44	19.5	19.56	19.63	19.69	19.75	19.81	19.88	19.94	20.0	20.06	20.13	20.19	20.25	20.31	20.38	20.44	20.5	20.56	20.63	20.69	20.75	20.81	20.88	20.94	21.0	21.06	21.13	21.19	21.25	21.31	21.38	21.44	21.5	21.56	21.63	21.69	21.75	21.81	21.88	21.94	22.0	22.06	22.13	22.19	22.25	22.31	22.38	22.44	22.5	22.56	22.63	22.69	22.75	22.81	22.88	22.94	23.0	23.06	23.13	23.19	23.25	23.31	23.38	23.44	23.5	23.56	23.63	23.69	23.75	23.81	23.88	23.94	24.0	24.06	24.13	24.19	24.25	24.31	24.38	24.44	24.5	24.56	24.63	24.69	24.75	24.81	24.88	24.94	25.0	25.06	25.13	25.19	25.25	25.31	25.38	25.44	25.5	25.56	25.63	25.69	25.75	25.81	25.88	25.94	26.0	26.06	26.13	26.19	26.25	26.31	26.38	26.44	26.5	26.56	26.63	26.69	26.75	26.81	26.88	26.94	27.0	27.06	27.13	27.19	27.25	27.31	27.38	27.44	27.5	27.56	27.63	27.69	27.75	27.81	27.88	27.94	28.0	28.06	28.13	28.19	28.25	28.31	28.38	28.44	28.5	28.56	28.63	28.69	28.75	28.81	28.88	28.94	29.0	29.06	29.13	29.19	29.25	29.31	29.38	29.44	29.5	29.56	29.63	29.69	29.75	29.81	29.88	29.94	30.0	30.06	30.13	30.19	30.25	30.31	30.38	30.44	30.5	30.56	30.63	30.69	30.75	30.81	30.88	30.94	31.0	31.06	31.13	31.19	31.25	31.31	31.38	31.44	31.5	31.56	31.63	31.69	31.75	31.81	31.88	31.94	32.0	32.06	32.13	32.19	32.25	32.31	32.38	32.44	32.5	32.56	32.63	32.69	32.75	32.81	32.88	32.94	33.0	33.06	33.13	33.19	33.25	33.31	33.38	33.44	33.5	33.56	33.63	33.69	33.75	33.81	33.88	33.94	34.0	34.06	34.13	34.19	34.25	34.31	34.38	34.44	34.5	34.56	34.63	34.69	34.75	34.81	34.88	34.94	35.0	35.06	35.13	35.19	35.25	35.31	35.38	35.44	35.5	35.56	35.63	35.69	35.75	35.81	35.88	35.94	36.0	36.06	36.13	36.19	36.25	36.31	36.38	36.44	36.5	36.56	36.63	36.69	36.75	36.81	36.88	36.94	37.0	37.06	37.13	37.19	37.25	37.31	37.38	37.44	37.5	37.56	37.63	37.69	37.75	37.81	37.88	37.94	38.0	38.06	38.13	38.19	38.25	38.31	38.38	38.44	38.5	38.56	38.63	38.69	38.75	38.81	38.88	38.94	39.0	39.06	39.13	39.19	39.25	39.31	39.38	39.44	39.5	39.56	39.63	39.69	39.75	39.81	39.88	39.94	40.0	40.06	40.13	40.19	40.25	40.31	40.38	40.44	40.5	40.56	40.63	40.69	40.75	40.81	40.88	40.94	41.0	41.06	41.13	41.19	41.25	41.31	41.38	41.44	41.5	41.56	41.63	41.69	41.75	41.81	41.88	41.94	42.0	42.06	42.13	42.19	42.25	42.31	42.38	42.44	42.5	42.56	42.63	42.69	42.75	42.81	42.88	42.94	43.0	43.06	43.13	43.19	43.25	43.31	43.38	43.44	43.5	43.56	43.63	43.69	43.75	43.81	43.88	43.94	44.0	44.06	44.13	44.19	44.25	44.31	44.38	44.44	44.5	44.56	44.63	44.69	44.75	44.81	44.88	44.94	45.0	45.06	45.13	45.19	45.25	45.31	45.38	45.44	45.5	45.56	45.63	45.69	45.75	45.81	45.88	45.94	46.0	46.06	46.13	46.19	46.25	46.31	46.38	46.44	46.5	46.56	46.63	46.69	46.75	46.81	46.88	46.94	47.0	47.06	47.13	47.19	47.25	47.31	47.38	47.44	47.5	47.56	47.63	47.69	47.75	47.81	47.88	47.94	48.0	48.06	48.13	48.19	48.25	48.31	48.38	48.44	48.5	48.56	48.63	48.69	48.75	48.81	48.88	48.94	49.0	49.06	49.13	49.19	49.25	49.31	49.38	49.44	49.5	49.56	49.63	49.69	49.75	49.81	49.88	49.94	50.0	50.06	50.13	50.19	50.25	50.31	50.38	50.44	50.5	50.56	50.63	50.69	50.75	50.81	50.88	50.94	51.0	51.06	51.13	51.19	51.25	51.31	51.38	51.44	51.5	51.56	51.63	51.69	51.75	51.81	51.88	51.94	52.0	52.06	52.13	52.19	52.25	52.31	52.38	52.44	52.5	52.56	52.63	52.69	52.75	52.81	52.88	52.94	53.0	53.06	53.13	53.19	53.25	53.31	53.38	53.44	53.5	53.56	53.63	53.69	53.75	53.81	53.88	53.94	54.0	54.06	54.13	54.19	54.25	54.31	54.38	54.44	54.5	54.56	54.63	54.69	54.75	54.81	54.88	54.94	55.0	55.06	55.13	55.19	55.25	55.31	55.38	55.44	55.5	55.56	55.63	55.69	55.75	55.81	55.88	55.94	56.0	56.06	56.13	56.19	56.25	56.31	56.38	56.44	56.5	56.56	56.63	56.69	56.75	56.81	56.88	56.94	57.0	57.06	57.13	57.19	57.25	57.31	57.38	57.44	57.5	57.56	57.63	57.69	57.75	57.81	57.88	57.94	58.0	58.06	58.13	58.19	58.25	58.31	58.38	58.44	58.5	58.56	58.63	58.69	58.75	58.81	58.88	58.94	59.0	59.06	59.13	59.19	59.25	59.31	59.38	59.44	59.5	59.56	59.63	59.69	59.75	59.81	59.88	59.94	60.0	60.06	60.13	60.19	60.25	60.31	60.38	60.44	60.5	60.56	60.63	60.69	60.75	60.81	60.88	60.94	61.0	61.06	61.13	61.19	61.25	61.31	61.38	61.44	61.5	61.56	61.63	61.69	61.75	61.81	61.88	61.94	62.0	62.06	62.13	62.19	62.25	62.31	62.38	62.44	62.5	62.56	62.63	62.69	62.75	62.81	62.88	62.94	63.0	63.06	63.13	63.19	63.25	63.31	63.38	63.44	63.5	63.56	63.63	63.69	63.75	63.81	63.88	63.94	64.0	64.06	64.13	64.19	64.25	64.31	64.38	64.44	64.5	64.56	64.63	64.69	64.75	64.81	64.88	64.94	65.0	65.06	65.13	65.19	65.25	65.31	65.38	65.44	65.5	65.56	65.63	65.69	65.75	65.81	65.88	65.94	66.0	66.06	66.13	66.19	66.25	66.31	66.38	66.44	66.5	66.56	66.63	66.69	66.75	66.81	66.88	66.94	67.0	67.06	67.13	67.19	67.25	67.31	67.38	67.44	67.5	67.56	67.63	67.69	67.75	67.81	67.88	67.94	68.0	68.06	68.13	68.19	68.25	68.31	68.38	68.44	68.5	68.56	68.63	68.69	68.75	68.81	68.88	68.94	69.0	69.06	69.13	69.19	69.25	69.31	69.38	69.44	69.5	69.56	69.63	69.69	69.75	69.81	69.88	69.94	70.0	70.06	70.13	70.19	70.25	70.31	70.38	70.44	70.5	70.56	70.63	70.69	70.75	70.81	70.88	70.94	71.0	71.06	71.13	71.19	71.25	71.31	71.38	71.44	71.5	71.56	71.63	71.69	71.75	71.81	71.88	71.94	72.0	72.06	72.13	72.19	72.25	72.31	72.38	72.44	72.5	72.56	72.63	72.69	72.75	72.81	72.88	72.94	73.0	73.06	73.13	73.19	73.25	73.31	73.38	73.44	73.5	73.56	73.63	73.69	73.75	73.81	73.88	73.94	74.0	74.06	74.13	74.19	74.25	74.31	74.38	74.44	74.5	74.56	74.63	74.69	74.75	74.81	74.88	74.94	75.0	75.06	75.13	75.19	75.25	75.31	75.38	75.44	75.5	75.56	75.63	75.69	75.75	75.81	75.88	75.94	76.0	76.06	76.13	76.19

Ein und Ausgabe:
Farbmetrisches Drucker-Reflektiv-System ORS20_95a
Daten für jede Farbe:

u^*_e und Nummer $Nr.$ = 00 .. 15
Elementar-Bunttontext:
 $u^*_e = 16$ Bunttoene $r00j, r25j, \dots, b75r$
Kontrastreduzierungsfaktor:
 $c_R = 0.96$

ORS20_95a; adaptierte CIELAB-Daten

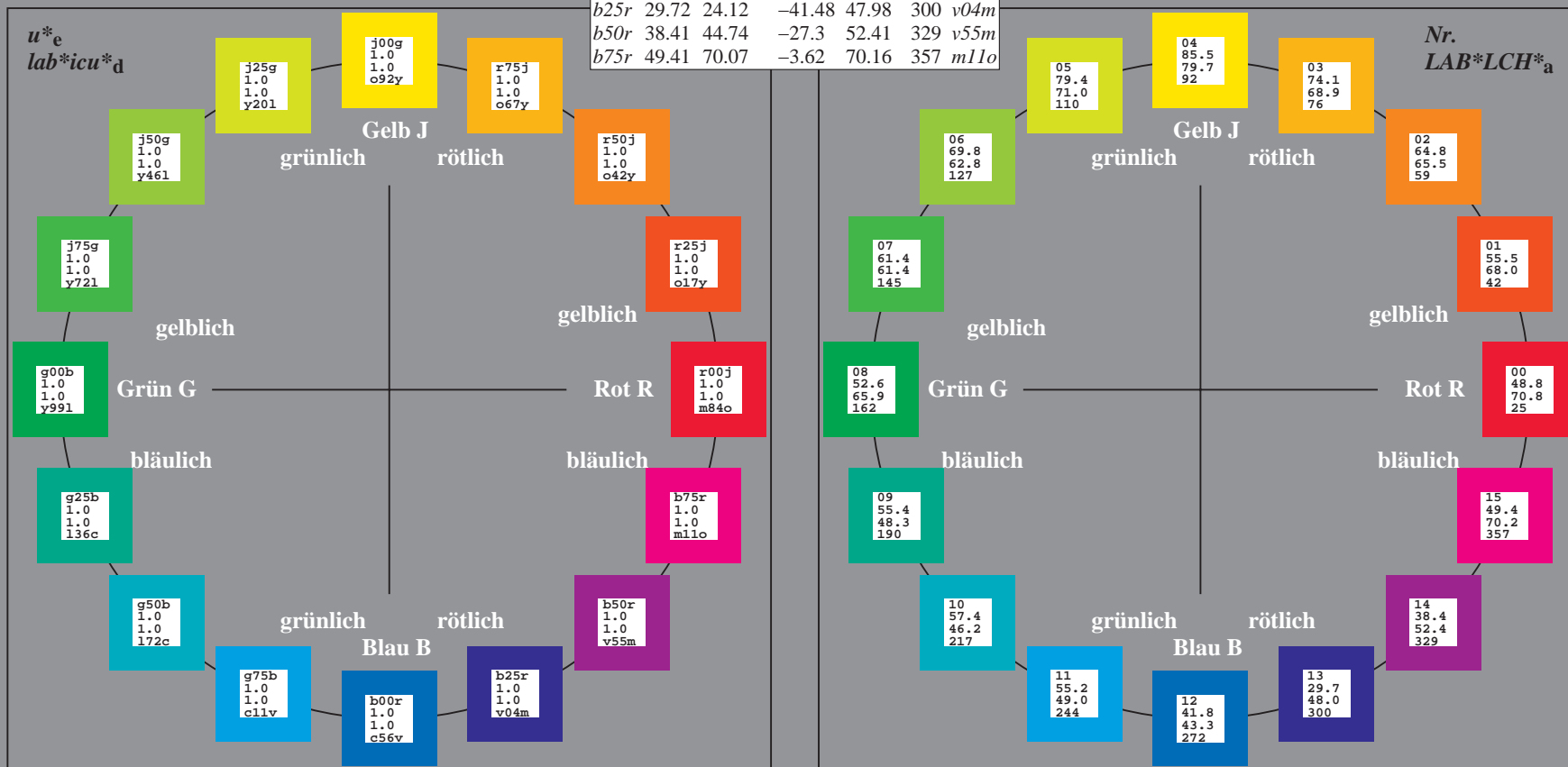
u^*_e	$L^*=L^*_a$	a^*_a	b^*_a	$C^*_{ab,a}$	$h^*_{ab,a}$	u^*_d
$r00j$	48.83	63.91	30.45	70.79	25	$m84o$
$r25j$	55.53	50.37	45.65	67.97	42	$o17y$
$r50j$	64.76	33.86	56.12	65.55	59	$o42y$
$r75j$	74.12	17.13	66.74	68.9	76	$o67y$
$j00g$	85.5	-3.22	79.65	79.72	92	$o92y$
$j25g$	79.45	-24.05	66.85	71.04	110	$y20l$
$j50g$	69.75	-38.03	49.98	62.8	127	$y46l$
$j75g$	61.38	-50.1	35.41	61.35	145	$y72l$
$g00b$	52.6	-62.77	20.12	65.92	162	$y99l$
$g25b$	55.39	-47.66	-8.06	48.34	190	$l36c$
$g50b$	57.43	-36.92	-27.8	46.22	217	$l72c$
$g75b$	55.19	-21.2	-44.17	48.99	244	$c11v$
$b00r$	41.84	1.31	-43.28	43.3	272	$c56v$
$b25r$	29.72	24.12	-41.48	47.98	300	$v04m$
$b50r$	38.41	44.74	-27.3	52.41	329	$v55m$
$b75r$	49.41	70.07	-3.62	70.16	357	$m11o$



%Umfang
 $u^*_{rel} = 83$
%Regularität
 $g^*_{H,rel} = 72$
 $g^*_{C,rel} = 57$

ORS20_95a; adaptierte CIELAB-Daten

Name	$L^*=L^*_a$	a^*_a	b^*_a	$C^*_{ab,a}$	$h^*_{ab,a}$
O_{Ma}	48.71	62.56	37.91	73.15	31
Y_{Ma}	89.25	-9.92	83.91	84.49	97
L_{Ma}	52.5	-62.91	19.95	66.0	162
C_{Ma}	59.15	-27.87	-44.43	52.45	238
V_{Ma}	29.13	22.73	-42.44	48.14	298
M_{Ma}	49.51	71.08	-9.19	71.67	353
N_{Ma}	20.0	0.0	0.0	0.0	0
W_{Ma}	95.0	0.0	0.0	0.0	0
R_{CIE}	39.92	58.74	27.99	65.07	25
J_{CIE}	81.26	-2.89	71.56	71.62	92
G_{CIE}	52.23	-42.42	13.6	44.55	162
B_{CIE}	30.57	1.41	-46.47	46.49	272



Ein und Ausgabe: Farbmetrisches Drucker-Reflektiv-System ORS20_95a für relativen CIELAB-Buntton $h^* = lab^*h^* = h_{ab}/360 = 0.071$

Daten für jede Farbe:

lab^*tch^* und lab^*icu^*

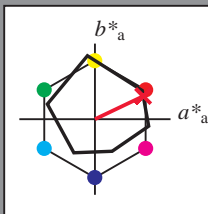
Bunttontexte:

$u^*_e = r00j$ $u^*_d = m84o$

Kontrastreduzierungsfaktor:

$c_R = 0.96$

Dreiecks-Helligkeit i^*



ORS20_95a; adaptierte CIELAB-Daten

u^*_e	$L^*=L^*_a$	a^*_a	b^*_a	$C^*_{ab,a}$	$h^*_{ab,a}$
O _{Ma}	48.71	62.56	37.91	73.15	31
Y _{Ma}	89.25	-9.92	83.91	84.49	97
L _{Ma}	52.5	-62.91	19.95	66.0	162
C _{Ma}	59.15	-27.87	-44.43	52.45	238
V _{Ma}	29.13	22.73	-42.44	48.14	298
M _{Ma}	49.51	71.08	-9.19	71.67	353
N _{Ma}	20.0	0.0	0.0	0.0	0
W _{Ma}	95.0	0.0	0.0	0.0	0
R _{Ma}	39.92	58.74	27.99	65.07	25
J _{Ma}	81.26	-2.89	71.56	71.62	92
G _{Ma}	52.23	-42.42	13.6	44.55	162
B _{Ma}	30.57	1.41	-46.47	46.49	272

Daten für Maximalfarbe (Ma):

$LAB^*LAB^*_{Ma}$: 49 64 30

$LAB^*LCH^*_{Ma}$: 49 71 25

$lab^*rgb^*_{Ma}$: 1.0 0.0 0.0

$lab^*olv^*_{Ma}$: 1.0 0.0 0.15

Dreiecks-Helligkeit i^*

%Umfang

$u^*_{rel} = 83$

%Regularität

$g^*_{H,rel} = 72$

$g^*_{C,rel} = 57$

ORS20_95a; adaptierte CIELAB-Daten

u^*_e	$L^*=L^*_a$	a^*_a	b^*_a	$C^*_{ab,a}$	$h^*_{ab,a}$	u^*_d
r00j	48.83	63.91	30.45	70.79	25	m84o
r25j	55.53	50.37	45.65	67.97	42	o17y
r50j	64.76	33.86	56.12	65.55	59	o42y
r75j	74.12	17.13	66.74	68.9	76	o67y
j00g	85.5	-3.22	79.65	79.72	92	o92y
j25g	79.45	-24.05	66.85	71.04	110	y20l
j50g	69.75	-38.03	49.98	62.8	127	y46l
j75g	61.38	-50.1	35.41	61.35	145	y72l
g00b	52.6	-62.77	20.12	65.92	162	y99l
g25b	55.39	-47.66	-8.06	48.34	190	l36c
g50b	57.43	-36.92	-27.8	46.22	217	l72c
g75b	55.19	-21.2	-44.17	48.99	244	c11v
b00r	41.84	1.31	-43.28	43.3	272	c56v
b25r	29.72	24.12	-41.48	47.98	300	v04m
b50r	38.41	44.74	-27.3	52.41	329	v55m
b75r	49.41	70.07	-3.62	70.16	357	m11o

$lab^*icu^*_d$

$i^* = 1.00$

Brillantheit i^*

$i^* = 0.80$

$i^* = 0.60$

$i^* = 0.40$

$i^* = 0.20$

$i^* = 0.00$

relative Buntheit c^*

relative Buntheit c^*

Ein und Ausgabe: Farbmetrisches Drucker-Reflektiv-System ORS20_95a für relativen CIELAB-Buntton $h^* = lab^*h^* = h_{ab}/360 = 0.117$

Daten für jede Farbe:

lab^*ch^* und lab^*icu^*

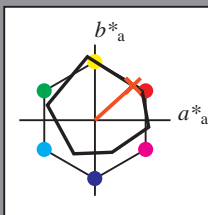
Bunttontexte:

$u^*_e = r25j$ $u^*_d = o17y$

Kontrastreduzierungsfaktor:

$c_R = 0.96$

Dreiecks-Helligkeit i^*



ORS20_95a; adaptierte CIELAB-Daten						
u^*_e	$L^*=L^*_a$	a^*_a	b^*_a	$C^*_{ab,a}$	$h^*_{ab,a}$	
O _{Ma}	48.71	62.56	37.91	73.15	31	
Y _{Ma}	89.25	-9.92	83.91	84.49	97	
L _{Ma}	52.5	-62.91	19.95	66.0	162	
C _{Ma}	59.15	-27.87	-44.43	52.45	238	
V _{Ma}	29.13	22.73	-42.44	48.14	298	
M _{Ma}	49.51	71.08	-9.19	71.67	353	
N _{Ma}	20.0	0.0	0.0	0.0	0	
W _{Ma}	95.0	0.0	0.0	0.0	0	
R _{Ma}	39.92	58.74	27.99	65.07	25	
J _{Ma}	81.26	-2.89	71.56	71.62	92	
G _{Ma}	52.23	-42.42	13.6	44.55	162	
B _{Ma}	30.57	1.41	-46.47	46.49	272	

Daten für Maximalfarbe (Ma):

$LAB^*LAB^*_{Ma}$: 56 50 46

$LAB^*LCH^*_{Ma}$: 56 68 42

$lab^*rgb^*_{Ma}$: 1.0 0.25 0.0

$lab^*olv^*_{Ma}$: 1.0 0.17 0.0

Dreiecks-Helligkeit i^*

%Umfang

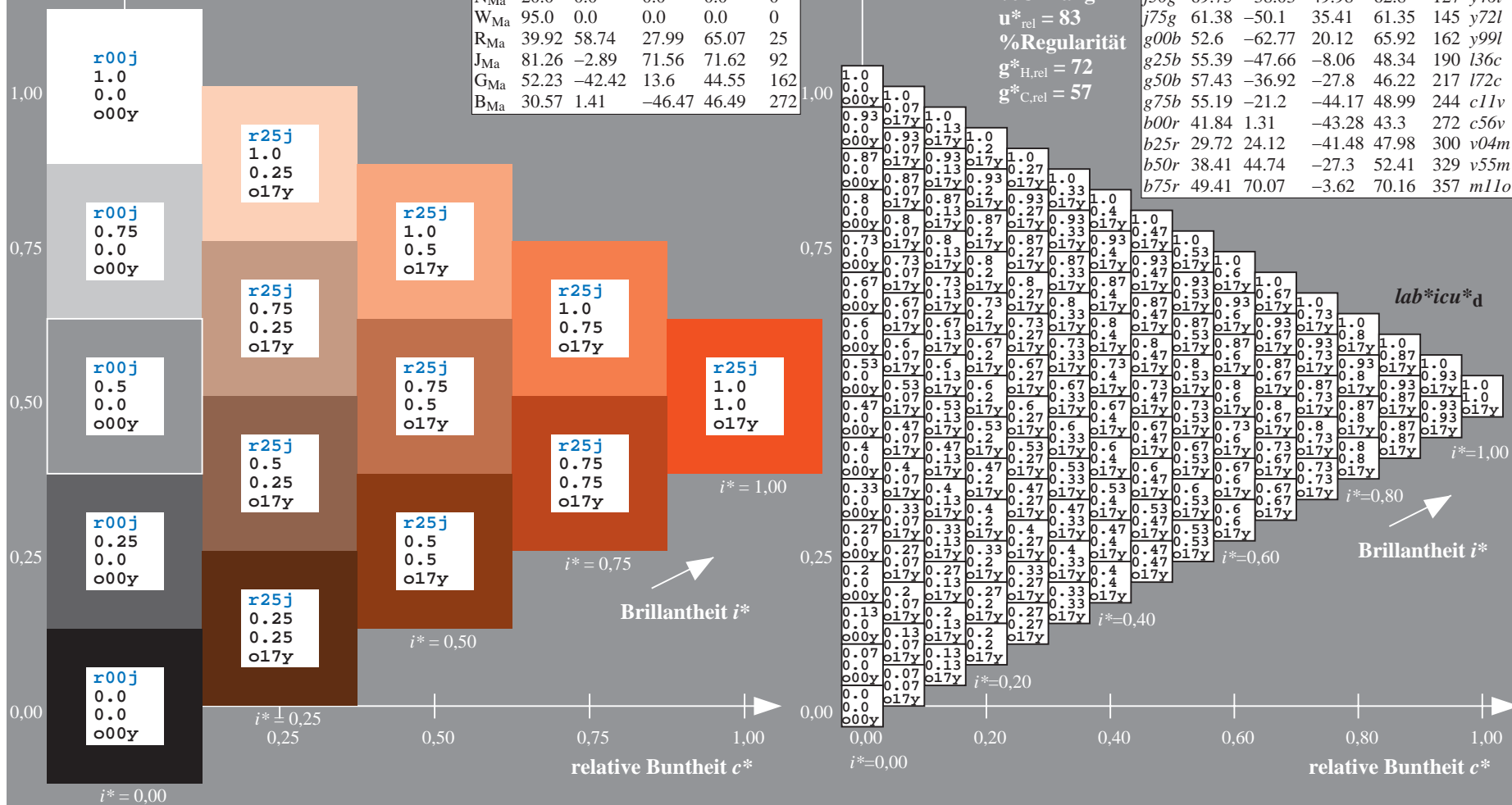
$u^*_{rel} = 83$

%Regularität

$g^*_{H,rel} = 72$

$g^*_{C,rel} = 57$

ORS20_95a; adaptierte CIELAB-Daten						
u^*_e	$L^*=L^*_a$	a^*_a	b^*_a	$C^*_{ab,a}$	$h^*_{ab,a}$	u^*_d
r00j	48.83	63.91	30.45	70.79	25	m84o
r25j	55.53	50.37	45.65	67.97	42	o17y
r50j	64.76	33.86	56.12	65.55	59	o42y
r75j	74.12	17.13	66.74	68.9	76	o67y
j00g	85.5	-3.22	79.65	79.72	92	o92y
j25g	79.45	-24.05	66.85	71.04	110	y20l
j50g	69.75	-38.03	49.98	62.8	127	y46l
j75g	61.38	-50.1	35.41	61.35	145	y72l
g00b	52.6	-62.77	20.12	65.92	162	y99l
g25b	55.39	-47.66	-8.06	48.34	190	l36c
g50b	57.43	-36.92	-27.8	46.22	217	l72c
g75b	55.19	-21.2	-44.17	48.99	244	c11v
b00r	41.84	1.31	-43.28	43.3	272	c56v
b25r	29.72	24.12	-41.48	47.98	300	v04m
b50r	38.41	44.74	-27.3	52.41	329	v55m
b75r	49.41	70.07	-3.62	70.16	357	m11o



Ein und Ausgabe: Farbmetrisches Drucker-Reflektiv-System ORS20_95a für relativen CIELAB-Buntton $h^* = lab^*h^* = h_{ab}/360 = 0.164$

Daten für jede Farbe:

lab^*ch^* und lab^*icu^*

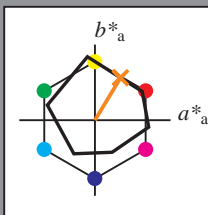
Bunttontexte:

$u^*_e = r50j$ $u^*_d = o42y$

Kontrastreduzierungsfaktor:

$c_R = 0.96$

Dreiecks-Helligkeit t^*



ORS20_95a; adaptierte CIELAB-Daten						
u^*_e	$L^*=L^*_a$	a^*_a	b^*_a	$C^*_{ab,a}$	$h^*_{ab,a}$	
O _{Ma}	48.71	62.56	37.91	73.15	31	
Y _{Ma}	89.25	-9.92	83.91	84.49	97	
L _{Ma}	52.5	-62.91	19.95	66.0	162	
C _{Ma}	59.15	-27.87	-44.43	52.45	238	
V _{Ma}	29.13	22.73	-42.44	48.14	298	
M _{Ma}	49.51	71.08	-9.19	71.67	353	
N _{Ma}	20.0	0.0	0.0	0.0	0	
W _{Ma}	95.0	0.0	0.0	0.0	0	
R _{Ma}	39.92	58.74	27.99	65.07	25	
J _{Ma}	81.26	-2.89	71.56	71.62	92	
G _{Ma}	52.23	-42.42	13.6	44.55	162	
B _{Ma}	30.57	1.41	-46.47	46.49	272	

Daten für Maximalfarbe (Ma):

$LAB^*LAB^*_{Ma}$: 65 34 56

$LAB^*LCH^*_{Ma}$: 65 66 58

$lab^*rgb^*_{Ma}$: 1.0 0.5 0.0

$lab^*olv^*_{Ma}$: 1.0 0.42 0.0

Dreiecks-Helligkeit t^*

%Umfang

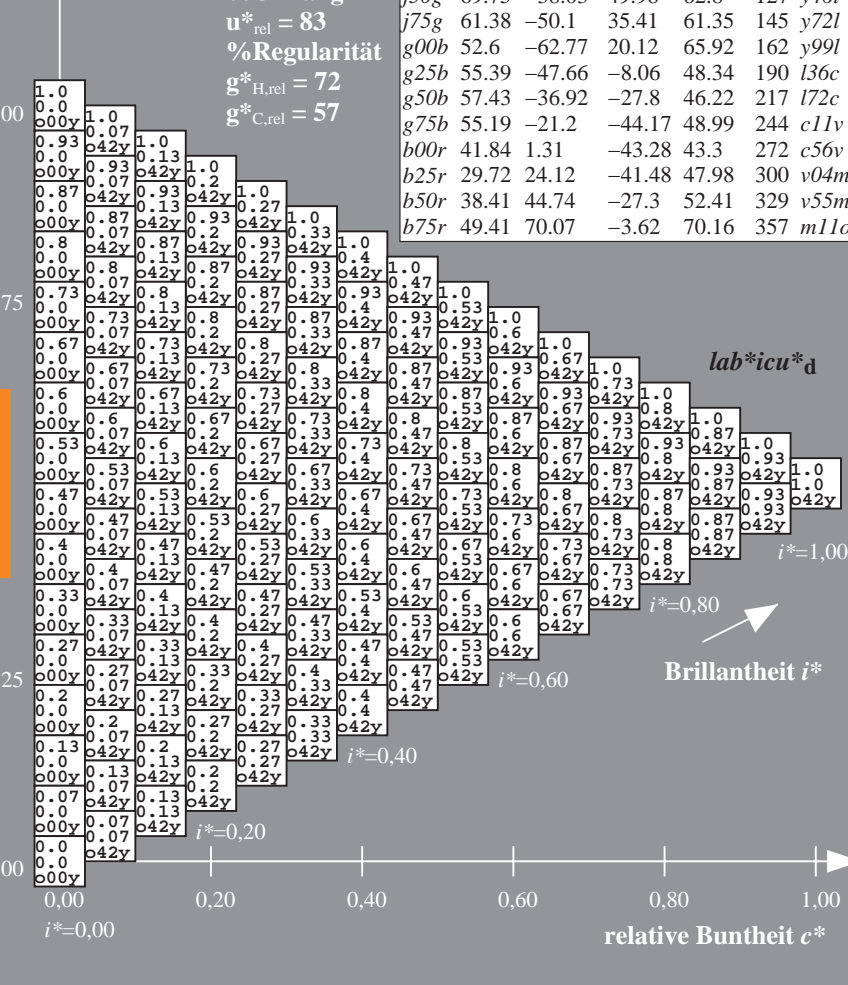
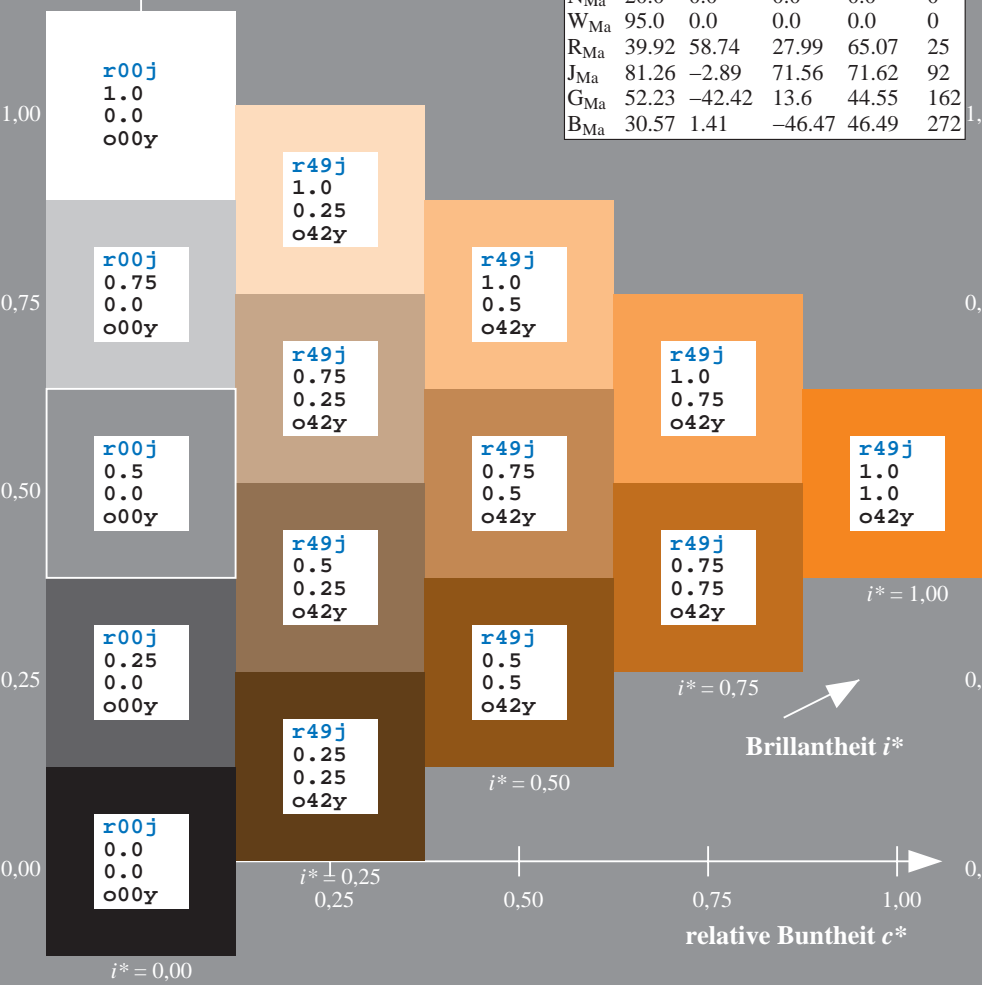
$u^*_{rel} = 83$

%Regularität

$g^*_{H,rel} = 72$

$g^*_{C,rel} = 57$

ORS20_95a; adaptierte CIELAB-Daten						
u^*_e	$L^*=L^*_a$	a^*_a	b^*_a	$C^*_{ab,a}$	$h^*_{ab,a}$	u^*_d
r00j	48.83	63.91	30.45	70.79	25	m84o
r25j	55.53	50.37	45.65	67.97	42	o17y
r50j	64.76	33.86	56.12	65.55	59	o42y
r75j	74.12	17.13	66.74	68.9	76	o67y
j00g	85.5	-3.22	79.65	79.72	92	o92y
j25g	79.45	-24.05	66.85	71.04	110	y20l
j50g	69.75	-38.03	49.98	62.8	127	y46l
j75g	61.38	-50.1	35.41	61.35	145	y72l
g00b	52.6	-62.77	20.12	65.92	162	y99l
g25b	55.39	-47.66	-8.06	48.34	190	l36c
g50b	57.43	-36.92	-27.8	46.22	217	l72c
g75b	55.19	-21.2	-44.17	48.99	244	c11v
b00r	41.84	1.31	-43.28	43.3	272	c56v
b25r	29.72	24.12	-41.48	47.98	300	v04m
b50r	38.41	44.74	-27.3	52.41	329	v55m
b75r	49.41	70.07	-3.62	70.16	357	m11o



Ein und Ausgabe: Farbmetrisches Drucker-Reflektiv-System ORS20_95a für relativen CIELAB-Buntton $h^* = \text{lab}^*h^* = h_{ab}/360 = 0.21$

Daten für jede Farbe:

lab^*tch^* und lab^*icu^*

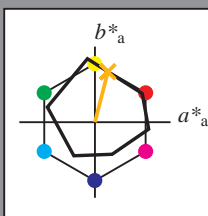
Bunttontexte:

$u^*_e = r75j$ $u^*_d = o67y$

Kontrastreduzierungsfaktor:

$c_R = 0.96$

Dreiecks-Helligkeit i^*



ORS20_95a; adaptierte CIELAB-Daten						
u^*_e	$L^*=L^*_a$	a^*_a	b^*_a	$C^*_{ab,a}$	$h^*_{ab,a}$	
O _{Ma}	48.71	62.56	37.91	73.15	31	
Y _{Ma}	89.25	-9.92	83.91	84.49	97	
L _{Ma}	52.5	-62.91	19.95	66.0	162	
C _{Ma}	59.15	-27.87	-44.43	52.45	238	
V _{Ma}	29.13	22.73	-42.44	48.14	298	
M _{Ma}	49.51	71.08	-9.19	71.67	353	
N _{Ma}	20.0	0.0	0.0	0.0	0	
W _{Ma}	95.0	0.0	0.0	0.0	0	
R _{Ma}	39.92	58.74	27.99	65.07	25	
J _{Ma}	81.26	-2.89	71.56	71.62	92	
G _{Ma}	52.23	-42.42	13.6	44.55	162	
B _{Ma}	30.57	1.41	-46.47	46.49	272	

Daten für Maximalfarbe (Ma):

$\text{LAB}^*\text{LAB}^*_{\text{Ma}}$: 74 17 67

$\text{LAB}^*\text{LCH}^*_{\text{Ma}}$: 74 69 75

$\text{lab}^*\text{rgb}^*_{\text{Ma}}$: 1.0 0.75 0.0

$\text{lab}^*\text{olv}^*_{\text{Ma}}$: 1.0 0.68 0.0

Dreiecks-Helligkeit i^*

%Umfang

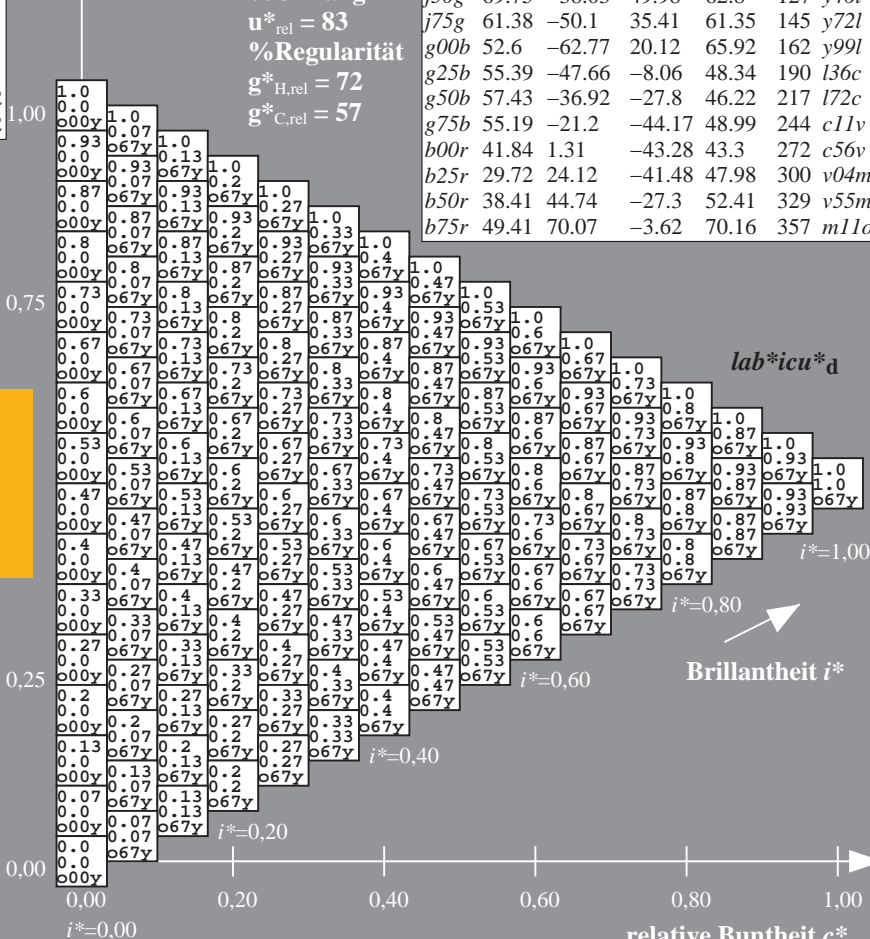
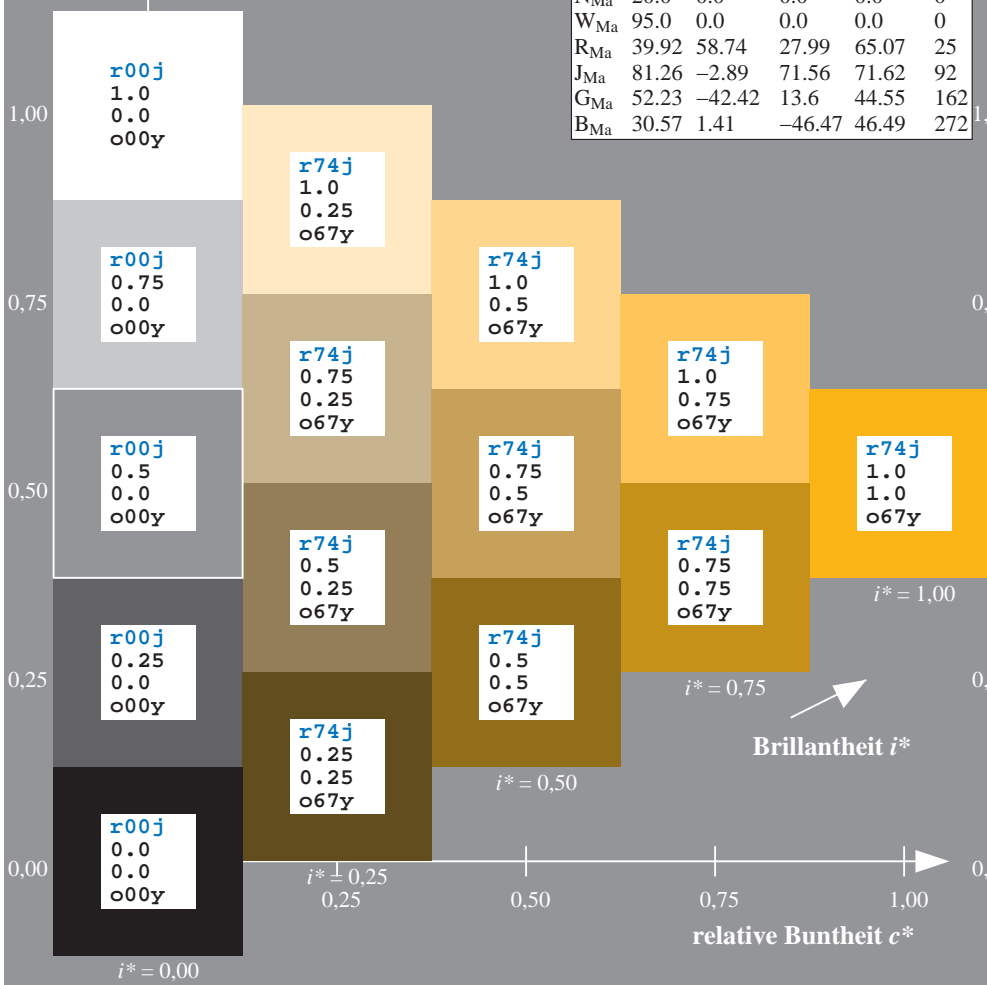
$u^*_{\text{rel}} = 83$

%Regularität

$g^*_{H,\text{rel}} = 72$

$g^*_{C,\text{rel}} = 57$

ORS20_95a; adaptierte CIELAB-Daten						
u^*_e	$L^*=L^*_a$	a^*_a	b^*_a	$C^*_{ab,a}$	$h^*_{ab,a}$	u^*_d
r00j	48.83	63.91	30.45	70.79	25	m84o
r25j	55.53	50.37	45.65	67.97	42	o17y
r50j	64.76	33.86	56.12	65.55	59	o42y
r75j	74.12	17.13	66.74	68.9	76	o67y
j00g	85.5	-3.22	79.65	79.72	92	o92y
j25g	79.45	-24.05	66.85	71.04	110	y20l
j50g	69.75	-38.03	49.98	62.8	127	y46l
j75g	61.38	-50.1	35.41	61.35	145	y72l
g00b	52.6	-62.77	20.12	65.92	162	y99l
g25b	55.39	-47.66	-8.06	48.34	190	l36c
g50b	57.43	-36.92	-27.8	46.22	217	l72c
g75b	55.19	-21.2	-44.17	48.99	244	c11v
b00r	41.84	1.31	-43.28	43.3	272	c56v
b25r	29.72	24.12	-41.48	47.98	300	v04m
b50r	38.41	44.74	-27.3	52.41	329	v55m
b75r	49.41	70.07	-3.62	70.16	357	m11o



Ein und Ausgabe: Farbmetrisches Drucker-Reflektiv-System ORS20_95a für relativen CIELAB-Buntton $h^* = lab^*h^* = h_{ab}/360 = 0.256$

Daten für jede Farbe:

lab^*ch^* und lab^*icu^*

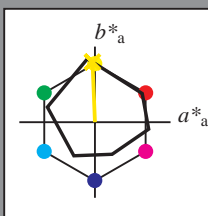
Bunttontexte:

$u^*_e = j00g$ $u^*_d = o92y$

Kontrastreduzierungsfaktor:

$c_R = 0.96$

Dreiecks-Helligkeit i^*



ORS20_95a; adaptierte CIELAB-Daten						
u^*_e	$L^*=L^*_a$	a^*_a	b^*_a	$C^*_{ab,a}$	$h^*_{ab,a}$	
O _{Ma}	48.71	62.56	37.91	73.15	31	
Y _{Ma}	89.25	-9.92	83.91	84.49	97	
L _{Ma}	52.5	-62.91	19.95	66.0	162	
C _{Ma}	59.15	-27.87	-44.43	52.45	238	
V _{Ma}	29.13	22.73	-42.44	48.14	298	
M _{Ma}	49.51	71.08	-9.19	71.67	353	
N _{Ma}	20.0	0.0	0.0	0.0	0	
W _{Ma}	95.0	0.0	0.0	0.0	0	
R _{Ma}	39.92	58.74	27.99	65.07	25	
J _{Ma}	81.26	-2.89	71.56	71.62	92	
G _{Ma}	52.23	-42.42	13.6	44.55	162	
B _{Ma}	30.57	1.41	-46.47	46.49	272	

Daten für Maximalfarbe (Ma):

$LAB^*LAB^*_{Ma}$: 86 -3 80

$LAB^*LCH^*_{Ma}$: 86 80 92

$lab^*rgb^*_{Ma}$: 1.0 1.0 0.0

$lab^*olv^*_{Ma}$: 1.0 0.93 0.0

Dreiecks-Helligkeit i^*

%Umfang

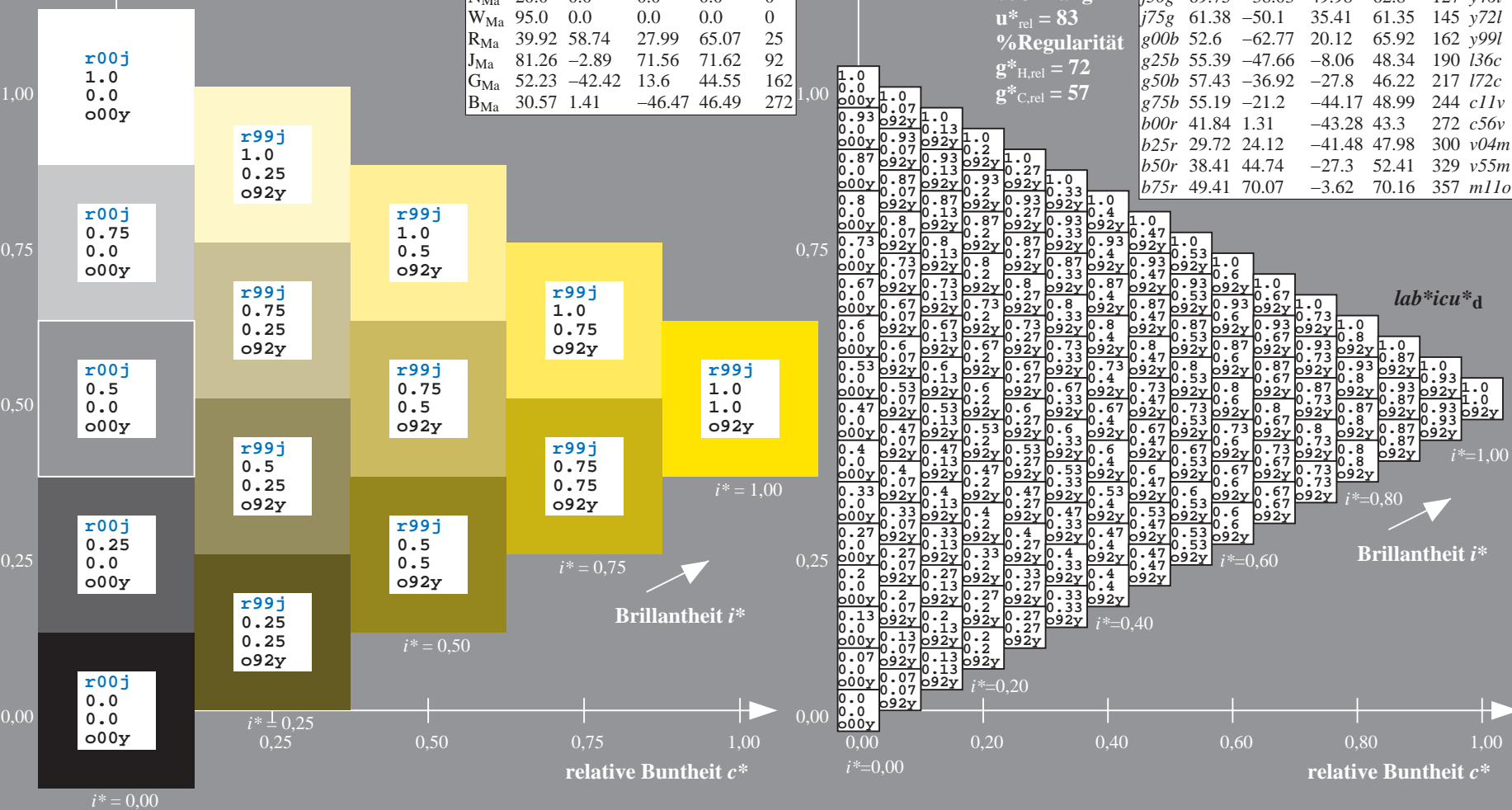
$u^*_{rel} = 83$

%Regularität

$g^*_{H,rel} = 72$

$g^*_{C,rel} = 57$

ORS20_95a; adaptierte CIELAB-Daten						
u^*_e	$L^*=L^*_a$	a^*_a	b^*_a	$C^*_{ab,a}$	$h^*_{ab,a}$	u^*_d
r00j	48.83	63.91	30.45	70.79	25	m84o
r25j	55.53	50.37	45.65	67.97	42	o17y
r50j	64.76	33.86	56.12	65.55	59	o42y
r75j	74.12	17.13	66.74	68.9	76	o67y
j00g	85.5	-3.22	79.65	79.72	92	o92y
j25g	79.45	-24.05	66.85	71.04	110	y20l
j50g	69.75	-38.03	49.98	62.8	127	y46l
j75g	61.38	-50.1	35.41	61.35	145	y72l
g00b	52.6	-62.77	20.12	65.92	162	y99l
g25b	55.39	-47.66	-8.06	48.34	190	l36c
g50b	57.43	-36.92	-27.8	46.22	217	l72c
g75b	55.19	-21.2	-44.17	48.99	244	c11v
b00r	41.84	1.31	-43.28	43.3	272	c56v
b25r	29.72	24.12	-41.48	47.98	300	v04m
b50r	38.41	44.74	-27.3	52.41	329	v55m
b75r	49.41	70.07	-3.62	70.16	357	m11o



Ein und Ausgabe: Farbmetrisches Drucker-Reflektiv-System ORS20_95a für relativen CIELAB-Buntton $h^* = \text{lab}^*h^* = h_{ab}/360 = 0.305$

Daten für jede Farbe:

lab^*tch^* und lab^*icu^*

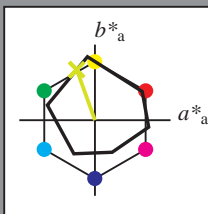
Bunttontexte:

$u^*_e = j25g$ $u^*_d = y20l$

Kontrastreduzierungsfaktor:

$c_R = 0.96$

Dreiecks-Helligkeit i^*



ORS20_95a; adaptierte CIELAB-Daten						
u^*_e	$L^*=L^*_a$	a^*_a	b^*_a	$C^*_{ab,a}$	$h^*_{ab,a}$	
O _{Ma}	48.71	62.56	37.91	73.15	31	
Y _{Ma}	89.25	-9.92	83.91	84.49	97	
L _{Ma}	52.5	-62.91	19.95	66.0	162	
C _{Ma}	59.15	-27.87	-44.43	52.45	238	
V _{Ma}	29.13	22.73	-42.44	48.14	298	
M _{Ma}	49.51	71.08	-9.19	71.67	353	
N _{Ma}	20.0	0.0	0.0	0.0	0	
W _{Ma}	95.0	0.0	0.0	0.0	0	
R _{Ma}	39.92	58.74	27.99	65.07	25	
J _{Ma}	81.26	-2.89	71.56	71.62	92	
G _{Ma}	52.23	-42.42	13.6	44.55	162	
B _{Ma}	30.57	1.41	-46.47	46.49	272	

Daten für Maximalfarbe (Ma):

$\text{LAB}^*\text{LAB}^*_{\text{Ma}}$: 79 -24 67

$\text{LAB}^*\text{LCH}^*_{\text{Ma}}$: 79 71 109

$\text{lab}^*\text{rgb}^*_{\text{Ma}}$: 0.75 1.0 0.0

$\text{lab}^*\text{olv}^*_{\text{Ma}}$: 0.8 1.0 0.0

Dreiecks-Helligkeit i^*

%Umfang

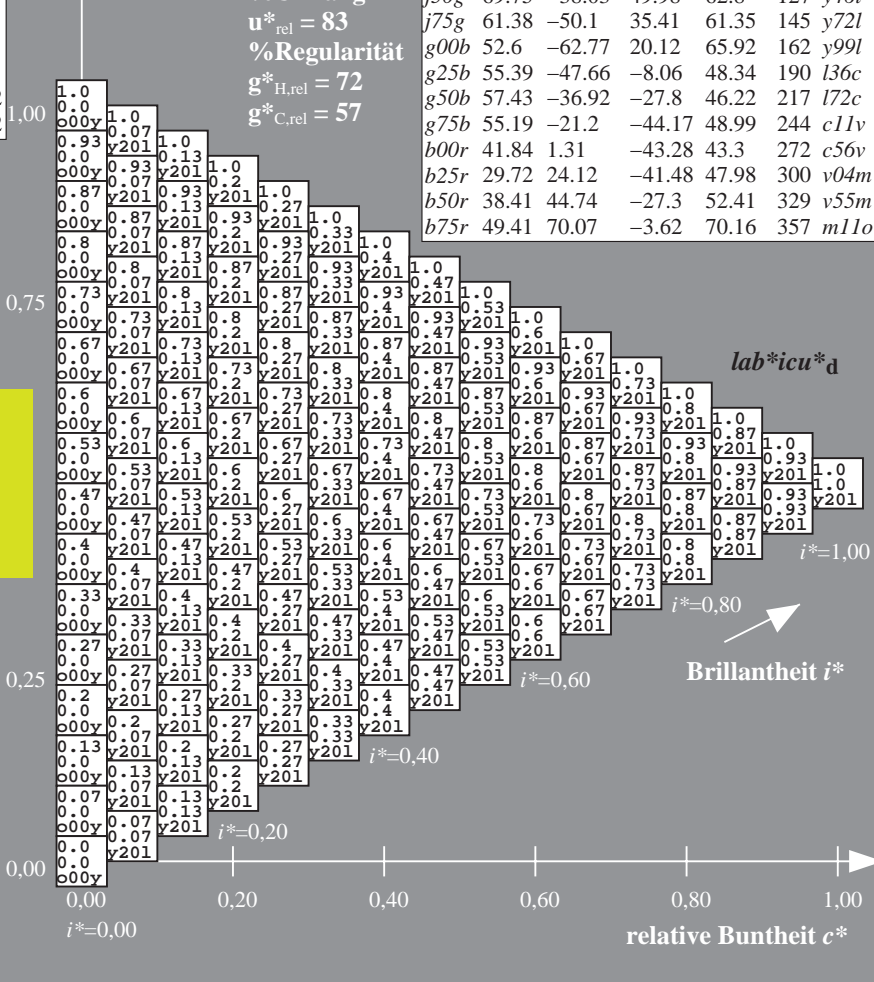
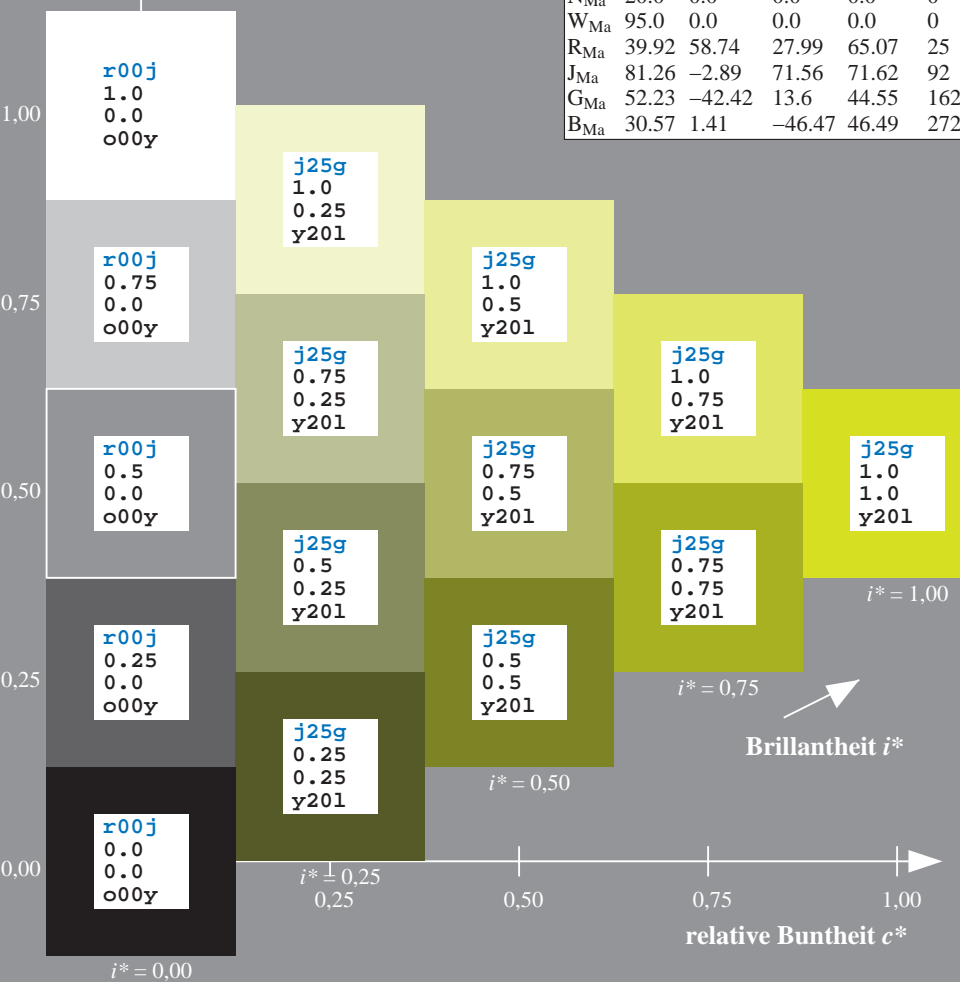
$u^*_{\text{rel}} = 83$

%Regularität

$g^*_{H,\text{rel}} = 72$

$g^*_{C,\text{rel}} = 57$

ORS20_95a; adaptierte CIELAB-Daten						
u^*_e	$L^*=L^*_a$	a^*_a	b^*_a	$C^*_{ab,a}$	$h^*_{ab,a}$	u^*_d
r00j	48.83	63.91	30.45	70.79	25	m84o
r25j	55.53	50.37	45.65	67.97	42	o17y
r50j	64.76	33.86	56.12	65.55	59	o42y
r75j	74.12	17.13	66.74	68.9	76	o67y
j00g	85.5	-3.22	79.65	79.72	92	o92y
j25g	79.45	-24.05	66.85	71.04	110	y20l
j50g	69.75	-38.03	49.98	62.8	127	y46l
j75g	61.38	-50.1	35.41	61.35	145	y72l
g00b	52.6	-62.77	20.12	65.92	162	y99l
g25b	55.39	-47.66	-8.06	48.34	190	l36c
g50b	57.43	-36.92	-27.8	46.22	217	l72c
g75b	55.19	-21.2	-44.17	48.99	244	c11v
b00r	41.84	1.31	-43.28	43.3	272	c56v
b25r	29.72	24.12	-41.48	47.98	300	v04m
b50r	38.41	44.74	-27.3	52.41	329	v55m
b75r	49.41	70.07	-3.62	70.16	357	m11o



Ein und Ausgabe: Farbmetrisches Drucker-Reflektiv-System ORS20_95a für relativen CIELAB-Buntton $h^* = \text{lab}^*h^* = h_{ab}/360 = 0.354$

Daten für jede Farbe:

lab^*tch^* und lab^*icu^*

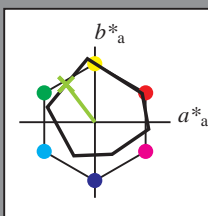
Bunttontexte:

$u^*_e = j50g$ $u^*_d = y46l$

Kontrastreduzierungsfaktor:

$c_R = 0.96$

Dreiecks-Helligkeit i^*



ORS20_95a; adaptierte CIELAB-Daten						
u^*_e	$L^*=L^*_a$	a^*_a	b^*_a	$C^*_{ab,a}$	$h^*_{ab,a}$	
O _{Ma}	48.71	62.56	37.91	73.15	31	
Y _{Ma}	89.25	-9.92	83.91	84.49	97	
L _{Ma}	52.5	-62.91	19.95	66.0	162	
C _{Ma}	59.15	-27.87	-44.43	52.45	238	
V _{Ma}	29.13	22.73	-42.44	48.14	298	
M _{Ma}	49.51	71.08	-9.19	71.67	353	
N _{Ma}	20.0	0.0	0.0	0.0	0	
W _{Ma}	95.0	0.0	0.0	0.0	0	
R _{Ma}	39.92	58.74	27.99	65.07	25	
J _{Ma}	81.26	-2.89	71.56	71.62	92	
G _{Ma}	52.23	-42.42	13.6	44.55	162	
B _{Ma}	30.57	1.41	-46.47	46.49	272	

Daten für Maximalfarbe (Ma):

$\text{LAB}^*\text{LAB}^*_{\text{Ma}}$: 70 -38 50

$\text{LAB}^*\text{LCH}^*_{\text{Ma}}$: 70 63 127

$\text{lab}^*\text{rgb}^*_{\text{Ma}}$: 0.5 1.0 0.0

$\text{lab}^*\text{olv}^*_{\text{Ma}}$: 0.54 1.0 0.0

Dreiecks-Helligkeit i^*

%Umfang

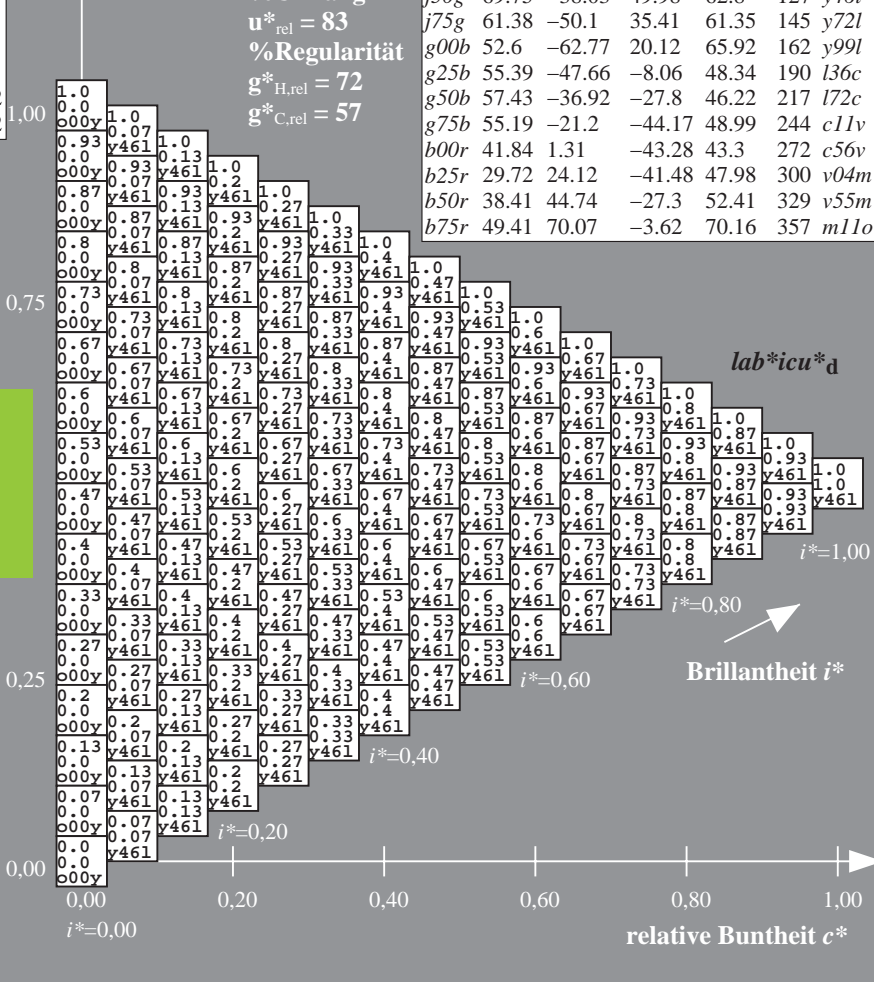
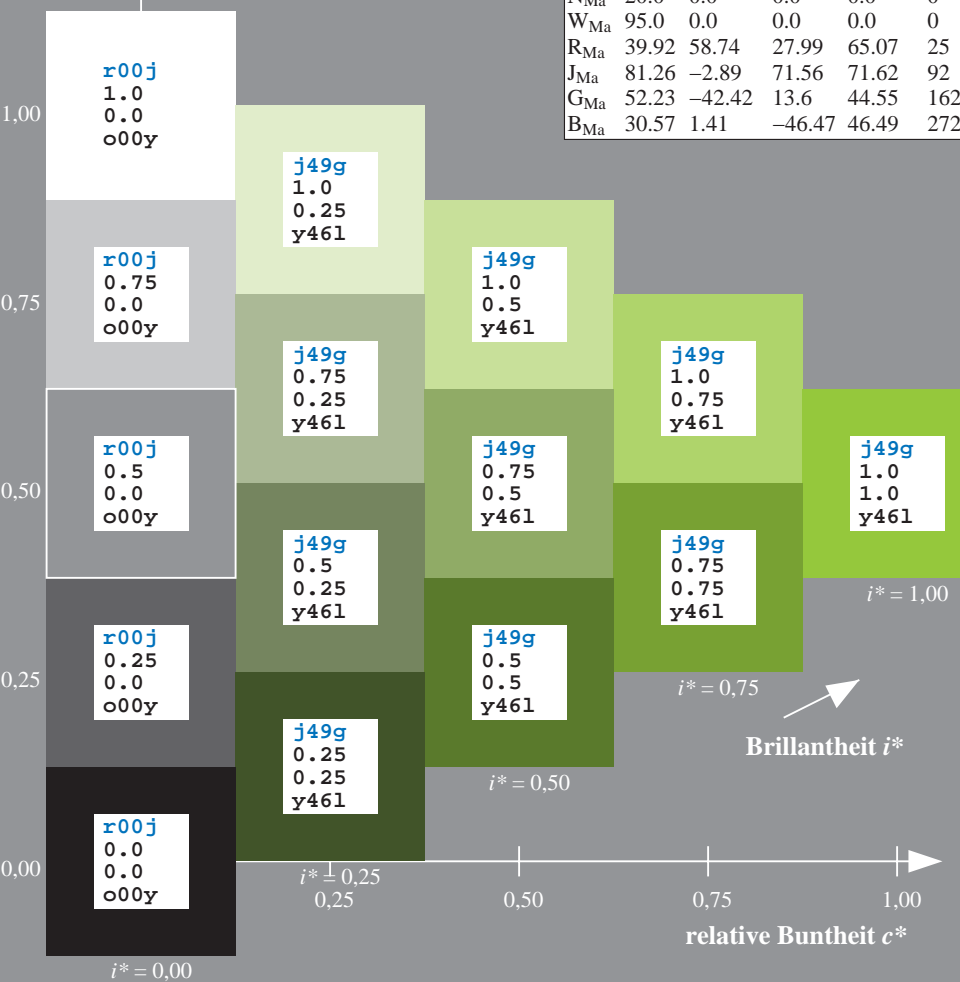
$u^*_{\text{rel}} = 83$

%Regularität

$g^*_{H,\text{rel}} = 72$

$g^*_{C,\text{rel}} = 57$

ORS20_95a; adaptierte CIELAB-Daten						
u^*_e	$L^*=L^*_a$	a^*_a	b^*_a	$C^*_{ab,a}$	$h^*_{ab,a}$	u^*_d
r00j	48.83	63.91	30.45	70.79	25	m84o
r25j	55.53	50.37	45.65	67.97	42	o17y
r50j	64.76	33.86	56.12	65.55	59	o42y
r75j	74.12	17.13	66.74	68.9	76	o67y
j00g	85.5	-3.22	79.65	79.72	92	o92y
j25g	79.45	-24.05	66.85	71.04	110	y20l
j50g	69.75	-38.03	49.98	62.8	127	y46l
j75g	61.38	-50.1	35.41	61.35	145	y72l
g00b	52.6	-62.77	20.12	65.92	162	y99l
g25b	55.39	-47.66	-8.06	48.34	190	l36c
g50b	57.43	-36.92	-27.8	46.22	217	l72c
g75b	55.19	-21.2	-44.17	48.99	244	c11v
b00r	41.84	1.31	-43.28	43.3	272	c56v
b25r	29.72	24.12	-41.48	47.98	300	v04m
b50r	38.41	44.74	-27.3	52.41	329	v55m
b75r	49.41	70.07	-3.62	70.16	357	m11o



Ein und Ausgabe: Farbmetrisches Drucker-Reflektiv-System ORS20_95a für relativen CIELAB-Buntton $h^* = lab^*h^* = h_{ab}/360 = 0.402$

Daten für jede Farbe:

lab^*ch^* und lab^*icu^*

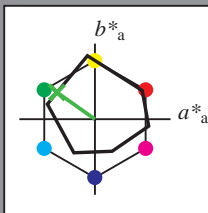
Bunttontexte:

$u^*_e = j75g$ $u^*_d = y72l$

Kontrastreduzierungsfaktor:

$c_R = 0.96$

Dreiecks-Helligkeit i^*



ORS20_95a; adaptierte CIELAB-Daten

u^*_e	$L^*=L^*_a$	a^*_a	b^*_a	$C^*_{ab,a}$	$h^*_{ab,a}$
O _{Ma}	48.71	62.56	37.91	73.15	31
Y _{Ma}	89.25	-9.92	83.91	84.49	97
L _{Ma}	52.5	-62.91	19.95	66.0	162
C _{Ma}	59.15	-27.87	-44.43	52.45	238
V _{Ma}	29.13	22.73	-42.44	48.14	298
M _{Ma}	49.51	71.08	-9.19	71.67	353
N _{Ma}	20.0	0.0	0.0	0.0	0
W _{Ma}	95.0	0.0	0.0	0.0	0
R _{Ma}	39.92	58.74	27.99	65.07	25
J _{Ma}	81.26	-2.89	71.56	71.62	92
G _{Ma}	52.23	-42.42	13.6	44.55	162
B _{Ma}	30.57	1.41	-46.47	46.49	272

Daten für Maximalfarbe (Ma):

$LAB^*LAB^*_{Ma}$: 61 -50 35

$LAB^*LCH^*_{Ma}$: 61 61 144

$lab^*rgb^*_{Ma}$: 0.25 1.0 0.0

$lab^*olv^*_{Ma}$: 0.27 1.0 0.0

Dreiecks-Helligkeit i^*

%Umfang

$u^*_{rel} = 83$

%Regularität

$g^*_{H,rel} = 72$

$g^*_{C,rel} = 57$

ORS20_95a; adaptierte CIELAB-Daten

u^*_e	$L^*=L^*_a$	a^*_a	b^*_a	$C^*_{ab,a}$	$h^*_{ab,a}$	u^*_d
r00j	48.83	63.91	30.45	70.79	25	m84o
r25j	55.53	50.37	45.65	67.97	42	o17y
r50j	64.76	33.86	56.12	65.55	59	o42y
r75j	74.12	17.13	66.74	68.9	76	o67y
j00g	85.5	-3.22	79.65	79.72	92	o92y
j25g	79.45	-24.05	66.85	71.04	110	y20l
j50g	69.75	-38.03	49.98	62.8	127	y46l
j75g	61.38	-50.1	35.41	61.35	145	y72l
g00b	52.6	-62.77	20.12	65.92	162	y99l
g25b	55.39	-47.66	-8.06	48.34	190	l36c
g50b	57.43	-36.92	-27.8	46.22	217	l72c
g75b	55.19	-21.2	-44.17	48.99	244	c11v
b00r	41.84	1.31	-43.28	43.3	272	c56v
b25r	29.72	24.12	-41.48	47.98	300	v04m
b50r	38.41	44.74	-27.3	52.41	329	v55m
b75r	49.41	70.07	-3.62	70.16	357	m11o

$lab^*icu^*_d$

$i^* = 1.00$

Brillantheit i^*

$i^* = 0.80$

$i^* = 0.60$

$i^* = 0.40$

$i^* = 0.20$

$i^* = 0.00$

relative Buntheit c^*

Ein und Ausgabe: Farbmetrisches Drucker-Reflektiv-System ORS20_95a für relativen CIELAB-Buntton $h^* = lab^*h^* = h_{ab}/360 = 0.451$

Daten für jede Farbe:

lab^*tch^* und lab^*icu^*

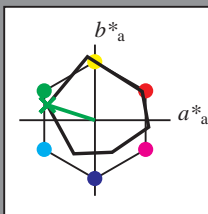
Bunttontexte:

$u^*_e = g00b$ $u^*_d = y99l$

Kontrastreduzierungsfaktor:

$c_R = 0.96$

Dreiecks-Helligkeit t^*



ORS20_95a; adaptierte CIELAB-Daten

u^*_e	$L^*=L^*_a$	a^*_a	b^*_a	$C^*_{ab,a}$	$h^*_{ab,a}$
O _{Ma}	48.71	62.56	37.91	73.15	31
Y _{Ma}	89.25	-9.92	83.91	84.49	97
L _{Ma}	52.5	-62.91	19.95	66.0	162
C _{Ma}	59.15	-27.87	-44.43	52.45	238
V _{Ma}	29.13	22.73	-42.44	48.14	298
M _{Ma}	49.51	71.08	-9.19	71.67	353
N _{Ma}	20.0	0.0	0.0	0.0	0
W _{Ma}	95.0	0.0	0.0	0.0	0
R _{Ma}	39.92	58.74	27.99	65.07	25
J _{Ma}	81.26	-2.89	71.56	71.62	92
G _{Ma}	52.23	-42.42	13.6	44.55	162
B _{Ma}	30.57	1.41	-46.47	46.49	272

Daten für Maximalfarbe (Ma):

$LAB^*LAB^*_{Ma}$: 53 -63 20

$LAB^*LCH^*_{Ma}$: 53 66 162

$lab^*rgb^*_{Ma}$: 0.0 1.0 0.0

$lab^*olv^*_{Ma}$: 0.0 1.0 0.0

Dreiecks-Helligkeit t^*

%Umfang

$u^*_{rel} = 83$

%Regularität

$g^*_{H,rel} = 72$

$g^*_{C,rel} = 57$

ORS20_95a; adaptierte CIELAB-Daten

u^*_e	$L^*=L^*_a$	a^*_a	b^*_a	$C^*_{ab,a}$	$h^*_{ab,a}$	u^*_d
r00j	48.83	63.91	30.45	70.79	25	m84o
r25j	55.53	50.37	45.65	67.97	42	o17y
r50j	64.76	33.86	56.12	65.55	59	o42y
r75j	74.12	17.13	66.74	68.9	76	o67y
j00g	85.5	-3.22	79.65	79.72	92	o92y
j25g	79.45	-24.05	66.85	71.04	110	y20l
j50g	69.75	-38.03	49.98	62.8	127	y46l
j75g	61.38	-50.1	35.41	61.35	145	y72l
g00b	52.6	-62.77	20.12	65.92	162	y99l
g25b	55.39	-47.66	-8.06	48.34	190	l36c
g50b	57.43	-36.92	-27.8	46.22	217	l72c
g75b	55.19	-21.2	-44.17	48.99	244	c11v
b00r	41.84	1.31	-43.28	43.3	272	c56v
b25r	29.72	24.12	-41.48	47.98	300	v04m
b50r	38.41	44.74	-27.3	52.41	329	v55m
b75r	49.41	70.07	-3.62	70.16	357	m11o

$lab^*icu^*_d$

$i^* = 1.00$

Brillantheit i^*

$i^* = 0.80$

$i^* = 0.60$

$i^* = 0.40$

$i^* = 0.20$

$i^* = 0.00$

relative Bunttheit c^*

relative Bunttheit c^*

Ein und Ausgabe: Farbmimetrisches Drucker-Reflektiv-System ORS20_95a für relativen CIELAB-Buntton $h^* = \text{lab}^*h^* = h_{ab}/360 = 0.527$

Daten für jede Farbe:

lab^*tch^* und lab^*icu^*

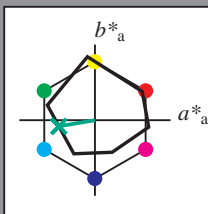
Bunttontexte:

$u^*_e = g25b$ $u^*_d = l36c$

Kontrastreduzierungsfaktor:

$c_R = 0.96$

Dreiecks-Helligkeit i^*



ORS20_95a; adaptierte CIELAB-Daten

u^*_e	$L^*=L^*_a$	a^*_a	b^*_a	$C^*_{ab,a}$	$h^*_{ab,a}$
O _{Ma}	48.71	62.56	37.91	73.15	31
Y _{Ma}	89.25	-9.92	83.91	84.49	97
L _{Ma}	52.5	-62.91	19.95	66.0	162
C _{Ma}	59.15	-27.87	-44.43	52.45	238
V _{Ma}	29.13	22.73	-42.44	48.14	298
M _{Ma}	49.51	71.08	-9.19	71.67	353
N _{Ma}	20.0	0.0	0.0	0.0	0
W _{Ma}	95.0	0.0	0.0	0.0	0
R _{Ma}	39.92	58.74	27.99	65.07	25
J _{Ma}	81.26	-2.89	71.56	71.62	92
G _{Ma}	52.23	-42.42	13.6	44.55	162
B _{Ma}	30.57	1.41	-46.47	46.49	272

Daten für Maximalfarbe (Ma):

$\text{LAB}^*\text{LAB}^*_{\text{Ma}}$: 55 -48 -8

$\text{LAB}^*\text{LCH}^*_{\text{Ma}}$: 55 48 189

$\text{lab}^*\text{rgb}^*_{\text{Ma}}$: 0.0 1.0 0.5

$\text{lab}^*\text{olv}^*_{\text{Ma}}$: 0.0 1.0 0.36

Dreiecks-Helligkeit i^*

%Umfang

$u^*_{\text{rel}} = 83$

%Regularität

$g^*_{H,\text{rel}} = 72$

$g^*_{C,\text{rel}} = 57$

ORS20_95a; adaptierte CIELAB-Daten

u^*_e	$L^*=L^*_a$	a^*_a	b^*_a	$C^*_{ab,a}$	$h^*_{ab,a}$	u^*_d
r00j	48.83	63.91	30.45	70.79	25	m84o
r25j	55.53	50.37	45.65	67.97	42	o17y
r50j	64.76	33.86	56.12	65.55	59	o42y
r75j	74.12	17.13	66.74	68.9	76	o67y
j00g	85.5	-3.22	79.65	79.72	92	o92y
j25g	79.45	-24.05	66.85	71.04	110	y20l
j50g	69.75	-38.03	49.98	62.8	127	y46l
j75g	61.38	-50.1	35.41	61.35	145	y72l
g00b	52.6	-62.77	20.12	65.92	162	y99l
g25b	55.39	-47.66	-8.06	48.34	190	l36c
g50b	57.43	-36.92	-27.8	46.22	217	l72c
g75b	55.19	-21.2	-44.17	48.99	244	c11v
b00r	41.84	1.31	-43.28	43.3	272	c56v
b25r	29.72	24.12	-41.48	47.98	300	v04m
b50r	38.41	44.74	-27.3	52.41	329	v55m
b75r	49.41	70.07	-3.62	70.16	357	m11o

$\text{lab}^*\text{icu}^*_d$

$i^* = 1.00$

Brillantheit i^*

$i^* = 0.80$

$i^* = 0.60$

$i^* = 0.40$

$i^* = 0.20$

$i^* = 0.00$

relative Buntheit c^*

Ein und Ausgabe: Farbmetrisches Drucker-Reflektiv-System ORS20_95a für relativen CIELAB-Buntton $h^* = lab^*h^* = h_{ab}/360 = 0.603$

Daten für jede Farbe:

lab^*ch^* und lab^*icu^*

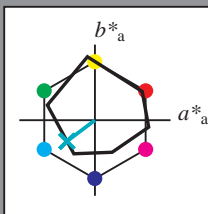
Bunttontexte:

$u^*_e = g50b$ $u^*_d = l72c$

Kontrastreduzierungsfaktor:

$c_R = 0.96$

Dreiecks-Helligkeit i^*



ORS20_95a; adaptierte CIELAB-Daten

	u^*_e	$L^*=L^*_a$	a^*_a	b^*_a	$C^*_{ab,a}$	$h^*_{ab,a}$
O _{Ma}	48.71	62.56	37.91	73.15	31	
Y _{Ma}	89.25	-9.92	83.91	84.49	97	
L _{Ma}	52.5	-62.91	19.95	66.0	162	
C _{Ma}	59.15	-27.87	-44.43	52.45	238	
V _{Ma}	29.13	22.73	-42.44	48.14	298	
M _{Ma}	49.51	71.08	-9.19	71.67	353	
N _{Ma}	20.0	0.0	0.0	0.0	0	
W _{Ma}	95.0	0.0	0.0	0.0	0	
R _{Ma}	39.92	58.74	27.99	65.07	25	
J _{Ma}	81.26	-2.89	71.56	71.62	92	
G _{Ma}	52.23	-42.42	13.6	44.55	162	
B _{Ma}	30.57	1.41	-46.47	46.49	272	

Daten für Maximalfarbe (Ma):

$LAB^*LAB^*_{Ma}$: 57 -37 -28

$LAB^*LCH^*_{Ma}$: 57 46 216

$lab^*rgb^*_{Ma}$: 0.0 1.0 1.0

$lab^*olv^*_{Ma}$: 0.0 1.0 0.72

Dreiecks-Helligkeit i^*

%Umfang

$u^*_{rel} = 83$

%Regularität

$g^*_{H,rel} = 72$

$g^*_{C,rel} = 57$

ORS20_95a; adaptierte CIELAB-Daten

	u^*_e	$L^*=L^*_a$	a^*_a	b^*_a	$C^*_{ab,a}$	$h^*_{ab,a}$	u^*_d
r00j	48.83	63.91	30.45	70.79	25	m84o	
r25j	55.53	50.37	45.65	67.97	42	o17y	
r50j	64.76	33.86	56.12	65.55	59	o42y	
r75j	74.12	17.13	66.74	68.9	76	o67y	
j00g	85.5	-3.22	79.65	79.72	92	o92y	
j25g	79.45	-24.05	66.85	71.04	110	y20l	
j50g	69.75	-38.03	49.98	62.8	127	y46l	
j75g	61.38	-50.1	35.41	61.35	145	y72l	
g00b	52.6	-62.77	20.12	65.92	162	y99l	
g25b	55.39	-47.66	-8.06	48.34	190	l36c	
g50b	57.43	-36.92	-27.8	46.22	217	l72c	
g75b	55.19	-21.2	-44.17	48.99	244	c11v	
b00r	41.84	1.31	-43.28	43.3	272	c56v	
b25r	29.72	24.12	-41.48	47.98	300	v04m	
b50r	38.41	44.74	-27.3	52.41	329	v55m	
b75r	49.41	70.07	-3.62	70.16	357	m11o	

$lab^*icu^*_d$

$i^* = 1.00$

Brillantheit i^*

$i^* = 0.80$

$i^* = 0.60$

$i^* = 0.40$

$i^* = 0.20$

$i^* = 0.00$

relative Bunttheit c^*

Ein und Ausgabe: Farbmetrisches Drucker-Reflektiv-System ORS20_95a für relativen CIELAB-Buntton $h^* = lab^*h^* = h_{ab}/360 = 0.679$

Daten für jede Farbe:

lab^*ch^* und lab^*icu^*

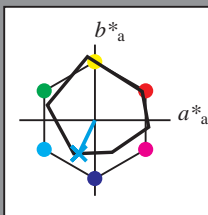
Bunttontexte:

$u^*_e = g75b$ $u^*_d = c11v$

Kontrastreduzierungsfaktor:

$c_R = 0.96$

Dreiecks-Helligkeit t^*



ORS20_95a; adaptierte CIELAB-Daten						
u^*_e	$L^*=L^*_a$	a^*_a	b^*_a	$C^*_{ab,a}$	$h^*_{ab,a}$	u^*_d
O _{Ma}	48.71	62.56	37.91	73.15	31	
Y _{Ma}	89.25	-9.92	83.91	84.49	97	
L _{Ma}	52.5	-62.91	19.95	66.0	162	
C _{Ma}	59.15	-27.87	-44.43	52.45	238	
V _{Ma}	29.13	22.73	-42.44	48.14	298	
M _{Ma}	49.51	71.08	-9.19	71.67	353	
N _{Ma}	20.0	0.0	0.0	0.0	0	
W _{Ma}	95.0	0.0	0.0	0.0	0	
R _{Ma}	39.92	58.74	27.99	65.07	25	
J _{Ma}	81.26	-2.89	71.56	71.62	92	
G _{Ma}	52.23	-42.42	13.6	44.55	162	
B _{Ma}	30.57	1.41	-46.47	46.49	272	

Daten für Maximalfarbe (Ma):

$LAB^*LAB^*_{Ma}$: 55 -21 -44

$LAB^*LCH^*_{Ma}$: 55 49 244

$lab^*rgb^*_{Ma}$: 0.0 0.5 1.0

$lab^*olv^*_{Ma}$: 0.0 0.89 1.0

Dreiecks-Helligkeit t^*

%Umfang

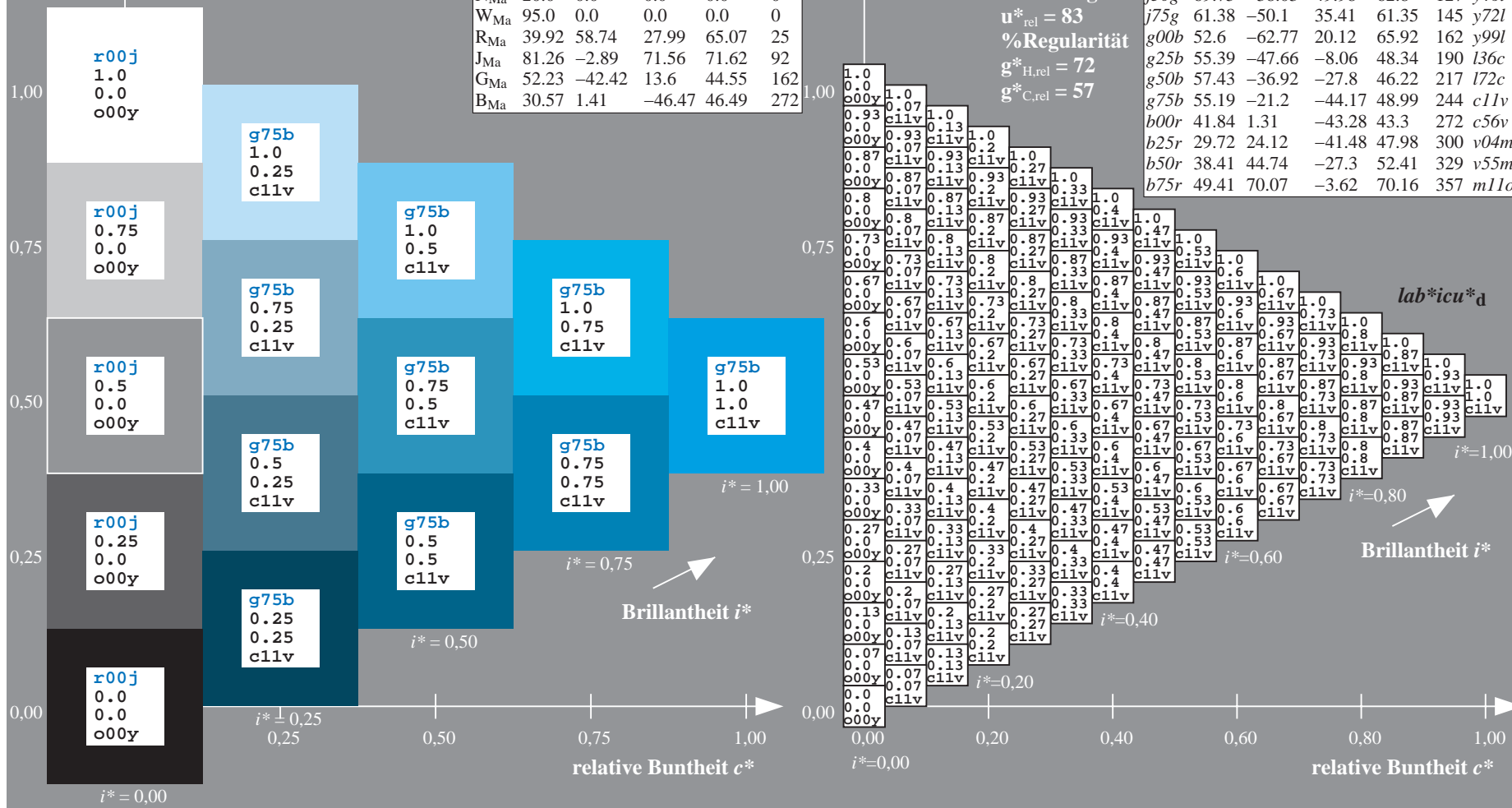
$u^*_{rel} = 83$

%Regularität

$g^*_{H,rel} = 72$

$g^*_{C,rel} = 57$

ORS20_95a; adaptierte CIELAB-Daten						
u^*_e	$L^*=L^*_a$	a^*_a	b^*_a	$C^*_{ab,a}$	$h^*_{ab,a}$	u^*_d
r00j	48.83	63.91	30.45	70.79	25	m84o
r25j	55.53	50.37	45.65	67.97	42	o17y
r50j	64.76	33.86	56.12	65.55	59	o42y
r75j	74.12	17.13	66.74	68.9	76	o67y
j00g	85.5	-3.22	79.65	79.72	92	o92y
j25g	79.45	-24.05	66.85	71.04	110	y20l
j50g	69.75	-38.03	49.98	62.8	127	y46l
j75g	61.38	-50.1	35.41	61.35	145	y72l
g00b	52.6	-62.77	20.12	65.92	162	y99l
g25b	55.39	-47.66	-8.06	48.34	190	l36c
g50b	57.43	-36.92	-27.8	46.22	217	l72c
g75b	55.19	-21.2	-44.17	48.99	244	c11v
b00r	41.84	1.31	-43.28	43.3	272	c56v
b25r	29.72	24.12	-41.48	47.98	300	v04m
b50r	38.41	44.74	-27.3	52.41	329	v55m
b75r	49.41	70.07	-3.62	70.16	357	m11o



Ein und Ausgabe: Farbmetrisches Drucker-Reflektiv-System ORS20_95a für relativen CIELAB-Buntton $h^* = lab^*h^* = h_{ab}/360 = 0.755$

Daten für jede Farbe:

lab^*tch^* und lab^*icu^*

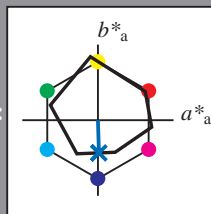
Bunttontexte:

$u^*_e = b00r$ $u^*_d = c56v$

Kontrastreduzierungsfaktor:

$c_R = 0.96$

Dreiecks-Helligkeit i^*



ORS20_95a; adaptierte CIELAB-Daten						
u^*_e	$L^*=L^*_a$	a^*_a	b^*_a	$C^*_{ab,a}$	$h^*_{ab,a}$	u^*_d
O _{Ma}	48.71	62.56	37.91	73.15	31	
Y _{Ma}	89.25	-9.92	83.91	84.49	97	
L _{Ma}	52.5	-62.91	19.95	66.0	162	
C _{Ma}	59.15	-27.87	-44.43	52.45	238	
V _{Ma}	29.13	22.73	-42.44	48.14	298	
M _{Ma}	49.51	71.08	-9.19	71.67	353	
N _{Ma}	20.0	0.0	0.0	0.0	0	
W _{Ma}	95.0	0.0	0.0	0.0	0	
R _{Ma}	39.92	58.74	27.99	65.07	25	
J _{Ma}	81.26	-2.89	71.56	71.62	92	
G _{Ma}	52.23	-42.42	13.6	44.55	162	
B _{Ma}	30.57	1.41	-46.47	46.49	272	

Daten für Maximalfarbe (Ma):

$LAB^*LAB^*_{Ma}$: 42 1 -43

$LAB^*LCH^*_{Ma}$: 42 43 271

$lab^*rgb^*_{Ma}$: 0.0 0.0 1.0

$lab^*olv^*_{Ma}$: 0.0 0.44 1.0

Dreiecks-Helligkeit i^*

%Umfang

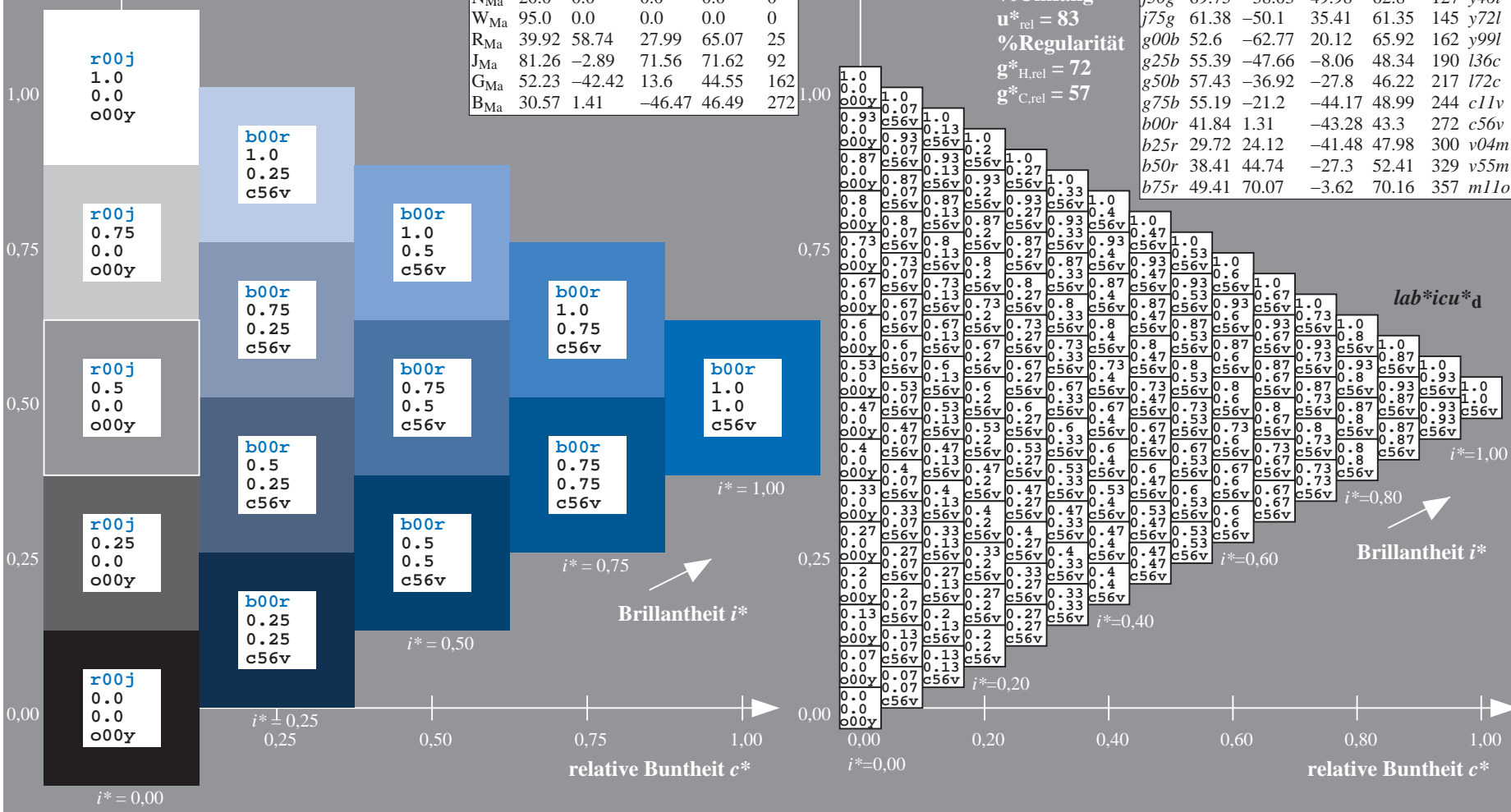
$u^*_{rel} = 83$

%Regularität

$g^*_{H,rel} = 72$

$g^*_{C,rel} = 57$

ORS20_95a; adaptierte CIELAB-Daten						
u^*_e	$L^*=L^*_a$	a^*_a	b^*_a	$C^*_{ab,a}$	$h^*_{ab,a}$	u^*_d
r00j	48.83	63.91	30.45	70.79	25	m84o
r25j	55.53	50.37	45.65	67.97	42	o17y
r50j	64.76	33.86	56.12	65.55	59	o42y
r75j	74.12	17.13	66.74	68.9	76	o67y
j00g	85.5	-3.22	79.65	79.72	92	o92y
j25g	79.45	-24.05	66.85	71.04	110	y20l
j50g	69.75	-38.03	49.98	62.8	127	y46l
j75g	61.38	-50.1	35.41	61.35	145	y72l
g00b	52.6	-62.77	20.12	65.92	162	y99l
g25b	55.39	-47.66	-8.06	48.34	190	l36c
g50b	57.43	-36.92	-27.8	46.22	217	l72c
g75b	55.19	-21.2	-44.17	48.99	244	c11v
b00r	41.84	1.31	-43.28	43.3	272	c56v
b25r	29.72	24.12	-41.48	47.98	300	v04m
b50r	38.41	44.74	-27.3	52.41	329	v55m
b75r	49.41	70.07	-3.62	70.16	357	m11o



Ein und Ausgabe: Farbmetrisches Drucker-Reflektiv-System ORS20_95a für relativen CIELAB-Buntton $h^* = lab^*h^* = h_{ab}/360 = 0.834$

Daten für jede Farbe:

lab^*ch^* und lab^*icu^*

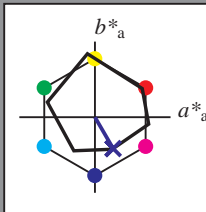
Bunttontexte:

$u^*_e = b25r$ $u^*_d = v04m$

Kontrastreduzierungsfaktor:

$c_R = 0.96$

Dreiecks-Helligkeit i^*



ORS20_95a; adaptierte CIELAB-Daten

u^*_e	$L^*=L^*_a$	a^*_a	b^*_a	$C^*_{ab,a}$	$h^*_{ab,a}$
O _{Ma}	48.71	62.56	37.91	73.15	31
Y _{Ma}	89.25	-9.92	83.91	84.49	97
L _{Ma}	52.5	-62.91	19.95	66.0	162
C _{Ma}	59.15	-27.87	-44.43	52.45	238
V _{Ma}	29.13	22.73	-42.44	48.14	298
M _{Ma}	49.51	71.08	-9.19	71.67	353
N _{Ma}	20.0	0.0	0.0	0.0	0
W _{Ma}	95.0	0.0	0.0	0.0	0
R _{Ma}	39.92	58.74	27.99	65.07	25
J _{Ma}	81.26	-2.89	71.56	71.62	92
G _{Ma}	52.23	-42.42	13.6	44.55	162
B _{Ma}	30.57	1.41	-46.47	46.49	272

Daten für Maximalfarbe (Ma):

$LAB^*LAB^*_{Ma}$: 30 24 -41

$LAB^*LCH^*_{Ma}$: 30 48 300

$lab^*rgb^*_{Ma}$: 0.5 0.0 1.0

$lab^*olv^*_{Ma}$: 0.04 0.0 1.0

Dreiecks-Helligkeit i^*

%Umfang

$u^*_{rel} = 83$

%Regularität

$g^*_{H,rel} = 72$

$g^*_{C,rel} = 57$

ORS20_95a; adaptierte CIELAB-Daten

u^*_e	$L^*=L^*_a$	a^*_a	b^*_a	$C^*_{ab,a}$	$h^*_{ab,a}$	u^*_d
r00j	48.83	63.91	30.45	70.79	25	m84o
r25j	55.53	50.37	45.65	67.97	42	o17y
r50j	64.76	33.86	56.12	65.55	59	o42y
r75j	74.12	17.13	66.74	68.9	76	o67y
j00g	85.5	-3.22	79.65	79.72	92	o92y
j25g	79.45	-24.05	66.85	71.04	110	y20l
j50g	69.75	-38.03	49.98	62.8	127	y46l
j75g	61.38	-50.1	35.41	61.35	145	y72l
g00b	52.6	-62.77	20.12	65.92	162	y99l
g25b	55.39	-47.66	-8.06	48.34	190	l36c
g50b	57.43	-36.92	-27.8	46.22	217	l72c
g75b	55.19	-21.2	-44.17	48.99	244	c11v
b00r	41.84	1.31	-43.28	43.3	272	c56v
b25r	29.72	24.12	-41.48	47.98	300	v04m
b50r	38.41	44.74	-27.3	52.41	329	v55m
b75r	49.41	70.07	-3.62	70.16	357	m11o

$lab^*icu^*_d$

$i^* = 1.00$

Brillantheit i^*

$i^* = 0.80$

$i^* = 0.60$

$i^* = 0.40$

$i^* = 0.20$

$i^* = 0.00$

relative Bunttheit c^*

Ein und Ausgabe: Farbmetrisches Drucker-Reflektiv-System ORS20_95a für relativen CIELAB-Buntton $h^* = \text{lab}^*h^* = h_{ab}/360 = 0.913$

Daten für jede Farbe:

lab^*ch^* und lab^*icu^*

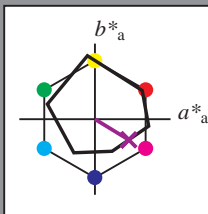
Bunttontexte:

$u^*_e = b50r$ $u^*_d = v55m$

Kontrastreduzierungsfaktor:

$c_R = 0.96$

Dreiecks-Helligkeit i^*



ORS20_95a; adaptierte CIELAB-Daten

u^*_e	$L^*=L^*_a$	a^*_a	b^*_a	$C^*_{ab,a}$	$h^*_{ab,a}$
O _{Ma}	48.71	62.56	37.91	73.15	31
Y _{Ma}	89.25	-9.92	83.91	84.49	97
L _{Ma}	52.5	-62.91	19.95	66.0	162
C _{Ma}	59.15	-27.87	-44.43	52.45	238
V _{Ma}	29.13	22.73	-42.44	48.14	298
M _{Ma}	49.51	71.08	-9.19	71.67	353
N _{Ma}	20.0	0.0	0.0	0.0	0
W _{Ma}	95.0	0.0	0.0	0.0	0
R _{Ma}	39.92	58.74	27.99	65.07	25
J _{Ma}	81.26	-2.89	71.56	71.62	92
G _{Ma}	52.23	-42.42	13.6	44.55	162
B _{Ma}	30.57	1.41	-46.47	46.49	272

Daten für Maximalfarbe (Ma):

$\text{LAB}^*\text{LAB}^*_{\text{Ma}}$: 38 45 -27

$\text{LAB}^*\text{LCH}^*_{\text{Ma}}$: 38 52 328

$\text{lab}^*\text{rgb}^*_{\text{Ma}}$: 1.0 0.0 1.0

$\text{lab}^*\text{olv}^*_{\text{Ma}}$: 0.56 0.0 1.0

Dreiecks-Helligkeit i^*

%Umfang

$u^*_{\text{rel}} = 83$

%Regularität

$g^*_{H,\text{rel}} = 72$

$g^*_{C,\text{rel}} = 57$

ORS20_95a; adaptierte CIELAB-Daten

u^*_e	$L^*=L^*_a$	a^*_a	b^*_a	$C^*_{ab,a}$	$h^*_{ab,a}$	u^*_d
r00j	48.83	63.91	30.45	70.79	25	m84o
r25j	55.53	50.37	45.65	67.97	42	o17y
r50j	64.76	33.86	56.12	65.55	59	o42y
r75j	74.12	17.13	66.74	68.9	76	o67y
j00g	85.5	-3.22	79.65	79.72	92	o92y
j25g	79.45	-24.05	66.85	71.04	110	y20l
j50g	69.75	-38.03	49.98	62.8	127	y46l
j75g	61.38	-50.1	35.41	61.35	145	y72l
g00b	52.6	-62.77	20.12	65.92	162	y99l
g25b	55.39	-47.66	-8.06	48.34	190	l36c
g50b	57.43	-36.92	-27.8	46.22	217	l72c
g75b	55.19	-21.2	-44.17	48.99	244	c11v
b00r	41.84	1.31	-43.28	43.3	272	c56v
b25r	29.72	24.12	-41.48	47.98	300	v04m
b50r	38.41	44.74	-27.3	52.41	329	v55m
b75r	49.41	70.07	-3.62	70.16	357	m11o

$\text{lab}^*\text{icu}^*_d$

$i^* = 1.00$

Brillantheit i^*

$i^* = 0.80$

$i^* = 0.60$

$i^* = 0.40$

$i^* = 0.20$

relative Buntheit c^*

relative Buntheit c^*

Ein und Ausgabe: Farbmetrisches Drucker-Reflektiv-System ORS20_95a für relativen CIELAB-Buntton $h^* = \text{lab}^*h^* = h_{ab}/360 = 0.992$

Daten für jede Farbe:

lab^*tch^* und lab^*icu^*

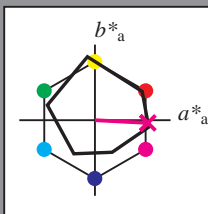
Bunttontexte:

$u^*_e = b75r$ $u^*_d = m11o$

Kontrastreduzierungsfaktor:

$c_R = 0.96$

Dreiecks-Helligkeit t^*



ORS20_95a; adaptierte CIELAB-Daten

u^*_e	$L^*=L^*_a$	a^*_a	b^*_a	$C^*_{ab,a}$	$h^*_{ab,a}$
O _{Ma}	48.71	62.56	37.91	73.15	31
Y _{Ma}	89.25	-9.92	83.91	84.49	97
L _{Ma}	52.5	-62.91	19.95	66.0	162
C _{Ma}	59.15	-27.87	-44.43	52.45	238
V _{Ma}	29.13	22.73	-42.44	48.14	298
M _{Ma}	49.51	71.08	-9.19	71.67	353
N _{Ma}	20.0	0.0	0.0	0.0	0
W _{Ma}	95.0	0.0	0.0	0.0	0
R _{Ma}	39.92	58.74	27.99	65.07	25
J _{Ma}	81.26	-2.89	71.56	71.62	92
G _{Ma}	52.23	-42.42	13.6	44.55	162
B _{Ma}	30.57	1.41	-46.47	46.49	272

Daten für Maximalfarbe (Ma):

$\text{LAB}^*\text{LAB}^*_{\text{Ma}}$: 49 70 -4

$\text{LAB}^*\text{LCH}^*_{\text{Ma}}$: 49 70 357

$\text{lab}^*\text{rgb}^*_{\text{Ma}}$: 1.0 0.0 0.5

$\text{lab}^*\text{olv}^*_{\text{Ma}}$: 1.0 0.0 0.89

Dreiecks-Helligkeit t^*

%Umfang

$u^*_{\text{rel}} = 83$

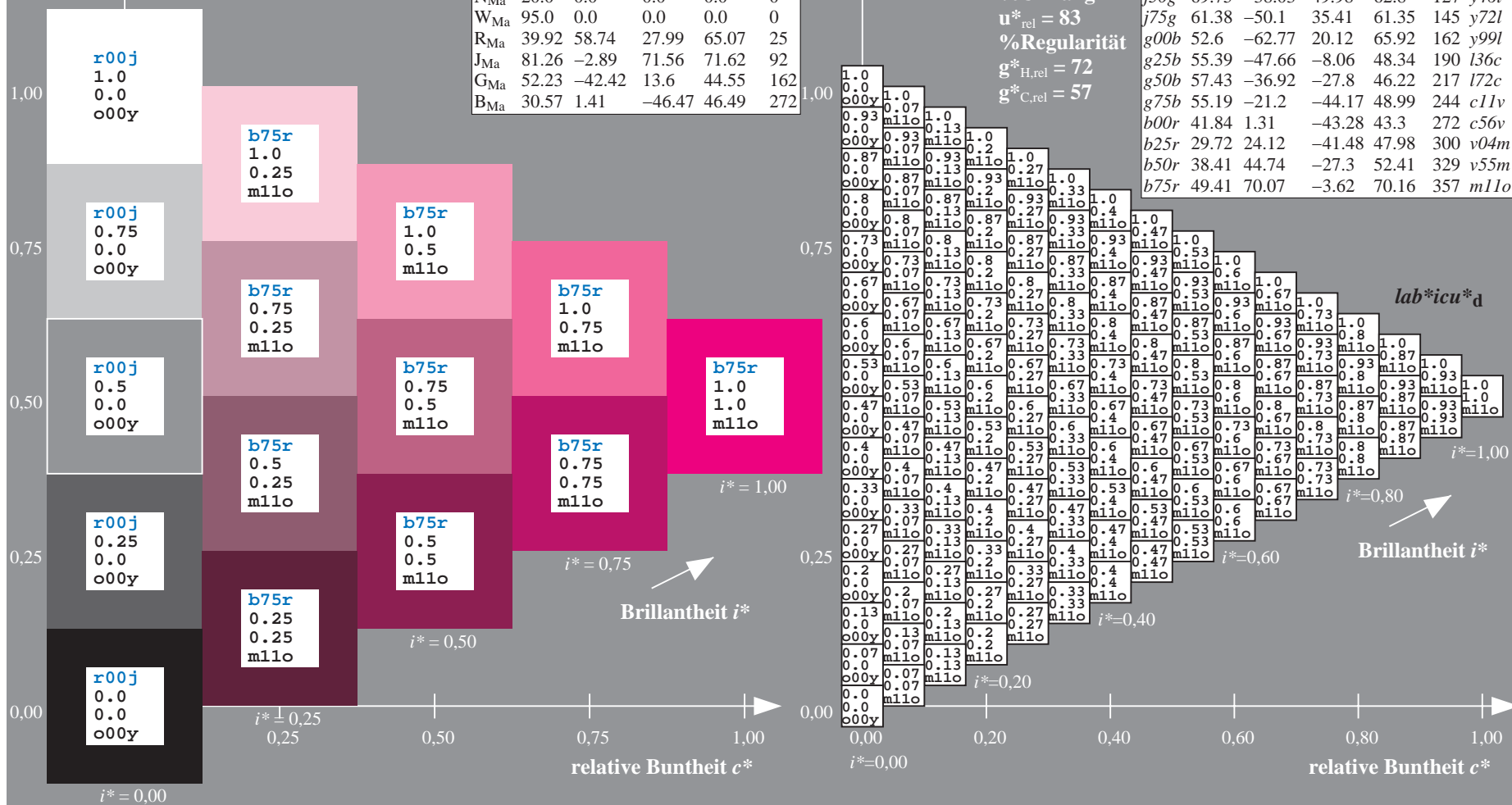
%Regularität

$g^*_{H,\text{rel}} = 72$

$g^*_{C,\text{rel}} = 57$

ORS20_95a; adaptierte CIELAB-Daten

u^*_e	$L^*=L^*_a$	a^*_a	b^*_a	$C^*_{ab,a}$	$h^*_{ab,a}$	u^*_d
r00j	48.83	63.91	30.45	70.79	25	m84o
r25j	55.53	50.37	45.65	67.97	42	o17y
r50j	64.76	33.86	56.12	65.55	59	o42y
r75j	74.12	17.13	66.74	68.9	76	o67y
j00g	85.5	-3.22	79.65	79.72	92	o92y
j25g	79.45	-24.05	66.85	71.04	110	y20l
j50g	69.75	-38.03	49.98	62.8	127	y46l
j75g	61.38	-50.1	35.41	61.35	145	y72l
g00b	52.6	-62.77	20.12	65.92	162	y99l
g25b	55.39	-47.66	-8.06	48.34	190	l36c
g50b	57.43	-36.92	-27.8	46.22	217	l72c
g75b	55.19	-21.2	-44.17	48.99	244	c11v
b00r	41.84	1.31	-43.28	43.3	272	c56v
b25r	29.72	24.12	-41.48	47.98	300	v04m
b50r	38.41	44.74	-27.3	52.41	329	v55m
b75r	49.41	70.07	-3.62	70.16	357	m11o



Siehe ähnliche Dateien: <http://www.ps.bam.de/Eg13/>; www.ps.bam.de/Eg13/10L/L13G00NA.PS/.TXT BAM-Material: Code=rh4ta
Technische Information: <http://www.ps.bam.de> Version 2.1, io=1,1, ColSp=1

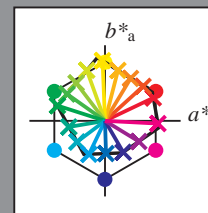
	A	B	C	D	E	F	G	H	I	J	K	L	M	N	O	P	Q	R	S	T	U	V	W	X	Y	Z	a	b	c	d	e	f	g	h	i	j	k	lab*icu*d																																																																																																																																																																																																																																																																																																																																																																																																																																																																																																																																																																																																																																																																																																																																																																																									
0.0	0.0	0.13	0.25	0.38	0.5	0.63	0.75	0.88	1.0	1.13	1.25	1.38	1.5	1.63	0.75	0.88	1.0	1.13	1.25	1.38	1.5	1.63	0.75	0.88	1.0	1.25	1.38	1.5	1.63	0.75	0.88	1.0	1.0	1.0	1.0	1.0	1.0	1.0	0.0	0.0	0.0	0.0																																																																																																																																																																																																																																																																																																																																																																																																																																																																																																																																																																																																																																																																																																																																																																																					
0.0	0.0	0.13	0.25	0.38	0.5	0.63	0.75	0.88	1.0	1.13	1.25	1.38	1.5	1.63	0.75	0.88	1.0	1.13	1.25	1.38	1.5	1.63	0.75	0.88	1.0	1.25	1.38	1.5	1.63	0.75	0.88	1.0	1.0	0.13	0.25	0.38	0.5	0.63	0.75	0.88	1.0	0.0	0.0	0.0	0.0																																																																																																																																																																																																																																																																																																																																																																																																																																																																																																																																																																																																																																																																																																																																																																																		
0.0	0.0	100c	100c	100c	100c	100c	100c	100c	100c	0.00y	0.00y	0.00y	0.00y	0.00y	0.00y	0.00y	0.00y	0.00y	0.00y	0.00y	0.00y	0.00y	0.00y	0.00y	0.00y	0.00y	0.00y	0.00y	0.00y	0.00y	0.00y	0.00y	0.00y	0.00y	0.00y	0.00y	0.00y	0.00y	0.00y	0.00y	0.00y	0.00y	0.00y	0.00y	0.00y	0.00y	0.00y	0.00y	0.00y	0.00y	0.00y	0.00y	0.00y	0.00y	0.00y	0.00y	0.00y	0.00y	0.00y	0.00y	0.00y	0.00y	0.00y	0.00y	0.00y	0.00y	0.00y	0.00y	0.00y	0.00y	0.00y	0.00y	0.00y	0.00y	0.00y	0.00y	0.00y	0.00y	0.00y	0.00y	0.00y	0.00y	0.00y	0.00y	0.00y	0.00y	0.00y	0.00y	0.00y	0.00y	0.00y	0.00y	0.00y	0.00y	0.00y	0.00y	0.00y	0.00y	0.00y	0.00y	0.00y	0.00y	0.00y	0.00y	0.00y	0.00y	0.00y	0.00y	0.00y	0.00y	0.00y	0.00y	0.00y	0.00y	0.00y	0.00y	0.00y	0.00y	0.00y	0.00y	0.00y	0.00y	0.00y	0.00y	0.00y	0.00y	0.00y	0.00y	0.00y	0.00y	0.00y	0.00y	0.00y	0.00y	0.00y	0.00y	0.00y	0.00y	0.00y	0.00y	0.00y	0.00y	0.00y	0.00y	0.00y	0.00y	0.00y	0.00y	0.00y	0.00y	0.00y	0.00y	0.00y	0.00y	0.00y	0.00y	0.00y	0.00y	0.00y	0.00y	0.00y	0.00y	0.00y	0.00y	0.00y	0.00y	0.00y	0.00y	0.00y	0.00y	0.00y	0.00y	0.00y	0.00y	0.00y	0.00y	0.00y	0.00y	0.00y	0.00y	0.00y	0.00y	0.00y	0.00y	0.00y	0.00y	0.00y	0.00y	0.00y	0.00y	0.00y	0.00y	0.00y	0.00y	0.00y	0.00y	0.00y	0.00y	0.00y	0.00y	0.00y	0.00y	0.00y	0.00y	0.00y	0.00y	0.00y	0.00y	0.00y	0.00y	0.00y	0.00y	0.00y	0.00y	0.00y	0.00y	0.00y	0.00y	0.00y	0.00y	0.00y	0.00y	0.00y	0.00y	0.00y	0.00y	0.00y	0.00y	0.00y	0.00y	0.00y	0.00y	0.00y	0.00y	0.00y	0.00y	0.00y	0.00y	0.00y	0.00y	0.00y	0.00y	0.00y	0.00y	0.00y	0.00y	0.00y	0.00y	0.00y	0.00y	0.00y	0.00y	0.00y	0.00y	0.00y	0.00y	0.00y	0.00y	0.00y	0.00y	0.00y	0.00y	0.00y	0.00y	0.00y	0.00y	0.00y	0.00y	0.00y	0.00y	0.00y	0.00y	0.00y	0.00y	0.00y	0.00y	0.00y	0.00y	0.00y	0.00y	0.00y	0.00y	0.00y	0.00y	0.00y	0.00y	0.00y	0.00y	0.00y	0.00y	0.00y	0.00y	0.00y	0.00y	0.00y	0.00y	0.00y	0.00y	0.00y	0.00y	0.00y	0.00y	0.00y	0.00y	0.00y	0.00y	0.00y	0.00y	0.00y	0.00y	0.00y	0.00y	0.00y	0.00y	0.00y	0.00y	0.00y	0.00y	0.00y	0.00y	0.00y	0.00y	0.00y	0.00y	0.00y	0.00y	0.00y	0.00y	0.00y	0.00y	0.00y	0.00y	0.00y	0.00y	0.00y	0.00y	0.00y	0.00y	0.00y	0.00y	0.00y	0.00y	0.00y	0.00y	0.00y	0.00y	0.00y	0.00y	0.00y	0.00y	0.00y	0.00y	0.00y	0.00y	0.00y	0.00y	0.00y	0.00y	0.00y	0.00y	0.00y	0.00y	0.00y	0.00y	0.00y	0.00y	0.00y	0.00y	0.00y	0.00y	0.00y	0.00y	0.00y	0.00y	0.00y	0.00y	0.00y	0.00y	0.00y	0.00y	0.00y	0.00y	0.00y	0.00y	0.00y	0.00y	0.00y	0.00y	0.00y	0.00y	0.00y	0.00y	0.00y	0.00y	0.00y	0.00y	0.00y	0.00y	0.00y	0.00y	0.00y	0.00y	0.00y	0.00y	0.00y	0.00y	0.00y	0.00y	0.00y	0.00y	0.00y	0.00y	0.00y	0.00y	0.00y	0.00y	0.00y	0.00y	0.00y	0.00y	0.00y	0.00y	0.00y	0.00y	0.00y	0.00y	0.00y	0.00y	0.00y	0.00y	0.00y	0.00y	0.00y	0.00y	0.00y	0.00y	0.00y	0.00y	0.00y	0.00y	0.00y	0.00y	0.00y	0.00y	0.00y	0.00y	0.00y	0.00y	0.00y	0.00y	0.00y	0.00y	0.00y	0.00y	0.00y	0.00y	0.00y	0.00y	0.00y	0.00y	0.00y	0.00y	0.00y	0.00y	0.00y	0.00y	0.00y	0.00y	0.00y	0.00y	0.00y	0.00y	0.00y	0.00y	0.00y	0.00y	0.00y	0.00y	0.00y	0.00y	0.00y	0.00y	0.00y	0.00y	0.00y	0.00y	0.00y	0.00y	0.00y	0.00y	0.00y	0.00y	0.00y	0.00y	0.00y	0.00y	0.00y	0.00y	0.00y	0.00y	0.00y	0.00y	0.00y	0.00y	0.00y	0.00y	0.00y	0.00y	0.00y	0.00y	0.00y	0.00y	0.00y	0.00y	0.00y	0.00y	0.00y	0.00y	0.00y	0.00y	0.00y	0.00y	0.00y	0.00y	0.00y	0.00y	0.00y	0.00y	0.00y	0.00y	0.00y	0.00y	0.00y	0.00y	0.00y	0.00y	0.00y	0.00y	0.00y	0.00y	0.00y	0.00y	0.00y	0.00y	0.00y	0.00y	0.00y	0.00y	0.00y	0.00y	0.00y	0.00y	0.00y	0.00y	0.00y	0.00y	0.00y	0.00y	0.00y	0.00y	0.00y	0.00y	0.00y	0.00y	0.00y	0.00y	0.00y	0.00y	0.00y	0.00y	0.00y	0.00y	0.00y	0.00y	0.00y	0.00y	0.00y	0.00y	0.00y	0.00y	0.00y	0.00y	0.00y	0.00y	0.00y	0.00y	0.00y	0.00y	0.00y	0.00y	0.00y	0.00y	0.00y	0.00y	0.00y	0.00y	0.00y	0.00y	0.00y	0.00y	0.00y	0.00y	0.00y	0.00y	0.00y	0.00y	0.00y	0.00y	0.00y	0.00y	0.00y	0.00y	0.00y	0.00y	0.00y	0.00y	0.00y	0.00y	0.00y	0.00y	0.00y	0.00y	0.00y	0.00y	0.00y	0.00y	0.00y	0.00y	0.00y	0.00y	0.00y	0.00y	0.00y	0.00y	0.00y	0.00y	0.00y	0.00y	0.00y	0.00y	0.00y	0.00y	0.00y	0.00y	0.00y	0.00y	0.00y	0.00y	0.00y	0.00y	0.00y	0.00y	0.00y	0.00y	0.00y	0.00y	0.00y	0.00y	0.00y	0.00y	0.00y	0.00y	0.00y	0.00y	0.00y	0.00y	0.00y	0.00y	0.00y	0.00y	0.00y	0.00y	0.00y	0.00y	0.00y	0.00y	0.00y	0.00y	0.00y	0.00y	0.00y	0.00y	0.00y	0.00y	0.00y	0.00y	0.00y	0.00y	0.00y	0.00y	0.00y	0.00y	0.00y	0.00y	0.00y	0.00y	0.00y	0.00y	0.00y	0.00y	0.00y	0.00y	0.00y	0.00y	0.00y	0.00y	0.00y	0.00y	0.00y	0.00y	0.00y	0.00y	0.00y	0.00y	0.00y	0.00y	0.00y	0.00y	0.00y	0.00y	0.00y	0.00y	0.00y	0.00y	0.00y	0.00y	0.00y	0.00y	0.00y	0.00y	0.00y	0.00y	0.00y	0.00y	0.00y	0.00y	0.00y	0.00y	0.00y	0.00y	0.00y	0.00y	0.00y	0.00y	0.00y	0.00y	0.00y	0.00y	0.00y	0.00y	0.00y	0.00y	0.00y	0.00y	0.00y	0.00y	0.00y	0.00y	0.00y	0.00y	0.00y	0.00y	0.00y	0.00y	0.00y	0.00y	0.00y	0.00y	0.00y	0.00y	0.00y	0.00y	0.00y	0.00y	0.00y	0.00y	0.00y	0.00y	0.00y	0.00y	0.00y	0.00y	0.00y	0.00y	0.00y	0.00y	0.00y	0.00y	0.00y	0.00y	0.00y	0.00y	0.00y	0.00y	0.00y	0.00y	0.00y	0.00y	0.00y</

Ein und Ausgabe:
Farbmimetrisches Drucker-Reflektiv-System ORS20_95a
Daten für jede Farbe:

u^*_e und Nummer $Nr.$ = 00 .. 15
Elementar-Bunttontext:
 $u^*_e = 16$ Bunttoene $r00j, r25j, \dots, b75r$
Kontrastreduzierungsfaktor:
 $c_R = 0.96$

ORS20_95a; adaptierte CIELAB-Daten

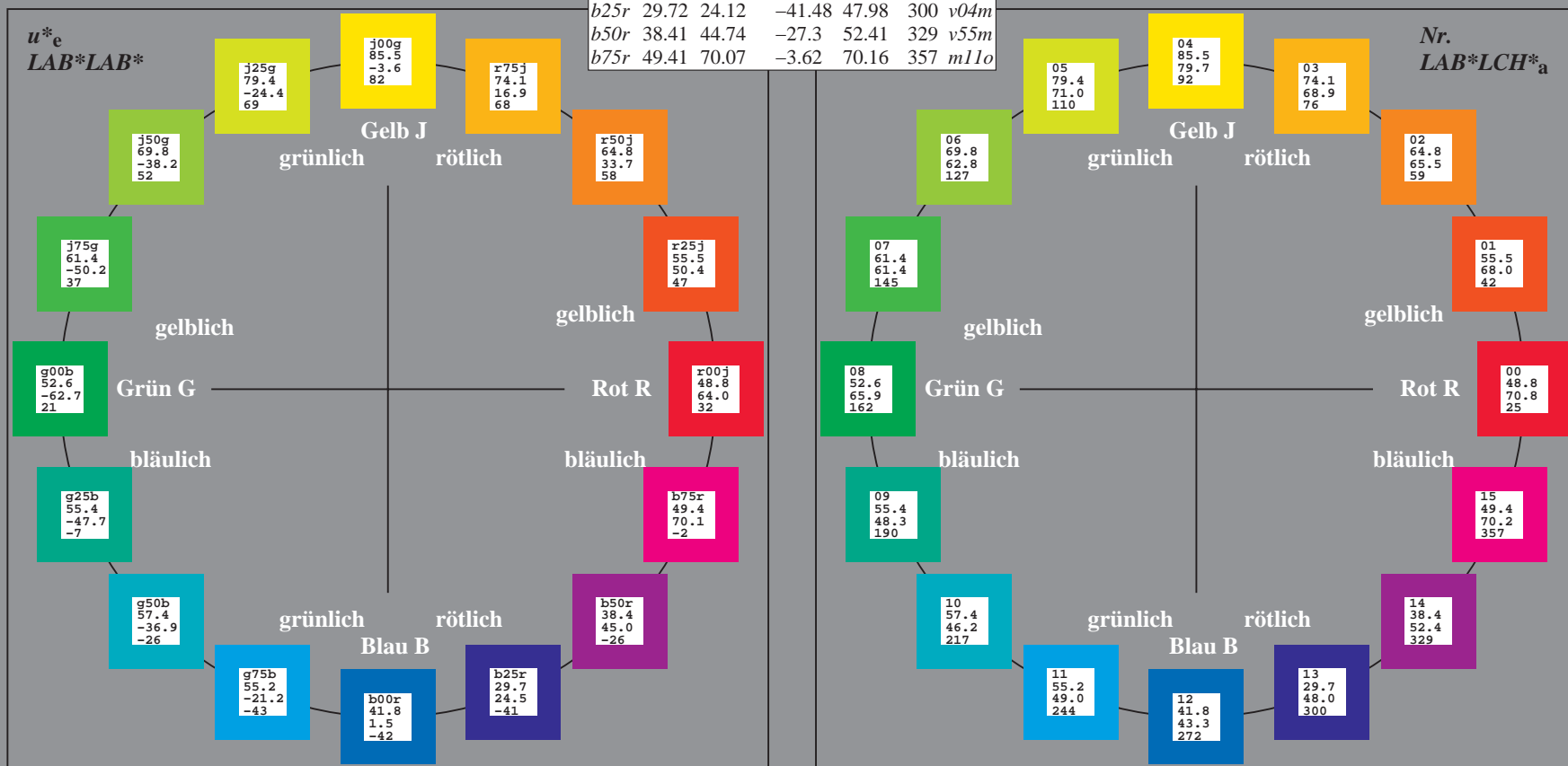
u^*_e	$L^*=L^*_a$	a^*_a	b^*_a	$C^*_{ab,a}$	$h^*_{ab,a}$	u^*_d
$r00j$	48.83	63.91	30.45	70.79	25	$m84o$
$r25j$	55.53	50.37	45.65	67.97	42	$o17y$
$r50j$	64.76	33.86	56.12	65.55	59	$o42y$
$r75j$	74.12	17.13	66.74	68.9	76	$o67y$
$j00g$	85.5	-3.22	79.65	79.72	92	$o92y$
$j25g$	79.45	-24.05	66.85	71.04	110	$y20l$
$j50g$	69.75	-38.03	49.98	62.8	127	$y46l$
$j75g$	61.38	-50.1	35.41	61.35	145	$y72l$
$g00b$	52.6	-62.77	20.12	65.92	162	$y99l$
$g25b$	55.39	-47.66	-8.06	48.34	190	$l36c$
$g50b$	57.43	-36.92	-27.8	46.22	217	$l72c$
$g75b$	55.19	-21.2	-44.17	48.99	244	$c11v$
$b00r$	41.84	1.31	-43.28	43.3	272	$c56v$
$b25r$	29.72	24.12	-41.48	47.98	300	$v04m$
$b50r$	38.41	44.74	-27.3	52.41	329	$v55m$
$b75r$	49.41	70.07	-3.62	70.16	357	$m11o$



%Umfang
 $u^*_{rel} = 83$
%Regularität
 $g^*_{H,rel} = 72$
 $g^*_{C,rel} = 57$

ORS20_95; CIELAB-Daten

Name	$L^*=L^*$	a^*	b^*	C^*_{ab}	h^*_{ab}
O_M	48.71	62.65	39.19	73.89	32
Y_M	89.25	-10.36	85.91	86.53	97
L_M	52.5	-62.88	21.3	66.38	161
C_M	59.15	-27.92	-42.97	51.24	237
V_M	29.13	23.07	-41.51	47.5	299
M_M	49.51	71.15	-7.9	71.59	354
N_M	20.0	0.47	0.76	0.89	58
W_M	95.0	-0.52	2.11	2.17	104
R_{CIE}	39.92	58.74	27.99	65.07	25
J_{CIE}	81.26	-2.89	71.56	71.62	92
G_{CIE}	52.23	-42.42	13.6	44.55	162
B_{CIE}	30.57	1.41	-46.47	46.49	272



Ein und Ausgabe: Farbmetrisches Drucker-Reflektiv-System ORS20_95a für relativen CIELAB-Buntton $h^* = lab^*h^* = h_{ab}/360 = 0.071$

Daten für jede Farbe:

lab^*ch^* und lab^*icu^*

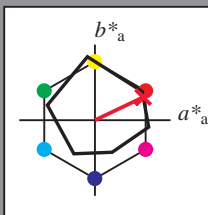
Bunttontexte:

$u^*_e = r00j$ $u^*_d = m84o$

Kontrastreduzierungsfaktor:

$c_R = 0.96$

Dreiecks-Helligkeit i^*



ORS20_95; CIELAB-Daten						
u^*_e	$L^*=L^*_a$	a^*	b^*	C^*_{ab}	h^*_{ab}	
O _M	48.71	62.65	39.19	73.89	32	
Y _M	89.25	-10.36	85.91	86.53	97	
L _M	52.5	-62.88	21.3	66.38	161	
C _M	59.15	-27.92	-42.97	51.24	237	
V _M	29.13	23.07	-41.51	47.5	299	
M _M	49.51	71.15	-7.9	71.59	354	
N _M	20.0	0.47	0.76	0.89	58	
W _M	95.0	-0.52	2.11	2.17	104	
R _M	39.92	58.74	27.99	65.07	25	
J _M	81.26	-2.89	71.56	71.62	92	
G _M	52.23	-42.42	13.6	44.55	162	
B _M	30.57	1.41	-46.47	46.49	272	

Daten für Maximalfarbe (Ma):

LAB^*LAB^*Ma : 49 64 30

LAB^*LCH^*Ma : 49 71 25

lab^*rgb^*Ma : 1.0 0.0 0.0

lab^*olv^*Ma : 1.0 0.0 0.15

Dreiecks-Helligkeit i^*

%Umfang

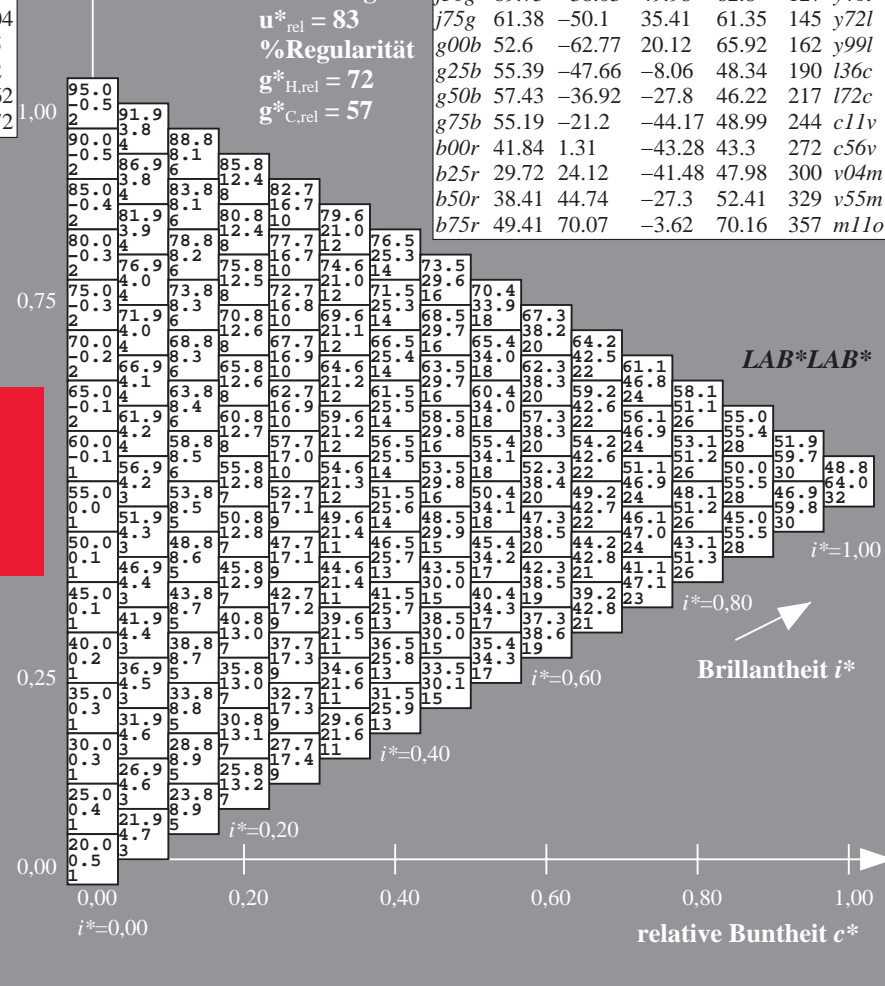
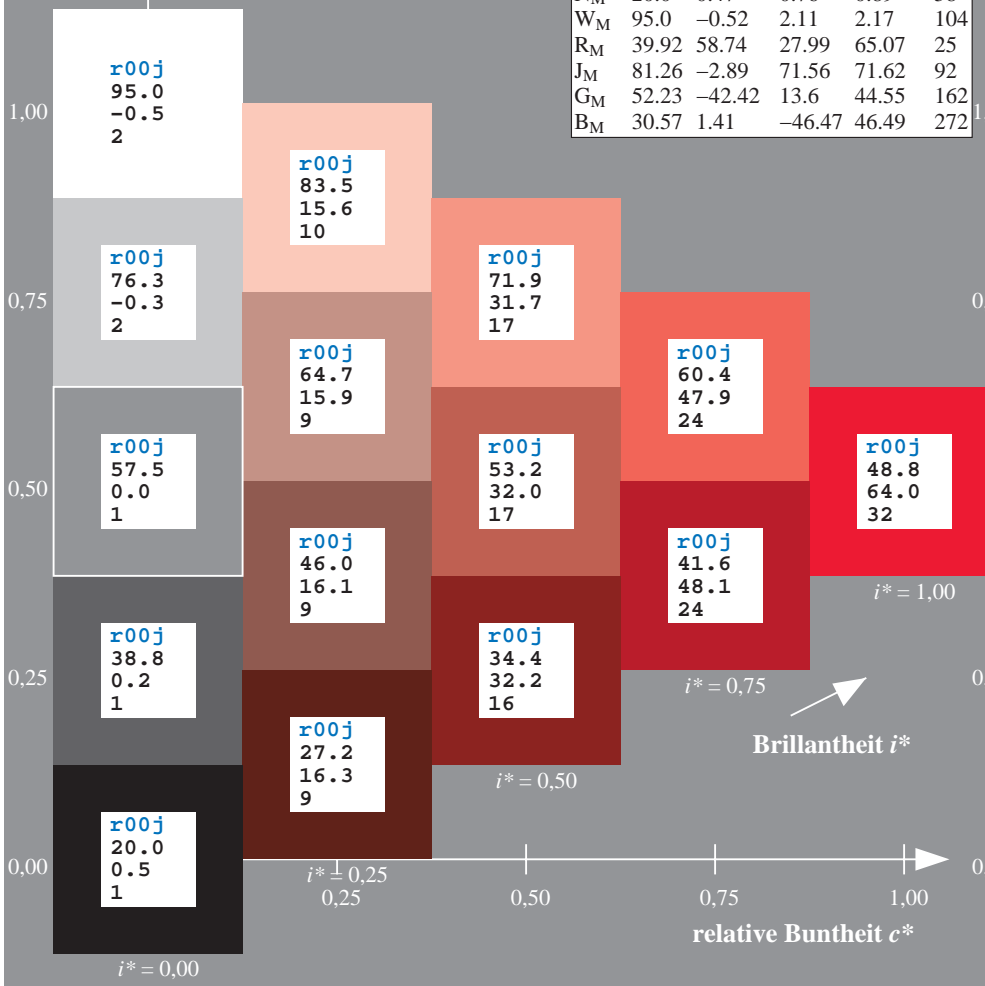
$u^*_{rel} = 83$

%Regularität

$g^*_{H,rel} = 72$

$g^*_{C,rel} = 57$

ORS20_95a; adaptierte CIELAB-Daten									
u^*_e	$L^*=L^*_a$	a^*_a	b^*_a	$C^*_{ab,a}$	$h^*_{ab,a}$	u^*_d			
r00j	48.83	63.91	30.45	70.79	25	m84o			
r25j	55.53	50.37	45.65	67.97	42	o17y			
r50j	64.76	33.86	56.12	65.55	59	o42y			
r75j	74.12	17.13	66.74	68.9	76	o67y			
j00g	85.5	-3.22	79.65	79.72	92	o92y			
j25g	79.45	-24.05	66.85	71.04	110	y20l			
j50g	69.75	-38.03	49.98	62.8	127	y46l			
j75g	61.38	-50.1	35.41	61.35	145	y72l			
g00b	52.6	-62.77	20.12	65.92	162	y99l			
g25b	55.39	-47.66	-8.06	48.34	190	l36c			
g50b	57.43	-36.92	-27.8	46.22	217	l72c			
g75b	55.19	-21.2	-44.17	48.99	244	c11v			
b00r	41.84	1.31	-43.28	43.3	272	c56v			
b25r	29.72	24.12	-41.48	47.98	300	v04m			
b50r	38.41	44.74	-27.3	52.41	329	v55m			
b75r	49.41	70.07	-3.62	70.16	357	m11o			



Ein und Ausgabe: Farbmimetrisches Drucker-Reflektiv-System ORS20_95a für relativen CIELAB-Buntton $h^* = lab^*h^* = h_{ab}/360 = 0.117$

Daten für jede Farbe:

lab^*tch^* und lab^*icu^*

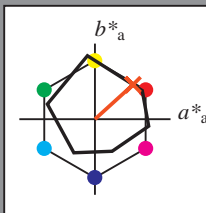
Bunttontexte:

$u^*_e = r25j$ $u^*_d = o17y$

Kontrastreduzierungsfaktor:

$c_R = 0.96$

Dreiecks-Helligkeit t^*



ORS20_95; CIELAB-Daten

u^*_e	$L^*=L^*$	a^*	b^*	C^*_{ab}	h^*_{ab}
O _M	48.71	62.65	39.19	73.89	32
Y _M	89.25	-10.36	85.91	86.53	97
L _M	52.5	-62.88	21.3	66.38	161
C _M	59.15	-27.92	-42.97	51.24	237
V _M	29.13	23.07	-41.51	47.5	299
M _M	49.51	71.15	-7.9	71.59	354
N _M	20.0	0.47	0.76	0.89	58
W _M	95.0	-0.52	2.11	2.17	104
R _M	39.92	58.74	27.99	65.07	25
J _M	81.26	-2.89	71.56	71.62	92
G _M	52.23	-42.42	13.6	44.55	162
B _M	30.57	1.41	-46.47	46.49	272

Daten für Maximalfarbe (Ma):

LAB^*LAB^*Ma : 56 50 46

LAB^*LCH^*Ma : 56 68 42

lab^*rgb^*Ma : 1.0 0.25 0.0

lab^*olv^*Ma : 1.0 0.17 0.0

Dreiecks-Helligkeit t^*

%Umfang

$u^*_{rel} = 83$

%Regularität

$g^*_{H,rel} = 72$

$g^*_{C,rel} = 57$

ORS20_95a; adaptierte CIELAB-Daten

u^*_e	$L^*=L^*$	a^*_a	b^*_a	$C^*_{ab,a}$	$h^*_{ab,a}$	u^*_d
r00j	48.83	63.91	30.45	70.79	25	m84o
r25j	55.53	50.37	45.65	67.97	42	o17y
r50j	64.76	33.86	56.12	65.55	59	o42y
r75j	74.12	17.13	66.74	68.9	76	o67y
j00g	85.5	-3.22	79.65	79.72	92	o92y
j25g	79.45	-24.05	66.85	71.04	110	y20l
j50g	69.75	-38.03	49.98	62.8	127	y46l
j75g	61.38	-50.1	35.41	61.35	145	y72l
g00b	52.6	-62.77	20.12	65.92	162	y99l
g25b	55.39	-47.66	-8.06	48.34	190	l36c
g50b	57.43	-36.92	-27.8	46.22	217	l72c
g75b	55.19	-21.2	-44.17	48.99	244	c11v
b00r	41.84	1.31	-43.28	43.3	272	c56v
b25r	29.72	24.12	-41.48	47.98	300	v04m
b50r	38.41	44.74	-27.3	52.41	329	v55m
b75r	49.41	70.07	-3.62	70.16	357	m11o

LAB^*LAB^*

$i^*=1.00$

Brillantheit i^*

$i^*=0.80$

$i^*=0.60$

$i^*=0.40$

$i^*=0.20$

$i^*=0.00$

relative Buntheit c^*

Ein und Ausgabe: Farbmetrisches Drucker-Reflektiv-System ORS20_95a für relativen CIELAB-Buntton $h^* = \text{lab}^*h^* = h_{ab}/360 = 0.164$

Daten für jede Farbe:

lab^*ch^* und lab^*icu^*

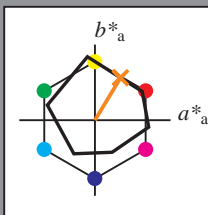
Bunttontexte:

$u^*_e = r50j$ $u^*_d = o42y$

Kontrastreduzierungsfaktor:

$c_R = 0.96$

Dreiecks-Helligkeit i^*



ORS20_95; CIELAB-Daten						
u^*_e	$L^*=L^*$	a^*	b^*	C^*_{ab}	h^*_{ab}	
O _M	48.71	62.65	39.19	73.89	32	
Y _M	89.25	-10.36	85.91	86.53	97	
L _M	52.5	-62.88	21.3	66.38	161	
C _M	59.15	-27.92	-42.97	51.24	237	
V _M	29.13	23.07	-41.51	47.5	299	
M _M	49.51	71.15	-7.9	71.59	354	
N _M	20.0	0.47	0.76	0.89	58	
W _M	95.0	-0.52	2.11	2.17	104	
R _M	39.92	58.74	27.99	65.07	25	
J _M	81.26	-2.89	71.56	71.62	92	
G _M	52.23	-42.42	13.6	44.55	162	
B _M	30.57	1.41	-46.47	46.49	272	

Daten für Maximalfarbe (Ma):

$\text{LAB}^*\text{LAB}^*\text{Ma}$: 65 34 56

$\text{LAB}^*\text{LCH}^*\text{Ma}$: 65 66 58

$\text{lab}^*\text{rgb}^*\text{Ma}$: 1.0 0.5 0.0

$\text{lab}^*\text{olv}^*\text{Ma}$: 1.0 0.42 0.0

Dreiecks-Helligkeit i^*

%Umfang

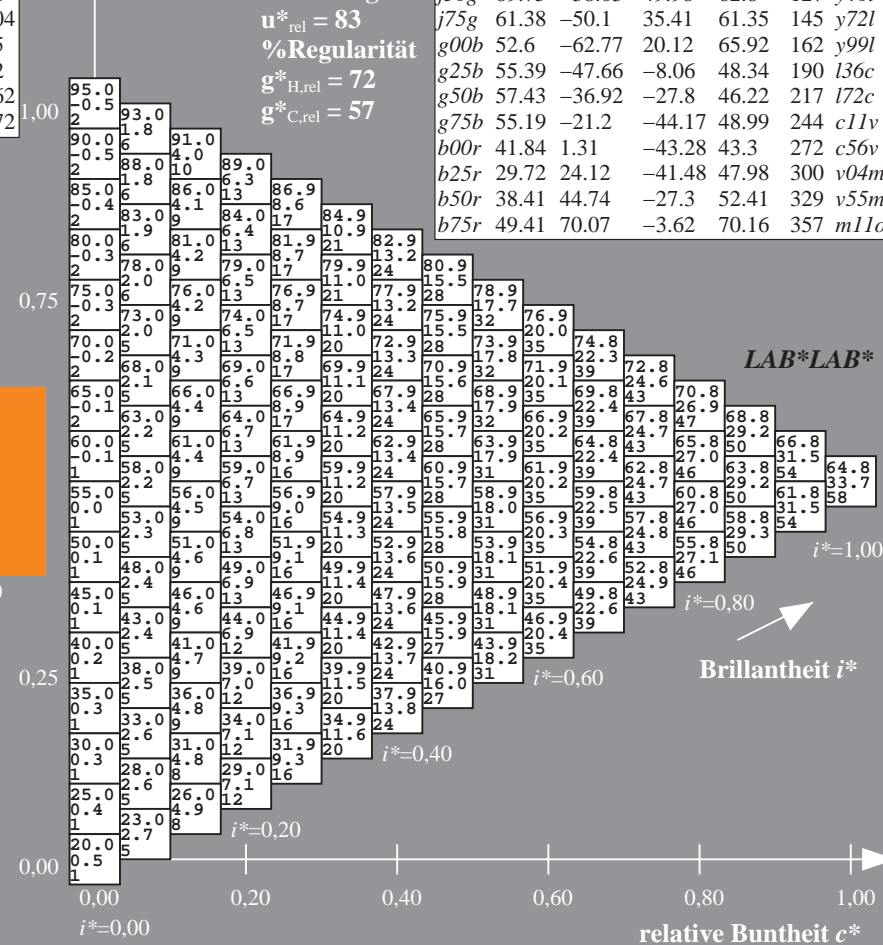
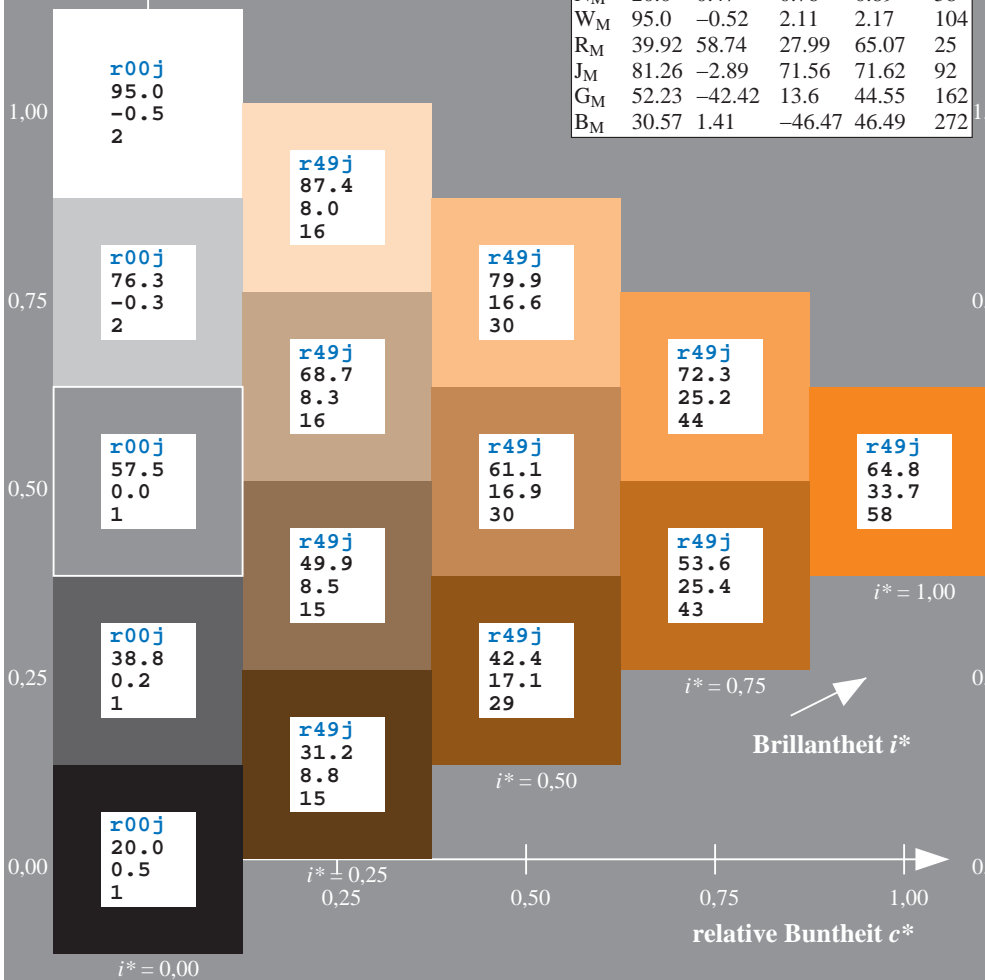
$u^*_{\text{rel}} = 83$

%Regularität

$g^*_{H,\text{rel}} = 72$

$g^*_{C,\text{rel}} = 57$

ORS20_95a; adaptierte CIELAB-Daten									
u^*_e	$L^*=L^*$	a^*_a	b^*_a	$C^*_{ab,a}$	$h^*_{ab,a}$	u^*_d			
r00j	48.83	63.91	30.45	70.79	25	m84o			
r25j	55.53	50.37	45.65	67.97	42	o17y			
r50j	64.76	33.86	56.12	65.55	59	o42y			
r75j	74.12	17.13	66.74	68.9	76	o67y			
j00g	85.5	-3.22	79.65	79.72	92	o92y			
j25g	79.45	-24.05	66.85	71.04	110	y20l			
j50g	69.75	-38.03	49.98	62.8	127	y46l			
j75g	61.38	-50.1	35.41	61.35	145	y72l			
g00b	52.6	-62.77	20.12	65.92	162	y99l			
g25b	55.39	-47.66	-8.06	48.34	190	l36c			
g50b	57.43	-36.92	-27.8	46.22	217	l72c			
g75b	55.19	-21.2	-44.17	48.99	244	c11v			
b00r	41.84	1.31	-43.28	43.3	272	c56v			
b25r	29.72	24.12	-41.48	47.98	300	v04m			
b50r	38.41	44.74	-27.3	52.41	329	v55m			
b75r	49.41	70.07	-3.62	70.16	357	m11o			



Ein und Ausgabe: Farbmimetrisches Drucker-Reflektiv-System ORS20_95a für relativen CIELAB-Buntton $h^* = \text{lab}^*h^* = h_{ab}/360 = 0.21$

Daten für jede Farbe:

lab^*tch^* und lab^*icu^*

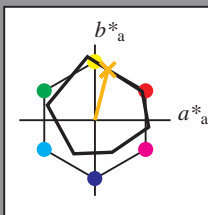
Bunttontexte:

$u^*_e = r75j$ $u^*_d = o67y$

Kontrastreduzierungsfaktor:

$c_R = 0.96$

Dreiecks-Helligkeit i^*



ORS20_95; CIELAB-Daten						
u^*_e	$L^*=L^*_a$	a^*	b^*	C^*_{ab}	h^*_{ab}	
O _M	48.71	62.65	39.19	73.89	32	
Y _M	89.25	-10.36	85.91	86.53	97	
L _M	52.5	-62.88	21.3	66.38	161	
C _M	59.15	-27.92	-42.97	51.24	237	
V _M	29.13	23.07	-41.51	47.5	299	
M _M	49.51	71.15	-7.9	71.59	354	
N _M	20.0	0.47	0.76	0.89	58	
W _M	95.0	-0.52	2.11	2.17	104	
R _M	39.92	58.74	27.99	65.07	25	
J _M	81.26	-2.89	71.56	71.62	92	
G _M	52.23	-42.42	13.6	44.55	162	
B _M	30.57	1.41	-46.47	46.49	272	

Daten für Maximalfarbe (Ma):

$\text{LAB}^*\text{LAB}^*_{\text{Ma}}$: 74 17 67

$\text{LAB}^*\text{LCH}^*_{\text{Ma}}$: 74 69 75

$\text{lab}^*\text{rgb}^*_{\text{Ma}}$: 1.0 0.75 0.0

$\text{lab}^*\text{olv}^*_{\text{Ma}}$: 1.0 0.68 0.0

Dreiecks-Helligkeit i^*

%Umfang

$u^*_{\text{rel}} = 83$

%Regularität

$g^*_{H,\text{rel}} = 72$

$g^*_{C,\text{rel}} = 57$

ORS20_95a; adaptierte CIELAB-Daten									
u^*_e	$L^*=L^*_a$	a^*_a	b^*_a	$C^*_{ab,a}$	$h^*_{ab,a}$	u^*_d			
r00j	48.83	63.91	30.45	70.79	25	m84o			
r25j	55.53	50.37	45.65	67.97	42	o17y			
r50j	64.76	33.86	56.12	65.55	59	o42y			
r75j	74.12	17.13	66.74	68.9	76	o67y			
j00g	85.5	-3.22	79.65	79.72	92	o92y			
j25g	79.45	-24.05	66.85	71.04	110	y20l			
j50g	69.75	-38.03	49.98	62.8	127	y46l			
j75g	61.38	-50.1	35.41	61.35	145	y72l			
g00b	52.6	-62.77	20.12	65.92	162	y99l			
g25b	55.39	-47.66	-8.06	48.34	190	l36c			
g50b	57.43	-36.92	-27.8	46.22	217	l72c			
g75b	55.19	-21.2	-44.17	48.99	244	c11v			
b00r	41.84	1.31	-43.28	43.3	272	c56v			
b25r	29.72	24.12	-41.48	47.98	300	v04m			
b50r	38.41	44.74	-27.3	52.41	329	v55m			
b75r	49.41	70.07	-3.62	70.16	357	m11o			

LAB^*LAB^*

$i^* = 1.00$

Brillantheit i^*

$i^* = 0.80$

$i^* = 0.60$

$i^* = 0.40$

$i^* = 0.20$

$i^* = 0.00$

Ein und Ausgabe: Farbmetrisches Drucker-Reflektiv-System ORS20_95a für relativen CIELAB-Buntton $h^* = lab^*h^* = h_{ab}/360 = 0.256$

Daten für jede Farbe:

lab^*ch^* und lab^*icu^*

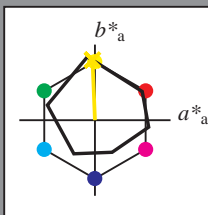
Bunttontexte:

$u^*_e = j00g$ $u^*_d = o92y$

Kontrastreduzierungsfaktor:

$c_R = 0.96$

Dreiecks-Helligkeit i^*



ORS20_95; CIELAB-Daten						
u^*_e	$L^*=L^*$	a^*	b^*	C^*_{ab}	h^*_{ab}	
O_M	48.71	62.65	39.19	73.89	32	
Y_M	89.25	-10.36	85.91	86.53	97	
L_M	52.5	-62.88	21.3	66.38	161	
C_M	59.15	-27.92	-42.97	51.24	237	
V_M	29.13	23.07	-41.51	47.5	299	
M_M	49.51	71.15	-7.9	71.59	354	
N_M	20.0	0.47	0.76	0.89	58	
W_M	95.0	-0.52	2.11	2.17	104	
R_M	39.92	58.74	27.99	65.07	25	
J_M	81.26	-2.89	71.56	71.62	92	
G_M	52.23	-42.42	13.6	44.55	162	
B_M	30.57	1.41	-46.47	46.49	272	

Daten für Maximalfarbe (Ma):

$LAB^*LAB^*Ma: 86 -3 80$

$LAB^*LCH^*Ma: 86 80 92$

$lab^*rgb^*Ma: 1.0 1.0 0.0$

$lab^*olv^*Ma: 1.0 0.93 0.0$

Dreiecks-Helligkeit i^*

%Umfang

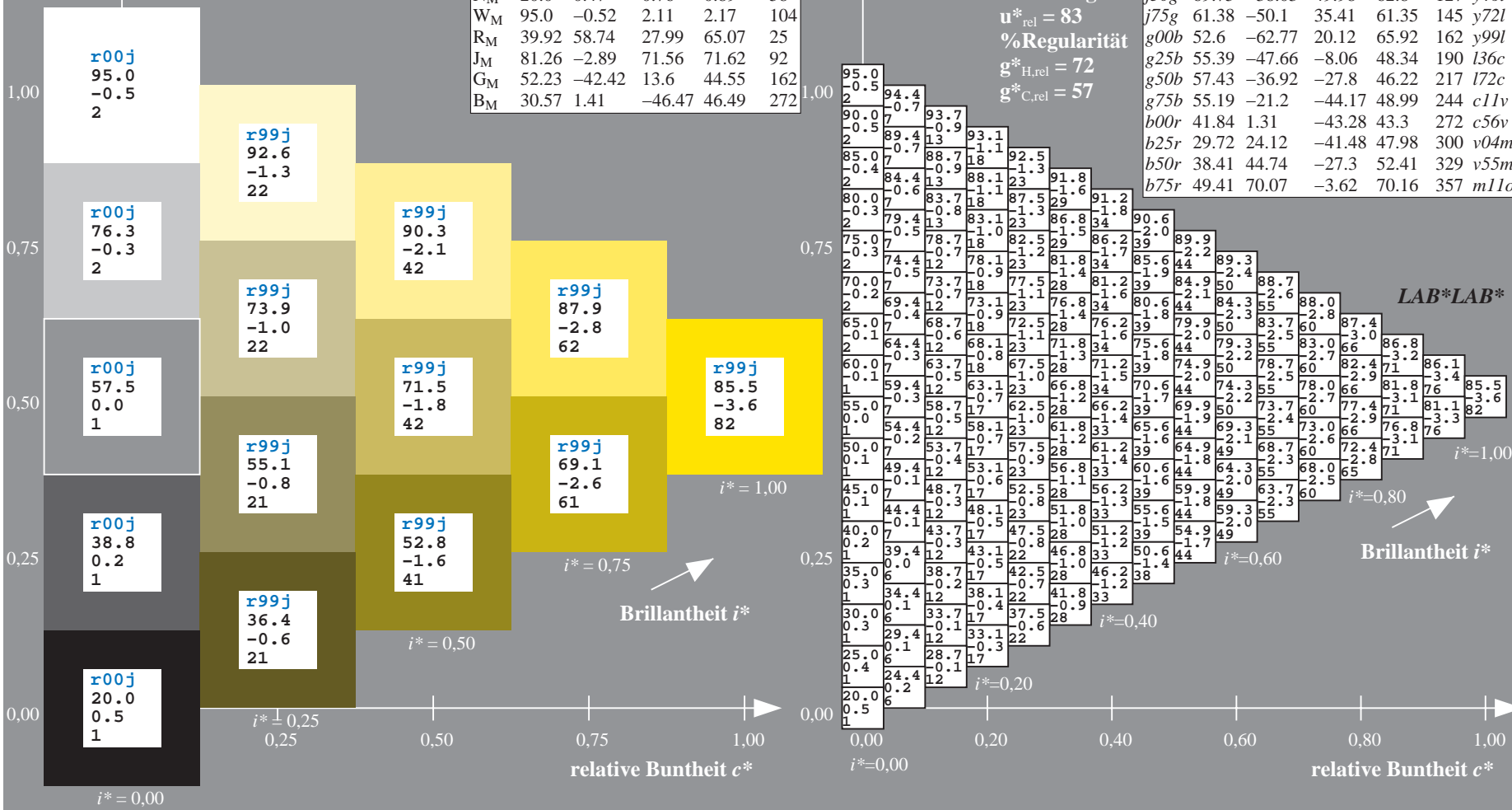
$u^*_{rel} = 83$

%Regularität

$g^*_{H,rel} = 72$

$g^*_{C,rel} = 57$

ORS20_95a; adaptierte CIELAB-Daten									
u^*_e	$L^*=L^*_a$	a^*_a	b^*_a	$C^*_{ab,a}$	$h^*_{ab,a}$	u^*_d			
$r00j$	48.83	63.91	30.45	70.79	25	$m84o$			
$r25j$	55.53	50.37	45.65	67.97	42	$o17y$			
$r50j$	64.76	33.86	56.12	65.55	59	$o42y$			
$r75j$	74.12	17.13	66.74	68.9	76	$o67y$			
$j00g$	85.5	-3.22	79.65	79.72	92	$o92y$			
$j25g$	79.45	-24.05	66.85	71.04	110	$y20l$			
$j50g$	69.75	-38.03	49.98	62.8	127	$y46l$			
$j75g$	61.38	-50.1	35.41	61.35	145	$y72l$			
$g00b$	52.6	-62.77	20.12	65.92	162	$y99l$			
$g25b$	55.39	-47.66	-8.06	48.34	190	$l36c$			
$g50b$	57.43	-36.92	-27.8	46.22	217	$l72c$			
$g75b$	55.19	-21.2	-44.17	48.99	244	$c11v$			
$b00r$	41.84	1.31	-43.28	43.3	272	$c56v$			
$b25r$	29.72	24.12	-41.48	47.98	300	$v04m$			
$b50r$	38.41	44.74	-27.3	52.41	329	$v55m$			
$b75r$	49.41	70.07	-3.62	70.16	357	$m11o$			



Ein und Ausgabe: Farbmetrisches Drucker-Reflektiv-System ORS20_95a für relativen CIELAB-Buntton $h^* = lab^*h^* = h_{ab}/360 = 0.305$

Daten für jede Farbe:

lab^*tch^* und lab^*icu^*

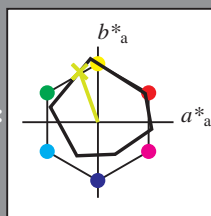
Bunttontexte:

$u^*_e = j25g$ $u^*_d = y20l$

Kontrastreduzierungsfaktor:

$c_R = 0.96$

Dreiecks-Helligkeit i^*



ORS20_95; CIELAB-Daten						
u^*_e	$L^*=L^*$	a^*	b^*	C^*_{ab}	h^*_{ab}	
O _M	48.71	62.65	39.19	73.89	32	
Y _M	89.25	-10.36	85.91	86.53	97	
L _M	52.5	-62.88	21.3	66.38	161	
C _M	59.15	-27.92	-42.97	51.24	237	
V _M	29.13	23.07	-41.51	47.5	299	
M _M	49.51	71.15	-7.9	71.59	354	
N _M	20.0	0.47	0.76	0.89	58	
W _M	95.0	-0.52	2.11	2.17	104	
R _M	39.92	58.74	27.99	65.07	25	
J _M	81.26	-2.89	71.56	71.62	92	
G _M	52.23	-42.42	13.6	44.55	162	
B _M	30.57	1.41	-46.47	46.49	272	

Daten für Maximalfarbe (Ma):

$LAB^*LAB^*Ma: 79 -24 67$

$LAB^*LCH^*Ma: 79 71 109$

$lab^*rgb^*Ma: 0.75 1.0 0.0$

$lab^*olv^*Ma: 0.8 1.0 0.0$

Dreiecks-Helligkeit i^*

%Umfang

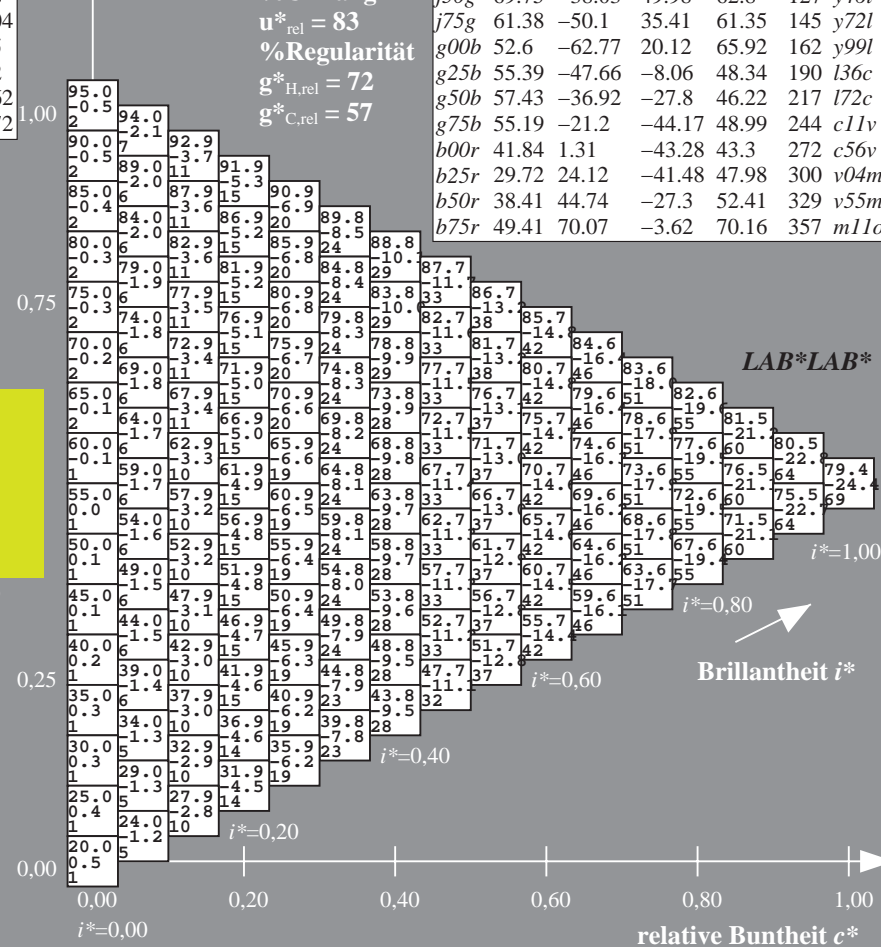
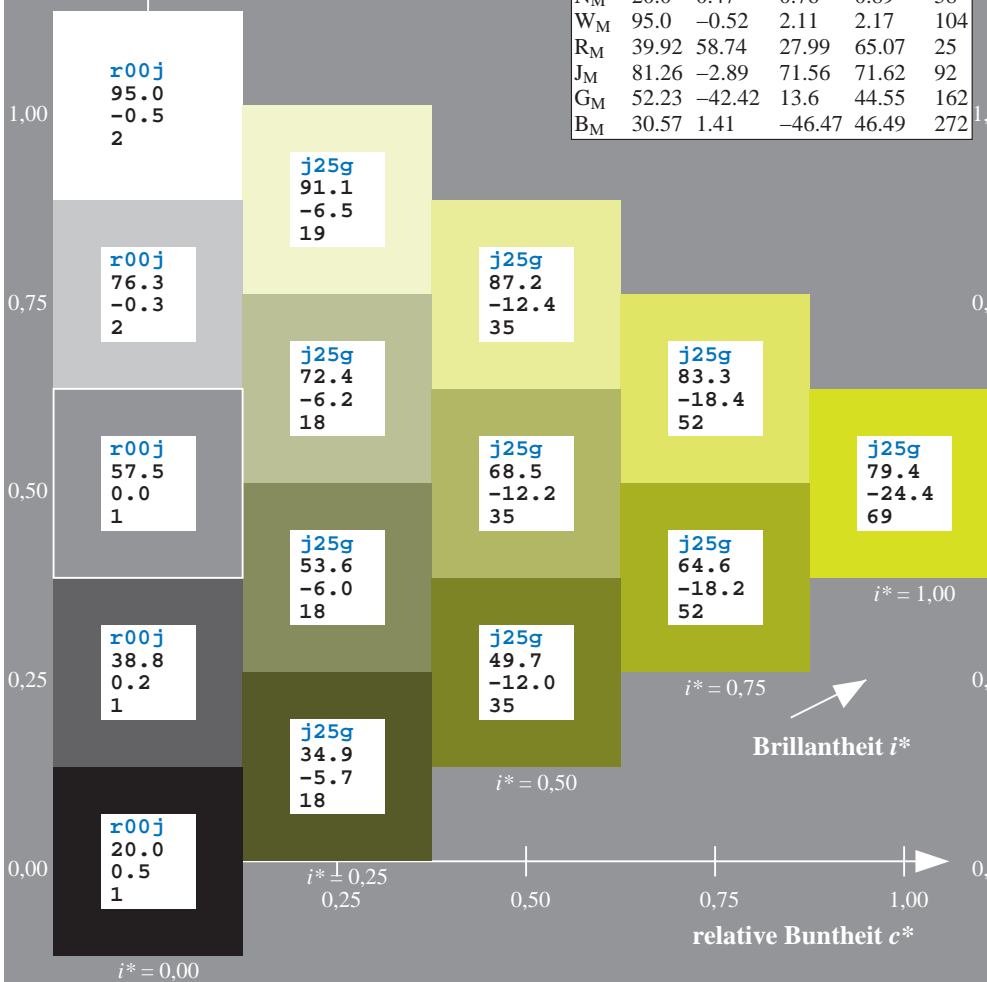
$u^*_{rel} = 83$

%Regularität

$g^*_{H,rel} = 72$

$g^*_{C,rel} = 57$

ORS20_95a; adaptierte CIELAB-Daten									
u^*_e	$L^*=L^*$	a^*_a	b^*_a	$C^*_{ab,a}$	$h^*_{ab,a}$	u^*_d			
r00j	48.83	63.91	30.45	70.79	25	m84o			
r25j	55.53	50.37	45.65	67.97	42	o17y			
r50j	64.76	33.86	56.12	65.55	59	o42y			
r75j	74.12	17.13	66.74	68.9	76	o67y			
j00g	85.5	-3.22	79.65	79.72	92	o92y			
j25g	79.45	-24.05	66.85	71.04	110	y20l			
j50g	69.75	-38.03	49.98	62.8	127	y46l			
j75g	61.38	-50.1	35.41	61.35	145	y72l			
g00b	52.6	-62.77	20.12	65.92	162	y99l			
g25b	55.39	-47.66	-8.06	48.34	190	l36c			
g50b	57.43	-36.92	-27.8	46.22	217	l72c			
g75b	55.19	-21.2	-44.17	48.99	244	c11v			
b00r	41.84	1.31	-43.28	43.3	272	c56v			
b25r	29.72	24.12	-41.48	47.98	300	v04m			
b50r	38.41	44.74	-27.3	52.41	329	v55m			
b75r	49.41	70.07	-3.62	70.16	357	m11o			



Ein und Ausgabe: Farbmetrisches Drucker-Reflektiv-System ORS20_95a für relativen CIELAB-Buntton $h^* = lab^*h^* = h_{ab}/360 = 0.354$

Daten für jede Farbe:

lab^*ch^* und lab^*icu^*

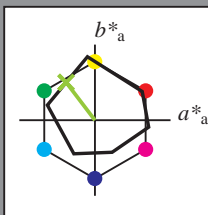
Bunttontexte:

$u^*_e = j50g$ $u^*_d = y46l$

Kontrastreduzierungsfaktor:

$c_R = 0.96$

Dreiecks-Helligkeit i^*



ORS20_95; CIELAB-Daten						
	u^*_e	$L^*=L^*_a$	a^*	b^*	C^*_{ab}	h^*_{ab}
O _M	48.71	62.65	39.19	73.89	32	
Y _M	89.25	-10.36	85.91	86.53	97	
L _M	52.5	-62.88	21.3	66.38	161	
C _M	59.15	-27.92	-42.97	51.24	237	
V _M	29.13	23.07	-41.51	47.5	299	
M _M	49.51	71.15	-7.9	71.59	354	
N _M	20.0	0.47	0.76	0.89	58	
W _M	95.0	-0.52	2.11	2.17	104	
R _M	39.92	58.74	27.99	65.07	25	
J _M	81.26	-2.89	71.56	71.62	92	
G _M	52.23	-42.42	13.6	44.55	162	
B _M	30.57	1.41	-46.47	46.49	272	

Daten für Maximalfarbe (Ma):

$LAB^*LAB^*_{Ma}$: 70 -38 50

$LAB^*LCH^*_{Ma}$: 70 63 127

$lab^*rgb^*_{Ma}$: 0.5 1.0 0.0

$lab^*olv^*_{Ma}$: 0.54 1.0 0.0

Dreiecks-Helligkeit i^*

%Umfang

$u^*_{rel} = 83$

%Regularität

$g^*_{H,rel} = 72$

$g^*_{C,rel} = 57$

ORS20_95a; adaptierte CIELAB-Daten									
	u^*_e	$L^*=L^*_a$	a^*_a	b^*_a	$C^*_{ab,a}$	$h^*_{ab,a}$	u^*_d		
r00j	48.83	63.91	30.45	70.79	25		m84o		
r25j	55.53	50.37	45.65	67.97	42		o17y		
r50j	64.76	33.86	56.12	65.55	59		o42y		
r75j	74.12	17.13	66.74	68.9	76		o67y		
j00g	85.5	-3.22	79.65	79.72	92		o92y		
j25g	79.45	-24.05	66.85	71.04	110		y20l		
j50g	69.75	-38.03	49.98	62.8	127		y46l		
j75g	61.38	-50.1	35.41	61.35	145		y72l		
g00b	52.6	-62.77	20.12	65.92	162		y99l		
g25b	55.39	-47.66	-8.06	48.34	190		l36c		
g50b	57.43	-36.92	-27.8	46.22	217		l72c		
g75b	55.19	-21.2	-44.17	48.99	244		c11v		
b00r	41.84	1.31	-43.28	43.3	272		c56v		
b25r	29.72	24.12	-41.48	47.98	300		v04m		
b50r	38.41	44.74	-27.3	52.41	329		v55m		
b75r	49.41	70.07	-3.62	70.16	357		m11o		

LAB^*LAB^*

$i^*=1.00$

Brillantheit i^*

$i^*=0.80$

$i^*=0.60$

$i^*=0.40$

$i^*=0.20$

$i^*=0.00$

relative Buntheit c^*

relative Buntheit c^*

Ein und Ausgabe: Farbmetrisches Drucker-Reflektiv-System ORS20_95a für relativen CIELAB-Buntton $h^* = lab^*h^* = h_{ab}/360 = 0.402$

Daten für jede Farbe:

lab^*ch^* und lab^*icu^*

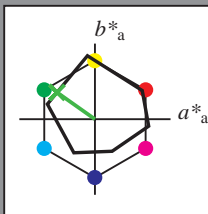
Bunttontexte:

$u^*_e = j75g$ $u^*_d = y72l$

Kontrastreduzierungsfaktor:

$c_R = 0.96$

Dreiecks-Helligkeit i^*



ORS20_95; CIELAB-Daten						
u^*_e	$L^*=L^*_a$	a^*	b^*	C^*_{ab}	h^*_{ab}	
O _M	48.71	62.65	39.19	73.89	32	
Y _M	89.25	-10.36	85.91	86.53	97	
L _M	52.5	-62.88	21.3	66.38	161	
C _M	59.15	-27.92	-42.97	51.24	237	
V _M	29.13	23.07	-41.51	47.5	299	
M _M	49.51	71.15	-7.9	71.59	354	
N _M	20.0	0.47	0.76	0.89	58	
W _M	95.0	-0.52	2.11	2.17	104	
R _M	39.92	58.74	27.99	65.07	25	
J _M	81.26	-2.89	71.56	71.62	92	
G _M	52.23	-42.42	13.6	44.55	162	
B _M	30.57	1.41	-46.47	46.49	272	

Daten für Maximalfarbe (Ma):

LAB^*LAB^*Ma : 61 -50 35

LAB^*LCH^*Ma : 61 61 144

lab^*rgb^*Ma : 0.25 1.0 0.0

lab^*olv^*Ma : 0.27 1.0 0.0

Dreiecks-Helligkeit i^*

%Umfang

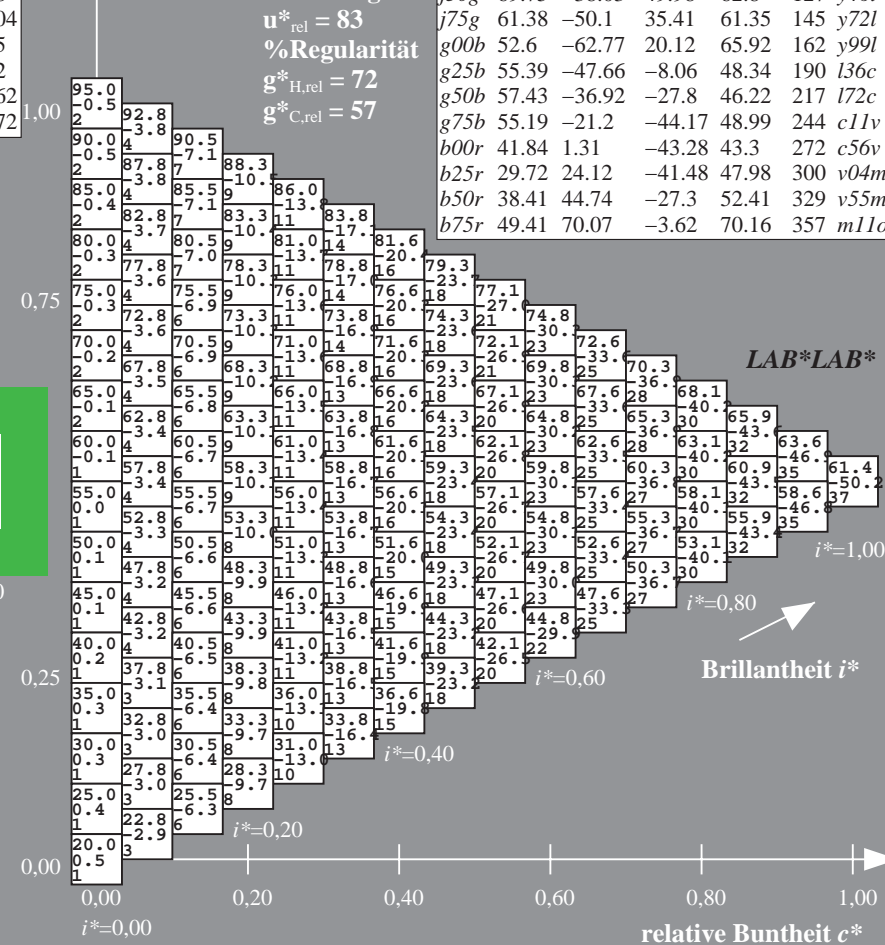
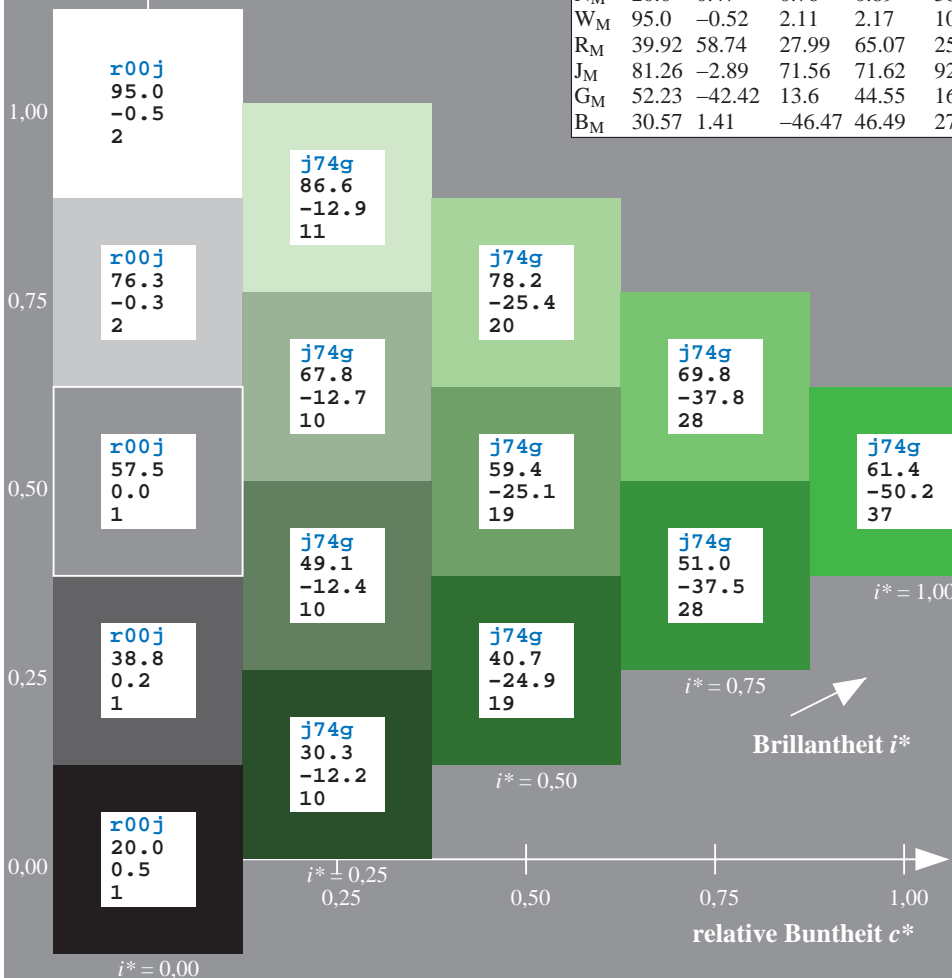
$u^*_{rel} = 83$

%Regularität

$g^*_{H,rel} = 72$

$g^*_{C,rel} = 57$

ORS20_95a; adaptierte CIELAB-Daten									
u^*_e	$L^*=L^*_a$	a^*_a	b^*_a	$C^*_{ab,a}$	$h^*_{ab,a}$	u^*_d			
r00j	48.83	63.91	30.45	70.79	25	m84o			
r25j	55.53	50.37	45.65	67.97	42	o17y			
r50j	64.76	33.86	56.12	65.55	59	o42y			
r75j	74.12	17.13	66.74	68.9	76	o67y			
j00g	85.5	-3.22	79.65	79.72	92	o92y			
j25g	79.45	-24.05	66.85	71.04	110	y20l			
j50g	69.75	-38.03	49.98	62.8	127	y46l			
j75g	61.38	-50.1	35.41	61.35	145	y72l			
g00b	52.6	-62.77	20.12	65.92	162	y99l			
g25b	55.39	-47.66	-8.06	48.34	190	l36c			
g50b	57.43	-36.92	-27.8	46.22	217	l72c			
g75b	55.19	-21.2	-44.17	48.99	244	c11v			
b00r	41.84	1.31	-43.28	43.3	272	c56v			
b25r	29.72	24.12	-41.48	47.98	300	v04m			
b50r	38.41	44.74	-27.3	52.41	329	v55m			
b75r	49.41	70.07	-3.62	70.16	357	m11o			



Ein und Ausgabe: Farbmetrisches Drucker-Reflektiv-System ORS20_95a für relativen CIELAB-Buntton $h^* = lab^*h^* = h_{ab}/360 = 0.451$

Daten für jede Farbe:

lab^*tch^* und lab^*icu^*

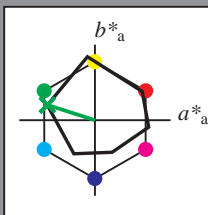
Bunttontexte:

$u^*_e = g00b$ $u^*_d = y99l$

Kontrastreduzierungsfaktor:

$c_R = 0.96$

Dreiecks-Helligkeit t^*



ORS20_95; CIELAB-Daten						
u^*_e	$L^*=L^*$	a^*	b^*	C^*_{ab}	h^*_{ab}	
O _M	48.71	62.65	39.19	73.89	32	
Y _M	89.25	-10.36	85.91	86.53	97	
L _M	52.5	-62.88	21.3	66.38	161	
C _M	59.15	-27.92	-42.97	51.24	237	
V _M	29.13	23.07	-41.51	47.5	299	
M _M	49.51	71.15	-7.9	71.59	354	
N _M	20.0	0.47	0.76	0.89	58	
W _M	95.0	-0.52	2.11	2.17	104	
R _M	39.92	58.74	27.99	65.07	25	
J _M	81.26	-2.89	71.56	71.62	92	
G _M	52.23	-42.42	13.6	44.55	162	
B _M	30.57	1.41	-46.47	46.49	272	

Daten für Maximalfarbe (Ma):

$LAB^*LAB^*Ma: 53 -63 20$

$LAB^*LCH^*Ma: 53 66 162$

$lab^*rgb^*Ma: 0.0 1.0 0.0$

$lab^*olv^*Ma: 0.0 1.0 0.0$

Dreiecks-Helligkeit t^*

%Umfang

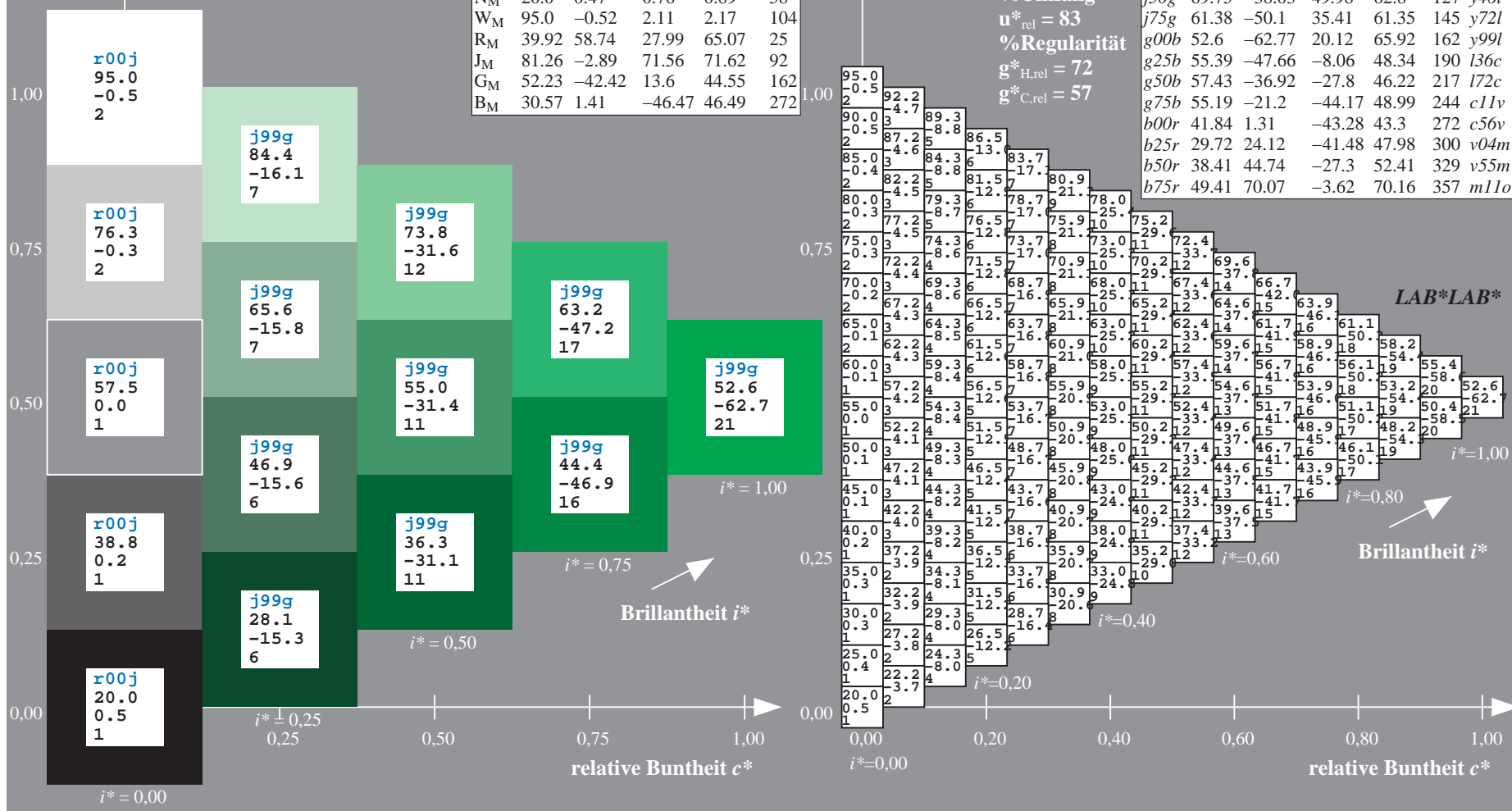
$u^*_{rel} = 83$

%Regularität

$g^*_{H,rel} = 72$

$g^*_{C,rel} = 57$

ORS20_95a; adaptierte CIELAB-Daten									
u^*_e	$L^*=L^*_a$	a^*_a	b^*_a	$C^*_{ab,a}$	$h^*_{ab,a}$	u^*_d			
r00j	48.83	63.91	30.45	70.79	25	m84o			
r25j	55.53	50.37	45.65	67.97	42	o17y			
r50j	64.76	33.86	56.12	65.55	59	o42y			
r75j	74.12	17.13	66.74	68.9	76	o67y			
j00g	85.5	-3.22	79.65	79.72	92	o92y			
j25g	79.45	-24.05	66.85	71.04	110	y20l			
j50g	69.75	-38.03	49.98	62.8	127	y46l			
j75g	61.38	-50.1	35.41	61.35	145	y72l			
g00b	52.6	-62.77	20.12	65.92	162	y99l			
g25b	55.39	-47.66	-8.06	48.34	190	l36c			
g50b	57.43	-36.92	-27.8	46.22	217	l72c			
g75b	55.19	-21.2	-44.17	48.99	244	c11v			
b00r	41.84	1.31	-43.28	43.3	272	c56v			
b25r	29.72	24.12	-41.48	47.98	300	v04m			
b50r	38.41	44.74	-27.3	52.41	329	v55m			
b75r	49.41	70.07	-3.62	70.16	357	m11o			



Ein und Ausgabe: Farbmetrisches Drucker-Reflektiv-System ORS20_95a für relativen CIELAB-Buntton $h^* = \text{lab}^*h^* = h_{ab}/360 = 0.527$

Daten für jede Farbe:

lab^*tch^* und lab^*icu^*

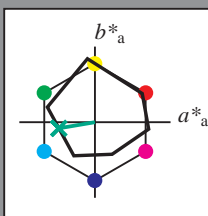
Bunttontexte:

$u^*_e = g25b$ $u^*_d = l36c$

Kontrastreduzierungsfaktor:

$c_R = 0.96$

Dreiecks-Helligkeit i^*



ORS20_95; CIELAB-Daten						
u^*_e	$L^*=L^*_a$	a^*	b^*	C^*_{ab}	h^*_{ab}	
O _M	48.71	62.65	39.19	73.89	32	
Y _M	89.25	-10.36	85.91	86.53	97	
L _M	52.5	-62.88	21.3	66.38	161	
C _M	59.15	-27.92	-42.97	51.24	237	
V _M	29.13	23.07	-41.51	47.5	299	
M _M	49.51	71.15	-7.9	71.59	354	
N _M	20.0	0.47	0.76	0.89	58	
W _M	95.0	-0.52	2.11	2.17	104	
R _M	39.92	58.74	27.99	65.07	25	
J _M	81.26	-2.89	71.56	71.62	92	
G _M	52.23	-42.42	13.6	44.55	162	
B _M	30.57	1.41	-46.47	46.49	272	

Daten für Maximalfarbe (Ma):

$\text{LAB}^*\text{LAB}^*_{\text{Ma}}: 55 -48 -8$

$\text{LAB}^*\text{LCH}^*_{\text{Ma}}: 55 48 189$

$\text{lab}^*\text{rgb}^*_{\text{Ma}}: 0.0 1.0 0.5$

$\text{lab}^*\text{olv}^*_{\text{Ma}}: 0.0 1.0 0.36$

Dreiecks-Helligkeit i^*

%Umfang

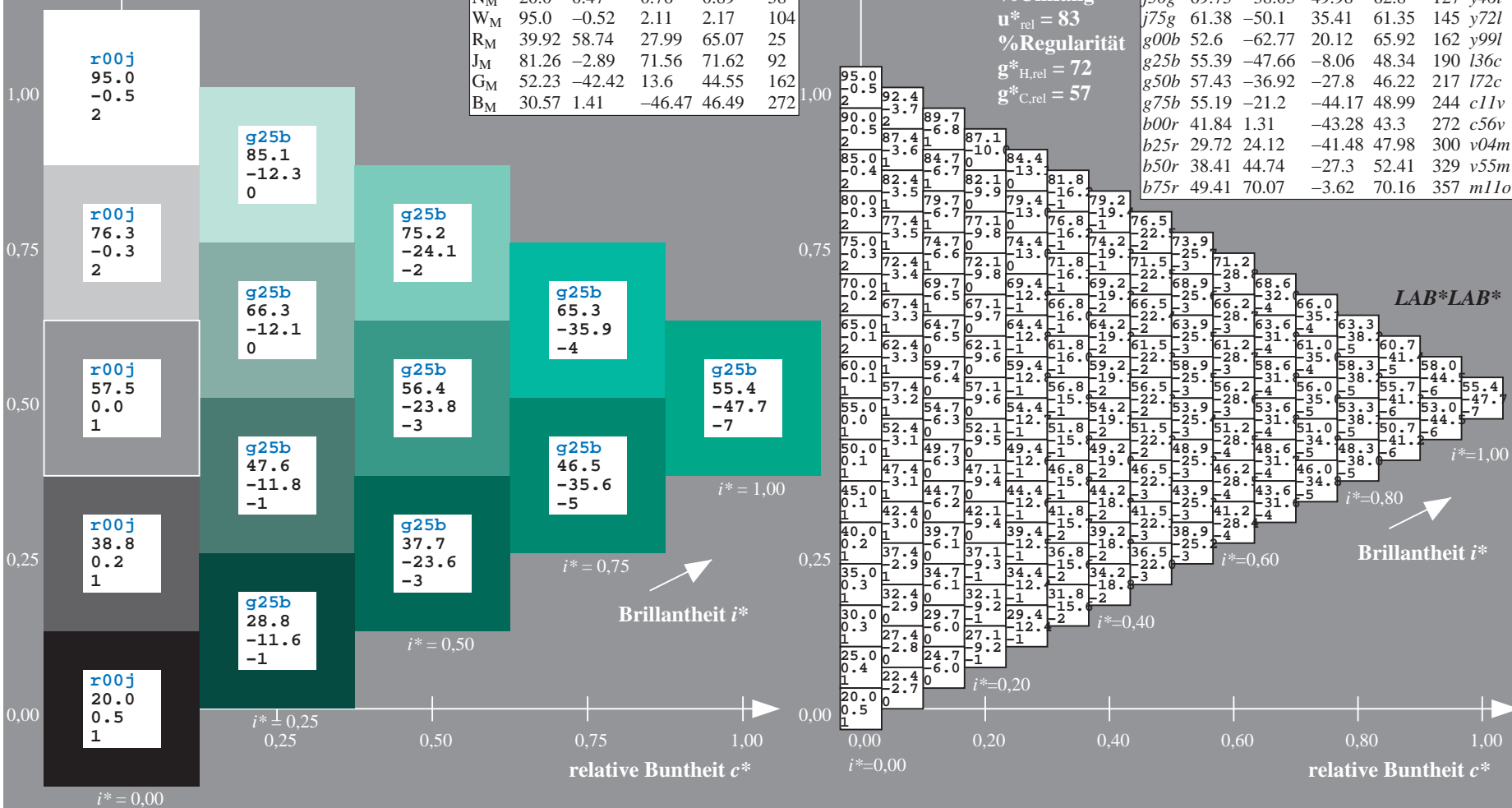
$u^*_{\text{rel}} = 83$

%Regularität

$g^*_{H,\text{rel}} = 72$

$g^*_{C,\text{rel}} = 57$

ORS20_95a; adaptierte CIELAB-Daten									
u^*_e	$L^*=L^*_a$	a^*_a	b^*_a	$C^*_{ab,a}$	$h^*_{ab,a}$	u^*_d			
r00j	48.83	63.91	30.45	70.79	25	m84o			
r25j	55.53	50.37	45.65	67.97	42	o17y			
r50j	64.76	33.86	56.12	65.55	59	o42y			
r75j	74.12	17.13	66.74	68.9	76	o67y			
j00g	85.5	-3.22	79.65	79.72	92	o92y			
j25g	79.45	-24.05	66.85	71.04	110	y20l			
j50g	69.75	-38.03	49.98	62.8	127	y46l			
j75g	61.38	-50.1	35.41	61.35	145	y72l			
g00b	52.6	-62.77	20.12	65.92	162	y99l			
g25b	55.39	-47.66	-8.06	48.34	190	l36c			
g50b	57.43	-36.92	-27.8	46.22	217	l72c			
g75b	55.19	-21.2	-44.17	48.99	244	c11v			
b00r	41.84	1.31	-43.28	43.3	272	c56v			
b25r	29.72	24.12	-41.48	47.98	300	v04m			
b50r	38.41	44.74	-27.3	52.41	329	v55m			
b75r	49.41	70.07	-3.62	70.16	357	m11o			



Ein und Ausgabe: Farbmetrisches Drucker-Reflektiv-System ORS20_95a für relativen CIELAB-Buntton $h^* = lab^*h^* = h_{ab}/360 = 0.603$

Daten für jede Farbe:

lab^*ch^* und lab^*icu^*

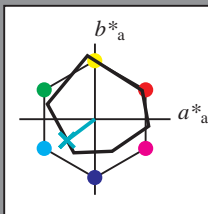
Bunttontexte:

$u^*_e = g50b$ $u^*_d = l72c$

Kontrastreduzierungsfaktor:

$c_R = 0.96$

Dreiecks-Helligkeit i^*



ORS20_95; CIELAB-Daten						
u^*_e	$L^*=L^*_a$	a^*	b^*	C^*_{ab}	h^*_{ab}	
O _M	48.71	62.65	39.19	73.89	32	
Y _M	89.25	-10.36	85.91	86.53	97	
L _M	52.5	-62.88	21.3	66.38	161	
C _M	59.15	-27.92	-42.97	51.24	237	
V _M	29.13	23.07	-41.51	47.5	299	
M _M	49.51	71.15	-7.9	71.59	354	
N _M	20.0	0.47	0.76	0.89	58	
W _M	95.0	-0.52	2.11	2.17	104	
R _M	39.92	58.74	27.99	65.07	25	
J _M	81.26	-2.89	71.56	71.62	92	
G _M	52.23	-42.42	13.6	44.55	162	
B _M	30.57	1.41	-46.47	46.49	272	

Daten für Maximalfarbe (Ma):

$LAB^*LAB^*Ma: 57 -37 -28$

$LAB^*LCH^*Ma: 57 46 216$

$lab^*rgb^*Ma: 0.0 1.0 1.0$

$lab^*olv^*Ma: 0.0 1.0 0.72$

Dreiecks-Helligkeit i^*

%Umfang

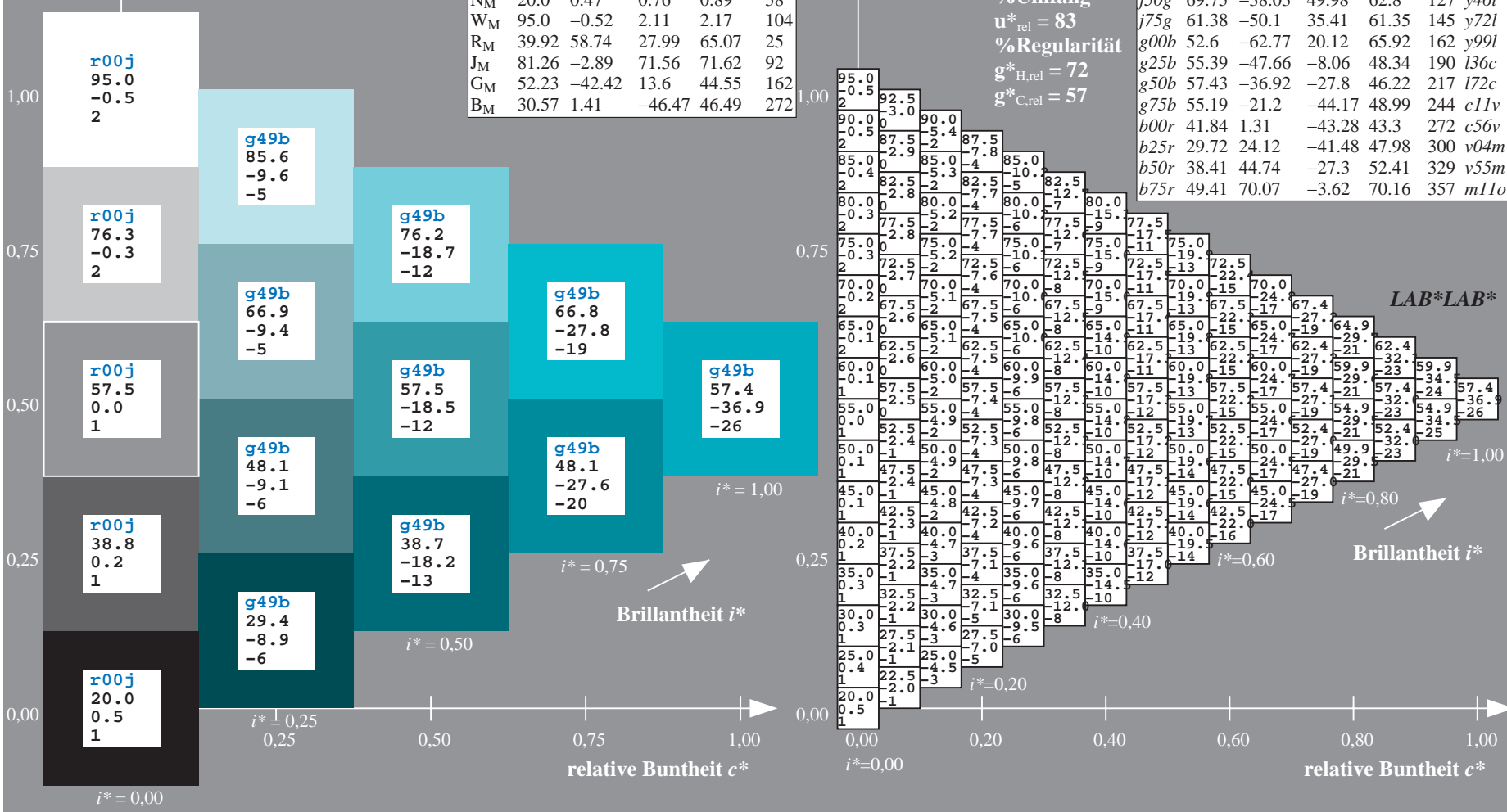
$u^*_{rel} = 83$

%Regularität

$g^*_{H,rel} = 72$

$g^*_{C,rel} = 57$

ORS20_95a; adaptierte CIELAB-Daten									
u^*_e	$L^*=L^*_a$	a^*_a	b^*_a	$C^*_{ab,a}$	$h^*_{ab,a}$	u^*_d			
r00j	48.83	63.91	30.45	70.79	25	m84o			
r25j	55.53	50.37	45.65	67.97	42	o17y			
r50j	64.76	33.86	56.12	65.55	59	o42y			
r75j	74.12	17.13	66.74	68.9	76	o67y			
j00g	85.5	-3.22	79.65	79.72	92	o92y			
j25g	79.45	-24.05	66.85	71.04	110	y20l			
j50g	69.75	-38.03	49.98	62.8	127	y46l			
j75g	61.38	-50.1	35.41	61.35	145	y72l			
g00b	52.6	-62.77	20.12	65.92	162	y99l			
g25b	55.39	-47.66	-8.06	48.34	190	l36c			
g50b	57.43	-36.92	-27.8	46.22	217	l72c			
g75b	55.19	-21.2	-44.17	48.99	244	c11v			
b00r	41.84	1.31	-43.28	43.3	272	c56v			
b25r	29.72	24.12	-41.48	47.98	300	v04m			
b50r	38.41	44.74	-27.3	52.41	329	v55m			
b75r	49.41	70.07	-3.62	70.16	357	m11o			



Ein und Ausgabe: Farbmetrisches Drucker-Reflektiv-System ORS20_95a für relativen CIELAB-Buntton $h^* = lab^*h^* = h_{ab}/360 = 0.679$

Daten für jede Farbe:
 lab^*tch^* und lab^*icu^*

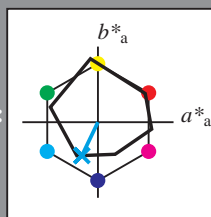
Bunttontexte:

$$u^*_e = g75b \quad u^*_d = c11v$$

Kontrastreduzierungsfaktor:

$$c_R = 0.96$$

Dreiecks-Helligkeit i^*



ORS20_95; CIELAB-Daten						
u^*_e	$L^*=L^*_a$	a^*	b^*	C^*_{ab}	h^*_{ab}	
O _M	48.71	62.65	39.19	73.89	32	
Y _M	89.25	-10.36	85.91	86.53	97	
L _M	52.5	-62.88	21.3	66.38	161	
C _M	59.15	-27.92	-42.97	51.24	237	
V _M	29.13	23.07	-41.51	47.5	299	
M _M	49.51	71.15	-7.9	71.59	354	
N _M	20.0	0.47	0.76	0.89	58	
W _M	95.0	-0.52	2.11	2.17	104	
R _M	39.92	58.74	27.99	65.07	25	
J _M	81.26	-2.89	71.56	71.62	92	
G _M	52.23	-42.42	13.6	44.55	162	
B _M	30.57	1.41	-46.47	46.49	272	

Daten für Maximalfarbe (Ma):

$LAB^*LAB^*_{Ma}$: 55 -21 -44

$LAB^*LCH^*_{Ma}$: 55 49 244

$lab^*rgb^*_{Ma}$: 0.0 0.5 1.0

$lab^*olv^*_{Ma}$: 0.0 0.89 1.0

Dreiecks-Helligkeit i^*

%Umfang

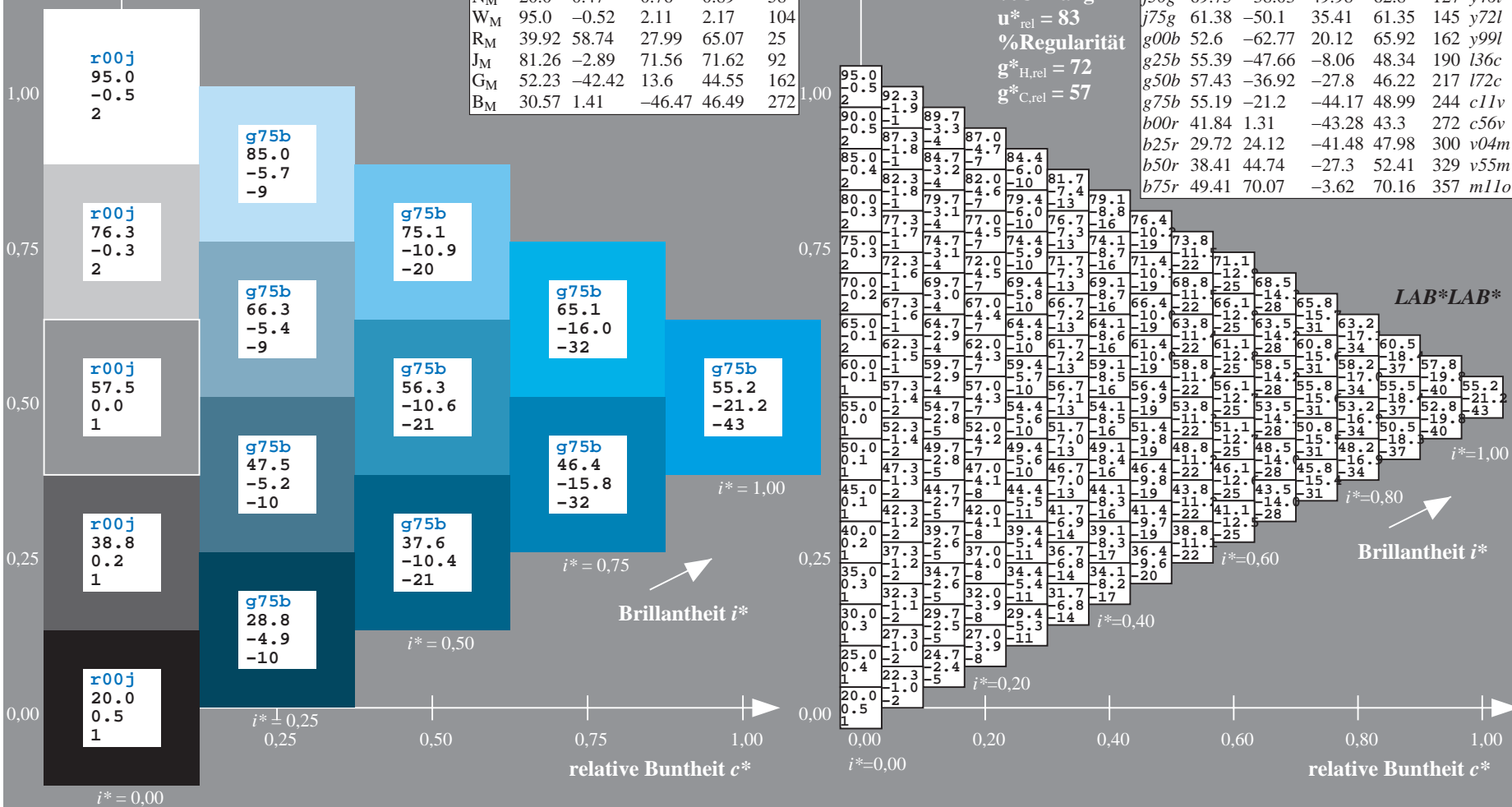
$u^*_{rel} = 83$

%Regularität

$g^*_{H,rel} = 72$

$g^*_{C,rel} = 57$

ORS20_95a; adaptierte CIELAB-Daten									
u^*_e	$L^*=L^*_a$	a^*_a	b^*_a	$C^*_{ab,a}$	$h^*_{ab,a}$	u^*_d			
r00j	48.83	63.91	30.45	70.79	25	m84o			
r25j	55.53	50.37	45.65	67.97	42	o17y			
r50j	64.76	33.86	56.12	65.55	59	o42y			
r75j	74.12	17.13	66.74	68.9	76	o67y			
j00g	85.5	-3.22	79.65	79.72	92	o92y			
j25g	79.45	-24.05	66.85	71.04	110	y20l			
j50g	69.75	-38.03	49.98	62.8	127	y46l			
j75g	61.38	-50.1	35.41	61.35	145	y72l			
g00b	52.6	-62.77	20.12	65.92	162	y99l			
g25b	55.39	-47.66	-8.06	48.34	190	l36c			
g50b	57.43	-36.92	-27.8	46.22	217	l72c			
g75b	55.19	-21.2	-44.17	48.99	244	c11v			
b00r	41.84	1.31	-43.28	43.3	272	c56v			
b25r	29.72	24.12	-41.48	47.98	300	v04m			
b50r	38.41	44.74	-27.3	52.41	329	v55m			
b75r	49.41	70.07	-3.62	70.16	357	m11o			



Ein und Ausgabe: Farbmetrisches Drucker-Reflektiv-System ORS20_95a für relativen CIELAB-Buntton $h^* = lab^*h^* = h_{ab}/360 = 0.755$

Daten für jede Farbe:

lab^*ch^* und lab^*icu^*

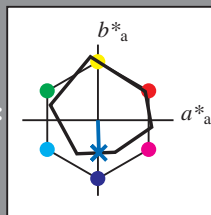
Bunttontexte:

$u^*_e = b00r$ $u^*_d = c56v$

Kontrastreduzierungsfaktor:

$c_R = 0.96$

Dreiecks-Helligkeit i^*



ORS20_95; CIELAB-Daten						
u^*_e	$L^*=L^*_a$	a^*	b^*	C^*_{ab}	h^*_{ab}	
O _M	48.71	62.65	39.19	73.89	32	
Y _M	89.25	-10.36	85.91	86.53	97	
L _M	52.5	-62.88	21.3	66.38	161	
C _M	59.15	-27.92	-42.97	51.24	237	
V _M	29.13	23.07	-41.51	47.5	299	
M _M	49.51	71.15	-7.9	71.59	354	
N _M	20.0	0.47	0.76	0.89	58	
W _M	95.0	-0.52	2.11	2.17	104	
R _M	39.92	58.74	27.99	65.07	25	
J _M	81.26	-2.89	71.56	71.62	92	
G _M	52.23	-42.42	13.6	44.55	162	
B _M	30.57	1.41	-46.47	46.49	272	

Daten für Maximalfarbe (Ma):

LAB^*LAB^*Ma : 42 1 -43

LAB^*LCH^*Ma : 42 43 271

lab^*rgb^*Ma : 0.0 0.0 1.0

lab^*olv^*Ma : 0.0 0.44 1.0

Dreiecks-Helligkeit i^*

%Umfang

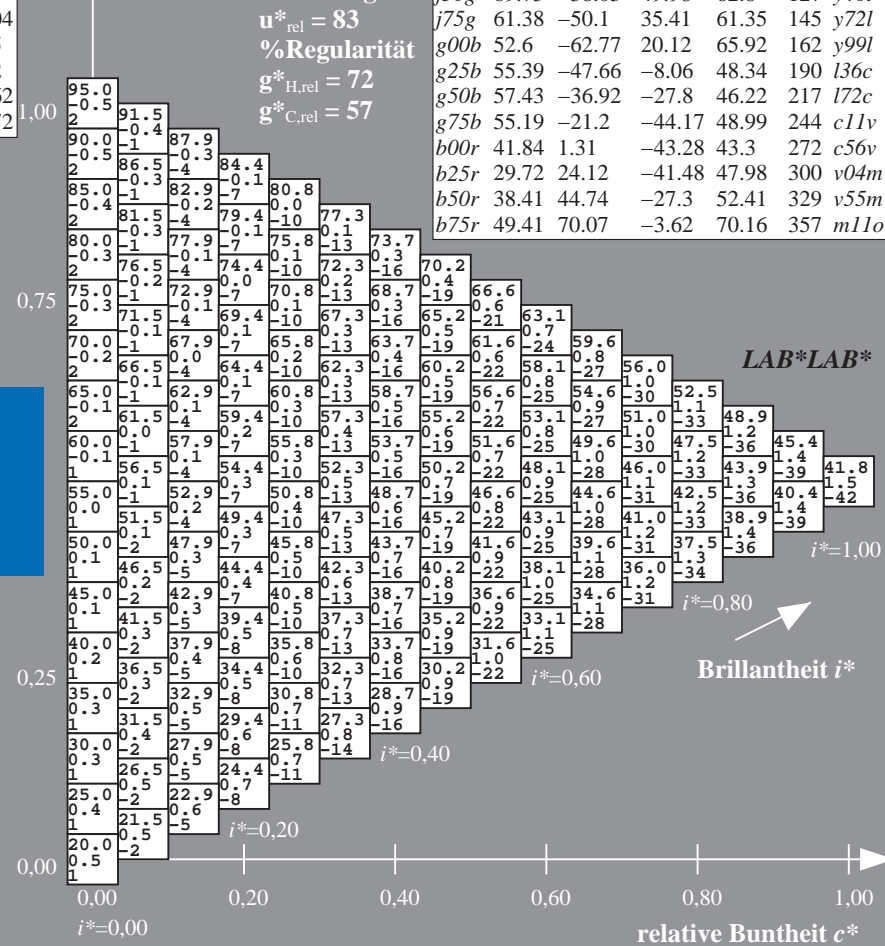
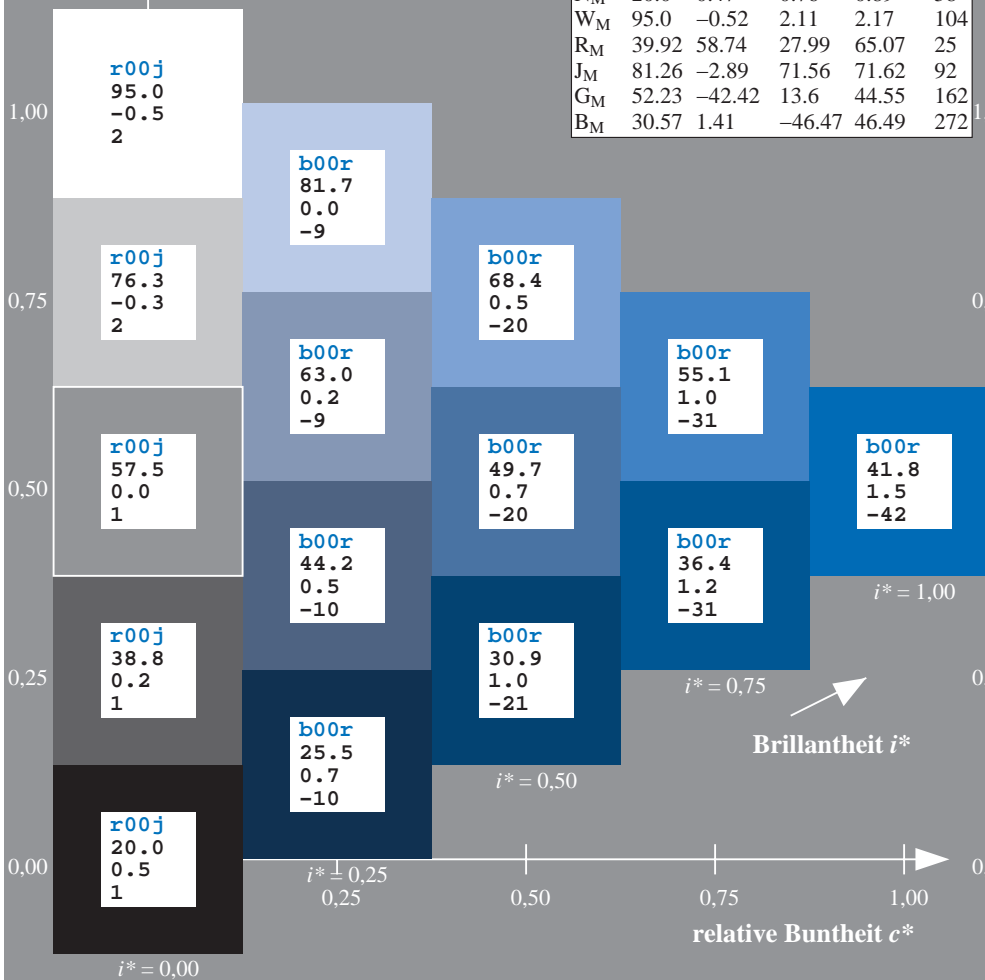
$u^*_{rel} = 83$

%Regularität

$g^*_{H,rel} = 72$

$g^*_{C,rel} = 57$

ORS20_95a; adaptierte CIELAB-Daten									
u^*_e	$L^*=L^*_a$	a^*_a	b^*_a	$C^*_{ab,a}$	$h^*_{ab,a}$	u^*_d			
r00j	48.83	63.91	30.45	70.79	25	m84o			
r25j	55.53	50.37	45.65	67.97	42	o17y			
r50j	64.76	33.86	56.12	65.55	59	o42y			
r75j	74.12	17.13	66.74	68.9	76	o67y			
j00g	85.5	-3.22	79.65	79.72	92	o92y			
j25g	79.45	-24.05	66.85	71.04	110	y20l			
j50g	69.75	-38.03	49.98	62.8	127	y46l			
j75g	61.38	-50.1	35.41	61.35	145	y72l			
g00b	52.6	-62.77	20.12	65.92	162	y99l			
g25b	55.39	-47.66	-8.06	48.34	190	l36c			
g50b	57.43	-36.92	-27.8	46.22	217	l72c			
g75b	55.19	-21.2	-44.17	48.99	244	c11v			
b00r	41.84	1.31	-43.28	43.3	272	c56v			
b25r	29.72	24.12	-41.48	47.98	300	v04m			
b50r	38.41	44.74	-27.3	52.41	329	v55m			
b75r	49.41	70.07	-3.62	70.16	357	m11o			



Ein und Ausgabe: Farbmetrisches Drucker-Reflektiv-System ORS20_95a für relativen CIELAB-Buntton $h^* = lab^*h^* = h_{ab}/360 = 0.834$

Daten für jede Farbe:

lab^*tch^* und lab^*icu^*

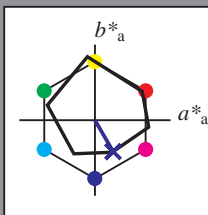
Bunttontexte:

$u^*_e = b25r$ $u^*_d = v04m$

Kontrastreduzierungsfaktor:

$c_R = 0.96$

Dreiecks-Helligkeit i^*



ORS20_95; CIELAB-Daten						
u^*_e	$L^*=L^*_a$	a^*	b^*	C^*_{ab}	h^*_{ab}	
O _M	48.71	62.65	39.19	73.89	32	
Y _M	89.25	-10.36	85.91	86.53	97	
L _M	52.5	-62.88	21.3	66.38	161	
C _M	59.15	-27.92	-42.97	51.24	237	
V _M	29.13	23.07	-41.51	47.5	299	
M _M	49.51	71.15	-7.9	71.59	354	
N _M	20.0	0.47	0.76	0.89	58	
W _M	95.0	-0.52	2.11	2.17	104	
R _M	39.92	58.74	27.99	65.07	25	
J _M	81.26	-2.89	71.56	71.62	92	
G _M	52.23	-42.42	13.6	44.55	162	
B _M	30.57	1.41	-46.47	46.49	272	

Daten für Maximalfarbe (Ma):

$LAB^*LAB^*_{Ma}$: 30 24 -41

$LAB^*LCH^*_{Ma}$: 30 48 300

$lab^*rgb^*_{Ma}$: 0.5 0.0 1.0

$lab^*olv^*_{Ma}$: 0.04 0.0 1.0

Dreiecks-Helligkeit i^*

%Umfang

$u^*_{rel} = 83$

%Regularität

$g^*_{H,rel} = 72$

$g^*_{C,rel} = 57$

ORS20_95a; adaptierte CIELAB-Daten									
u^*_e	$L^*=L^*_a$	a^*_a	b^*_a	$C^*_{ab,a}$	$h^*_{ab,a}$	u^*_d			
r00j	48.83	63.91	30.45	70.79	25	m84o			
r25j	55.53	50.37	45.65	67.97	42	o17y			
r50j	64.76	33.86	56.12	65.55	59	o42y			
r75j	74.12	17.13	66.74	68.9	76	o67y			
j00g	85.5	-3.22	79.65	79.72	92	o92y			
j25g	79.45	-24.05	66.85	71.04	110	y20l			
j50g	69.75	-38.03	49.98	62.8	127	y46l			
j75g	61.38	-50.1	35.41	61.35	145	y72l			
g00b	52.6	-62.77	20.12	65.92	162	y99l			
g25b	55.39	-47.66	-8.06	48.34	190	l36c			
g50b	57.43	-36.92	-27.8	46.22	217	l72c			
g75b	55.19	-21.2	-44.17	48.99	244	c11v			
b00r	41.84	1.31	-43.28	43.3	272	c56v			
b25r	29.72	24.12	-41.48	47.98	300	v04m			
b50r	38.41	44.74	-27.3	52.41	329	v55m			
b75r	49.41	70.07	-3.62	70.16	357	m11o			

LAB^*LAB^*

$i^*=1.00$

Brillantheit i^*

$i^*=0.80$

$i^*=0.60$

$i^*=0.40$

$i^*=0.20$

$i^*=0.00$

Ein und Ausgabe: Farbmetrisches Drucker-Reflektiv-System ORS20_95a für relativen CIELAB-Buntton $h^* = lab^*h^* = h_{ab}/360 = 0.913$

Daten für jede Farbe:

lab^*ch^* und lab^*icu^*

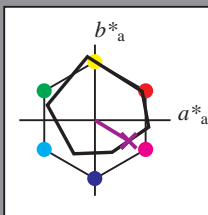
Bunttontexte:

$u^*_e = b50r$ $u^*_d = v55m$

Kontrastreduzierungsfaktor:

$c_R = 0.96$

Dreiecks-Helligkeit i^*



ORS20_95; CIELAB-Daten						
u^*_e	$L^*=L^*$	a^*	b^*	C^*_{ab}	h^*_{ab}	
O _M	48.71	62.65	39.19	73.89	32	
Y _M	89.25	-10.36	85.91	86.53	97	
L _M	52.5	-62.88	21.3	66.38	161	
C _M	59.15	-27.92	-42.97	51.24	237	
V _M	29.13	23.07	-41.51	47.5	299	
M _M	49.51	71.15	-7.9	71.59	354	
N _M	20.0	0.47	0.76	0.89	58	
W _M	95.0	-0.52	2.11	2.17	104	
R _M	39.92	58.74	27.99	65.07	25	
J _M	81.26	-2.89	71.56	71.62	92	
G _M	52.23	-42.42	13.6	44.55	162	
B _M	30.57	1.41	-46.47	46.49	272	

Daten für Maximalfarbe (Ma):

$LAB^*LAB^*_{Ma}$: 38 45 -27

$LAB^*LCH^*_{Ma}$: 38 52 328

$lab^*rgb^*_{Ma}$: 1.0 0.0 1.0

$lab^*olv^*_{Ma}$: 0.56 0.0 1.0

Dreiecks-Helligkeit i^*

%Umfang

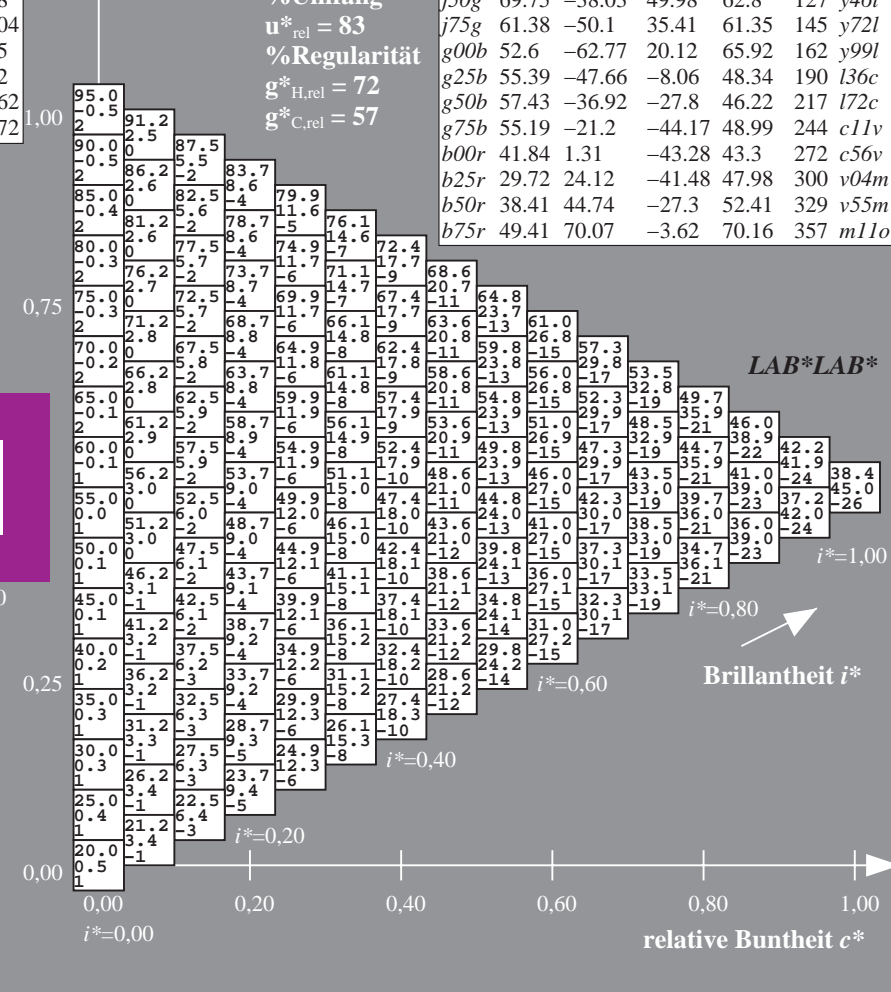
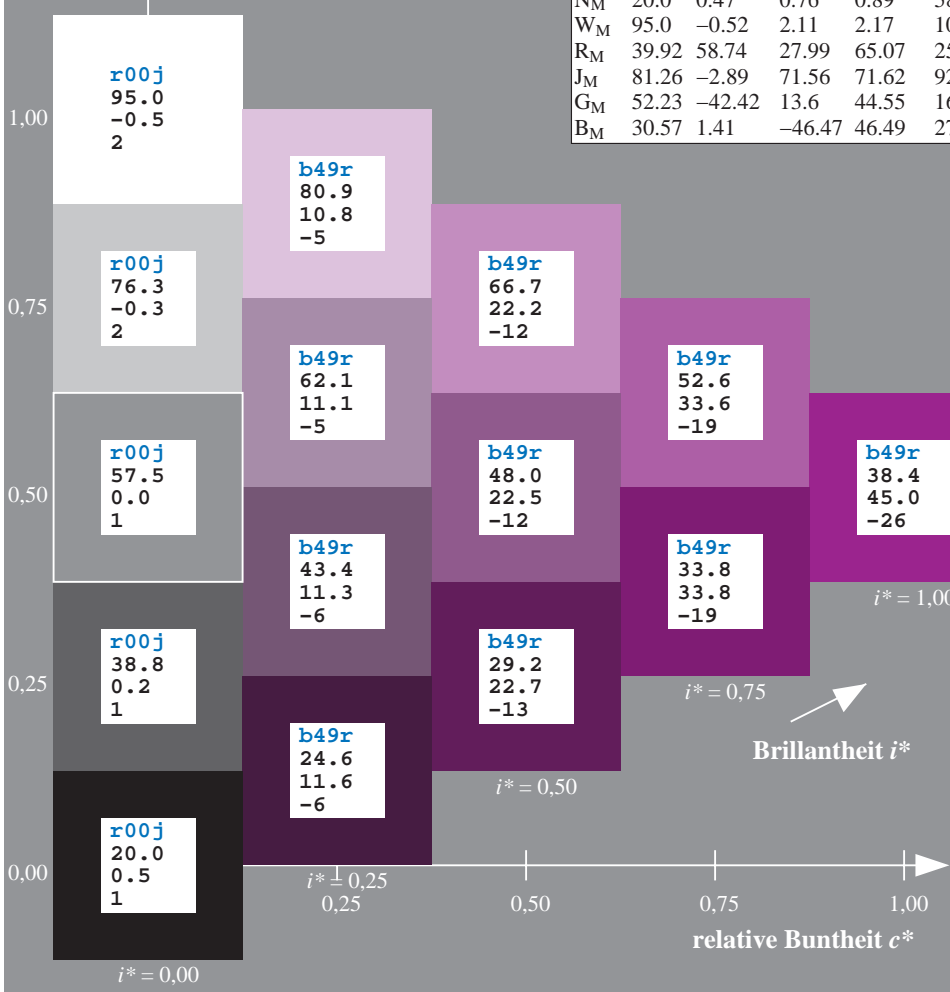
$u^*_{rel} = 83$

%Regularität

$g^*_{H,rel} = 72$

$g^*_{C,rel} = 57$

ORS20_95a; adaptierte CIELAB-Daten									
u^*_e	$L^*=L^*_a$	a^*_a	b^*_a	$C^*_{ab,a}$	$h^*_{ab,a}$	u^*_d			
r00j	48.83	63.91	30.45	70.79	25	m84o			
r25j	55.53	50.37	45.65	67.97	42	o17y			
r50j	64.76	33.86	56.12	65.55	59	o42y			
r75j	74.12	17.13	66.74	68.9	76	o67y			
j00g	85.5	-3.22	79.65	79.72	92	o92y			
j25g	79.45	-24.05	66.85	71.04	110	y20l			
j50g	69.75	-38.03	49.98	62.8	127	y46l			
j75g	61.38	-50.1	35.41	61.35	145	y72l			
g00b	52.6	-62.77	20.12	65.92	162	y99l			
g25b	55.39	-47.66	-8.06	48.34	190	l36c			
g50b	57.43	-36.92	-27.8	46.22	217	l72c			
g75b	55.19	-21.2	-44.17	48.99	244	c11v			
b00r	41.84	1.31	-43.28	43.3	272	c56v			
b25r	29.72	24.12	-41.48	47.98	300	v04m			
b50r	38.41	44.74	-27.3	52.41	329	v55m			
b75r	49.41	70.07	-3.62	70.16	357	m11o			



Ein und Ausgabe: Farbmetrisches Drucker-Reflektiv-System ORS20_95a für relativen CIELAB-Buntton $h^* = lab^*h^* = h_{ab}/360 = 0.992$

Daten für jede Farbe:

lab^*ch^* und lab^*icu^*

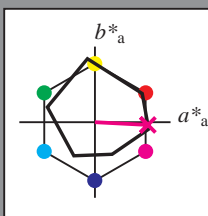
Bunttontexte:

$u^*_e = b75r$ $u^*_d = m11o$

Kontrastreduzierungsfaktor:

$c_R = 0.96$

Dreiecks-Helligkeit t^*



ORS20_95; CIELAB-Daten						
u^*_e	$L^*=L^*$	a^*	b^*	C^*_{ab}	h^*_{ab}	
O _M	48.71	62.65	39.19	73.89	32	
Y _M	89.25	-10.36	85.91	86.53	97	
L _M	52.5	-62.88	21.3	66.38	161	
C _M	59.15	-27.92	-42.97	51.24	237	
V _M	29.13	23.07	-41.51	47.5	299	
M _M	49.51	71.15	-7.9	71.59	354	
N _M	20.0	0.47	0.76	0.89	58	
W _M	95.0	-0.52	2.11	2.17	104	
R _M	39.92	58.74	27.99	65.07	25	
J _M	81.26	-2.89	71.56	71.62	92	
G _M	52.23	-42.42	13.6	44.55	162	
B _M	30.57	1.41	-46.47	46.49	272	

Daten für Maximalfarbe (Ma):

LAB^*LAB^*Ma : 49 70 -4

LAB^*LCH^*Ma : 49 70 357

lab^*rgb^*Ma : 1.0 0.0 0.5

lab^*olv^*Ma : 1.0 0.0 0.89

Dreiecks-Helligkeit t^*

%Umfang

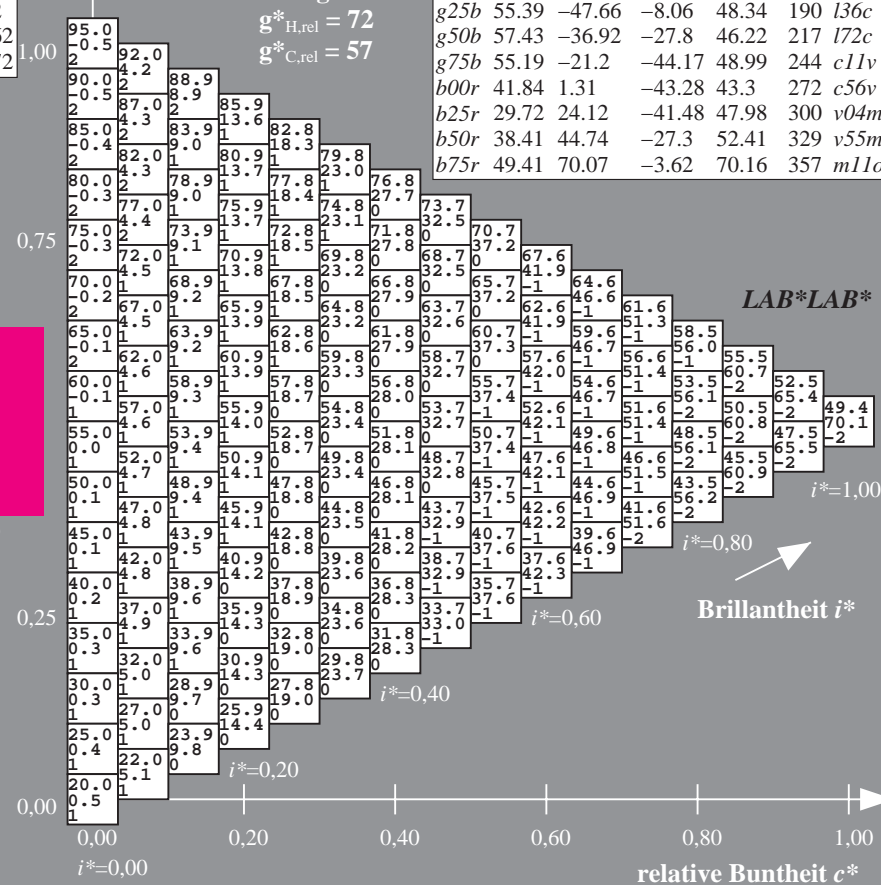
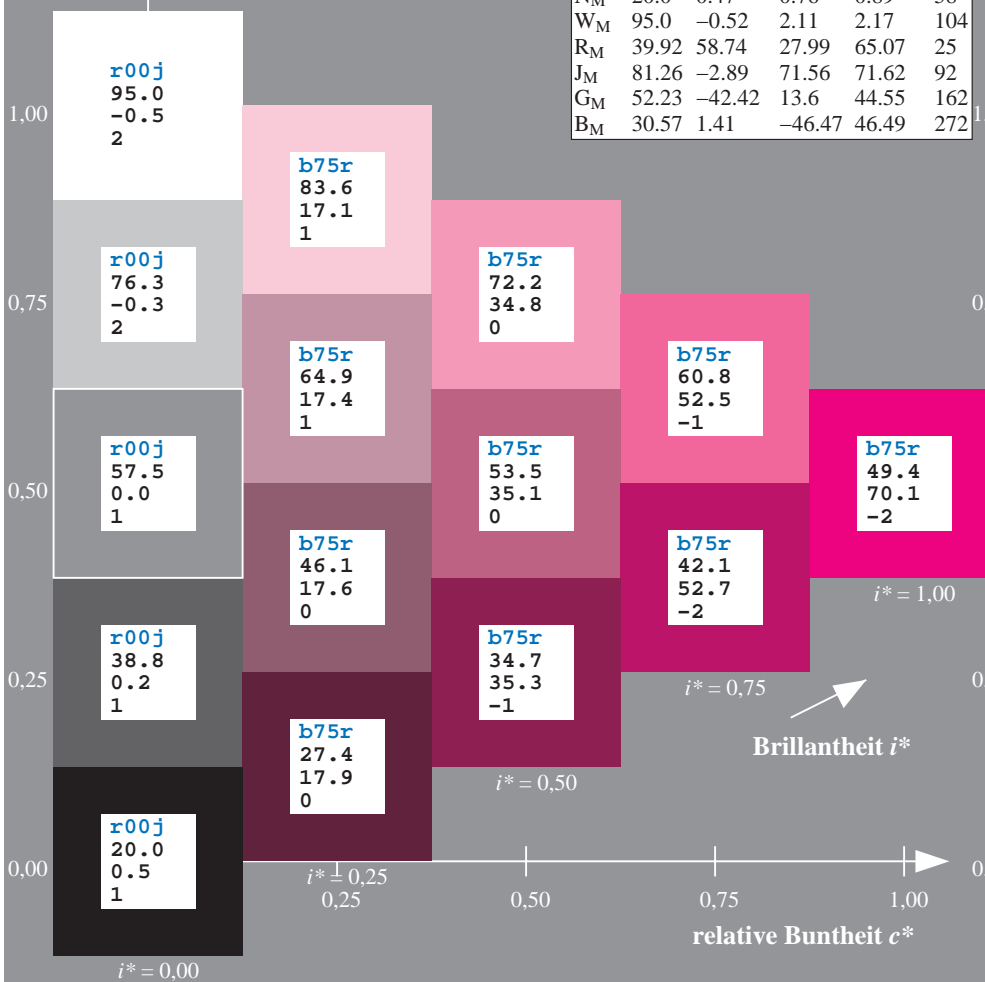
$u^*_{rel} = 83$

%Regularität

$g^*_{H,rel} = 72$

$g^*_{C,rel} = 57$

ORS20_95a; adaptierte CIELAB-Daten									
u^*_e	$L^*=L^*_a$	a^*_a	b^*_a	$C^*_{ab,a}$	$h^*_{ab,a}$	u^*_d			
r00j	48.83	63.91	30.45	70.79	25	m84o			
r25j	55.53	50.37	45.65	67.97	42	o17y			
r50j	64.76	33.86	56.12	65.55	59	o42y			
r75j	74.12	17.13	66.74	68.9	76	o67y			
j00g	85.5	-3.22	79.65	79.72	92	o92y			
j25g	79.45	-24.05	66.85	71.04	110	y20l			
j50g	69.75	-38.03	49.98	62.8	127	y46l			
j75g	61.38	-50.1	35.41	61.35	145	y72l			
g00b	52.6	-62.77	20.12	65.92	162	y99l			
g25b	55.39	-47.66	-8.06	48.34	190	l36c			
g50b	57.43	-36.92	-27.8	46.22	217	l72c			
g75b	55.19	-21.2	-44.17	48.99	244	c11v			
b00r	41.84	1.31	-43.28	43.3	272	c56v			
b25r	29.72	24.12	-41.48	47.98	300	v04m			
b50r	38.41	44.74	-27.3	52.41	329	v55m			
b75r	49.41	70.07	-3.62	70.16	357	m11o			



Siehe ähnliche Dateien: <http://www.ps.bam.de/Eg13/>; www.ps.bam.de/Eg13/
Technische Information: <http://www.ps.bam.de/Version2.1,io=1.1,ColSpX=1>

BAM-Registrierung: 20081001-Eg13/10L/L13G00NA.PS/.TXT BAM-Material: Code=rh4ta
Anwendung für Beurteilung und Messung von Drucker- oder Monitorsystemen

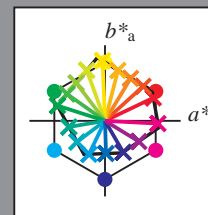
	A	B	C	D	E	F	G	H	I	J	K	L	M	N	O	P	Q	R	S	T	U	V	W	X	Y	Z	a	b	c	d	e	f	g	h	i	j	k	LAB*LAB*																																																																																																																																																																																																																																																																																																																																																																																																																																																																																																																																																																																																																																																																																																																																																																																																																																																																																																																																																																																																																																																																																																			
01	0.5	7.5	15.4	23.1	30.2	36.2	40.3	44.4	48.4	52.5	56.6	60.7	64.8	68.9	72.9	77.0	81.1	85.2	89.3	93.4	97.5	101.6	105.7	109.8	113.9	118.0	122.1	126.2	130.3	134.4	138.5	142.6	146.7	150.8	154.9	159.0	163.1	167.2	171.3	175.4	179.5	183.6	187.7	191.8	195.9	200.0	204.1	208.2	212.3	216.4	220.5	224.6	228.7	232.8	236.9	241.0	245.1	249.2	253.3	257.4	261.5	265.6	269.7	273.8	277.9	282.0	286.1	290.2	294.3	298.4	302.5	306.6	310.7	314.8	318.9	323.0	327.1	331.2	335.3	339.4	343.5	347.6	351.7	355.8	359.9	364.0	368.1	372.2	376.3	380.4	384.5	388.6	392.7	396.8	400.9	405.0	409.1	413.2	417.3	421.4	425.5	429.6	433.7	437.8	441.9	446.0	450.1	454.2	458.3	462.4	466.5	470.6	474.7	478.8	482.9	487.0	491.1	495.2	499.3	503.4	507.5	511.6	515.7	519.8	523.9	528.0	532.1	536.2	540.3	544.4	548.5	552.6	556.7	560.8	564.9	569.0	573.1	577.2	581.3	585.4	589.5	593.6	597.7	601.8	605.9	610.0	614.1	618.2	622.3	626.4	630.5	634.6	638.7	642.8	646.9	651.0	655.1	659.2	663.3	667.4	671.5	675.6	679.7	683.8	687.9	692.0	696.1	700.2	704.3	708.4	712.5	716.6	720.7	724.8	728.9	733.0	737.1	741.2	745.3	749.4	753.5	757.6	761.7	765.8	769.9	774.0	778.1	782.2	786.3	790.4	794.5	798.6	802.7	806.8	810.9	815.0	819.1	823.2	827.3	831.4	835.5	839.6	843.7	847.8	851.9	856.0	860.1	864.2	868.3	872.4	876.5	880.6	884.7	888.8	892.9	897.0	901.1	905.2	909.3	913.4	917.5	921.6	925.7	929.8	933.9	938.0	942.1	946.2	950.3	954.4	958.5	962.6	966.7	970.8	974.9	979.0	983.1	987.2	991.3	995.4	999.5	1003.6	1007.7	1011.8	1015.9	1020.0	1024.1	1028.2	1032.3	1036.4	1040.5	1044.6	1048.7	1052.8	1056.9	1061.0	1065.1	1069.2	1073.3	1077.4	1081.5	1085.6	1089.7	1093.8	1097.9	1102.0	1106.1	1110.2	1114.3	1118.4	1122.5	1126.6	1130.7	1134.8	1138.9	1143.0	1147.1	1151.2	1155.3	1159.4	1163.5	1167.6	1171.7	1175.8	1179.9	1184.0	1188.1	1192.2	1196.3	1200.4	1204.5	1208.6	1212.7	1216.8	1220.9	1225.0	1229.1	1233.2	1237.3	1241.4	1245.5	1249.6	1253.7	1257.8	1261.9	1266.0	1270.1	1274.2	1278.3	1282.4	1286.5	1290.6	1294.7	1298.8	1302.9	1307.0	1311.1	1315.2	1319.3	1323.4	1327.5	1331.6	1335.7	1339.8	1343.9	1348.0	1352.1	1356.2	1360.3	1364.4	1368.5	1372.6	1376.7	1380.8	1384.9	1389.0	1393.1	1397.2	1401.3	1405.4	1409.5	1413.6	1417.7	1421.8	1425.9	1430.0	1434.1	1438.2	1442.3	1446.4	1450.5	1454.6	1458.7	1462.8	1466.9	1471.0	1475.1	1479.2	1483.3	1487.4	1491.5	1495.6	1499.7	1503.8	1507.9	1512.0	1516.1	1520.2	1524.3	1528.4	1532.5	1536.6	1540.7	1544.8	1548.9	1553.0	1557.1	1561.2	1565.3	1569.4	1573.5	1577.6	1581.7	1585.8	1589.9	1594.0	1598.1	1602.2	1606.3	1610.4	1614.5	1618.6	1622.7	1626.8	1630.9	1635.0	1639.1	1643.2	1647.3	1651.4	1655.5	1659.6	1663.7	1667.8	1671.9	1676.0	1680.1	1684.2	1688.3	1692.4	1696.5	1700.6	1704.7	1708.8	1712.9	1717.0	1721.1	1725.2	1729.3	1733.4	1737.5	1741.6	1745.7	1749.8	1753.9	1758.0	1762.1	1766.2	1770.3	1774.4	1778.5	1782.6	1786.7	1790.8	1794.9	1799.0	1803.1	1807.2	1811.3	1815.4	1819.5	1823.6	1827.7	1831.8	1835.9	1840.0	1844.1	1848.2	1852.3	1856.4	1860.5	1864.6	1868.7	1872.8	1876.9	1881.0	1885.1	1889.2	1893.3	1897.4	1901.5	1905.6	1909.7	1913.8	1917.9	1922.0	1926.1	1930.2	1934.3	1938.4	1942.5	1946.6	1950.7	1954.8	1958.9	1963.0	1967.1	1971.2	1975.3	1979.4	1983.5	1987.6	1991.7	1995.8	1999.9	2004.0	2008.1	2012.2	2016.3	2020.4	2024.5	2028.6	2032.7	2036.8	2040.9	2045.0	2049.1	2053.2	2057.3	2061.4	2065.5	2069.6	2073.7	2077.8	2081.9	2086.0	2090.1	2094.2	2098.3	2102.4	2106.5	2110.6	2114.7	2118.8	2122.9	2127.0	2131.1	2135.2	2139.3	2143.4	2147.5	2151.6	2155.7	2159.8	2163.9	2168.0	2172.1	2176.2	2180.3	2184.4	2188.5	2192.6	2196.7	2200.8	2204.9	2209.0	2213.1	2217.2	2221.3	2225.4	2229.5	2233.6	2237.7	2241.8	2245.9	2250.0	2254.1	2258.2	2262.3	2266.4	2270.5	2274.6	2278.7	2282.8	2286.9	2291.0	2295.1	2299.2	2303.3	2307.4	2311.5	2315.6	2319.7	2323.8	2327.9	2332.0	2336.1	2340.2	2344.3	2348.4	2352.5	2356.6	2360.7	2364.8	2368.9	2373.0	2377.1	2381.2	2385.3	2389.4	2393.5	2397.6	2401.7	2405.8	2409.9	2414.0	2418.1	2422.2	2426.3	2430.4	2434.5	2438.6	2442.7	2446.8	2450.9	2455.0	2459.1	2463.2	2467.3	2471.4	2475.5	2479.6	2483.7	2487.8	2491.9	2496.0	2500.1	2504.2	2508.3	2512.4	2516.5	2520.6	2524.7	2528.8	2532.9	2537.0	2541.1	2545.2	2549.3	2553.4	2557.5	2561.6	2565.7	2569.8	2573.9	2578.0	2582.1	2586.2	2590.3	2594.4	2598.5	2602.6	2606.7	2610.8	2614.9	2619.0	2623.1	2627.2	2631.3	2635.4	2639.5	2643.6	2647.7	2651.8	2655.9	2660.0	2664.1	2668.2	2672.3	2676.4	2680.5	2684.6	2688.7	2692.8	2696.9	2701.0	2705.1	2709.2	2713.3	2717.4	2721.5	2725.6	2729.7	2733.8	2737.9	2742.0	2746.1	2750.2	2754.3	2758.4	2762.5	2766.6	2770.7	2774.8	2778.9	2783.0	2787.1	2791.2	2795.3	2799.4	2803.5	2807.6	2811.7	2815.8	2819.9	2824.0	2828.1	2832.2	2836.3	2840.4	2844.5	2848.6	2852.7	2856.8	2860.9	2865.0	2869.1	2873.2	2877.3	2881.4	2885.5	2889.6	2893.7	2897.8	2901.9	2906.0	2910.1	2914.2	2918.3	2922.4	2926.5	2930.6	2934.7	2938.8	2942.9	2947.0	2951.1	2955.2	2959.3	2963.4	2967.5	2971.6	2975.7	2979.8	2983.9	2988.0	2992.1	2996.2	3000.3	3004.4	3008.5	3012.6	3016.7	3020.8	3024.9	3029.0	3033.1	3037.2	3041.3	3045.4	3049.5	3053.6	3057.7	3061.8	3065.9	3070.0	3074.1	3078.2	3082.3	3086.4	3090.5	3094.6	3098.7	3102.8	3106.9	3111.0	3115.1	3119.2	3123.3	3127.4	3131.5	3135.6	3139.7	3143.8	3147.9	3152.0	3156.1	3160.2	3164.3	3168.4	3172.5	3176.6	3180.7	3184.8	3188.9	3193.0	3197.1	3201.2	3205.3	3209.4	3213.5	3217.6	3221.7	3225.8	3229.9	3234.0	3238.1	3242.2	3246.3	3250.4	3254.5	3258.6	3262.7	3266.8	3270.9	3275.0	3279.1	3283.2	3287.3	3291.4	3295.5	3299.6	3303.7	3307.8	3311.9	3316.0	3320.1	3324.2	3328.3	3332.4	3336.5	3340.6	3344.7	3348.8	3352.9	3357.0	3361.1	3365.2	3369.3	3373.4	3377.5	3381.6	3385.7	3389.8	3393.9	3398.0	3402.1	3406.2	3410.3	3414.4	3418.5	3422.6	3426.7	3430.8	3434.9	3439.0	3443.1	3447.2	3451.3	3455.4	3459.5	3463.6	3467.7	3471.8	3475.9	3480.0	3484.1	3488.2	3492.3	3496.4	3500.5	3504.6	3508.7	3512.8	3516.9	3521.0	3525.1	3529.2	3533.3	3537.4	3541.5	3545.6	3549.7	3553.8	3557.9	3562.0	3566.1	3570.2	3574.3	3578.4	3582.5	3586.6	3590.7	3594.8	3598.9	3603.0	3607.1	3611.2	3615.3	3619.4	3623.5	3627.6	3631.7	3635.8	3639.9	3644.0	3648.1	3652.2	3656.3	3660.4	3664.5	3668.6	3672.7	3676.8	3680.9	3685.0	3689.1	3693.2	3697.3	3701.4	3705.5	3709.6	3713.7	3717.8	3721.9	3726.0	3730.1	3734.2	3738.3	3742.4	3746.5	3750.6	3754.7	3758.8	3762.9	3767.0	3771.1	3775.2	3779.3	3783.4	3787.5	3791.6	3795.7	3799.8	3803.9	3808.0	3812.1	3816.2	3820.3	3824.4	3828.5	3832.6	3836.7	3840.8	3844.9	3849.0	3853.1	3857.2	3861.3	3865.4	3869.5	3873.6	3877.7	3881.8	3885.9	3890.0	3894.1	3898.2	3902.3	3906.4	3910.5	3914.6	3918.7	3922.8	3926.9	3931.0	3935.1	3939.2	3943.3	3947.4	3951.5	3955.6	3959.7	3963.8	3967.9	3972.0	3976.1	3980.2	3984.3	3988.4	3992.5	3996.6	4000.7	4004.8	4008.9	4013.0	4017.1	4021.2	4025.3	4029.4	4033.5	4037.6	4041.7	4045.8	4049.9	4054.0	4058.1	4062.2	4066.3	4070.4	4074.5	4078.6	4082.7	4086.8	4090.9	4095.0	4099.1	4103.2	4107.3	4111.4	4115.5	4119.6	4123.7	4127.8	4131.9	4136.0	4140.1	4144.2	4148.3	4152.4	4156.5	4160.6	4164.7	4168.8	4172.9	4177.0	4181.1	4185.2	4189.3	4193.4	4197.5	4201.6	4205.7	4209.8	4213.9	4218.0	4222.1	4226.2	4230.3	4234.4	4238.5	4242.6	4246.7	4250.8	4254.9	4259.0	4263.1	4267.2	4271.3	4275.4	4279.5	4283.6	4287.7	4291.8	4295.9	4300.0	4304.1	4308.2	4312.3	4316.4	4320.5	4324.6	4328.7	4332.8	4336.9	4341.0	4345.1	4349.2	4353.3	4357.4	4361.5	4365.6	4369.7	4373.8	4377.9	4382.0	4386.1	4390.2	4394.3	4398.4	4402.5	4406.6	4410.7	4414.8	4418.9	4423.0	4427.1	4431.2	4435.3	4439.4	4443.5	4447.6	4451.7	4455.8	4459.9	4464.0	4468.1	4472.2	4476.3	4480.4	4484.5	4488.6	4492.7	4496.8	4500.9	4505.0	4

Ein und Ausgabe:
Farbmetrisches Drucker-Reflektiv-System ORS20_95a
Daten für jede Farbe:

u^*_e und Nummer $Nr.$ = 00 .. 15
Elementar-Bunttontext:
 $u^*_e = 16$ Bunttoene $r00j, r25j, \dots, b75r$
Kontrastreduzierungsfaktor:
 $c_R = 0.96$

ORS20_95a; adaptierte CIELAB-Daten

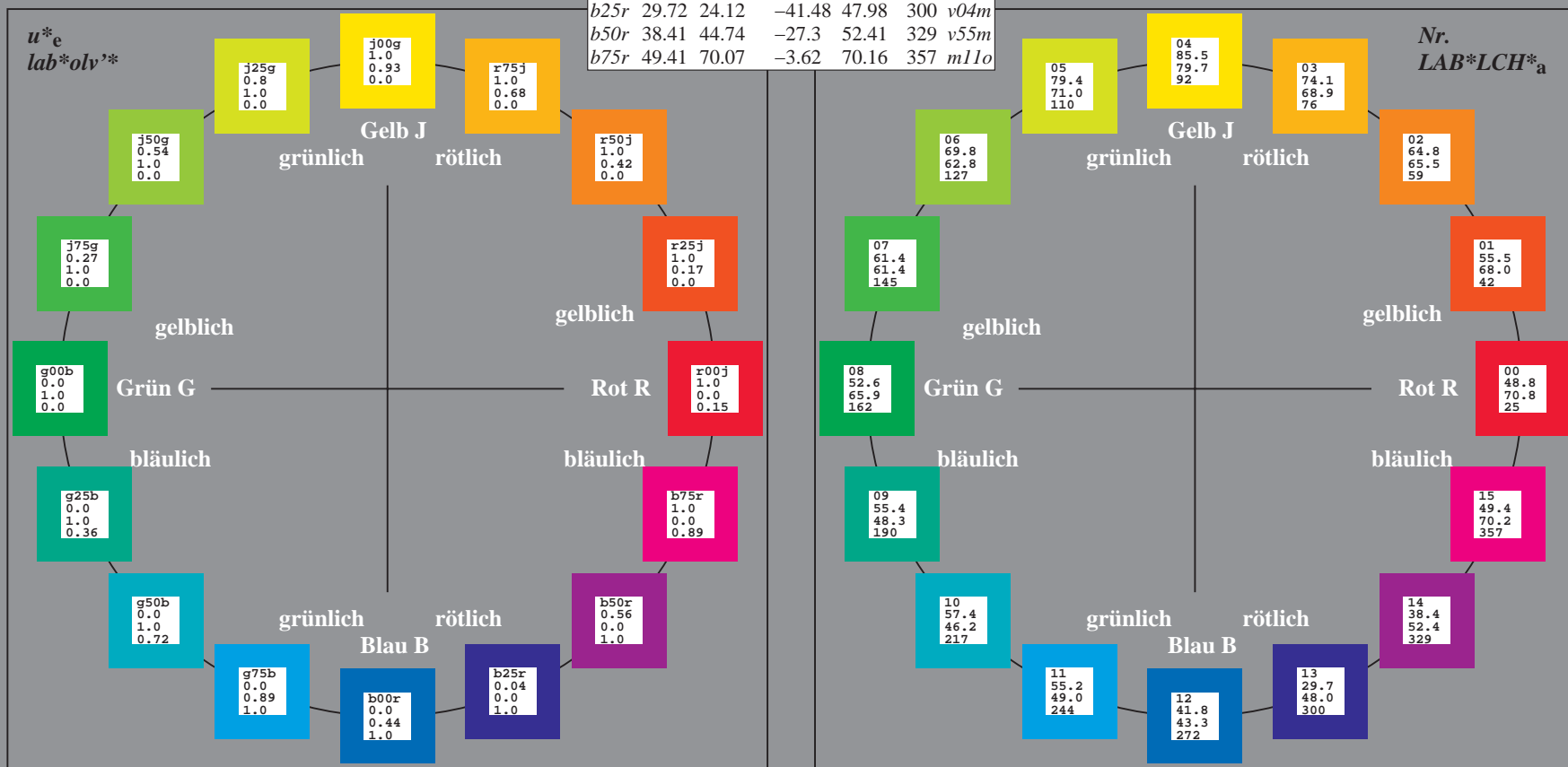
u^*_e	$L^*=L^*_a$	a^*_a	b^*_a	$C^*_{ab,a}$	$h^*_{ab,a}$	u^*_d
$r00j$	48.83	63.91	30.45	70.79	25	$m84o$
$r25j$	55.53	50.37	45.65	67.97	42	$o17y$
$r50j$	64.76	33.86	56.12	65.55	59	$o42y$
$r75j$	74.12	17.13	66.74	68.9	76	$o67y$
$j00g$	85.5	-3.22	79.65	79.72	92	$o92y$
$j25g$	79.45	-24.05	66.85	71.04	110	$y20l$
$j50g$	69.75	-38.03	49.98	62.8	127	$y46l$
$j75g$	61.38	-50.1	35.41	61.35	145	$y72l$
$g00b$	52.6	-62.77	20.12	65.92	162	$y99l$
$g25b$	55.39	-47.66	-8.06	48.34	190	$l36c$
$g50b$	57.43	-36.92	-27.8	46.22	217	$l72c$
$g75b$	55.19	-21.2	-44.17	48.99	244	$c11v$
$b00r$	41.84	1.31	-43.28	43.3	272	$c56v$
$b25r$	29.72	24.12	-41.48	47.98	300	$v04m$
$b50r$	38.41	44.74	-27.3	52.41	329	$v55m$
$b75r$	49.41	70.07	-3.62	70.16	357	$m11o$



%Umfang
 $u^*_{rel} = 83$
%Regularität
 $g^*_{H,rel} = 72$
 $g^*_{C,rel} = 57$

ORS20_95a; CIELAB-Daten

Name	$L^*=L^*$	a^*	b^*	C^*_{ab}	h^*_{ab}
O_M	48.71	62.65	39.19	73.89	32
Y_M	89.25	-10.36	85.91	86.53	97
L_M	52.5	-62.88	21.3	66.38	161
C_M	59.15	-27.92	-42.97	51.24	237
V_M	29.13	23.07	-41.51	47.5	299
M_M	49.51	71.15	-7.9	71.59	354
N_M	20.0	0.47	0.76	0.89	58
W_M	95.0	-0.52	2.11	2.17	104
R_{CIE}	39.92	58.74	27.99	65.07	25
J_{CIE}	81.26	-2.89	71.56	71.62	92
G_{CIE}	52.23	-42.42	13.6	44.55	162
B_{CIE}	30.57	1.41	-46.47	46.49	272



Ein und Ausgabe: Farbmetrisches Drucker-Reflektiv-System ORS20_95a für relativen CIELAB-Buntton $h^* = lab^*h^* = h_{ab}/360 = 0.071$

Daten für jede Farbe:

lab^*tch^* und lab^*icu^*

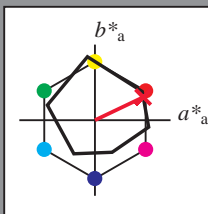
Bunttontexte:

$u^*_e = r00j$ $u^*_d = m84o$

Kontrastreduzierungsfaktor:

$c_R = 0.96$

Dreiecks-Helligkeit i^*



ORS20_95a; CIELAB-Daten						
u^*_e	$L^*=L^*_a$	a^*	b^*	C^*_{ab}	h^*_{ab}	
O _M	48.71	62.65	39.19	73.89	32	
Y _M	89.25	-10.36	85.91	86.53	97	
L _M	52.5	-62.88	21.3	66.38	161	
C _M	59.15	-27.92	-42.97	51.24	237	
V _M	29.13	23.07	-41.51	47.5	299	
M _M	49.51	71.15	-7.9	71.59	354	
N _M	20.0	0.47	0.76	0.89	58	
W _M	95.0	-0.52	2.11	2.17	104	
R _M	39.92	58.74	27.99	65.07	25	
J _M	81.26	-2.89	71.56	71.62	92	
G _M	52.23	-42.42	13.6	44.55	162	
B _M	30.57	1.41	-46.47	46.49	272	

Daten für Maximalfarbe (Ma):

$LAB^*LAB^*_{Ma}$: 49 64 30

$LAB^*LCH^*_{Ma}$: 49 71 25

$lab^*rgb^*_{Ma}$: 1.0 0.0 0.0

$lab^*olv^*_{Ma}$: 1.0 0.0 0.15

Dreiecks-Helligkeit i^*

%Umfang

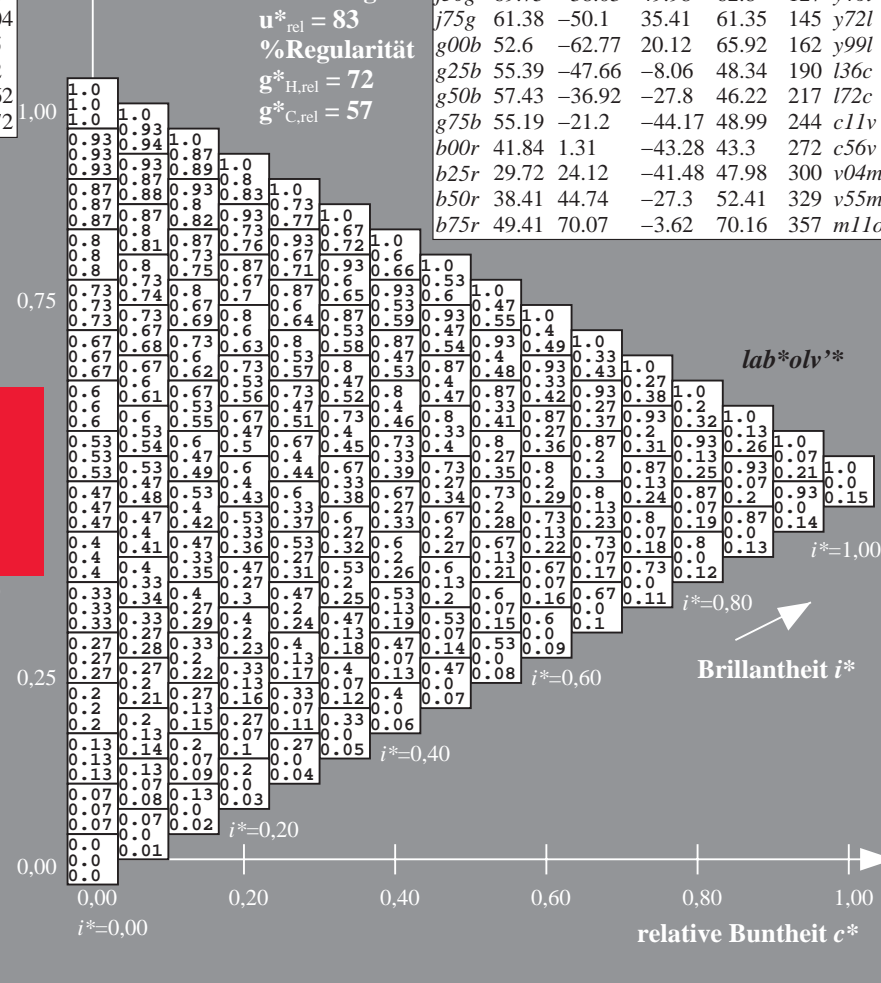
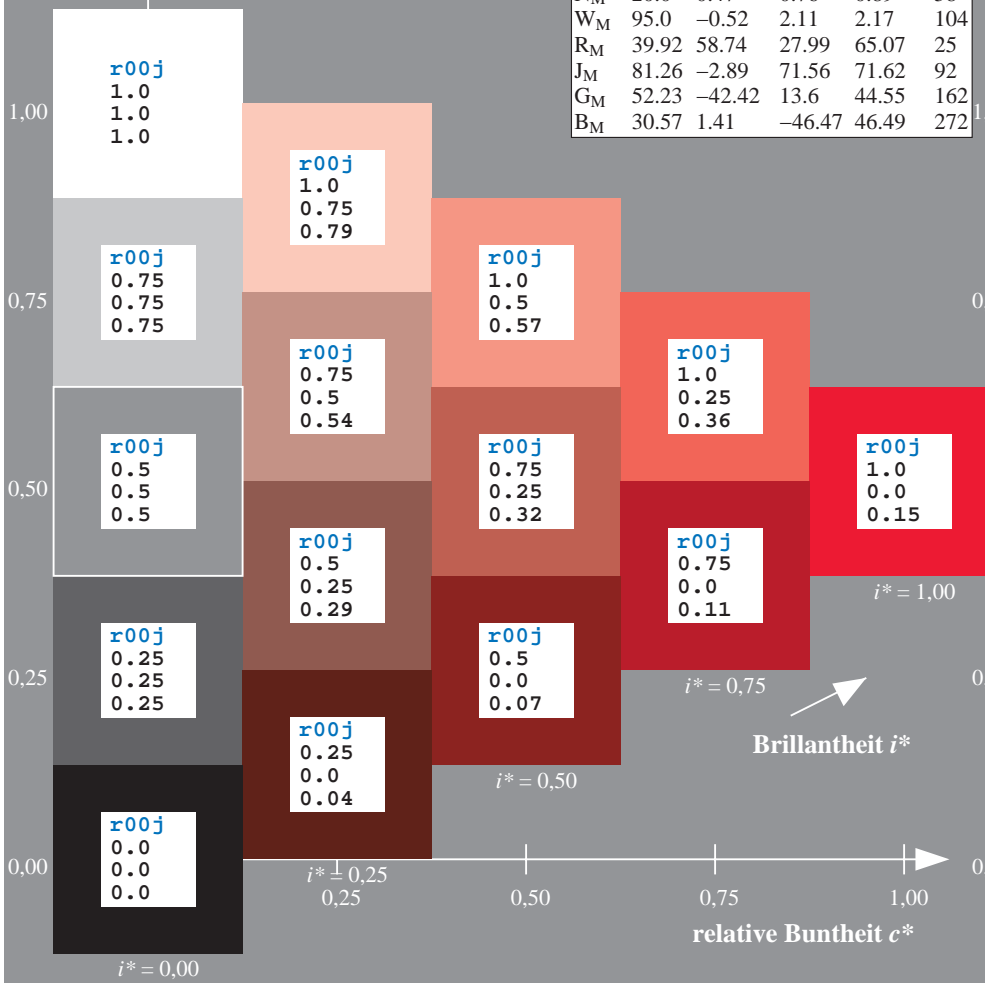
$u^*_{rel} = 83$

%Regularität

$g^*_{H,rel} = 72$

$g^*_{C,rel} = 57$

ORS20_95a; adaptierte CIELAB-Daten							
u^*_e	$L^*=L^*_a$	a^*_a	b^*_a	$C^*_{ab,a}$	$h^*_{ab,a}$	u^*_d	
r00j	48.83	63.91	30.45	70.79	25	m84o	
r25j	55.53	50.37	45.65	67.97	42	o17y	
r50j	64.76	33.86	56.12	65.55	59	o42y	
r75j	74.12	17.13	66.74	68.9	76	o67y	
j00g	85.5	-3.22	79.65	79.72	92	o92y	
j25g	79.45	-24.05	66.85	71.04	110	y20l	
j50g	69.75	-38.03	49.98	62.8	127	y46l	
j75g	61.38	-50.1	35.41	61.35	145	y72l	
g00b	52.6	-62.77	20.12	65.92	162	y99l	
g25b	55.39	-47.66	-8.06	48.34	190	l36c	
g50b	57.43	-36.92	-27.8	46.22	217	l72c	
g75b	55.19	-21.2	-44.17	48.99	244	c11v	
b00r	41.84	1.31	-43.28	43.3	272	c56v	
b25r	29.72	24.12	-41.48	47.98	300	v04m	
b50r	38.41	44.74	-27.3	52.41	329	v55m	
b75r	49.41	70.07	-3.62	70.16	357	m11o	



Ein und Ausgabe: Farbmetrisches Drucker-Reflektiv-System ORS20_95a für relativen CIELAB-Buntton $h^* = lab^*h^* = h_{ab}/360 = 0.117$

Daten für jede Farbe:

lab^*tch^* und lab^*icu^*

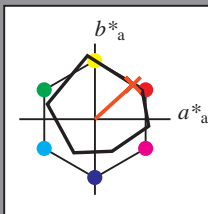
Bunttontexte:

$u^*_e = r25j$ $u^*_d = o17y$

Kontrastreduzierungsfaktor:

$c_R = 0.96$

Dreiecks-Helligkeit t^*



ORS20_95a; CIELAB-Daten						
u^*_e	$L^*=L^*_a$	a^*	b^*	C^*_{ab}	h^*_{ab}	
O _M	48.71	62.65	39.19	73.89	32	
Y _M	89.25	-10.36	85.91	86.53	97	
L _M	52.5	-62.88	21.3	66.38	161	
C _M	59.15	-27.92	-42.97	51.24	237	
V _M	29.13	23.07	-41.51	47.5	299	
M _M	49.51	71.15	-7.9	71.59	354	
N _M	20.0	0.47	0.76	0.89	58	
W _M	95.0	-0.52	2.11	2.17	104	
R _M	39.92	58.74	27.99	65.07	25	
J _M	81.26	-2.89	71.56	71.62	92	
G _M	52.23	-42.42	13.6	44.55	162	
B _M	30.57	1.41	-46.47	46.49	272	

Daten für Maximalfarbe (Ma):

$LAB^*LAB^*_{Ma}$: 56 50 46

$LAB^*LCH^*_{Ma}$: 56 68 42

$lab^*rgb^*_{Ma}$: 1.0 0.25 0.0

$lab^*olv^*_{Ma}$: 1.0 0.17 0.0

Dreiecks-Helligkeit t^*

%Umfang

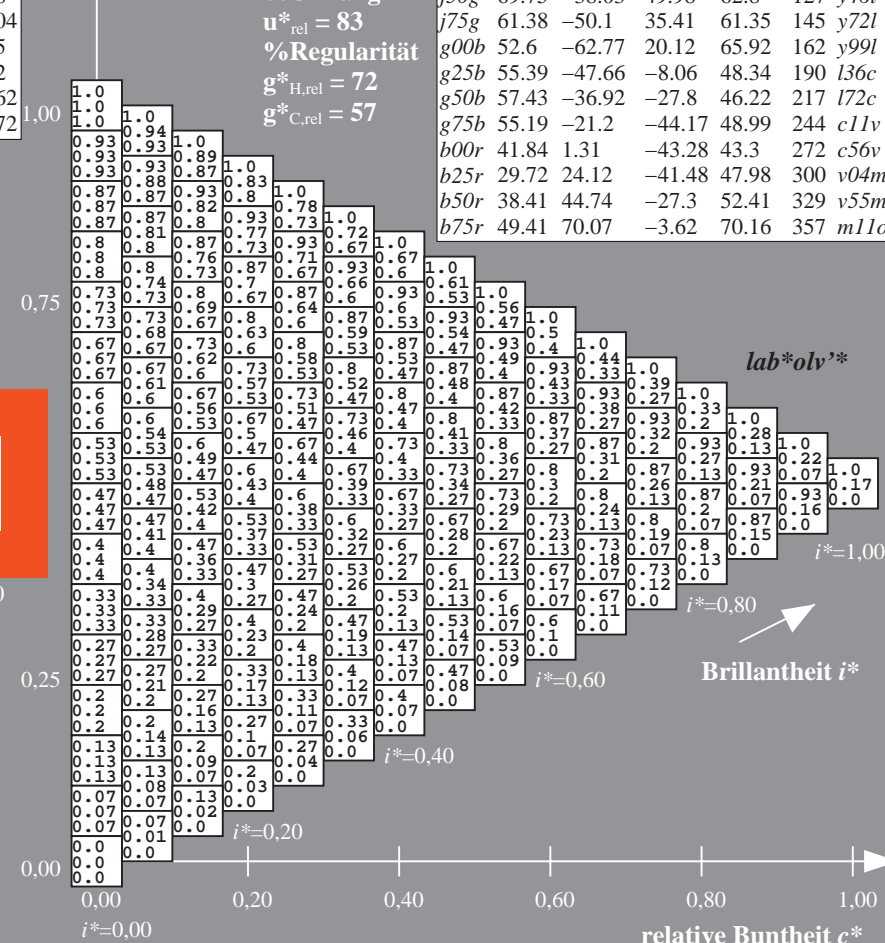
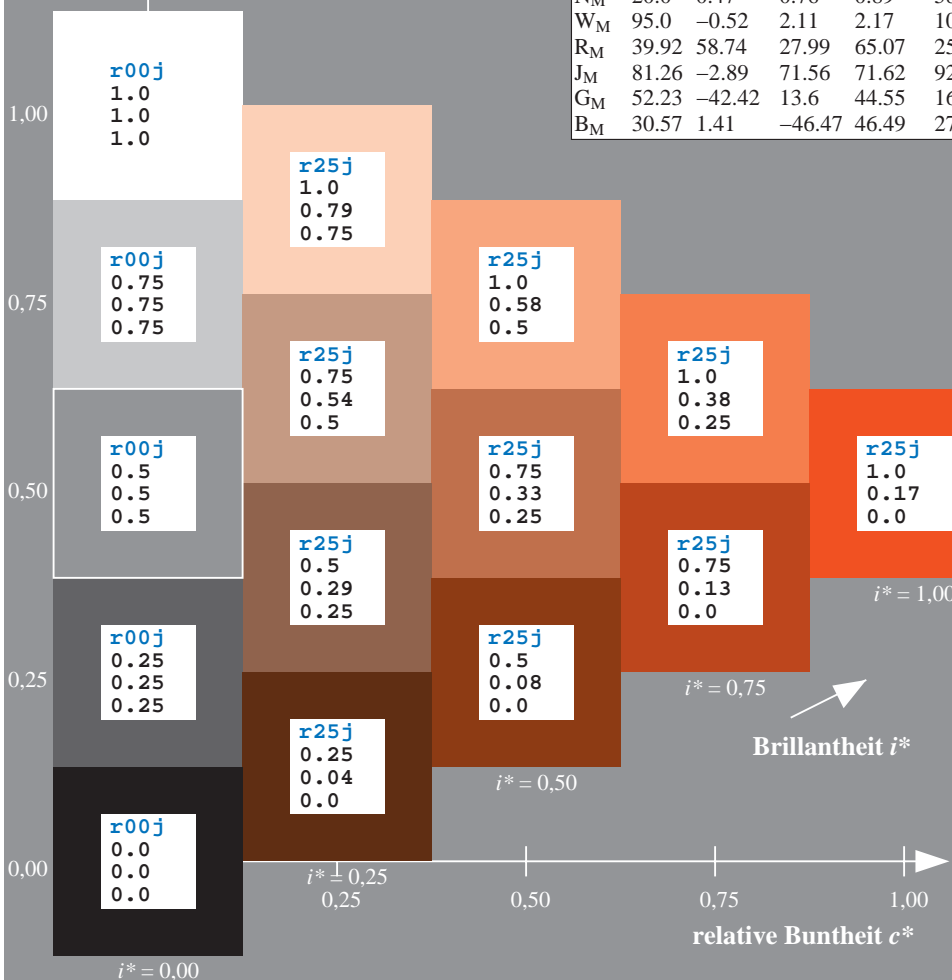
$u^*_{rel} = 83$

%Regularität

$g^*_{H,rel} = 72$

$g^*_{C,rel} = 57$

ORS20_95a; adaptierte CIELAB-Daten									
u^*_e	$L^*=L^*_a$	a^*_a	b^*_a	$C^*_{ab,a}$	$h^*_{ab,a}$	u^*_d			
r00j	48.83	63.91	30.45	70.79	25	m84o			
r25j	55.53	50.37	45.65	67.97	42	o17y			
r50j	64.76	33.86	56.12	65.55	59	o42y			
r75j	74.12	17.13	66.74	68.9	76	o67y			
j00g	85.5	-3.22	79.65	79.72	92	o92y			
j25g	79.45	-24.05	66.85	71.04	110	y20l			
j50g	69.75	-38.03	49.98	62.8	127	y46l			
j75g	61.38	-50.1	35.41	61.35	145	y72l			
g00b	52.6	-62.77	20.12	65.92	162	y99l			
g25b	55.39	-47.66	-8.06	48.34	190	l36c			
g50b	57.43	-36.92	-27.8	46.22	217	l72c			
g75b	55.19	-21.2	-44.17	48.99	244	c11v			
b00r	41.84	1.31	-43.28	43.3	272	c56v			
b25r	29.72	24.12	-41.48	47.98	300	v04m			
b50r	38.41	44.74	-27.3	52.41	329	v55m			
b75r	49.41	70.07	-3.62	70.16	357	m11o			



Ein und Ausgabe: Farbmetrisches Drucker-Reflektiv-System ORS20_95a für relativen CIELAB-Buntton $h^* = lab^*h^* = h_{ab}/360 = 0.164$

Daten für jede Farbe:

lab^*tch^* und lab^*icu^*

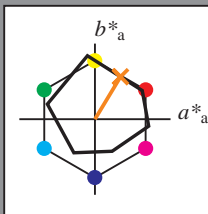
Bunttontexte:

$u^*_e = r50j$ $u^*_d = o42y$

Kontrastreduzierungsfaktor:

$c_R = 0.96$

Dreiecks-Helligkeit t^*



ORS20_95a; CIELAB-Daten

u^*_e	$L^*=L^*_a$	a^*	b^*	C^*_{ab}	h^*_{ab}
O _M	48.71	62.65	39.19	73.89	32
Y _M	89.25	-10.36	85.91	86.53	97
L _M	52.5	-62.88	21.3	66.38	161
C _M	59.15	-27.92	-42.97	51.24	237
V _M	29.13	23.07	-41.51	47.5	299
M _M	49.51	71.15	-7.9	71.59	354
N _M	20.0	0.47	0.76	0.89	58
W _M	95.0	-0.52	2.11	2.17	104
R _M	39.92	58.74	27.99	65.07	25
J _M	81.26	-2.89	71.56	71.62	92
G _M	52.23	-42.42	13.6	44.55	162
B _M	30.57	1.41	-46.47	46.49	272

Daten für Maximalfarbe (Ma):

LAB^*LAB^*Ma : 65 34 56

LAB^*LCH^*Ma : 65 66 58

lab^*rgb^*Ma : 1.0 0.5 0.0

lab^*olv^*Ma : 1.0 0.42 0.0

Dreiecks-Helligkeit t^*

%Umfang

$u^*_{rel} = 83$

%Regularität

$g^*_{H,rel} = 72$

$g^*_{C,rel} = 57$

ORS20_95a; adaptierte CIELAB-Daten

u^*_e	$L^*=L^*_a$	a^*_a	b^*_a	$C^*_{ab,a}$	$h^*_{ab,a}$	u^*_d
r00j	48.83	63.91	30.45	70.79	25	m84o
r25j	55.53	50.37	45.65	67.97	42	o17y
r50j	64.76	33.86	56.12	65.55	59	o42y
r75j	74.12	17.13	66.74	68.9	76	o67y
j00g	85.5	-3.22	79.65	79.72	92	o92y
j25g	79.45	-24.05	66.85	71.04	110	y20l
j50g	69.75	-38.03	49.98	62.8	127	y46l
j75g	61.38	-50.1	35.41	61.35	145	y72l
g00b	52.6	-62.77	20.12	65.92	162	y99l
g25b	55.39	-47.66	-8.06	48.34	190	l36c
g50b	57.43	-36.92	-27.8	46.22	217	l72c
g75b	55.19	-21.2	-44.17	48.99	244	c11v
b00r	41.84	1.31	-43.28	43.3	272	c56v
b25r	29.72	24.12	-41.48	47.98	300	v04m
b50r	38.41	44.74	-27.3	52.41	329	v55m
b75r	49.41	70.07	-3.62	70.16	357	m11o

lab^*olv^*

$i^* = 1.00$

Brillantheit i^*

$i^* = 0.80$

$i^* = 0.60$

$i^* = 0.40$

$i^* = 0.20$

$i^* = 0.00$

Ein und Ausgabe: Farbmimetrisches Drucker-Reflektiv-System ORS20_95a für relativen CIELAB-Buntton $h^* = \text{lab}^*h^* = h_{ab}/360 = 0.21$

Daten für jede Farbe:

lab^*tch^* und lab^*icu^*

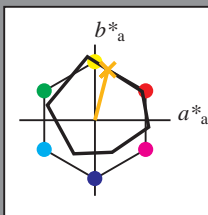
Bunttontexte:

$u^*_e = r75j$ $u^*_d = o67y$

Kontrastreduzierungsfaktor:

$c_R = 0.96$

Dreiecks-Helligkeit i^*



ORS20_95a; CIELAB-Daten						
u^*_e	$L^*=L^*_a$	a^*	b^*	C^*_{ab}	h^*_{ab}	
O _M	48.71	62.65	39.19	73.89	32	
Y _M	89.25	-10.36	85.91	86.53	97	
L _M	52.5	-62.88	21.3	66.38	161	
C _M	59.15	-27.92	-42.97	51.24	237	
V _M	29.13	23.07	-41.51	47.5	299	
M _M	49.51	71.15	-7.9	71.59	354	
N _M	20.0	0.47	0.76	0.89	58	
W _M	95.0	-0.52	2.11	2.17	104	
R _M	39.92	58.74	27.99	65.07	25	
J _M	81.26	-2.89	71.56	71.62	92	
G _M	52.23	-42.42	13.6	44.55	162	
B _M	30.57	1.41	-46.47	46.49	272	

Daten für Maximalfarbe (Ma):

$\text{LAB}^*\text{LAB}^*_{\text{Ma}}$: 74 17 67

$\text{LAB}^*\text{LCH}^*_{\text{Ma}}$: 74 69 75

$\text{lab}^*\text{rgb}^*_{\text{Ma}}$: 1.0 0.75 0.0

$\text{lab}^*\text{olv}^*_{\text{Ma}}$: 1.0 0.68 0.0

Dreiecks-Helligkeit i^*

%Umfang

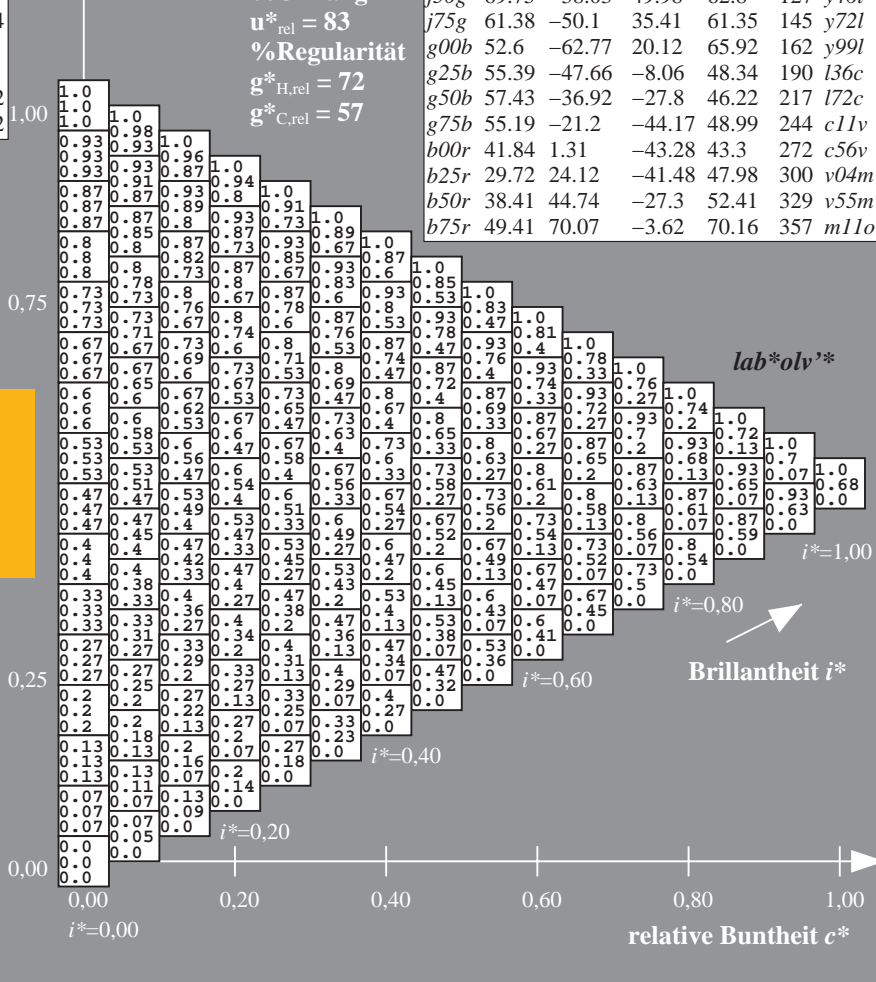
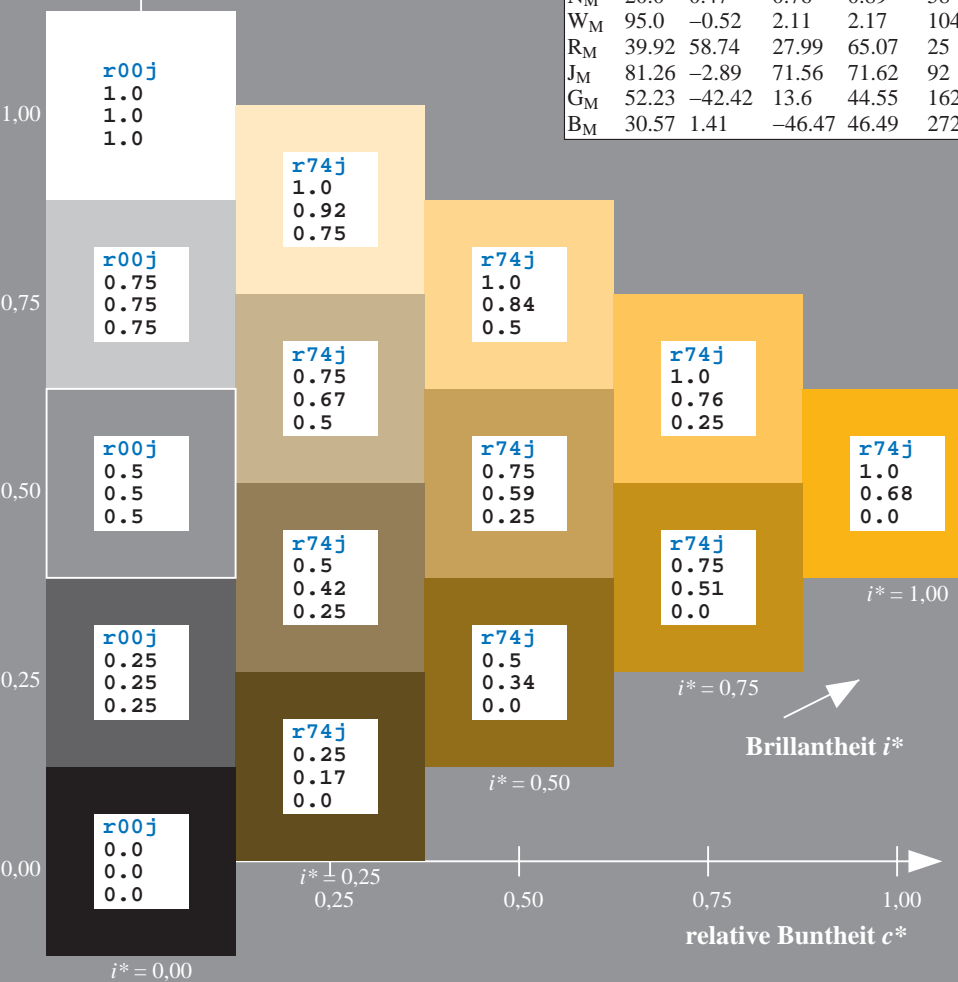
$u^*_{\text{rel}} = 83$

%Regularität

$g^*_{H,\text{rel}} = 72$

$g^*_{C,\text{rel}} = 57$

ORS20_95a; adaptierte CIELAB-Daten									
u^*_e	$L^*=L^*_a$	a^*_a	b^*_a	$C^*_{ab,a}$	$h^*_{ab,a}$	u^*_d			
r00j	48.83	63.91	30.45	70.79	25	m84o			
r25j	55.53	50.37	45.65	67.97	42	o17y			
r50j	64.76	33.86	56.12	65.55	59	o42y			
r75j	74.12	17.13	66.74	68.9	76	o67y			
j00g	85.5	-3.22	79.65	79.72	92	o92y			
j25g	79.45	-24.05	66.85	71.04	110	y20l			
j50g	69.75	-38.03	49.98	62.8	127	y46l			
j75g	61.38	-50.1	35.41	61.35	145	y72l			
g00b	52.6	-62.77	20.12	65.92	162	y99l			
g25b	55.39	-47.66	-8.06	48.34	190	l36c			
g50b	57.43	-36.92	-27.8	46.22	217	l72c			
g75b	55.19	-21.2	-44.17	48.99	244	c11v			
b00r	41.84	1.31	-43.28	43.3	272	c56v			
b25r	29.72	24.12	-41.48	47.98	300	v04m			
b50r	38.41	44.74	-27.3	52.41	329	v55m			
b75r	49.41	70.07	-3.62	70.16	357	m11o			



Ein und Ausgabe: Farbmimetrisches Drucker-Reflektiv-System ORS20_95a für relativen CIELAB-Buntton $h^* = lab^*h^* = h_{ab}/360 = 0.256$

Daten für jede Farbe:

lab^*tch^* und lab^*icu^*

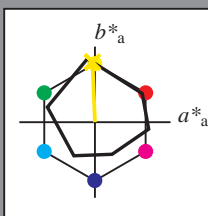
Bunttontexte:

$u^*_e = j00g$ $u^*_d = o92y$

Kontrastreduzierungsfaktor:

$c_R = 0.96$

Dreiecks-Helligkeit t^*



ORS20_95a; CIELAB-Daten						
u^*_e	$L^*=L^*_a$	a^*	b^*	C^*_{ab}	h^*_{ab}	
O _M	48.71	62.65	39.19	73.89	32	
Y _M	89.25	-10.36	85.91	86.53	97	
L _M	52.5	-62.88	21.3	66.38	161	
C _M	59.15	-27.92	-42.97	51.24	237	
V _M	29.13	23.07	-41.51	47.5	299	
M _M	49.51	71.15	-7.9	71.59	354	
N _M	20.0	0.47	0.76	0.89	58	
W _M	95.0	-0.52	2.11	2.17	104	
R _M	39.92	58.74	27.99	65.07	25	
J _M	81.26	-2.89	71.56	71.62	92	
G _M	52.23	-42.42	13.6	44.55	162	
B _M	30.57	1.41	-46.47	46.49	272	

Daten für Maximalfarbe (Ma):

$LAB^*LAB^*_{Ma}$: 86 -3 80

$LAB^*LCH^*_{Ma}$: 86 80 92

$lab^*rgb^*_{Ma}$: 1.0 1.0 0.0

$lab^*olv^*_{Ma}$: 1.0 0.93 0.0

Dreiecks-Helligkeit t^*

%Umfang

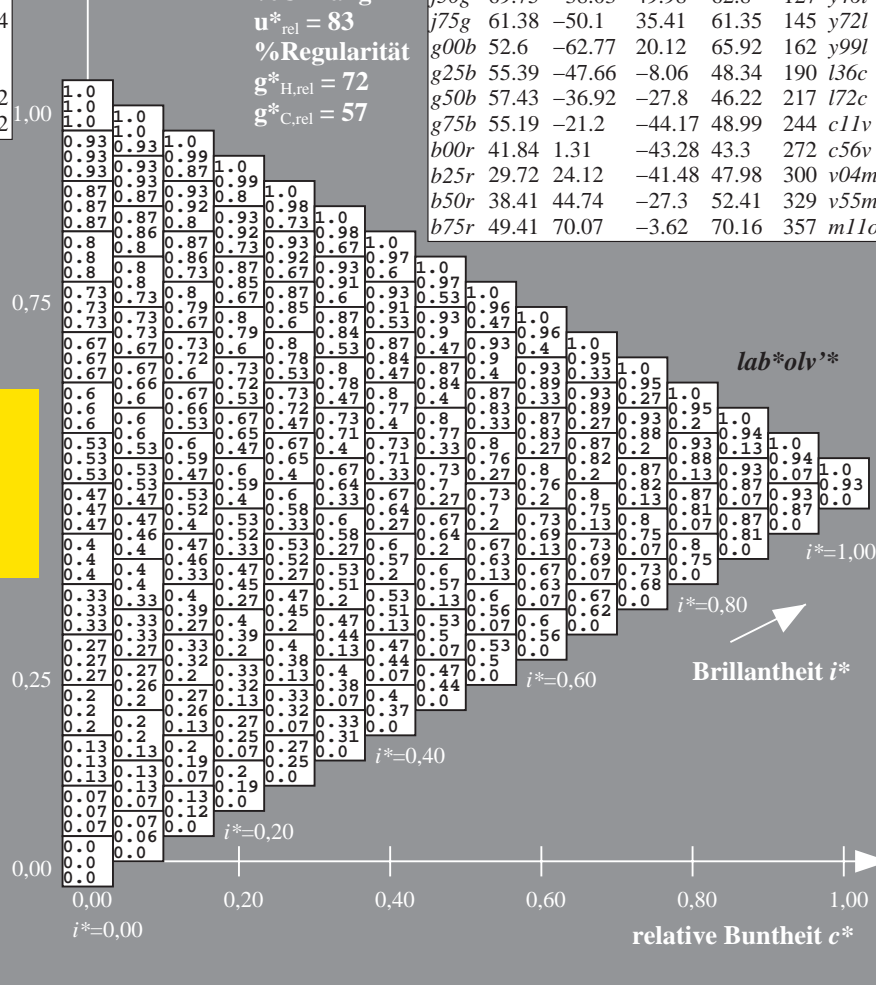
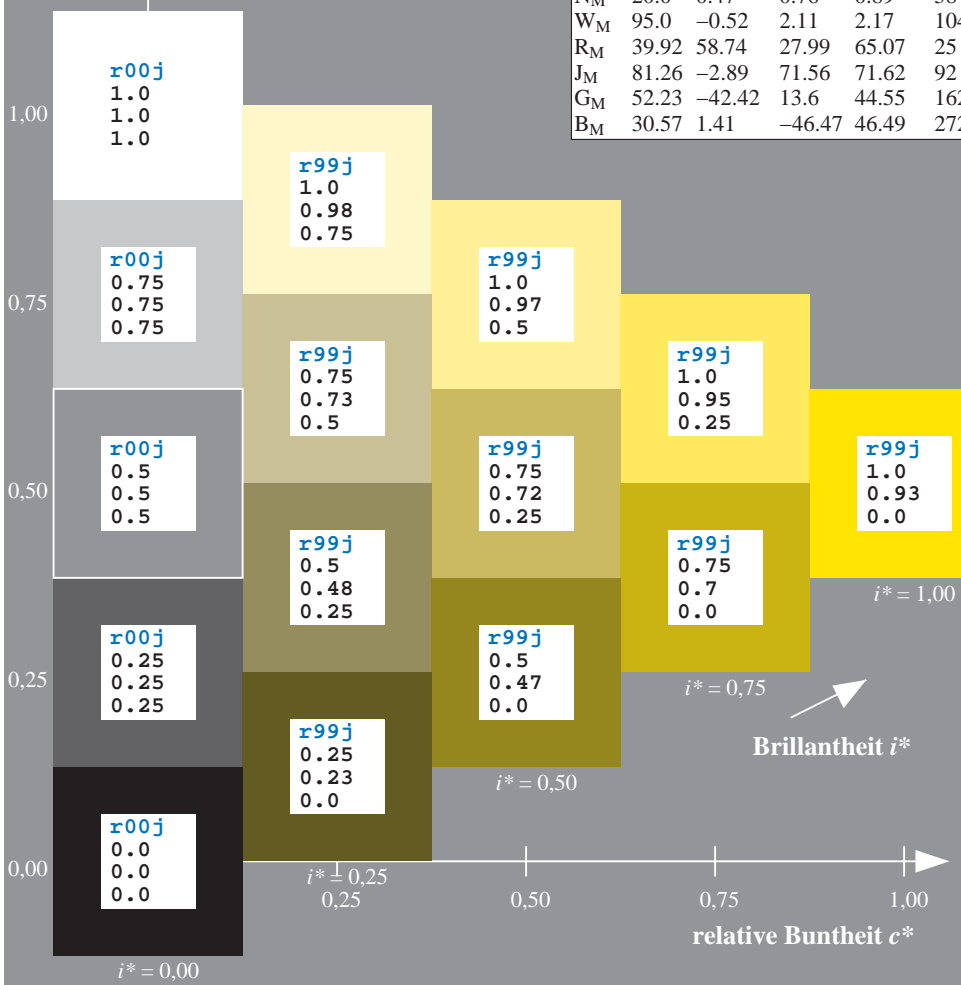
$u^*_{rel} = 83$

%Regularität

$g^*_{H,rel} = 72$

$g^*_{C,rel} = 57$

ORS20_95a; adaptierte CIELAB-Daten									
u^*_e	$L^*=L^*_a$	a^*_a	b^*_a	$C^*_{ab,a}$	$h^*_{ab,a}$	u^*_d			
r00j	48.83	63.91	30.45	70.79	25	m84o			
r25j	55.53	50.37	45.65	67.97	42	o17y			
r50j	64.76	33.86	56.12	65.55	59	o42y			
r75j	74.12	17.13	66.74	68.9	76	o67y			
j00g	85.5	-3.22	79.65	79.72	92	o92y			
j25g	79.45	-24.05	66.85	71.04	110	y20l			
j50g	69.75	-38.03	49.98	62.8	127	y46l			
j75g	61.38	-50.1	35.41	61.35	145	y72l			
g00b	52.6	-62.77	20.12	65.92	162	y99l			
g25b	55.39	-47.66	-8.06	48.34	190	l36c			
g50b	57.43	-36.92	-27.8	46.22	217	l72c			
g75b	55.19	-21.2	-44.17	48.99	244	c11v			
b00r	41.84	1.31	-43.28	43.3	272	c56v			
b25r	29.72	24.12	-41.48	47.98	300	v04m			
b50r	38.41	44.74	-27.3	52.41	329	v55m			
b75r	49.41	70.07	-3.62	70.16	357	m11o			



Ein und Ausgabe: Farbmetrisches Drucker-Reflektiv-System ORS20_95a für relativen CIELAB-Buntton $h^* = lab^*h^* = h_{ab}/360 = 0.305$

Daten für jede Farbe:

lab^*ch^* und lab^*icu^*

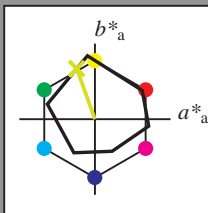
Bunttontexte:

$u^*_e = j25g$ $u^*_d = y20l$

Kontrastreduzierungsfaktor:

$c_R = 0.96$

Dreiecks-Helligkeit i^*



ORS20_95a; CIELAB-Daten						
u^*_e	$L^*=L^*_a$	a^*	b^*	C^*_{ab}	h^*_{ab}	
O _M	48.71	62.65	39.19	73.89	32	
Y _M	89.25	-10.36	85.91	86.53	97	
L _M	52.5	-62.88	21.3	66.38	161	
C _M	59.15	-27.92	-42.97	51.24	237	
V _M	29.13	23.07	-41.51	47.5	299	
M _M	49.51	71.15	-7.9	71.59	354	
N _M	20.0	0.47	0.76	0.89	58	
W _M	95.0	-0.52	2.11	2.17	104	
R _M	39.92	58.74	27.99	65.07	25	
J _M	81.26	-2.89	71.56	71.62	92	
G _M	52.23	-42.42	13.6	44.55	162	
B _M	30.57	1.41	-46.47	46.49	272	

Daten für Maximalfarbe (Ma):

$LAB^*LAB^*_{Ma}$: 79 -24 67

$LAB^*LCH^*_{Ma}$: 79 71 109

$lab^*rgb^*_{Ma}$: 0.75 1.0 0.0

$lab^*olv^*_{Ma}$: 0.8 1.0 0.0

Dreiecks-Helligkeit i^*

%Umfang

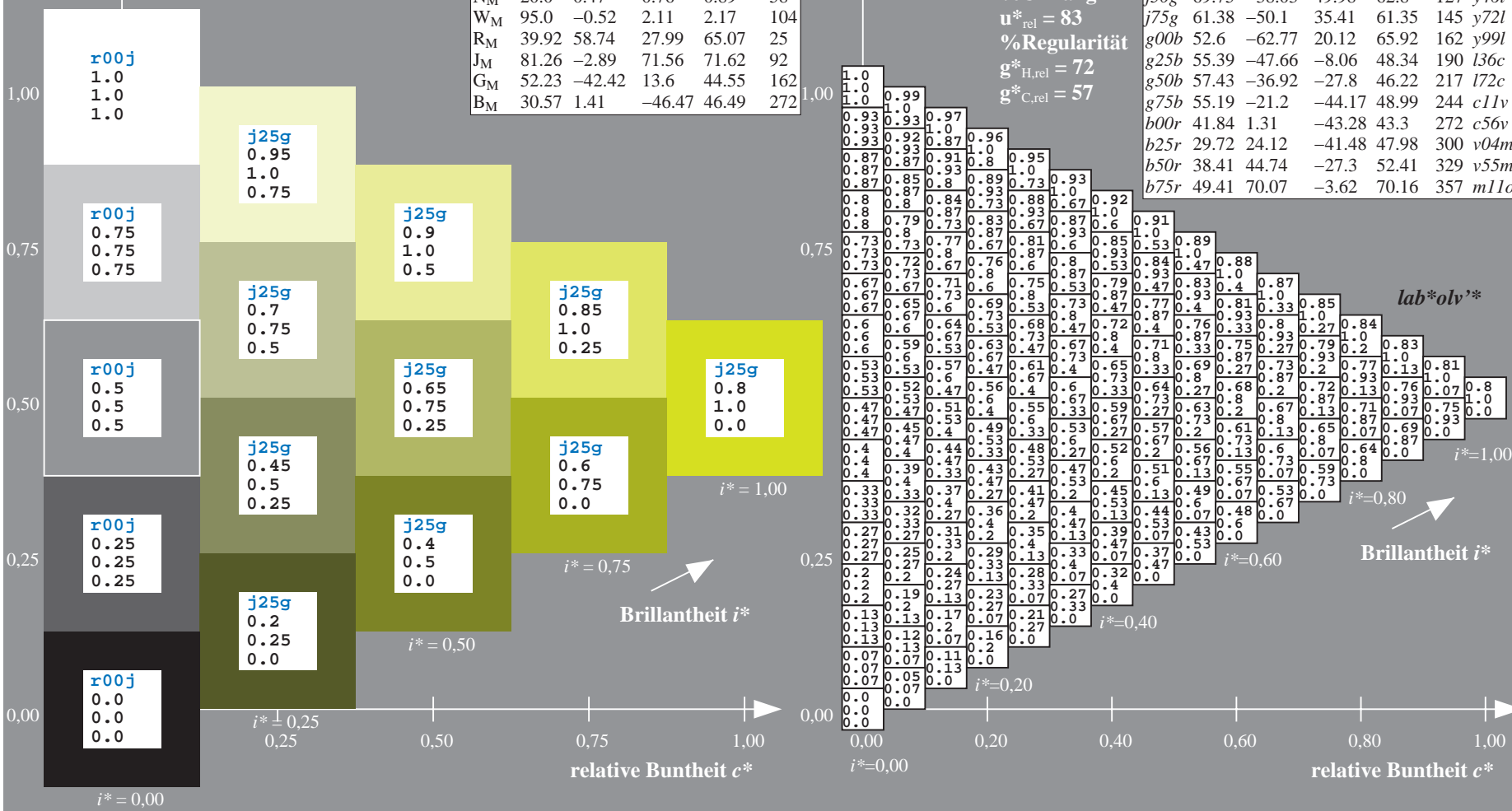
$u^*_{rel} = 83$

%Regularität

$g^*_{H,rel} = 72$

$g^*_{C,rel} = 57$

ORS20_95a; adaptierte CIELAB-Daten									
u^*_e	$L^*=L^*_a$	a^*_a	b^*_a	$C^*_{ab,a}$	$h^*_{ab,a}$	u^*_d			
r00j	48.83	63.91	30.45	70.79	25	m84o			
r25j	55.53	50.37	45.65	67.97	42	o17y			
r50j	64.76	33.86	56.12	65.55	59	o42y			
r75j	74.12	17.13	66.74	68.9	76	o67y			
j00g	85.5	-3.22	79.65	79.72	92	o92y			
j25g	79.45	-24.05	66.85	71.04	110	y20l			
j50g	69.75	-38.03	49.98	62.8	127	y46l			
j75g	61.38	-50.1	35.41	61.35	145	y72l			
g00b	52.6	-62.77	20.12	65.92	162	y99l			
g25b	55.39	-47.66	-8.06	48.34	190	l36c			
g50b	57.43	-36.92	-27.8	46.22	217	l72c			
g75b	55.19	-21.2	-44.17	48.99	244	c11v			
b00r	41.84	1.31	-43.28	43.3	272	c56v			
b25r	29.72	24.12	-41.48	47.98	300	v04m			
b50r	38.41	44.74	-27.3	52.41	329	v55m			
b75r	49.41	70.07	-3.62	70.16	357	m11o			



Ein und Ausgabe: Farbmetrisches Drucker-Reflektiv-System ORS20_95a für relativen CIELAB-Buntton $h^* = lab^*h^* = h_{ab}/360 = 0.354$

Daten für jede Farbe:

lab^*tch^* und lab^*icu^*

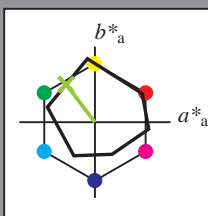
Bunttontexte:

$u^*_e = j50g$ $u^*_d = y46l$

Kontrastreduzierungsfaktor:

$c_R = 0.96$

Dreiecks-Helligkeit t^*



ORS20_95a; CIELAB-Daten						
	u^*_e	$L^*=L^*_a$	a^*	b^*	C^*_{ab}	h^*_{ab}
O _M	48.71	62.65	39.19	73.89	32	
Y _M	89.25	-10.36	85.91	86.53	97	
L _M	52.5	-62.88	21.3	66.38	161	
C _M	59.15	-27.92	-42.97	51.24	237	
V _M	29.13	23.07	-41.51	47.5	299	
M _M	49.51	71.15	-7.9	71.59	354	
N _M	20.0	0.47	0.76	0.89	58	
W _M	95.0	-0.52	2.11	2.17	104	
R _M	39.92	58.74	27.99	65.07	25	
J _M	81.26	-2.89	71.56	71.62	92	
G _M	52.23	-42.42	13.6	44.55	162	
B _M	30.57	1.41	-46.47	46.49	272	

Daten für Maximalfarbe (Ma):

$LAB^*LAB^*_{Ma}$: 70 -38 50

$LAB^*LCH^*_{Ma}$: 70 63 127

$lab^*rgb^*_{Ma}$: 0.5 1.0 0.0

$lab^*olv^*_{Ma}$: 0.54 1.0 0.0

Dreiecks-Helligkeit t^*

%Umfang

$u^*_{rel} = 83$

%Regularität

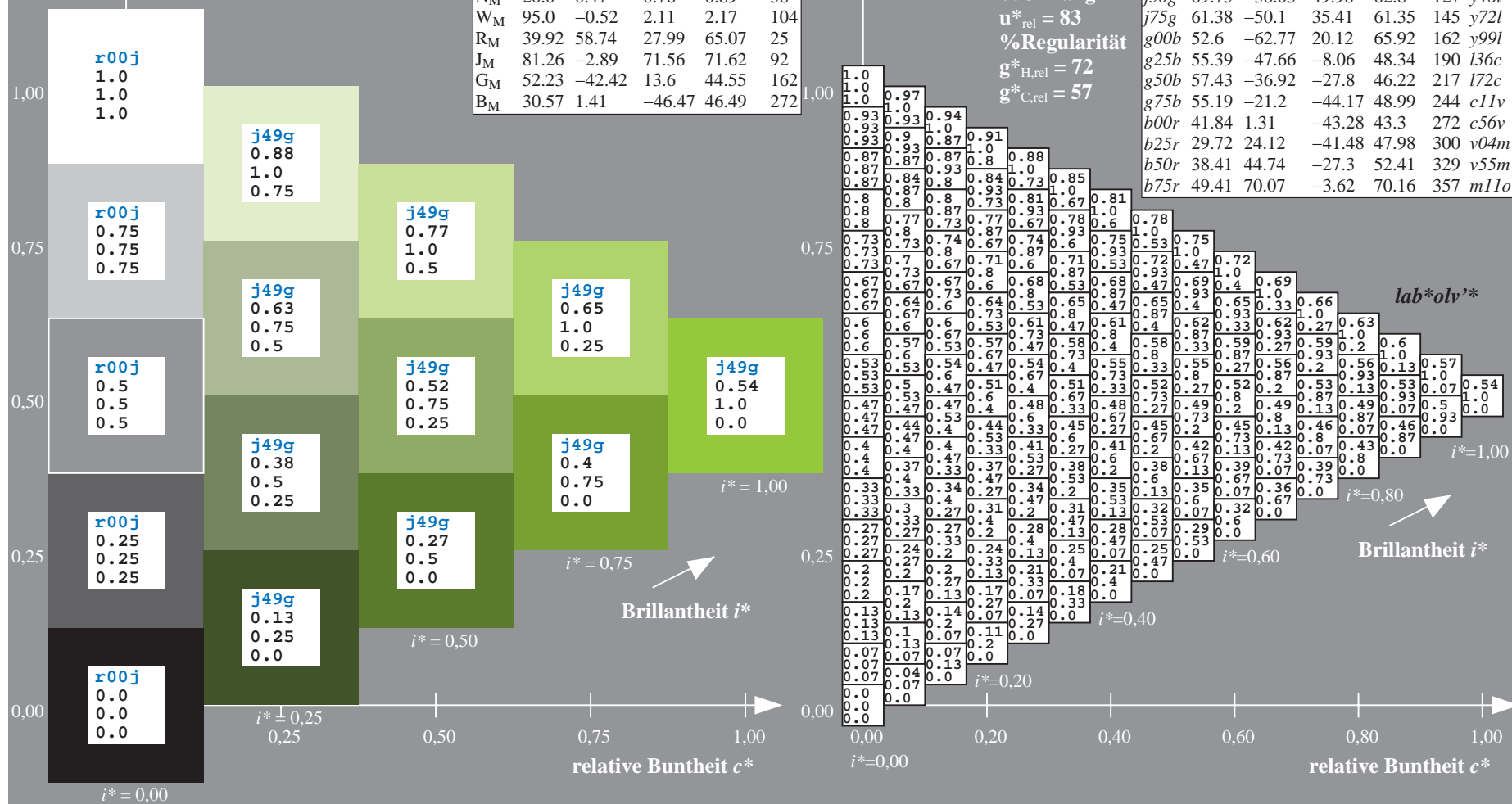
$g^*_{H,rel} = 72$

$g^*_{C,rel} = 57$

ORS20_95a; adaptierte CIELAB-Daten									
	u^*_e	$L^*=L^*_a$	a^*_a	b^*_a	$C^*_{ab,a}$	$h^*_{ab,a}$	u^*_d		
r00j	48.83	63.91	30.45	70.79	25		m84o		
r25j	55.53	50.37	45.65	67.97	42		o17y		
r50j	64.76	33.86	56.12	65.55	59		o42y		
r75j	74.12	17.13	66.74	68.9	76		o67y		
j00g	85.5	-3.22	79.65	79.72	92		o92y		
j25g	79.45	-24.05	66.85	71.04	110		y20l		
j50g	69.75	-38.03	49.98	62.8	127		y46l		
j75g	61.38	-50.1	35.41	61.35	145		y72l		
g00b	52.6	-62.77	20.12	65.92	162		y99l		
g25b	55.39	-47.66	-8.06	48.34	190		l36c		
g50b	57.43	-36.92	-27.8	46.22	217		l72c		
g75b	55.19	-21.2	-44.17	48.99	244		c11v		
b00r	41.84	1.31	-43.28	43.3	272		c56v		
b25r	29.72	24.12	-41.48	47.98	300		v04m		
b50r	38.41	44.74	-27.3	52.41	329		v55m		
b75r	49.41	70.07	-3.62	70.16	357		m11o		

Siehe ähnliche Dateien: <http://www.ps.bam.de/Eg13/>; www.ps.bam.de/Eg13G00NA.PS/.TXT
Technische Information: <http://www.ps.bam.de> Version 2.1, io=1,1, ColSpx=1

BAM-Registrierung: 20081001-Eg13/10L/L13G00NA.PS/.TXT BAM-Material: Code=rh4ta
Anwendung für Beurteilung und Messung von Drucker- oder Monitorsystemen



Ein und Ausgabe: Farbmetrisches Drucker-Reflektiv-System ORS20_95a für relativen CIELAB-Buntton $h^* = lab^*h^* = h_{ab}/360 = 0.402$

Daten für jede Farbe:

lab^*ch^* und lab^*icu^*

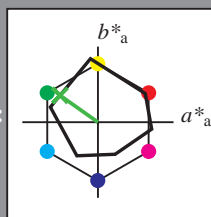
Bunttontexte:

$u^*_e = j75g$ $u^*_d = y72l$

Kontrastreduzierungsfaktor:

$c_R = 0.96$

Dreiecks-Helligkeit i^*



ORS20_95a; CIELAB-Daten						
u^*_e	$L^*=L^*_a$	a^*	b^*	C^*_{ab}	h^*_{ab}	
O _M	48.71	62.65	39.19	73.89	32	
Y _M	89.25	-10.36	85.91	86.53	97	
L _M	52.5	-62.88	21.3	66.38	161	
C _M	59.15	-27.92	-42.97	51.24	237	
V _M	29.13	23.07	-41.51	47.5	299	
M _M	49.51	71.15	-7.9	71.59	354	
N _M	20.0	0.47	0.76	0.89	58	
W _M	95.0	-0.52	2.11	2.17	104	
R _M	39.92	58.74	27.99	65.07	25	
J _M	81.26	-2.89	71.56	71.62	92	
G _M	52.23	-42.42	13.6	44.55	162	
B _M	30.57	1.41	-46.47	46.49	272	

Daten für Maximalfarbe (Ma):

LAB^*LAB^*Ma : 61 -50 35

LAB^*LCH^*Ma : 61 61 144

lab^*rgb^*Ma : 0.25 1.0 0.0

lab^*olv^*Ma : 0.27 1.0 0.0

Dreiecks-Helligkeit i^*

%Umfang

$u^*_{rel} = 83$

%Regularität

$g^*_{H,rel} = 72$

$g^*_{C,rel} = 57$

ORS20_95a; adaptierte CIELAB-Daten									
u^*_e	$L^*=L^*_a$	a^*_a	b^*_a	$C^*_{ab,a}$	$h^*_{ab,a}$	u^*_d			
r00j	48.83	63.91	30.45	70.79	25	m84o			
r25j	55.53	50.37	45.65	67.97	42	o17y			
r50j	64.76	33.86	56.12	65.55	59	o42y			
r75j	74.12	17.13	66.74	68.9	76	o67y			
j00g	85.5	-3.22	79.65	79.72	92	o92y			
j25g	79.45	-24.05	66.85	71.04	110	y20l			
j50g	69.75	-38.03	49.98	62.8	127	y46l			
j75g	61.38	-50.1	35.41	61.35	145	y72l			
g00b	52.6	-62.77	20.12	65.92	162	y99l			
g25b	55.39	-47.66	-8.06	48.34	190	l36c			
g50b	57.43	-36.92	-27.8	46.22	217	l72c			
g75b	55.19	-21.2	-44.17	48.99	244	c11v			
b00r	41.84	1.31	-43.28	43.3	272	c56v			
b25r	29.72	24.12	-41.48	47.98	300	v04m			
b50r	38.41	44.74	-27.3	52.41	329	v55m			
b75r	49.41	70.07	-3.62	70.16	357	m11o			

lab^*olv^*

$i^* = 1.00$

Brillantheit i^*

$i^* = 0.80$

$i^* = 0.60$

$i^* = 0.40$

$i^* = 0.20$

$i^* = 0.00$

Ein und Ausgabe: Farbmetrisches Drucker-Reflektiv-System ORS20_95a für relativen CIELAB-Buntton $h^* = lab^*h^* = h_{ab}/360 = 0.451$

Daten für jede Farbe:

lab^*tch^* und lab^*icu^*

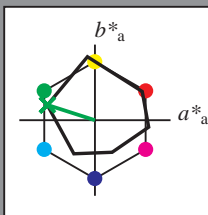
Bunttontexte:

$u^*_e = g00b$ $u^*_d = y99l$

Kontrastreduzierungsfaktor:

$c_R = 0.96$

Dreiecks-Helligkeit i^*



ORS20_95a; CIELAB-Daten						
u^*_e	$L^*=L^*_a$	a^*	b^*	C^*_{ab}	h^*_{ab}	
O _M	48.71	62.65	39.19	73.89	32	
Y _M	89.25	-10.36	85.91	86.53	97	
L _M	52.5	-62.88	21.3	66.38	161	
C _M	59.15	-27.92	-42.97	51.24	237	
V _M	29.13	23.07	-41.51	47.5	299	
M _M	49.51	71.15	-7.9	71.59	354	
N _M	20.0	0.47	0.76	0.89	58	
W _M	95.0	-0.52	2.11	2.17	104	
R _M	39.92	58.74	27.99	65.07	25	
J _M	81.26	-2.89	71.56	71.62	92	
G _M	52.23	-42.42	13.6	44.55	162	
B _M	30.57	1.41	-46.47	46.49	272	

Daten für Maximalfarbe (Ma):

$LAB^*LAB^*_{Ma}$: 53 -63 20

$LAB^*LCH^*_{Ma}$: 53 66 162

$lab^*rgb^*_{Ma}$: 0.0 1.0 0.0

$lab^*olv^*_{Ma}$: 0.0 1.0 0.0

Dreiecks-Helligkeit i^*

%Umfang

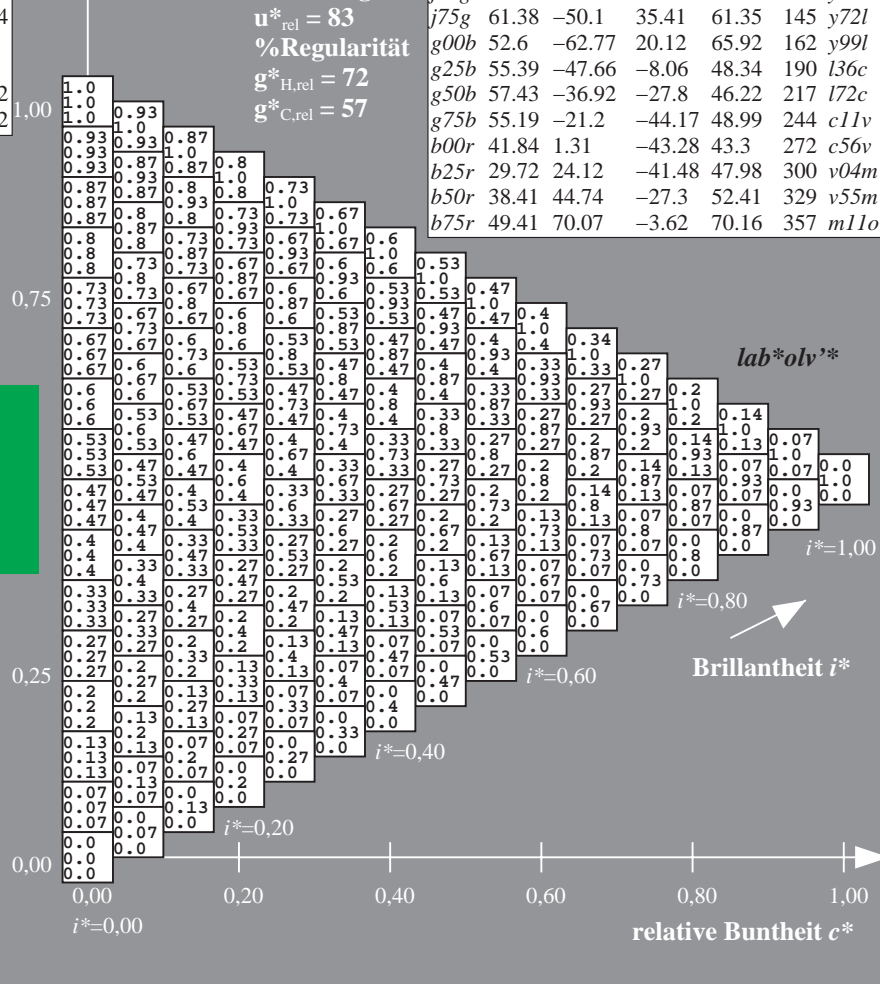
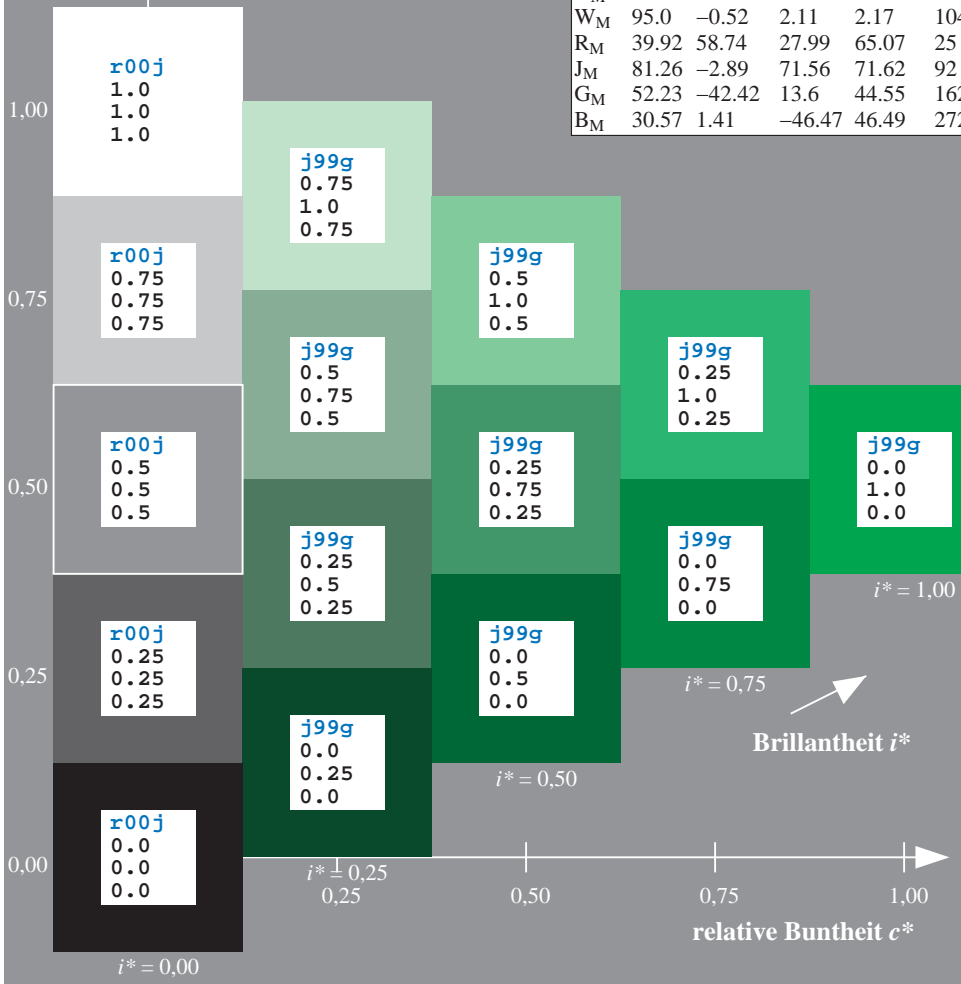
$u^*_{rel} = 83$

%Regularität

$g^*_{H,rel} = 72$

$g^*_{C,rel} = 57$

ORS20_95a; adaptierte CIELAB-Daten									
u^*_e	$L^*=L^*_a$	a^*_a	b^*_a	$C^*_{ab,a}$	$h^*_{ab,a}$	u^*_d			
r00j	48.83	63.91	30.45	70.79	25	m84o			
r25j	55.53	50.37	45.65	67.97	42	o17y			
r50j	64.76	33.86	56.12	65.55	59	o42y			
r75j	74.12	17.13	66.74	68.9	76	o67y			
j00g	85.5	-3.22	79.65	79.72	92	o92y			
j25g	79.45	-24.05	66.85	71.04	110	y20l			
j50g	69.75	-38.03	49.98	62.8	127	y46l			
j75g	61.38	-50.1	35.41	61.35	145	y72l			
g00b	52.6	-62.77	20.12	65.92	162	y99l			
g25b	55.39	-47.66	-8.06	48.34	190	l36c			
g50b	57.43	-36.92	-27.8	46.22	217	l72c			
g75b	55.19	-21.2	-44.17	48.99	244	c11v			
b00r	41.84	1.31	-43.28	43.3	272	c56v			
b25r	29.72	24.12	-41.48	47.98	300	v04m			
b50r	38.41	44.74	-27.3	52.41	329	v55m			
b75r	49.41	70.07	-3.62	70.16	357	m11o			



Ein und Ausgabe: Farbmimetrisches Drucker-Reflektiv-System ORS20_95a für relativen CIELAB-Buntton $h^* = lab^*h^* = h_{ab}/360 = 0.527$

Daten für jede Farbe:

lab^*ch^* und lab^*icu^*

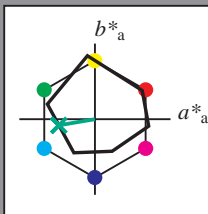
Bunttontexte:

$u^*_e = g25b$ $u^*_d = l36c$

Kontrastreduzierungsfaktor:

$c_R = 0.96$

Dreiecks-Helligkeit i^*



ORS20_95a; CIELAB-Daten						
u^*_e	$L^*=L^*_a$	a^*	b^*	C^*_{ab}	h^*_{ab}	
O _M	48.71	62.65	39.19	73.89	32	
Y _M	89.25	-10.36	85.91	86.53	97	
L _M	52.5	-62.88	21.3	66.38	161	
C _M	59.15	-27.92	-42.97	51.24	237	
V _M	29.13	23.07	-41.51	47.5	299	
M _M	49.51	71.15	-7.9	71.59	354	
N _M	20.0	0.47	0.76	0.89	58	
W _M	95.0	-0.52	2.11	2.17	104	
R _M	39.92	58.74	27.99	65.07	25	
J _M	81.26	-2.89	71.56	71.62	92	
G _M	52.23	-42.42	13.6	44.55	162	
B _M	30.57	1.41	-46.47	46.49	272	

Daten für Maximalfarbe (Ma):

$LAB^*LAB^*_{Ma}$: 55 -48 -8

$LAB^*LCH^*_{Ma}$: 55 48 189

$lab^*rgb^*_{Ma}$: 0.0 1.0 0.5

$lab^*olv^*_{Ma}$: 0.0 1.0 0.36

Dreiecks-Helligkeit i^*

%Umfang

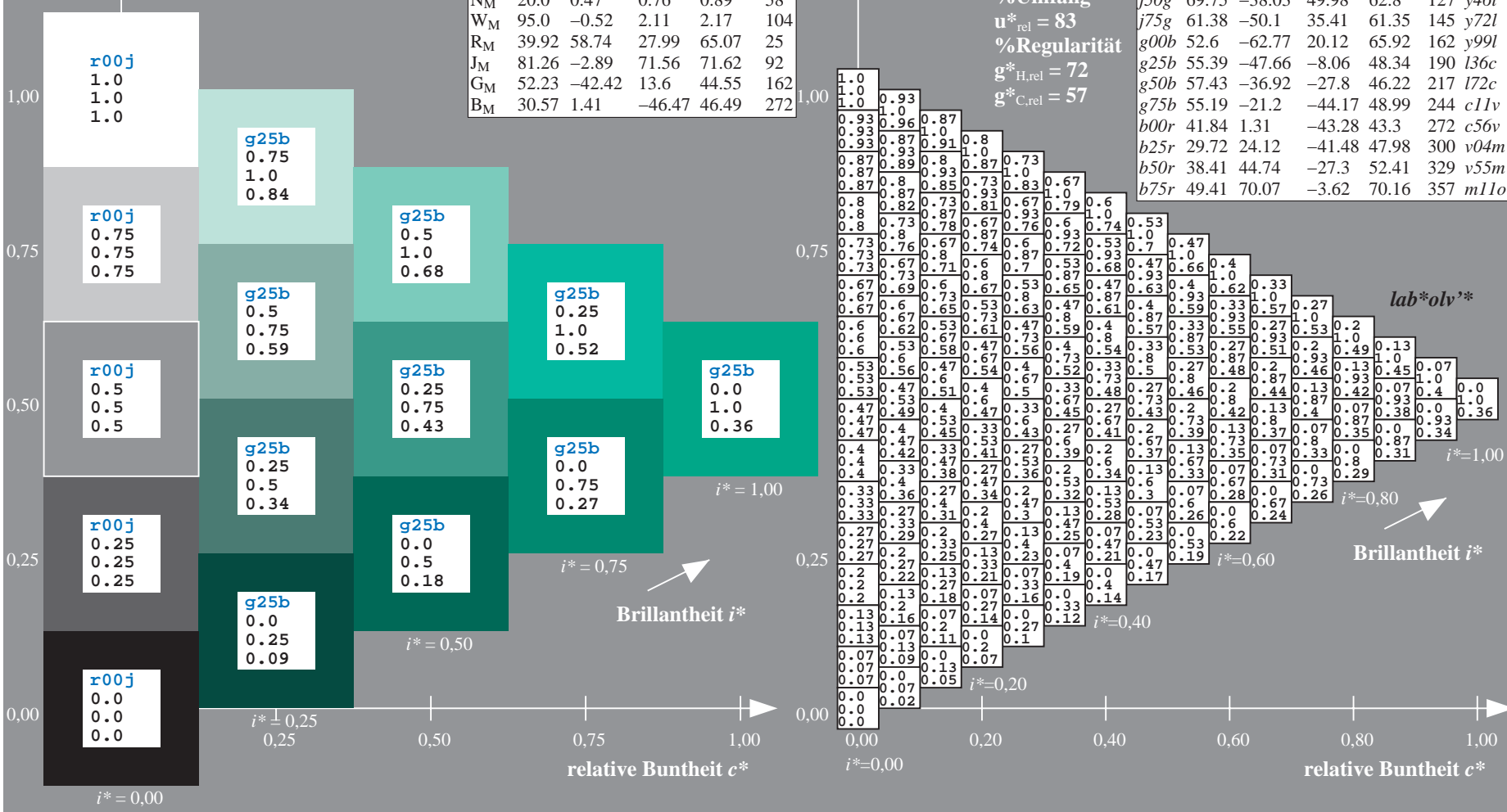
$u^*_{rel} = 83$

%Regularität

$g^*_{H,rel} = 72$

$g^*_{C,rel} = 57$

ORS20_95a; adaptierte CIELAB-Daten									
u^*_e	$L^*=L^*_a$	a^*_a	b^*_a	$C^*_{ab,a}$	$h^*_{ab,a}$	u^*_d			
r00j	48.83	63.91	30.45	70.79	25	m84o			
r25j	55.53	50.37	45.65	67.97	42	o17y			
r50j	64.76	33.86	56.12	65.55	59	o42y			
r75j	74.12	17.13	66.74	68.9	76	o67y			
j00g	85.5	-3.22	79.65	79.72	92	o92y			
j25g	79.45	-24.05	66.85	71.04	110	y20l			
j50g	69.75	-38.03	49.98	62.8	127	y46l			
j75g	61.38	-50.1	35.41	61.35	145	y72l			
g00b	52.6	-62.77	20.12	65.92	162	y99l			
g25b	55.39	-47.66	-8.06	48.34	190	l36c			
g50b	57.43	-36.92	-27.8	46.22	217	l72c			
g75b	55.19	-21.2	-44.17	48.99	244	c11v			
b00r	41.84	1.31	-43.28	43.3	272	c56v			
b25r	29.72	24.12	-41.48	47.98	300	v04m			
b50r	38.41	44.74	-27.3	52.41	329	v55m			
b75r	49.41	70.07	-3.62	70.16	357	m11o			



Ein und Ausgabe: Farbmetrisches Drucker-Reflektiv-System ORS20_95a für relativen CIELAB-Buntton $h^* = lab^*h^* = h_{ab}/360 = 0.603$

Daten für jede Farbe:

lab^*tch^* und lab^*icu^*

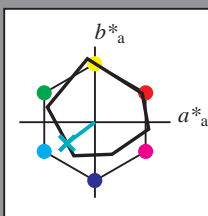
Bunttontexte:

$u^*_e = g50b$ $u^*_d = l72c$

Kontrastreduzierungsfaktor:

$c_R = 0.96$

Dreiecks-Helligkeit i^*



ORS20_95a; CIELAB-Daten						
u^*_e	$L^*=L^*_a$	a^*	b^*	C^*_{ab}	h^*_{ab}	
O _M	48.71	62.65	39.19	73.89	32	
Y _M	89.25	-10.36	85.91	86.53	97	
L _M	52.5	-62.88	21.3	66.38	161	
C _M	59.15	-27.92	-42.97	51.24	237	
V _M	29.13	23.07	-41.51	47.5	299	
M _M	49.51	71.15	-7.9	71.59	354	
N _M	20.0	0.47	0.76	0.89	58	
W _M	95.0	-0.52	2.11	2.17	104	
R _M	39.92	58.74	27.99	65.07	25	
J _M	81.26	-2.89	71.56	71.62	92	
G _M	52.23	-42.42	13.6	44.55	162	
B _M	30.57	1.41	-46.47	46.49	272	

Daten für Maximalfarbe (Ma):

$LAB^*LAB^*_{Ma}$: 57 -37 -28

$LAB^*LCH^*_{Ma}$: 57 46 216

$lab^*rgb^*_{Ma}$: 0.0 1.0 1.0

$lab^*olv^*_{Ma}$: 0.0 1.0 0.72

Dreiecks-Helligkeit i^*

%Umfang

$u^*_{rel} = 83$

%Regularität

$g^*_{H,rel} = 72$

$g^*_{C,rel} = 57$

ORS20_95a; adaptierte CIELAB-Daten									
u^*_e	$L^*=L^*_a$	a^*_a	b^*_a	$C^*_{ab,a}$	$h^*_{ab,a}$	u^*_d			
r00j	48.83	63.91	30.45	70.79	25	m84o			
r25j	55.53	50.37	45.65	67.97	42	o17y			
r50j	64.76	33.86	56.12	65.55	59	o42y			
r75j	74.12	17.13	66.74	68.9	76	o67y			
j00g	85.5	-3.22	79.65	79.72	92	o92y			
j25g	79.45	-24.05	66.85	71.04	110	y20l			
j50g	69.75	-38.03	49.98	62.8	127	y46l			
j75g	61.38	-50.1	35.41	61.35	145	y72l			
g00b	52.6	-62.77	20.12	65.92	162	y99l			
g25b	55.39	-47.66	-8.06	48.34	190	l36c			
g50b	57.43	-36.92	-27.8	46.22	217	l72c			
g75b	55.19	-21.2	-44.17	48.99	244	c11v			
b00r	41.84	1.31	-43.28	43.3	272	c56v			
b25r	29.72	24.12	-41.48	47.98	300	v04m			
b50r	38.41	44.74	-27.3	52.41	329	v55m			
b75r	49.41	70.07	-3.62	70.16	357	m11o			

lab^*olv^*

$i^* = 1.00$

Brillantheit i^*

$i^* = 0.80$

$i^* = 0.60$

$i^* = 0.40$

$i^* = 0.20$

$i^* = 0.00$

Ein und Ausgabe: Farbmetrisches Drucker-Reflektiv-System ORS20_95a für relativen CIELAB-Buntton $h^* = lab^*h^* = h_{ab}/360 = 0.679$

Daten für jede Farbe:

lab^*tch^* und lab^*icu^*

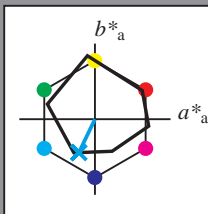
Bunttontexte:

$u^*_e = g75b$ $u^*_d = c11v$

Kontrastreduzierungsfaktor:

$c_R = 0.96$

Dreiecks-Helligkeit i^*



ORS20_95a; CIELAB-Daten						
u^*_e	$L^*=L^*_a$	a^*	b^*	C^*_{ab}	h^*_{ab}	
O _M	48.71	62.65	39.19	73.89	32	
Y _M	89.25	-10.36	85.91	86.53	97	
L _M	52.5	-62.88	21.3	66.38	161	
C _M	59.15	-27.92	-42.97	51.24	237	
V _M	29.13	23.07	-41.51	47.5	299	
M _M	49.51	71.15	-7.9	71.59	354	
N _M	20.0	0.47	0.76	0.89	58	
W _M	95.0	-0.52	2.11	2.17	104	
R _M	39.92	58.74	27.99	65.07	25	
J _M	81.26	-2.89	71.56	71.62	92	
G _M	52.23	-42.42	13.6	44.55	162	
B _M	30.57	1.41	-46.47	46.49	272	

Daten für Maximalfarbe (Ma):

$LAB^*LAB^*_{Ma}$: 55 -21 -44

$LAB^*LCH^*_{Ma}$: 55 49 244

$lab^*rgb^*_{Ma}$: 0.0 0.5 1.0

$lab^*olv^*_{Ma}$: 0.0 0.89 1.0

Dreiecks-Helligkeit i^*

%Umfang

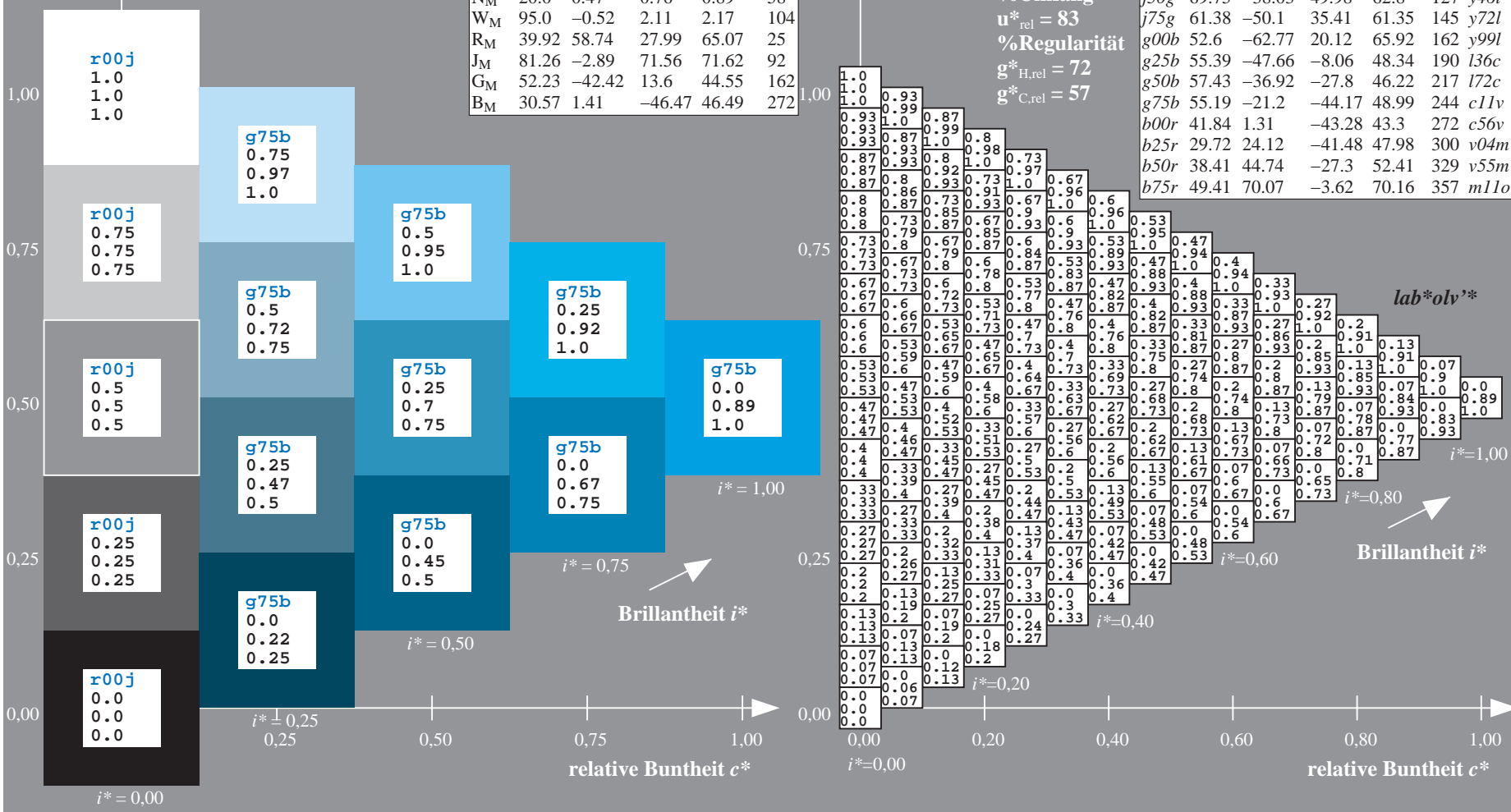
$u^*_{rel} = 83$

%Regularität

$g^*_{H,rel} = 72$

$g^*_{C,rel} = 57$

ORS20_95a; adaptierte CIELAB-Daten									
u^*_e	$L^*=L^*_a$	a^*_a	b^*_a	$C^*_{ab,a}$	$h^*_{ab,a}$	u^*_d			
r00j	48.83	63.91	30.45	70.79	25	m84o			
r25j	55.53	50.37	45.65	67.97	42	o17y			
r50j	64.76	33.86	56.12	65.55	59	o42y			
r75j	74.12	17.13	66.74	68.9	76	o67y			
j00g	85.5	-3.22	79.65	79.72	92	o92y			
j25g	79.45	-24.05	66.85	71.04	110	y20l			
j50g	69.75	-38.03	49.98	62.8	127	y46l			
j75g	61.38	-50.1	35.41	61.35	145	y72l			
g00b	52.6	-62.77	20.12	65.92	162	y99l			
g25b	55.39	-47.66	-8.06	48.34	190	l36c			
g50b	57.43	-36.92	-27.8	46.22	217	l72c			
g75b	55.19	-21.2	-44.17	48.99	244	c11v			
b00r	41.84	1.31	-43.28	43.3	272	c56v			
b25r	29.72	24.12	-41.48	47.98	300	v04m			
b50r	38.41	44.74	-27.3	52.41	329	v55m			
b75r	49.41	70.07	-3.62	70.16	357	m11o			



Ein und Ausgabe: Farbmetrisches Drucker-Reflektiv-System ORS20_95a für relativen CIELAB-Buntton $h^* = lab^*h^* = h_{ab}/360 = 0.755$

Daten für jede Farbe:

lab^*tch^* und lab^*icu^*

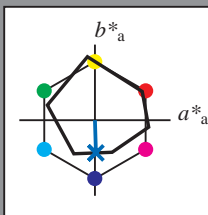
Bunttontexte:

$u^*_e = b00r$ $u^*_d = c56v$

Kontrastreduzierungsfaktor:

$c_R = 0.96$

Dreiecks-Helligkeit t^*



ORS20_95a; CIELAB-Daten						
u^*_e	$L^*=L^*_a$	a^*	b^*	C^*_{ab}	h^*_{ab}	
O _M	48.71	62.65	39.19	73.89	32	
Y _M	89.25	-10.36	85.91	86.53	97	
L _M	52.5	-62.88	21.3	66.38	161	
C _M	59.15	-27.92	-42.97	51.24	237	
V _M	29.13	23.07	-41.51	47.5	299	
M _M	49.51	71.15	-7.9	71.59	354	
N _M	20.0	0.47	0.76	0.89	58	
W _M	95.0	-0.52	2.11	2.17	104	
R _M	39.92	58.74	27.99	65.07	25	
J _M	81.26	-2.89	71.56	71.62	92	
G _M	52.23	-42.42	13.6	44.55	162	
B _M	30.57	1.41	-46.47	46.49	272	

Daten für Maximalfarbe (Ma):

$LAB^*LAB^*_{Ma}$: 42 1 -43

$LAB^*LCH^*_{Ma}$: 42 43 271

$lab^*rgb^*_{Ma}$: 0.0 0.0 1.0

$lab^*olv^*_{Ma}$: 0.0 0.44 1.0

Dreiecks-Helligkeit t^*

%Umfang

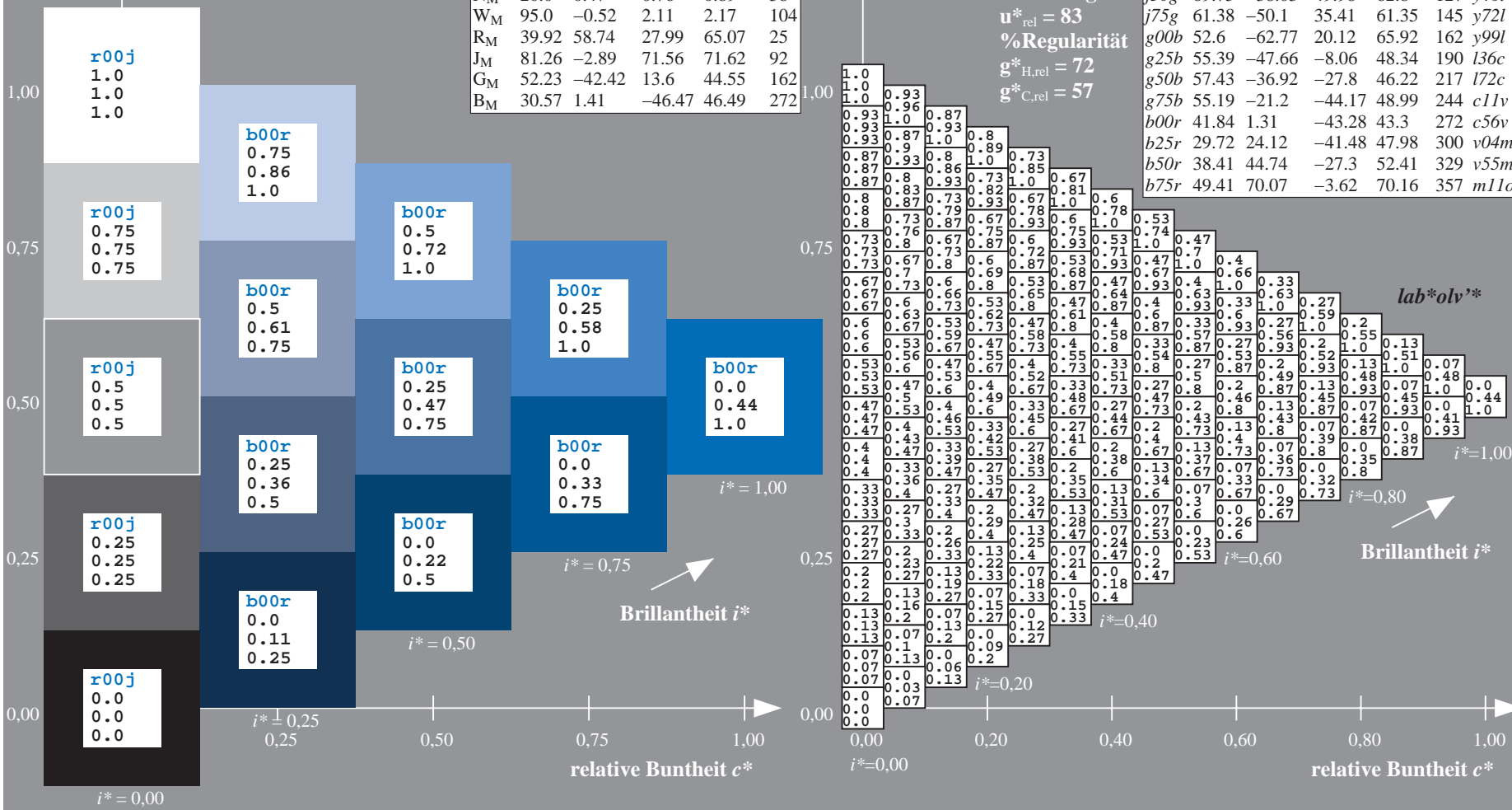
$u^*_{rel} = 83$

%Regularität

$g^*_{H,rel} = 72$

$g^*_{C,rel} = 57$

ORS20_95a; adaptierte CIELAB-Daten									
u^*_e	$L^*=L^*_a$	a^*_a	b^*_a	$C^*_{ab,a}$	$h^*_{ab,a}$	u^*_d			
r00j	48.83	63.91	30.45	70.79	25	m84o			
r25j	55.53	50.37	45.65	67.97	42	o17y			
r50j	64.76	33.86	56.12	65.55	59	o42y			
r75j	74.12	17.13	66.74	68.9	76	o67y			
j00g	85.5	-3.22	79.65	79.72	92	o92y			
j25g	79.45	-24.05	66.85	71.04	110	y20l			
j50g	69.75	-38.03	49.98	62.8	127	y46l			
j75g	61.38	-50.1	35.41	61.35	145	y72l			
g00b	52.6	-62.77	20.12	65.92	162	y99l			
g25b	55.39	-47.66	-8.06	48.34	190	l36c			
g50b	57.43	-36.92	-27.8	46.22	217	l72c			
g75b	55.19	-21.2	-44.17	48.99	244	c11v			
b00r	41.84	1.31	-43.28	43.3	272	c56v			
b25r	29.72	24.12	-41.48	47.98	300	v04m			
b50r	38.41	44.74	-27.3	52.41	329	v55m			
b75r	49.41	70.07	-3.62	70.16	357	m11o			



Ein und Ausgabe: Farbmetrisches Drucker-Reflektiv-System ORS20_95a für relativen CIELAB-Buntton $h^* = lab^*h^* = h_{ab}/360 = 0.834$

Daten für jede Farbe:

lab^*tch^* und lab^*icu^*

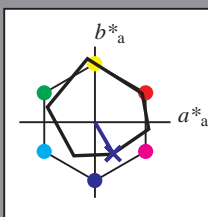
Bunttontexte:

$u^*_e = b25r$ $u^*_d = v04m$

Kontrastreduzierungsfaktor:

$c_R = 0.96$

Dreiecks-Helligkeit i^*



ORS20_95a; CIELAB-Daten						
u^*_e	$L^*=L^*_a$	a^*	b^*	C^*_{ab}	h^*_{ab}	
O _M	48.71	62.65	39.19	73.89	32	
Y _M	89.25	-10.36	85.91	86.53	97	
L _M	52.5	-62.88	21.3	66.38	161	
C _M	59.15	-27.92	-42.97	51.24	237	
V _M	29.13	23.07	-41.51	47.5	299	
M _M	49.51	71.15	-7.9	71.59	354	
N _M	20.0	0.47	0.76	0.89	58	
W _M	95.0	-0.52	2.11	2.17	104	
R _M	39.92	58.74	27.99	65.07	25	
J _M	81.26	-2.89	71.56	71.62	92	
G _M	52.23	-42.42	13.6	44.55	162	
B _M	30.57	1.41	-46.47	46.49	272	

Daten für Maximalfarbe (Ma):

$LAB^*LAB^*_{Ma}$: 30 24 -41

$LAB^*LCH^*_{Ma}$: 30 48 300

$lab^*rgb^*_{Ma}$: 0.5 0.0 1.0

$lab^*olv^*_{Ma}$: 0.04 0.0 1.0

Dreiecks-Helligkeit i^*

%Umfang

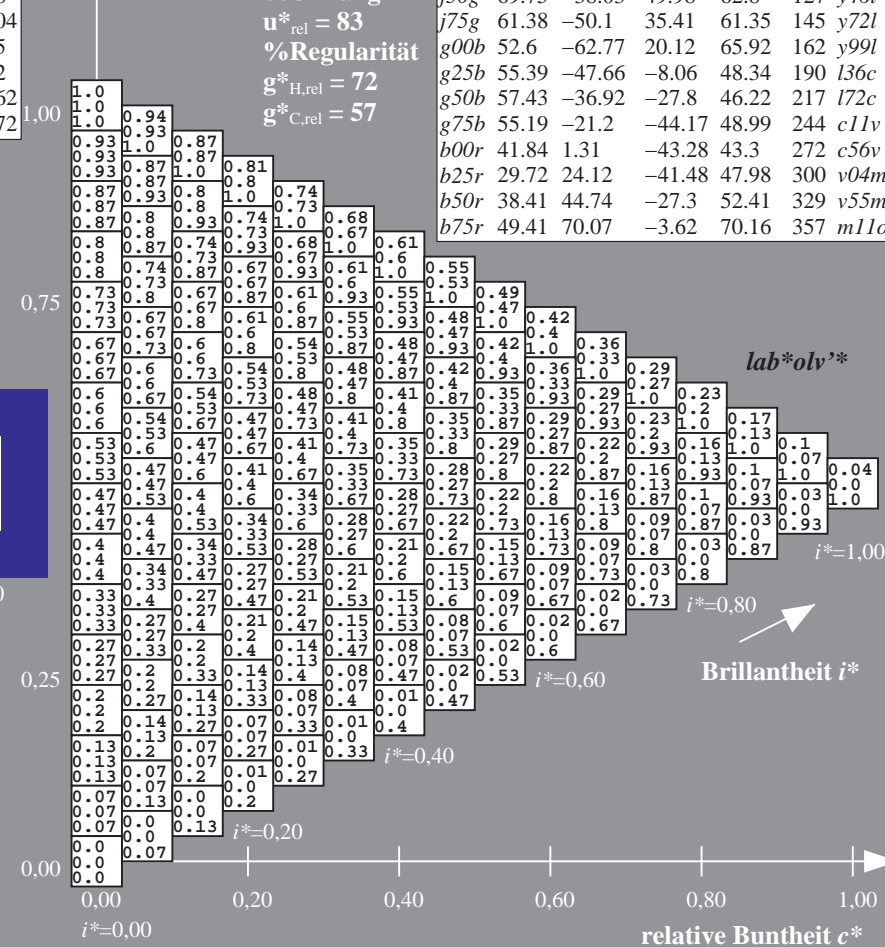
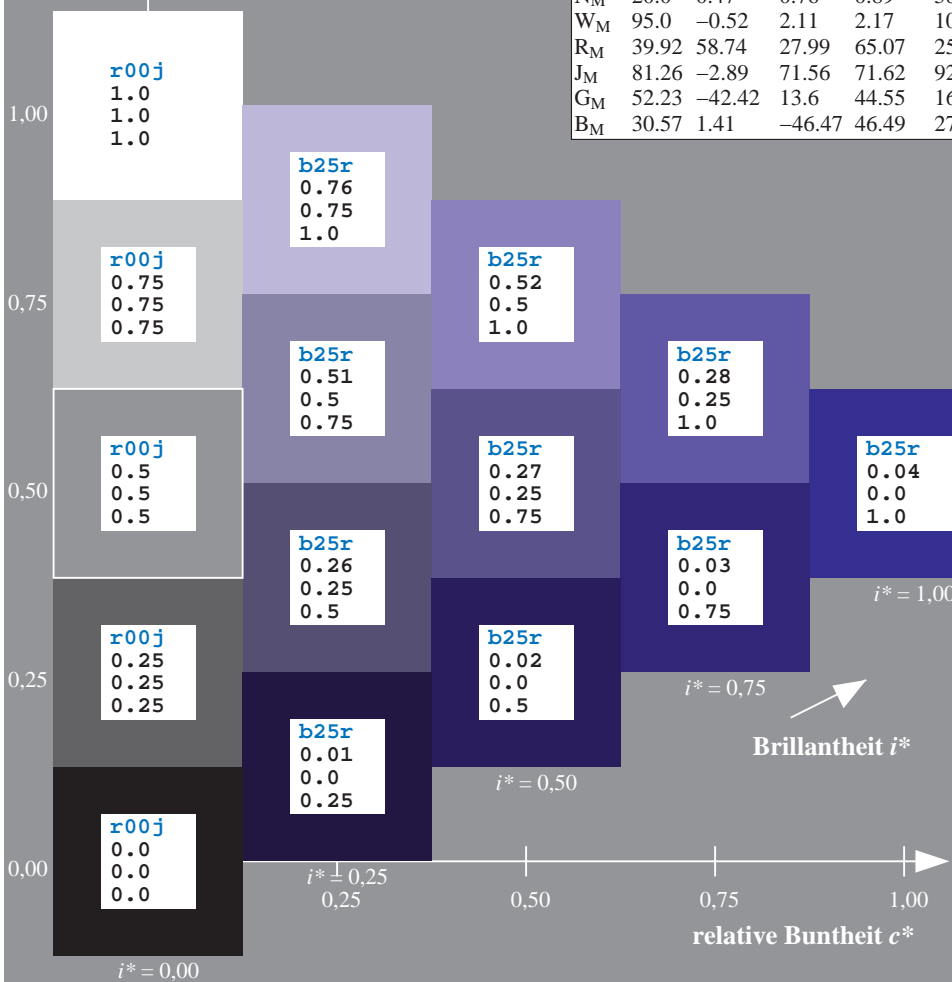
$u^*_{rel} = 83$

%Regularität

$g^*_{H,rel} = 72$

$g^*_{C,rel} = 57$

ORS20_95a; adaptierte CIELAB-Daten									
u^*_e	$L^*=L^*_a$	a^*_a	b^*_a	$C^*_{ab,a}$	$h^*_{ab,a}$	u^*_d			
r00j	48.83	63.91	30.45	70.79	25	m84o			
r25j	55.53	50.37	45.65	67.97	42	o17y			
r50j	64.76	33.86	56.12	65.55	59	o42y			
r75j	74.12	17.13	66.74	68.9	76	o67y			
j00g	85.5	-3.22	79.65	79.72	92	o92y			
j25g	79.45	-24.05	66.85	71.04	110	y20l			
j50g	69.75	-38.03	49.98	62.8	127	y46l			
j75g	61.38	-50.1	35.41	61.35	145	y72l			
g00b	52.6	-62.77	20.12	65.92	162	y99l			
g25b	55.39	-47.66	-8.06	48.34	190	l36c			
g50b	57.43	-36.92	-27.8	46.22	217	l72c			
g75b	55.19	-21.2	-44.17	48.99	244	c11v			
b00r	41.84	1.31	-43.28	43.3	272	c56v			
b25r	29.72	24.12	-41.48	47.98	300	v04m			
b50r	38.41	44.74	-27.3	52.41	329	v55m			
b75r	49.41	70.07	-3.62	70.16	357	m11o			



Ein und Ausgabe: Farbmetrisches Drucker-Reflektiv-System ORS20_95a für relativen CIELAB-Buntton $h^* = \text{lab}^*h^* = h_{ab}/360 = 0.913$

Daten für jede Farbe:

lab^*tch^* und lab^*icu^*

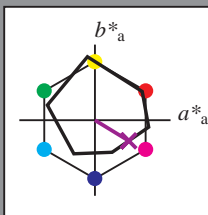
Bunttontexte:

$u^*_e = b50r$ $u^*_d = v55m$

Kontrastreduzierungsfaktor:

$c_R = 0.96$

Dreiecks-Helligkeit i^*



ORS20_95a; CIELAB-Daten						
u^*_e	$L^*=L^*_a$	a^*	b^*	C^*_{ab}	h^*_{ab}	
O _M	48.71	62.65	39.19	73.89	32	
Y _M	89.25	-10.36	85.91	86.53	97	
L _M	52.5	-62.88	21.3	66.38	161	
C _M	59.15	-27.92	-42.97	51.24	237	
V _M	29.13	23.07	-41.51	47.5	299	
M _M	49.51	71.15	-7.9	71.59	354	
N _M	20.0	0.47	0.76	0.89	58	
W _M	95.0	-0.52	2.11	2.17	104	
R _M	39.92	58.74	27.99	65.07	25	
J _M	81.26	-2.89	71.56	71.62	92	
G _M	52.23	-42.42	13.6	44.55	162	
B _M	30.57	1.41	-46.47	46.49	272	

Daten für Maximalfarbe (Ma):

$\text{LAB}^*\text{LAB}^*_{\text{Ma}}$: 38 45 -27

$\text{LAB}^*\text{LCH}^*_{\text{Ma}}$: 38 52 328

$\text{lab}^*\text{rgb}^*_{\text{Ma}}$: 1.0 0.0 1.0

$\text{lab}^*\text{olv}^*_{\text{Ma}}$: 0.56 0.0 1.0

Dreiecks-Helligkeit i^*

%Umfang

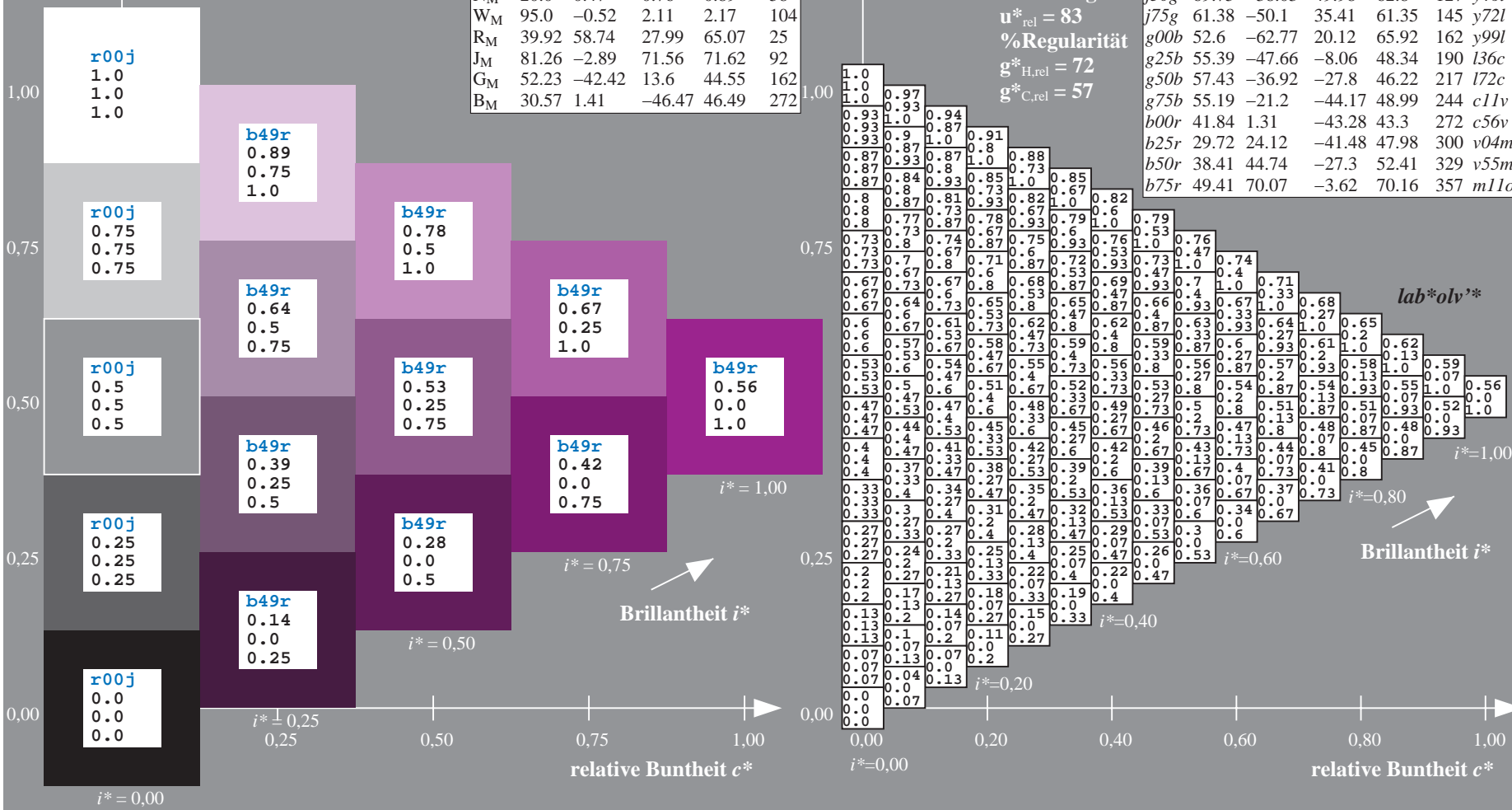
$u^*_{\text{rel}} = 83$

%Regularität

$g^*_{H,\text{rel}} = 72$

$g^*_{C,\text{rel}} = 57$

ORS20_95a; adaptierte CIELAB-Daten										
u^*_e	$L^*=L^*_a$	a^*_a	b^*_a	$C^*_{ab,a}$	$h^*_{ab,a}$	u^*_d				
r00j	48.83	63.91	30.45	70.79	25	m84o				
r25j	55.53	50.37	45.65	67.97	42	o17y				
r50j	64.76	33.86	56.12	65.55	59	o42y				
r75j	74.12	17.13	66.74	68.9	76	o67y				
j00g	85.5	-3.22	79.65	79.72	92	o92y				
j25g	79.45	-24.05	66.85	71.04	110	y20l				
j50g	69.75	-38.03	49.98	62.8	127	y46l				
j75g	61.38	-50.1	35.41	61.35	145	y72l				
g00b	52.6	-62.77	20.12	65.92	162	y99l				
g25b	55.39	-47.66	-8.06	48.34	190	l36c				
g50b	57.43	-36.92	-27.8	46.22	217	l72c				
g75b	55.19	-21.2	-44.17	48.99	244	c11v				
b00r	41.84	1.31	-43.28	43.3	272	c56v				
b25r	29.72	24.12	-41.48	47.98	300	v04m				
b50r	38.41	44.74	-27.3	52.41	329	v55m				
b75r	49.41	70.07	-3.62	70.16	357	m11o				



Ein und Ausgabe: Farbmetrisches Drucker-Reflektiv-System ORS20_95a für relativen CIELAB-Buntton $h^* = \text{lab}^*h^* = h_{ab}/360 = 0.992$

Daten für jede Farbe:

lab^*tch^* und lab^*icu^*

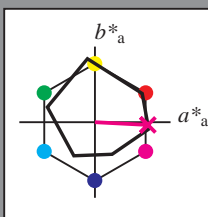
Bunttontexte:

$u^*_e = b75r$ $u^*_d = m11o$

Kontrastreduzierungsfaktor:

$c_R = 0.96$

Dreiecks-Helligkeit i^*



ORS20_95a; CIELAB-Daten						
u^*_e	$L^*=L^*_a$	a^*	b^*	C^*_{ab}	h^*_{ab}	
O _M	48.71	62.65	39.19	73.89	32	
Y _M	89.25	-10.36	85.91	86.53	97	
L _M	52.5	-62.88	21.3	66.38	161	
C _M	59.15	-27.92	-42.97	51.24	237	
V _M	29.13	23.07	-41.51	47.5	299	
M _M	49.51	71.15	-7.9	71.59	354	
N _M	20.0	0.47	0.76	0.89	58	
W _M	95.0	-0.52	2.11	2.17	104	
R _M	39.92	58.74	27.99	65.07	25	
J _M	81.26	-2.89	71.56	71.62	92	
G _M	52.23	-42.42	13.6	44.55	162	
B _M	30.57	1.41	-46.47	46.49	272	

Daten für Maximalfarbe (Ma):

$\text{LAB}^*\text{LAB}^*_{\text{Ma}}$: 49 70 -4

$\text{LAB}^*\text{LCH}^*_{\text{Ma}}$: 49 70 357

$\text{lab}^*\text{rgb}^*_{\text{Ma}}$: 1.0 0.0 0.5

$\text{lab}^*\text{olv}^*_{\text{Ma}}$: 1.0 0.0 0.89

Dreiecks-Helligkeit i^*

%Umfang

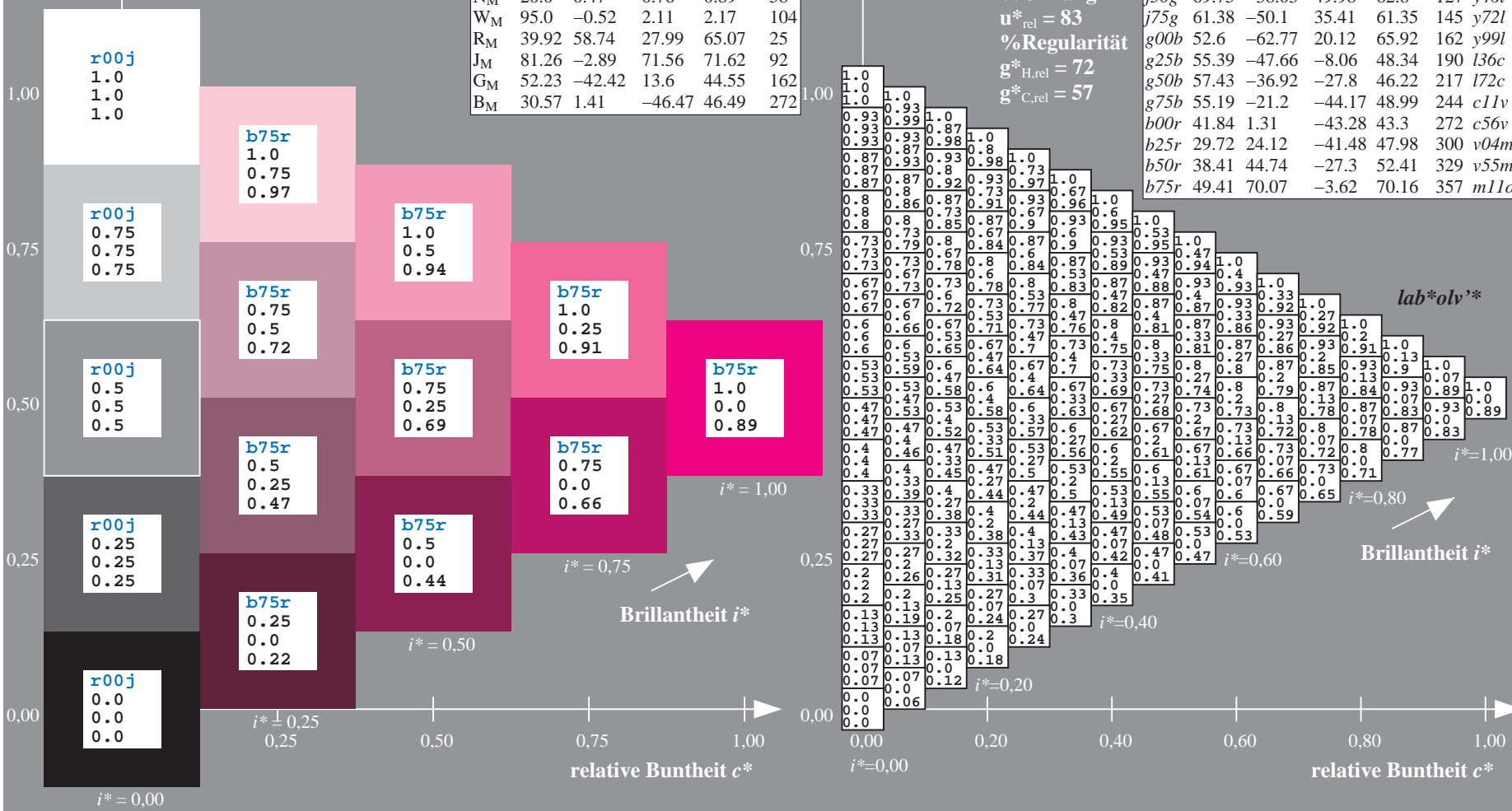
$u^*_{\text{rel}} = 83$

%Regularität

$g^*_{H,\text{rel}} = 72$

$g^*_{C,\text{rel}} = 57$

ORS20_95a; adaptierte CIELAB-Daten									
u^*_e	$L^*=L^*_a$	a^*_a	b^*_a	$C^*_{ab,a}$	$h^*_{ab,a}$	u^*_d			
r00j	48.83	63.91	30.45	70.79	25	m84o			
r25j	55.53	50.37	45.65	67.97	42	o17y			
r50j	64.76	33.86	56.12	65.55	59	o42y			
r75j	74.12	17.13	66.74	68.9	76	o67y			
j00g	85.5	-3.22	79.65	79.72	92	o92y			
j25g	79.45	-24.05	66.85	71.04	110	y20l			
j50g	69.75	-38.03	49.98	62.8	127	y46l			
j75g	61.38	-50.1	35.41	61.35	145	y72l			
g00b	52.6	-62.77	20.12	65.92	162	y99l			
g25b	55.39	-47.66	-8.06	48.34	190	l36c			
g50b	57.43	-36.92	-27.8	46.22	217	l72c			
g75b	55.19	-21.2	-44.17	48.99	244	c11v			
b00r	41.84	1.31	-43.28	43.3	272	c56v			
b25r	29.72	24.12	-41.48	47.98	300	v04m			
b50r	38.41	44.74	-27.3	52.41	329	v55m			
b75r	49.41	70.07	-3.62	70.16	357	m11o			



Siehe ähnliche Dateien: <http://www.ps.bam.de/Eg13/>; www.ps.bam.de/Eg13/10L/L13G00NA.PS/.TXT BAM-Material: Code=rh4ta
Technische Information: <http://www.ps.bam.de> Version 2.1, io=1,1, ColSp=1

	A	B	C	D	E	F	G	H	I	J	K	L	M	N	O	P	Q	R	S	T	U	V	W	X	Y	Z	a	b	c	d	e	f	g	h	i	j	k	lab*oly*			
01	0.0	0.0	0.0	0.0	0.0	0.0	0.0	0.0	0.0	0.0	0.0	0.0	0.0	0.0	0.0	0.0	0.0	0.0	0.0	0.0	0.0	0.0	0.0	0.0	0.0	0.0	0.0	0.0	0.0	0.0	0.0	0.0	0.0	0.0	0.0	0.0	0.0	0.0	0.0		
02	0.0	0.13	0.25	0.38	0.5	0.63	0.75	0.88	1.0	0.0	0.0	0.0	0.0	0.0	0.0	0.0	0.0	0.0	0.0	0.0	0.0	0.0	0.0	0.0	0.0	0.0	0.0	0.0	0.0	0.0	0.0	0.0	0.0	0.0	0.0	0.0	0.0	0.0	0.0		
03	0.0	0.12	0.25	0.38	0.5	0.63	0.75	0.88	1.0	0.0	0.13	0.25	0.38	0.5	0.63	0.75	0.88	1.0	0.0	0.13	0.25	0.38	0.5	0.63	0.75	0.88	1.0	0.0	0.13	0.25	0.38	0.5	0.63	0.75	0.88	1.0	0.0	0.13	0.25	0.38	0.5
04	0.0	0.12	0.25	0.37	0.5	0.63	0.75	0.88	1.0	0.0	0.13	0.25	0.37	0.5	0.63	0.75	0.88	1.0	0.0	0.13	0.25	0.37	0.5	0.63	0.75	0.88	1.0	0.0	0.13	0.25	0.37	0.5	0.63	0.75	0.88	1.0	0.0	0.13	0.25	0.37	0.5
05	0.0	0.12	0.25	0.37	0.5	0.63	0.75	0.88	1.0	0.0	0.13	0.25	0.37	0.5	0.63	0.75	0.88	1.0	0.0	0.13	0.25	0.37	0.5	0.63	0.75	0.88	1.0	0.0	0.13	0.25	0.37	0.5	0.63	0.75	0.88	1.0	0.0	0.13	0.25	0.37	0.5
06	0.0	0.12	0.25	0.37	0.5	0.63	0.75	0.88	1.0	0.0	0.13	0.25	0.37	0.5	0.63	0.75	0.88	1.0	0.0	0.13	0.25	0.37	0.5	0.63	0.75	0.88	1.0	0.0	0.13	0.25	0.37	0.5	0.63	0.75	0.88	1.0	0.0	0.13	0.25	0.37	0.5
07	0.0	0.12	0.25	0.37	0.5	0.63	0.75	0.88	1.0	0.0	0.13	0.25	0.37	0.5	0.63	0.75	0.88	1.0	0.0	0.13	0.25	0.37	0.5	0.63	0.75	0.88	1.0	0.0	0.13	0.25	0.37	0.5	0.63	0.75	0.88	1.0	0.0	0.13	0.25	0.37	0.5
08	0.0	0.12	0.25	0.37	0.5	0.63	0.75	0.88	1.0	0.0	0.13	0.25	0.37	0.5	0.63	0.75	0.88	1.0	0.0	0.13	0.25	0.37	0.5	0.63	0.75	0.88	1.0	0.0	0.13	0.25	0.37	0.5	0.63	0.75	0.88	1.0	0.0	0.13	0.25	0.37	0.5
09	0.0	0.12	0.25	0.37	0.5	0.63	0.75	0.88	1.0	0.0	0.13	0.25	0.37	0.5	0.63	0.75	0.88	1.0	0.0	0.13	0.25	0.37	0.5	0.63	0.75	0.88	1.0	0.0	0.13	0.25	0.37	0.5	0.63	0.75	0.88	1.0	0.0	0.13	0.25	0.37	0.5
10	0.38	0.38	0.38	0.37	0.37	0.37	0.37	0.37	0.37	0.5	0.5	0.5	0.5	0.5	0.5	0.5	0.5	0.5	0.63	0.63	0.63	0.63	0.63	0.63	0.63	0.63	0.63	0.63	0.63	0.63	0.63	0.63	0.63	0.63	0.63	0.63	0.63	0.63	0.63	0.63	
11	0.38	0.38	0.38	0.37	0.37	0.37	0.37	0.37	0.37	0.5	0.5	0.5	0.5	0.5	0.5	0.5	0.5	0.5	0.63	0.63	0.63	0.63	0.63	0.63	0.63	0.63	0.63	0.63	0.63	0.63	0.63	0.63	0.63	0.63	0.63	0.63	0.63	0.63	0.63		
12	0.38	0.38	0.38	0.37	0.37	0.37	0.37	0.37	0.37	0.5	0.5	0.5	0.5	0.5	0.5	0.5	0.5	0.5	0.63	0.63	0.63	0.63	0.63	0.63	0.63	0.63	0.63	0.63	0.63	0.63	0.63	0.63	0.63	0.63	0.63	0.63	0.63	0.63	0.63		
13	0.38	0.38	0.38	0.37	0.37	0.37	0.37	0.37	0.37	0.5	0.5	0.5	0.5	0.5	0.5	0.5	0.5	0.5	0.63	0.63	0.63	0.63	0.63	0.63	0.63	0.63	0.63	0.63	0.63	0.63	0.63	0.63	0.63	0.63	0.63	0.63	0.63	0.63	0.63		
14	0.38	0.38	0.38	0.37	0.37	0.37	0.37	0.37	0.37	0.5	0.5	0.5	0.5	0.5	0.5	0.5	0.5	0.5	0.63	0.63	0.63	0.63	0.63	0.63	0.63	0.63	0.63	0.63	0.63	0.63	0.63	0.63	0.63	0.63	0.63	0.63	0.63	0.63	0.63		
15	0.38	0.38	0.38	0.37	0.37	0.37	0.37	0.37	0.37	0.5	0.5	0.5	0.5	0.5	0.5	0.5	0.5	0.5	0.63	0.63	0.63	0.63	0.63	0.63	0.63	0.63	0.63	0.63	0.63	0.63	0.63	0.63	0.63	0.63	0.63	0.63	0.63	0.63	0.63		
16	0.38	0.38	0.38	0.37	0.37	0.37	0.37	0.37	0.37	0.5	0.5	0.5	0.5	0.5	0.5	0.5	0.5	0.5	0.63	0.63	0.63	0.63	0.63	0.63	0.63	0.63	0.63	0.63	0.63	0.63	0.63	0.63	0.63	0.63	0.63	0.63	0.63	0.63	0.63		
17	0.38	0.38	0.38	0.37	0.37	0.37	0.37	0.37	0.37	0.5	0.5	0.5	0.5	0.5	0.5	0.5	0.5	0.5	0.63	0.63	0.63	0.63	0.63	0.63	0.63	0.63	0.63	0.63	0.63	0.63	0.63	0.63	0.63	0.63	0.63	0.63	0.63	0.63	0.63		
18	0.38	0.38	0.38	0.37	0.37	0.37	0.37	0.37	0.37	0.5	0.5	0.5	0.5	0.5	0.5	0.5	0.5	0.5	0.63	0.63	0.63	0.63	0.63	0.63	0.63	0.63	0.63	0.63	0.63	0.63	0.63	0.63	0.63	0.63	0.63	0.63	0.63	0.63	0.63		
19	0.38	0.38	0.38	0.37	0.37	0.37	0.37	0.37	0.37	0.5	0.5	0.5	0.5	0.5	0.5	0.5	0.5	0.5	0.63	0.63	0.63	0.63	0.63	0.63	0.63	0.63	0.63	0.63	0.63	0.63	0.63	0.63	0.63	0.63	0.63	0.63	0.63	0.63	0.63		
20	0.38	0.38	0.38	0.37	0.37	0.37	0.37	0.37	0.37	0.5	0.5	0.5	0.5	0.5	0.5	0.5	0.5	0.5	0.63	0.63	0.63	0.63	0.63	0.63	0.63	0.63	0.63	0.63	0.63	0.63	0.63	0.63	0.63	0.63	0.63	0.63	0.63	0.63	0.63		
21	0.38	0.38	0.38	0.37	0.37	0.37	0.37	0.37	0.37	0.5	0.5	0.5	0.5	0.5	0.5	0.5	0.5	0.5	0.63	0.63	0.63	0.63	0.63	0.63	0.63	0.63	0.63	0.63	0.63	0.63	0.63	0.63	0.63	0.63	0.63	0.63	0.63	0.63	0.63		
22	0.38	0.38	0.38	0.37	0.37	0.37	0.37	0.37	0.37	0.5	0.5	0.5	0.5	0.5	0.5	0.5	0.5	0.5	0.63	0.63	0.63	0.63	0.63	0.63	0.63	0.63	0.63	0.63	0.63	0.63	0.63	0.63	0.63	0.63	0.63	0.63	0.63	0.63	0.63		
23	0.38	0.38	0.38	0.37	0.37	0.37	0.37	0.37	0.37	0.5	0.5	0.5	0.5	0.5	0.5	0.5	0.5	0.5	0.63	0.63	0.63	0.63	0.63	0.63	0.63	0.63	0.63	0.63	0.63	0.63	0.63	0.63	0.63	0.63	0.63	0.63	0.63	0.63	0.63		
24	0.38	0.38	0.38	0.37	0.37	0.37	0.37	0.37	0.37	0.5	0.5	0.5	0.5	0.5	0.5	0.5	0.5	0.5	0.63	0.63	0.63	0.63	0.63	0.63	0.63	0.63	0.63	0.63	0.63	0.63	0.63	0.63	0.63	0.63	0.63	0.63	0.63	0.63	0.63		
25	0.38	0.38	0.38	0.37	0.37	0.37	0.37	0.37	0.37	0.5	0.5	0.5	0.5	0.5	0.5	0.5	0.5	0.5	0.63	0.63	0.63	0.63	0.63	0.63	0.63	0.63	0.63	0.63	0.63	0.63	0.63	0.63	0.63	0.63	0.63	0.63	0.63	0.63	0.63		
26	0.38	0.38	0.38	0.37	0.37	0.37	0.37	0.37	0.37	0.5	0.5	0.5	0.5	0.5	0.5	0.5	0.5	0.5	0.63	0.63	0.63	0.63	0.63	0.63	0.63	0.63	0.63	0.63	0.63	0.63	0.63	0.63	0.63	0.63	0.63	0.63	0.63	0.63	0.63		
27	0.38	0.38	0.38	0.37	0.37	0.37	0.37	0.37	0.37	0.5	0.5	0.5	0.5	0.5	0.5	0.5	0.5	0.5	0.63	0.63	0.63	0.63	0.63	0.63	0.63	0.63	0.63	0.63	0.63	0.63	0.63	0.63	0.63	0.63	0.63	0.63	0.63	0.63	0.63		

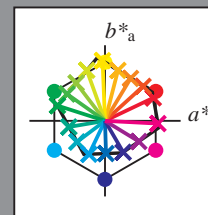
BAM-Registrierung: 20081001-Eg13/10L/L13G00NA.PS/.TXT BAM-Material: Code=rh4ta
Anwendung für Beurteilung und Messung von Drucker- oder Monitorsystemen

Ein und Ausgabe:
Farbmetrisches Drucker-Reflektiv-System ORS20_95a
Daten für jede Farbe:

u^*_e und Nummer $Nr.$ = 00 .. 15
Elementar-Bunttontext:
 $u^*_e = 16$ Bunttoene $r00j, r25j, ..., b75r$
Kontrastreduzierungsfaktor:
 $c_R = 0.96$

ORS20_95a; adaptierte CIELAB-Daten

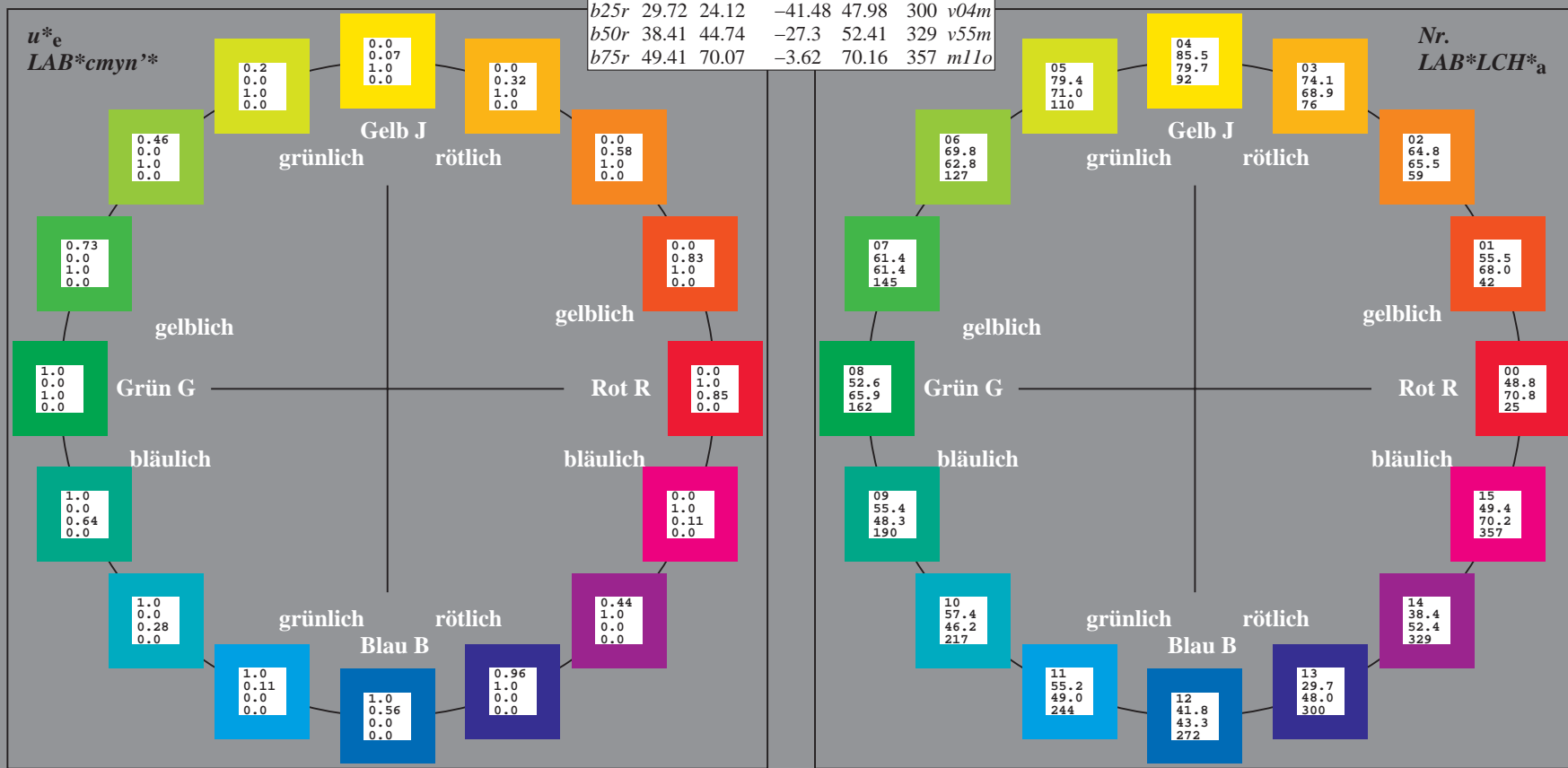
u^*_e	$L^*=L^*_a$	a^*_a	b^*_a	$C^*_{ab,a}$	$h^*_{ab,a}$	u^*_d
$r00j$	48.83	63.91	30.45	70.79	25	$m84o$
$r25j$	55.53	50.37	45.65	67.97	42	$o17y$
$r50j$	64.76	33.86	56.12	65.55	59	$o42y$
$r75j$	74.12	17.13	66.74	68.9	76	$o67y$
$j00g$	85.5	-3.22	79.65	79.72	92	$o92y$
$j25g$	79.45	-24.05	66.85	71.04	110	$y20l$
$j50g$	69.75	-38.03	49.98	62.8	127	$y46l$
$j75g$	61.38	-50.1	35.41	61.35	145	$y72l$
$g00b$	52.6	-62.77	20.12	65.92	162	$y99l$
$g25b$	55.39	-47.66	-8.06	48.34	190	$l36c$
$g50b$	57.43	-36.92	-27.8	46.22	217	$l72c$
$g75b$	55.19	-21.2	-44.17	48.99	244	$c11v$
$b00r$	41.84	1.31	-43.28	43.3	272	$c56v$
$b25r$	29.72	24.12	-41.48	47.98	300	$v04m$
$b50r$	38.41	44.74	-27.3	52.41	329	$v55m$
$b75r$	49.41	70.07	-3.62	70.16	357	$m11o$



%Umfang
 $u^*_{rel} = 83$
%Regularität
 $g^*_{H,rel} = 72$
 $g^*_{C,rel} = 57$

ORS20_95a; CIELAB-Daten

Name	$L^*=L^*$	a^*	b^*	C^*_{ab}	h^*_{ab}
O_M	48.71	62.65	39.19	73.89	32
Y_M	89.25	-10.36	85.91	86.53	97
L_M	52.5	-62.88	21.3	66.38	161
C_M	59.15	-27.92	-42.97	51.24	237
V_M	29.13	23.07	-41.51	47.5	299
M_M	49.51	71.15	-7.9	71.59	354
N_M	20.0	0.47	0.76	0.89	58
W_M	95.0	-0.52	2.11	2.17	104
R_{CIE}	39.92	58.74	27.99	65.07	25
J_{CIE}	81.26	-2.89	71.56	71.62	92
G_{CIE}	52.23	-42.42	13.6	44.55	162
B_{CIE}	30.57	1.41	-46.47	46.49	272



Ein und Ausgabe: Farbmatisches Drucker-Reflektiv-System ORS20_95a für relativen CIELAB-Buntton $h^* = lab^*h^* = h_{ab}/360 = 0.071$

Daten für jede Farbe:

lab^*ch^* und lab^*icu^*

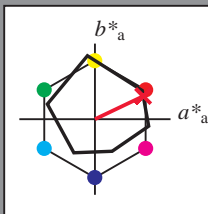
Bunttontexte:

$u^*_e = r00j$ $u^*_d = m84o$

Kontrastreduzierungsfaktor:

$c_R = 0.96$

Dreiecks-Helligkeit i^*



ORS20_95a; CIELAB-Daten						
u^*_e	$L^*=L^*_a$	a^*	b^*	C^*_{ab}	h^*_{ab}	
O _M	48.71	62.65	39.19	73.89	32	
Y _M	89.25	-10.36	85.91	86.53	97	
L _M	52.5	-62.88	21.3	66.38	161	
C _M	59.15	-27.92	-42.97	51.24	237	
V _M	29.13	23.07	-41.51	47.5	299	
M _M	49.51	71.15	-7.9	71.59	354	
N _M	20.0	0.47	0.76	0.89	58	
W _M	95.0	-0.52	2.11	2.17	104	
R _M	39.92	58.74	27.99	65.07	25	
J _M	81.26	-2.89	71.56	71.62	92	
G _M	52.23	-42.42	13.6	44.55	162	
B _M	30.57	1.41	-46.47	46.49	272	

Daten für Maximalfarbe (Ma):

$LAB^*LAB^*_{Ma}$: 49 64 30

$LAB^*LCH^*_{Ma}$: 49 71 25

$lab^*rgb^*_{Ma}$: 1.0 0.0 0.0

$lab^*olv^*_{Ma}$: 1.0 0.0 0.15

Dreiecks-Helligkeit i^*

%Umfang

$u^*_{rel} = 83$

%Regularität

$g^*_{H,rel} = 72$

$g^*_{C,rel} = 57$

ORS20_95a; adaptierte CIELAB-Daten							
u^*_e	$L^*=L^*_a$	a^*_a	b^*_a	$C^*_{ab,a}$	$h^*_{ab,a}$	u^*_d	
r00j	48.83	63.91	30.45	70.79	25	m84o	
r25j	55.53	50.37	45.65	67.97	42	o17y	
r50j	64.76	33.86	56.12	65.55	59	o42y	
r75j	74.12	17.13	66.74	68.9	76	o67y	
j00g	85.5	-3.22	79.65	79.72	92	o92y	
j25g	79.45	-24.05	66.85	71.04	110	y20l	
j50g	69.75	-38.03	49.98	62.8	127	y46l	
j75g	61.38	-50.1	35.41	61.35	145	y72l	
g00b	52.6	-62.77	20.12	65.92	162	y99l	
g25b	55.39	-47.66	-8.06	48.34	190	l36c	
g50b	57.43	-36.92	-27.8	46.22	217	l72c	
g75b	55.19	-21.2	-44.17	48.99	244	c11v	
b00r	41.84	1.31	-43.28	43.3	272	c56v	
b25r	29.72	24.12	-41.48	47.98	300	v04m	
b50r	38.41	44.74	-27.3	52.41	329	v55m	
b75r	49.41	70.07	-3.62	70.16	357	m11o	

LAB^*cmyn^*

$i^*=1.00$

Brillantheit i^*

$i^*=0.80$

$i^*=0.60$

$i^*=0.40$

$i^*=0.20$

$i^*=0.00$

relative Buntheit c^*

Ein und Ausgabe: Farbmetrisches Drucker-Reflektiv-System ORS20_95a für relativen CIELAB-Buntton $h^* = lab^*h^* = h_{ab}/360 = 0.117$

Daten für jede Farbe:

lab^*tch^* und lab^*icu^*

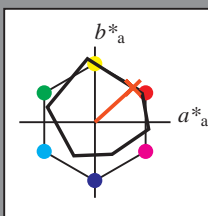
Bunttontexte:

$u^*_e = r25j$ $u^*_d = o17y$

Kontrastreduzierungsfaktor:

$c_R = 0.96$

Dreiecks-Helligkeit t^*



ORS20_95a; CIELAB-Daten						
u^*_e	$L^*=L^*_a$	a^*	b^*	C^*_{ab}	h^*_{ab}	
O _M	48.71	62.65	39.19	73.89	32	
Y _M	89.25	-10.36	85.91	86.53	97	
L _M	52.5	-62.88	21.3	66.38	161	
C _M	59.15	-27.92	-42.97	51.24	237	
V _M	29.13	23.07	-41.51	47.5	299	
M _M	49.51	71.15	-7.9	71.59	354	
N _M	20.0	0.47	0.76	0.89	58	
W _M	95.0	-0.52	2.11	2.17	104	
R _M	39.92	58.74	27.99	65.07	25	
J _M	81.26	-2.89	71.56	71.62	92	
G _M	52.23	-42.42	13.6	44.55	162	
B _M	30.57	1.41	-46.47	46.49	272	

Daten für Maximalfarbe (Ma):

$LAB^*LAB^*_{Ma}$: 56 50 46

$LAB^*LCH^*_{Ma}$: 56 68 42

$lab^*rgb^*_{Ma}$: 1.0 0.25 0.0

$lab^*olv^*_{Ma}$: 1.0 0.17 0.0

Dreiecks-Helligkeit t^*

%Umfang

$u^*_{rel} = 83$

%Regularität

$g^*_{H,rel} = 72$

$g^*_{C,rel} = 57$

ORS20_95a; adaptierte CIELAB-Daten									
u^*_e	$L^*=L^*_a$	a^*_a	b^*_a	$C^*_{ab,a}$	$h^*_{ab,a}$	u^*_d			
r00j	48.83	63.91	30.45	70.79	25	m84o			
r25j	55.53	50.37	45.65	67.97	42	o17y			
r50j	64.76	33.86	56.12	65.55	59	o42y			
r75j	74.12	17.13	66.74	68.9	76	o67y			
j00g	85.5	-3.22	79.65	79.72	92	o92y			
j25g	79.45	-24.05	66.85	71.04	110	y20l			
j50g	69.75	-38.03	49.98	62.8	127	y46l			
j75g	61.38	-50.1	35.41	61.35	145	y72l			
g00b	52.6	-62.77	20.12	65.92	162	y99l			
g25b	55.39	-47.66	-8.06	48.34	190	l36c			
g50b	57.43	-36.92	-27.8	46.22	217	l72c			
g75b	55.19	-21.2	-44.17	48.99	244	c11v			
b00r	41.84	1.31	-43.28	43.3	272	c56v			
b25r	29.72	24.12	-41.48	47.98	300	v04m			
b50r	38.41	44.74	-27.3	52.41	329	v55m			
b75r	49.41	70.07	-3.62	70.16	357	m11o			

$LAB^*cmy^n^*$

$i^*=1.00$

Brillantheit i^*

$i^*=0.80$

$i^*=0.60$

$i^*=0.40$

$i^*=0.20$

$i^*=0.00$

Ein und Ausgabe: Farbmetrisches Drucker-Reflektiv-System ORS20_95a für relativen CIELAB-Buntton $h^* = lab^*h^* = h_{ab}/360 = 0.164$

Daten für jede Farbe:

lab^*ch^* und lab^*icu^*

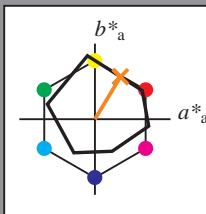
Bunttontexte:

$u^*_e = r50j$ $u^*_d = o42y$

Kontrastreduzierungsfaktor:

$c_R = 0.96$

Dreiecks-Helligkeit t^*



ORS20_95a; CIELAB-Daten

u^*_e	$L^*=L^*$	a^*	b^*	C^*_{ab}	h^*_{ab}
O _M	48.71	62.65	39.19	73.89	32
Y _M	89.25	-10.36	85.91	86.53	97
L _M	52.5	-62.88	21.3	66.38	161
C _M	59.15	-27.92	-42.97	51.24	237
V _M	29.13	23.07	-41.51	47.5	299
M _M	49.51	71.15	-7.9	71.59	354
N _M	20.0	0.47	0.76	0.89	58
W _M	95.0	-0.52	2.11	2.17	104
R _M	39.92	58.74	27.99	65.07	25
J _M	81.26	-2.89	71.56	71.62	92
G _M	52.23	-42.42	13.6	44.55	162
B _M	30.57	1.41	-46.47	46.49	272

Daten für Maximalfarbe (Ma):

$LAB^*LAB^*_{Ma}$: 65 34 56

$LAB^*LCH^*_{Ma}$: 65 66 58

$lab^*rgb^*_{Ma}$: 1.0 0.5 0.0

$lab^*olv^*_{Ma}$: 1.0 0.42 0.0

Dreiecks-Helligkeit t^*

%Umfang

$u^*_{rel} = 83$

%Regularität

$g^*_{H,rel} = 72$

$g^*_{C,rel} = 57$

$u^*_e = r50j$
 LAB^*cmyn^*

ORS20_95a; adaptierte CIELAB-Daten

u^*_e	$L^*=L^*$	a^*	b^*	$C^*_{ab,a}$	$h^*_{ab,a}$	u^*_d
r00j	48.83	63.91	30.45	70.79	25	m84o
r25j	55.53	50.37	45.65	67.97	42	o17y
r50j	64.76	33.86	56.12	65.55	59	o42y
r75j	74.12	17.13	66.74	68.9	76	o67y
j00g	85.5	-3.22	79.65	79.72	92	o92y
j25g	79.45	-24.05	66.85	71.04	110	y20l
j50g	69.75	-38.03	49.98	62.8	127	y46l
j75g	61.38	-50.1	35.41	61.35	145	y72l
g00b	52.6	-62.77	20.12	65.92	162	y99l
g25b	55.39	-47.66	-8.06	48.34	190	l36c
g50b	57.43	-36.92	-27.8	46.22	217	l72c
g75b	55.19	-21.2	-44.17	48.99	244	c11v
b00r	41.84	1.31	-43.28	43.3	272	c56v
b25r	29.72	24.12	-41.48	47.98	300	v04m
b50r	38.41	44.74	-27.3	52.41	329	v55m
b75r	49.41	70.07	-3.62	70.16	357	m11o

LAB^*cmyn^*

$i^* = 1.00$

Brillantheit i^*

$i^* = 0.80$

$i^* = 0.60$

$i^* = 0.40$

$i^* = 0.20$

$i^* = 0.00$

relative Bunttheit c^*

relative Bunttheit c^*

Ein und Ausgabe: Farbmetrisches Drucker-Reflektiv-System ORS20_95a für relativen CIELAB-Buntton $h^* = lab^*h^* = h_{ab}/360 = 0.21$

Daten für jede Farbe:

lab^*ch^* und lab^*icu^*

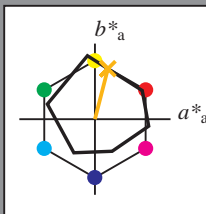
Bunttontexte:

$u^*_e = r75j$ $u^*_d = o67y$

Kontrastreduzierungsfaktor:

$c_R = 0.96$

Dreiecks-Helligkeit t^*



ORS20_95a; CIELAB-Daten

u^*_e	$L^*=L^*$	a^*	b^*	C^*_{ab}	h^*_{ab}
O _M	48.71	62.65	39.19	73.89	32
Y _M	89.25	-10.36	85.91	86.53	97
L _M	52.5	-62.88	21.3	66.38	161
C _M	59.15	-27.92	-42.97	51.24	237
V _M	29.13	23.07	-41.51	47.5	299
M _M	49.51	71.15	-7.9	71.59	354
N _M	20.0	0.47	0.76	0.89	58
W _M	95.0	-0.52	2.11	2.17	104
R _M	39.92	58.74	27.99	65.07	25
J _M	81.26	-2.89	71.56	71.62	92
G _M	52.23	-42.42	13.6	44.55	162
B _M	30.57	1.41	-46.47	46.49	272

Daten für Maximalfarbe (Ma):

LAB^*LAB^*Ma : 74 17 67

LAB^*LCH^*Ma : 74 69 75

lab^*rgb^*Ma : 1.0 0.75 0.0

lab^*olv^*Ma : 1.0 0.68 0.0

Dreiecks-Helligkeit t^*

%Umfang

$u^*_{rel} = 83$

%Regularität

$g^*_{H,rel} = 72$

$g^*_{C,rel} = 57$

ORS20_95a; adaptierte CIELAB-Daten

u^*_e	$L^*=L^*$	a^*_a	b^*_a	$C^*_{ab,a}$	$h^*_{ab,a}$	u^*_d
r00j	48.83	63.91	30.45	70.79	25	m84o
r25j	55.53	50.37	45.65	67.97	42	o17y
r50j	64.76	33.86	56.12	65.55	59	o42y
r75j	74.12	17.13	66.74	68.9	76	o67y
j00g	85.5	-3.22	79.65	79.72	92	o92y
j25g	79.45	-24.05	66.85	71.04	110	y20l
j50g	69.75	-38.03	49.98	62.8	127	y46l
j75g	61.38	-50.1	35.41	61.35	145	y72l
g00b	52.6	-62.77	20.12	65.92	162	y99l
g25b	55.39	-47.66	-8.06	48.34	190	l36c
g50b	57.43	-36.92	-27.8	46.22	217	l72c
g75b	55.19	-21.2	-44.17	48.99	244	c11v
b00r	41.84	1.31	-43.28	43.3	272	c56v
b25r	29.72	24.12	-41.48	47.98	300	v04m
b50r	38.41	44.74	-27.3	52.41	329	v55m
b75r	49.41	70.07	-3.62	70.16	357	m11o

LAB^*cmyn^*

$i^*=1.00$

Brillantheit i^*

$i^*=0.80$

$i^*=0.60$

$i^*=0.40$

$i^*=0.20$

$i^*=0.00$

Ein und Ausgabe: Farbmetrisches Drucker-Reflektiv-System ORS20_95a für relativen CIELAB-Buntton $h^* = lab^*h^* = h_{ab}/360 = 0.256$

Daten für jede Farbe:

lab^*ch^* und lab^*icu^*

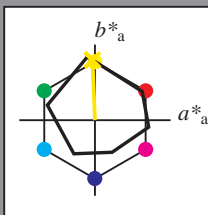
Bunttontexte:

$u^*_e = j00g$ $u^*_d = o92y$

Kontrastreduzierungsfaktor:

$c_R = 0.96$

Dreiecks-Helligkeit i^*



ORS20_95a; CIELAB-Daten						
u^*_e	$L^*=L^*_a$	a^*	b^*	C^*_{ab}	h^*_{ab}	
O _M	48.71	62.65	39.19	73.89	32	
Y _M	89.25	-10.36	85.91	86.53	97	
L _M	52.5	-62.88	21.3	66.38	161	
C _M	59.15	-27.92	-42.97	51.24	237	
V _M	29.13	23.07	-41.51	47.5	299	
M _M	49.51	71.15	-7.9	71.59	354	
N _M	20.0	0.47	0.76	0.89	58	
W _M	95.0	-0.52	2.11	2.17	104	
R _M	39.92	58.74	27.99	65.07	25	
J _M	81.26	-2.89	71.56	71.62	92	
G _M	52.23	-42.42	13.6	44.55	162	
B _M	30.57	1.41	-46.47	46.49	272	

Daten für Maximalfarbe (Ma):

LAB^*LAB^*Ma : 86 -3 80

LAB^*LCH^*Ma : 86 80 92

lab^*rgb^*Ma : 1.0 1.0 0.0

lab^*olv^*Ma : 1.0 0.93 0.0

Dreiecks-Helligkeit i^*

%Umfang

$u^*_{rel} = 83$

%Regularität

$g^*_{H,rel} = 72$

$g^*_{C,rel} = 57$

ORS20_95a; adaptierte CIELAB-Daten									
u^*_e	$L^*=L^*_a$	a^*_a	b^*_a	$C^*_{ab,a}$	$h^*_{ab,a}$	u^*_d			
r00j	48.83	63.91	30.45	70.79	25	m84o			
r25j	55.53	50.37	45.65	67.97	42	o17y			
r50j	64.76	33.86	56.12	65.55	59	o42y			
r75j	74.12	17.13	66.74	68.9	76	o67y			
j00g	85.5	-3.22	79.65	79.72	92	o92y			
j25g	79.45	-24.05	66.85	71.04	110	y20l			
j50g	69.75	-38.03	49.98	62.8	127	y46l			
j75g	61.38	-50.1	35.41	61.35	145	y72l			
g00b	52.6	-62.77	20.12	65.92	162	y99l			
g25b	55.39	-47.66	-8.06	48.34	190	l36c			
g50b	57.43	-36.92	-27.8	46.22	217	l72c			
g75b	55.19	-21.2	-44.17	48.99	244	c11v			
b00r	41.84	1.31	-43.28	43.3	272	c56v			
b25r	29.72	24.12	-41.48	47.98	300	v04m			
b50r	38.41	44.74	-27.3	52.41	329	v55m			
b75r	49.41	70.07	-3.62	70.16	357	m11o			

LAB^*cmyn^*

$i^* = 1.00$

Brillantheit i^*

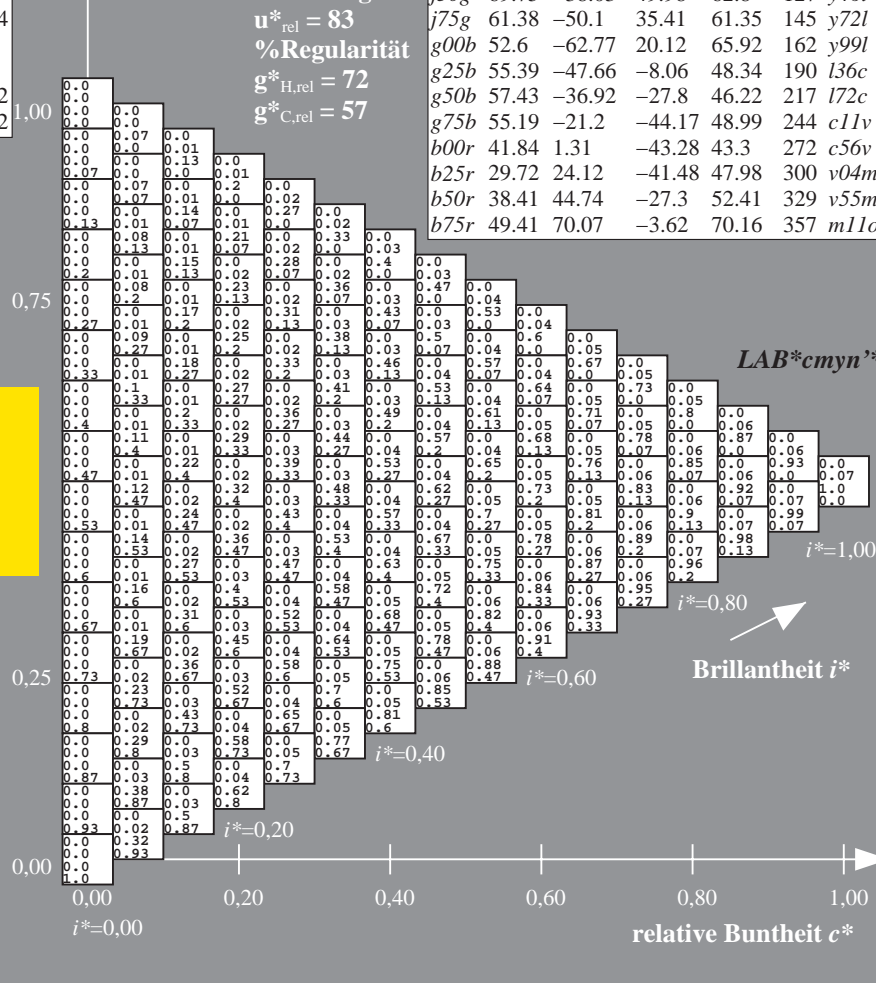
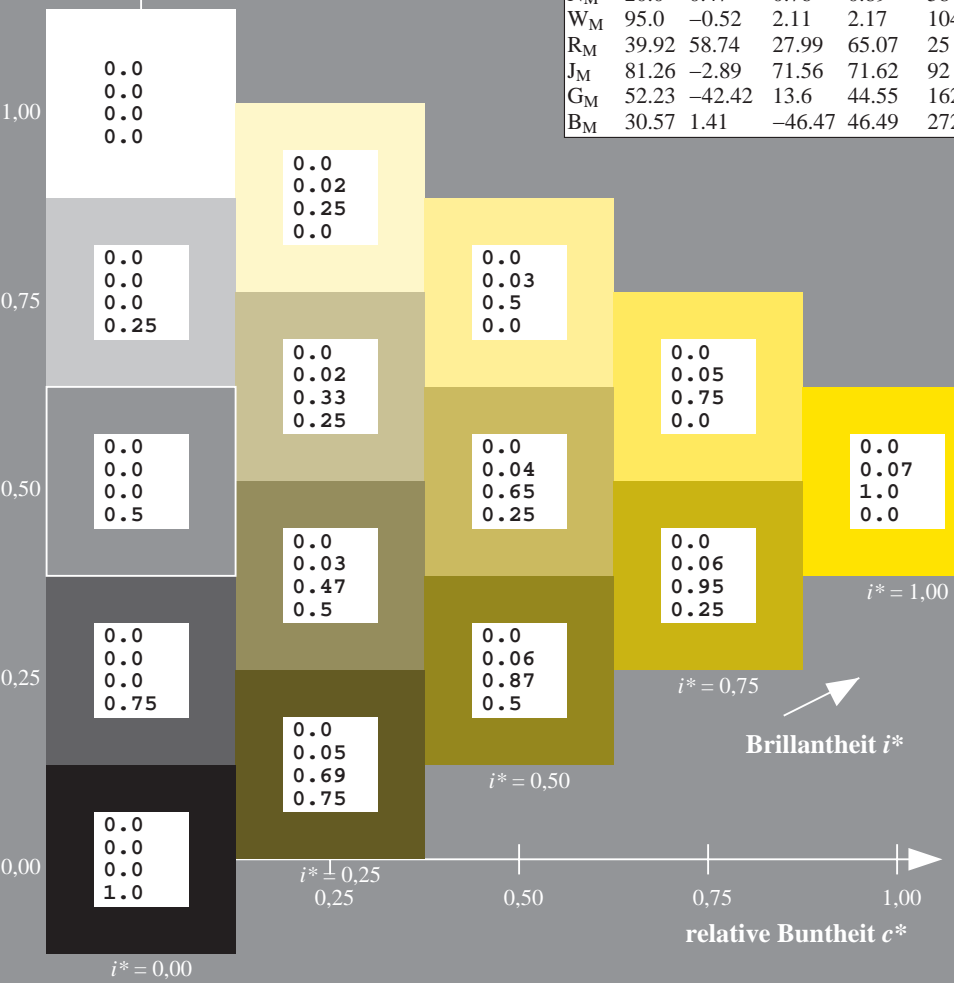
$i^* = 0.80$

$i^* = 0.60$

$i^* = 0.40$

$i^* = 0.20$

$i^* = 0.00$



Daten für jede Farbe:

*lab*tch** und *lab*icu**

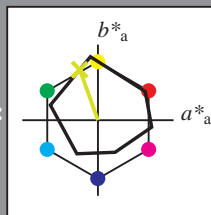
Bunttexte:

$$u_e^* = j25g \quad u_d^* = y20l$$

Kontrastreduzierungsfaktor:

 $c_R = 0.96$

Dreiecks-Helligkeit t^*



ORS20_95a; CIELAB-Daten						
u_e^*	$L^*=L^*$	a^*	b^*	C_{ab}^*	h_{ab}^*	
O _M	48.71	62.65	39.19	73.89	32	
Y _M	89.25	-10.36	85.91	86.53	97	
L _M	52.5	-62.88	21.3	66.38	16	
C _M	59.15	-27.92	-42.97	51.24	23	
V _M	29.13	23.07	-41.51	47.5	29	
M _M	49.51	71.15	-7.9	71.59	35	
N _M	20.0	0.47	0.76	0.89	58	
W _M	95.0	-0.52	2.11	2.17	10	
R _M	39.92	58.74	27.99	65.07	25	
J _M	81.26	-2.89	71.56	71.62	92	
G _M	52.23	-42.42	13.6	44.55	16	
B _M	30.57	1.41	-46.47	46.49	27	

Daten für Maximalfarbe (Ma):

LAB*LAB*Mo: 79 -24 67

LAD*LGII* 50 51 100

*LAB***LCH***Ma*: 79 71 10

*lab*rgb*_{Ma}: 0.75 1.0 0

*lab*olv**Ma: 0.8 1.0 0.0

Dreiecks-Helligkeit t^*

Dereks Hemminger

%Umfang

$$\mathbf{u}_{\text{rel}}^* = 83$$

%Regular

$$g^*_{H,rel} = 72$$
$$g^*_{C,rel} = 57$$

ORS20_95a; adaptierte CIELAB-Daten							
u_e^*	$L^*=L_a^*$	a_a^*	b_a^*	$C_{ab,a}^*$	$h_{ab,a}^*$	u_d^*	
<i>r00j</i>	48.83	63.91	30.45	70.79	25	<i>m84o</i>	
<i>r25j</i>	55.53	50.37	45.65	67.97	42	<i>o17y</i>	
<i>r50j</i>	64.76	33.86	56.12	65.55	59	<i>o42y</i>	
<i>r75j</i>	74.12	17.13	66.74	68.9	76	<i>o67y</i>	
<i>j00g</i>	85.5	-3.22	79.65	79.72	92	<i>o92y</i>	
<i>j25g</i>	79.45	-24.05	66.85	71.04	110	<i>y20l</i>	
<i>j50g</i>	69.75	-38.03	49.98	62.8	127	<i>y46l</i>	
<i>j75g</i>	61.38	-50.1	35.41	61.35	145	<i>y72l</i>	
<i>g00b</i>	52.6	-62.77	20.12	65.92	162	<i>y99l</i>	
<i>g25b</i>	55.39	-47.66	-8.06	48.34	190	<i>l36c</i>	
<i>g50b</i>	57.43	-36.92	-27.8	46.22	217	<i>l72c</i>	
<i>g75b</i>	55.19	-21.2	-44.17	48.99	244	<i>c11v</i>	
<i>b00r</i>	41.84	1.31	-43.28	43.3	272	<i>c56v</i>	
<i>b25r</i>	29.72	24.12	-41.48	47.98	300	<i>v04m</i>	
<i>b50r</i>	38.41	44.74	-27.3	52.41	329	<i>v55m</i>	
<i>b75r</i>	49.41	70.07	-3.62	70.16	357	<i>m11o</i>	

*LAB*cmyn'**

$$i^*=1,00$$
Brillantheit i^* relative Buntheit c^* relative Buntheit c^*

BAM-Prüfvorlage Eg13; Farbmatrik-Systeme, Seite 259/270 Eingabe: 000n / w / nnn0 / www set...
4 Separationen, 9 Datentabellen für 16 Bunttöne *r00j* bis *b75r* Ausgabe: ->cmyn6* setcmkcolor

BAM-Registrierung: 20081001-Eg13/10/L13G00NA.PS/.TXT BAM-Material: Code=rh4ta
+ Anwendung für Beurteilung und Messung von Drucker- oder Monitorsystemen

Technische Information: <http://www.ps.bam.de/Eg13/>; www.ps.bam.de/Eg13/HTML

BAM-Registrierung: 20081001-Eg13/10/L13G00NA.PS/ .TXT BAM-Material: Code=rh4ta

Ein und Ausgabe: Farbmetrisches Drucker-Reflektiv-System ORS20_95a für relativen CIELAB-Buntton $h^* = lab^*h^* = h_{ab}/360 = 0.354$

Daten für jede Farbe:

lab^*ch^* und lab^*icu^*

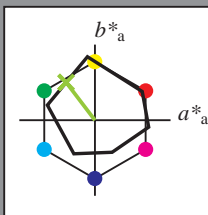
Bunttontexte:

$u^*_e = j50g$ $u^*_d = y46l$

Kontrastreduzierungsfaktor:

$c_R = 0.96$

Dreiecks-Helligkeit i^*



ORS20_95a; CIELAB-Daten

u^*_e	$L^*=L^*$	a^*	b^*	C^*_{ab}	h^*_{ab}
O _M	48.71	62.65	39.19	73.89	32
Y _M	89.25	-10.36	85.91	86.53	97
L _M	52.5	-62.88	21.3	66.38	161
C _M	59.15	-27.92	-42.97	51.24	237
V _M	29.13	23.07	-41.51	47.5	299
M _M	49.51	71.15	-7.9	71.59	354
N _M	20.0	0.47	0.76	0.89	58
W _M	95.0	-0.52	2.11	2.17	104
R _M	39.92	58.74	27.99	65.07	25
J _M	81.26	-2.89	71.56	71.62	92
G _M	52.23	-42.42	13.6	44.55	162
B _M	30.57	1.41	-46.47	46.49	272

Daten für Maximalfarbe (Ma):

$LAB^*LAB^*_{Ma}$: 70 -38 50

$LAB^*LCH^*_{Ma}$: 70 63 127

$lab^*rgb^*_{Ma}$: 0.5 1.0 0.0

$lab^*olv^*_{Ma}$: 0.54 1.0 0.0

Dreiecks-Helligkeit i^*

%Umfang

$u^*_{rel} = 83$

%Regularität

$g^*_{H,rel} = 72$

$g^*_{C,rel} = 57$

$u^*_e = j50g$
 LAB^*cmyn^*

ORS20_95a; adaptierte CIELAB-Daten

u^*_e	$L^*=L^*_a$	a^*_a	b^*_a	$C^*_{ab,a}$	$h^*_{ab,a}$	u^*_d
r00j	48.83	63.91	30.45	70.79	25	m84o
r25j	55.53	50.37	45.65	67.97	42	o17y
r50j	64.76	33.86	56.12	65.55	59	o42y
r75j	74.12	17.13	66.74	68.9	76	o67y
j00g	85.5	-3.22	79.65	79.72	92	o92y
j25g	79.45	-24.05	66.85	71.04	110	y20l
j50g	69.75	-38.03	49.98	62.8	127	y46l
j75g	61.38	-50.1	35.41	61.35	145	y72l
g00b	52.6	-62.77	20.12	65.92	162	y99l
g25b	55.39	-47.66	-8.06	48.34	190	l36c
g50b	57.43	-36.92	-27.8	46.22	217	l72c
g75b	55.19	-21.2	-44.17	48.99	244	c11v
b00r	41.84	1.31	-43.28	43.3	272	c56v
b25r	29.72	24.12	-41.48	47.98	300	v04m
b50r	38.41	44.74	-27.3	52.41	329	v55m
b75r	49.41	70.07	-3.62	70.16	357	m11o

LAB^*cmyn^*

$i^* = 1.00$

Brillantheit i^*

$i^* = 0.80$

$i^* = 0.60$

$i^* = 0.40$

$i^* = 0.20$

$i^* = 0.00$

relative Buntheit c^*

Ein und Ausgabe: Farbmetrisches Drucker-Reflektiv-System ORS20_95a für relativen CIELAB-Buntton $h^* = lab^*h^* = h_{ab}/360 = 0.402$

Daten für jede Farbe:

lab^*ch^* und lab^*icu^*

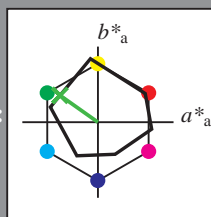
Bunttontexte:

$u^*_e = j75g$ $u^*_d = y72l$

Kontrastreduzierungsfaktor:

$c_R = 0.96$

Dreiecks-Helligkeit t^*



ORS20_95a; CIELAB-Daten						
u^*_e	$L^*=L^*$	a^*	b^*	C^*_{ab}	h^*_{ab}	
O _M	48.71	62.65	39.19	73.89	32	
Y _M	89.25	-10.36	85.91	86.53	97	
L _M	52.5	-62.88	21.3	66.38	161	
C _M	59.15	-27.92	-42.97	51.24	237	
V _M	29.13	23.07	-41.51	47.5	299	
M _M	49.51	71.15	-7.9	71.59	354	
N _M	20.0	0.47	0.76	0.89	58	
W _M	95.0	-0.52	2.11	2.17	104	
R _M	39.92	58.74	27.99	65.07	25	
J _M	81.26	-2.89	71.56	71.62	92	
G _M	52.23	-42.42	13.6	44.55	162	
B _M	30.57	1.41	-46.47	46.49	272	

Daten für Maximalfarbe (Ma):

LAB^*LAB^*Ma : 61 -50 35

LAB^*LCH^*Ma : 61 61 144

lab^*rgb^*Ma : 0.25 1.0 0.0

lab^*olv^*Ma : 0.27 1.0 0.0

Dreiecks-Helligkeit t^*

%Umfang

$u^*_{rel} = 83$

%Regularität

$g^*_{H,rel} = 72$

$g^*_{C,rel} = 57$

ORS20_95a; adaptierte CIELAB-Daten									
u^*_e	$L^*=L^*_a$	a^*_a	b^*_a	$C^*_{ab,a}$	$h^*_{ab,a}$	u^*_d			
r00j	48.83	63.91	30.45	70.79	25	m84o			
r25j	55.53	50.37	45.65	67.97	42	o17y			
r50j	64.76	33.86	56.12	65.55	59	o42y			
r75j	74.12	17.13	66.74	68.9	76	o67y			
j00g	85.5	-3.22	79.65	79.72	92	o92y			
j25g	79.45	-24.05	66.85	71.04	110	y20l			
j50g	69.75	-38.03	49.98	62.8	127	y46l			
j75g	61.38	-50.1	35.41	61.35	145	y72l			
g00b	52.6	-62.77	20.12	65.92	162	y99l			
g25b	55.39	-47.66	-8.06	48.34	190	l36c			
g50b	57.43	-36.92	-27.8	46.22	217	l72c			
g75b	55.19	-21.2	-44.17	48.99	244	c11v			
b00r	41.84	1.31	-43.28	43.3	272	c56v			
b25r	29.72	24.12	-41.48	47.98	300	v04m			
b50r	38.41	44.74	-27.3	52.41	329	v55m			
b75r	49.41	70.07	-3.62	70.16	357	m11o			

LAB^*cmyn^*

$i^*=1.00$

Brillantheit i^*

$i^*=0.80$

$i^*=0.60$

$i^*=0.40$

$i^*=0.20$

$i^*=0.00$

Ein und Ausgabe: Farbmetrisches Drucker-Reflektiv-System ORS20_95a für relativen CIELAB-Buntton $h^* = lab^*h^* = h_{ab}/360 = 0.451$

Daten für jede Farbe:

lab^*tch^* und lab^*icu^*

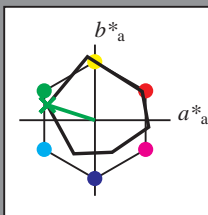
Bunttontexte:

$u^*_e = g00b$ $u^*_d = y99l$

Kontrastreduzierungsfaktor:

$c_R = 0.96$

Dreiecks-Helligkeit t^*



ORS20_95a; CIELAB-Daten

u^*_e	$L^*=L^*$	a^*	b^*	C^*_{ab}	h^*_{ab}
O _M	48.71	62.65	39.19	73.89	32
Y _M	89.25	-10.36	85.91	86.53	97
L _M	52.5	-62.88	21.3	66.38	161
C _M	59.15	-27.92	-42.97	51.24	237
V _M	29.13	23.07	-41.51	47.5	299
M _M	49.51	71.15	-7.9	71.59	354
N _M	20.0	0.47	0.76	0.89	58
W _M	95.0	-0.52	2.11	2.17	104
R _M	39.92	58.74	27.99	65.07	25
J _M	81.26	-2.89	71.56	71.62	92
G _M	52.23	-42.42	13.6	44.55	162
B _M	30.57	1.41	-46.47	46.49	272

Daten für Maximalfarbe (Ma):

$LAB^*LAB^*_{Ma}$: 53 -63 20

$LAB^*LCH^*_{Ma}$: 53 66 162

$lab^*rgb^*_{Ma}$: 0.0 1.0 0.0

$lab^*olv^*_{Ma}$: 0.0 1.0 0.0

Dreiecks-Helligkeit t^*

%Umfang

$u^*_{rel} = 83$

%Regularität

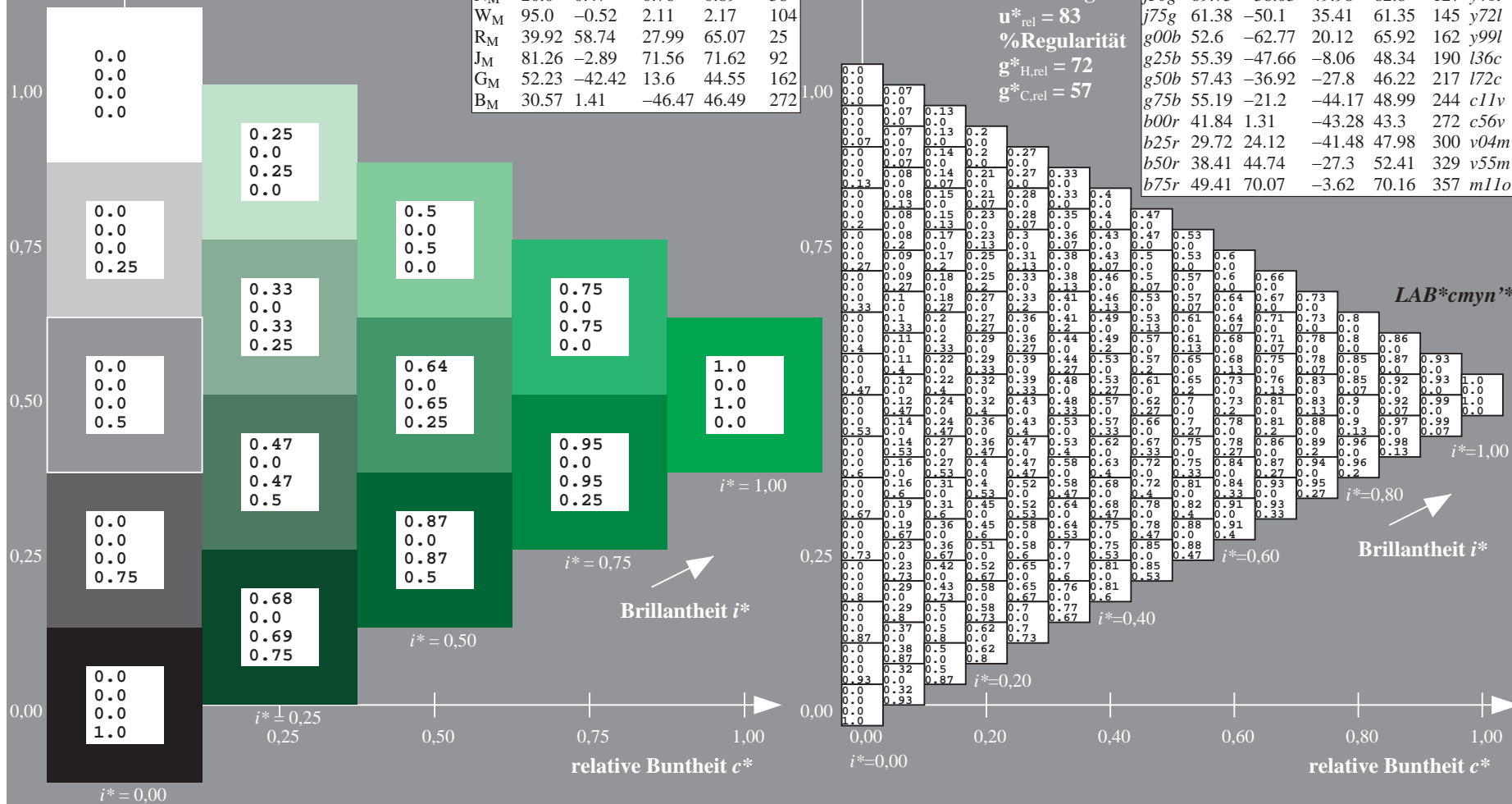
$g^*_{H,rel} = 72$

$g^*_{C,rel} = 57$

$u^*_e = g00b$
 LAB^*cmyn^*

ORS20_95a; adaptierte CIELAB-Daten

u^*_e	$L^*=L^*$	a^*_a	b^*_a	$C^*_{ab,a}$	$h^*_{ab,a}$	u^*_d
r00j	48.83	63.91	30.45	70.79	25	m84o
r25j	55.53	50.37	45.65	67.97	42	o17y
r50j	64.76	33.86	56.12	65.55	59	o42y
r75j	74.12	17.13	66.74	68.9	76	o67y
j00g	85.5	-3.22	79.65	79.72	92	o92y
j25g	79.45	-24.05	66.85	71.04	110	y20l
j50g	69.75	-38.03	49.98	62.8	127	y46l
j75g	61.38	-50.1	35.41	61.35	145	y72l
g00b	52.6	-62.77	20.12	65.92	162	y99l
g25b	55.39	-47.66	-8.06	48.34	190	l36c
g50b	57.43	-36.92	-27.8	46.22	217	l72c
g75b	55.19	-21.2	-44.17	48.99	244	c11v
b00r	41.84	1.31	-43.28	43.3	272	c56v
b25r	29.72	24.12	-41.48	47.98	300	v04m
b50r	38.41	44.74	-27.3	52.41	329	v55m
b75r	49.41	70.07	-3.62	70.16	357	m11o



Ein und Ausgabe: Farbmetrisches Drucker-Reflektiv-System ORS20_95a für relativen CIELAB-Buntton $h^* = lab^*h^* = h_{ab}/360 = 0.527$

Daten für jede Farbe:

lab^*tch^* und lab^*icu^*

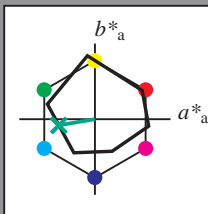
Bunttontexte:

$u^*_e = g25b$ $u^*_d = l36c$

Kontrastreduzierungsfaktor:

$c_R = 0.96$

Dreiecks-Helligkeit i^*



ORS20_95a; CIELAB-Daten

u^*_e	$L^*=L^*$	a^*	b^*	C^*_{ab}	h^*_{ab}
O _M	48.71	62.65	39.19	73.89	32
Y _M	89.25	-10.36	85.91	86.53	97
L _M	52.5	-62.88	21.3	66.38	161
C _M	59.15	-27.92	-42.97	51.24	237
V _M	29.13	23.07	-41.51	47.5	299
M _M	49.51	71.15	-7.9	71.59	354
N _M	20.0	0.47	0.76	0.89	58
W _M	95.0	-0.52	2.11	2.17	104
R _M	39.92	58.74	27.99	65.07	25
J _M	81.26	-2.89	71.56	71.62	92
G _M	52.23	-42.42	13.6	44.55	162
B _M	30.57	1.41	-46.47	46.49	272

Daten für Maximalfarbe (Ma):

$LAB^*LAB^*_{Ma}$: 55 -48 -8

$LAB^*LCH^*_{Ma}$: 55 48 189

$lab^*rgb^*_{Ma}$: 0.0 1.0 0.5

$lab^*olv^*_{Ma}$: 0.0 1.0 0.36

Dreiecks-Helligkeit i^*

%Umfang

$u^*_{rel} = 83$

%Regularität

$g^*_{H,rel} = 72$

$g^*_{C,rel} = 57$

$u^*_e = g25b$
 LAB^*cmyn^*

ORS20_95a; adaptierte CIELAB-Daten

u^*_e	$L^*=L^*_a$	a^*_a	b^*_a	$C^*_{ab,a}$	$h^*_{ab,a}$	u^*_d
r00j	48.83	63.91	30.45	70.79	25	m84o
r25j	55.53	50.37	45.65	67.97	42	o17y
r50j	64.76	33.86	56.12	65.55	59	o42y
r75j	74.12	17.13	66.74	68.9	76	o67y
j00g	85.5	-3.22	79.65	79.72	92	o92y
j25g	79.45	-24.05	66.85	71.04	110	y20l
j50g	69.75	-38.03	49.98	62.8	127	y46l
j75g	61.38	-50.1	35.41	61.35	145	y72l
g00b	52.6	-62.77	20.12	65.92	162	y99l
g25b	55.39	-47.66	-8.06	48.34	190	l36c
g50b	57.43	-36.92	-27.8	46.22	217	l72c
g75b	55.19	-21.2	-44.17	48.99	244	c11v
b00r	41.84	1.31	-43.28	43.3	272	c56v
b25r	29.72	24.12	-41.48	47.98	300	v04m
b50r	38.41	44.74	-27.3	52.41	329	v55m
b75r	49.41	70.07	-3.62	70.16	357	m11o

LAB^*cmyn^*

$i^* = 1.00$

Brillantheit i^*

$i^* = 0.80$

$i^* = 0.60$

$i^* = 0.40$

$i^* = 0.20$

$i^* = 0.00$

Ein und Ausgabe: Farbmetrisches Drucker-Reflektiv-System ORS20_95a für relativen CIELAB-Buntton $h^* = \text{lab}^*h^* = h_{ab}/360 = 0.603$

Daten für jede Farbe:

lab^*tch^* und lab^*icu^*

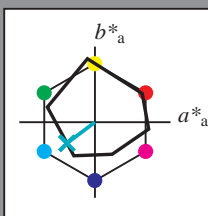
Bunttontexte:

$u^*_e = g50b$ $u^*_d = l72c$

Kontrastreduzierungsfaktor:

$c_R = 0.96$

Dreiecks-Helligkeit t^*



ORS20_95a; CIELAB-Daten						
u^*_e	$L^*=L^*_a$	a^*	b^*	C^*_{ab}	h^*_{ab}	
O _M	48.71	62.65	39.19	73.89	32	
Y _M	89.25	-10.36	85.91	86.53	97	
L _M	52.5	-62.88	21.3	66.38	161	
C _M	59.15	-27.92	-42.97	51.24	237	
V _M	29.13	23.07	-41.51	47.5	299	
M _M	49.51	71.15	-7.9	71.59	354	
N _M	20.0	0.47	0.76	0.89	58	
W _M	95.0	-0.52	2.11	2.17	104	
R _M	39.92	58.74	27.99	65.07	25	
J _M	81.26	-2.89	71.56	71.62	92	
G _M	52.23	-42.42	13.6	44.55	162	
B _M	30.57	1.41	-46.47	46.49	272	

Daten für Maximalfarbe (Ma):

$\text{LAB}^*\text{LAB}^*_{\text{Ma}}$: 57 -37 -28

$\text{LAB}^*\text{LCH}^*_{\text{Ma}}$: 57 46 216

$\text{lab}^*\text{rgb}^*_{\text{Ma}}$: 0.0 1.0 1.0

$\text{lab}^*\text{olv}^*_{\text{Ma}}$: 0.0 1.0 0.72

Dreiecks-Helligkeit t^*

%Umfang

$u^*_{\text{rel}} = 83$

%Regularität

$g^*_{H,\text{rel}} = 72$

$g^*_{C,\text{rel}} = 57$

ORS20_95a; adaptierte CIELAB-Daten							
u^*_e	$L^*=L^*_a$	a^*_a	b^*_a	$C^*_{ab,a}$	$h^*_{ab,a}$	u^*_d	
r00j	48.83	63.91	30.45	70.79	25	m84o	
r25j	55.53	50.37	45.65	67.97	42	o17y	
r50j	64.76	33.86	56.12	65.55	59	o42y	
r75j	74.12	17.13	66.74	68.9	76	o67y	
j00g	85.5	-3.22	79.65	79.72	92	o92y	
j25g	79.45	-24.05	66.85	71.04	110	y20l	
j50g	69.75	-38.03	49.98	62.8	127	y46l	
j75g	61.38	-50.1	35.41	61.35	145	y72l	
g00b	52.6	-62.77	20.12	65.92	162	y99l	
g25b	55.39	-47.66	-8.06	48.34	190	l36c	
g50b	57.43	-36.92	-27.8	46.22	217	l72c	
g75b	55.19	-21.2	-44.17	48.99	244	c11v	
b00r	41.84	1.31	-43.28	43.3	272	c56v	
b25r	29.72	24.12	-41.48	47.98	300	v04m	
b50r	38.41	44.74	-27.3	52.41	329	v55m	
b75r	49.41	70.07	-3.62	70.16	357	m11o	

$\text{LAB}^*\text{cmyn}^*$

$i^* = 1.00$

$i^* = 0.80$

$i^* = 0.60$

$i^* = 0.40$

$i^* = 0.20$

$i^* = 0.00$

Brillantheit i^*

relative Buntheit c^*

relative Buntheit c^*

Ein und Ausgabe: Farbmetrisches Drucker-Reflektiv-System ORS20_95a für relativen CIELAB-Buntton $h^* = lab^*h^* = h_{ab}/360 = 0.679$

Daten für jede Farbe:

lab^*tch^* und lab^*icu^*

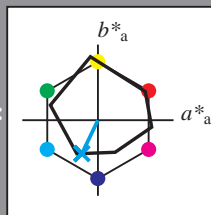
Bunttontexte:

$u^*_e = g75b$ $u^*_d = c11v$

Kontrastreduzierungsfaktor:

$c_R = 0.96$

Dreiecks-Helligkeit t^*



ORS20_95a; CIELAB-Daten						
u^*_e	$L^*=L^*_a$	a^*	b^*	C^*_{ab}	h^*_{ab}	
O _M	48.71	62.65	39.19	73.89	32	
Y _M	89.25	-10.36	85.91	86.53	97	
L _M	52.5	-62.88	21.3	66.38	161	
C _M	59.15	-27.92	-42.97	51.24	237	
V _M	29.13	23.07	-41.51	47.5	299	
M _M	49.51	71.15	-7.9	71.59	354	
N _M	20.0	0.47	0.76	0.89	58	
W _M	95.0	-0.52	2.11	2.17	104	
R _M	39.92	58.74	27.99	65.07	25	
J _M	81.26	-2.89	71.56	71.62	92	
G _M	52.23	-42.42	13.6	44.55	162	
B _M	30.57	1.41	-46.47	46.49	272	

Daten für Maximalfarbe (Ma):

$LAB^*LAB^*_{Ma}$: 55 -21 -44

$LAB^*LCH^*_{Ma}$: 55 49 244

$lab^*rgb^*_{Ma}$: 0.0 0.5 1.0

$lab^*olv^*_{Ma}$: 0.0 0.89 1.0

Dreiecks-Helligkeit t^*

%Umfang

$u^*_{rel} = 83$

%Regularität

$g^*_{H,rel} = 72$

$g^*_{C,rel} = 57$

ORS20_95a; adaptierte CIELAB-Daten									
u^*_e	$L^*=L^*_a$	a^*_a	b^*_a	$C^*_{ab,a}$	$h^*_{ab,a}$	u^*_d			
r00j	48.83	63.91	30.45	70.79	25	m84o			
r25j	55.53	50.37	45.65	67.97	42	o17y			
r50j	64.76	33.86	56.12	65.55	59	o42y			
r75j	74.12	17.13	66.74	68.9	76	o67y			
j00g	85.5	-3.22	79.65	79.72	92	o92y			
j25g	79.45	-24.05	66.85	71.04	110	y20l			
j50g	69.75	-38.03	49.98	62.8	127	y46l			
j75g	61.38	-50.1	35.41	61.35	145	y72l			
g00b	52.6	-62.77	20.12	65.92	162	y99l			
g25b	55.39	-47.66	-8.06	48.34	190	l36c			
g50b	57.43	-36.92	-27.8	46.22	217	l72c			
g75b	55.19	-21.2	-44.17	48.99	244	c11v			
b00r	41.84	1.31	-43.28	43.3	272	c56v			
b25r	29.72	24.12	-41.48	47.98	300	v04m			
b50r	38.41	44.74	-27.3	52.41	329	v55m			
b75r	49.41	70.07	-3.62	70.16	357	m11o			

LAB^*cmyn^*

$i^* = 1.00$

Brillantheit i^*

$i^* = 0.80$

$i^* = 0.60$

$i^* = 0.40$

$i^* = 0.20$

$i^* = 0.00$

relative Buntheit c^*

Ein und Ausgabe: Farbmetrisches Drucker-Reflektiv-System ORS20_95a für relativen CIELAB-Buntton $h^* = lab^*h^* = h_{ab}/360 = 0.755$

Daten für jede Farbe:

lab^*tch^* und lab^*icu^*

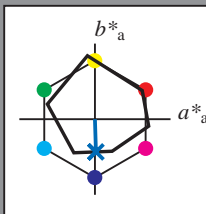
Bunttontexte:

$u^*_e = b00r$ $u^*_d = c56v$

Kontrastreduzierungsfaktor:

$c_R = 0.96$

Dreiecks-Helligkeit t^*



ORS20_95a; CIELAB-Daten						
u^*_e	$L^*=L^*$	a^*	b^*	C^*_{ab}	h^*_{ab}	
O _M	48.71	62.65	39.19	73.89	32	
Y _M	89.25	-10.36	85.91	86.53	97	
L _M	52.5	-62.88	21.3	66.38	161	
C _M	59.15	-27.92	-42.97	51.24	237	
V _M	29.13	23.07	-41.51	47.5	299	
M _M	49.51	71.15	-7.9	71.59	354	
N _M	20.0	0.47	0.76	0.89	58	
W _M	95.0	-0.52	2.11	2.17	104	
R _M	39.92	58.74	27.99	65.07	25	
J _M	81.26	-2.89	71.56	71.62	92	
G _M	52.23	-42.42	13.6	44.55	162	
B _M	30.57	1.41	-46.47	46.49	272	

Daten für Maximalfarbe (Ma):

$LAB^*LAB^*_{Ma}$: 42 1 -43

$LAB^*LCH^*_{Ma}$: 42 43 271

$lab^*rgb^*_{Ma}$: 0.0 0.0 1.0

$lab^*olv^*_{Ma}$: 0.0 0.44 1.0

Dreiecks-Helligkeit t^*

%Umfang

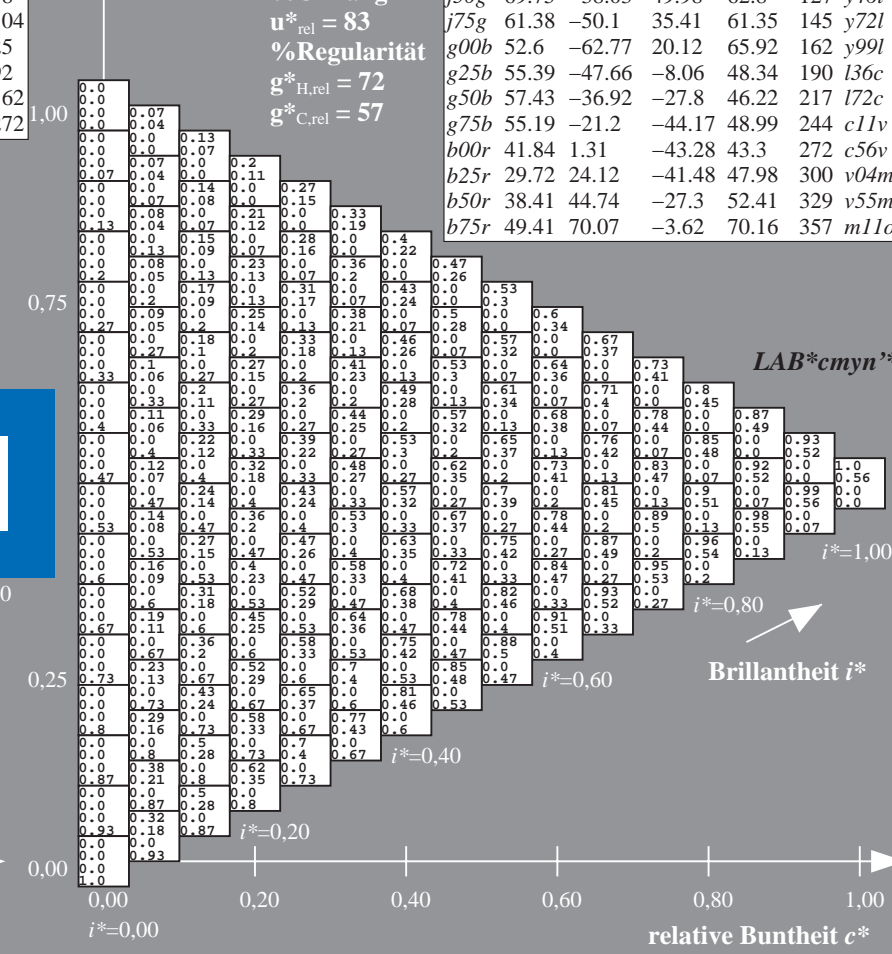
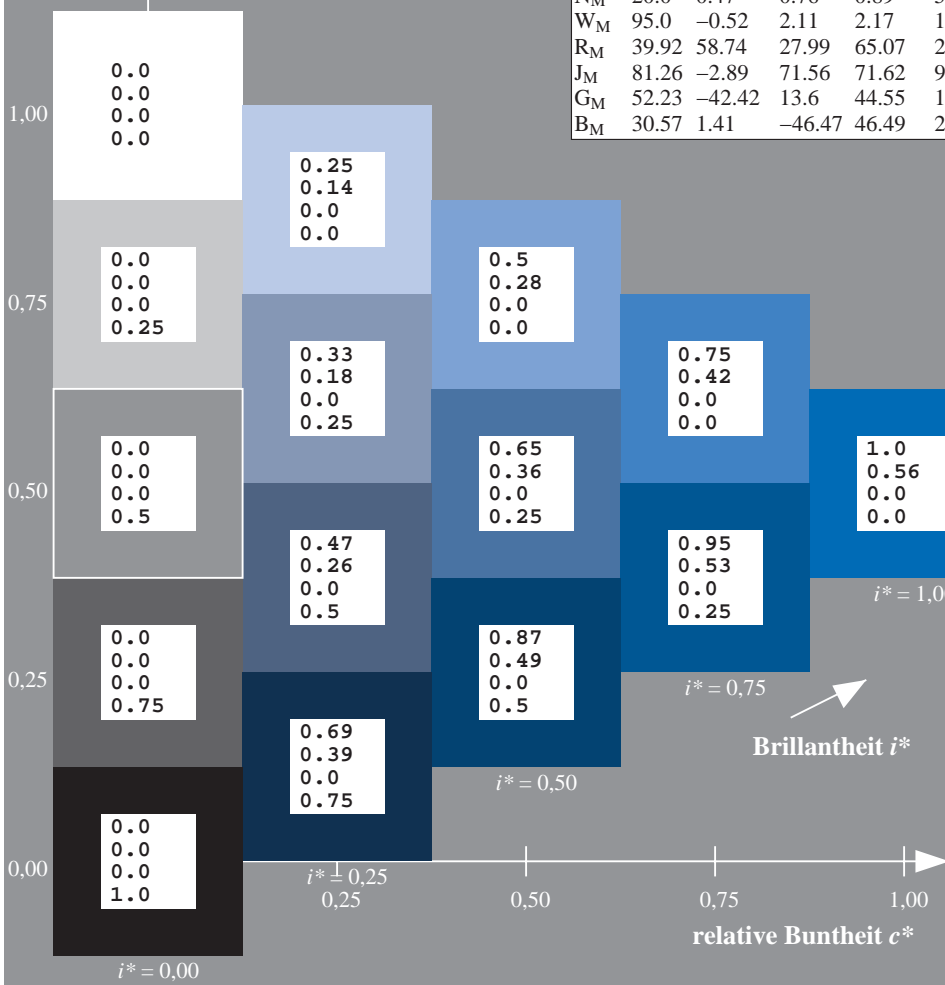
$u^*_{rel} = 83$

%Regularität

$g^*_{H,rel} = 72$

$g^*_{C,rel} = 57$

ORS20_95a; adaptierte CIELAB-Daten							
u^*_e	$L^*=L^*_a$	a^*_a	b^*_a	$C^*_{ab,a}$	$h^*_{ab,a}$	u^*_d	
r00j	48.83	63.91	30.45	70.79	25	m84o	
r25j	55.53	50.37	45.65	67.97	42	o17y	
r50j	64.76	33.86	56.12	65.55	59	o42y	
r75j	74.12	17.13	66.74	68.9	76	o67y	
j00g	85.5	-3.22	79.65	79.72	92	o92y	
j25g	79.45	-24.05	66.85	71.04	110	y20l	
j50g	69.75	-38.03	49.98	62.8	127	y46l	
j75g	61.38	-50.1	35.41	61.35	145	y72l	
g00b	52.6	-62.77	20.12	65.92	162	y99l	
g25b	55.39	-47.66	-8.06	48.34	190	l36c	
g50b	57.43	-36.92	-27.8	46.22	217	l72c	
g75b	55.19	-21.2	-44.17	48.99	244	c11v	
b00r	41.84	1.31	-43.28	43.3	272	c56v	
b25r	29.72	24.12	-41.48	47.98	300	v04m	
b50r	38.41	44.74	-27.3	52.41	329	v55m	
b75r	49.41	70.07	-3.62	70.16	357	m11o	



Ein und Ausgabe: Farbmetrisches Drucker-Reflektiv-System ORS20_95a für relativen CIELAB-Buntton $h^* = lab^*h^* = h_{ab}/360 = 0.834$

Daten für jede Farbe:

lab^*tch^* und lab^*icu^*

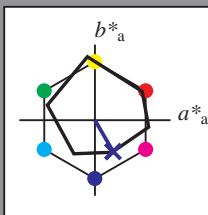
Bunttontexte:

$u^*_e = b25r$ $u^*_d = v04m$

Kontrastreduzierungsfaktor:

$c_R = 0.96$

Dreiecks-Helligkeit t^*



ORS20_95a; CIELAB-Daten						
u^*_e	$L^*=L^*$	a^*	b^*	C^*_{ab}	h^*_{ab}	
O _M	48.71	62.65	39.19	73.89	32	
Y _M	89.25	-10.36	85.91	86.53	97	
L _M	52.5	-62.88	21.3	66.38	161	
C _M	59.15	-27.92	-42.97	51.24	237	
V _M	29.13	23.07	-41.51	47.5	299	
M _M	49.51	71.15	-7.9	71.59	354	
N _M	20.0	0.47	0.76	0.89	58	
W _M	95.0	-0.52	2.11	2.17	104	
R _M	39.92	58.74	27.99	65.07	25	
J _M	81.26	-2.89	71.56	71.62	92	
G _M	52.23	-42.42	13.6	44.55	162	
B _M	30.57	1.41	-46.47	46.49	272	

Daten für Maximalfarbe (Ma):

$LAB^*LAB^*_{Ma}$: 30 24 -41

$LAB^*LCH^*_{Ma}$: 30 48 300

$lab^*rgb^*_{Ma}$: 0.5 0.0 1.0

$lab^*olv^*_{Ma}$: 0.04 0.0 1.0

Dreiecks-Helligkeit t^*

%Umfang

$u^*_{rel} = 83$

%Regularität

$g^*_{H,rel} = 72$

$g^*_{C,rel} = 57$

$u^*_e = b25r$
 LAB^*cmyn^*

ORS20_95a; adaptierte CIELAB-Daten									
u^*_e	$L^*=L^*_a$	a^*_a	b^*_a	$C^*_{ab,a}$	$h^*_{ab,a}$	u^*_d			
r00j	48.83	63.91	30.45	70.79	25	m84o			
r25j	55.53	50.37	45.65	67.97	42	o17y			
r50j	64.76	33.86	56.12	65.55	59	o42y			
r75j	74.12	17.13	66.74	68.9	76	o67y			
j00g	85.5	-3.22	79.65	79.72	92	o92y			
j25g	79.45	-24.05	66.85	71.04	110	y20l			
j50g	69.75	-38.03	49.98	62.8	127	y46l			
j75g	61.38	-50.1	35.41	61.35	145	y72l			
g00b	52.6	-62.77	20.12	65.92	162	y99l			
g25b	55.39	-47.66	-8.06	48.34	190	l36c			
g50b	57.43	-36.92	-27.8	46.22	217	l72c			
g75b	55.19	-21.2	-44.17	48.99	244	c11v			
b00r	41.84	1.31	-43.28	43.3	272	c56v			
b25r	29.72	24.12	-41.48	47.98	300	v04m			
b50r	38.41	44.74	-27.3	52.41	329	v55m			
b75r	49.41	70.07	-3.62	70.16	357	m11o			

LAB^*cmyn^*

$i^* = 1.00$

Brillantheit i^*

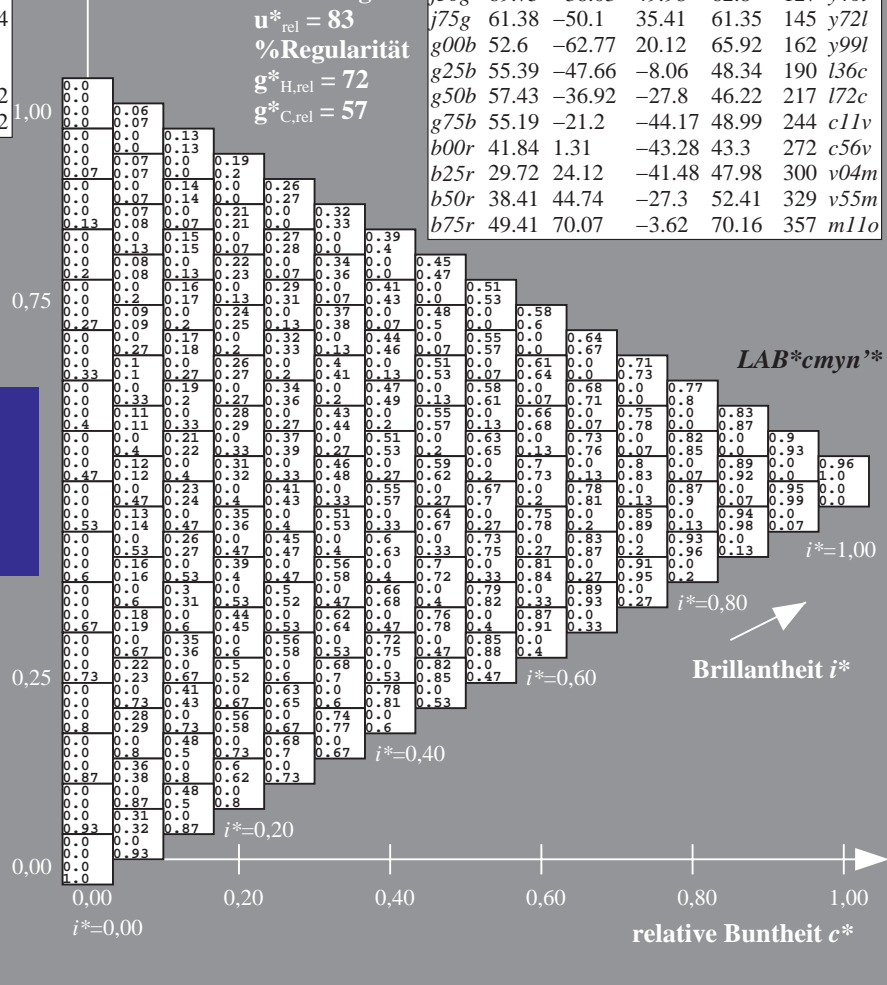
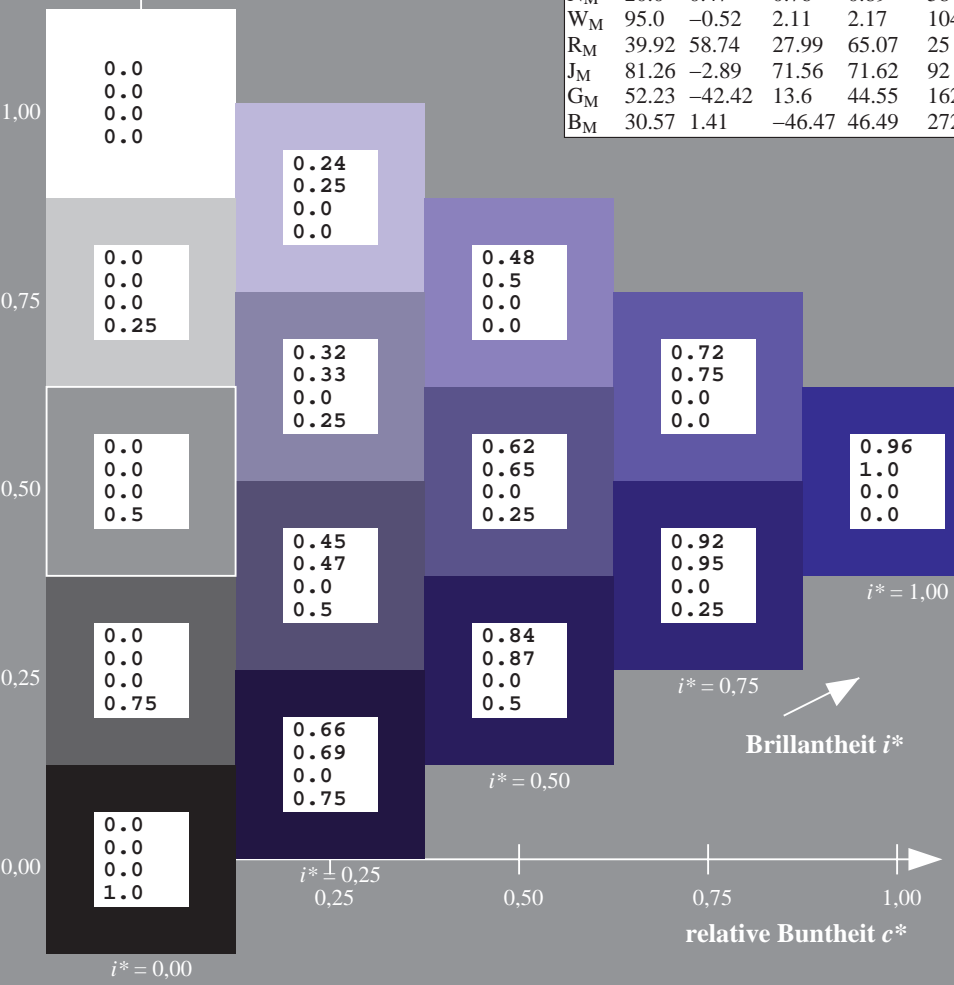
$i^* = 0.80$

$i^* = 0.60$

$i^* = 0.40$

$i^* = 0.20$

$i^* = 0.00$



Ein und Ausgabe: Farbmetrisches Drucker-Reflektiv-System ORS20_95a für relativen CIELAB-Buntton $h^* = lab^*h^* = h_{ab}/360 = 0.913$

Daten für jede Farbe:

lab^*tch^* und lab^*icu^*

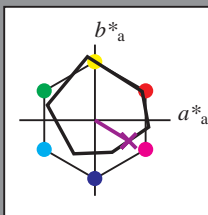
Bunttontexte:

$u^*_e = b50r$ $u^*_d = v55m$

Kontrastreduzierungsfaktor:

$c_R = 0.96$

Dreiecks-Helligkeit t^*



ORS20_95a; CIELAB-Daten

u^*_e	$L^*=L^*$	a^*	b^*	C^*_{ab}	h^*_{ab}
O _M	48.71	62.65	39.19	73.89	32
Y _M	89.25	-10.36	85.91	86.53	97
L _M	52.5	-62.88	21.3	66.38	161
C _M	59.15	-27.92	-42.97	51.24	237
V _M	29.13	23.07	-41.51	47.5	299
M _M	49.51	71.15	-7.9	71.59	354
N _M	20.0	0.47	0.76	0.89	58
W _M	95.0	-0.52	2.11	2.17	104
R _M	39.92	58.74	27.99	65.07	25
J _M	81.26	-2.89	71.56	71.62	92
G _M	52.23	-42.42	13.6	44.55	162
B _M	30.57	1.41	-46.47	46.49	272

Daten für Maximalfarbe (Ma):

$LAB^*LAB^*_{Ma}$: 38 45 -27

$LAB^*LCH^*_{Ma}$: 38 52 328

$lab^*rgb^*_{Ma}$: 1.0 0.0 1.0

$lab^*olv^*_{Ma}$: 0.56 0.0 1.0

Dreiecks-Helligkeit t^*

%Umfang

$u^*_{rel} = 83$

%Regularität

$g^*_{H,rel} = 72$

$g^*_{C,rel} = 57$

$u^*_e = b50r$
 LAB^*cmyn^*

ORS20_95a; adaptierte CIELAB-Daten

u^*_e	$L^*=L^*$	a^*_a	b^*_a	$C^*_{ab,a}$	$h^*_{ab,a}$	u^*_d
r00j	48.83	63.91	30.45	70.79	25	m84o
r25j	55.53	50.37	45.65	67.97	42	o17y
r50j	64.76	33.86	56.12	65.55	59	o42y
r75j	74.12	17.13	66.74	68.9	76	o67y
j00g	85.5	-3.22	79.65	79.72	92	o92y
j25g	79.45	-24.05	66.85	71.04	110	y20l
j50g	69.75	-38.03	49.98	62.8	127	y46l
j75g	61.38	-50.1	35.41	61.35	145	y72l
g00b	52.6	-62.77	20.12	65.92	162	y99l
g25b	55.39	-47.66	-8.06	48.34	190	l36c
g50b	57.43	-36.92	-27.8	46.22	217	l72c
g75b	55.19	-21.2	-44.17	48.99	244	c11v
b00r	41.84	1.31	-43.28	43.3	272	c56v
b25r	29.72	24.12	-41.48	47.98	300	v04m
b50r	38.41	44.74	-27.3	52.41	329	v55m
b75r	49.41	70.07	-3.62	70.16	357	m11o

LAB^*cmyn^*

$i^* = 1.00$

Brillantheit i^*

$i^* = 0.80$

$i^* = 0.60$

$i^* = 0.40$

$i^* = 0.20$

$i^* = 0.00$

Ein und Ausgabe: Farbmetrisches Drucker-Reflektiv-System ORS20_95a für relativen CIELAB-Buntton $h^* = lab^*h^* = h_{ab}/360 = 0.992$

Daten für jede Farbe:

lab^*tch^* und lab^*icu^*

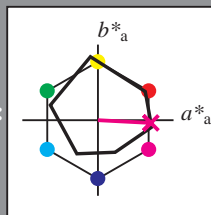
Bunttontexte:

$u^*_e = b75r$ $u^*_d = m11o$

Kontrastreduzierungsfaktor:

$c_R = 0.96$

Dreiecks-Helligkeit t^*



ORS20_95a; CIELAB-Daten						
u^*_e	$L^*=L^*$	a^*	b^*	C^*_{ab}	h^*_{ab}	
O _M	48.71	62.65	39.19	73.89	32	
Y _M	89.25	-10.36	85.91	86.53	97	
L _M	52.5	-62.88	21.3	66.38	161	
C _M	59.15	-27.92	-42.97	51.24	237	
V _M	29.13	23.07	-41.51	47.5	299	
M _M	49.51	71.15	-7.9	71.59	354	
N _M	20.0	0.47	0.76	0.89	58	
W _M	95.0	-0.52	2.11	2.17	104	
R _M	39.92	58.74	27.99	65.07	25	
J _M	81.26	-2.89	71.56	71.62	92	
G _M	52.23	-42.42	13.6	44.55	162	
B _M	30.57	1.41	-46.47	46.49	272	

Daten für Maximalfarbe (Ma):

$LAB^*LAB^*_{Ma}$: 49 70 -4

$LAB^*LCH^*_{Ma}$: 49 70 357

$lab^*rgb^*_{Ma}$: 1.0 0.0 0.5

$lab^*olv^*_{Ma}$: 1.0 0.0 0.89

Dreiecks-Helligkeit t^*

%Umfang

$u^*_{rel} = 83$

%Regularität

$g^*_{H,rel} = 72$

$g^*_{C,rel} = 57$

ORS20_95a; adaptierte CIELAB-Daten									
u^*_e	$L^*=L^*$	a^*_a	b^*_a	$C^*_{ab,a}$	$h^*_{ab,a}$	u^*_d			
r00j	48.83	63.91	30.45	70.79	25	m84o			
r25j	55.53	50.37	45.65	67.97	42	o17y			
r50j	64.76	33.86	56.12	65.55	59	o42y			
r75j	74.12	17.13	66.74	68.9	76	o67y			
j00g	85.5	-3.22	79.65	79.72	92	o92y			
j25g	79.45	-24.05	66.85	71.04	110	y20l			
j50g	69.75	-38.03	49.98	62.8	127	y46l			
j75g	61.38	-50.1	35.41	61.35	145	y72l			
g00b	52.6	-62.77	20.12	65.92	162	y99l			
g25b	55.39	-47.66	-8.06	48.34	190	l36c			
g50b	57.43	-36.92	-27.8	46.22	217	l72c			
g75b	55.19	-21.2	-44.17	48.99	244	c11v			
b00r	41.84	1.31	-43.28	43.3	272	c56v			
b25r	29.72	24.12	-41.48	47.98	300	v04m			
b50r	38.41	44.74	-27.3	52.41	329	v55m			
b75r	49.41	70.07	-3.62	70.16	357	m11o			

$LAB^*cmy^n^*$

$i^* = 1.00$

Brillantheit i^*

$i^* = 0.80$

$i^* = 0.60$

$i^* = 0.40$

$i^* = 0.20$

$i^* = 0.00$

[illegible]